

STUDIA TROICA
Monographien 4

2012

STUDIA TROICA

Monographien 4

Herausgeber

Ernst Pernicka
Charles Brian Rose
Peter Jablonka

EBERHARD KARLS
UNIVERSITÄT
TÜBINGEN



Stephan W. E. Blum

Die ausgehende frühe und die beginnende mittlere Bronzezeit in Troia

Archäologische Untersuchungen zu
ausgewählten Fundkomplexen der
Perioden Troia IV und Troia V

Teil 1: Text



VERLAG
PHILIPP VON ZABERN
DARMSTADT

**Undertaken with the assistance of the
Institute for Aegean Prehistory (INSTAP) – Philadelphia, USA**

Teil 1: 480 Seiten mit 72 Farb- und 82 Schwarzweißabbildungen
Teil 2: 508 Seiten mit 82 Farb- und 320 Schwarzweißtafeln

Herausgeber

Ernst Pernicka
Charles Brian Rose
Peter Jablonka

Bibliografische Information der Deutschen Bibliothek

Die Deutsche Bibliothek verzeichnet diese Publikation in der
Deutschen Nationalbibliografie; detaillierte bibliografische Daten sind
im Internet über <<http://dnb.ddb.de>> abrufbar.

© 2012 by Verlag Philipp von Zabern, Darmstadt
ISBN: 978-3-8053-4613-9

Layout, Satz:
Frank Schweizer, Göppingen (Teil 1)
Stephan Blum, Tübingen (Teil 2)

Alle Rechte, insbesondere das der Übersetzung in fremde Sprachen, vorbehalten. Ohne ausdrückliche
Genehmigung des Verlages ist es auch nicht gestattet, dieses Buch oder Teile daraus auf
photomechanischem Wege (Photokopie, Mikrokopie) zu vervielfältigen oder unter Verwendung elektronischer
Systeme zu verarbeiten und zu verbreiten. Printed in Germany by Philipp von Zabern, Darmstadt
Printed on fade resistant and archival quality paper (PH 7 neutral) · tcf

Meinen Eltern

Teil 1

Vorbemerkung **13**

Forschungsgeschichte **17**

2.1 Die Ergebnisse der Ausgrabungen von Heinrich Schliemann und Wilhelm Dörpfeld18

2.2 Die Ausgrabungen der University of Cincinnati 1932–193826

2.2.1 Grabungsmethoden30

2.2.2 Perioden- und Phasenunterteilung38

2.2.2.1 Troia IV42

2.2.2.1.1 Troia IVa43

2.2.2.1.2 Troia IVb45

2.2.2.1.3 Troia IVc46

2.2.2.1.4 Troia IVd46

2.2.2.1.5 Troia IVe47

2.2.2.2 Troia V49

2.2.2.2.1 Troia V Früh50

2.2.2.2.2 Troia V Mitte51

2.2.2.2.3 Troia V Spät51

2.2.3 Grabungsergebnisse: Detailanalyse der Befunde53

2.2.3.1 Quadrate F 7/853

2.2.3.1.1 Troia IVa55

2.2.3.1.2 Troia IVb62

2.2.3.1.3 Troia IVc65

2.2.3.1.4 Troia IVd68

2.2.3.1.5 Troia IVe73

2.2.3.1.6 Troia Va77

2.2.3.1.7 Troia Vb80

2.2.3.1.8 Troia Vc84

2.2.3.1.9 Troia Vd87

2.2.3.2 Quadrat E 689

2.2.3.2.1 Troia IVa89

2.2.3.2.2 Troia IVb96

2.2.3.2.3 Troia IVc100

2.2.3.2.4 Troia IVd102

2.2.3.2.5 Troia IVe104

2.2.3.2.6 Troia V1106

2.2.3.2.7 Troia V2111

2.2.3.2.8 Troia V3114

2.2.4 Keramischer Befund114

2.2.4.1 Troia IV114

2.2.4.2 Troia V118

2.2.5 Kulturhistorische Charakterisierung der Perioden Troia IV und Troia V121

2.2.6 Bewertung125

Architektur und Stratigraphie der Quadrate A 5/6 137

3.1 Quadrate A 5/6: Lage und forschungsgeschichtliche Betrachtung 138

3.2 Perioden- und Phasenunterteilung der Quadrate A 5/6 140

 3.2.1 Methodische Vorgehensweise 140

 3.2.1.1 Stratigraphisches Diagramm: »Harris Matrix« 140

 3.2.1.2 Quadrate A 5/6: Stratigraphische Sequenz 143

 3.2.2 Befunde der Periode Troia IV 144

 3.2.2.1 Phase Troia IV1 144

 3.2.2.2 Phase Troia IV2 147

 3.2.3 Befunde der Periode Troia V 152

 3.2.3.1 Phase Troia V1 152

 3.2.3.2 Phase Troia V2a–2b 154

 3.2.3.3 Phase Troia V3 158

 3.2.3.4 Phase Troia V4a–b 161

 3.2.3.5 Phase Troia V5a–b 163

 3.2.3.6 Phase Troia V6 165

 3.2.3.7 Phase Troia V7 167

Quadrate A 5/6: Keramik der Perioden Troia IV und Troia V 169

4.1 Methoden der Datenaufnahme und Auswertung 170

4.2 Klassifikation der Keramik nach Waren 170

 4.2.1 Kriterien der Beschreibung 170

 4.2.1.1 Tonqualität und Bestandteile der Magerung 171

 4.2.1.2 Oberflächenbehandlung 172

 4.2.1.3 Herstellungstechnik 173

 4.2.1.4 Härte und Festigkeit 173

 4.2.1.5 Struktur des Bruchs, Porosität und Gefüge 173

 4.2.1.6 Farbe 174

 4.2.1.6.1 Farbe der Oberflächen 174

 4.2.1.6.1 Bruchfarben und -zonen 176

 4.2.2 Beschreibung der Waren 176

 4.2.2.1 Ware 1A 178

 4.2.2.2 Ware 1B 178

 4.2.2.3 Ware 1C 179

 4.2.2.4 Ware 1D 179

 4.2.2.5 Ware 2A 179

 4.2.2.6 Ware 2B 179

 4.2.2.7 Ware 2C 180

 4.2.2.8 Ware 3A 180

 4.2.2.9 Ware 3B 181

 4.2.2.10 Ware 3C 182

 4.2.2.11 Ware 3D 182

 4.2.2.12 Ware 3E 182

 4.2.2.13 Ware 4 182

4.2.2.14 Ware 5A	183
4.2.2.15 Ware 5B	183
4.2.2.16 Ware 6	184
4.2.2.17 Ware 7	185
4.2.2.18 Ware 8	186
4.2.2.19 Ware 9	186
4.2.2.20 Ware 10	187
4.2.2.21 Ware 11	187
4.2.2.22 Ware 12	189
4.2.3 Quantitative Verteilung der Waren auf die Gesamtmenge der erfaßten Keramik	190
4.3 Formen	191
4.3.1 Klassifikationssystem: Formenklassen, Typen, Varianten	191
4.3.2 Definition der Formen	195
4.3.2.1 Schalen und Schüsseln	195
4.3.2.2 Teller	198
4.3.2.3 Töpfe	198
4.3.2.4 Krüge	199
4.3.2.5 Kannen	199
4.3.2.6 Kännchen	200
4.3.2.7 Becher	200
4.3.2.8 Platten	200
4.3.2.9 Henkelkrüge	200
4.3.2.10 Großgefäße	201
4.3.2.11 Deckel	202
4.3.3 Quantitative Verteilung der Formenklassen, Typen und Varianten	202
4.4 Korrelation von Waren und Formenklassen	205
4.5 Dekorationen	207
4.5.1 Art und quantitative Verteilung der Dekorationen	208
4.5.1.1 Bemalungen	208
4.5.1.2 Negative Elemente der Verzierung mit und ohne Inkrustation	208
4.5.1.3 Applikationen	209
4.6 Beobachtungen zur Herstellungstechnik Troia IV- und Troia V-zeitlicher Keramik	211
4.7 Stratigraphie und Chronologie der Keramik	217
4.7.1 Stratigraphische Verteilung der Waren	218
4.7.2 Stratigraphische Verteilung der Formenklassen, Typen und Varianten	228
4.7.2.1 Schalen und Schüsseln	229
4.7.2.2 Teller	235
4.7.2.3 Töpfe	237
4.7.2.4 Krüge	239
4.7.2.5 Kannen	239
4.7.2.6 Kännchen	240
4.7.2.7 Becher	241
4.7.2.8 Platten	242

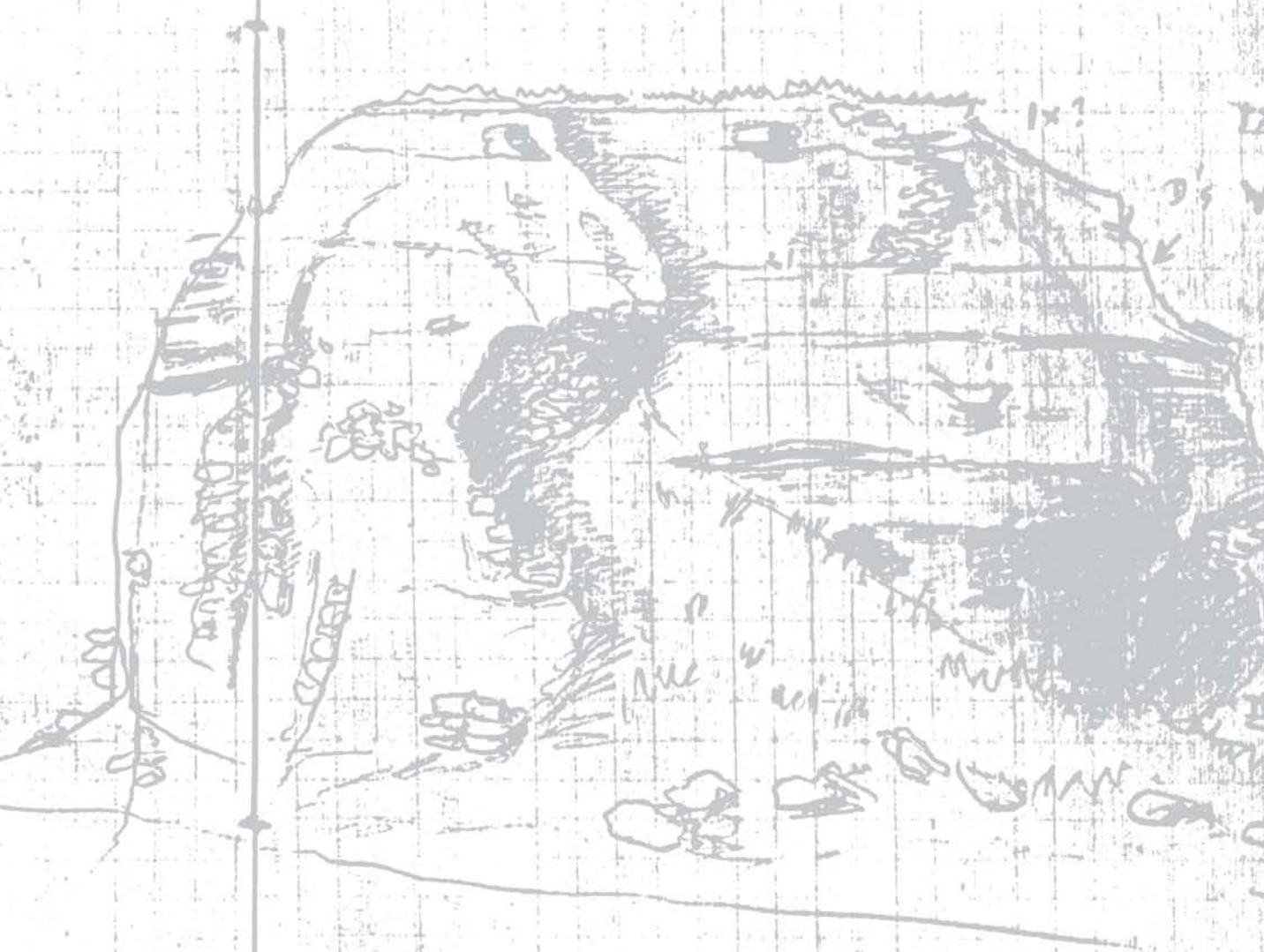
4.7.2.9 Henkelkrüge	.242
4.7.2.10 Großgefäße	.244
4.7.2.11 Deckel	.245
4.7.3 Stratigraphische Verteilung der Dekorationen	.246
4.7.4 Stratigraphische Auswertung der Keramik	.248
Die Kleinfunde der Perioden Troia IV und V der Quadrate A5/6	251
5.1 Klassifikation der Kleinfunde	.252
5.2 Keramische Kleinfunde	.253
5.2.1 Spinnwirtel	.253
5.2.2 Sekundär bearbeitete Scherben	.258
5.3 Kleinfunde aus Knochen	.263
5.3.1 Spatulae	.263
5.3.2 Metapodienspitzen	.263
5.3.3 Bearbeitete Astragale	.264
5.3.4 Halbfabrikate	.265
5.4 Kleinfunde aus Metall	.265
5.4.1 Nadeln	.265
5.5 Kleinfunde aus Stein	.268
5.5.1 Felssteingeräte	.268
5.5.1.1 Reibsteine	.268
5.5.1.2 Läufersteine	.269
5.5.1.2.1 Läufersteine Typ 1	.269
5.5.1.2.2 Läufersteine Typ 2	.270
5.5.1.3 Angebohrte Steine	.271
5.5.1.4 Türangelsteine	.271
5.5.1.5 Klopffsteine	.273
5.5.1.5.1 Klopffsteine Typ 1	.274
5.5.1.5.2 Klopffsteine Typ 2	.274
5.5.1.5.3 Klopffsteine Typ 3	.274
5.5.1.5.4 Klopffsteine Typ 4	.275
5.5.1.6 Stöbel	.275
5.5.1.7 Schwere Hämmer	.277
5.5.1.8 Schleifsteine	.277
5.5.1.9 Poliersteine	.278
5.5.1.10 Steinbeilklingen	.279
5.5.2 Silexgeräte (Auswahl)	.279
5.5.2.1 Retuschierte Abschläge	.279
5.5.2.2 Klingen	.280
5.6 Beurteilung	.280
Quadrate A 5/6: Raum und Inventar	283
6.1 Grundlagen der Untersuchung stratifizierter Fundvergesellschaftungen	.284

6.2 Quadrate A 5/6: Räumliche und funktionale Bestimmung von Aktivitätszonen	289
6.2.1 Kriterien der Identifikation von Fundvergesellschaftungen	291
6.2.1.1 Aktives Nutzungsinventar	292
6.2.1.2 Auflassungsinventar	298
6.2.1.3 Passives Nutzungsinventar	300
6.2.1.4 Primärer Abfall	302
6.2.1.5 Sekundärer Abfall	307
6.2.1.6 Tertiärer Abfall	309
6.2.2 Häusliche Aktivitäten im Bereich der Planquadrate A 5/6: diachrone Analyse	310
6.2.2.1 Troia IV	310
6.2.2.1.1 Phase Troia IV1	310
6.2.2.1.2 Phase Troia IV2	312
6.2.2.2 Troia V	314
6.2.2.2.1 Phase Troia V1	314
6.2.2.2.2 Phase Troia V2	314
6.2.2.2.3 Phase Troia V3	316
6.2.2.2.4 Phase Troia V4	317
6.2.2.2.5 Phase Troia V5	319
6.2.2.2.6 Phase Troia V6	320
6.2.2.2.7 Phase Troia V7	321
6.2.3 Bewertung	322
Die zeitliche Stellung der Perioden Troia IV und Troia V: fundortspezifische Bewertung	325
7.1 Relative Chronologie	326
7.1.1 Stratigraphischer Befund	326
7.1.2 Keramischer Befund	330
7.1.3 Bewertung	333
7.2 Absolute Chronologie	335
Kulturhistorische Verortung der Perioden Troia IV und Troia V	351
8.1 Troia IV und Troia V im regionalen Kontext	352
8.2 Überregionale Einbindung der Perioden Troia IV und Troia V	362
8.3 Bewertung	401
Zusammenfassung	409
Özet	417
Bibliographie	423

Teil 2

11 Katalog Teil A	7
11.1 Stratigraphische Einheiten	8
11.2 Konkordanz: Ausgrabungseinheiten/Stratigraphische Einheiten	24
12 Katalog Teil B	47
13 Katalog Teil C	99
13.1 Keramische Kleinfunde	100
13.2 Kleinfunde aus Knochen	105
13.3 Kleinfunde aus Metall	107
13.4 Felssteingeräte und Silexartefakte	108
14 Appendix: Quadrate A 5/6 – Erhaltungszustand der keramischen Inventare	113
15 Tafeln	129

May 2. From the North



Die vorliegende Arbeit ist die leicht überarbeitete Fassung meiner Doktorarbeit, die im Wintersemester 2011/2012 von der Philosophischen Fakultät der Eberhard Karls Universität Tübingen als Dissertation angenommen wurde.

Ausgangspunkt der Untersuchung bildeten die in den Jahren 2000 und 2001 im Rahmen der archäologischen Untersuchungen am Siedlungshügel Hisarlık Tepe/Troia von seiten des Projekts Troia der Universität Tübingen in Planquadrat A 5/6 im Hinblick auf den vierten und insbesondere fünften Abschnitt der Belegung, d. h. den Perioden Troia IV und Troia V, erzielten Grabungsergebnisse. Angesichts der ausgesprochen guten Erhaltungsbedingungen wurde das zunächst als reine »Keramikarbeit« angedachte Dissertationsvorhaben bereits in einem frühen Stadium der inhaltlichen Konzeption um die Aspekte Stratigraphie, Architektur und Kleinfunde erweitert, um ausgehend von dem zwar relativ klein bemessenen, hinsichtlich seiner Ausmaße vom damaligen Projektleiter Prof. Dr. Dr. h.c. Manfred O. Korfmann (†) gern mit einer Telefonzelle der Deutschen Post verglichenen Areal eine integrative, sowohl kontext- wie materialimmanente Referenzbasis zu schaffen, anhand derer zum einen andere, nicht selten in Form isolierter Einzelstratigraphien vorliegende Befunde innerhalb der Siedlungssequenz des Fundplatzes integriert werden können, zum anderen eine Anbindung an die im Zuge früherer Forschungen erstellten Schichtabfolgen, und hier insbesondere an diejenigen der University of Cincinnati Excavations in the Troad zwischen 1932 und 1938, zu erreichen ist. Zu den Anliegen von Kapitel 2 zählt daher neben der systematischen Erarbeitung allgemein forschungsgeschichtlicher Aspekte zu den beiden zur Diskussion stehenden Perioden eine quellenkritische Bestandsaufnahme der für den Zeitraum relevanten und für eine Synthese mit den jüngeren Forschungsergebnissen geeigneten archäologischen Befunde und Funde, ausgehend von den Grabungstätigkeiten Heinrich Schliemanns bis zur Zeit der US-amerikanischen Unternehmungen unter Leitung von Carl William Blegen. Kapitel 3 dient der detaillierten, kontextbezogenen Beschreibung aller innerhalb der Arealgrenzen von A 5/6 auf Grundlage der zur Verfügung stehenden Tagebuchaufzeichnungen, Fotodokumente sowie Plan- und Profilzeichnungen faßbaren Schichteinheiten, Baustrukturen etc., darüber hinaus wird hier über die Einbindung der im einzelnen isolierten Elemente in ein stratigraphisches Diagramm, eine sogenannte Harris-Matrix, ein relativchronologisches Bezugssystem für den betreffenden Arbeitsbereich erstellt, ausgehend von dem eine zeitliche Bewertung des assoziierten Fundmaterials vorgenommen werden kann. Gegenstand des Kapitels 4 bildet eine nach Waren, Formen und dekorativen Elementen differenzierte Klassifikation der Troia IV- und Troia V-zeitlichen Gefäßkeramik, wobei die dabei aufgrund besonderer formaler und/oder herstellungstechnischer Merkmale erstellten Kategorien in einem nachgestellten Schritt der Analyse einer Beurteilung nach quantitativen und qualitativen Gesichtspunkten unterzogen werden; die chronologische Bewertung erfolgt ausgehend von der lokalen Schichtenabfolge. Als primäres Ordnungsmerkmal der im nachfolgenden Kapitel 5 thematisierten Objektgruppe »Kleinfunde« dient der Werkstoff. Primär wurde zwischen den Materialklassen Keramik, Knochen, Metall und Stein unterschieden, auf der nachgeordneten, sekundären Ebene der Klassifikation wurde der Fundstoff entsprechend funktionaler Kriterien gegliedert. Die relativchronologische Verortung der Artefakte wird – analog dem keramischen Fundmaterial – anhand deren je spezifischen Position innerhalb der stratigraphischen Sequenz der Quadrate A 5/6 vorgenommen. Ortsfeste Elemente der Architektur, wie Öfen, Herdstellen oder Vorrats- und

Abfallgruben, bilden in Kombination mit den sie begleitenden Fundvergesellschaftungen die Grundlage der in Kapitel 6 im Hinblick auf die ökonomische und soziale Struktur der sie nutzenden Hausgemeinschaften unter Berücksichtigung möglicher fundstatistischer Faktoren vor, während oder im Anschluß an die Deponierung erarbeiteten Lokalisierung und inhaltlichen Charakterisierung von Aktivitätszonen. In Kapitel 7 werden die Perioden Troia IV und Troia V vor dem Hintergrund der in Planquadrat A 5/6 auf stratigraphischer, typologischer und naturwissenschaftlicher Basis gewonnenen Resultate auf ihre zeitliche Stellung hin untersucht. Neben der Erstellung einer tragfähigen, etwa über phasenspezifische Leitformen oder markante Gegebenheiten innerhalb der Schichtenabfolge auch mit früheren Grabungsergebnissen in Zusammenhang zu bringenden relativen Fundplatzchronologie stellt die kontextorientierte Diskussion der verfügbaren Radiokohlenstoffdaten einen wesentlichen Aspekt dieses Themenkomplexes dar. Gegenstand des achten, abschließenden Kapitels bildet die kulturhistorische Einordnung des vierten und nachfolgenden fünften Siedlungsabschnitts am Hisarlık Tepe/Troia auf regionaler und überregionaler Ebene.

Für die Anregung zu vorliegender Arbeit und die fachliche Betreuung in der Zeit bis zu seinem viel zu frühen Tod danke ich meinem verehrten Lehrer Prof. Dr. Dr. h.c. Manfred O. Korfmann. Ganz besonderer Dank gilt ebenfalls Herrn Prof. Dr. Ernst Pernicka, der die Betreuung der Dissertation übernahm und deren Abfassung durch die großzügige Gewährung eines Promotionsstipendiums von seiten des Projekts Troia der Eberhard-Karls-Universität Tübingen sowie einer zeitweisen Anstellung am Tübinger Institut für Ur- und Frühgeschichte ermöglichte. Für den Erhalt des »Troia-Stipendiums« möchte ich mich auch bei den Verantwortlichen der TroiaStiftung Tübingen, allen voran Herrn Dr. Hans Günter Jansen, recht herzlich bedanken.

Frau Dr. Magda Pieniżek-Sikora danke ich für ihr außerordentliches Engagement bei der archäologischen Untersuchung der Planquadrante A 5/6 in den Jahren 2000 und 2001; allein ihrem grabungstechnischen Sachverstand ist es zu verdanken, daß eine weiterführende Analyse der im betreffenden Bereich aufgenommenen Troia IV- und Troia V-zeitlichen Funde und Befunde auf feinstratigraphischer Basis möglich war. Faika Evrim Uysal, Ülkü Erdoğan und Monika Möck-Aksoy danke ich herzlich für die Anfertigung der zahlreichen Fundzeichnungen, auch sei Herrn Dr. Dr. h.c. Bernd Kromer (Curt-Engelhorn-Zentrum Archäometrie gGmbH, Mannheim) für die Aufbereitung und naturwissenschaftliche Analyse der genommenen Radiokohlenstoffproben vielmals gedankt; Şirin Uzunoğlu möchte ich für die Auswertung des archäobotanischen Analysematerials danken und Herrn Dr. Gebhard Bieg für die fotografische Dokumentation der Ausgrabungsstelle sowie der Artefakte.

Für eine überaus anregende Zusammenarbeit innerhalb des Projekts bedanke ich mich bei Dr. Peter Pavúk (Universität Bratislava), Prof. D. Ivan Gatsov (Universität Sofia), Dr. Christiane Frirdich, Dr. Pavol Hnila, Dr. Rüstem Aslan und Petar Zidarov M.A. Dr. Ulf-Dietrich Schoop (Universität Edinburgh), Prof. Dr. Tobias L. Kienlin (Universität Bochum), Prof. Dr. Manfred K. H. Eggert, Claus Brenner M.A. und Dr. Dorothee Brenner, Dr. Hans von Mangoldt und Dr. Bianca von Mangoldt, Dr. Christoph Kümmel, Dr. Çiler Çilingiroğlu, Dr. Leonie Koch sowie Dr. Raiko Krauß danke ich für ihre konstruktiven Diskussionsbeiträge. Ein ganz besonderes Dankeschön geht zudem an Frau Christel Bock, die in ihrer Funktion als Projekt- und Instituts-

sekretärin stets für einen reibungslosen Ablauf offizieller Belange sorgte. Herrn Dr. Hanswulf Bloedhorn danke ich vielmals für die redaktionelle Betreuung des Manuskripts sowie ganz besonders Herrn Frank Schweizer M.A. für Satz und Layout.

Für ihre offene Diskussionsbereitschaft und stete Unterstützung kann ich meinen beiden sehr geschätzten Kolleginnen Diane Thumm-Doğrayan M.A. und Mariana Thater M.A. nicht genug danken, auch ist es mir ein besonderes Anliegen Herrn Dr. Sinan Ünlüsoy für seinen Beitrag zum Gelingen der Arbeit und vor allem für die langjährige Freundschaft zu danken.

Herrn Prof. Dr. Turan Efe und Frau Deniz Ay-Efe M.A. (Universität İstanbul) danke ich sehr herzlich für die überaus gastfreundliche Aufnahme am Grabungsplatz Küllüoba, auch sei ihnen und Herrn Murat Türkteki M.A., ebenfalls Universität İstanbul, für die interessanten, im Hinblick auf die Keramiktypologie und Chronologie der anatolischen Früh- und Mittelbronzezeit geführten Diskussionen vielmals gedankt.

Für die großzügige Überlassung eines umfangreichen Manuskripts zum Fundort Kumtepe sei Herrn Prof. Dr. Mehmet Özdoğan (Universität İstanbul) besonderes gedankt; ein spezieller Dank gilt ihm auch dafür, daß er mir überaus freigiebig die Vorlage des in Bezug auf die Perioden Troia IV und Troia V relevanten Vergleichsmaterials gestattete.

Realisierbar wurde diese Publikation durch die großzügige Unterstützung von INSTAP, dem Institute for Aegean Prehistory (Philadelphia, USA), wofür ich mich herzlich bedanke.

Mein größter Dank jedoch gilt meinen Eltern Wilhelm und Doris Blum sowie Faika Evrim Uysal; ohne ihre Unterstützung wäre es mir sicher nicht möglich gewesen, vorliegende Dissertation zu vollenden.

Stephan W. E. Blum



2.1 Die Ergebnisse der Ausgrabungen von Heinrich Schliemann und Wilhelm Dörpfeld

Die mit dem erklärten Ziel, »Troja, die Residenz des Priamos, die Stadt, welche das Heer der Griechen unter Agamemnon belagerte«¹ zu finden, geführten Ausgrabungen Heinrich Schliemanns auf dem Burgberg von Hisarlık in den Jahren 1871–1873, 1878, 1879, 1882 und 1890 fanden mit außergewöhnlich großem finanziellen und personellen Aufwand statt² und führten insbesondere im Zentrum des Hügels zu einer teils großflächigen Abtragung von Siedlungsschichten aus prähistorischer und antiker Zeit. In bis zu 15 m tiefen, von Osten nach Westen und Norden nach Süden verlaufenden Gräben (cf. Abb. 1–3 u. Taf. 1) ließ er in kurzer Zeit im Grunde alles abtragen, was oberhalb der architektonischen Hinterlassenschaften der Perioden Troia II und Troia III lag, in denen er die Wohnstätten der Helden des »Troianischen Kriegs« erblickte (cf. Taf. 2). Die vor allem in den Anfangsjahren angewandten Grabungstechniken konnten dabei der Komplexität der stratigraphischen Abfolge jedoch kaum gerecht werden³ und mußten unweigerlich dazu führen, daß die Schichtgrenzen der einzelnen aufeinanderfolgenden Besiedlungsabschnitte vielenorts unbeobachtet durchschnitten⁴ und Fundstücke verschiedener Zeitstellung untereinander vermischt wurden.⁵ Ganz diesem Sachverhalt entsprechend, finden sich in den ausführlichen Einzelbeschreibungen zu den sieben »Städten« Troias sowohl in dem im Jahr 1880 zunächst in englischer und dann 1881 auch in deutscher Sprache erschienenen Übersichtswerk »*Ilios. Stadt und Land der Trojaner*« wie auch in der 1884 erschienenen Monographie »*Troja. Ergebnisse meiner Ausgrabungen auf der Baustelle von Troja, in den Heldengräbern, Bunarbaschi und anderen Orten der Troas im Jahre 1882*«⁶ neben Objekten, die tatsächlich einem der jeweiligen Abschnitte zuzurechnen sind, verschiedene Elemente, die – zumindest aus gegenwärtiger Sicht – entweder der vorhergehenden Periode angehören oder aber Vergleichsstücke im ent-

¹ Schliemann 1881a: 162. Cf. Dörpfeld 1902: 1; Korfmann 1990: xii–xiv; Allen 1999: *passim*.

² Schliemann 1881a: 25–51, 61–78. Allgemein dazu s. Easton 2002: 27–72.

³ S. in diesem Zusammenhang etwa Schliemann 1881a: 28 »Da es meine Absicht war, Troja auszugraben, und da ich dasselbe in einer der unteren Städte zu finden erwartete, musste ich manche interessante Ruine in den oberen Schichten zerstören; so z. B. in einer Tiefe von 20 Fuss unter der Oberfläche die Ruine eines prähistorischen Gebäudes von 10 Fuss Höhe, dessen aus behauenen, mit Lehm zusammengefügt Kalksteinblöcken bestehende Mauern vollkommen glatt waren. Augenscheinlich gehörte dieses Haus zu der vierten der nacheinander auf den Urboden folgenden gewaltigen Trümmerschichten; und wenn, wie nicht bezweifelt werden kann, jede Schicht die Ruinen einer besonderen Stadt darstellt, so gehörte es zur vierten Stadt. Es stand auf den calcinierten Backsteinen und anderen Trümmern der dritten Stadt, welche letztere augenscheinlich die Ruinen von vier verschiedenen Gebäuden bezeichneten, die nacheinander auf derselben Baustell gestanden hatten, und deren unterstes auf Mauertrümmern oder losen Steinen der zweiten Stadt erbaut worden war.« Ergänzend dazu s. Dörpfeld 1902: 3, 102; Korfmann 1993a: 248–249; Easton 2006: 111.

⁴ Zu Schliemanns methodischer Vorgehensweise und Dokumentationstechnik s. unter anderem Blegen 1963: 26–29; Korfmann 1990: xiv–xxix; Herrmann 1992: 93–102; Easton 1992a: 191–195; Easton 1992b: 51–72; Easton 2002: 73–81. Cf. Schmidt 1902a: v–vii.

⁵ Der damaligen Oberflächenstruktur des Hügels entsprechend waren hiervon – neben verschiedenen Bauzeugnissen der Griechischen und Römischen Epoche – insbesondere die Ablagerungen jüngerer prähistorischer Zeitstellung betroffen, darunter etwa auch diejenigen der Perioden Troia IV und Troia V, worauf eine nicht unbeträchtliche Anzahl an den beiden Abschnitten zuzuweisenden Funden im bereits 1874 erschienenen Katalogwerk »*Atlas Trojanischer Alterthümer. Photographische Abbildungen zu dem Berichte über die Ausgrabungen in Troja*« hindeutet. Cf. Schliemann 1874: *passim*; Schliemann 1881a: 581–638. S. hierzu auch Blegen *et al.* 1951: 101; Bloedow 1992: 211–212.

⁶ Schliemann 1884: 59–60. Vgl. Schliemann 1881a: 28 Anm. 3. Cf. Blegen *et al.* 1951: 101; Easton 2000: 74–78.

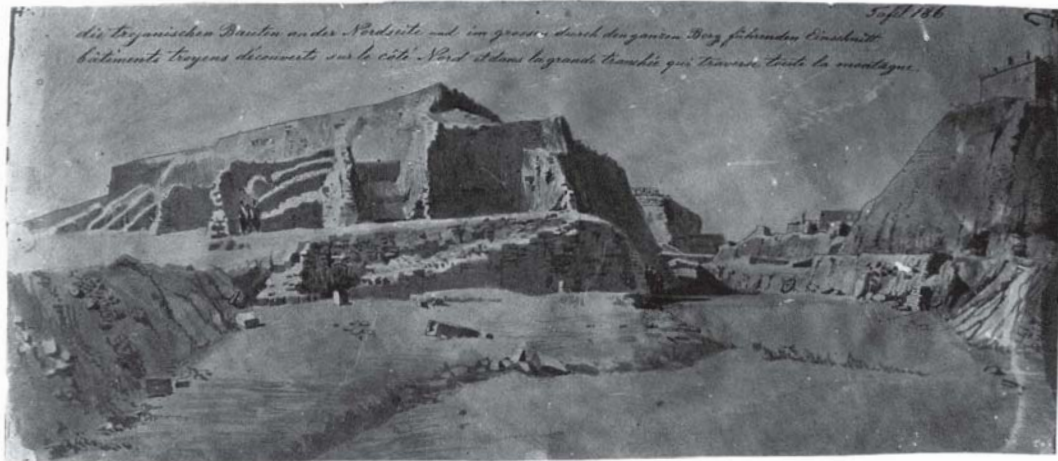


Abb. 1
Grabensystem
Schliemanns aus den
Jahren 1871–1873
(Schliemann 1874:
Taf. 186).

sprechend späteren Horizont finden.⁷ Einen massiven Niederschlag fanden die diversen chronologischen Fehleinschätzungen bereits in der damaligen Aufstellung der Funde Schliemanns im Berliner Museum für Völkerkunde, worauf der zwischen 1896 und 1900 mit der Katalogisierung und Neuordnung des umfangreichen Fundinventars betraute Hubert Schmidt in seiner 1902 publizierte Zusammenstellung »Heinrich Schliemann's Sammlung Trojanischer Altertümer« mit Nachdruck hinwies: »Die alte, von Schliemann selbst durchgeführte Anordnung der Sammlung, die bis zum Jahr 1895 unverändert beibehalten worden war, beruhte auf den Ergebnissen der noch zu Schliemann's Lebzeiten gewonnenen Ausgrabungsergebnisse [...]. Demgemäß war unter den 7 über einander liegenden Schichten, die man damals zählte, der Hauptwert auf die Keramik der II. Ansiedlung gelegt, in der Schliemann die Reste des ›homerischen‹ Troja zu erkennen glaubte. Auch die Keramik der III.–V. Schicht war jede für sich durch die Aufstellung zur Anschauung gebracht worden, ohne dass dadurch das Bild einer fortlaufenden Entwicklung ermöglicht oder charakteristische Unterschiede zwischen den einzelnen keramischen Gruppen erkennbar gewesen wären. Das läßt sich einigermaßen nach den Angaben in ›Ilios‹ und ›Troja‹ rekonstruieren. Die III. Schicht war in der alten Form und Bedeutung auf Grund der Ausgrabungen von 1882 ausgeschieden, nachdem man erkannt hatte, dass die ›dritte, verbrannte Stadt‹ als zweite Schicht anzusehen ist. Für die Keramik der IV. Schicht hatten sich wesentliche Unterschiede von der vorhergehenden nicht feststellen lassen. Die Formen ergaben nichts Neues; die Unterschiede in Farbe und Aussehen führte Schliemann auf den Brand zurück, da die Gefäße noch ›am offenen Feuer‹ gebrannt sein sollten. Für die V. Schicht hatte Schliemann widersprechende Beobachtungen gemacht. Auf der einen Seite glaubte er, einen allgemeinen Verfall zu sehen. Dem gegenüber hob er auf der anderen Seite eine Menge ›glatter, auf der Scheibe gedrehter Topfwaare hervor, welche, wenn man sie mit der vorhergehenden Stadt vergleicht, ganz modern aussieht.«⁸ Selbst auf Grundlage aller zum damaligen Zeitpunkt zur Verfügung stehen-

⁷ Schliemann 1881a: 578–638; Schliemann 1880: 518–572. Cf. Easton 2002: 73–304 u. Taf. 129–193.

⁸ Schmidt 1902a: v–vi. Cf. Schmidt 1902b: 243.



Abb. 2
Einblick in den sog.
»Schliemann-
Graben« aus nördlicher
Richtung (Schliemann
1874: Taf. 108).



Abb. 3
Derselbe von Süden
aus gesehen (Schlie-
mann 1874: Taf. 111).

den Aufzeichnungen sah sich Schmidt außerstande, die – stratigraphisch vermischten⁹ – Keramikobjekte in inhaltlich geschlossene und chronologisch konsistente Fundgruppen zu unterteilen (cf. Abb. 4): »Die keramischen Überreste der [...] Schichten II–V wurden als grosse Masse zusammengefasst. Eine Gliederung erfuhr diese Masse zunächst nach den Gefässformen; doch erwies sich bald die Anordnung als nicht ausreichend, »weder zur wissenschaftlichen Erkenntnis der keramischen Entwicklung, noch zur praktischen Durchführung der Auswahl von Dubletten«. Daher wurden die Fabrikationsmerkmale, – also Thonqualität, Anwendung von mechanischen Hilfsmitteln für die Formgebung (Unterscheidung von Handarbeit und Scheibentechnik), grössere oder geringere Dünnwandigkeit, Brennmethode (Gefässe mit und ohne Spuren der Flamme), Behandlung der Oberfläche – die Grundlage der Gruppierung, und es ergaben sich daraus 3 Entwicklungsperioden [...]: 1. Handarbeit und primitiver Brand, meist an offener Flamme. 2. Aufkommen der Scheibentechnik neben der Handarbeit und vollkommener Brennmethode. 3. Entwickelte Scheibentechnik mit untergeordnetem Auftreten der Handarbeit.«¹⁰

Wilhelm Dörpfeld, ab 1882 leitender Assistent der Ausgrabungen und für die Bauaufnahme verantwortlicher Architekt, übernahm nach dem Tode Schliemanns im Jahr 1890 die Arbeiten in Troia und führte diese 1894 zu einem vorläufigen Abschluß.¹¹ Seine Unternehmungen galten vornehmlich der Erforschung der sechsten, mittel- und spätbronzezeitlichen Periode (cf. Taf. 3), Befundkontexte anderer chronologischer Stellung spielten dagegen eine eher untergeordnete Rolle und traten lediglich 1893, im Rahmen einer Nachuntersuchung der stratigraphischen Abfolge außerhalb der Burgmauer von Troia II (Quadrate CD 6/7) zutage. Durch die geringen Abmessungen des untersuchten Areals sowie das starke Gefälle der dokumentierten Schichten bedingt, trugen die 1894 in »Troja 1893. Bericht über die im Jahre 1893 in Troja veranstalteten Ausgrabungen« publizierten Ergebnisse indessen nur unwesentlich zur Erweiterung des damaligen Wissensstands bei.¹² Das vergleichsweise knapp gehaltene Kapitel »Die III., IV. und V. Schicht, drei prähistorische Ansiedelungen« der 1902 erschienenen Publikation »Troia und Ilion. Ergebnisse der Ausgrabungen in den vorhistorischen und historischen Schichten von Ilion 1879–1894« geht im ganzen daher über eine allgemeine Charakterisierung der betreffenden Perioden auf Grundlage der von Schliemann vorgelegten Grabungsergebnisse nicht hinaus.¹³

Mit als Konsequenz der mitunter stark undifferenzierten Befundansprache seitens der jeweiligen Grabungsleitung sowie den offensichtlichen Unstimmigkeiten bei der Zuweisung des Fundmaterials auf die verschiedenen Abschnitte der Besiedlung, ist die zwischen 1871 und 1894 erarbeitete Schichtenabfolge nur bedingt mit der heute gängigen relativchronologischen Einteilung Troias in Einklang zu bringen.¹⁴ Anhand einer vergleichenden Zusammenstellung der Angaben

⁹ S. in diesem Zusammenhang auch Bloedow 1992: 211–220.

¹⁰ Schmidt 1902a: vii.

¹¹ Kluwe 1992: 153–160; Korfmann 1993a: 255–259; Thumm-Doğrayan 2006: 119–120.

¹² Dörpfeld 1894: 82–87; Dörpfeld 1902: 20–25. Cf. Blegen *et al.* 1951: 101.

¹³ Dörpfeld 1894: 9–60; Dörpfeld 1902: 17–25. Cf. Korfmann 1993a: 255–259.

¹⁴ S. in diesem Zusammenhang Korfmann 1990: xxiii; Easton 1976: 146–149; Easton 1992b: 57–67; Easton 2000: 74–81 u. Fig. 1; Easton 2002: 305–313, 335–344; Jablonka 2000: 103. Ergänzend dazu s. Ünlüsoy 2009: 15–48. Cf. Kapitel 7.1.1 »Fundortspezifische Einordnung«.



Abb. 4
Fundmaterial der
Perioden Troia II bis
Troia V in seiner
ursprünglichen
Museumsaufstellung
(Schliemann 1874:
Taf. 51).

Schliemanns zur lokalen Stratigraphie (Abb. 5)¹⁵ sowie den verschiedenen Profilzeichnungen- und photographien Dörpfelds zeigt sich deutlich, daß die damals vorgeschlagene zeitliche Gliederung nur zum Teil mit derjenigen der *University of Cincinnati Excavations in the Troad* von 1930 bis 1938 deckungsgleich ist (Abb. 6 u. Taf. 4.1–2. Vgl. Taf. 20),¹⁶ welche seither – zumin-

¹⁵ Wie auch Korfmann 1990: xxii; Easton 2000: 74–77; Easton 2002: 3–12.

¹⁶ S. hierzu Kapitel 2.2.2 »Perioden- und Phasenunterteilung.«

dest im Falle der Perioden Troia IV und Troia V – sowohl inhaltlich wie auch terminologisch als Referenz dient.¹⁷ Ein wesentlicher Teil der von Schliemann und Dörpfeld der »vierten prähistorischen Stadt von Troja« zugewiesenen Elemente findet sich so im Fundbestand der Periode Troia III von Blegen *et al.* wieder, während in der »fünften prähistorischen Stadt von Troja« all das zusammengefaßt wurde, was Blegen *et al.* später auf die Perioden Troia IV und Troia V verteilten (Taf. 5).¹⁸ Materielle Hinterlassenschaften des erstgenannten Horizonts müssen während den Ausgrabungen Schliemanns in weiten Teilen des Siedlungshügels angetroffen worden sein,¹⁹ während Troia V-zeitliche Ablagerungen, bedingt durch die damalige Oberflächenstruktur des Fundplatzes, nur mehr in den Randzonen zu erfassen waren; bereits in hellenistischer Zeit, im Zuge der Errichtung des Athenaheiligtums, waren die höheren Partien des Burgbergs bis auf das Anfangsniveau von Troia IV und tiefer großflächig abgeschoben worden,²⁰ und lediglich in den äußeren Bereichen, wie etwa in den Planquadrat E 6 und F 7/8, hatten sich entsprechende Schichteinheiten erhalten (*cf.* Taf. 8). Weder von Schliemann noch von Dörpfeld als Elemente einer eigenständigen Periode der Besiedlung bzw. als separate »prähistorische Stadt« erkannt, wurden diese schließlich dem darunterliegenden Horizont zugerechnet. Umstandsgemäß fiel der Kommentar Dörpfelds zur baulichen Struktur der beiden hier zur Diskussion stehenden Abschnitte ausgesprochen verkürzt aus: »Die Innengebäude [...] brauchen uns nicht lange zu beschäftigen. Nur wenige Reste von ihnen sind bekannt und diese sind dünne unscheinbare Mauern aus kleinen Bruchsteinen und Lehmörtel. [...] Sie bilden, soweit wir wissen, kleine unregelmäßige Zimmer, die kaum etwas anderes als einfache Wohnhäuser gewesen sein kön-

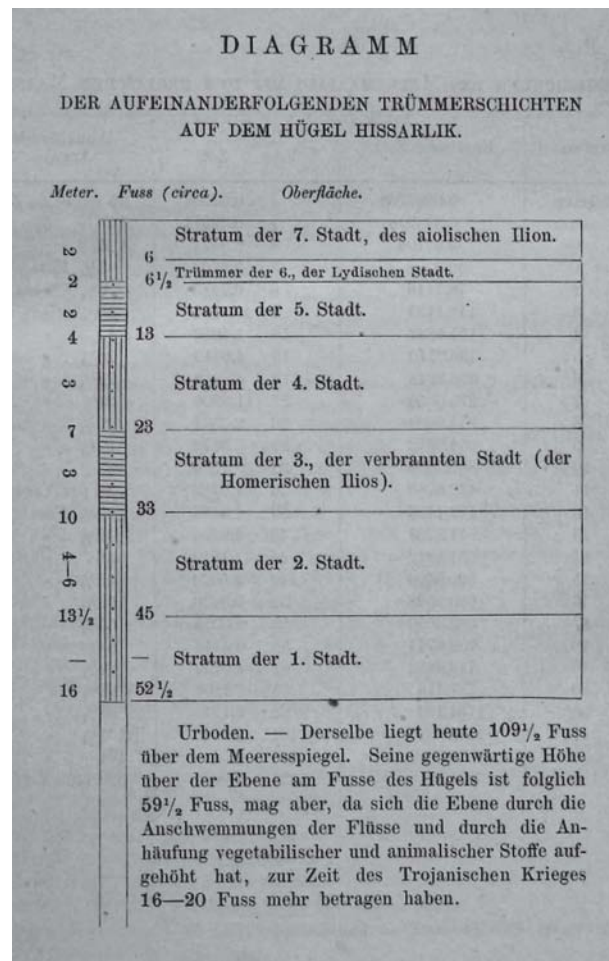


Abb. 5
Schliemanns stratigraphische Sequenz Troias in »Ilios. Stadt und Land der Trojaner« (Schliemann 1881a: xxi).

¹⁷ Cf. Easton 1976: Fig. I. Vgl. Easton 2000: Fig. 1.

¹⁸ Vgl. Schliemann 1881a: 578–654; Schliemann 1884: 206–214; Blegen *et al.* 1951: *passim*.

¹⁹ Eine ausführliche Zusammenstellung der in Frage kommenden Bereiche findet sich in Easton 2002: 73–304. Cf. Schliemann 1884: Plan VII; Dörpfeld 1902: Fig. 1–5, Beil. 3 u. Taf. VIII.

²⁰ Cf. Mansfeld 2001: 57–71.

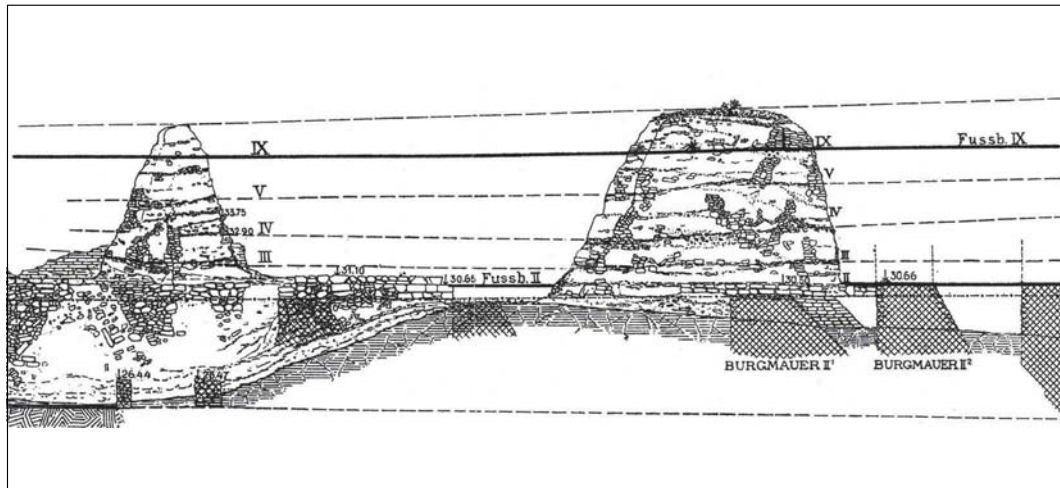


Abb. 6
Schichtenabfolge der
Quadrate E 4/5 und
E 6 (Dörpfeld 1902:
Taf. VIII [Ausschnitt]).

nen. Einzelne nur 0,33 m dicke Mauern aus ungebrannten Ziegeln, die in E 6 und G 7 gefunden wurden, verdienen noch als auffallend dünne Erdmauern eine besondere Erwähnung; ihre quadratischen Ziegeln von 0,30–0,33 m Länge und 0,07 m Höhe bestehen aus dunkler Erde und sind mit sehr hellem, sich deutlich abhebendem Mörtel verbunden. Ihr Fundament ist aus kleinen Steinen mit Erde gebaut. Auch sie werden zu Wohnhäusern oder vielleicht zu Einfriedungen von Höfen gehört haben.«²¹ Weitaus differenzierter, wenn freilich auch nicht mit demselben Stellenwert wie die früheren Besiedlungsabschnitte, war die betreffende Befundsituation von Schliemann beurteilt worden. Aus dem Umstand etwa, daß sich die in den Ablagerungen der Perioden Troia IV und Troia V erfaßten Gebäudeteile hinsichtlich Struktur und Ausführung deutlich von denjenigen der verschiedenen vorhergehenden Horizonte unterschieden, erschloß sich für ihn die Zuwanderung einer neuen Bevölkerungsgruppe, die über grundsätzlich abweichende Konstruktionstechniken verfügte und auf die Errichtung monumentaler Großbauten weitestgehend verzichtete: »Über der Ruinenschicht der vierten Stadt [d. h. Troia III] befindet sich eine etwa 6 Fuss dicke Schuttlage, die augenscheinlich aus den Ueberbleibseln von aus Holz und Lehm gebauten Häusern besteht. Dass die Bevölkerung der vierten Stadt, von der wir unzählige Häusermauern sehen, die Architektur, an die sie gewöhnt war, plötzlich aufgegeben und ihre Häuser aus Holz oder Lehm oder aus beiden zusammen erbaut haben sollte, erscheint uns unglaublich.«²² Gemäß dem äußeren Erscheinungsbild der Siedlungsanlage – und wohl nicht zuletzt auch mit

²¹ Dörpfeld 1902: 106–107.

²² Schliemann 1881a: 639. Cf. Schliemann 1884: 210–211 »Die Hausmauern sind theils aus Bruchsteinen, theils aus Lehmziegeln erbaut. [...] Sie sind fast alle nur einen Stein stark und bestehen aus Ziegeln, die 30–33 cm breit und lang, und 65–75 mm hoch sind. Das Material der Ziegel ist, ebenso wie in früheren Ansiedlungen, ein dunkler Lehm, der Mörtel ein heller, fast weisser Thon. Diese Ziegelmauern sind meistens ungebrannt, nur an einzelnen Stellen finden sich Reste gebrannter Ziegel. Sämtliche Lehmmauern haben Fundamente aus Bruchsteinen, die wahrscheinlich teilweise sich über den Fussboden erhoben, um eine Zerstörung der am meisten der Verwitterung ausgesetzten unteren Theile der Mauern zu verhindern. Auch die Häuser dieser Ansiedlung haben, da keine gebrannten Dachziegel gefunden wurden, horizontale, aus Holz und Erde hergestellte Dächer gehabt.«



Abb. 7
 »Moderne Häuser mit horizontalen Dächern und Fachwerk-Wänden im Dorfe Renköi« (Grabungsphoto Dörpfeld, DAI Athen, Troja Neg. 118).

unter dem Eindruck der zeitgenössischen Bauweise im ländlichen Raum der Troas (Abb. 7) – wies er seiner »fünften prähistorischen Stadt von Troja« insgesamt einen Status zu, der nicht wesentlich über denjenigen eines gewöhnlichen Dorfes hinausgegangen sei.²³ Nicht weniger Ausdruck fände der allgemein zu beobachtende gesellschaftliche Wandel am Übergang von Troia III nach Troia IV zudem in der Einführung eines völlig neuen Formenrepertoires ebenso wie im gänzlich veränderten Alltagsverhalten der Bewohner: »Wir finden hier fortgesetzt dieselben Typen von Töpferwaare, theils mit der Hand, theils auf dem Töpferrade gemacht, aber sie bekunden einen allgemeinen Verfall. Wir finden hier eine grosse Menge glatter, auf der Scheibe gedrehter Töpferwaare, welche, wenn man sie mit der in der vorhergehenden Stadt vergleicht, ganz modern aussieht. Ausserdem war die Lebensweise des Volkes, dem diese Schicht angehört, gänzlich von der seiner Vorfahren verschieden. Statt alle ihre Küchenreste auf den Boden ihrer Wohnräume zu werfen, schafften sie dieselben fort und schütteten sie den Bergabhang hinunter. Deshalb findet man in dieser Schuttschicht nur sehr selten die Schalen von Austern oder Muscheln, welche die Besucher in den Häusern der vierten Stadt in solchen wirklich ungeheuren Massen erblicken. Dass nun ein Volk plötzlich seine Lebensweise so vollkommen geändert haben sollte, erscheint vielleicht noch unmöglicher, als dass es plötzlich mit seiner Bauweise gewechselt oder plötzlich seine zahllosen steinernen Geräthschaften und Waffen weggeworfen und an deren Stelle solche

²³ Cf. Dörpfeld 1902: 103.

aus Bronze verwendet haben sollte. Diese lange Reihe von Thatsachen scheint ebenso viel Beweis dafür zu liefern, dass die Schuttschicht [...] einem neuen Volke angehört, unter dem indess ein Theil der alten Einwohner noch weiter lebte. Wir werden diese Niederlassung die Fünfte prähistorische Stadt von Troja nennen. Ob die alte Niederlassung erobert oder ob sie von ihren neuen Ansiedlern friedlich in Besitz genommen wurde, muss für immer ungewiss bleiben.«²⁴

2.2 Die Ausgrabungen der University of Cincinnati 1932–1938

Bereits unmittelbar nach Abschluß seiner Grabungsaktivitäten in Hisarlık sprach sich Dörpfeld für eine Weiterführung bzw. Wiederaufnahme der Untersuchungen in Troia und anderen Fundplätzen der Troas aus²⁵ und führte dementsprechend im Jahr 1924 in Zusammenarbeit mit Martin Schede, dem späteren Leiter der 1929 neu gegründeten Außenstelle des DAI in İstanbul,²⁶ Grabungen am Beşiktepe und dem Üvecik Tepe durch.²⁷ In der darauffolgenden Zeit wurden im Zuge einer allgemeinen Reduzierung der Ausgrabungsgenehmigungen insbesondere für im Bereich der Ägäisküste gelegene Fundorte keine Neuanträge für entsprechende Unternehmungen mehr durch die türkische Regierung bewilligt,²⁸ so daß schließlich erst wieder im April des Jahres 1931 Kurt Bittel im Auftrag des DAI İstanbul nach Troia entsandt wurde, um die Situation vor Ort und mögliche Ansatzpunkte weiterer archäologischer Ausgrabungen zu beurteilen,²⁹ Potential war hierfür insofern gegeben, als sowohl Schliemann wie auch Dörpfeld gezielt einige unausgegrabene Stellen im Inneren der Zitadelle zunächst als Meßmarken, dann aber auch zur weiteren Erforschung der oberen Schichtabfolgen des Hügels durch spätere Archäologen übrig gelassen hatten.³⁰

Noch im Herbst desselben Jahres wandte sich William T. Semple, damals Direktor des *Department of Classics* der Universität Cincinnati, nach mehreren Monaten der Planung und Vorbereitung an das DAI und ersuchte seinerseits um eine Grabungserlaubnis für Troia.³¹ Wenn auch von Seiten des DAI İstanbul selbst ein grundsätzliches Interesse an einer Fortführung der Grabungstätigkeiten in Troia bestand, gestattete der beschränkte finanzielle Etat des damals neu

²⁴ Schliemann 1881a: 640.

²⁵ Cf. Dörpfeld 1902: 23–25.

²⁶ Bittel 1979: 76–79; Hauptmann 1999: 35–36.

²⁷ Cf. Blegen 1932: 431.

²⁸ Blegen 1932: 431.

²⁹ Thumm 2002: 86; Thumm-Doğrayan 2006: 120.

³⁰ Dörpfeld 1902: 24–25: »Es scheint mir unsere Pflicht zu sein, einige Stellen des eigenartigen und für die Altertumswissenschaften so überaus wichtigen Hügels von Troja vorläufig unberührt zu lassen, damit spätere Generationen, welche sicherlich in der Technik des Ausgrabens noch geschulter und in der Beobachtung der verschiedenen Funde noch sorgfältiger sein werden als wir, durch neue Grabungen unsere Arbeiten controlieren und eventuell verbessern können. [...] Schon Schliemann hat im richtigen Gefühle dieser Pflicht einige Erdkegel im Inneren der Burg stehen gelassen, an denen die über der II. Burg lagernden jüngeren Schichten [...] nochmals untersucht werden können, [...]« Cf. Blegen *et al.* 1950: 8; Korfmann 1991: 12 u. Abb. 11–12; Mansfeld 1991: 35; Mansfeld 2001: 57–71 u. Abb. 1.6–27.

³¹ Blegen 1932: 431; Blegen *et al.* 1950: 3. Cf. Bittel 1998: 139.

gegründeten Instituts indessen nur die Durchführung eines einzigen groß angelegten Forschungsprojekts – Troia oder Hattuša/Boğazköy.³² Nach eingehenden Beratungen zwischen Semple, der auf seinem Weg nach Ankara zunächst in Berlin Station machte, um das von ihm anvisierte Projekt entsprechend vorzutragen, dem vormaligen Ausgräber Troias Dörpfeld sowie dem Präsidenten des Deutschen Archäologischen Instituts Gerhart Rodenwaldt,³³ fiel die Entscheidung des DAI schließlich zugunsten von Hattuša/Boğazköy, wo Bittel daraufhin die Leitung der Grabungen übernahm.³⁴ Die Grabungsgenehmigung für Troia wurde von Dörpfeld, der das DAI gewissermaßen als seinen Nachfolger eingesetzt hatte,³⁵ nominell auf die Universität Cincinnati übertragen,³⁶ die noch im selben Jahr die offizielle Autorisierung für eine Aufnahme der Arbeiten im darauf folgenden Jahr bei der türkischen Regierung in Ankara einholte;³⁷ nachhaltige Unterstützung erfuhr das amerikanische Team bei seinen diesbezüglichen Bestrebungen durch Hâmit Zübeyr Koşay, den damaligen Direktor des Türkischen Archäologischen Diensts.³⁸

Zwar sollten die geplanten Untersuchungen vollkommen unabhängig und von Bestehendem möglichst unbeeinflusst durchgeführt werden; dennoch hielt man an den bereits existierenden Bindungen zu früheren Ausgräbern grundsätzlich fest und führte die Arbeiten stets in enger Zusammenarbeit mit dem DAI aus.³⁹ So besuchte etwa in den Jahren 1932 und 1933 Dörpfeld selbst die Grabungen jeweils für die Dauer eines Monats und verfolgte den Fortgang der Aktivitäten 1934, 1935 und 1937 jeweils für kürzere Zeit vor Ort.⁴⁰ Auch wurde die Dokumentation der verbliebenen Überreste des Athenatempels von Ilion mit Zustimmung der amerikanischen Grabungsleitung dem DAI Istanbul übertragen. Zur Aufnahme der Tempelarchitektur beteiligte sich daher der Architekt Hans Schleif an der Kampagne des Jahres 1933,⁴¹ von 1932 bis 1935 wurde Friedrich Wilhelm Goethert beauftragt als Vertreter des Deutschen Archäologischen Instituts an den Grabungen in Troia teilzunehmen.⁴²

Die archäologischen Untersuchungen der Universität Cincinnati, die am 1. April 1932 aufgenommen und bis Juli 1938 fortgeführt wurden,⁴³ wurden zwar auf die Initiative von William T. Semple und dessen Frau Louise Taft Semple hin unternommen und mit vergleichsweise großzügiger finanzieller Unterstützung bedacht,⁴⁴ als designierter »*Field Director*« war der am

³² Bittel 1998: 480, 492–493.

³³ Blegen 1932: 431; Blegen 1933a: 188.

³⁴ Blegen 1932: 431; Rodenwaldt 1935: 312; Goessler 1951: 211. Cf. Bittel 1998: 139, 143.

³⁵ Thumm 2002: 86 Anm. 15; Thumm-Doğrayan 2006: 120.

³⁶ Bittel 1954: 435. Cf. Blegen 1932: 431; Blegen 1934a: 223; Blegen 1935a: 6; Blegen 1935c: 550; Blegen 1937a: 41; Blegen 1937b: 553; Blegen 1939: 204; Blegen *et al.* 1950: 3–4.

³⁷ Blegen 1932: 431; Blegen 1935a: 6; Blegen 1935b: 550; Blegen 1937a: 17; Blegen 1937b: 553; Bittel 1998: 201; Thumm 2002: 97.

³⁸ Blegen *et al.* 1950: 3–4. Cf. Çiğ 1993: 518–520.

³⁹ Blegen 1932: 431; Blegen 1933a: 187; Blegen 1935a: 6; Blegen 1935b: 550; Blegen 1937a: 17.

⁴⁰ Blegen 1933a: 188; Blegen 1937a: 17; Blegen 1937b: 553; Blegen *et al.* 1950: 4. Cf. Goessler 1951: 211.

⁴¹ Blegen 1933a: 187; Rodenwaldt 1935: 312–313; Goethert/Schleif 1962: vii. Vgl. Schleif 1933: *passim*.

⁴² Blegen *et al.* 1950: 4; Goethert/Schleif 1962: vii; Bittel 1998: 480, 492.

⁴³ Blegen 1934a: 223; Blegen *et al.* 1950: 4.

⁴⁴ Blegen *et al.* 1950: 3; Thumm 2002: 85. In diesem Zusammenhang s. auch Blegen 1932: 431; Blegen 1933a: 187; Blegen 1934a: 223; Blegen 1934b: 61; Blegen 1935a: 6; Blegen 1935b: 300; Blegen 1935c: 550; Blegen 1937a: 41; Blegen 1937b: 553; Blegen 1939: 204; Goessler 1951: 211.

27. Januar 1887 in Minneapolis, Minnesota, geborene Carl William Blegen indessen der eigentliche Leiter des Grabungsprojekts⁴⁵ und zeichnete entsprechend auch verantwortlich für die in den 1950er-Jahren in vier monographischen Bearbeitungen erschienene Endpublikation der Forschungsergebnisse.⁴⁶ Wenn auch der Fundort Troia selbst von Anfang an im Mittelpunkt der Untersuchungen stand, wurde die Unternehmung allgemein unter dem Titel »*University of Cincinnati Excavations in the Troad*« eingeführt.⁴⁷

Die Notwendigkeit einer Wiederaufnahme der Ausgrabungen sah man insofern gegeben, als daß in den vier Jahrzehnten nach Abschluß der Arbeiten Dörpfelds in Troia im Bereich der Ägäis und des östlichen Mittelmeerraums – so etwa auf Kreta, den Kykladen, dem griechischen Festland, in Makedonien sowie im Bereich der kleinasiatischen Westküste und Zyperns – eine Vielzahl weiterer prähistorischer Siedlungsplätze mit erweiterten archäologischen Methoden erforscht worden war und sich ein nicht unbeträchtlicher Fortschritt hinsichtlich der Kenntnis vorklassischer Kulturen abzeichnete.⁴⁸ Nicht zuletzt auch durch die Ausgrabungsergebnisse von Arthur Evans in Knossos ergab sich in Kombination mit Resultaten anderer Fundplätze nun erstmals die Möglichkeit, die siedlungsgeschichtliche Entwicklung der Region ohne allzu große Lücken bis in das zweite und dritte Jahrtausend v. Chr. hinein plausibel nachzuvollziehen.⁴⁹ Troia war in der Zwischenzeit jedoch mehr oder weniger unbeachtet geblieben und lag nur mehr im Randbereich der jüngsten Entdeckungen,⁵⁰ zumal es sich als unmöglich erwies, auf der Grundlage des bis dahin in der Hauptsache von Schliemann und Dörpfeld vorgelegten Materials festzustellen, wie die bestehende Abfolge der troianischen Siedlungen, die »neun Städte« Dörpfelds,⁵¹ mit den mittlerweile neu etablierten Perioden und Subperioden der ägäischen Bronzezeit korrespondierten, um auf diese Weise gegebenenfalls eine Einbettung in das stark modifizierte und weiter entwickelte chronologische Rahmensystem vornehmen zu können.⁵² Wohl war es Dörpfeld beispielsweise bereits 1890 anhand der in den Troia VI- und Troia VIIa-zeitlichen Akkumulationen des Hauses VI A enthaltenen mykenischen Keramik hinreichend gelungen, die Gleichzeitigkeit des spätbronzezeitlichen Troias mit den entsprechenden kulturellen Phänomenen in Mykene und Tiryns allgemein aufzuzeigen, indessen stand eine präzise

⁴⁵ Zu ergänzenden biographischen Daten s. Thumm 2002: 86–87.

⁴⁶ Blegen *et al.* 1950: 24–26; Blegen *et al.* 1951: viii. Cf. Thumm 2002: 101–102. Nach jährlichen Vorberichten wurde 1950, also 12 Jahre nach Abschluß der Grabungsaktivitäten, der erste Band der Publikationsreihe vorgelegt. Dieser enthält neben einer allgemein gehaltenen Einführung zu Themen wie Organisation des Unternehmens, Mitarbeiterstab, Zielsetzung, angewandte Grabungsmethoden etc. eine umfassende Vorlage der Befunde und Funde der Perioden Troia I und Troia II. »*Troy II*« beschäftigt sich mit den Perioden Troia III, Troia IV und Troia V, der Band »*Troy III*« war ausschließlich der Periode Troia VI vorbehalten; die abschließende Publikation »*Troy IV*« behandelt Troia VII und Troia VIII: Blegen *et al.* 1950: *passim*; Blegen *et al.* 1951: *passim*; Blegen *et al.* 1953: *passim*; Blegen *et al.* 1958: *passim*. Ergänzend dazu wurden in der Folgezeit verschiedene Supplementbände und Beiträge zu vorwiegend antiken und naturwissenschaftlichen Fragestellungen publiziert: Angel 1951: *passim*; Bellinger 1961: *passim*; Burr Thompson 1963: *passim*; Rapp/Gifford 1982: *passim*; Gejvall 1938: *passim*; Gejvall 1939: *passim*.

⁴⁷ Blegen *et al.* 1950: 3.

⁴⁸ Blegen 1932: 432; Blegen 1933a: 188; Blegen 1934a: 223–224; Blegen *et al.* 1950: 5.

⁴⁹ Cf. Montelius 1924: 11–180.

⁵⁰ Blegen 1932: 432. Cf. Goessler 1951: 211; Thumm 2002: 85.

⁵¹ Dörpfeld 1894: 86–87; Dörpfeld 1902: 26–35. Cf. Korffmann 2001a: 347–354.

⁵² Blegen 1932: 432.

Festlegung des zeitlichen Kontaktpunkts weiterhin aus: »Gleichwohl ist das Gebäude für die trojanischen Alterthümer von sehr grosser Bedeutung, denn innerhalb desselben und in der zugehörigen Schuttschicht sind mehrere mykenische Vasen und Vasenscherben gefunden worden [...]. Durch diese Thatsache ist nicht nur diese Schicht selbst einigermassen datirt, sondern wir dürfen weiter den sicheren Schluss ziehen, dass die zweite Schicht von unten [...] älter sein muss als diese Schicht mit den mykenischen Gefässen. Wie gross der Altersunterschied ist, lässt sich allerdings nicht bestimmen, jedoch kann er nicht sehr klein gewesen sein, denn zwischen jenen beiden Schichten liegen noch drei Schichten ärmlicher Ansiedlungen. Ueber die relative Datirung kommen wir leider nicht hinaus, weil sich für das Vorkommen der mykenischen Vasen und speciell der Bügelkannen bis jetzt keine untere Zeitgrenze angeben lässt.«⁵³ In vergleichbarer Weise konnte ebenso für die früheren Siedlungen Troias weder eine befriedigende Synchronisation mit dem ägäischen Chronologiesystem hergestellt werden noch waren in den Grabungen Schliemanns und Dörpfelds die kulturellen Kontakte der Troas in den jeweils betreffenden Zeithorizonten zu benachbarten Regionen ausreichend thematisiert worden.⁵⁴ Dies erwies sich als überaus problematisch, da bei den vielzähligen Versuchen eine absolute Chronologie für die verschiedenen Epochen der europäischen Ur- und Frühgeschichte zu erstellen, in zunehmenden Maße auf – oft aus zweifelhaftem Fundkontext stammende und entsprechend häufig unzureichend datierte – troianische Funde als Vergleichs- bzw. Analogiegut zurückgegriffen wurde.⁵⁵

Nach dem Resultat der Voruntersuchungen Bittels zu schließen, bestand Grund zur Annahme, daß für eine intensive Nachuntersuchung und mögliche Differenzierung der stratigraphischen Verhältnisse der Perioden Troia I bis Troia V grundsätzlich noch genügend aussagefähiges Material in der verbliebenen Substanz des Siedlungshügels zur Verfügung stand. Zunächst galt es daher, anhand der vorliegenden Dokumentation älterer Grabungen ungestörte Bereiche von solchen, die durch frühere Bodeneingriffe strukturell beeinträchtigt worden waren, zu isolieren und diese gemäß ihres potentiellen Informationsgehalts hinsichtlich einer weitergehenden Untersuchung zu bewerten.⁵⁶ Von einer feinstratigraphischen Analyse der Siedlungsschichten versprach man sich primär, die für die jeweiligen Strata kennzeichnenden Befunde und Fundmaterialien herausarbeiten und zum arealübergreifenden Vergleich bzw. zur Datierung stratigraphischer Abfolgen ohne direkte räumliche Anbindung an die Sequenz anderer Bereiche einsetzen zu können. Zudem sollte solch eine siedlungsinterne »typologische Reihe« allgemein die kulturspezifischen Eigenschaften der Siedlungen Troia II bis Troia V herausstellen, die in den Grabungen der Vorgänger nicht klar spezifiziert worden waren,⁵⁷ sowie die Grundlage für eine schärfere Abgrenzung der Siedlungsperioden Troia II zu Troia III, Troia V zu Troia VI und Troia VIIa zu Troia VIIb bilden.⁵⁸ Darüberhinaus beabsichtigte man, das neu anfallende Fundgut auf eventuell verge-

⁵³ Dörpfeld 1890: 59–60. Cf. Schliemann 1881b: 40–42; Schliemann 1886: 56, 63, 95–158; Dörpfeld 1902: 281–289.

⁵⁴ Blegen *et al.* 1950: 5.

⁵⁵ Stellvertretend hierfür s. Montelius 1892/1893: 19–22; Montelius 1900: 88 Anm. 5, 100 u. Fig. 263, 155–163; Montelius 1912: 149 u. Fig. 335. Cf. Childe 1939: 6; Caskey 1948: 119–122.

⁵⁶ Blegen 1935a: 6; Blegen *et al.* 1950: 6.

⁵⁷ Blegen 1934b: 62.

⁵⁸ Blegen 1934a: 223; Blegen *et al.* 1950: 5.

sellschaftete Importstücke hin zu untersuchen, um auf der Basis der externen Verbindungen des früh-, mittel und spätbronzezeitlichen Troia zu besser datierten Regionen eine möglichst genaue absolutchronologische Ansprache der einzelnen Perioden, Phasen und Subphasen im Sinne der neuen ägäischen Chronologie für die ägäische Bronzezeit zu ermöglichen.⁵⁹

Neben der umfassenden Klärung stratigraphisch-chronologischer Fragestellungen sollte die Suche nach vorklassischen Gräbern in der näheren Umgebung Troias zu einem weiteren Aspekt der amerikanischen Unternehmung gemacht werden.⁶⁰ Zwar hatten bereits Schliemann und Dörpfeld nicht wenig Energie hierfür aufgebracht, jedoch erwiesen sich ihre diesbezüglichen Untersuchungen – von der Auffindung zweier Urnenbestattungen südlich der »Unterstadt« von Troia VI abgesehen⁶¹ – im Grunde als vergebens; das Fehlen früher Friedhöfe im näheren und weiteren Umfeld des Siedlungsgebiets⁶² stellte somit ein nicht zu übersehendes, mitunter auch als fundstatistische Lücke im Gesamterscheinungsbild des Platzes verstandenes Phänomen dar und markierte einen der augenfälligsten Unterschiede zwischen Troia und der übrigen ägäischen Welt.

Zu einem dritten Aufgabenbereich der *University of Cincinnati Excavations in the Troad* wurde die systematische Untersuchung der Landschaft – oder zumindest des nordwestlichen Teils davon – nach anderen, bislang unbekanntem klassischen und vorklassischen Stätten bestimmt, d. h. es wurde versucht, nach Möglichkeit alle weiteren Siedlungsplätze, Monumente und Nekropolen im regionalen Umfeld Troias durch Feldbegehungen ausfindig zu machen, diese entsprechend zu kartieren⁶³ und anhand des verfügbaren Fundmaterials zeitlich einzuordnen. Ergänzend dazu war geplant in einigen wichtiger erscheinenden Plätzen gezielt Suchschnitte anzulegen,⁶⁴ vor allem dann wenn diese bei der in der Vergangenheit mitunter kontrovers geführten Debatte über die Identifikation bzw. die Lokalisierung Troias direkt oder indirekt eine Rolle gespielt hatten oder gar selbst als Alternative zu dem Hügel von Hisarlık in die Diskussion eingebracht worden waren.⁶⁵

2.2.1 Grabungsmethoden

Gemäß der Arbeitsaufteilung bei den archäologischen Ausgrabungen der *University of Cincinnati*, wurde jedes zur weiteren Untersuchung bestimmte Grabungsareal von mindestens einem

⁵⁹ Blegen 1932: 432. Cf. Bittel 1941: 299–307; Bittel 1942: 135–138.

⁶⁰ Blegen 1932: 432; Blegen 1934a: 223; Blegen 1935a: 6–7; Blegen 1935a: 26–31; Blegen 1935c: 51; Blegen *et al.* 1950: 7; Thumm-Doğrayan 2006: 120.

⁶¹ Cf. Dörpfeld 1894: 124; Dörpfeld 1902: 536.

⁶² Cf. Becks 2002: 295.

⁶³ Blegen *et al.* 1950: Fig. 415.

⁶⁴ Als Vertreter des Unterrichtsministeriums führte Koşay, der ab 1930 das Amt des Generaldirektors der Antikenverwaltung bekleidete, zusammen mit Jerome Sperling und 12 weiteren Arbeitern im Jahr 1934 Sondagen an vier verschiedenen Plätzen durch: am Ballı Dağ, in Eski Hisarlık, am Kara Tepe sowie am Kumtepe; letztgenannter war erst im März 1934 von John L. Caskey und Sperling bei Geländebegehungen entdeckt worden: Blegen 1935a: 31; Blegen 1935b: 303–305; Blegen *et al.* 1950: 7. Vgl. Blegen 1932: 431–432; Blegen 1934a: 223–224; Sperling 1976: 305–308. Cf. Bittel 1998: 199–200; Akurgal 1999: 16.

⁶⁵ Blegen *et al.* 1950: 5; 7. Cf. Thumm 2002: 97.



Abb. 8
Besucher und Mitglieder der Grabungsmannschaft im Jahr 1935: (v. l.) John L. Caskey, Peter Goessler, Margo Týtus, Carl W. Blegen, Jerome Sperling, Louise Taft Semple, Dorothy Rawson, Wilhelm Dörpfeld, Lewey T. Lands, Remzi O. Arık, Marion Rawson, William T. Semple (Bildarchiv Univ. Cincinnati 35 S 4.1).

Mitglied der Grabungsmannschaft betreut,⁶⁶ dem eine jeweils unterschiedliche Anzahl an zu meist aus den umliegenden Dörfern Çıplak, Halileli, Hisarlık⁶⁷ und Kalafatlı stammenden Grabungshelfern zur Seite gestellt wurde.⁶⁸ Für die Untersuchung der Bereiche mit Fundmaterial der Perioden Troia III bis Troia V ergab sich folgende personelle Aufteilung: Für die Ausgrabungsaktivitäten in Quadrat E 6 übernahm während der Kampagne des Jahres 1932 Walter A. Hurtley, damals Assistent an der *British School of Archaeology at Athens*, die Verantwortung.⁶⁹ Assistent wurde er während des betreffenden Zeitraums von Friedrich W. Goethert. In den Jahren 1933–1938 übernahm dann Marion Rawson die Leitung des Areals.⁷⁰ Unterstützt von John L. Caskey beaufsichtigte die Architektin Dorothy Cox 1932 die in den Quadraten F 7/8 durchgeführten Arbeiten,⁷¹ von 1933–1938 wurde dort von John L. Caskey ausgegraben,⁷² der 1933 von Jerome Sperling und 1935 von Margo Taft assistiert wurde.⁷³ Caskey führte darüber hinaus Untersu-

⁶⁶ Allgemein dazu s. Blegen *et al.* 1950: 4–5, 8–19; Thumm 2002: 89–91.

⁶⁷ Heute Tefkiye.

⁶⁸ Blegen 1932: 433, 451; Blegen 1933b: 8; Blegen *et al.* 1950: 5; Blegen *et al.* 1951: viii. Cf. Bittel 1998: 173–174; Thumm 2002: 95–97.

⁶⁹ Blegen 1932: 434; Blegen 1933a: 188; Blegen 1934a: 226.

⁷⁰ Blegen 1934a: 227; Blegen 1935a: 7; Blegen 1935c: 553; Blegen 1937a: 21; Blegen 1937b: 558; Blegen *et al.* 1951: viii.

⁷¹ Blegen 1932: 437; Blegen 1933a: 188, 192; Blegen 1934a: 232; Blegen 1935a: 14; Blegen 1935b: 301; Blegen 1935c: 567; Blegen 1937a: 29.

⁷² Blegen 1934a: 232; Blegen 1935b: 301; Blegen 1937b: 570.

⁷³ Blegen 1934a: 232; Blegen 1935c: 565.

chungen in den Quadraten G 6, GH 7 und HJ 6/7 (Haus VI F) durch,⁷⁴ während Blegen selbst die Grabungen in Quadrat J 6 (Haus VI E) unternahm. Die Ausgrabungen in den aufgrund ihrer isolierten Lage als »island« bezeichneten Quadraten F 4/5 wurden von Beginn an von Marion Rawson beaufsichtigt,⁷⁵ ihre Schwester Dorothy Rawson wurde hingegen in Quadrat A 8 tätig; C 8 wurde von Elizabeth Blegen betreut.⁷⁶ Mit den Arbeiten in den Quadraten z 5 und A 4/5 war während der Kampagnen 1934 und 1935 Goethert beschäftigt,⁷⁷ Cedric Boulter führte die dortigen Untersuchungen im Jahr 1937 fort und brachte sie entsprechend zum Abschluß (Abb. 8).⁷⁸

Ein generelles Problem, mit dem man sich bereits zu Beginn der Wiederaufnahme der Grabungsaktivitäten konfrontiert sah, stellte die Beseitigung des Abraums dar. Es galt nicht nur, je nach Arbeitsbereich zunächst größere Mengen des schon bei früheren Bodeneingriffen entstandenen Schutts zu verlagern, den man insbesondere im Bereich der östlichen und südlichen Peripherie der Zitadelle zu großen Hügeln angeschüttet hatte (Abb. 9),⁷⁹ sondern auch die neu anfallenden Erdmassen ohne allzu großen logistischen Aufwand abzutransportieren und schließlich so zu deponieren, daß sie eventuelle weitere Unternehmungen nach Möglichkeit wenig behinderten.⁸⁰ Mit dem Erwerb eines leichten Schienensystems und dem Einsatz handbetriebener Lohren ab 1934 konnte – wie zuvor auch bei den Grabungen von Schliemann und Dörpfeld⁸¹ – indessen ein Großteil der diesbezüglichen Schwierigkeiten bewältigt werden (Abb. 10):⁸² Schutt von der südlichen und westlichen Seite des Siedlungshügels wurde grundsätzlich im Bereich des westlichen Abhangs angeschüttet, derjenige von den östlichen Grabungsarealen wurde stets über die steile Geländekante des Plateaurückens im Nordosten der Zitadelle abgekippt; Erde der Ausgrabungen im Quadrat E 6 und anderen zentralen oder aber im Gebiet der nördlichen Flanke gelegenen Areale schüttete man hingegen über die Böschung auf der Nordseite des Hügels.⁸³

Überall dort, wo man im Zuge der eingehenden stratigraphischen Untersuchung der Schichtenabfolge im Siedlungshügel auf noch ungestörte Ablagerung der frühen und beginnenden mittleren Bronzezeit zu stoßen hoffte, ging man bei den Eingriffen in die erhaltene Substanz mit einem – gemessen am damals allgemein üblichen Standard – Höchstmaß an grabungstechnischer Sorgfalt vor, um den jeweils festzustellenden Befunden gegebenenfalls ein Maximum an

⁷⁴ Blegen 1935a: 17; Blegen 1935b: 301; Blegen 1939: 211. Bei den Vorbereitungen zur abschließenden Publikation des Fundmaterials der Perioden Troia III–Troia V übernahm Caskey die Zeichenarbeiten für die Quadrate F 7–9, G 6, GH 7 und HJ 6/7, die Zeichnungen für die Quadrate E 6 und F 4/5 wurden von M. Rawson angefertigt, diejenigen für die Quadrate A 4/5, A 8, C 8 und J 6 von Blegen. Die Analyse der Keramik, der Kleinfunde und der dekorativen Elemente wurde im wesentlichen von M. Rawson erstellt; die fotografische Dokumentation der Kleinfunde und Keramikobjekte wurde ebenfalls von Caskey übernommen: Blegen *et al.* 1951: vii.

⁷⁵ Blegen 1937b: 562.

⁷⁶ Blegen 1934a: 238.

⁷⁷ Blegen 1935a: 23; Blegen 1935b: 304.

⁷⁸ Blegen *et al.* 1951: viii. Cf. Thumm-Doğrayan 2006: 121.

⁷⁹ Blegen 1934a: 247. Cf. Dörpfeld 1902: Beil. 1.

⁸⁰ Blegen *et al.* 1950: 20.

⁸¹ Dörpfeld 1902: Beil. 6; 13; 16; 24; 30; Thumm 2002: 93; Hertel 2003: HV b.

⁸² Blegen *et al.* 1950: Fig. 98–100, 103, 113; Blegen *et al.* 1951: Fig. 3, 32, 35, 134, 232; Blegen *et al.* 1953: Fig. 10, 15, 61, 71, 75, 161, 238–241; Blegen *et al.* 1958: Fig. 59, 60, 62, 84, 131, 146, 193, 203, 207.

⁸³ Blegen *et al.* 1950: 20.



Abb. 9
Schutt der Ausgrabungen von Schliemann und Dörpfeld von NO (Grabungsphoto Dörpfeld, DAI Athen, Troja Neg. 504).



Abb. 10
Ab 1934 zur Abraum-
beseitigung eingesetzt
Schienensystem
mit handbetriebenen
Lohren (Blegen *et al.*
1950: Fig. 97).

aussagekräftigen Informationen entnehmen zu können.⁸⁴ Die notwendigen Abtragungsarbeiten wurden daher in aller Regel auch nur von einigen wenigen, teilweise gezielt für diese Tätigkeit ausgebildeten Grabungshelfern durchgeführt,⁸⁵ die unter der ständigen Aufsicht eines Mitglieds

⁸⁴ Dörpfeld 1936: 5; Goessler 1951: 224. Cf. Bittel 1998: 178, 181, 493; Thumm 2002: 93.

⁸⁵ Blegen 1932: 433 »Actual digging [...] was begun on May 1, and operations were vigorously pursued during the months of May and June, with an average force of approximately 100 laborers, recruited mainly from the neighboring villages [...]. None of them was experienced in archaeological digging, but their native intelligence and uniform good will made them quick to learn, and by the end of the season many had become well-trained workmen.« S. hierzu auch Blegen 1935a: 7; Blegen *et al.* 1950: 5 »In this connection should likewise be mentioned the devotion of our workmen: for the most part the same group of laborers formed the nucleus of our force through all seasons from beginning to end, and the skillful help given by these veterans who dug year after year in the same areas was of inestimable value.«

der Grabungsmannschaft standen, dem die Verantwortung über das betreffende Areal während der Kampagne zugeteilt war und dessen Aufgabenspektrum überdies die Anfertigung täglicher Notizen und – je nach Erfordernis – Skizzen von den im Arbeitsbereich gemachten Beobachtungen umfaßte.⁸⁶ Auf den Einsatz langstieliger Spitzhacken wurde nach Möglichkeit verzichtet, da sich diese in Anbetracht der minuter doch sehr feinen Schichtablagerung speziell im Zitatelleninneren als inadäquat erwiesen hatten; verwendet wurden dahingegen kurze Handhacken, Kellen, sowie gelegentlich auch Messer (Abb. 11).⁸⁷ Die fotografische Dokumentation der Außenarbeiten war in erster Linie als Ergänzung zu den Tagebucheinträgen gedacht und wurde stets von verschiedenen Mitarbeitern übernommen; lediglich die Innenaufnahmen wurden allein von Caskey erstellt.⁸⁸ Marion Rawson fertigte darüber hinaus einen Film an, auf dem die wesentlichen Aktivitäten in den zentralen Ausgrabungsarealen von Anfang der Grabung bis zum Ende festgehalten wurde.⁸⁹

Noch vor der eigentlichen Untersuchung eines zur Ausgrabung bestimmten Areals legte man in diesem zunächst einen schmalen Suchschnitt an, um so einen ersten Eindruck von der spezifischen Stratifikation des Bereichs zu erhalten.⁹⁰ Bei den daran anschließenden Abtragungsarbeiten orientierte man sich weitestgehend an den verschiedenen, im Profil zu erkennenden Ein-

Abb. 11
Ein Grabungshelfer
bei der Freilegung
einer Herdstelle in
Quadrat F 8 (Blegen
et al. 1951: Fig. 192).



⁸⁶ Blegen *et al.* 1950: 20; Thumm 2002: 92–93.

⁸⁷ Blegen 1934a: 227; Blegen *et al.* 1950: 20.

⁸⁸ Blegen *et al.* 1950: 20.

⁸⁹ Thumm 2002: 90 u. Abb. 4.

⁹⁰ Cf. Blegen 1932: 433; Blegen 1933a: 187–190; Blegen 1934b: 61–62.

zelschichten,⁹¹ die man ihrem Verlauf entsprechend separat voneinander entfernte. Falls sich im Profil jedoch keine klar differenzierbaren Straten abzeichneten, erfolgten alle weitergehenden Untersuchungen in künstlichen Abhüben von jeweils 10–15 cm.⁹² Stieß man auf eine Mauer, wurde für gewöhnlich ein im rechten Winkel auf diese zulaufender Schnitt angelegt. Mit dessen Hilfe versprach man sich die stratigraphische Relation der betreffenden Struktur zu den unmittelbar umgebenden Depositionen klären zu können, was in einem weiteren Schritt wiederum zur Grundlage einer chronologischen Bewertung der architektonischen Einheit und der unmittelbar mit dieser in Zusammenhang stehenden Elemente gemacht werden sollte; in vielen Fällen zeichneten sich in diesen zudem noch die Umrisse der in den Boden eingetieften Fundamentgruben ab, die bei der Errichtung der Baukörper zunächst angelegt worden waren.⁹³

Da Blegen grundsätzlich darauf verzichtete, das alte, von Dörpfeld erstellte Vermessungssystem zu rekonstruieren, wurden die neuen Grabungsbefunde nur von markanten Punkten innerhalb des Ruinengeländes aus eingemessen,⁹⁴ die generelle Einteilung des Ausgrabungsareals in Quadrate wurde indessen unverändert beibehalten;⁹⁵ als Fixpunkt für die Nivellierung der Befunde und Funde diente die Oberkante des bei einer absoluten Höhe von ▼ 30,79 m ü. NN gelegene Schwellsteins des Propylon II C in Planquadrat E 5 (Abb. 12).⁹⁶ Insgesamt zeichneten sich bei einer Überprüfung des bereits bestehenden Vermessungssystems verschiedene Diskrepanzen ab. Allerdings erwiesen sich diese allgemein von geringerer Bedeutung und konnten entsprechend vernachlässigt werden.⁹⁷ Überall dort, wo sich nach Abschluß der Ausgrabungsarbeiten ein stratigraphisch aussagefähiges Profil abzeichnete, wurden vom Architekten des Grabungsteams detaillierte Zeichnungen und Skizzen angefertigt;⁹⁸ auf dieselbe Weise dokumentierte man ebenso alle Mauern, Mauerkomplexe und Gebäude.⁹⁹

Alle geborgenen Objekte – selbst, wenn es sich bei diesen auch um scheinbar unbedeutende Keramikfragmente, Tierknochen, Muscheln etc. handelte – wurden gesammelt und entsprechend ihrer Schichtzugehörigkeit gelagert. Sobald die Fundstücke in größeren Stückzahlen angetroffen wurden, bewahrte man diese zunächst in größeren geflochtenen Körben auf;¹⁰⁰ wenn es sich jedoch nur um wenige Gegenstände handelte, wurden diese in kleineren Holzkästen, Stoffsäckchen oder, falls es sich um sehr kleine Funde handelte, in Pillendosen verpackt (Abb. 13).

⁹¹ Blegen *et al.* 1950: 20.

⁹² Blegen *et al.* 1950: 20.

⁹³ Cf. Blegen *et al.* 1950: Fig. 18; Blegen 1937b: 594.

⁹⁴ Die Vermessungsarbeiten in den einzelnen Arealen wurden von 1935–1938 vom Architekten Lewey T. Lands übernommen, ein Teil der Pläne und Schnittzeichnungen wurde zudem von Cox gezeichnet: Blegen *et al.* 1951: ix.

⁹⁵ Blegen *et al.* 1950: 20; Korfmann 1991: 4–5.

⁹⁶ Cf. Dörpfeld 1902: Fig. 22, 23, 24 u. Beil. 3.

⁹⁷ Cf. Messmer 1992: 72–74; Klinkott 2004: 33–34.

⁹⁸ Blegen *et al.* 1950: 20.

⁹⁹ In die Endpublikationen der *University of Cincinnati Excavations in the Troad* wurden im Grunde alle wichtigen architektonischen Elemente in Form von maßstabgerechten Steinplänen aufgenommen. In zahlreichen Fällen wurde ergänzend dazu eine schematische Umsetzung der betreffenden Zeichnungen vorgelegt, um die stratigraphische bzw. relativchronologische Abfolge der einzelnen Konstruktionsphasen zu veranschaulichen: Blegen *et al.* 1950: 20–21. S. hierzu beispielsweise Blegen *et al.* 1951: Fig. 263–318; Blegen *et al.* 1953: Fig. 452–512.

¹⁰⁰ Blegen *et al.* 1953: Fig. 164, 263.

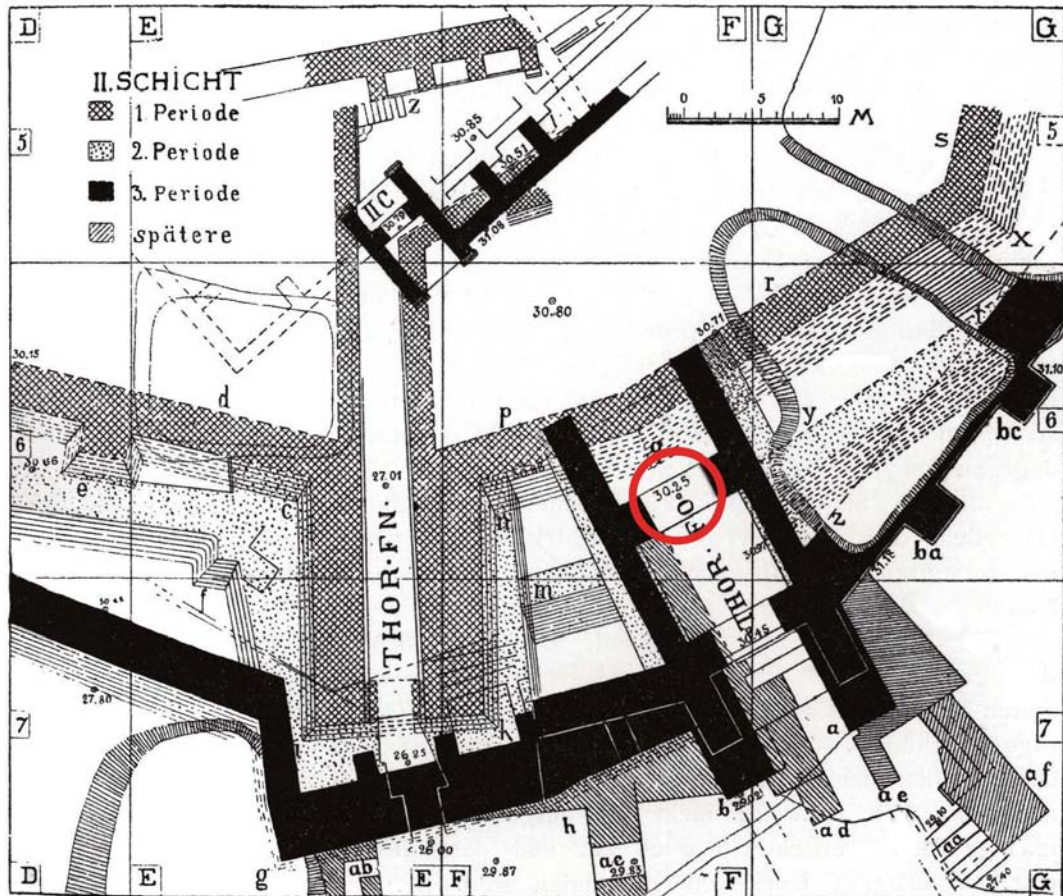


Abb. 12
Schwellstein des
Propylons II C in
Quadrat E5 (Dörpfeld
1902: Fig. 22).

Grundsätzlich wurde jedes Behältnis mit einem Holzschild versehen, auf dem man alle areal-spezifischen Daten, wie etwa Arealnummer, Abtragsnummer, Bergungsniveau, das Grabungsdatum oder gegebenenfalls eine Tagebuchreferenz, vermerkte.¹⁰¹ Allabendlich wurden die geborgenen Fundstücke auf die verschiedenen Arbeitsbereiche verteilt. Die Transportkörbe übergab man dem Waschpersonal, das jede Fundeinheit gesondert in Wasser wusch und Keramikfragmente von Knochen trennte (Abb. 14).¹⁰² Ein Großteil des aus stratifizierten Fundkontexten stammenden Scherbenmaterials wurde in einem zweiten Schritt in einer schwachen Salzsäurelösung gereinigt und dann nochmals mit Wasser gewaschen. Im Anschluß an die Trocknung wurden die keramischen Fragmente den sogenannten »potmenders« übergeben, eine Gruppe von zwischen drei bis vier Keramikrestauratoren, die überwiegend an einer lokalen Restauratorenschule ausgebildet worden waren.¹⁰³ Deren Hauptaufgabe bestand darin, die einzelnen Keramikkomplexe nach Form und Warengattung zu sortieren und nach anpassenden Stücken zu suchen. Ließen sich mehrere Einzelfragmente zu einer größeren Partie des ursprünglichen Ge-

¹⁰¹ Allgemein dazu s. Thumm 2002: 93–95.

¹⁰² Blegen *et al.* 1950: Fig. 20; Thumm 2002: Abb. 6, 7.

¹⁰³ Blegen *et al.* 1950: 20.



Abb. 13
Gruppierung und
Lagerung der Klein-
und Keramikfunde
(Blegen *et al.* 1950:
Fig. 22).

fäßes zusammensetzen, fügte man diese unter Zuhilfenahme des Klebstoffs Schellack aneinander, eventuell vorhandene Fehlstellen wurden mit Gips ergänzt.¹⁰⁴ Parallel dazu entstanden umfangreiche Inventarlisten, in denen neben den zahlreichen annähernd oder ganz wiederherstellbaren Gefäßen auch die Einzelscherben, die man mit einer individuellen Inventarnummer kennzeichnete, mit großer Sorgfalt verzeichnet wurden; auf dieselbe Weise verfuhr man auch mit allen anderen Kleinfunden mit Ausnahme der Münzen, die stets unbeschriftet blieben. Unbearbeitet blieben vorläufig die Tierknochen, die erst in den Jahren 1937 und 1938 von Nils-Gustaf Gejvall aufgenommen und systematisch ausgewertet wurden,¹⁰⁵ jedoch wurde – ähnlich wie bei der Keramik – eine ebenfalls in Listen erfaßte Schausammlung repräsentativer Stücke angelegt.¹⁰⁶ Die Analyse der menschlichen Knochen erfolgte in den gleichen Jahren durch J. Lawrence Angel in Istanbul.¹⁰⁷ Für die damalige Zeit vollkommen unüblich, ordnete Blegen ab 1937 die Entnahme von Erdproben an,¹⁰⁸ auch wenn deren potentieller Informationsgehalt noch nicht einzuschätzen war.¹⁰⁹ Bearbeitet wurden die insgesamt 356 Proben 1975 von John

¹⁰⁴ Cf. Thumm 2002: Abb. 8.

¹⁰⁵ Gejvall 1938: *passim*; Gejvall 1939: *passim*. Cf. Blegen *et al.* 1950: 4.

¹⁰⁶ Blegen *et al.* 1950: 20.

¹⁰⁷ Angel 1951: *passim*.

¹⁰⁸ Blegen *et al.* 1950: 17.

¹⁰⁹ Caskey 1982: vii »When Carl Blegen asked some of his younger colleagues and assistants to collect samples of deposits still accessible, we wondered why. This was in 1937, during a long season of strenuous excavation and recording, near the end of the archaeological enterprise. He told us quite frankly that he did not know what would be done with the samples, or by whom, or what scientific value they might prove to hold. »But let's do it now. We are here; we know the site; technical knowledge is advancing in all related fields. Something useful may come out of it if we have the materials. Later it may not be possible to collect them.«

A. Gifford, George Rapp, Jr., und Carol M. Moss, die außerdem für die Vorlage der Ergebnisse im Rahmen weiterer geologischer und geomorphologischer Untersuchungen zur Troas im Jahr 1982 sorgten.¹¹⁰

2.2.2 Perioden- und Phasenunterteilung

Auch wenn die fundortspezifischen Probleme der Stratifizierung und Chronologisierung nach Möglichkeit unbeeinflusst von früheren Forschungsergebnissen untersucht werden sollten,¹¹¹ kam man um eine kritische Auseinandersetzung mit dem bereits publizierten Material nicht völlig umhin.¹¹² Schon bald zeichnete sich etwa ab, daß die von Dörpfeld im Jahr 1894 vorgenommene stratigraphische Einteilung in »neun Schichten«¹¹³ zwar im allgemeinen durch die neuen Grabungsergebnisse bestätigt werden konnte, daß sich diese jedoch in ihrer Simplizität sehr häufig nicht unbedingt mit der komplexen Abfolge von Straten in Einklang bringen ließ, die man feststellte. Hinzu kam, daß das nomenklatorische System Dörpfelds mit allgemeiner Ak-

Abb. 14
Reinigung des kerami-
schen Fundmaterials
(Bildarchiv Univ.
Cincinnati 37527.5).



¹¹⁰ Gifford *et al.* 1982: 61. *Cf.* Riehl 1999: 6, 10–12.

¹¹¹ *Cf.* Blegen 1934a: 223; Blegen *et al.* 1950: 22.

¹¹² Blegen *et al.* 1950: 22.

¹¹³ Dörpfeld 1894: 86. *Cf.* Bittel 1954: 435.

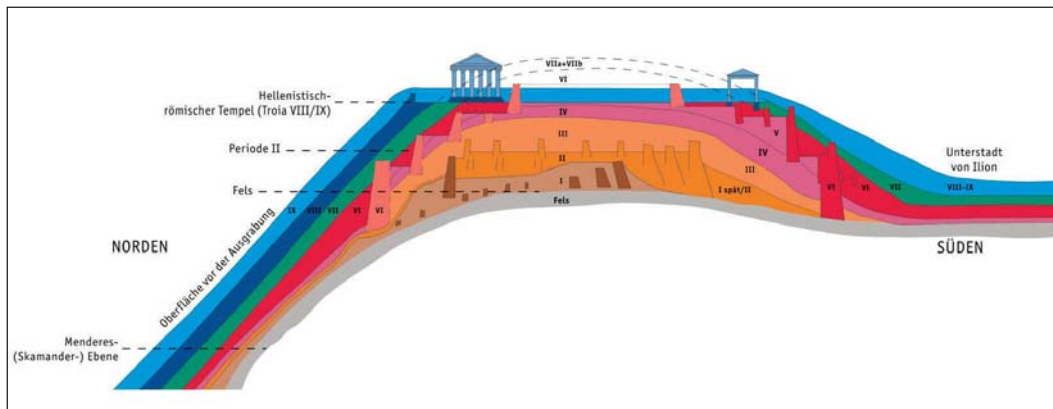


Abb. 15
Schematischer
Schnitt durch den
Siedlungshügel.

zeptanz Eingang in alle darauffolgenden Veröffentlichungen zum Thema Troia gefunden hatte, weshalb man sich entschloß, dies, ungeachtet seiner diversen Unzulänglichkeiten, im wesentlichen beizubehalten und auf Grundlage der neuen Grabungsergebnisse lediglich eine Neuzuweisung der einzelnen Siedlungsschichten vorzunehmen (Abb. 15).¹¹⁴

Von einer derartigen Modifikation des bestehenden Periodensystems erhoffte man sich in erster Linie ein besseres Verständnis der spezifischen Übergänge von einem Abschnitt der Besiedlung zum nächsten.¹¹⁵ Auch sah man hierin eine geeignete Möglichkeit, dem seit Schliemann und Dörpfeld stark angewachsenen Vergleichsmaterial besser entsprechen zu können.¹¹⁶ So bedurfte nach Ansicht Blegens beispielsweise die von Dörpfeld vorgenommene Phaseneinteilung von Troia II einer tiefgreifenden Überarbeitung,¹¹⁷ zumal bei den Untersuchungen der beiden Pinnacles in F 4/5 und E 6 vier weitere Schichten, Troia IId–Troia IIg, festgestellt werden konnten,¹¹⁸ die stratigraphisch scheinbar auf die Phase Troia II³ bzw. Troia IIc folgten und auf die in den früheren Ausgrabungen entweder noch keinerlei Bezug genommen worden war oder die man einer andere Periode zugeordnet hatte (Abb. 16).¹¹⁹ Wenn auch die vier betreffenden Phasen bereits aufgrund ihres Umfangs und ihrer Struktur Anlaß zur Einsetzung einer neuen, eigenständigen Periode gegeben hätten, entschloß man sich jedoch, diese nur als eine späte Entwicklungsstufe der zweiten Besiedlung Troias zu betrachten, zumal es schien, daß das Megaron II A aus Phase Troia IIc auch noch in späterer Zeit in Gebrauch war, ebenso wie einige Teile der großen Befestigungsmauer.¹²⁰ Angebracht schien darüber hinaus vor allem im Kontext der vorrömischen Besiedlung Troias auf die von Dörpfeld bisweilen gebrauchte Bezeichnung »Städte«¹²¹ generell zu verzichten und die verschiedenen Anlagen stattdessen mit dem – eher

¹¹⁴ Blegen *et al.* 1950: 22, 23.

¹¹⁵ *Cf.* Blegen *et al.* 1950: 22–24; Blegen 1963: 30.

¹¹⁶ Blegen *et al.* 1950: 23.

¹¹⁷ *Cf.* Dörpfeld 1902: 49–98.

¹¹⁸ Blegen *et al.* 1950: 203–208. S. hierzu jedoch Easton 2000: 78–79.

¹¹⁹ Blegen *et al.* 1950: 23. Vgl. Easton 2000: 74–81; Easton 2002: 307–310.

¹²⁰ Blegen *et al.* 1950: 23. *Cf.* Easton 2000: Fig. 1.

¹²¹ S. hierzu beispielsweise Dörpfeld 1890: 42. *Cf.* Blegen 1963: 28.



Abb. 16
 Quadrate F 4/5,
 Pinnacle (Blegen *et al.*
 1950: Fig. 62).

wertungsfreien – Terminus »settlement«, Siedlung, zu charakterisieren: »For it is clear that with the exception of the Ninth (which was really a municipality), probably the Eighth, and possibly the Third, the establishments that followed one after the other on the hill were fortified strongholds, or citadels, rather than cities in the modern sense of the word.«¹²²

Bis zum Ende der Ausgrabungen gelang es, innerhalb der neun größeren Schichtpakete nicht weniger als 46 Straten zu differenzieren.¹²³ In all denjenigen Fällen, in denen nur eine geringfügige Veränderung des architektonischen Habitus festzustellen war, setzte man die dokumentierten Straten mit »phases«, Besiedlungsphasen, gleich; sobald sich jedoch von einem Stratum zum nächsten ein tiefgreifender Wandel der Bebauung oder Wege- und Straßenführung abzeichnete, sprach man dahingegen von »periods«, Perioden.¹²⁴ Im Gegensatz zu den früheren Grabungen, deren Phasen- und Periodenunterteilung allein auf der Analyse und chronologischen Interpretation von Bauabfolgen beruhte, wurde nun erstmals auch versucht, die jeweils festgestellten Siedlungshorizonte mit markanten Veränderungen im Formenspektrum des keramischen Fundguts zu korrelieren: »The breaks in continuity [...] are strikingly illustrated by coincident changes in the miscellaneous implements, artifacts, and pottery used in the successive settlements.«¹²⁵ Um die typologische Entwicklung der Keramikobjekte möglichst schlüssig nachvollziehen zu können,

¹²² Blegen *et al.* 1950: 22. S. jedoch Blegen *et al.* 1951: 104, 106, 225; Blegen 1963: 101.

¹²³ Blegen *et al.* 1950: 22; Blegen 1963: 30.

¹²⁴ S. hierzu Blegen *et al.* 1950: 24, 26–29 u. Fig. 125–128; Blegen 1963: 30.

¹²⁵ Blegen *et al.* 1950: 23. S. in diesem Zusammenhang auch Blegen *et al.* 1950: 203 »Dörpfeld of necessity based his division entirely on the architectural evidence provided by the succession of walls built over another. The new excavations aimed, so far as possible, to correlate the ceramic evidence with the architectural. It was necessary, therefore, to select for intensive examination undisturbed areas where the stratification seemed still to be preserved.«

wurden die Gefäße entsprechend ihrer äußeren Erscheinung vier, nach rein funktionalen Kriterien differenzierten Kategorien zugewiesen: 1. Gefäße zum Essen und Trinken (A: Teller, Schalen und Tassen); 2. Gefäße zum Ausgießen (B: Kannen und andere Gefäße mit Ausguß); 3. Gefäße zur Aufbewahrung und Lagerhaltung (C: Krüge, Töpfe und Pithoi); 4. Gefäße für verschiedene andere Zwecke (D: Kochtöpfe, Deckel, Ständer etc.).¹²⁶ Der Subjektivität dieser Unterteilung war man sich jedoch durchaus bewußt, zumal einige der unterschiedenen Typvertreter auch zwei oder mehreren Funktionen gedient haben könnten, während andere wiederum keinen Aufschluß über ihren intendierten Verwendungszweck gaben; in solchen Fällen wurden die Gefäße denjenigen funktionalen Gruppen zugewiesen, in die sie mit der größtanzunehmenden Wahrscheinlichkeit paßten.¹²⁷ Zur besseren Veranschaulichung des formalen Spektrums faßte man die Grundformen auf mehreren Typentafeln zusammen, die als repräsentativ für die jeweils betreffende Perioden gelten sollten.¹²⁸ Die Zusammenstellung basierte jedoch ausschließlich auf dem Material der Ausgrabungen der *University of Cincinnati* und sollte keinesfalls den Anspruch einer Allgemeingültigkeit für den gesamten Fundort erheben; auf eine Aufnahme der von Schmidt 1902 im Katalog der Schliemann-Sammlung zusammengestellten Funde wurde gezielt verzichtet, da einige der dort publizierten Stücke aus unsicheren und zudem nicht mehr überprüfbar Fundkontexten stammten.¹²⁹ Vergleichbare Typentafeln wurden ebenfalls für die verschiedenen Klassen von Kleinfunden – Metallnadeln, Idole aus Knochen und Stein, Knochennadeln und -ahlen, Spinnwirtel aus Terrakotta – angelegt.¹³⁰ Für Troia I ergab sich daraus eine Unterteilung in zehn Abschnitte, während Troia II in sieben, Troia III in vier, Troia IV in fünf, Troia V in vier, Troia VI in acht, Troia VIIa in eine, Troia VIIb in 2 und sowohl Troia VIII wie auch Troia IX in zwei oder mehr Stufen unterteilt wurden.¹³¹

Da trotz zahlreicher struktureller Neugestaltungen zwischen den ersten fünf aufeinanderfolgenden Perioden kein einschneidender Bruch oder gar eine zeitliche Unterbrechung der Bauaktivitäten festgestellt werden konnte,¹³² schlossen Blegen *et al.* auf eine durch »*conservative habits*«¹³³ der Bewohner Troias bedingte Konstanz, die sich in einer – entsprechend der damaligen chronologischen Auffassung – die gesamte ägäische Frühbronzezeit umspannenden Siedlungskontinuität ausgedrückt haben soll.¹³⁴ Eine deutliche Veränderung der baulichen Ordnung kon-

¹²⁶ Blegen *et al.* 1950: 23–24.

¹²⁷ Blegen *et al.* 1950: 23–24.

¹²⁸ Blegen *et al.* 1950: Fig. 129–132; Blegen *et al.* 1951: Fig. 43–46, 154a–154b, 238; Blegen *et al.* 1953: Fig. 292a–295; Blegen *et al.* 1958: Fig. 214a–217, 317.

¹²⁹ Cf. Easton 2002: 73–304.

¹³⁰ Blegen *et al.* 1950: Fig. 25–128; Blegen *et al.* 1951: Fig. 39–42; Blegen *et al.* 1953: Fig. 288–291; Blegen *et al.* 1958: Fig. 210–213.

¹³¹ Blegen *et al.* 1950: 22, 36–40, 81–199, 204–208; 244–378; Blegen *et al.* 1951: 6–8, 37–97, 104–107, 139–218, 224–226, 252–298; Blegen *et al.* 1953: 11–15, 81–396; Blegen *et al.* 1958: 8, 48–135, 142–144, 147–148, 182–243, 249, 259–307; Blegen 1963: 41–42, 59–60, 99–100, 165–167.

¹³² Cf. Blegen *et al.* 1950: 5; Blegen *et al.* 1951: 223; Blegen 1963: 59, 100, 105.

¹³³ Blegen *et al.* 1951: 103, 223.

¹³⁴ Blegen *et al.* 1950: 22 Anm. 3 »By the term *Early Bronze Age* we mean the whole period from the first use of metal (copper) implements alongside stone to the initial appearance of the new cultural elements that we take to mark the beginning of the *Middle Bronze Age* (Troia VI). We thus follow a system of terminology sanctioned by long usage

statierte er hingegen erst zu Beginn der Periode Troia VI,¹³⁵ was für ihn gleichermaßen den Übergang von der frühen zur mittleren Bronzezeit markierte.¹³⁶ Zum mittleren und daran anschließenden späten Abschnitt der Bronzezeit zählte man alle Phasen der Periode Troia VI ebenso wie Troia VIIa und die erste Subphase von Troia VIIb.¹³⁷ Ein weiterer markanter baugeschichtlicher Einschnitt wurde von Blegen *et al.* in der zweiten Subphase von Troia VIIb verzeichnet.¹³⁸ Die in dieser Zeit unvermittelt aufkommende »Buckelkeramik« bzw. »Barbarian Ware« wertete er – wie zuvor auch schon Dörpfeld¹³⁹ – als vollkommen neues, die Entwicklungsstufe besonders prägendes kulturelles Phänomen, das schließlich den Übergang von der Spätbronze- zur frühen Eisenzeit kennzeichnete.¹⁴⁰ Mit Troia VIII folgten auf diese, entweder direkt oder nach einer kurzzeitigen Siedlungsunterbrechung,¹⁴¹ die archaische, die klassische¹⁴² sowie die hellenistische Epoche und mit Troia IX schließlich das römische Zeitalter.¹⁴³ Während noch für den frühgriechischen Abschnitt von der *University of Cincinnati Excavations in the Troad* kein konkretes Anfangsdatum ermittelt werden konnte, wurde der Beginn von Troia IX von der Wende des christlichen Zeitalters, wo Dörpfeld ihn angesetzt hatte,¹⁴⁴ in eine chronologisch Lücke verlegt, die zwischen dem klassischen und dem hellenistischen Ilion zu bestehen schien. Der Umstand, daß die letztgenannte Stadt entweder über keine oder aber nur über eine geringe Verbindung mit Troia VIII verfügte, nach ihrer Gründung jedoch bis in die römische Zeit hinein bestand, schien diese Feststellung maßgeblich zu stützen.¹⁴⁵

2.2.2.1 Troia IV

Siedlungsreste der Periode Troia IV konnten zwischen 1932–1938 in insgesamt neun Bereichen des Hügels systematisch untersucht werden: zA 5, C 8, E 6, F 4/5, F 7/8, G 6, GH 7, HI 6/7 und K 6.¹⁴⁶ Überall dort, wo vermeintlich Troia IV-zeitliche Ablagerungen angetroffen werden konnten, zeichnete sich innerhalb des betreffenden Schichtpakets deutlich eine Sequenz von

in Aegean archaeology. The three stages called more specifically Chalcolithic Age, Copper Age, and Early Bronze Age at some central Anatolian sites thus presumably fall within the chronological limits of our Early Bronze Age at Troy.«

Vgl. Blegen 1934b: 62.

¹³⁵ Blegen *et al.* 1950: 22; Blegen *et al.* 1953: 5.

¹³⁶ Blegen 1963: 111. Cf. Blegen *et al.* 1953: 5–6. Vgl. Mellink 1992: 219–220.

¹³⁷ Blegen *et al.* 1953: 18–20.

¹³⁸ Cf. Dörpfeld 1902: 193–201; Pieniżek-Sikora 2002: 705–714.

¹³⁹ Dörpfeld 1902: 193; 554; Schmidt 1902b: 300–303.

¹⁴⁰ Blegen *et al.* 1958: 142, 144–145, 158–159; Blegen 1963: 169–171 u. Fig 42. Cf. Bloedow 1985: *passim*; Becks/Thumm 2001: 419–421; Koppenhöfer 2002: 679–703; Becks *et al.* 2006: 185–187.

¹⁴¹ Cf. Blegen 1963: 174. Vgl. Rose 2001: 180.

¹⁴² Cf. Brückner 1902: 549–576.

¹⁴³ Cf. Brückner 1902: 576–593.

¹⁴⁴ Dörpfeld 1902: 31.

¹⁴⁵ Blegen *et al.* 1950: 22–23. In diesem Zusammenhang s. auch Korfmann 2001a: 352–354; Rose 2001: 180–185; Rose 2006: 190–198.

¹⁴⁶ Diesem Zeithorizont zuweisbare Keramik wurde zudem unterhalb des griechischen Heiligtums in Quadrat A 8 gefunden, ebenso in der lockeren Oberflächenbedeckung des Quadrats H 3; Blegen *et al.* 1951: 101–102 u. Fig. 168 Nr. 37.1023.

fünf aufeinander folgenden Straten ab.¹⁴⁷ Zwar wiesen diese relativ zueinander weder dieselbe Stärke noch eine übereinstimmende Struktur auf – sowohl innerhalb des einzelnen Grabungsgebiets, wie auch im arealübergreifenden Vergleich –,¹⁴⁸ jedoch schien auf Grundlage des verfügbaren Datenmaterials die Annahme berechtigt, die vierte Ansiedlung habe allgemein fünf getrennt verlaufende Entwicklungsstadien durchlaufen. Dabei sollte auch nicht grundsätzlich unterstellt werden, daß sich die Veränderungen in allen Teilen des damals besiedelten Bereichs notwendigerweise zeitgleich vollzogen. Dennoch schloß man zumindest auf eine gewisse chronologische Nähe der jeweiligen Ereignisse, was in einem weiteren Schritt schließlich den Ausschlag zur Unterteilung der Periode in die Phasen Troia IVa, IVb, IVc, IVd und IVe gab.¹⁴⁹

2.2.2.1.1 Troia IVa

Einer zwischen 0,5–0,85 m starken Brandschicht nach zu urteilen, fand die Troia IVa-zeitliche Bebauung der Quadrate F 7/8 in einer massiven Feuersbrunst ihr vorzeitiges Ende;¹⁵⁰ die Akkumulation aus überwiegend schwarz und rot gefärbtem Schutt bedeckte gleichmäßig die Fußböden einer Reihe von Räumen sowie die untersten Lagen der zugehörigen Gebäudemauern.¹⁵¹ Aus dem Umstand, daß in den stratigraphisch entsprechenden Horizonten der Quadrate E 6 und F 4/5 keinerlei Anzeichen für einen vergleichbaren Schadensfall festgestellt werden konnten, ergab sich für Blegen *et al.* die logische Konsequenz, daß es sich bei dem betreffenden Vorfall lediglich um ein räumlich begrenztes Ereignis gehandelt haben konnte, welches entweder sehr rasch eingedämmt werden konnte oder sich gemäß der lokalen Windverhältnisse nur in einer Richtung ausgebreitet hatte: »*One may guess that the accident took place on a day when the strong north wind was blowing, as often in the Troad, and that only a few houses on the southern side of the town were destroyed.*«¹⁵² Des weiteren weist die lokale Stratifizierung darauf hin, daß die Siedlung in diesem Bereich auf einer höheren Terrasse angelegt worden war, die im Süden von einer massiven Ring- bzw. Stützmauer, die ebenfalls die Funktion einer Verteidigungsmauer übernommen haben dürfte, gesichert wurde.¹⁵³

In Quadrat E 6 umfaßten die Troia IVa-zeitlichen Hinterlassenschaften den Teil einer schmalen von Südosten nach Nordwesten verlaufenden Straße sowie eine Anzahl von unmittelbar nebeneinander errichteten Gebäuden mit gemeinsamer Trennwand, auf der die bei dieser Konstruktionsweise prinzipiell vorauszusetzenden Flachdächer aus Lehm von beiden Seiten her auflagen;¹⁵⁴ während jedoch der Verkehrsweg im wesentlichen die Orientierung seiner Vor-

¹⁴⁷ Cf. Blegen *et al.* 1951: Anm. 1.

¹⁴⁸ Cf. Blegen *et al.* 1951: Fig. 262, 268–274, 285–288, 290–292, 295, 297–302.

¹⁴⁹ Blegen *et al.* 1951: 104.

¹⁵⁰ Blegen *et al.* 1951: 104.

¹⁵¹ Cf. Blegen *et al.* 1951: Fig. 89, 91, 95, 298.

¹⁵² Blegen *et al.* 1951: 104.

¹⁵³ Blegen *et al.* 1951: 104 u. Fig. 290–291, 295. S. in diesem Zusammenhang auch Blegen *et al.* 1951: 102, 105, 139–140; Blegen 1963: 100; Blegen 1971b: 704; Easton 2002: 310–311.

¹⁵⁴ Blegen *et al.* 1951: 104 u. Fig. 105–122; Blegen 1963: 100–101. Cf. Korfmann 1995: 13; Korfmann 1996: 23; Korfmann 2001a: 348; Korfmann 2001b: 355–357.

gängerstruktur aufnahm,¹⁵⁵ waren die Häuser einem vollkommen neuen, vor allem aus dem inneranatolischen Raum her bekannten¹⁵⁶ Schema entsprechend angelegt worden, ohne auf den Resten älterer Bauten aufzubauen.¹⁵⁷ Wenn auch infolge früherer Grabungsaktivitäten in diesem Bereich des Siedlungshügels keiner der festgestellten Räume vollständig erhalten geblieben war,¹⁵⁸ legen die dokumentierten Befunde allgemein die Vermutung nahe, daß die Gebäude über einen rechteckigen Grundriß verfügten, lang und schmal waren, und Türen in Richtung des vorbeiführenden Wegs besaßen. Derselbe Grundplan wurde auch in den drei nachfolgenden Phasen Troia IVb, IVc und IVd beibehalten, wobei die Mauern in den betreffenden Zeitabschnitten jedoch stets neu errichtet und die verschiedenen Innenwände – wohl je nach Bedarf – erneuert wurden.¹⁵⁹ Eine markante Neuerung der Phase Troia IVa war zudem die Einführung des Kuppelofens, für dessen Gebrauch in der untersten Troia IV-zeitlichen Strate des Quadrats E 6 erste Belege erbracht werden konnten.¹⁶⁰

Im Pinnacle F 4/5 konnte Stratum IVa, das hier über einen maximale Mächtigkeit von 0,5 m verfügte, zwar nur auf einer Gesamtgrundfläche von 9 m² untersucht werden, jedoch ließen die wenigen erhaltenen Reste vergleichbare Züge wie diejenigen in Quadrat E 6 erkennen: auch hier fanden sich verschiedene, beiderseits einer vergleichsweise engen Straße gelegene Gebäude, deren Innenräume von der dem vorüberführenden Weg zugewandten Seite aus erschlossen wurden.¹⁶¹ Zudem scheint auch in diesem Bereich die Struktur der Bauten über gewisse Zeit ohne größere Veränderungen beibehalten worden zu sein, zumindest bis in die Phase Troia IVd.¹⁶²

Ablagerungen des frühesten Besiedlungshorizonts von Troia IV konnten darüber hinaus in den Quadraten zA 5, in der Tiefsondage des Quadrats C 8 sowie unterhalb des Hauses VI F in den Quadraten HJ 6/7 angetroffen werden.¹⁶³ Hier lagen alle in Frage kommenden Straten unmittelbar auf dem anstehenden Felsen auf. Entlang des von Schliemann in Quadrat GH 7 angelegten Profils war es ferner möglich ein frühes, von Westen nach Osten hangabwärts verlaufendes Stratum zu verfolgen, jedoch gelang es nicht mit letzter Sicherheit, dieses mit der Troia IVa-zeitlichen Sequenz der anderen Untersuchungsbereiche zu korrelieren. Schwierigkeiten bei der relativchronologischen Einordnung bereiteten ebenfalls die Depositionen der Quadrate G 6¹⁶⁴ und

¹⁵⁵ Cf. Blegen *et al.* 1951: Fig. 263–274.

¹⁵⁶ Blegen 1963: 100–101 »The appearance of what seems to be a new house-plan deserves attention. It is a fairly large building which contained at least four separate dwellings, side by side, divided from one another by party walls, and each, consisting of one or two rooms, opening on the same street. It might almost be called a tenement house; and perhaps it would be not too rash to conclude that the population of the town had increased, possibly accompanied by a decline in prosperity. For these are obviously not the homes of wealthy citizens.« Cf. Korfmann 1983a: 222–241; Korfmann 2001a: 348; Korfmann 2005: 54–55; Blum 2002b: 75.

¹⁵⁷ Cf. Blegen *et al.* 1951: Fig. 266–268. Dazu s. auch Blum 2002a: 105–137; Blum/Aslan 2005: 313–315.

¹⁵⁸ Cf. Blegen *et al.* 1951: Fig. 268.

¹⁵⁹ Blegen *et al.* 1951: 104. S. in diesem Zusammenhang auch Blegen 1935a: 14.

¹⁶⁰ Blegen *et al.* 1951: 104–105; Blegen 1963: 101. S. hierzu auch Korfmann/Kromer 1993: 168–169 u. Abb. 23; Korfmann 1993b: 14; Korfmann 1994: 15 Abb. 14; Korfmann 1995: 13; Korfmann 1996: 23; Korfmann 2001a: 348; Kull 1988: 40–41; Blum 2002b: 75.

¹⁶¹ Cf. Blegen *et al.* 1951: 104 u. Fig. 134–137, 285, 287.

¹⁶² Blegen *et al.* 1951: 104 u. Fig. 287–288, 290–292, 295.

¹⁶³ Cf. Blegen *et al.* 1951: 104–105 u. Fig. 142–146, 312, 314, 316, 318.

¹⁶⁴ Cf. Blegen *et al.* 1951: Fig. 140.

K 6, die ihrer Struktur und ihrem Inhalt nach zu urteilen wohl eher nur verhältnismäßige kurze zeitliche Abschnitte in der Siedlungsgeschichte der Periode Troia IV repräsentieren.¹⁶⁵

2.2.2.1.2 Troia IVb

Eine deutliche Umstellung der räumlichen Organisation ergab sich für die Bauwerke der Quadrate F 7/8 in Phase Troia IVb: zwei der älteren Gebäudemauern wurden vollständig überdeckt, drei wurden mit vollkommen neuer Ausrichtung wieder errichtet und nur eine wurde ohne größere Veränderung der Orientierung aus der Vorgängerphase übernommen.¹⁶⁶ Bedingt durch das Gefälle des Hügels war – wie bereits in der vorhergehenden Phase – eine Terrassierung notwendig, um den Höhenunterschied, der zwischen dem auf einer Art Plattform gelegenen Baugrund und dessen nach Süden hin anschließenden Umland bestand, angemessen auszugleichen.¹⁶⁷

In den Quadraten E 6 und F 4/5 beschränkten sich die architektonischen Aktivitäten im wesentlichen auf die Installation neuer Fußböden aus Stampflehm direkt oberhalb des Schichtenpakets der vorhergehenden Phase. Gegen Ende von Troia IVb wurden in Quadrat E 6 zwei Räume durch Feuer zerstört, ohne jedoch, daß dabei nennenswerter Schaden an den unmittelbar benachbarten Gebäuden entstand.¹⁶⁸

Eine verhältnismäßig große Menge vermischten Schutts, der sich bis zu einer Stärke von 2,05 m gegen die Innenseite einer hohen Steinmauer erhob, konnte tief im Suchschnitt der Quadrate HJ 6/7 festgestellt werden, direkt oberhalb der Troia IVa-zeitlichen Ablagerungen.¹⁶⁹ Die Mauer konnte in dem räumlich stark begrenzten Arbeitsbereich zwar nicht ausreichend untersucht werden, jedoch schien sie nach Meinung von Blegen *et al.* hinsichtlich ihrer Funktion am besten als »*retaining wall*«, als Stützmauer, erklärt zu sein, analog derjenigen des Quadrats F 8. Eine vergleichbare bauliche Anordnung leitet sich – wenn auch indirekt – aus den Befunden des Quadrats C 8 ab. In diesem Bereich nahe der ehemaligen Hügelkante konnte zwar keine Mauer angetroffen werden, jedoch lagen hier die Straten nahezu horizontal übereinander.¹⁷⁰ Das konnte im Grunde nur dadurch zustande gekommen sein, daß sich etwas weiter im Süden ebenfalls eine Befestigungsmauer oder andere Art der Konsolidierung befunden hatte.¹⁷¹

Der Phase VIb sind unter Umständen einige der im Profil der Quadrate GH 7 zu beobachtenden unteren Fußbodenhorizonte zuzuordnen. Es gelang aber nicht, ohne weitergehende Nachuntersuchung des Stratenverlaufs festzustellen, um welche genau es sich dabei handelt. Ebenso erwies es sich als unmöglich Material der anderen Areale diesem Zeitabschnitt positiv zuzuweisen.¹⁷²

¹⁶⁵ Blegen *et al.* 1951: 104.

¹⁶⁶ Blegen *et al.* 1951: 105 u. Fig. 97–99, 297–299.

¹⁶⁷ Blegen *et al.* 1951: 105 u. Fig. 290–291, 295. Cf. Blegen *et al.* 1951: 102, 104, 139–140; Blegen 1963: 100.

¹⁶⁸ Blegen *et al.* 1951: 105 u. Fig. 123–127, 270, 288.

¹⁶⁹ Blegen *et al.* 1951: Fig. 312, 314.

¹⁷⁰ S. hierzu Blegen *et al.* 1951: Fig. 316.

¹⁷¹ Blegen *et al.* 1951: 105 »*Taken in conjunction, these bits of evidence clearly suggest that the hill was surrounded by substantial bulwarks, probably of height and strength sufficient to withstand attack from the lower ground on the east and south.*« S. hierzu auch Easton 2002: 310–311.

¹⁷² Blegen *et al.* 1951: 105.

2.2.2.1.3 Troia IVc

Wie auch bei den verschiedenen vorausgehenden Zeitabschnitten waren für Blegen *et al.* in erster Linie markante Neuerungen auf dem Gebiet der Architektur ausschlaggebend für eine stratigraphische Umschreibung der Phase Troia IVc. In dem zwischen 0,3–0,35 m dicken Stratum des Quadrats F 7/8 fanden sich beispielsweise neben einer Terrassenmauer, die in doppelter Stärke wieder errichtet worden war, mehrere Gebäudemauern, die in Troia IVb in dieser Form noch nicht existiert hatten, sowie ein neuer Herd und ein Ofen.¹⁷³ In Quadrat E 6 wurden die Räume, die gegen Ende der vorherigen Phase Troia IVb durch ein Feuer zerstört worden waren, zwar in derselben Ausrichtung wiedererbaut, jedoch wurden an mehreren Stellen kleinere strukturelle Modifikationen vorgenommen;¹⁷⁴ das entsprechend zugehörige Stratum erreichte eine maximale Stärke von 0,4 m.¹⁷⁵ Die stratigraphisch bzw. chronologisch korrespondierenden Ablagerungen in den Quadraten F 4/5 erreichten eine Stärke von lediglich 0,25 m und enthielten größere Mengen verbranntes Material, was insgesamt darauf hindeuten mag, daß ein oder mehrere Gebäude dieses Bereichs im Laufe des Bestehens durch Brandeinwirkung beschädigt wurden.¹⁷⁶ Der in den Quadraten HJ 6/7 angelegte Suchschnitt erbrachte zwei unmittelbar oberhalb der vermeintlichen Stützmauer der Phase IVb gelegene Mauersegmente, denen bis zu 1,2 m starke Akkumulationen von Bauschutt und Siedlungsmaterial zeitlich zugewiesen werden konnten.¹⁷⁷ Der Umstand, daß sich nun hier, im äußersten Randbereich der Bebauung von Troia IVb, weitere Räume befanden, könnte gegebenenfalls dafür sprechen, daß das Siedlungsareal in dieser Phase etwas in Richtung Osten erweitert wurde.¹⁷⁸

2.2.2.1.4 Troia IVd

Ablagerungen der Phase Troia IVd konnten in allen größeren Untersuchungsbereichen angetroffen werden. In den Quadraten F 7/8, wo die betreffende Sichtung ein Ausmaß von 0,2–0,35 m erreichte,¹⁷⁹ kamen Teilbereiche zweier neuer Häuser zu Tage. Deren architektonische Grundstruktur entsprach allgemein derjenigen der vorhergehenden Bebauung, auch stimmte die aufgegriffene Ausrichtung im wesentlichen überein.¹⁸⁰

Die in Quadrat E 6 dokumentierten Gebäude, denen sich Ablagerungen von einer Stärke von 0,25 m zuweisen ließen, orientierten sich weiterhin an den zuvor festgelegten Linien, jedoch

¹⁷³ Blegen *et al.* 1951: 105 u. Fig. 87, 96, 99, 100, 101.

¹⁷⁴ Cf. Blegen *et al.* 1951: Fig. 207–272.

¹⁷⁵ Blegen *et al.* 1951: 105 u. Fig. 128.

¹⁷⁶ Blegen *et al.* 1951: 105.

¹⁷⁷ Blegen *et al.* 1951: 105–106 u. Fig. 146. Cf. Blegen *et al.* 1951: Fig. 312, 314.

¹⁷⁸ Der Phase Troia IVc können eventuell auch verschiedene Funde und Befunde der Quadrate zA 5, C 8, und GH 7 zugewiesen werden; konkrete Hinweise hierfür konnten bei den Ausgrabungen der *University of Cincinnati* jedoch keine erbracht werden: Blegen *et al.* 1951: 106.

¹⁷⁹ Cf. Blegen *et al.* 1951: Fig. 290–292, 295.

¹⁸⁰ Vgl. Blegen *et al.* 1951: Fig. 300–301.

wurde ihr Grundriß durch die Beseitigung verschiedener quer verlaufender Mauerzüge vereinfacht.¹⁸¹ Hinweise auf eine Kontinuität der Siedlungsaktivitäten von Troia IVc nach Troia IVd ergaben sich ebenfalls für die Quadrate F 4/5, wo einige der Wände der früheren Räume wieder hergestellt wurden; die begleitenden Akkumulationen erreichten eine Mächtigkeit von 0,4–0,5 m.¹⁸² Im Suchschnitt der Quadrate HJ 6/7 konnten zwar keine oberhalb der Schichtung von Troia IVc gelegene Mauern festgestellt werden, jedoch lagerten hier bis zu 1 m mächtige Depositionen aus Erde und Schutt, die aller Wahrscheinlichkeit nach den Phasen Troia IVd und IVe zugerechnet werden können.¹⁸³

2.2.2.1.5 Troia IVe

Die fünfte und letzte Phase der Besiedlung von Troia IV ist allgemein durch weitgehend undifferenzierte, nur in seltenen Fällen direkt mit architektonischen Überresten vergesellschaftete Schutt- und Siedlungsablagerungen charakterisiert.¹⁸⁴ Trotz des mangelhaften Befundaufkommens entschlossen sich Blegen *et al.* das Stratum als eigenständigen stratigraphischen Horizont auszuweisen, zumal sich die Ablagerungen generell als isolierte Akkumulation darstellte, die deutlich erkennbar oberhalb der Schichtung von Troia IVd lagerte und in jedem Fall älter anzusetzen war als die ersten Konstruktionen von Troia V. In Quadrat F 8 erreichte der der Phase IVe zugewiesene Schutt eine Mächtigkeit von maximal 0,4 m.¹⁸⁵ Einige der aus der vorhergehenden Phase übernommenen Mauern wurden zwar in einem frühen Entwicklungsstadium von Troia IVe wiederverwendet, wurden jedoch noch vor dem Ende der Phase vollständig mit weiterem Abraum überdeckt; lediglich eine einzelne Mauer wurde hier im Laufe von Troia IVe vollkommen neu errichtet.¹⁸⁶

In Quadrat E 6 lagerte sich während des betreffenden Zeitraums rund 0,25 m Siedlungsmaterial ab.¹⁸⁷ Verschiedene Fußböden mit insgesamt zwei »*bothroi*« und einer Herdstelle wurden aufgedeckt, aber die einzige substantielle Mauer, die als zeitgleich angesprochen hätte werden können, war der oberste Teil einer Trennmauer, die aus der vorherigen Phase Troia IVd überdauert hatte.¹⁸⁸ Das entsprechende Stratum in den Quadraten F 4/5, das eine Stärke von 0,1–0,2 m erreichte,¹⁸⁹ enthielt auffallend viele locker gelagerte Steine. Bei diesen handelte es sich vermutlich um die Reste einiger verstürzter Gebäude, von denen in dem vergleichsweise kleinräumig bemessenen Untersuchungsbereich nur mehr geringe Spuren festzustellen waren. In den Quadraten GH 7 und HJ 6/7 wurde derselbe Mangel an architektonischen Hinterlassenschaften

¹⁸¹ Vgl. Blegen *et al.* 1951: 106 u. Fig. 272–273. S. auch Blegen 1934a: 227, 231–232.

¹⁸² Blegen *et al.* 1951: 106.

¹⁸³ Blegen *et al.* 1951: 106 u. Fig. 312, 314.

¹⁸⁴ Blegen *et al.* 1951: 106.

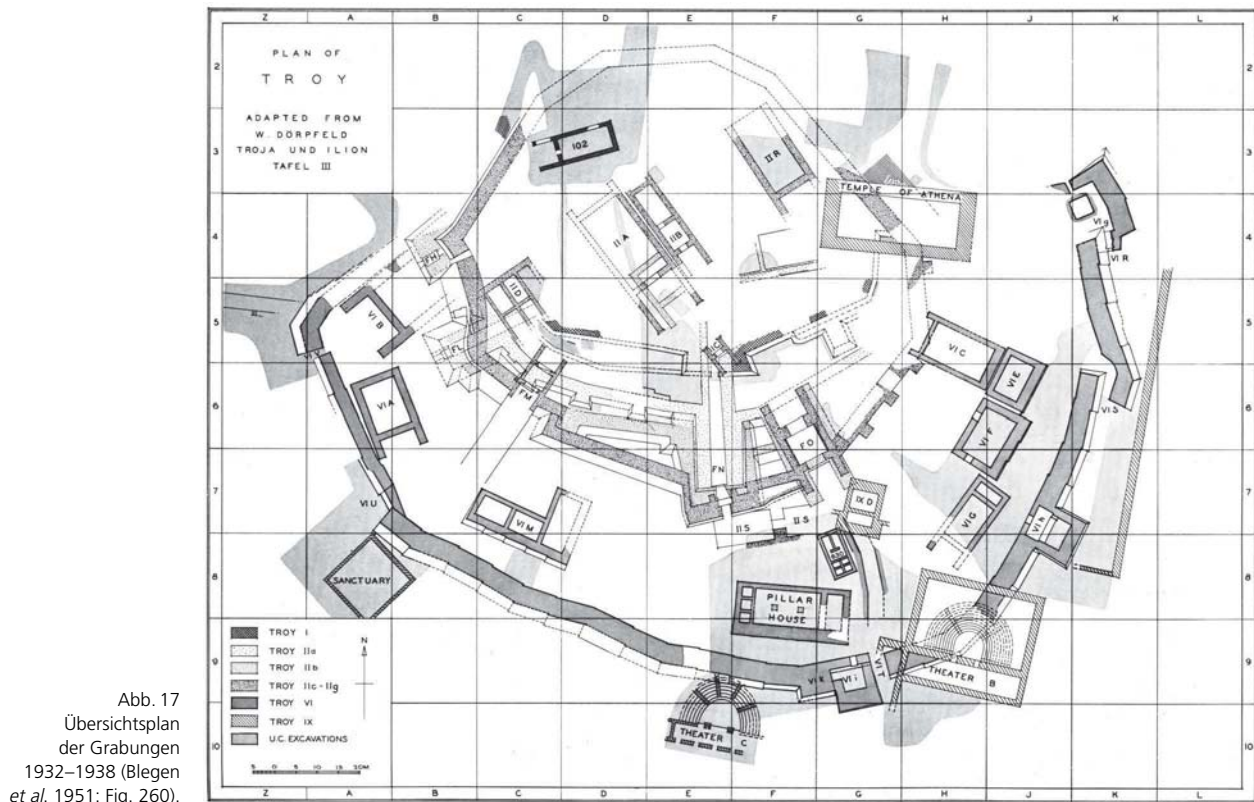
¹⁸⁵ Cf. Blegen *et al.* 1951: Fig. 290, 292, 295.

¹⁸⁶ Cf. Blegen *et al.* 1951: Fig. 297, 302.

¹⁸⁷ Cf. Blegen *et al.* 1951: Fig. 261–262; Blegen 1934a: 231; Blegen 1935a: 14.

¹⁸⁸ Blegen *et al.* 1951: Fig. 106 u. Fig. 274, 279.

¹⁸⁹ Cf. Blegen *et al.* 1951: Fig. 285.



registriert, wenngleich sich das Stratum als solches jedoch deutlich erkennbar gegenüber den anderen stratigraphischen Einheiten abzeichnete.¹⁹⁰

Für das nahezu vollständige Ausbleiben baulicher Hinterlassenschaften während der Phase Troia IVe boten sich für Blegen *et al.* grundsätzlich mehrere, gleichermaßen in Frage kommende Erklärungsmodelle an: Zum einen könne man in Anbetracht der vorliegenden Befundsituation darauf schließen, daß es in Troia während des besagten Zeitabschnitts insgesamt weniger Bauten gegeben habe als zuvor, oder daß diese überwiegend aus vergänglichen Materialien wie ungebrannten Lehmziegeln bestanden und sich so einer späteren Erfassung entzogen. Ebenfalls denkbar sei, daß die Bevölkerung gegen Ende der vierten Periode durch die Pest oder eine andere Seuche nachhaltig in ihrem Bestand reduziert worden sei, was sich letztlich in einem deutlich verminderten Bauaufkommen niedergeschlagen habe; Anzeichen für kriegerische Aktivitäten habe es keine gegeben.¹⁹¹ Nicht auszuschließen sei darüber hinaus, daß die Gebäude der Phase Troia IVe den großangelegten Neubauaktivitäten, die den Beginn der Periode Troia V mar-

¹⁹⁰ Blegen *et al.* 1951: 106.

¹⁹¹ Blegen *et al.* 1951: 107. S. in diesem Zusammenhang auch Blegen 1963: 105 »*The Cincinnati Expedition did [...] find itself confronted by an unsolved mystery: in a stratum of Phase IVe (in Square F 8) a lone adult human skull came to light, unaccompanied by other bones. A search in the neighbourhood failed to reveal any clues as to how it came to be there. Was it perhaps the carelessly discarded head of some unfortunate dismembered victim slain in the final destruction of the settlement? We should be very much like to know, since there is no clear evidence to explain how Troy IV came to its end.*« Cf. Blegen 1934a: 231.

kieren, großflächig zu Opfer gefallen seien; fest stünde allerdings, daß der Ort zu keinem Zeitpunkt aufgelassen worden sei, weder vollständig noch partiell: »*Men continued to live on the hill, and the old Trojan stock undoubtedly survived to be vigorously active in the period of Troy V.*«¹⁹²

2.2.2.2 Troia V

Die nach Einschätzung von Blegen *et al.* rund 100 Jahre währenden Siedlungsaktivitäten der fünften Periode Troias hinterließen Akkumulationen von durchschnittlich 1,5 m Stärke.¹⁹³ Untersucht werden konnten diese in zehn Arealen innerhalb der Zitadelle (z 5, A 4/5, A 8, C 8, E 6, EF 8, F 4/5, F 8, HJ 6/7 und J 6), jedoch kamen für die Periode typische Keramikfragmente auch an zahlreichen anderen Stellen des Hügels zu Tage (Abb. 17).¹⁹⁴ In Quadrat F 8 ließen sich insgesamt vier aufeinanderfolgende Strata differenzieren, die von Blegen *et al.* anhand der Veränderungen der jeweils korrespondierenden architektonischen Hinterlassenschaften mit eigenständigen Besiedlungsphasen – Troia Va, Vb, Vc und Vd – gleichgesetzt wurden.¹⁹⁵ Eine entsprechende chronologische Unterteilung konnte in Quadrat E 6, wo auf Grundlage des verfügbaren Datenmaterials lediglich drei stratigraphische Einheiten unterschieden werden konnten, nicht vorgenommen werden. Da eine exakte Korrelation der dort beobachteten Ablagerungen mit den vier Straten des Quadrats F 8 ebenfalls nicht zu erzielen war, wurde hier stattdessen eine Aufteilung in die Phasen Troia V¹, V² und V³ vorgenommen.¹⁹⁶ Um dennoch eine angemessene komparativstratigraphisch/chronologische Vergleichsbasis zwischen den beiden Bereichen zu schaffen, schien es daher sinnvoll, Troia V in drei übergeordnete zeitliche Horizonte, Troia V Früh, V Mitte und V Spät, zu unterteilen und die arealspezifischen Schichtsequenzen diesen Subperioden zuzuordnen. Davon ausgehend wurden die Phasen Troia Va und Vb des Quadrats F 8 mit Phase V¹ des Quadrats E 6 in Subperiode Troia V Früh parallelisiert; Troia V Mitte beinhaltet entsprechend die Phasen Troia Vc und V², während Subperiode Troia V Spät einen gemeinsamen chronologischen Rahmen für die Phasen Vd und V³ bildet.¹⁹⁷

¹⁹² Blegen *et al.* 1951: 107.

¹⁹³ Cf. Blegen 1971b: 705.

¹⁹⁴ Blegen *et al.* 1951: 222.

¹⁹⁵ Blegen *et al.* 1951: 224 u. Fig. 303. Cf. Blegen 1971b: 705.

¹⁹⁶ Blegen *et al.* 1951: 224.

¹⁹⁷ Im östlichen Randbereich des Hügels, in den Quadraten HJ 6/7, ließ die der Periode Troia V zugewiesene Schicht zwar eine vergleichbare Dreiteilung wie in Quadrat E 6 erkennen, jedoch verzichtete man in Anbetracht der diesen Zeitabschnitt betreffend allgemein unklaren Befundsituation auf eine entsprechende zeitliche Untergliederung. Auch in den anderen untersuchten Bereichen schien die Schichtenabfolge der Periode Troia V mehr oder minder unvollständig überliefert und für eine weitere Chronologisierung entsprechend ungeeignet zu sein. Das dort geborgene Fundmaterial wurde daher ausschließlich unter rein typographischen Kriterien untersucht und gemäß seiner spezifischen Ausprägung in das allgemeine Formenspektrum eingeordnet: Blegen *et al.* 1951: 224.

2.2.2.2.1 Troia V Früh

In Phase Troia Va, die in Quadrat F 8 durch eine Akkumulation von 0,35 m Stärke repräsentiert wird,¹⁹⁸ wurde nahe der südlichen Kante des Hügels ein – vor allem in Relation zu den Bauten der vorhergehenden Periode – vergleichsweise geräumiges, rechteckiges Gebäude, »House 501«, errichtet.¹⁹⁹ Während in westlicher Richtung grundsätzlich weitere architektonische Elemente denkbar wären, erstreckte sich nach Osten hin offenes Gelände. Unmittelbar hinter dem Gebäude verlief eine größere Stützmauer, die unter Umständen einst Teil eines größer angelegten Terrassen-, Befestigungs- oder Verteidigungssystems bildete.²⁰⁰ Die zweite Phase der Besiedlung, Troia Vb, hinterließ in Quadrat F 8 Ablagerungen von bis 0,4 m Dicke. In diesem Zeitabschnitt wurde »House 501« umgebaut: mittels einer Trennwand wurde der Hauptraum des Gebäudes in zwei Segmente aufgeteilt und an der in südöstlicher Richtung orientierten Hausecke wurde ein weiterer kleiner Raum, eventuell ein Schuppen, hinzugefügt.²⁰¹

Stratum V¹, das in Quadrat E 6 eine Mächtigkeit von ca. 0,25 m erreichte,²⁰² umfaßte Teile eines einzelnen größeren Hauses sowie eine von Nordwesten nach Südosten verlaufende Straße, die hinsichtlich ihres Verlaufs im wesentlichen dem Verkehrsweg der vorausgehenden Phase Troia IVe entsprach.²⁰³ Die spärlichen Überreste der Periode Troia V, die man im Pinnacle F 4/5 antraf, wurden als Ganzes unter der frühen Subperiode subsumiert, da es keinen erkennbaren Bruch zwischen den Ablagerungen gab, der eine weitergehende Differenzierung gerechtfertigt hätte. Zwar erreichten hier die betreffenden Straten eine Gesamtdicke von 0,9 m, jedoch fehlten in dem räumlich stark begrenzten Grabungsbereich ungestörte Architekturelemente vollständig, anhand derer unter Umständen eine Chronologisierung vorgenommen werden hätte können.²⁰⁴ Die älteste Troia V-zeitliche Deposition der Quadrate HJ 6/7 wurde von Blegen *et al.* anhand des vergesellschafteten Materials²⁰⁵ ebenfalls der Subperiode Troia V Früh zugerechnet.²⁰⁶ Ähnlich den Ablagerungen des Quadrats F 8 endet diese abrupt an einer größeren Ansammlung verstürzter Steine, was unter Umständen ein Hinweis dafür sein mag, daß sich auch an dieser Stelle ursprünglich eine Terrassierung befand.²⁰⁷

¹⁹⁸ Cf. Blegen *et al.* 1951: Fig. 290–292, 296.

¹⁹⁹ Blegen *et al.* 1951: Fig. 304.

²⁰⁰ Cf. Blegen 1971b: 705.

²⁰¹ Blegen *et al.* 1951: 224 u. Fig. 303, 306.

²⁰² Cf. Blegen *et al.* 1951: Fig. 261–262.

²⁰³ Blegen *et al.* 1951: 224 u. Fig. 280.

²⁰⁴ Blegen *et al.* 1951: 224–225 u. Fig. 285.

²⁰⁵ Als typisch für den frühesten Zeithorizont der Periode Troia V wurde dabei das Vorkommen der sogenannten »Straw-tempered Ware« sowie von Schalen der Form A 20 in »Red-coated Ware« gewertet, da diese in keiner der nachfolgenden Subperioden vertreten sind: Blegen *et al.* 1951: 121, 225, 235–236.

²⁰⁶ Cf. Blegen *et al.* 1951: 225 u. Fig. 312, 315.

²⁰⁷ Blegen *et al.* 1951: 225.

2.2.2.2 Troia V Mitte

Subperiode Troia V Mitte ist in Quadrat F 8 in erster Linie durch einen Um- und Neubau von »House 501« gekennzeichnet.²⁰⁸ Der südliche Raum scheint dabei in eine Art offene Veranda bzw. Vorhalle verwandelt worden zu sein, während das in Richtung Norden orientierte Raumsegment den hauptsächlichen Wohn und Wirtschaftsbereich bildete. Hier wurde in der 0,5 m starken Akkumulation aus Wohnschutt eine Sequenz von vier aufeinanderfolgenden Herden festgestellt, die die funktionale Ansprache des Bereichs nachhaltig zu unterstützen scheint.²⁰⁹

Stratum V² erreichte in Quadrat E 6 eine maximale Stärke von 0,55 m. Wie in Quadrat F 8 wurden auch hier die bestehenden Bauten bis zu einem gewissen Maße einer strukturellen Neugestaltung unterzogen,²¹⁰ aus der neben einer Reorganisation der Raumaufteilung unter anderem der Einbau eines neuen Kuppelofens²¹¹ sowie einer solide gemauerten Bank in der Südostecke von Raum 552 resultierte. In den Quadraten HJ 6/7 und J 6 gelang es zwar insgesamt vier der mittleren Subperiode von Troia zuweisbare stratigraphische Horizonte nachzuweisen, jedoch fehlten begleitende Baustrukturen vollständig.²¹² Einige der in den Quadraten z 5, A 4/5 und C 8 Straten²¹³ sowie der in Quadrat A 8 festgestellte Hauskomplex²¹⁴ könnten nach Auffassung von Blegen *et al.* – wenn auch mit Vorbehalt – ebenfalls in die Zeit von Troia V Mitte datiert werden, die deutlich länger gedauert habe als die vorhergehende Subperiode und sich gegenüber dieser vor allem durch eine zunehmende Festigung der kulturellen Charakteristika von Troia V auszeichne: »It is clear that the domestic arts flourished; the pottery loses certain traces of slovenliness that marked the products of Troy IV, and takes on greater elegance. Then, for what reason we know not, came a change. Houses fell into ruin or were pulled down, and in one area at least the general plan was altered, although, so far as we could observe, no sudden catastrophe had occurred.«²¹⁵

2.2.2.3 Troia V Spät

»House 501«, das in Quadrat F 8 die Phasen Troia Va, Vb und Vc im Grunde ohne wesentliche Veränderungen überdauert hatte,²¹⁶ wurde bereits zu Beginn von Troia Vd durch einen ganz und gar neuen, abweichend orientierten Bau ersetzt.²¹⁷ Während das Vorgängergebäude noch in nordsüdlicher Richtung ausgerichtet war, verlief die Längsachse von »House 504« nun von

²⁰⁸ Blegen *et al.* 1951: 225.

²⁰⁹ Cf. Blegen *et al.* 1951: Fig. 303, 307.

²¹⁰ Vgl. Blegen *et al.* 1951: Fig. 280, 281.

²¹¹ Blegen *et al.* 1951: Fig. 284.

²¹² Blegen *et al.* 1951: 225 u. Fig. 311–312, 315.

²¹³ Blegen *et al.* 1951: Fig. 316, 318.

²¹⁴ Blegen *et al.* 1951: Fig. 317.

²¹⁵ Blegen *et al.* 1951: 225.

²¹⁶ Cf. Blegen *et al.* 1951: Fig. 303.

²¹⁷ Blegen *et al.* 1951: Fig. 308.

Osten nach Westen, auch waren die neun Mauersockel im Vergleich zu denjenigen der früheren Phasen aus sehr unregelmäßigen Steinen gefertigt und alles in allem eher unsorgfältig gesetzt.²¹⁸ Innerhalb und außerhalb der verschiedenen Räumlichkeiten lagerten sich im Laufe der späten Subperiode von Troia V Akkumulationen von 0,35–0,5 m Stärke ab.²¹⁹

Der jüngste Siedlungsabschnitt von Troia V wurde ebenfalls in einer Sondage westlich des »Pillar House« angetroffen, unmittelbar am Übergang zu den Quadraten EF 8. Allerdings machte der stark begrenzte Untersuchungsraum eine weiter gehende Analyse der entsprechenden Deposition unmöglich.²²⁰ Als zeitgleich wurde das 0,35 m dicke Stratum V³ in Quadrat E 6 ausgewiesen; für den Umstand, daß sich in diesem Areal keinerlei Spuren einer früheren Bebauung feststellen ließen, wurde neben einer potentiellen Zerstörung der Anlagen durch spätere Bodeneingriffe in erster Linie die geringe räumliche Ausdehnung des Untersuchungsbereichs in dem sich nach oben zunehmend verjüngenden Pinnacle verantwortlich gemacht.²²¹ Auch die Suchschnitte in den Quadraten J 6 und HJ 6/7 erbrachten Hinweise auf eine Troia V Spät-zeitliche Besiedlung.²²² Die dort festgestellten Hausmauern und Siedlungsablagerungen belegen, daß sich die Bebauung in diesem Bereich bis zur äußersten östlichen Kante des Hügels hin erstreckte.²²³

Angesichts des vergleichsweise geringen Fund- und Befundaufkommens der Endphase von Troia V sahen sich Blegen *et al.* zu einer über die reine Deskription und Chronologisierung hinausgehenden Interpretation des betreffenden zeitlichen Abschnitts außerstande: Fest stünde jedoch, daß die in den ältesten Depositionen der darauffolgenden Siedlung, Troia VI, enthaltenen materiellen Hinterlassenschaften in nahezu jeder Hinsicht verschieden seien von denjenigen der Subperiode Troia V Spät, weshalb man durchaus annehmen könne, daß es sich bei den neuen Bewohnern des Hügels um die Träger einer weitaus entwickelteren Kultur gehandelt habe.²²⁴ Am allerdeutlichsten werde der Unterschied in der Keramik, die – mit Ausnahme einiger weniger Durchläufer, die darauf hinwiesen, daß zumindest ein kleiner Teil der früheren Bevölkerung von den tiefgreifenden Veränderungen ausgenommen blieb – ein vollkommen neues Repertoire an Waren und Formen aufweise, das über keine bekannten lokalen Vorläufer verfüge.²²⁵ Dasselbe treffe auf die diversen Kleinfunde aus Metall, Terrakotta, Stein und Knochen zu, darüber hinaus manifestiere sich der kulturelle Umbruch in den Bestattungssitten²²⁶ ebenso wie in der Architektur:²²⁷ »*The spirit of change manifests itself in many fields of activity and expression. It is obvious in the magnitude and splendour that characterise the transformation of the citadel once again into a powerful royal stronghold. The imposing fortifications that now rise display increased knowledge of military engineering together with technical advances in masonry. The*

²¹⁸ Vgl. Blegen *et al.* 1951: 225, 252–252, 272–273, 284.

²¹⁹ Cf. Blegen *et al.* 1951: Fig. 291–292, 296.

²²⁰ Blegen *et al.* 1951: 226.

²²¹ Blegen *et al.* 1951: 226 u. Fig. 261–262.

²²² S. hierzu auch Blegen *et al.* 1953: 158.

²²³ S. hierzu auch Blegen *et al.* 1953: 158.

²²⁴ Blegen *et al.* 1951: 226; Blegen *et al.* 1953: 5–11; Blegen 1963: 110–111.

²²⁵ Blegen *et al.* 1951: 226. Cf. Blegen *et al.* 1953: 9–10, 33–80. S. hierzu jedoch auch Blegen *et al.* 1951: 235.

²²⁶ Cf. Blegen *et al.* 1953: 6–7, 370–391.

²²⁷ Cf. Blegen *et al.* 1953: 5–6.

initial appearance of distinctive vertical offsets, cut at almost regular intervals on the outer face of the wall, is a new phenomenon. The general scheme of laying out the settlement with its free-standing houses, widely spaced on ascending ringed terraces, introduces a fresh concept of town-planning. The buildings themselves in their simple, straightforward design and their solid enduring structure testify to a new vigour and directness of purpose.«²²⁸ Hinzu käme schließlich auch das unvermittelte Auftreten des Pferds in Troia VI, das der Troia V Spät-zeitlichen Bevölkerung nach Ausweis des archäozoologischen Befunds noch vollkommen unbekannt gewesen sei.²²⁹ »*Indeed little imagination is required to picture to oneself the onset of the invaders, well armed and perhaps driving in chariots or mounted on horseback, swiftly overrunning the Troad and overwhelming the more simple folk they found in occupancy. But in the ruins of Troy itself there is no sign of conquest by the sword and lance, no trace of sack and pillage and the destruction of the settlement by fire, no indication of violence and devastation. One can only wonder if the Trojans of the old stock, overawed by the power of the newcomers, with their terrifying exotic steeds, submitted tamely and without resistance to the new regime and were in large part permitted to live and serve.*«²³⁰

2.2.3 Grabungsergebnisse: Detailanalyse der Befunde

Im folgenden sollen ausgewählte, insbesondere aus relativchronologischer und baugeschichtlicher Hinsicht relevante Grabungsbereiche der *University of Cincinnati Excavations in the Troad* im Detail vorgestellt werden, gegebenenfalls unter Berücksichtigung neuerer Grabungsergebnisse. Nicht in die Betrachtung einbezogen wurden diejenigen Areale, in denen Hinterlassenschaften der hier behandelten Zeitstellung lediglich in Form stratigraphisch isolierter, d. h. nicht in eine subsequekte Schichtenabfolge eingebundener Straten oder nur als Streufunde vorliegen.²³¹

2.2.3.1 Quadrate F 7/8

In Quadrat F 7/8 wurden während den Grabungskampagnen der Jahre 1933–1937 insgesamt sechs mehr oder minder deutlich voneinander abzugrenzende Siedlungsschichten der Periode Troia IV angetroffen (Taf. 6.1). Die untersten beiden wurden nach Troia IVa datiert, während die übrigen Ablagerungen entsprechend ihrer stratigraphischen Position den Phasen Troia IVb–Troia IVe zugeordnet wurden (Abb. 18).²³²

²²⁸ Blegen 1963: 111. S. in diesem Zusammenhang auch Blegen *et al.* 1953: 10, 123, 136; Uerpmann/Uerpmann 2001: 317–318; Uerpmann 2003: 260; Latacz 2004: 28, 34, 43, 262; Korfmann 2005: 62.

²²⁹ Cf. Blegen 1963: 113.

²³⁰ Blegen *et al.* 1951: 226. Ergänzend dazu s. Blegen *et al.* 1953: 10–11; Blegen 1963: 110–113.

²³¹ Ausführlich dazu s. Blegen *et al.* 1951: 101–298.

²³² Blegen 1937b: 571 u. Fig. 9; Blegen *et al.* 1951: Fig. 85, 290.8–16, 292.1–28 u. 31.

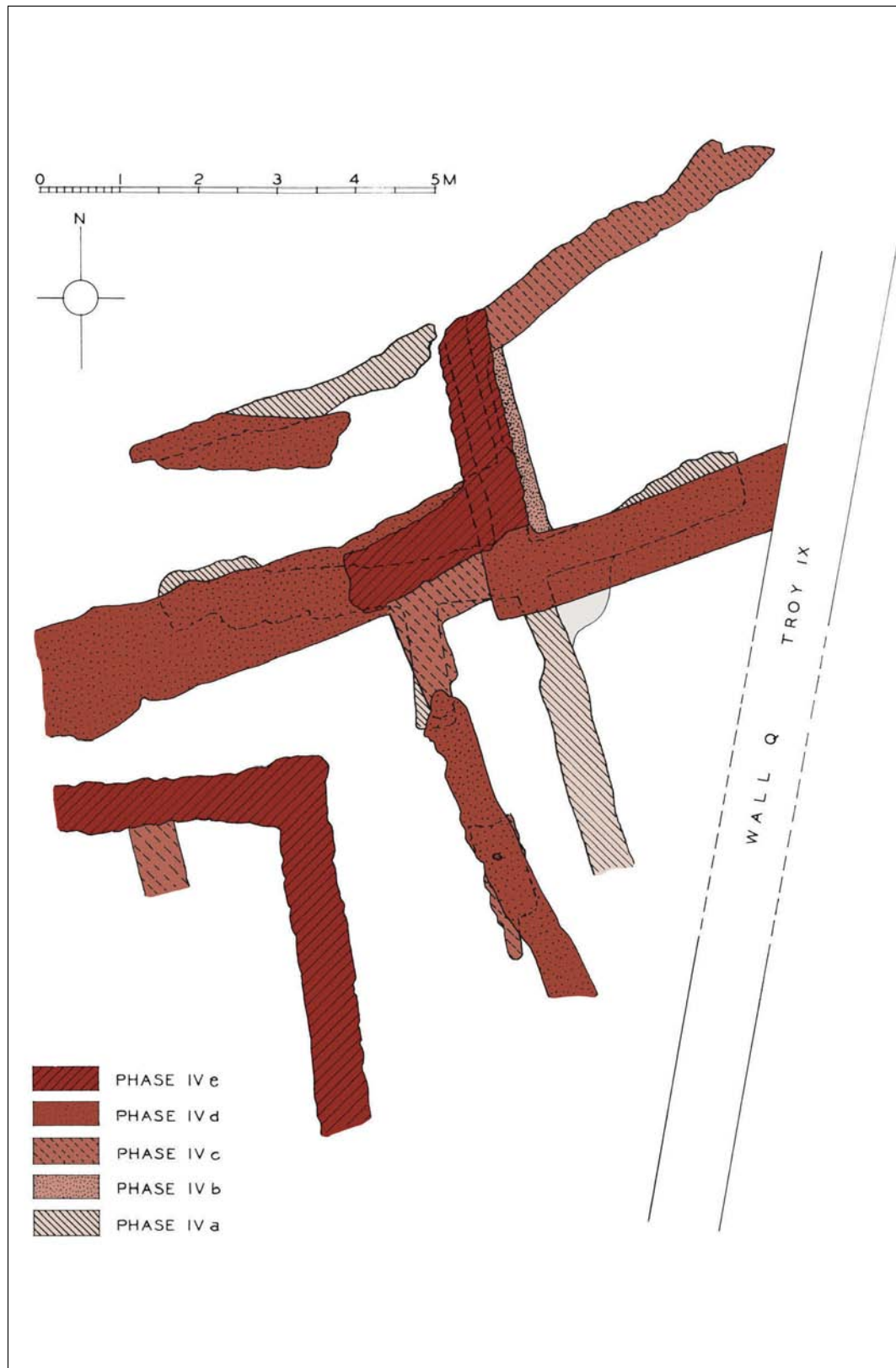


Abb. 18
Quadrte F 7/8,
Troia IVa-e
(Blegen *et al.*
1951: Fig. 297).

2.2.3.1.1 Troia IVa

Zu Beginn der Troia IV-zeitlichen Besiedlung hatte man in diesem Bereich des Hügels ein kleines, in mehrere separate Raumeinheiten untergliedertes Gebäude errichtet, von dem zwei Segmente im Rahmen der archäologischen Datenaufnahme näher untersucht werden konnten: *Room 401* im Nordosten²³³ und, unmittelbar südlich von diesem, *Room 402*.²³⁴ In nordwestlicher Richtung schloß an diesen ein unter der Bezeichnung *Area 403* aufgenommener Bereich an, bei dem es sich unter Umständen um einen Weg oder gar eine Straße gehandelt haben könnte. *Area 404* wiederum, wo sich die Reste eines kurzen Mauerabschnitts fanden, der mit keinem der anderen Bauelemente in Verbindung gestanden zu haben schienen, grenzte unmittelbar im Südwesten an *Area 403* an (Taf. 6.2).²³⁵ In allen Abschnitten des Ausgrabungsareals lag die Troia IVa-zeitliche Kulturschicht unmittelbar, d. h. ohne künstliche oder sterile, natürlich hervorgerufene Trennschicht,²³⁶ auf den Ablagerungen der vorhergehenden Periode Troia III: »*Wherever we dug below IVa floors we immediately found a change in the character of the pottery, fragments of flaring bowls now appearing in profusion.*«²³⁷ Im Durchschnitt erreichte das Stratum eine Stärke von 0,65 m und verfügte über ein leichtes Gefälle sowohl in Richtung Süden als auch nach Westen: in *Room 401* lag es auf einer Höhe von ▼ 32,90 m ü. NN, während es in *Area 404* lediglich eine Höhe von 31,00 m ü. NN erreichte.²³⁸ Nahezu alle der nördlich von Mauer N des Troia VI-zeitlichen *Pillar House*²³⁹ gelegenen Befunde zeigten deutliche Spuren von Brandeinwirkung.²⁴⁰ Die Oberfläche der Begehungshorizonte war stark geschwärzt und beinhaltete größere Mengen von Asche und Holzkohle.²⁴¹ Einige Lehmziegel- und Steinbauelemente waren zudem kalziniert, wie auch ein Großteil der hier geborgenen Keramikfragmente deutliche Verfärbungen durch nachträgliche Hitzeeinwirkung aufwiesen.²⁴²

Bereits in seiner frühesten Ausbauphase scheint das Siedlungsgelände von Quadrat F 8 durch eine massive Befestigungs- bzw. Terrassierungsmauer nach Süden hin begrenzt gewesen zu sein.²⁴³ Wenn auch die Ausdehnung des Troia IVa-zeitlichen Stratums wegen der darüber gelegenen Mauer N nicht weiter in südliche Richtung verfolgt werden konnte,²⁴⁴ hatte es dennoch deutlich den Anschein, als sei *Area 404* in seinem weiteren Verlauf durch ein vertikal aufgehendes Bauwerk beschränkt gewesen. So wies die Akkumulation nördlich von Mauer N lediglich ein leichtes Gefälle auf und nicht ein starkes, wie es etwa dann der Fall gewesen wäre, wenn man die-

²³³ Blegen *et al.* 1951: Fig. 88, 89, 92, 96.

²³⁴ Blegen *et al.* 1951: Fig. 90–92.

²³⁵ Blegen *et al.* 1951: 139 u. Fig. 298.

²³⁶ Blegen 1937b: 573; Blegen *et al.* 1951: 139 u. Fig. 290–296.

²³⁷ Blegen 1937b: 573.

²³⁸ Cf. Blegen *et al.* 1951: Fig. 290–292.

²³⁹ Cf. Blegen *et al.* 1953: 219–243 u. Fig. 465–467c.

²⁴⁰ Blegen 1937b: 572.

²⁴¹ S. hierzu etwa Blegen *et al.* 1951: Fig. 91.

²⁴² Blegen 1937b: 572.

²⁴³ Blegen *et al.* 1951: 139–140.

²⁴⁴ Cf. Blegen *et al.* 1951: Fig. 289.

sen Teil des Hügels nicht mittels einer Mauer befestigt hätte.²⁴⁵ Hinzu kommt, daß die Gesamtstratenabfolge an dieser Stelle beträchtliche Höhenunterschiede aufwies, wie sie nur durch eine künstliche Geländekante zustande gekommen sein konnten:²⁴⁶ Das früheste, nördlich von Mauer N gelegene Stratum der Periode Troia IV war so beispielsweise deutlich höher gelegen als die erste Ablagerung von Troia IV südlich von Mauer N. Auch lagen die Schichten der Perioden Troia V und Troia VI im Norden mehrere Meter über dem Niveau das zeitgleiche Akkumulationen im Süden erreicht haben könnten (Taf. 7.1 u. 2, 8.1 u. 2, Taf. 9.1).²⁴⁷ Die exakte Form der Troia IV-zeitlichen Mauer konnte nicht bestimmt werden, da man in einer Höhe von $\approx 30,10$ m ü. NN auf eine Art »Plattform« unbekannter Funktion stieß, die eine weitergehende Untersuchung verhinderte.²⁴⁸ Unmittelbar vor der Mauer stieß man auf eine zweiphasige Ablagerung rotbraunen Lehms (Taf. 9.1, 1–2), die ihrerseits auf einer zweiphasigen Anhäufung verstürzter Steine ruhte (Taf. 8.1 u. 2, Taf. 9.1, 3–4, Abb. 19).²⁴⁹ Wie bei Ablagerungen dieser Art im Grunde nicht anders zu erwarten, erwies sich das enthaltene Scherbenmaterial zwar als teilweise vermischt, dennoch ergab die Auswertung der betreffenden Funde zumindest einen ungefähren Zeitansatz für die einzelnen Akkumulationen. Die beiden Lehmablagerungen waren demnach jünger als Troia IV: Man fand 14 Fragmente aus der Zeit von Troia VI Früh, neun aus Periode Troia V – darunter sieben Bruchstücke eines grauen Tankards²⁵⁰ –, eines aus Troia IV sowie drei, die chronologisch nicht näher eingeordnet werden konnten. Die meisten Exemplare, die als charakteristisch für Troia VI betrachtet werden konnten, fanden sich im oberen Teil des Lehmpakets, in Ablagerung Nummer 1,²⁵¹ während in Ablagerung Nummer 2 vorwiegend Stücke von Troia V

²⁴⁵ Blegen 1937b: 571; Blegen *et al.* 1951: 139 u. Fig. 309; Blegen *et al.* 1953: Fig. 122.

²⁴⁶ Cf. Blegen 1937b: 571 »Immediately beneath the house a layer of Troy IV appeared; it proved to be thick and complex, containing many architectural remains, together with a wealth of pottery and miscellaneous objects. As in all subsequent settlements, the ground on this side of the hill in the time of Troy IV rose in step-like terraces toward the center of the citadel, and contemporary deposits accordingly descended more and more deeply as they extended southward [...].«

²⁴⁷ Pavúk 2005: 69–71 u. Taf. 5 zog in einer früheren, nunmehr revidierten Beurteilung (Pers. Mitt. Dr. Peter Pavúk, 21.06.2012) zudem die Möglichkeit in Betracht, daß die betreffenden Troia IV und Troia V-zeitlichen Schichten in diesem Bereich der Siedlung im Rahmen späterer, Troia VI Frühzeitlicher Bodeneingriffe vollständig abgetragen wurden. Ausgangspunkt der Argumentation bildeten entsprechende Befunde im unweit westlich gelegenen Quadrat D 8, wo die anstehenden Ablagerungen der beiden Perioden Troia IV und Troia V von einer der Zweiten Phase der Periode Troia VI angehörenden Terrassierungsmauer geschnitten wurden: »Dazugehörige Schichten der zweiten Phase nördlich der Mauer 15201 wurden in der Dritten Phase abgetragen und blieben nicht erhalten. Dasselbe trifft auch auf die Schichten der Ersten Phase zu, welche nur unmittelbar außerhalb (südlich) der Mauer 15201 zu finden sind. [...] Aus den Profilen geht aber deutlich hervor, daß an derselben Stelle, wo die Mauer 15201 steht, ehemals auch ein frühere Terrassenmauer der Ersten Phase gestanden haben müßte, die dann beim Bau der Mauer 15201 abgetragen wurde. Daraus ließe sich folgern, daß eine Troia IV Terrassenmauer erst weiter im Süden liegen müßte, oder vielleicht gar nicht existierte hatte. Für Troia V läßt sich diesbezüglich anhand des Befundes im Areal D 8 keine glaubhafte Aussage machen. Die Troia III Schichten scheinen dagegen (sowohl im Areal D 7/8 als auch im Tiefschnitt nördlich des Pillar Hauses im Areal F 8) schon die Unterstadt außerhalb der damaligen Zitadellenbefestigung zu sein.« Gegen diese Hypothese spricht jedoch bereits der Fund der Troia IV-zeitlichen Mauer als solcher, auch gibt es keinerlei Hinweise auf entsprechende Erdbewegungen an dieser Stelle oder gar auf ein Troia VI Früh-zeitliches Bauwerk, das ursächlich für die starken Niveaudifferenzen innerhalb der chronologisch zugehörigen Ablagerungen gewesen sein könnte.

²⁴⁸ Blegen *et al.* 1951: 139.

²⁴⁹ Caskey 1935: 68, 73, 75, 77; Caskey 1937: 54; Bildarchiv Univ. Cincinnati 35 C 12.20, 35 C 12.21, 35 C 18.15 u. 35 C 18.14.

²⁵⁰ S. diesbezüglich auch Pavúk 2005: 70; Pavúk 2007a: 473–476; Pavúk 2007b: 296–301.

²⁵¹ Cf. Caskey 1935: 75.

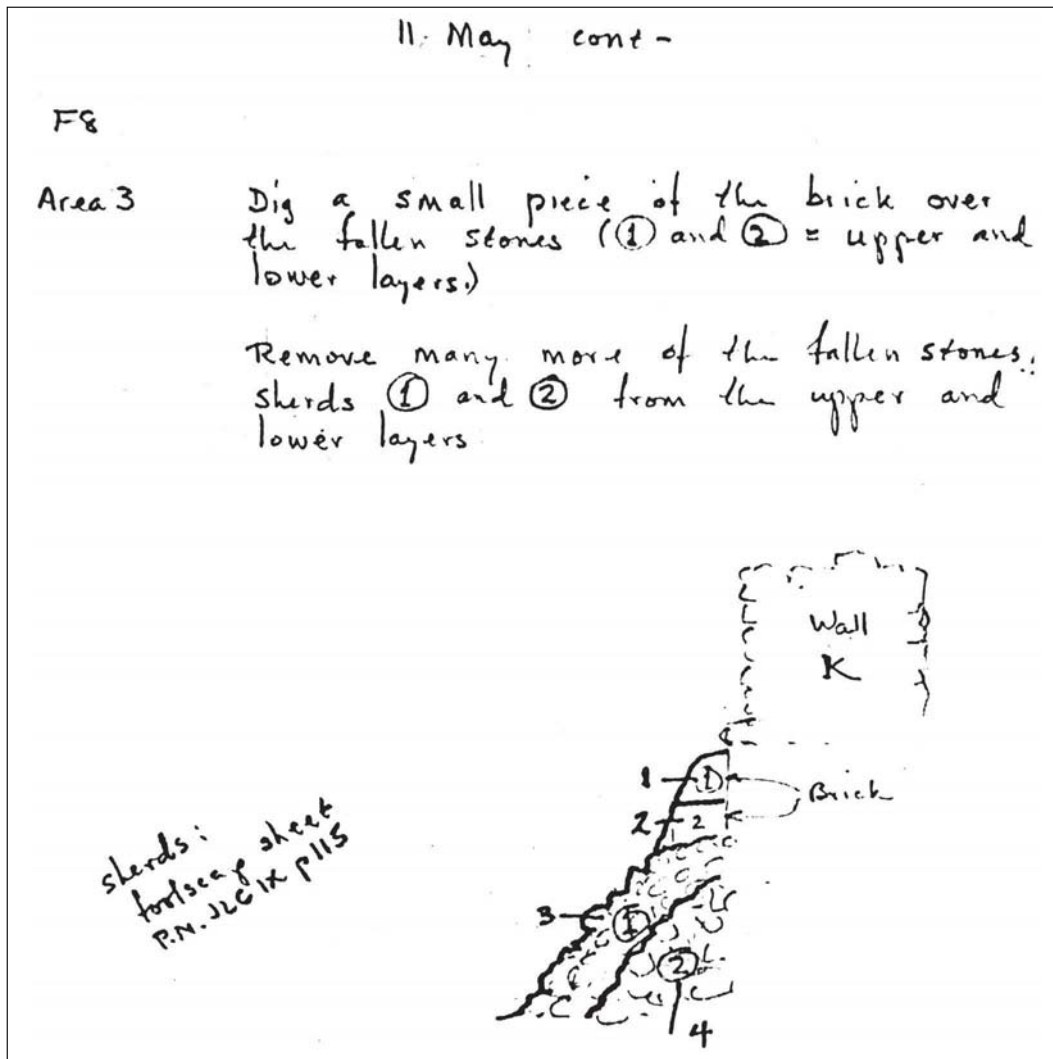


Abb. 19
Grabungstagebuch
John L. Caskey 11. Mai
1937, Seite 54 mit
Profilskizze der Bau-
befunde in
Quadrat F 8.

vertreten waren.²⁵² In Steinversturz Nummer 3 waren lediglich eine Scherbe aus Troia VI Früh enthalten, eine aus Periode V und 37, die Troia IV zugewiesen werden konnten; Nummer 4 ergab sechs weitere Fragmente aus Troia V, drei, die gleichermaßen nach Troia IV wie auch nach Troia V hätten datiert werden können, sowie 73 der Periode IV. Für Blegen *et al.* ergab sich daraus schließlich folgende Situation:²⁵³ Bei Ablagerungen 3 und 4 handle es sich um den Versturz

²⁵² Cf. Blegen *et al.* 1951: 252.

²⁵³ Eine exakte relativchronologische Ansprache der betreffenden Funde und Befunde wird durch offensichtliche Diskrepanzen zwischen im Text geäußerten Datierungsansätzen und den von Blegen *et al.* in diesem Zusammenhang vorgelegten Profilzeichnungen grundsätzlich erschwert: Während in Blegen *et al.* 1951: Fig. 291 die Befunde 1-3 der Periode Troia V und lediglich Befund 4 der Periode Troia IV zugewiesen wurden, wurden die Befunde 3 und 4 in Blegen *et al.* 1953: 252 nach Troia IV datiert, Befund 2 nach Troia V und 1, wenn auch indirekt, nach Troia VI; letztgenanntem Datierungsvorschlag entspricht im wesentlichen Blegen *et al.* 1953: Fig. 460, in der man die verschiedenen Ablagerungen unter der allgemeinen Bezeichnung »IV · V · VI« subsumierte.

einer Troia IV-zeitlichen Verteidigungsmauer, die man in Troia V um einen Aufbau aus ungebrannten Lehmziegeln erweiterte habe; dessen Überreste seien in Ablagerung 2 erhalten. Mit Ablagerung 1 habe man schließlich eine in Troia VI Früh erfolgte Erweiterung bzw. Ausbesserung der Mauer von Troia V erfasst, bei deren Errichtung man zum Teil älteres, mit zahlreichen Keramikfragmenten der vorhergehenden Perioden durchsetztes Baumaterial verwendet habe.²⁵⁴

Die Länge des im Nordosten von Quadrat F 7/8 gelegenen *Room 401* belief sich im Westen auf 2,3 m, im Osten hingegen verbreiterte er sich auf annähernd 3,0 m; die Länge betrug rund 5,5 m.²⁵⁵ Begrenzt wurde der Raum durch relativ unregelmäßig verlaufende Mauerzüge, von denen der nördliche, der westlich wie auch der südliche nahezu vollständig im Grabungsbereich erfaßt werden konnten (cf. Taf. 6.2), während der östliche im wesentlichen unausgegraben blieb und nur sein äußerstes Ende im Profil eines bereits von Schliemann gezogenen Grabens zu erkennen war.²⁵⁶ Mit Ausnahme der Nordmauer, die sich bis zu einer Höhe von 1,25 m erhalten hatte und vollständig aus Kalkbruchsteinen errichtet gewesen zu sein schien, bestanden die Mauern aus ungebrannten Lehmziegeln, die auf einem Sockel bzw. Streifenfundament aus plattigen Steinen aufgeschichtet worden waren.²⁵⁷ Um einen Durchgang von *Room 401* nach *Room 402* dürfte es sich aller Wahrscheinlichkeit nach bei einer Unterbrechung gehandelt haben, die etwa im mittleren Bereich der Südmauer dokumentiert werden konnte.²⁵⁸ Unmittelbar vor der Westmauer fanden sich Reste eines Herds oder Ofens sowie ein Mühlstein (Taf. 9.2). Der Fußboden des Raums fiel in südwestlicher Richtung deutlich ab.²⁵⁹ Darauf fanden sich insgesamt fünf Büstengriffe aus Ton, sieben Spinnwirtel aus Keramik sowie größere Mengen keramischen Fundmaterials, darunter 22 zumindest in Teilen rekonstruierbare Gefäße (Tab. 1).²⁶⁰ Unter diesen befanden sich zwei *pithoi*, deren untere Partien ursprünglich leicht in den Begehungshorizont eingelassen worden waren, sowie mehrere große Krüge (cf. Taf. 9.3).²⁶¹ Überdeckt wurde das ganze von einer dicken Schicht aus Asche, die neben anderem verbrannten Siedlungsmaterial vermutlich vom ehemaligen Dachaufbau stammende und infolge des Schadenfeuers ins Rauminnere gestürzte Lehmbrocken enthielt.²⁶²

Unmittelbar südlich davon erstreckte sich *Room 402*. Den westlichen Abschluß des Gebäudeteils bildete eine Verlängerung der Mauer, die auch *Room 401* in diese Richtung begrenzte. In ihrem nördlichen Abschnitt bestand diese aus kleinen weitgehend unbearbeiteten Bruchsteinen, die man zu einer Breite von maximal 0,4 m ausgelegt hatte, im südlichen Bereich bestand sie hingegen aus gestampftem Lehm, der nachträglich mit einem deckenden weißen Kalkmörtelanstrich versehen worden war.²⁶³ Wenngleich bei den Ausgrabungen lediglich die nordwestliche

²⁵⁴ Blegen *et al.* 1951: 252.

²⁵⁵ Blegen 1937b: 572.

²⁵⁶ Blegen *et al.* 1951: 140.

²⁵⁷ Cf. Blegen 1937b: 572.

²⁵⁸ Blegen 1937b: 572.

²⁵⁹ Cf. Blegen *et al.* 1951: Fig. 290.16 u. 292.6.

²⁶⁰ Blegen *et al.* 1951: 140–141; Blegen 1937b: 572 u. Fig. 10–11.

²⁶¹ Blegen *et al.* 1951: 141–143.

²⁶² Blegen *et al.* 1951: 140.

²⁶³ Blegen *et al.* 1951: 144 u. Fig. 92. Vgl. Blegen 1937b: 572.

Tab. 1: Quadrat F7/8 Room 401, Keramikfundgut Troia IVa				
Menge insgesamt	ca. %-Anteil Fein-/Grobkeramik	Warengattung	Form	Anzahl
»nearly two basketfuls [...], in addition to 22 restorable pots«	60/40	<i>Gray and Black Wares</i>	A 12 A 16 B 18 C 5 D 7	1 »a few fragments« 1 1 1
		<i>Red-coated Ware</i>	A 12 A 16 A 18 A 20 A 33 A 39 B 18 (?) B 21 C 29 C 33 (?) D 2	4 ca. 10 2 4 4 1 »several fragments« 1 1 1 1
		<i>Plain Ware</i>	A 16 B 24 C 10	10 2 1
		<i>Early Aegean Wares</i>	B 24 C 10	1 2
		<i>Coarse Fabrics</i>	A 16 C 5 C 11 C 12 C 14 C 16 C 22	1 1 1 1 2 1+ 6

Ecke des Raums freigelegt werden konnte, zeichnete es sich dennoch ab, daß dieser deutlich größer war als *Room 401*. Eine solides Podest, bestehend aus Lehm, Steinen und ungebrannten Lehmziegeln, fand sich in der Nordwestecke des Raums. Dieses nahm eine rechteckige Grundfläche von $0,85 \times 0,9$ m ein und war nach Südosten hin abgerundet, wo es sich bis zu einer Höhe von 0,35 m erhalten hatte (Taf. 9.4). Im Süden, unmittelbar der Westmauer vorgesetzt, schloß daran ein kleineres annähernd quadratisches Segment an, dessen maximale Höhe deutlich unter derjenigen des Podests lag. Mit Ausnahme der Oberseite des Podests war die gesamte Struktur mit einem feinen Anstrich aus Kalkmörtel versehen: »*The purpose of this piece of furniture could not be determined. It may have served as a seat or shelf, or as a raised hearth or household altar.*«²⁶⁴ Der flache Raumboden fiel von $\nabla 31,72$ m ü. NN im Norden auf $\nabla 30,97$ m ü. NN im Süden ab. Wie in *Room 401* bestand die Oberfläche des Laufniveaus aus kompakter, fest gestampfter Erde und wies in gleicher Weise Spuren nachträglicher Brandeinwirkung auf. Darüber lagerte eine deckende Schicht verbrannten Materials, die ihrerseits von einer Akkumulation

²⁶⁴ Blegen *et al.* 1951: 144.

Tab. 2: Quadrat F7/8 Room 402, Keramikfundgut Troia IVa				
Menge insgesamt	ca. %-Anteil Fein-/Grobkeramik	Warengattung	Form	Anzahl
»two baskets of sherds«	50/50	Gray and Black Wares	»not determined«	»a few sherds«
		Red-coated Ware	A 11	1
			A 16	»numerous examples«
			A 18	»several rim fragments«
			A 20	4
			A 33	»several examples«
			A 37	1
A 39	1			
B	»a few fragments«			
B 9	1			
C 11	»a few fragments«			
C 38	4			
D 7 oder D 8	1			
Plain Ware	A 2	ca. 12		
Early Aegean Wares	B 23	1		
	C 9	1		
Coarse Fabrics	A 33	1		
	C 19	»several fragments«		
	C 29	1		
	C	»many fragments«		

aus zerbrochenen Lehmziegeln – wohl Bestandteile der ehemaligen Mauer- und Dachkonstruktionen – überdeckt wurde. Unter den Fundstücken befanden sich zwei kupferne Nadeln, ein Idol aus Marmor, zwei Silexklingen, drei Knochengерäte, ein Spinnwirtel aus Ton sowie zahlreiche Fragmente keramischer Gefäße (Tab. 2): »Not so many whole pots were found as in the adjoining room, 401, and we may infer that the latter was used for storage while Room 402 constituted the main living quarters.«²⁶⁵

Area 403 dehnte sich in einem vergleichsweise schmalen Bereich westlich von Room 401 aus und hatte während der ersten Besiedlungsphase von Troia IV vermutlich die Funktion eines Verkehrswegs erfüllt (Taf. 6.2).²⁶⁶ Im Norden wurde die Freifläche durch die Mauer eines Gebäudes begrenzt, von dem sich infolge massiver Bodeneingriffe durch Schliemann nur geringe Reste erhalten hatten.²⁶⁷ Im Süden daran schloß Area 404 an,²⁶⁸ während in westlicher Richtung eine Mauer des Raumsegments 401 den Abschluß bildete. Wie auch in allen anderen Bereichen des Quadrats F 7/8 erstreckte sich die Troia IVa-zeitliche Ablagerung (Tab. 3), die ausgehend von einem Niveau von ▼ 32,30 m ü. NN eine Stärke von 0,4 m erreichte, direkt über der Kulturschicht der vorausgehenden Periode Troia III.

²⁶⁵ Blegen 1937b: 572.

²⁶⁶ Blegen 1937b: 572–573.

²⁶⁷ Blegen et al. 1951: 146 u. Fig. 93, 94.

²⁶⁸ Cf. Blegen et al. 1951: 147.

Tab. 3: Quadrat F7/8 Area 403, Keramikfundgut Troia IVa				
Menge insgesamt	ca. %-Anteil Fein-/Grobkeramik	Warengattung	Form	Anzahl
»nearly a basketful«	40/60	<i>Gray and Black Wares</i>	A 21	1
		<i>Red-coated Ware</i>	A 1	1
			A 4 (?)	1
			A 11 oder A 16	1
			A 45	1
		<i>Plain Ware</i>	A 2	25
<i>Early Aegean Wares</i>	-	4		
<i>Coarse Fabrics</i>	C	1		

Tab. 4: Quadrat F7/8 Area 404, Keramikfundgut Troia IVa				
Menge insgesamt	ca. %-Anteil Fein-/Grobkeramik	Warengattung	Form	Anzahl
»about half a basketful«	35/65	<i>Red-coated Ware</i>	A	1
			D 7	1
		<i>Early Aegean Wares</i>	-	10
			A 33	1
		<i>Coarse Fabrics</i>	-	-

Infolge unzureichender Erhaltungsbedingungen ließen sich über die randliche Bebauung im Süden von *Area 404* im Grunde keine aussagefähige Feststellungen treffen (cf. Taf. 6.2). Im Osten hingegen konnte die westwärts gerichtete Außenmauer von *Room 402* als Flächenbegrenzung festgestellt werden, während in nördlicher Richtung eine teilweise aus Stein und teilweise aus ungebrannten Lehmziegeln bestehende Mauer einer weiteren Ausdehnung ein Ende setzte. Diese war bis zu einer Höhe von ∇ 31,40 m ü. NN mit weißem Verputz versehen und verfügte über ein kurzes, rechtwinklig nach Süden abzweigendes Segment.²⁶⁹ Wie in den anderen untersuchten Teilen des Quadrats F 7/8 wies auch hier der ehemalige Begehungshorizont ein leichtes Gefälle auf (cf. Taf. 6.1). In dem unmittelbar darüberliegenden Stratum fanden sich neben größeren Mengen an Brandrückständen zahlreiche zerbrochene Lehmziegel, bei denen es sich um die verstürzten Trümmer der umliegenden Gebäude gehandelt haben dürfte. Unter den spärlichen Funden in diesem Bereich (Tab. 4)²⁷⁰ befand sich der Rest eines hölzernen Balkens, der noch relativ gut erhalten und nur zum Teil verbrannt war.²⁷¹

²⁶⁹ Den von diesem und der annähernd parallel dazu verlaufenden Westmauer von *Room 402* abgetrennten, ca. 1,2 m breiten Bereich betrachteten Blegen *et al.* 1951: 147 als möglichen Standort eines Ofens oder Herds. Entsprechend seiner spezifischen Ausmaße, seiner räumlichen Relation zu anderen Gebäudeteilen und seiner Lage in der Randzone einer größeren Freifläche könnte es sich jedoch bei dem vorliegenden Befund möglicherweise auch um eine fest installierte Toilette gehandelt haben: allgemein dazu s. Blum 2003: 187–190. Cf. Korfmann 1983a: 215 Anm. 436; Skibo 1999: 38, 96–97.

²⁷⁰ Blegen *et al.* 1951: 147–148 u. Fig. 298.

²⁷¹ Blegen *et al.* 1951: Fig. 95.



Abb. 20
 Quadrate F 7/8,
 Ostprofil (Blegen
 et al. 1950: Fig. 68).

2.2.3.1.2 Troia IVb

Bereits kurze Zeit später, nachdem ein Feuer die baulichen Einrichtungen der Phase Troia IVa zerstört hatte, wurden die Gebäude in Teilen wieder hergestellt. *Room 401* wurde ohne wesentliche Veränderungen beibehalten, während der Bereich, den zuvor *Room 402* eingenommen hatte, von allen architektonischen Elementen befreit wurde. Eine neue Terrassierungsmauer, Mauer 405,²⁷² trat an die Stelle der Vorgängerstruktur und schuf eine räumliche Trennung zwischen *Area 403* und *Area 404* (Taf. 10.1).²⁷³

Die nach Norden gewandte Mauer von *Room 401* war allem Anschein nach durch den Brand am Ende der vorausgegangenen Phase nicht allzu sehr in Mitleidenschaft gezogen worden und konnte ohne grundlegende Eingriffe in die bereits vorhandene Bausubstanz erneuert werden: In südlicher Richtung war der Raum durch eine Mauer begrenzt, deren Fundament man in einer Höhe von $\nabla 32,25$ m ü. NN anlegte und in den Schutt von Troia IVa eintiefte. Die Mauer bestand aus flachen Steinplatten, die zu 15 Lagen aufgeschichtet wurden, darüber befand sich ein Aufbau aus ungebrannten Lehmziegeln (Taf. 10.2–3). Das ganze war mit einem flächendeckenden Verputz aus Lehmörtel und einem abschließenden Anstrich aus Kalk versehen worden,²⁷⁴ der auf beiden Seiten des Mauerwerks bis auf das untere Niveau des zugehörigen Raumbodens hin-

²⁷² Blegen 1937b: 572.

²⁷³ Blegen et al. 1951: 168.

²⁷⁴ Cf. Blegen et al. 1951: Fig. 292, 299.

Tab. 5: Quadrat F7/8 Room 401, Keramikfundgut Troia IVb

Menge insgesamt	ca. %-Anteil Fein-/Grobkeramik	Warengattung	Form	Anzahl
»about one basketful«	40/60	<i>Gray and Black Wares</i>	A 16	1
			A 33	1
		<i>Red-coated Ware</i>	A 4	1
			A 12	»a few sherds«
			A 16	»many examples«
			A 18	»a few sherds«
			A 20	»many examples«
			A 33	3
			A 39	2
			A 45	1
			B 24	1
			B	»several fragments«
		D	1	
<i>Plain Ware</i>	A 2	1		
<i>Early Aegean Wares</i>	-	»several sherds«		
<i>Coarse Fabrics</i>	C 14	2		
	C 22	2		
	C 29	1		

abreichte. Wenn auch die Mauer mit einer mittleren Stärke von 0,8 m vergleichsweise massiv bemessen worden war, geriet sie dennoch im Laufe der Zeit – vermutlich durch die Folgen eines Erdbebens – aus der Senkrechten und war forthin stark nach Süden geneigt (Abb. 20, Taf. 10.4).²⁷⁵ Eine 0,42 m starke Wand, die nur wenig weiter östlich errichtet wurde als die Vorgängerstruktur, bildete den westlichen Raumabschluß.²⁷⁶ Der Troia IVb-zeitliche Laufhorizont von *Room 401* war ausgehend von einer absoluten Höhe von ▼ 33,75 m ü. NN bis ▼ 33,00 m ü. NN in südwestlicher Richtung abschüssig.²⁷⁷ Darüber lagerte eine rund 0,35 m mächtige Akkumulation von Siedlungsschutt, die unter anderem zwei Nadeln aus Kupfer oder Bronze beinhaltenete, sowie 4 Spinnwirtel und zwei Webgewichte (Tab. 5).²⁷⁸

In *Area 402* konnten für die Zeit von Troia IVb keine baulichen Aktivitäten nachgewiesen werden. Festzustellen waren hingegen drei aufeinanderlagernde Schichten (Taf. 10.3),²⁷⁹ von denen die unterste, nach Blegen *et al.* unmittelbar an den Beginn der Phase zu datierende Strate überwiegend aus ineinander verstürzten und entsprechend untereinander vermischten Lehmziegeln und Steinen bestand (*cf.* Taf. 6.1, 21).²⁸⁰ Das darüber liegende Stratum zog bis hoch an die Südmauer von *Room 401* heran und bestand vorwiegend aus schwarzgrauem, aschigen Material (Taf. 6.1, 20). Stratigraphisch den Abschluss bildete eine Ablagerung, die wiederum aus

²⁷⁵ *Cf.* Blegen *et al.* 1950: Fig. 68; Blegen *et al.* 1951: Fig. 99.

²⁷⁶ Blegen *et al.* 1951: 168 u. 290.

²⁷⁷ *Cf.* Blegen *et al.* 1951: Fig. 290, 292 u. 295.

²⁷⁸ Blegen *et al.* 1951: 168–170.

²⁷⁹ *Cf.* Blegen *et al.* 1951: Fig. 292.21, 295.21 u. 299.

²⁸⁰ Blegen *et al.* 1951: 170.

Tab. 6: Quadrat F7/8 Area 402, Keramikfundgut Troia IVb

Menge insgesamt	ca. %-Anteil Fein-/Grobkeramik	Warengattung	Form	Anzahl
»one basketful«	-	<i>Gray and Black Wares</i>	C	1
		<i>Red-coated Ware</i>	A 4	»represented«
			A 12	»represented«
			A 16	»numerous examples«
			A 18	»represented«
			A 20	»represented«
B 20	1			
B 24	»several fragments«			
B oder C	-			
<i>Plain Ware</i>	A 16	1		
<i>Early Aegean Wares</i>	-	2		
<i>Coarse Fabrics</i>	C 16	-		
	C 22	-		

verstärkten Lehmziegeln bestand – wohl den Gebäuderümmern vom Ende der Phase (Taf. 6.1, 19). Insgesamt erreichte das Troia IVb-zeitliche Schichtenpaket eine Stärke von 0,7 m und umfaßte in seinem Fundgut neben zwei marmornen Idolen eine Silexklinge, eine Nadel oder Ahle aus Knochen sowie ein Webgewicht (Tab. 6).²⁸¹

Die westliche Hälfte des Grabungsareals, dessen nordwestlichen Abschnitt *Area 403* einnahm, wurde in ihrem Erscheinungsbild nachhaltig durch Mauer 405 geprägt.²⁸² Bei dieser handelte es sich um eine Terrassierungsmauer, die bei einem Niveau von ▼ 31,87 m ü. NN begann und eine Mindesthöhe von 1,45 m erreichte (Taf. 10.3)²⁸³ In seiner Stärke variierte das in einer Kombination aus verhältnismäßig großen und demgegenüber auffallend kleinen Steinen ausgeführte Mauerwerk zwischen 0,45–0,85 m. Der Verlauf war unregelmäßig, und infolge einer deutlichen Neigung in südlicher Richtung mußte sie bereits in der nachfolgenden Phase Troia IVc verstärkt werden.²⁸⁴ Der nördlich an die Mauer anschließende Laufhorizont lag in einer Höhe von ▼ 33,35 m ü. NN; eine fundführende Kulturschicht konnte darauf – wohl durch spätere Baumaßnahmen an dieser Stelle bedingt – nicht festgestellt werden.²⁸⁵

Anders hingegen in der südlich von Mauer 405 gelegenen *Area 404* (cf. Taf. 10.3). Hier erstreckte sich ein im Durchschnitt 0,5 m starkes Stratum bis unmittelbar an die Terrassierung,²⁸⁶ das zwar keine baulichen Befunde aufwies, dafür jedoch, gemessen an seiner Gesamtausdehnung, hinreichend aussagefähiges Fundmaterial enthielt (Tab. 7).²⁸⁷

²⁸¹ Blegen *et al.* 1951: 170–171.

²⁸² Cf. Blegen 1937b: 572.

²⁸³ Cf. Blegen *et al.* 1951: Fig. 294.

²⁸⁴ Cf. Blegen 1937b: 572; Blegen *et al.* 1951: 185.

²⁸⁵ Blegen *et al.* 1951: 171.

²⁸⁶ Cf. Blegen *et al.* 1951: Fig. 291.

²⁸⁷ Blegen 1937b: 572; Blegen *et al.* 1951: 171.

Tab. 7: Quadrat F7/8 Area 404, Keramikfundgut Troia IVb				
Menge insgesamt	ca. %-Anteil Fein-/Grobkeramik	Warengattung	Form	Anzahl
»about half a basketful«	40/60	Red-coated Ware	A 18 B 3	1 1
		Early Aegean Wares	A 20 -	1 »several«

2.2.3.1.3 Troia IVc

Die Troia IVc-zeitliche Bebauung des Quadrats F 7/8 griff das in den beiden vorausgegangenen Phasen konzipierte Anlageschema ohne markante Veränderungen auf (Taf. 11.1).²⁸⁸ *Room 401* wurde weiterhin als geschlossene Raumeinheit verwendet, während die südlich daran anschließende *Area 402* nun wohl die Funktion eines offenen Hofes erfüllte.²⁸⁹ Mauer 405 wurde teilerneuert und diente dazu, den rund 70 cm höheren, von *Area 403* eingenommenen Abschnitt der Terrassierung von dem tiefergelegenen Bereich abzusetzen, in dem sich der neugeschaffene *Room 406* erstreckte. Die zu diesem Siedlungsabschnitt gehörende Kulturschicht variierte in der Stärke zwischen 0,2–0,5 m und wies, bei einem Niveau von ∇ 33,20 m ü. NN im Norden beginnend, ein leichtes Gefälle in südlicher Richtung auf, wo sie schließlich eine absolute Höhe von ∇ 31,90 m ü. NN erreichte.²⁹⁰

Room 401 verfügte über dieselbe Ausrichtung und Dimension wie in den Phasen Troia IVa und IVb. Neu hinzugefügt wurde lediglich eine Steinmauer im Westen, die deutlich massiver bemessen war als ihre Vorgängerbauten. Bei der gegen Ende von Troia IVb zu Schaden gekommenen Südmauer wurde der bisherige Aufbau aus ungebrannten Lehmziegeln vollständig saniert (Taf. 6.1, 13);²⁹¹ da sich dieser jedoch im Laufe seines Bestehens stark in Richtung Norden neigte, wurde er – wohl um einer vollständigen Verkipfung entgegenzuwirken – auf seiner Innenseite durch in Mörtel Lehmziegel verstärkt (Taf. 6.1, 7). Begleitet wurde der Bau von einer vollständig mit Asche angefüllten, von Blegen *et al.* als »*Bothros*« bezeichneten Eintiefung (Taf. 6.1, 2) sowie von einer darüber sich ausbreitenden Akkumulation, bestehend aus vermischten Siedlungsabfällen (Taf. 6.1, 1 u. Tab. 8).²⁹²

Bei *Area 402* handelte es sich vermutlich ebenfalls um einen Hofbereich (*cf.* Taf. 11.1).²⁹³ Hier wurde eine dicke asche- und holzkohlehaltige Ablagerung angetroffen (Taf. 6.1, 18), die eine auffällig große Menge an Keramikfragmenten – davon rund 75 % sog. *Red-coated Ware* – und Kleinfunde enthielt (Tab. 9). Darüber wiederum lagerten mehrere, nicht weiter zu differenzierende Schichten aus vergangenen Lehmziegeln (Taf. 6.1, 17 u. 27).²⁹⁴

²⁸⁸ *Cf.* Blegen *et al.* 1951: 139, 168.

²⁸⁹ Blegen 1937b: 571–572.

²⁹⁰ Blegen *et al.* 1951: 181, 185 u. Fig. 101, 291, 294.

²⁹¹ *Cf.* Blegen *et al.* 1950: Fig. 68.

²⁹² Blegen *et al.* 1951: 181.

²⁹³ Blegen *et al.* 1951: 182.

²⁹⁴ Blegen *et al.* 1951: 182–184 u. Fig. 292, 295, 300.

Tab. 8: Quadrat F7/8 Room 401, Keramikfundgut Troia IVc

Menge insgesamt	ca. %-Anteil Fein-/Grobkeramik	Warengattung	Form	Anzahl
»one basketful«	33/67	<i>Red-coated Ware</i>	A 16	»many examples«
			A 18	»a few rim pieces«
			A 20	»many examples«
			A 33 (?)	-
			A 39	1
			B 18 oder B 20	1
			B 18 oder B 23	1
			B	-
			C 5	2
			C 10	»numerous fragments«
C 11	»numerous fragments«			
C 14	»numerous fragments«			
C 16	»numerous fragments«			
		<i>Plain Ware</i>	-	-
		<i>Early Aegean Wares</i>	C 16 (?) -	1 »a few fragments«
		<i>Coarse Fabrics</i>	C	»many fragments«

Von *Room 406* konnte während den Ausgrabungen nur ein kleiner Teilbereich seiner ursprünglichen Gesamtfläche untersucht werden (Taf. 11.1). Die Ostmauer des Raums mündete im rechten Winkel in Terrassierungsmauer 405 ein und bestand aus kleinen, unregelmäßig bearbeiteten Kalkbruchsteinen (Taf. 11.3). Von der Westmauer konnte in einem eigens dafür angelegten Suchschnitt nur ein kurzes Segment erfaßt werden: sie lag in einer Distanz von 3,6 m von der Ostmauer entfernt, besaß eine Breite von 0,65 m und war aus ungebrannten Lehmziegeln errichtet. Der dazugehörige Raumboden konnte in einer Höhe von ∇ 31,95 m ü. NN lokalisiert werden. Das unmittelbar darauf lagernde Keramikfundgut umfaßte zu 80 % *Red-coated Ware* (Tab. 10). Nahe der Ostmauer fand man ein ca. 1 m² großes Pflaster – eventuell der Unterbau eines Herds –, bestehend aus Fragmenten eines Gefäßes der Form C 19, die flach nebeneinander in den Boden eingepreßt worden waren. Zum Zeitpunkt der Untersuchung besaß dies eine annähernd dreieckige Grundform, jedoch schlossen Blegen *et al.* nicht aus, daß es in seinem originalen Zustand rechteckig war.²⁹⁵

Reste eines Kuppelofens konnten nördlich von Mauer 405, in einem als *Area 403* bezeichneten Gebiet, nachgewiesen werden (Taf. 11.1).²⁹⁶ Wenn auch Blegen *et al.* generell die Option einräumten, daß es sich bei dem betreffenden Gebiet ursprünglich auch um den geschlossenen Teil eines Gebäudes gehandelt haben könnte, so zogen sie es dennoch vor, ihn als Hof bzw. Freifläche anzusprechen.²⁹⁷ Ein zu dieser Befundeinheit gehörendes dünnes Stratum lag in einer durchschnittlichen Höhe von ∇ 33,55 m ü. NN bis ∇ 33,15 m ü. NN,²⁹⁸ unmittelbar auf den

²⁹⁵ Blegen *et al.* 1951: 185.

²⁹⁶ Caskey 1937: 89. Cf. Blegen *et al.* 1951: Fig. 300.

²⁹⁷ Blegen *et al.* 1951: 184.

²⁹⁸ Blegen *et al.* 1951: 184.

Tab. 9: Quadrat F7/8 Area 402, Keramikfundgut Troia IVc

Menge insgesamt	ca. %-Anteil Fein-/Grobkeramik	Warengattung	Form	Anzahl
»about one and a half basketfuls«	33/67	<i>Gray and Black Wares</i>	C 12	»several rims of jars«
			C 28	1
			D 15	2
		<i>Red-coated Ware</i>	A 12	»few examples«
			A 16	»many rim fragments«
			A 18	»few examples«
A 20	»many examples«			
A 33	5			
A 39	2			
B 22	1			
B 24	1			
B	-			
C 28	1			
D 1	1			
<i>Plain Ware</i>	A	»a few fragments«		
	D	1		
<i>Early Aegean Wares</i>	-	»numerous fragments«		
<i>Coarse Fabrics</i>	C 10	»many examples«		
	C 11	»many examples«		
	C 22	3		
	D 1	1		

Tab. 10: Quadrat F7/8 Room 406, Keramikfundgut Troia IVc

Menge insgesamt	ca. %-Anteil Fein-/Grobkeramik	Warengattung	Form	Anzahl
»one half basketful«	40/60	<i>Red-coated Ware</i>	A 4	1
			A 12	1
			A 16	5
			A 20	»many examples«
			A 33	»several fragments«
			A 40	1
			B 21	1
			B	1
			D 5 oder D 7	1
			<i>Plain Ware</i>	A 2
		A 18		1
		<i>Early Aegean Wares</i>	-	»several fragments«
		<i>Coarse Fabrics</i>	C 19	-
			C 22	-

Trümmern einer Mauer der Phase Troia IVa (Tab. 11).²⁹⁹ Der Ofen, von dessen einstiger Kuppel sich nur wenige Teile erhalten hatten, war der Nordseite von Mauer 405 unmittelbar vorge-lagert³⁰⁰ und verfügte allem Anschein nach über eine westwärts gewandte Öffnung (Taf. 11.2).³⁰¹

²⁹⁹ Cf. Blegen *et al.* 1951: 171 u. Fig. 291.

³⁰⁰ Cf. Blegen *et al.* 1951: Fig. 101.

³⁰¹ Caskey 1937: 89.

Tab. 11: Quadrat F7/8 Area 403, Keramikfundgut Troia IVc				
Menge insgesamt	ca. %-Anteil Fein-/Grobkeramik	Warengattung	Form	Anzahl
»about half a basketful«	25/75	<i>Red-coated Ware</i>	B	1
		<i>Plain Ware</i>	B 24	1
		<i>Early Aegean Wares</i>	B oder C	-
		<i>Coarse Fabrics</i>	A 28 C 22	1 »several«

Sein Grundriß war annähernd kreisrund und wies einen Durchmesser von maximal 1,7 m auf.³⁰² Soweit dies noch zu beurteilen war, bestand die Wandung des Ofens aus sorgfältig verstrichenen Lehm, der auf einer Substruktion aus flachen Steinplatten zu einer Kuppel aufgesetzt worden war (Abb. 21);³⁰³ unmittelbar auf der Oberfläche des Fundaments hatte man zuvor ein zusätzliches Pflaster aus mehreren größeren Keramikscherben ausgelegt, das abschließend mit einer dünnen Schicht aus Lehmörtel abgedeckt wurde, die im Laufe der wiederholten Benutzung zunehmend aushärtete und auf diese Weise eine ausreichend feste Nutzfläche bildete.³⁰⁴

2.2.3.1.4 Troia IVd

Auch in Phase Troia IVd zeichneten sich bezüglich des architektonischen Habitus im Grunde nur wenige signifikante Neuerungen in Relation zur Vorgängerphase ab (Taf. 12.1): In der Nordostecke des untersuchten Bereichs lag unverändert *Room 401*, vom dem aus sich der offene Hof *Area 402* wie gehabt nach Süden hin ausdehnte. Lediglich ein kurzes Mauersegment, Mauer 408, deutete darauf hin, daß das zuvor unbebaute Areal nun – ähnlich wie in Phase IVa – durch ein nebenstehendes Gebäude partiell eingeengt wurde. Südlich von Mauer 405, die weiterhin als Terrassierung diente, fand sich in dem zuvor von *Room 406* eingenommenen Gebiet die Ecke eines neuen Raums, *Room 407*, der in seiner Ausrichtung leicht von der bis dahin allgemein vorherrschenden Grundorientierung abwich (Taf. 12.2).³⁰⁵ Die daran nach Osten anschließende *Area 410* wurde von *Area 402* durch die in diesem Besiedlungsabschnitt ebenfalls neu hinzugekommene Mauer 409 getrennt. Das Niveau der diesen Befunden zeitlich zuzuweisenden Kulturschicht lag in *Room 401* bei ▼ 34,20 m ü. NN und fiel sowohl in südlicher als auch in westlicher Richtung bis auf eine Höhe von ▼ 32,15 m ü. NN in *Room 407* ab; Anzeichen für eine Zerstörung der Bauten durch Brandeinwirkung etc. gab es keine.

³⁰² Cf. Blegen *et al.* 1951: 195 u. Fig. 100.

³⁰³ Caskey 1937: 89.

³⁰⁴ Blegen *et al.* 1951: 184.

³⁰⁵ Blegen *et al.* 1951: 194–195 u. Fig. 301.

F8 4 men
F9 2 men

20 May, Thursday

E8
8 men

61

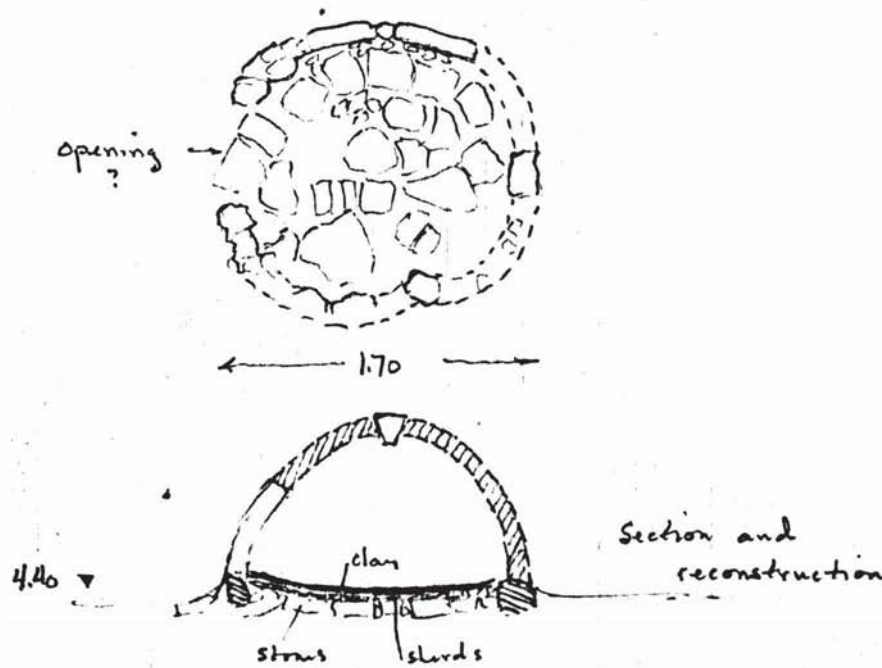
Finish cleaning the fallen stones of Wall 117 under 117a.

F8

Clean and examine the oven in Area 1, W. side. It was originally about circular, with a diam. of ca 1.70 m. A ring of stones, some of which are orthostate, formed the outer edge of the foundation. Inside the ring there is a solid platform of stones. Above the stones was a layer of potsherds, and over that a layer of clay, burned hard by the fire.

AREA 1

OVEN



From the oven floor, a big bag of sherds, and:

Bone awl, sharpened at both ends

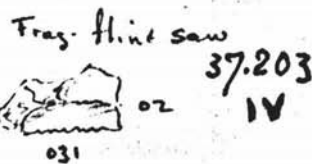
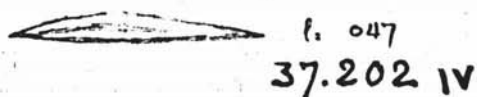


Abb. 21
Grabungstagebuch
John L. Caskey
20. Mai 1937, Seite
89 mit Planskizze
und zeichnerischem
Rekonstruktionsversuch
des Troia IVC-zeitlichen
Kuppelofens in
Quadrat F 8.

Tab. 12: Quadrat F7/8 Room 401, Keramikfundgut Troia IVd				
Menge insgesamt	ca. %-Anteil Fein-/Grobkeramik	Warengattung	Form	Anzahl
»about one basketful«	45/55	<i>Gray and Black Wares</i>	-	»several sherds«
			B	1
			B oder C	1
		<i>Red-coated Ware</i>	A 4	1
			A 16	»many rim fragments«
			A 18	»several examples«
A 20	3			
A	2			
B 24	1			
B	1			
C 6	-			
C 10	-			
C 11	-			
C 28 (?)	-			
C	1			
<i>Plain Ware</i>	B 24	-		
	C 10	-		
<i>Early Aegean Wares</i>	-	»several sherds«		
<i>Coarse Fabrics</i>	C 19	1		
	C 22	-		
	C 39	-		
	D 23	-		

Die bereits in Troia IVc erneuerte Westmauer von *Room 401* hatte auch in Phase IVd Bestand, unverändert übernommen wurde zudem die bereits in Troia IVb angelegte Südmauer.³⁰⁶ Überdeckt wurde hingegen die Nordmauer, die über drei Zeithorizonte hinweg eine bauliche Abgrenzung zu den benachbarten Bereichen geschaffen hatte; an ihre Stelle trat eine neue, etwas weiter im Norden gelegene Wandkonstruktion (Taf. 12.1). Auf dem Raumboden lag ein zwischen 0,25–0,3 m dickes Stratum aus Erde und Brandrückständen.³⁰⁷ Das darin enthaltene Keramikfundgut umfaßte ca. 70 % *Red-coated Ware* (Tab. 12), darüberhinaus fanden sich hier die Reste eines Ofens oder einer Herdstelle mit rundem Grundriß (Taf. 12.3). In ihrem Inneren war die Installation mit den Fragmenten eines Gefäßes ausgekleidet,³⁰⁸ während man die aus rotbraunem Lehm gefertigte und auf der Außenseite deckend mit Kalk verputzte Wandung mithilfe von Bruchstücken zerbrochener Lehmziegeln stabilisierte. Ob es sich bei dem betreffenden Befund tatsächlich um einen Ofen gehandelt hatte oder um eine Herdstelle,³⁰⁹ konnte während den Ausgrabungen nicht mehr ermittelt werden: Zwar verfügte die erhaltene Außenwand über eine deutliche Krümmung nach innen, was auf die ehemalige Existenz einer Kuppel hindeuten mag, konkrete Hinweise auf die Form und Konstruktionsweise eines potentiellen oberen Abschlusses fehlten indessen.

³⁰⁶ Blegen *et al.* 1951: 195 u. Fig. 290.

³⁰⁷ Blegen *et al.* 1951: Fig. 290.11.

³⁰⁸ Blegen *et al.* 1951: 196 Nr. 36.868.

³⁰⁹ Cf. Blegen *et al.* 1951: 258.

Tab. 13: Quadrat F7/B Area 410 und Room 407, Keramikfundgut Troia IVd				
Menge insgesamt	ca. %-Anteil Fein-/Grobkeramik	Warengattung	Form	Anzahl
»more than two basket«	40/60	<i>Gray and Black Wares</i>	C 30	1
			D 29	1
		<i>Red-coated Ware</i>	A 11	1
			A 16	»many examples«
			A 18	»several«
			A 20	5
			A 33	»several«
			A 36	1
			B 24	2
			B	-
			C 5 (?)	2
			C 10	»several«
			C 11	»several«
			C 14	1
			C 33 (?)	-
			C (?)	1
			D 2	1
		D 8	1	
		D 13	1	
		D 15	1	
<i>Plain Ware</i>	-	»numerous sherds«		
	A 2	»several fragments«		
<i>Early Aegean Wares</i>	-	-		
	A 33	1		
<i>Coarse Fabrics</i>	C 10	-		
	C 11	-		
	C 14	-		
	C 19	-		
	C 22	-		
	C 39	-		

Area 410, im Südwesten des Grabungsareals, wurde in seiner räumlichen Struktur im wesentlich durch *Room 407* bestimmt, der zumindest in Teilen Raumsegment 406 des vorausgegangenen Zeitabschnitts überlagerte (Taf. 12.1).³¹⁰ Die in nördlicher und östlicher Richtung gewandten Mauerzüge, die sich bis zu einer maximalen Höhe von 0,9 m erhaltenen hatten, bestanden aus plattigen Bruchsteinen, die in Lehmörtel gesetzt waren (Taf. 12.2); Reste ungebrannter Lehmziegel, die sich in deren näherem Umfeld fanden, deuteten darauf hin, daß sich auf dieser Substruktion einst ein entsprechender Aufbau befand.³¹¹ Das Basisniveau der Nordmauer lag bei ∇ 32,50 m ü. NN, während die in diese rechtwinklig einbindende Ostmauer das leichte Gefälle des Geländes aufgriff und im Süden bis auf eine Höhe von ∇ 32,15 m ü. NN hinabreichte. Der Laufhorizont von *Room 407* bestand aus kompakt verdichteter Erde und Lehm,

³¹⁰ Cf. Blegen *et al.* 1951: 185.

³¹¹ Blegen *et al.* 1951: 198.

Tab. 13: Quadrat F7/8 Area 410 und Room 407, Keramikfundgut Troia IVd				
Menge insgesamt	ca. %-Anteil Fein-/Grobkeramik	Warengattung	Form	Anzahl
»more than two basket«	40/60	<i>Gray and Black Wares</i>	C 30	1
			D 29	1
		<i>Red-coated Ware</i>	A 11	1
			A 16	»many examples«
			A 18	»several«
			A 20	5
			A 33	»several«
			A 36	1
			B 24	2
			B	-
			C 5 (?)	2
			C 10	»several«
			C 11	»several«
			C 14	1
			C 33 (?)	-
			C (?)	1
			D 2	1
		D 8	1	
		D 13	1	
		D 15	1	
<i>Plain Ware</i>	-	»numerous sherds«		
	A 2	»several fragments«		
<i>Early Aegean Wares</i>	-	-		
	A 33	1		
<i>Coarse Fabrics</i>	C 10	-		
	C 11	-		
	C 14	-		
	C 19	-		
	C 22	-		
	C 39	-		

darüber lag ein zwischen 0,15–0,2 m dickes Stratum aus verstärzten Bauelementen und Gebrauchsgegenständen (Tab. 13).³¹²

Auch in Troia IVd wurde *Area 403* von Mauer 405 gestützt. Im nördlichen Abschnitt des terrassierten Bereichs, ab ∇ 33,50 m ü. NN, kam nun die 0,65 m starke Mauer 408 neu hinzu (Taf. 12.1). Der Orientierung nach zu schließen, bildete diese ursprünglich Teil eines weiter im Norden gelegenen Gebäudes, das wohl von Schliemann abgetragen worden war. Nur wenige Funde konnten *Area 403* zugewiesen werden, da hier die Ablagerungen der nachfolgenden Phase Troia IVe bereits in einer Höhe von ∇ 33,80 m ü. NN begannen (Tab. 14).³¹³

Die in *Area 402* angetroffene Kulturschicht wies ein leichtes Gefälle von Nordosten nach Südwesten auf und setzte sich überwiegend aus grauen, sand- und aschehaltigen Ablagerungen

³¹² Blegen *et al.* 1951: 198.

³¹³ Blegen *et al.* 1951: 171, 185, 197–198 u. Fig. 291.

Tab. 14: Quadrat F7/8 Area 403, Keramikfundgut Troia IVd				
Menge insgesamt	ca. %-Anteil Fein-/Grobkeramik	Warengattung	Form	Anzahl
»about half a basketful«	-	Red-coated Ware	A 16 u. A 20 A 33 A 39 A 44 B	10 »several« »several« 1 »several fragments«
		Plain Ware	A 2	5

Tab. 15: Quadrat F7/8 Area 402, Keramikfundgut Troia IVd				
Menge insgesamt	ca. %-Anteil Fein-/Grobkeramik	Warengattung	Form	Anzahl
»one and one-half basketfuls«	50/50	Gray and Black Wares	-	»a few sherds«
		Red-coated Ware	A 12 A 16 A 18 A 20 A 21 A 33 B C 5 (?) C 6 D 1 D 15	2 »numerous examples« »few examples« »several examples« 1 2 »several fragments« »several fragments« 1 1 1
		Plain Ware	A 2 C	»several fragments« »many«
		Early Aegean Wares	-	5
		Coarse Fabrics	C 19 C 22 C	»numerous fragments« »numerous fragments« -

zusammen (Taf. 12.1, Tab. 15);³¹⁴ der Funktion des Bereichs als Hof entsprechend, fanden sich hier keine baulichen Elemente.

2.2.3.1.5 Troia IVe

Troia IVe, die abschließende Etappe der Troia IV-zeitlichen Besiedlung in Planquadrat F 7/8, war lediglich in Form einer dünnen Kulturschicht sowie einer in diesem Zeithorizont neu entstandenen Mauer repräsentiert (Taf. 13.1): »Phase IVe was essentially, only a continuation of IVd, and exhibited only the kind of minor change that had taken place consecutively throughout the course of the whole period.«³¹⁵ Das betreffende Stratum variierte in seiner Dicke zwischen 0,25–

³¹⁴ Blegen et al. 1951: 198, 198 u. Fig. 292.15 u. 16, 295.15 u. 16.

³¹⁵ Blegen et al. 1951: 205.

Tab. 16: Quadrat F7/8 Area 402 und Area 403, Keramikfundgut Troia IVe

Menge insgesamt	ca. %-Anteil Fein-/Grobkeramik	Warengattung	Form	Anzahl
»one basketful, in addition to seven restorable pots«	40/60	<i>Black Wares</i>	-	»a few sherds«
		<i>Red-coated Ware</i>	A 4	1
			A 16	10
			A 20	2
			A 33	9
A 44	3			
B 9	1			
B 20	1			
B	»several fragments«			
C 14 (?)	1			
C 33	1			
C	-			
<i>Plain Ware</i>	A 2	9		
	C 32	1		
<i>Early Aegean Wares</i>		»a few sherds«		
<i>Coarse Fabrics</i>	A 34	1		
	C 22	8		

0,55 m und erreichte ein horizontales Maximum bei ∇ 34,55 m ü. NN in der Nordostecke von *Room 401*. Wie auch schon in der vorherigen Phase war *Area 402* vollständig unbebaut geblieben. In *Area 403*, die von der alten Westmauer von *Room 401* und der hinzugekommenen Mauer 411 flankiert wurde, fand sich eine auffallend große Menge an Brandrückständen. Da sich in den anderen Teilen des Untersuchungsbereichs keine Anzeichen für eine weitere Ausbreitung des Feuer fanden, schlossen Blegen *et al.* zu Recht auf eine räumliche Beschränkung des Ereignisses. Im Südwesten des Quadrats befand sich eine als *Area 412* bezeichnete Fläche; hier ragte aus dem Troia IVe-zeitlichen Begehungshorizont die obere der beiden erhaltenen Steinlagen der Mauern des älteren *Room 407* heraus.³¹⁶ Im Vergleich zu allen anderen Phasen der Periode Troia IV, war Troia IVe die bei weitem am schlechtesten erhaltene.³¹⁷

Area 402, der Fläche unmittelbar südlich von *Room 401*, konnten zwar keinerlei architektonische Elemente der Phase Troia IVe zugewiesen werden (Taf. 13.1), jedoch fanden sich in der Ostecke des zeitlich entsprechenden, deutlich in südwestlicher Richtung abfallenden Laufhorizonts Reste eines Herds (*cf.* Taf. 6.1, 1).³¹⁸ In ihrer Gesamtheit waren die Hinterlassenschaften der Endphase von Troia IV infolge späterer, Troia V-zeitlicher und spätantiker Bodeneingriffe stark in Mitleidenschaft gezogen worden,³¹⁹ jedoch entsprach das in diesem Kontext geborgene Fundgut sowohl in qualitativer wie auch in quantitativer Hinsicht den benachbarten Bereichen (Tab. 16). In ihrer weiteren Ausdehnung wurde *Area 403* durch die Ostmauer von *Room 401* und

³¹⁶ *Cf.* Blegen *et al.* 1951: 198.

³¹⁷ Blegen *et al.* 1951: 205.

³¹⁸ *Cf.* Blegen *et al.* 1951: Fig. 292.4.

³¹⁹ Blegen *et al.* 1951: Fig. 296.24–30.

Tab. 17: Quadrat F7/8 Area 412, Keramikfundgut Troia IVe

Menge insgesamt	ca. %-Anteil Fein-/Grobkeramik	Warengattung	Form	Anzahl
»two-thirds of a basketful«	40/60	Red-coated Ware	A 16	»numerous fragments« »numerous fragments«
			A 20	
			A	1
			A 33	2
			A 40	1
			B 20	1
			C	-
			D 5, D 7 oder D 8	2
		Early Aegean Wares	B 24	1

die neue Mauer 411 begrenzt. Letztgenannte verfügte über eine durchschnittliche Breite von 0,75 m und erreichte mit ihrem Fundament, das in die unmittelbar darunterliegenden, Troia IVd-zeitlichen Ablagerungen eingetieft worden war, ein Niveau von ∇ 33,50 m ü. NN.³²⁰ Insbesondere im Osten von *Area 403*, in einer Höhe von annähernd ∇ 33,75 m ü. NN, fanden sich – mit auffallend vielen Holzkohle- und Aschepartikeln durchsetzt – zahlreiche Kleinfunde und größere Mengen keramischer Hinterlassenschaften, darunter mehrere zumindest in Teilen restaurierbare Gefäße.³²¹ Hinsichtlich einer funktionalen Einordnung von *Area 403* hielten sich Blegen *et al.* weitgehend offen: »We were unable to determine whether it was a room that had contained this debris or a street or open space where burnt matter had been dumped after a fire.«³²²

Im Südwesten des Quadrats F 7/8 erstreckte sich eine von Blegen *et al.* unter der Bezeichnung *Area 412* geführte Fläche (*cf.* Taf. 13.1).³²³ Nicht ausgeschlossen werden konnte, daß hier zumindest zu Beginn von Troia IVe ein Großteil der Mauern der vorherigen Phase auch weiterhin sichtbar war³²⁴ und in irgendeiner Weise, wie etwa als Fundament für neue Mauerzüge, weiterverwendet wurde.³²⁵ Die dem entsprechenden Zeitraum zuzuweisende Kulturschicht war 0,2–0,5 m dick, lag nahe der Mauer 411 in einer Höhe von etwa ∇ 33,50 m ü. NN und verfügte über ein deutliches Gefälle in südlicher Richtung.³²⁶ Das zugehörige Fundgut umfaßte unter anderem eine Nadel aus Kupfer oder Bronze, einen aus graubraunem Ton gefertigten Spinnwirtel sowie ein marmornes und zwei knöcherne Idole;³²⁷ dazu kam eine im Grunde durchschnittliche Menge an Keramikfragmenten und ein – je nach Interpretation der Deponierungsbedingungen – ebenfalls in diesen chronologischen Horizont zu datierender menschlicher Schädel (Tab. 17. *Cf.* Taf. 13.2):³²⁸ »Near the southern end of the area, at 32.67 m A.T., we found an adult human

³²⁰ *Cf.* Blegen *et al.* 1951: Fig. 291.

³²¹ Blegen *et al.* 1951: 207–208.

³²² Blegen *et al.* 1951: 207.

³²³ *Cf.* Blegen *et al.* 1951: Fig. 302.

³²⁴ Blegen *et al.* 1951: 208 u. Fig. 301.

³²⁵ *Cf.* Blegen *et al.* 1951: 195–196 u. Fig. 302.

³²⁶ Blegen *et al.* 1951: 208–209.

³²⁷ Blegen *et al.* 1951: 209.

³²⁸ Angel 1951: 11–12.

Tab. 18: Quadrat F7/8 Room 401, Keramikfundgut Troia IVe

Menge insgesamt	ca. %-Anteil Fein-/Grobkeramik	Warengattung	Form	Anzahl
»two-thirds of a basketful«	50/50	Gray and Black Wares	A 12 A 18 C	1 1 1
		Red-coated Ware	A 4 A 12 A 16 A 18 A 20 A A 33 A 39 B 24 B C 6	1 1 12 4 3 »numerous variations« 1 1 1 »several fragments« 1
		Plain Ware	- A 2 A 39 C 14 (?)	»many fragments« 1 1 -
		Coarse Fabrics	-	-

skull [...]. Stones lay scattered about it, but no immediately above. Search failed to disclose any other human bones in the vicinity, or any clue to the circumstances in which this solitary head was buried. The finding-place suggests a date in Phase IVe, but it is possible that the interment was made in a small pit excavated in the floor of House 501 [...].«³²⁹

Die bereits in Troia IVc errichtete Westmauer von Room 401 scheint bis in die letzte Phase der Besiedlung hinein verwendet worden zu sein; Reste einer nach Süden gewandten Mauer fanden sich hingegen keine, ebenso fehlten jegliche Hinweise auf die Nord- und Ostmauern des Raums, was nicht zuletzt mit daran gelegen haben mag, daß sich diese außerhalb des Grabungsbereichs befunden hatten (cf. Taf. 13.1).³³⁰ Das zeitlich entsprechende Stratum lag bei ∇ 34,30–34,50 m ü. NN (Tab. 18), und wenn sich auch das Niveau der Begehungsfläche im Vergleich zu Troia IVd leicht erhöht hatte, wurde der bereits in dieser Zeit entstandene Ofen bzw. Herd weiterbenutzt. In dessen unmittelbarer Umgebung wurde eine Vorrats- und/oder Abfallgrube angetroffen, die – bemessen auf einen Durchmesser von 1,1–1,3 m – eine Tiefe von 0,5 m erreichte.³³¹

³²⁹ Blegen *et al.* 1951: 209.

³³⁰ Blegen *et al.* 1951: 205.

³³¹ Blegen *et al.* 1951: 206. Cf. Blegen *et al.* 1951: Fig. 290.9, 302.

2.2.3.1.6 Troia Va

Umfangreiche Neubauaktivitäten kennzeichneten die Phase Troia Va. Mit *House 501* entstand in diesem Zeitraum zunächst eine vergleichsweise substantielle Raumeinheit, die unmittelbar auf den Resten der Vorgängerbesiedlung errichtet und ohne tiefgreifende Veränderungen der architektonischen Grundstruktur bis in Phase Troia Vc hinein verwendet wurde (Abb. 22).³³² Hinsichtlich der Hügelterrassierung bzw. -befestigung scheint sich – dem allgemeinen Schichtenverlauf nach zu urteilen – keine Änderung ergeben zu haben.³³³

Bei Gebäude 501 handelte es sich um einen langrechteckigen, Nordwest-Südost orientierten Bau. In seiner Breite variierte dieser von 3,90 m bis maximal 4,10 m und erreichte eine Länge von nicht weniger als 10 m.³³⁴ In westlicher Richtung wurde der Bau durch eine geradlinig verlaufende Steinmauer begrenzt, nach Westen hin durch eine entsprechend breite Lehmziegelmauer mit Steinfundament (Taf. 14.1–2 u. 4). Im Süden des Gebäudes konnte ebenfalls eine Mauer aus regelmäßig gefügten Bruchsteinen nachgewiesen werden, während sich die nordwärts gewandte Außenmauer offensichtlich außerhalb des eigentlichen Grabungsbereichs befunden hatte und bereits zu Zeiten Schliemanns vollständig abgetragen worden war. Ausparungen für Türen und Durchgänge konnten nicht festgestellt werden, so daß Blegen *et al.* sicherlich zu Recht vermuteten, der Eingang habe sich ursprünglich wohl auf der Nordseite befunden: »It is not impossible that an opening had existed in the south wall also; that wall, and the area beyond it, were largely inaccessible to us because part of the Pillar House lay above them and prevented further excavation. Since we know, however, that the edge of the citadel at the time of the Fifth Settlement dropped away sharply just south of House 501, it seems improbable that the main entrance of the building was to be found on that side.«³³⁵ Die Ostmauer durchlief im Laufe ihres Bestehens mehrere Phasen der Modifikation.³³⁶ Ihre unterste, aus verhältnismäßig großen und flachen Steinen gesetzte Lage griff den bestehenden Oberflächenverlauf des Siedlungshügels im wesentlichen auf und überlagerte im Norden, in einer Höhe von ▼ 34,02 m ü. NN, die Reste der Phase Troia IVe angehörenden Mauer 411. Im Inneren des Hauses befand sich ein relativ flacher Fußboden aus Stampflehm, der ein leichtes Gefälle zwischen ▼ 33,70 m ü. NN im Norden und ▼ 33,00 m ü. NN im Süden aufwies.³³⁷ Zur Raumausstattung zählten zwei der Ostmauer direkt vorgelagerte Herdstellen (Taf. 14.3), von denen die eine lediglich mit einer einfachen ovalen, zwischen 0,7–0,8 m messenden Grundfläche aus glatt verstrichenem Lehm ausgestattet war, während die andere mit einem Durchmesser von 1,1 m nicht nur deutlich größer bemessen war als diese sondern darüber hinaus auch über einen mit Steinplatten sorgfältig gepflasterten Boden und eine randliche, ca. 10 cm breite Verstärkung aus auf-

³³² Blegen *et al.* 1951: 252.

³³³ Cf. Blegen *et al.* 1951: 139, 252 u. Fig. 289, 309.

³³⁴ Blegen *et al.* 1951: 252.

³³⁵ Blegen *et al.* 1951: 253.

³³⁶ Cf. Blegen *et al.* 1951: 258, 272.

³³⁷ Cf. Blegen *et al.* 1951: Fig. 291.

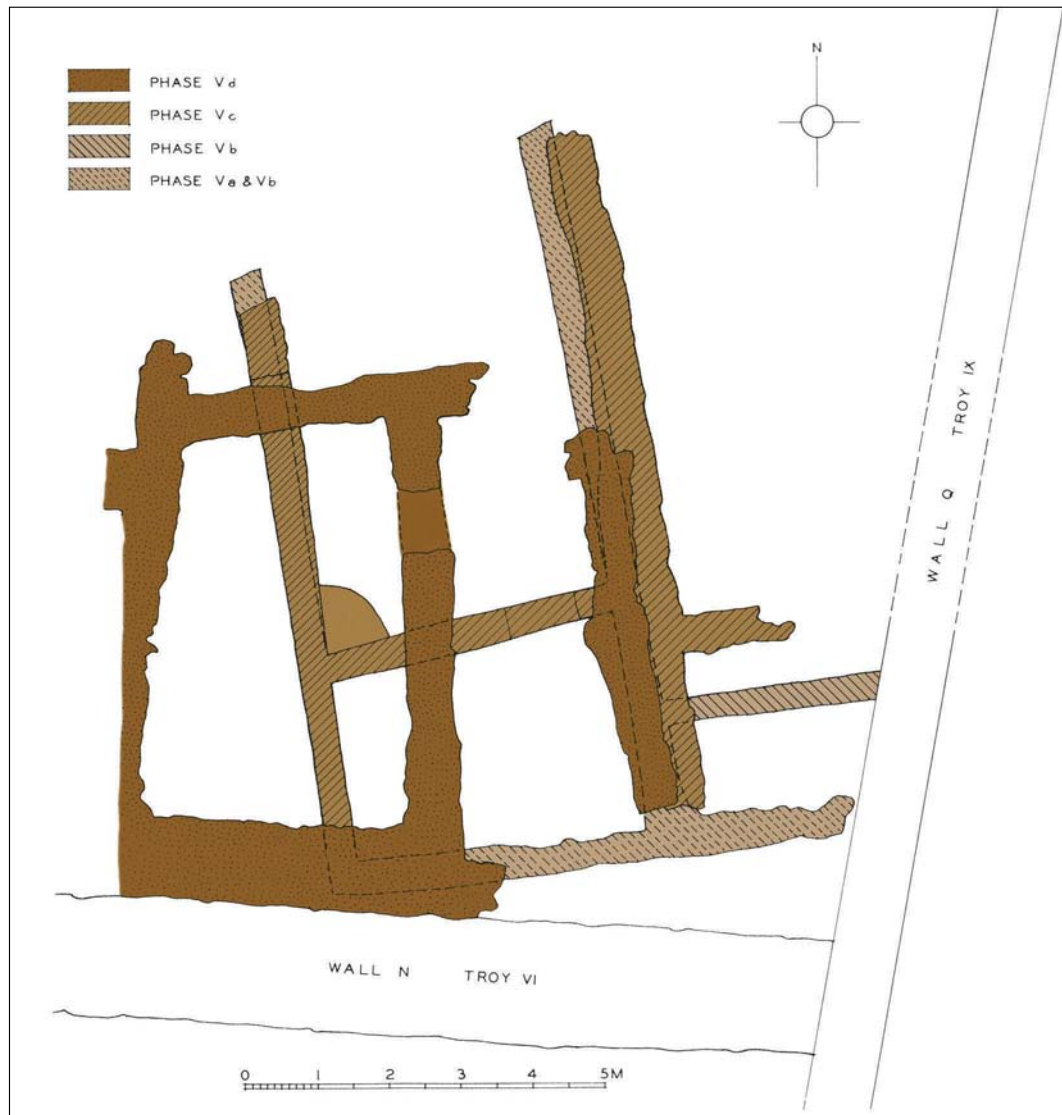


Abb. 22
 Quadrate F 7/8,
 Troia Va–d (Blegen
et al. 1951: Fig. 303).

recht gestellten Pithosfragmenten verfügte.³³⁸ Da deren Grundniveau 5–10 cm höher lag als dasjenige der erstgenannten Herdstelle, ist davon auszugehen, daß es sich bei dieser aller Wahrscheinlichkeit nach um eine jüngere, anstelle der älteren Einrichtung genutzte Installation handelte. Das innerhalb des Gebäudes geborgene Fundgut umfaßte neben Tierknochen und einigen wenigen Kleinfunden größere Mengen verbrannter Substanzen; die Stückzahl der im entsprechenden Kontext erfaßten Gefäßfragmente war insgesamt gering (Tab. 19).³³⁹

³³⁸ Blegen *et al.* 1951: 253.

³³⁹ Blegen *et al.* 1951: 253–255.

Tab. 19: Quadrat F 7/8 House 501, Keramikfundgut Troia Va

Menge insgesamt	ca. %-Anteil Fein-/Grobkeramik	Warengattung	Form	Anzahl
»slightly less than one basketful«	50/50	Gray Ware	- A 16	»a few fragments« 1
		Red-coated Ware	A 16 A 18 A 20 A A 33 B 3 B 20 B 24 C D 5, D 7 oder D 8	»many examples« »several fragments« »several fragments« 2 2 »several« 1 1 1 1
		Plain Ware	A 16 B 3 (?) C 14	- - -
		Early Aegean Wares	-	3
		Coarse Fabrics	-	»numerous fragments«

Troia V-zeitliche Ablagerungen fanden sich zudem östlich des nördlichen Endes von Gebäude 501, in einem *Area 502* benannten Bereich. In ihrer Gesamtheit erreichten diese zwischen einer absoluten Höhe von ▼ 34,52 m ü. NN und ▼ 35,12 m ü. NN eine maximale Stärke von 0,6 m, ruhten ohne erkennbare trennende Schicht auf den Resten der Vorgängersiedlung und wurden ihrerseits von einem der Frühphase von Troia VI zuzuweisenden Gebäude überlagert.³⁴⁰ Infolge verschiedener späterer Bodeneingriffe an dieser Stelle – neben einer Grube der Phase Troia VIa sind insbesondere eine Fundamentierung aus römischer Zeit sowie ein spätantiker Graben zu nennen –, stand zum Zeitpunkt der Ausgrabung nur eine Fläche von etwa 10 m² einer weitergehenden Untersuchung zur Verfügung. Architektonische Hinterlassenschaften der Phase Troia Va konnten hier keine nachgewiesen werden, auch erschloß sich zu dem nebenstehenden Gebäude kein unmittelbarer Zusammenhang: »The deposits of Troy V in Area 502 lay [...] more than a meter higher than the average level of the first floor of House 501; but since the ground in Phase Va sloped upward toward the north and east it is not surprising to find remains of the first phase at that height. The exact relationship between these strata and the east wall of House 501 could not be determined. It seems improbable that they represent the whole sequence of successive phases of Troy V, which in ground only a little westward left deposits more than 2 m thick; more likely, the upper strata of the layer were dug away by later occupants.«³⁴¹ Dadurch, daß sich die feinstratigraphischen Verhältnisse in diesem Abschnitt des Grabungsgeländes alles andere als einfach gestalteten, entschloß man sich in Anbetracht dessen, daß sich die Mehrzahl

³⁴⁰ Caskey 1937: 61. Cf. Blegen *et al.* 1951: 206, 255 u. Fig. 290.

³⁴¹ Blegen *et al.* 1951: 255.

Tab. 20: Quadrat F 7/8 Area 502, Keramikfundgut Troia Va

Menge insgesamt	ca. %-Anteil Fein-/Grobkeramik	Warengattung	Form	Anzahl
»about two basketfuls«	50/50	Gray Ware	-	-
		Red-coated Ware	A 8	1
			A 11	»few examples«
			A 12	»many examples«
			A 16	»several examples«
			A 18	»predominant shapes«
			A 19	1
			A 20	2
			A 21	»many examples«
			A 23	2
A 33	1			
A 41	1			
B 24	1			
B	1			
C	»several«			
D 5, D 7 oder D 8	1			
Plain Ware	A 12	1		
	A 16	1		
Coarse Fabrics	C 19	»several fragments«		
	C 20	»several fragments«		
	C 23	»several fragments«		

der vermeintlich frühen Schichten verhältnismäßig gleichförmig übereinander abgelagert hatte, was nach Blegen *et al.* als klarer Hinweis für einen kontinuierlich verlaufenden Deponierungsprozeß verstanden werden könne, mehrere der jeweils in Frage kommenden Akkumulationen in größeren Fundkomplexen zusammenzufassen, auch wenn es dadurch zu einer – kaum vermeidbaren – Vermischung der Inventare kommen mußte (Tab. 20).³⁴²

2.2.3.1.7 Troia Vb

Das in seiner ursprünglichen Form einräumig konzipierte Gebäude 501 wurde zu Beginn der Phase Troia Vb mittels einer im Durchschnitt 0,45 m starken Trennwand aus Stein und ungebrannten Lehmziegeln in zwei unterschiedlich große Bereiche aufgeteilt³⁴³ sowie um ein zusätzliches, der Südostecke des Baues vorgelagertes Raumsegment, *Room 503*, erweitert (Taf. 15.1 u. 2). Einigen erhaltenen Farbresten nach zu schließen, waren die Innenwände von *House 501* mit einem geschlossenen Kalkanstrich versehen. Der aus gestampftem Lehm bestehende Boden des im Norden gelegenen Raums fiel von ▼ 34,04 m ü. NN im Norden auf

³⁴² Blegen *et al.* 1951: 252: »The stratum in Area 502 [...] was isolated from contemporary architectural remains and could not be dated precisely; its upper striations may belong in part to Phase VB, but since there was no indication of a division we have recorded all the material recovered from it in one catalogue.«

³⁴³ Cf. Blegen *et al.* 1951: 252.



Abb. 23
 Quadrate F 7/8,
 Kalkverputzte Wände
 und Podest in Gebäude
 501 (Blegen *et al.*
 1951: Fig. 191).

▼ 33,50 m ü. NN im Südosten und auf ▼ 33,30 m ü. NN im Südwesten ab. In dieser Ecke des Raums fand sich ein $0,8 \times 0,8$ m großes und zunächst etwa 0,3 m hohes Podest. Es war aus Stein, ungebrannten Ziegeln und Ton gefertigt und abschließend mit einem sorgfältig geglätteten Putz aus Lehmörtel überzogen worden, der, entsprechend den angrenzenden Wänden, eine deckende Bemalung aus Kalk erhalten hatte (Abb. 23).³⁴⁴ Im Laufe seines Bestehens wurde die Oberfläche des Einbaus um weitere 10 cm erhöht und mit einer flachen, annähernd kreisrunden Vertiefung versehen; Hinweise auf seine einstige Verwendung ergaben sich infolge fehlender Begleitfunde nicht.³⁴⁵ Mit zur Raumausstattung zählten ebenfalls eine Herdstelle sowie verschiedene kleinere, der Ostmauer dicht vorgelagerte Kocheinrichtungen, die sich in einem Abstand von 1,2–3,35 m nördlich der in dieser Phase neu hinzugefügten Trennwand befanden.³⁴⁶ Der Herd bestand aus einer ca. 5 cm hohen, annähernd kreisrunden Plattform, deren Substruktion man aus mehreren Gefäßfragmenten, kleineren Steinen und Lehmziegeln angefertigt hatte. Auf dieser erhob sich eine maximal 0,23 m hohe, leicht nach innen gewölbte und im Plan etwa halbmondförmige Struktur, die sowohl im Süden wie auch im Südosten von jeweils einer 0,15 m hohen Erhebung mit quadratischem Grundriß flankiert wurde (Abb. 24. *Cf.* Abb. 11):³⁴⁷ »The crescent-shaped structure, resembling a small oven without the top of the dome, was made of

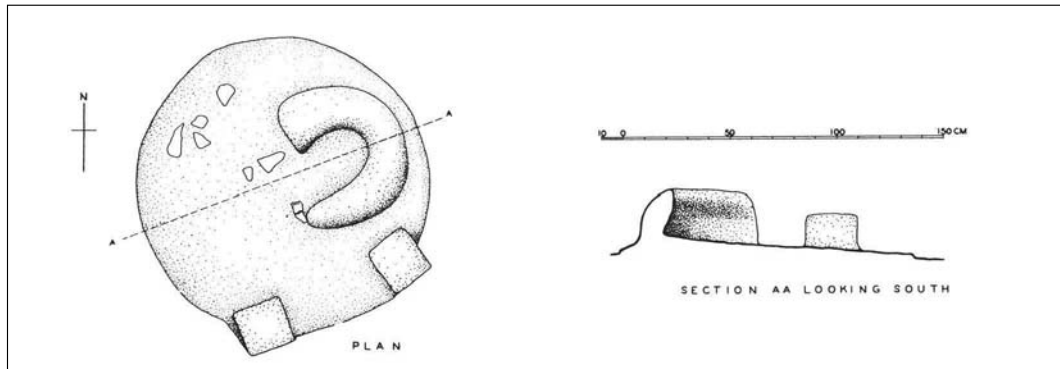
³⁴⁴ *Cf.* Blegen *et al.* 1951: 144, 258, 272.

³⁴⁵ Blegen *et al.* 1951: 258 u. Fig. 191.

³⁴⁶ Blegen *et al.* 1951: 258–259.

³⁴⁷ *Cf.* Blegen *et al.* 1951: Fig. 193, 198.

Abb. 24
 Quadrate F 7/8,
 Herdstelle in Gebäude
 501 (Blegen *et al.*
 1951: Fig. 306).



Tab. 21: Quadrat F 7/8 House 501, Keramikfundgut Troia Vb

Menge insgesamt	ca. %-Anteil Fein-/Grobkeramik	Warengattung	Form	Anzahl
»two basketfuls«	ca. 50/50	Gray Ware	-	»several fragments«
			A 21	1
		Red-coated Ware	A 12	9
			A 16	12
			A 18	15
			A 20	3
			A 21	1
			A	-
			A 33, A 39	3
			B 3	1+
			B 20	1+
			B 23	1
			B 24	1+
			C 10	»several examples«
			C 14	»a few fragments«
C	1			
D 4	1			
Plain Ware	A 12	-		
	A 16	-		
	A 39	-		
	B 24	-		
	C 10 oder C 14	-		
Early Aegean Wares	-	-		
Coarse Fabrics	B 1	1		
	C	»numerous fragments«		
	C 23	1		

clay. It was fired hard by repeated use, and was found in such good condition that we were able to remove it intact [...]. The open end faced west. One may guess that it was used to hold a pot over the live coals and as a firebox where embers could be banked and the fire preserved economically. The two rectangular stands [...] may have held food or pots during the preparation of the meal.«³⁴⁸ Der Begehungshorizont des kleineren, in südlicher Richtung anschließenden

³⁴⁸ Blegen *et al.* 1951: 258–259.

Tab. 22: Quadrat F 7/8 Room 503, Keramikfundgut Troia Vb

Menge insgesamt	ca. %-Anteil Fein-/Grobkeramik	Warengattung	Form	Anzahl
»about one-half of a basketful«	33/67	Gray Ware	-	3
			A 16	1
		Red-coated Ware	A 12	2
			A 16	6
			A 18	5
			A 20	3
			A 21	4
A	»many fragments«			
B 3	1			
B 20	1			
C 14	1			
Plain Ware	-	-		
Early Aegean Wares	-	5		
Coarse Fabrics	A 4	1		

Raums wies zwischen ∇ 33,70 m ü. NN und ∇ 33,40 m ü. NN ein Gefälle von 0,3 m auf und bestand ebenfalls aus kompakt verdichtetem Lehm. Auf der Oberfläche des Bodens fanden sich fünf zerbrochene Reibsteine aus grobem vulkanischen Material sowie drei eventuell dazu gehörende Läufersteine. Ansonsten war hier – wie auch in den übrigen Bereichen des Gebäudes – das Fundaufkommen allgemein gering (Tab. 21),³⁴⁹ was Blegen *et al.* nicht zuletzt auf den Hausfleiß der Bewohner zurückführen wollten: »The inhabitants of this building appear to have been tidy housekeepers, by the standards of the Bronze Age; they left few objects on the floor. We recovered 12 miscellaneous implements and about two basketfuls of potsherds, including fragments of only one jar that could be put together.«³⁵⁰

Die Nordmauer des im Südosten an Gebäude 501 anschließenden *Room 503* konnte auf einer Restlänge von 3,1 m dokumentiert werden; ihre weitere Fortsetzung nach Osten war nicht mehr zu erschließen, da sie hier im Zuge einer in römischer Zeit durchgeführten Fundamentierungsmaßnahme vollständig abgetragen worden war (Taf. 15.2 u. 3).³⁵¹ Im Westen schloß sie unmittelbar an die Ostmauer von Gebäude 501 an, war mit dieser jedoch nicht strukturell verbunden, worauf eine durchlaufende Stoßfuge entsprechend hinwies, auch deutete ein Höhenunterschied von 0,3–0,4 m auf ein späteres Errichtungsdatum hin.³⁵² Eine Tür fand sich in dem untersuchten Bereich nicht, so daß grundsätzlich davon auszugehen ist, daß diese weiter in östlicher Richtung gelegen war. Nach Süden wurde *Room 503* durch eine bereits in Phase Troia Va bestehende Verlängerung der Südmauer von Gebäude 501 begrenzt (*cf.* Taf. 14.1),³⁵³ scheint keine Öffnung besessen zu haben und erhob sich auf diese Weise wie eine Art Brustwehr über der nur wenig

³⁴⁹ Blegen *et al.* 1951: 259–260.

³⁵⁰ Blegen *et al.* 1951: 259. Diesbezüglich s. auch Blum 2002a: 103–137; Blum/Aslan 2005: 305, 312–321.

³⁵¹ Blegen *et al.* 1951: 260–261 u. Fig. 194–195, 306.

³⁵² *Cf.* Koyunlu 1982: Taf. 156.1 u. 2; Aurenche *et al.* 1997: 227 u. Fig. K.17; Blum 2003: 122 u. Abb. 122–124.

³⁵³ *Cf.* Blegen *et al.* 1951: Fig. 194, 305.

tiefer gelegenen Umfassungsmauer (cf. Taf. 9.1).³⁵⁴ Den Raumboden, der ausgehend von einem Niveau von ▼ 33,30 m ü. NN nach Süden leicht abfiel, bedeckte in weiten Teilen eine lockere weiße Substanz, des weiteren fanden sich fünf Kleinfunde, darunter ein Idol aus Marmor, ein keramisches Webgewicht und zwei Spinnwirtel aus Ton, zwei großteils restaurierbare Gefäße sowie eine geringe Menge an Scherbenmaterial (Tab. 22).³⁵⁵

2.2.3.1.8 Troia Vc

In Phase Troia Vc wurden nur geringfügige Veränderungen an der großteils aus dem vorherigen Zeitabschnitt übernommen Bausubstanz vorgenommen (Taf. 16.1). *House 501*, das gegen Ende der Phase Troia Vb Schaden genommen hatte,³⁵⁶ wurde in Teilen renoviert, ebenso wurde *Room 503* leicht vergrößert. Im nordöstlichen Abschnitt des Grabungsareals wurden keine Troia V-zeitlichen Akkumulationen angetroffen; der Bereich westlich des Hauses 501 scheint in der betreffenden Phase hingegen von verschiedenen Bauten eingenommen worden zu sein, allerdings wurden diese während den Untersuchungen der Universität Cincinnati nicht näher untersucht.³⁵⁷ In Anbetracht der vergleichsweise umfangreichen Ablagerungen innerhalb von *House 501* schlossen Blegen *et al.* auf eine in Relation zu den verschiedenen vorausgehenden Zeithorizonten lange Dauer des Siedlungsabschnitts.

Der Grundrißplan von *House 501* wurde in die neue Phase unverändert übernommen, lediglich die Mauern des Gebäudes wurden einer umfassenden Instandsetzung unterzogen:³⁵⁸ Die Ostmauer, die bereits in Phase Troia Va an dieser Stelle in vergleichbarer Form bestanden hatte,³⁵⁹ wurde zunächst bis auf Höhe des Fundaments eingerissen und dann – geringfügig breiter – neu errichtet. Die südwärts gewandte Gebäudemauer wurde im Bereich der Außenfassade durch Hinzufügung mehrerer Orthostaten ebenfalls strukturell verändert.³⁶⁰ Durch die Auftragung eines verhältnismäßig dicken Verputzes aus Lehm wurde die westliche Mauer um ca. 0,15 m in der Breite erweitert, zudem wurde in das zuvor geschlossene Segment eine Türbereich eingefügt. Vermutlich im selben Arbeitsgang wurde das sich in der südwestlichen Raumecke befindliche Podest erneuert (Taf. 16.2)³⁶¹ sowie der Durchgang im Bereich der raumtrennenden Innenwand von ursprünglich 0,7 auf 0,97 m verbreitert. Das Niveau des Raumbodens lag bei durchschnittlich ▼ 34,20 m ü. NN; mit seinem Gefälle folgte dieser in seinem Verlauf in etwa den Böden vorhergehender Zeit. Ebenfalls in Troia Vc entstanden vier, ihrer stratigraphischer Überschneidungen entsprechend nach zu urteilen, chronologisch aufeinander folgende

³⁵⁴ Cf. Blegen *et al.* 1951: 252, 259 u. Fig. 309.

³⁵⁵ Blegen *et al.* 1951: 261–262.

³⁵⁶ Cf. Blegen *et al.* 1951: 258.

³⁵⁷ Blegen *et al.* 1951: 271.

³⁵⁸ Cf. Blegen *et al.* 1951: 196, 197.

³⁵⁹ Blegen *et al.* 1951: 253 u. Fig. 198, 305, 307.

³⁶⁰ Cf. Blegen *et al.* 1951: Fig. 199.

³⁶¹ Ergänzen dazu s. Blegen *et al.* 1951: 272 u. Fig. 201.



Abb. 25
 Quadrate F 7/8,
 Schichtenabfolge der
 Phase Troia Vc, darüber
 eine Troia Vd-zeitliche
 Mauer (Blegen *et al.*
 1951: Fig. 202).

Herdstellen mit annähernd runden Grundflächen, einem flachen Unterbau aus Steinen und Keramikfragmenten sowie einer Oberfläche aus stark verdichtetem, glatt verstrichenem Lehm (Taf. 17.1).³⁶² Knapp 4 m nördlich der Trennwand in *House 501* fand sich das Skelett eines Kindes (Taf. 17.2).³⁶³ In einer Höhe von ∇ 34,14 m ü. NN war es unmittelbar unterhalb des ersten Raumbodens in gehockter Seitenlage mit dem Kopf nach Nordosten bestattet worden.³⁶⁴ Die Siedlungsschicht der Phase Troia Vc umfaßte mehrere erneuerte Begehungshorizonte und erreichte eine Gesamtstärke von 0,5 m (Abb. 25). Darin enthalten waren zahlreiche Kleinfunde und deutlich mehr Scherben- und Knochenmaterial als etwa in den Ablagerungen der Phasen Troia Va und Vb; die Gefäße waren durchweg stark zerscherbt und unvollständig (Tab. 23).³⁶⁵

Die nördliche Mauer des in Phase Troia Vb entstandenen *Room 503* wurde weiter nach Norden bis etwa auf Höhe der Innenwand von *House 501* verlagert. Sie bestand aus kleinen, relativ locker gesetzten Bruchsteinen und war lediglich auf einer Länge von 1,6 m erhalten (*cf.* Taf. 16.1).³⁶⁶ Im Inneren des Raums ließen sich keine Böden erkennen; das zwischen zwischen

³⁶² Blegen *et al.* 1951: Fig. 203, 307.

³⁶³ Angel 1951: 12.

³⁶⁴ Blegen *et al.* 1951: 273.

³⁶⁵ Blegen *et al.* 1951: 273–276.

³⁶⁶ Blegen *et al.* 1951: 276.

Tab. 23: Quadrat F 7/8 House 501, Keramikfundgut Troia Vc

Menge insgesamt		Warengattung	Form	Anzahl
»four basketfuls«	50/50	Gray Ware	A 16	1
			A 23	1
			A 39	1
			B 9	1
		Red-coated Ware	A	175+
			A 12	»many examples«
			A 16	»many examples«
A 18	40+			
A 19	2			
A 21	»numerous fragments«			
A 23	1			
A 33	»a few examples«			
A 39	15			
A 41	»a few fragments«			
B 3	»several examples«			
B 20	»a few examples«			
B 24	»a few fragments«			
C 5	2			
C 10 und C 14	25+			
D 4	1			
D 5, D 7, D 8	5			
D 13	2			
Plain Ware	A 12	-		
	A 16	-		
	A 39	-		
	C 10	-		
	C 14	-		
	D 13	-		
Early Aegean Wares	-	»numerous fragments«		
Unidentified Ware	-	1		
Coarse Fabrics	A 16	1		
	B	1		
	C 10	1		
	C 19	»several examples«		
	C 20, C 22	»numerous fragments«		
	C 23	»several examples«		
	C 28 (?)	4		
D 33	1			

▼ 33,90 m ü. NN und ▼ 34,50 m ü. NN gelegene Stratum der Phase Troia Vc enthielt Asche und andere Brandrückstände, hinzu kamen wenige Kleinfunde aus Stein, Ton, Kupfer oder Bronze sowie eine von Blegen *et al.* nicht näher differenzierte oder quantifizierte Menge an Gefäßfragmenten: »The sherds found in this deposit show no significant difference from those of the contemporary deposit in House 501 [...].«³⁶⁷

³⁶⁷ Blegen *et al.* 1951: 277.

2.2.3.1.9 Troia Vd

Unmittelbar auf den Ruinen von *House 501* entstand zu Beginn der Phase Troia Vd, dem vierten und letzten Stadium der Troia V-zeitlichen Besiedlung, in den Quadraten F 7/8 ein vollkommen neues Gebäude.³⁶⁸ Erhalten hatten sich von der als *House 504* bezeichneten Struktur zwar nur die Fundamente, doch wiesen diese ein gegenüber dem Vorgängerbau grundlegend verändertes Anlageschema auf (Taf. 18.1).³⁶⁹ Wenn auch die Langachse des wenigstens zweiräumigen Baus von Norden nach Süden verlief, so scheint dessen Grundorientierung – dem allgemeinen Verlauf des Hügels folgend – in westöstlicher Richtung verlaufen zu sein. Den Umstand, daß der Wandel im architektonischen Habitus mit einer mehr oder minder auffälligen Veränderung im Keramikspektrum einherging, betrachteten Blegen *et al.* als zuverlässigen Indikator für eine neue Stufe der kulturellen Entwicklung innerhalb von Troia V, die schließlich direkt zur Periode Troia VI überleite.³⁷⁰

Vom Gebäude 504 gelang es im Jahr 1933 zwei nebeneinandergelegene Räume freizulegen, *Room 504 W* und *Room 504 E*. Durch die allgemein schlechten Erhaltungsverhältnisse in diesem Bereich des Grabungsareals bedingt, war eine nähere Beurteilung der ursprünglichen Ausdehnung des Baus sowohl in nördlicher als auch in östlicher Richtung nicht mehr möglich. In der Stärke variierten die erfaßten Grundmauern zwischen 0,5–1,0 m (*cf.* Taf. 18.2). Im Bereich der Fundamentzone bestanden sie aus größeren Steinplatten, unmittelbar darüber erhob sich ein zwischen 0,4–0,5 m breiter Sockel aus kleinen, unregelmäßig geformten Kalkbruchsteinen, der aller Wahrscheinlichkeit nach die Funktion eines Unterbaus für einen darüber liegenden Mauerkörper aus luftgetrockneten Lehmziegeln zu übernehmen hatte (Taf. 19.1).³⁷¹ Nahe dem nördlichen Ende der Mauer zwischen den beiden Raumsegmenten befand sich eine knapp 0,85 m breite Unterbrechung. Ob es sich bei dieser um einen gezielt angelegten Durchgang handelte oder ob sie erst später infolge einer Troia VI-zeitlichen Störung an dieser Stelle entstand, war den Befunden nicht zu entnehmen (*cf.* Taf. 19.2); vergleichbares trifft auch auf eine Lücke im Bereich der Trennwand zwischen *Room 504 W* und *Room 504 E* zu.³⁷² Die südliche Mauer des Gebäudes hatte sich im Bereich von *Room 504 E* zwar nicht erhalten, jedoch dürfte sie sich nach Blegen *et al.* im wesentlichen am Verlauf der Vorgängerkonstruktion orientiert haben.³⁷³ Innerhalb beider Räume fielen die vorgefundenen Begehungsflächen von einem durchschnittlichen Niveau von ▼ 34,95 m ü. NN im Norden auf ▼ 34,25 m ü. NN im Süden ab. Bedeckt waren diese mit einer 0,2–0,4 m starken Akkumulation aus Erde, Brandrückständen, Knochen, relativ zahlreichen Gefäßfragmenten und Kleinfunden (Tab. 24).³⁷⁴

³⁶⁸ *Cf.* Blegen *et al.* 1951: 273.

³⁶⁹ Blegen *et al.* 1951: 283.

³⁷⁰ Blegen *et al.* 1951: 226, 283.

³⁷¹ Blegen *et al.* 1951: 284.

³⁷² *Cf.* Blegen *et al.* 1951: Fig. 208.

³⁷³ Blegen *et al.* 1951: 284.

³⁷⁴ Blegen *et al.* 1951: 285–287.

Tab. 24: Quadrat F 7/8 House 504, Keramikfundgut Troia Vd				
Menge insgesamt	ca. %-Anteil Fein-/Grobkeramik	Warengattung	Form	Anzahl
»five basketfuls«	60/40	Gray Ware	A 21 A 23 A 39	- - -
		Red-coated Ware	A 3 A 11 A 12 A 16 A 18 A 19 A 21 A 23 A 39 A 41 B C C 14	1 »several examples« »numerous examples« »many examples« »very numerous« »several fragments« »numerous examples« »several examples« 1+ 2 »several fragments« 1 1
		Plain Ware	A B 24 D 16	»a few fragments« 3 1
		Coarse Fabrics	A 2 C 13 C 19 C 20 C 22 D 15	1 3 »numerous examples« »numerous examples« »numerous examples« 1

Tab. 25: Quadrat F 7/8 Area 505, Keramikfundgut Troia Vd				
Menge insgesamt	ca. %-Anteil Fein-/Grobkeramik	Warengattung	Form	Anzahl
»less than a basketful«	-	Plain Ware	C 8	1
		Coarse Fabrics	D 12	1

Die Schichtenabfolge in der Zone nördlich von *House 504*, in *Area 505*, erwies sich als durch spätere, vornehmlich Troia VI-, VIII- und IX-zeitliche Bodeneingriffe stark gestört (Taf. 18.1). Aufgrund der nördlichen Verlängerung der Westmauer von Gebäude 504, könnte sich hier zur Zeit von Troia Vd ein weiterer Raum oder ein begrenzter Hofbereich befunden haben.³⁷⁵ In einer absoluten Höhe von ▼ 35,00 m ü. NN fanden sich einige wenige Reste eines Laufhorizonts sowie eine Herdstelle; das damit assoziierte Fundgut umfaßte neben drei Spinnwirteln aus Ton nur wenig identifizierbares Scherbenmaterial (Tab. 25).³⁷⁶

³⁷⁵ Blegen *et al.* 1951: 287.

³⁷⁶ Blegen *et al.* 1951: 288.



Abb. 26
 Quadrat E 6, Pinnacle
 (Blegen *et al.* 1951:
 Fig. 105).

2.2.3.2 Quadrat E 6

In Quadrat E 6 wurden die jüngeren Befunde der Periode Troia IV bereits während den Grabungen im Jahr 1932 angetroffen.³⁷⁷ In den darauffolgenden Kampagnen konnte das gesamte Schichtpaket untersucht werden, das aus insgesamt fünf stratigraphisch differenzierbaren Einheiten, Troia Iva bis Troia IVe, bestand (Abb. 26).³⁷⁸

2.2.3.2.1 Troia IVa

Das von Blegen *et al.* der ersten Entwicklungsphase von Troia IV zugewiesene Stratum variierte in seiner Stärke zwischen 0,15–1,15 m (Taf. 20.1–2). Zurückzuführen sind die markanten Höhenunterschiede zum einen auf das extrem starke Gefälle des Siedlungshügels in diesem Bereich von Südosten nach Nordwesten,³⁷⁹ zum einem gewissen Teil dürften hierfür wohl aber auch spätere Planierungsmaßnahmen mit verantwortlich gemacht werden. Die archäologischen Untersuchungen ergaben eine von Südosten in nordwestliche Richtung führende Straße, *Street 458*, die im Südwesten von ein oder zwei Gebäuden, *House 450* und *House 451*, flankiert wurde.³⁸⁰ Im Nordosten befand sich seitlich des Verkehrswegs ein Gebäudekomplex bestehend aus mindestens vier Raumsegmenten, die jeweils durch substantielle Mauerzüge voneinander getrennt waren (Taf. 21.1). Alle Bauten dieser Phase ruhten unmittelbar auf den Resten der Periode Troia III

³⁷⁷ Hurlley 1932: *passim*.

³⁷⁸ Blegen *et al.* 1951: 102.

³⁷⁹ Cf. Blegen *et al.* 1951: Fig. 261–262.

³⁸⁰ Cf. Blegen *et al.* 1951: Fig. 268–269.



Abb. 27
 Quadrat E 6, Mauer-
 konstruktion der Phase
 Troia IVa (Blegen *et al.*
 1951: Fig. 107).

und griffen zum Teil ältere Mauern zu Fundamentierungszwecken auf.³⁸¹ Charakteristisch für die Wand- und Mauerkonstruktionen dieser Zeit war eine Bautechnik, bei der ungebrannte Lehmziegel in Kombination mit Substruktionen aus überwiegend grob bearbeiteten, stets doppelt in Reihe gelegten Bruchsteinen zum Einsatz kamen (*cf.* Taf. 21.2). Der jeweilige Unterbau konnte in seiner Breite zwischen 0,5–0,6 m schwanken und eine Höhe von 0,7 bis maximal 1,2 m erreichen (Taf. 22.1).³⁸² Auf den horizontal sorgfältig abgeglichenen Mauerkronen erhob sich ein regelmäßig ausgelegter, zumeist in leicht kalkhaltigem Lehmmörtel gesetzter Oberbau, der sich – vor allem im Falle einer späteren Umbaumaßnahme – nach oben bisweilen leicht verjüngen konnte (Abb. 27).³⁸³ Soweit sich dies anhand der erhaltenen Baubefunde feststellen ließ, erhielten die Baukörper auf beiden Seiten einen deckenden Verputz aus Lehm sowie einen Anstrich aus feingemagertem Kalkmörtel (Taf. 22.2).³⁸⁴

Street 458 konnte auf einer Gesamtlänge von ca. 8,0 m untersucht werden.³⁸⁵ Wie der an derselben Stelle gelegene Verkehrsweg der Periode Troia III verlief diese geradlinig von Südwesten nach Nordosten und erreichte eine durchschnittliche Breite von 1,5 m (Taf. 22.3).³⁸⁶ Im Verlauf der verschiedenen an Troia IVa anschließenden Besiedlungsphasen sammelten sich auf der Oberfläche von *Street 458* sukzessive Abfälle an; zwischen ∇ 34,49 und 35,70 m ü. NN fand sich eine größere Menge an verstürzten Steinen und zerbrochenen Lehmziegeln, Asche, verbrannten organischen Substanzen, Muscheln, Tierknochen und extrem kleinteiligen Gefäßfrag-

³⁸¹ Blegen *et al.* 1951: 148.

³⁸² Blegen *et al.* 1951: 148.

³⁸³ Blegen *et al.* 1951: 148 u. Fig.108.

³⁸⁴ Blegen *et al.* 1951: 148.

³⁸⁵ Blegen *et al.* 1951: Fig. 268.

³⁸⁶ *Cf.* Blegen *et al.* 1951: 264–267.

Tab. 26: Quadrat E 6, Street 458, Keramikfundgut Troia IVa				
Menge insgesamt	ca. %-Anteil Fein-/Grobkeramik	Warengattung	Form	Anzahl
»ten baskets«	33/67	<i>Gray and Black Wares</i>	-	»few sherds«
		<i>Red-coated Ware</i>	A 12	»several rim fragments«
			A 16	»some 100 fragments«
			A 18	20
			A 20	57
A	»numerous«			
A 33	18			
B 24	3			
C 10	8			
<i>Plain Ware</i>	-	»a little«		
<i>Early Aegean Wares</i>	insges.	27		
	A	10		
	B	4		
B oder C	4			
<i>Coarse Fabrics</i>	A 16	23		
	B 18	1		
	B 24	3		
	C 14	»several fragments«		
	C 16	»several fragments«		
	C 19	13		
	C 22	»numerous«		
	C	»numerous«		

menten, »all discolored by the distinctive greenish-yellow stain characteristic of street deposits«³⁸⁷ (Tab. 26). Unter den in diesem Fundkontext geborgenen Kleinfunden befanden sich unter anderem ein Schleifstein, sechs Klingen aus Silex, fünf keramische Spinnwirtel sowie sechs sekundär bearbeitete Gefäßfragmente.³⁸⁸

Von den unter den Bezeichnungen *House 450* und *House 451* geführten Strukturen war infolge früherer Ausgrabungstätigkeiten zu wenig erhalten geblieben, um mit Sicherheit entscheiden zu können, ob es sich bei diesen ursprünglich um ein einzelnes, in sich geschlossenes Gebäude gehandelt hatte oder ob man hier mehrere separat erschlossene Raumeinheiten erfaßte. Ausgehend von den auf der gegenüberliegenden Straßenseite sich befindlichen Bauten gingen Blegen *et al.* jedoch davon aus, daß es sich bei diesen aller Wahrscheinlichkeit nach doch eher um zwei getrennte, mittels einer Trennwand voneinander separierte Räume handelte.³⁸⁹ Hierfür sprach nicht zuletzt auch der Umstand, daß sich die nach Nordosten gewandte Fassade von Gebäude 450 hinsichtlich ihrer Konstruktionsweise etwas von derjenigen von Haus 451 unterscheidet, was insgesamt auf eine eigenständige Entstehung hindeutet (*cf.* Taf. 21.1).³⁹⁰ Erstgenannte hatte sich zwischen ▼ 36,13 m ü. NN und ▼ 34,56 m ü. NN bis zu einer maximalen

³⁸⁷ Blegen *et al.* 1951: 149. Vgl. Blum 2002a: 105–137; Blum/Aslan 2005: 312–321.

³⁸⁸ Blegen *et al.* 1951: 149.

³⁸⁹ Blegen *et al.* 1951: 151.

³⁹⁰ *Cf.* Blegen *et al.* 1951: Fig. 268.

Höhe von 1,57 m erhalten, bestand überwiegend aus kleineren Bruchsteinen und wies zum Zeitpunkt der Untersuchungen eine leichte Neigung in Richtung des vorüberführenden Verkehrswegs auf (Taf. 22.3). Das zu *House 451* gehörende Mauerwerk, in dem ein 0,65 m breiter Durchgang ausgespart war, war demgegenüber deutlich großteiliger strukturiert und unregelmäßiger verlegt. Von dem im Grunde bei allen Mauerzügen vorauszusetzenden Oberbau aus ungebrannten Lehmziegeln hatte sich in keinem Fall etwas erhalten.³⁹¹ In der nordöstlichen Raumecke von Haus 450 fanden sich die Reste eines Ofens oder einer Herdstelle, die sich trotz eines allgemein schlechten Erhaltungszustands als zweiphasig erwies. In seinem anfänglichen Ausbaustadium wurde *Hearth F* in einem Niveau von ▼ 34,75 m ü. NN in Form einer annähernd kreisrunden, aus kompakt verdichtetem Lehm bestehenden Brandplatte mit einer rückwärtigen Begrenzung aus Steinen angelegt. Etwas später wurde die alte, im Zuge der mehrfachen Benutzung stark ausgehärtete Oberfläche mit einem dicht verlegten Scherbenpflaster überdeckt, das man ergänzend mit einem Rand aus Lehm auf allen Seiten einfaßte (cf. Taf. 22.3 u. 4). Obwohl das in den beiden Raumsegmenten geborgene Fundmaterial in Relation zu der verhältnismäßig kleinen untersuchten Fläche recht umfangreich war, wurde es von Blegen *et al.* nicht näher quantitativ differenziert ausgewiesen: »*Two bags of pottery were collected from the small amount of earth filling the corners of the rooms. One-third of the sherds could be classified under fine fabrics: Red-coated Ware was commonest, including two rim fragments of bowls (A 16); there were also six fragments of Plain Ware, and several of locally manufactured Early Aegean Ware. The coarse ware included some pieces of large pithoi (C 39), several straight and incurving rims of storage vessels, and one fragment bearing an incised linear pattern filled with white matter.*«³⁹²

Vier oder mehr dicht aneinander gebaute Gebäude fanden sich direkt nordöstlich von *Street 458*.³⁹³ Das südlichste von diesen bestand aus zwei aufeinander folgenden Räumen, *Room 452* und *Room 453*, und war – wie auch alle anderen anschließenden Bauten – in Richtung Südwesten orientiert; *Room 453* konnte auf einer restlichen Länge von 2,65 m und einer Breite von annähernd 3,6 m untersucht werden, während *Room 452* lediglich eine erhaltene Raumtiefe von 3,1 m aufwies (Taf. 21.1).³⁹⁴ Zwischen den beiden Raumsegmenten verlief eine schmale Trennwand, die in der Stärke zwischen 0,35–0,55 m variierte. Diese verfügte über einen locker gesetzten Unterbau aus Steinen, der zumindest in Teilen auf den Gebäuderesten der unmittelbar vorhergehenden Phase Troia III d ruhte und bis zu einer Höhe von durchschnittlich 0,66 m erhalten war (cf. Taf. 20.1 u. 23.1).³⁹⁵ Erschlossen wurde der hintere Teil des Gebäudes über einen 0,7 m breiten Durchgang im Bereich der Trennwand, an dessen südöstlichen Ende ein Türangelstein *in situ* dokumentiert werden konnte. Im südlichen Teilabschnitt von *Room 452* befand sich als fester Bestandteil der Innenausstattung ein leicht konkave Herdstelle, deren seitlich mit Steinen eingefasste Brandplatte aus stark komprimiertem Lehm in einer absoluten Höhe ▼ 34,98 m ü. NN

³⁹¹ Blegen *et al.* 1951: 151.

³⁹² Blegen *et al.* 1951: 151–152.

³⁹³ Cf. Blegen *et al.* 1951: Fig. 268, 269.

³⁹⁴ Blegen *et al.* 1951: 152.

³⁹⁵ Cf. Blegen *et al.* 1951: Fig. 267.

Tab. 27: Quadrat E 6, House 452–453, Keramikfundgut Troia IVa

Menge insgesamt	ca. %-Anteil Fein-/Grobkeramik	Warengattung	Form	Anzahl
»two and a half baskets«	33/67	<i>Gray and Black Wares</i>	A 12	-
			B 21 oder C 35	1
		<i>Red-coated Ware</i>	A 16	51
			A 20	10
			A	»several«
			A 33	12
			B 24	1
B	»several fragments«			
<i>Plain Ware</i>	A 2			
<i>Early Aegean Wares</i>	-			
<i>Coarse Fabrics</i>	-	-		

lag (Taf. 23.2).³⁹⁶ Innerhalb der Räume hatte sich auf dem unebenen, zwischen ∇ 35,10 m ü. NN und ∇ 34,94 m ü. NN liegenden Fußboden größere Mengen an Siedlungsschutt angesammelt (Tab. 27).³⁹⁷ Darunter fiel eine ungewöhnlich große Anzahl an Halbfabrikaten und Produktionsabfällen aus Silex und Felsstein auf, die dem Raumensemble den Beinamen »house of the stone worker« einbrachte.³⁹⁸ Daneben fanden sich sechs Spinnwirtel aus Ton, ein Terrakottaidol, zwei Knochenahnen, zahlreiche Tierknochen und keramisches Material, darunter vier großteils ergänzbare Gefäße.³⁹⁹

Das zweite Gebäude nordöstlich von Straße 458 verfügte über einen kleinen Vorräum, *Area 454*, der von der dem Verkehrsweg zugewandten Seite aus zugänglich war; an diesen schloß rückwärtig ein weiteres, langgestrecktes Raumsegment mit trapezförmigem Grundrißplan an, *Room 455* (Taf. 21.1).⁴⁰⁰ Dessen gesamter hinterer Bereich war im Zuge der Ausgrabungsaktivitäten Schliemanns undokumentiert beseitigt worden, so daß sich seine ursprüngliche Ausdehnung in diese Richtung nicht mehr erschließen ließ. Durch das zugrundegelegte Anlagenschema bedingt, verringerte sich die Breite des Raums auf einer erhaltenen Länge von 6,3 m von maximal 3,4 m im Südwesten auf 2,5 m im Nordosten (Taf. 23.3). Vom Vorräum aus war *Room 455* durch einen rund 0,8 m breiten Durchgang zu erreichen.⁴⁰¹ Die Seitenmauern wiesen eine durchschnittliche Stärke von 0,55 m auf und bestanden aus einer horizontal abgeglichenen Substruktion aus kleineren und größeren Bruchsteinen, die von einem Aufbau aus Lehmziegeln überlagert wurde. Auf dem zwischen ∇ 34,64 m ü. NN und ∇ 34,30 m ü. NN leicht geneigten Boden des Raums breitete sich flächendeckend eine dünne weiße Ascheschicht aus, in der sich mehrere zerscherbte Gefäße eingebettet fanden.⁴⁰² Unmittelbar der nach Südosten orientierten

³⁹⁶ Blegen *et al.* 1951: 152.

³⁹⁷ Blegen *et al.* 1951: 152–153.

³⁹⁸ Blegen *et al.* 1951: 152.

³⁹⁹ Blegen *et al.* 1951: 152–153.

⁴⁰⁰ Cf. Blegen *et al.* 1951: 154–155 u. Fig. 268.

⁴⁰¹ Cf. Blegen *et al.* 1951: Fig. 268.

⁴⁰² Cf. Blegen *et al.* 1951: Fig. 116.

Tab. 28: Quadrat E 6, House 454–455, Keramikfundgut Troia IVa

Menge insgesamt	ca. %-Anteil Fein-/Grobkeramik	Warengattung	Form	Anzahl
»two and three-fourths baskets«	33/67	<i>Gray and Black Wares</i>	A 12 A 16	1 »a few«
		<i>Red-coated Ware</i>	A 16 A 18 A 20 A A 33 A 45 B 24 B C 35 D 5	43 9 7 - »a number of fragments« »several pieces« 1 »several fragments« 1 1
		<i>Plain Ware</i>	A 2 A 39	28 4
		<i>Early Aegean Wares</i>	13	
		<i>Coarse Fabrics</i>	C (?) C 7 (?) C 19 und C 22 C 39	1 1 45 »several fragments«

Mauer vorgelagert fanden sich die Reste eines für diesen frühen Zeithorizont vergleichsweise großen Kuppelofens. Dieser war direkt über einer Troia III-zeitlichen Mauer errichtet und verfügte über einen annäherungsweise hufeisenförmigen Grundriß (Taf. 24.1 u. 2). Die Grundfläche, deren Zentrum sich in einem Niveau von ∇ 34,71 m ü. NN befand, war leicht erhöht und verfügte über eine Unterkonstruktion aus dicht aneinandergelegten Gefäßfragmenten, die in ihrer Gesamtheit von nur einem größeren Krug stammten. In den Innenraum des Ofens eingebrochen fanden sich größere Teile der ehemaligen rundbogigen Öffnung sowie ein konisch geformtes Objekt aus Ton,⁴⁰³ das aller Wahrscheinlichkeit nach dazu verwendet worden war, ein sich im oberen Teilbereich der Kuppel befindliches Entlüftungsloch bei Bedarf zu verschließen. Dicht vor dem Ofen lagen die Bruchstücke mehrerer Schalen, auch fanden sich hier die unteren Partien zweier mit Asche gefüllter Vorratsgefäße, die in den Boden eingesunken waren. Alle in Room 455 geborgenen Gefäße waren nur unvollständig erhalten und hier wohl bereits geraume Zeit vor der endgültigen Auflassung des Gebäudes entsorgt worden. Trotz der zahlreichen im Rauminnen dokumentierten Brandrückstände scheint der Bau jedoch nicht durch ein Feuer zerstört worden zu sein: die zwischen dem Troia IVa- und Troia IVb-zeitlichen Begehungshorizont gelegene Deposition setzte sich vor allem aus gleichmäßig vergangenen Lehmziegeln zusammen und beinhaltete nur wenig Scherbenmaterial (Tab. 28), was eher auf einen graduellen Verfall des Gebäudes hindeutet als auf einen plötzlich eingetretenen Schadensfall.⁴⁰⁴

⁴⁰³ Blegen *et al.* 1951: Fig. 150 Nr. 33.361.

⁴⁰⁴ Blegen *et al.* 1951: 155.

Den verzeichneten Befunden nach zu urteilen, verfügte das dritte in Reihe gelegene Bauwerk, *House 456*, lediglich über einen einzelnen langrechteckigen, Südwest-Nordost orientierten Raum (Taf. 21.1). Von der zum Verkehrsweg hin orientierten Stirnseite hatte sich allein der untere ca. 0,45 m breite Sockel aus Bruchsteinen erhalten, während sich von einem grundsätzlich vorauszusetzenden Lehmziegelüberbau nichts mehr fand. Errichtet hatte man die Fassade direkt auf den Resten eines an derselben Stelle gelegenen Vorgängerbaus aus zunächst zwei Lagen größerer Mauersteine, die man in einem weiteren Schritt um einen Aufbau aus kleineren, in Lehmörtel gesetzten Steinen ergänzte (Taf. 25.1).⁴⁰⁵ Ein 0,75 m breiter Eingang befand sich leicht versetzt zur mittleren Langachse des Gebäudes im Südwesten; ein auf der Innenseite der südwestlichen Mauerwange vorgelagerter Türangelstein legte durch seine spezifische Positionierung grundsätzlich die Vermutung nahe, daß die Tür einst in des Richtung Rauminnen zu öffnen war.⁴⁰⁶ Die nutzbare Fläche des Raums betrug 25,2 m². Ungefähr im Zentrum fand sich eine runde Herdstelle, *Hearth G*, mit einem Durchmesser von 1 m (Taf. 25.2). Neben dieser, unmittelbar vor der Südostmauer, lag ein rechteckiger, annähernd 0,26 m tiefer Trog aus großen aufrecht gesetzten Steinblöcken; dessen innere Grundfläche war mit kleinen Steinen gepflastert und mit kalkhaltigem Lehm überzogen.⁴⁰⁷ In der westlichen Raumecke, direkt neben dem Eingang, konnte darüberhinaus eine gerundete, 0,26 m hohe Plattform aus kleinen und größeren, randlich gesetzten Steinen freigelegt werden, die in Form und Struktur deutlich an das zeitgleiche Podest in *Room 402* in Quadrat F 7/8 erinnert (Taf. 26.1. Cf. Abb. 23).⁴⁰⁸ Den aus kompaktem Stampflehm bestehenden Fußboden bedeckte eine bis zu 0,7 m starke, in sich weiter differenzierbare Akkumulation aus Asche, größeren Holzkohlepartikeln, Muscheln und Tierknochen sowie zahlreichen, teils nachweislich umgelagerten Gefäßfragmenten (Taf. 26.1, Tab. 29). Den Umstand, daß sich diese vor allem in den Randzonen des Raums massierte, versuchten Blegen *et al.* damit zu erklären, daß es sich hierbei um den sich Laufe der Nutzung sukzessiv ansammelnden Unrat handle, der von den Bewohnern zunächst zur Seite gekehrt und immer dann, wenn er größere Ausmaße angenommen habe, mit einem neuen, entsprechend geneigten Boden überdeckt worden sei.⁴⁰⁹

Die vierte Raumeinheit des Baukomplexes im Bereich von Quadrat E 6, *House 457*, konnte auf einer erhaltenen Restlänge von 3,15 m und einer maximalen Breite von 2,25 m dokumentiert werden (Taf. 21.1). In südöstlicher Richtung teilte sich das wohl ebenfalls langrechteckige Segment eine kalkverputzte Trennwand mit dem unmittelbar angrenzenden *House 456*. Die 0,4 m starke, leicht in nördlicher Richtung abwinkelnde Südwestfassade war lediglich an diese angebaut und band nicht strukturell in den Mauerwerksverband ein; auf einer Distanz von 1,05 m ruhte der Baukörper auf einem einzelnen langen Steinblock.⁴¹⁰ Der älteste Begehungshorizont des Raums lag bei ▼ 34,36 m ü. NN und war vollständig mit einer rund 0,25 m starken Ablage-

⁴⁰⁵ Blegen *et al.* 1951: 157.

⁴⁰⁶ Blegen *et al.* 1951: 158.

⁴⁰⁷ Blegen *et al.* 1951: 158.

⁴⁰⁸ Cf. Blegen *et al.* 1951: 144.

⁴⁰⁹ Blegen *et al.* 1951: 158, 160.

⁴¹⁰ Blegen *et al.* 1951: 162.

Tab. 29: Quadrat E 6, House 456, Keramikfundgut Troia IVa				
Menge insgesamt	ca. %-Anteil Fein-/Grobkeramik	Warengattung	Form	Anzahl
»four and one-fourth baskets«	20/80	<i>Grey and Black Wares</i>	A 16	1
			A 20	»several rim fragments«
			C 29	1
		<i>Red-coated Ware</i>	A 4	3
			A 16	98
			A 18	6
			A 20	34
			A 33	8
			B 18	2
			B 24	1
			B	1
			C 28	1
			D 1	1
		<i>Plain Ware</i>	A 2	309
		<i>Early Aegean Wares</i>	-	-
<i>Coarse Fabrics</i>	A 4	1		
	A 16	1		
	B 3	1		
	B 18	1		
	B 21 oder C 35	1		
	B 24	1		
	C 10	1		
	C 14	1		
	C 19	1		
	C 22	921		
	C 36	1		
	C 39	-		
D 15	1			

rung aus verbranntem organischen Material, vermutlich Holz oder Reisig, bedeckt. Unter den nicht näher spezifizierten Funden⁴¹¹ befanden sich die ebenfalls verbrannten Reste einer 0,4 × 0,3 m messenden Schale.⁴¹²

2.2.3.2.2 Troia IVb

In den zweiten Abschnitt der Troia IV-zeitlichen Besiedlung in Quadrat E 6, Troia IVb, war die in der Vorgängerphase entstandene architektonische Bausubstanz ohne signifikante Modifikationen übernommen worden (Taf. 27.1), auch zeichnet sich das Formen- und Warenspektrum

⁴¹¹ Blegen *et al.* 1951: 163: »Three-fourths of a basket: one-third fine ware, two-thirds coarse with some pithos fragments. The fine ware included several gray polished sherds, some pieces of Red-coated Ware, and 12 fragments of Plain Ware. Apart from a few rims of bowls there was nothing to give indications of shapes.«

⁴¹² Cf. Blegen *et al.* 1951: 162–163 u. Fig. 268.

des begleitenden Keramikfundguts gegenüber dem älteren Material durch eine auffallende typographische Kontinuität aus.⁴¹³

Das Niveau von *Street 458*, deren Verlauf man vollkommen unverändert aufgegriffen hatte, hatte sich infolge kontinuierlicher Akkumulationsprozesse bereits nach dem ersten Siedlungshorizont deutlich erhöht, ohne jedoch in sich stratigraphisch erkennbar gegliedert zu sein;⁴¹⁴ in einer Höhe von ∇ 34,80 m ü. NN fanden sich zahlreiche größere Steine, die vermutlich von den Mauern der am Ende von Troia IVa allmählich verfallenden Gebäuden im Seitenbereich des Verkehrswegs stammten (Taf. 27.2).⁴¹⁵

Gebäude 450 und 451 wurden ebenfalls in den Siedlungsplan systematisch integriert und nur teilweise renoviert.⁴¹⁶ Bei *House 450* z. B. wurde die der Straße 458 zugewandte Mauer ab einer absoluten Höhe von ∇ 35,24 m ü. NN leicht aufgestockt; in gleicher Weise wurde die Fassade von *House 451* erneuert, wobei sich das Niveau dessen Eingangsbereichs um rund 0,75 m erhöhte. Auch im Inneren der beiden Raumeinheiten hatte sich im Laufe der Zeit zunehmend Siedlungsmaterial angesammelt, so daß vormals vorhandene Elemente der Inneneinrichtung, wie etwa der Herd, der in Troia IVa noch die nordöstliche Raumecke von *House 451* eingenommen hatte, vollständig überdeckt wurden.⁴¹⁷

Auf dem Begehungshorizont von *House 454–455* lagernd, fand sich eine zwischen 0,5–0,75 m starke Akkumulation aus vergangenen Lehmziegeln und anderen beim Einsturz der Anlage am Ende von Troia IVa ins Rauminnere eingestürzter Bau- und Konstruktionselemente; unmittelbar auf dieser, in einem Niveau von ∇ 35,14 m ü. NN bis ∇ 35,26 m ü. NN, war wiederum ein neuer Fußboden angelegt. Wie bei den anderen Räumlichkeiten waren auch hier die zu Beginn der Besiedlungsphase durchgeführten Sanierungsmaßnahmen in erster Linie anhand neu hinzugefügter Lagen im Mauerwerk zu erkennen (Abb. 28).⁴¹⁸ *Area 454*, der Vorraum des Hauses, war in seiner überarbeiteten Form geringfügig schmaler, da man die neue Südwestmauer der vorherigen auf der Innenseite unmittelbar vorgesetzt hatte, ohne deren Position dabei aufzugreifen.⁴¹⁹ Zwar wurde die trapezoide Grundform grundsätzlich beibehalten, jedoch reduzierte man die zur Verfügung stehende Nutzfläche auf 3,7 m in der Breite und auf 0,8–1,35 m in der Raumtiefe. In den teilweise gepflasterten Innenbereich gelangte man über einen 0,6 m breiten, in einer Distanz von ebenfalls 0,6 m von der Nordwestmauer eingerichteten Durchgang in der zur Straße hin orientierten Fassade.⁴²⁰ Zumal sich in der Verfüllung des Raums keine eindeutig als solche identifizierbaren Bestandteile einer etwaigen Dachkonstruktion fanden (Tab. 30), schlossen Blegen *et al.* die Möglichkeit nicht aus, daß der Raum einst nach oben hin geöffnet gewesen sein könnte.⁴²¹ Die Trennwand zu *Room 455* besaß eine Stärke von 0,35 m,

⁴¹³ Blegen *et al.* 1951: 172.

⁴¹⁴ Cf. Blegen *et al.* 1951: 149.

⁴¹⁵ Blegen *et al.* 1951: 173 u. Fig. 123.

⁴¹⁶ Entsprechendes ist ebenfalls für *House 454* und *House 455* zu konstatieren: Blegen *et al.* 1951: 173.

⁴¹⁷ Blegen *et al.* 1951: 173.

⁴¹⁸ Blegen *et al.* 1951: 174.

⁴¹⁹ Cf. Blegen *et al.* 1951: Fig. 268–270.

⁴²⁰ Cf. Blegen *et al.* 1951: 174 u. Fig. 270.

⁴²¹ Blegen *et al.* 1951: 174.



Abb. 28
 Quadrat E 6, Room
 455. Übereinanderlie-
 gende Mauerzüge der
 Phasen Troia IVa und
 Troia IVb (Blegen *et al.*
 1951: Fig. 124).

Tab. 30: Quadrat E 6, Area 454, Keramikfundgut Troia IVb				
Menge insgesamt	ca. %-Anteil Fein-/Grobkeramik	Warengattung	Form	Anzahl
»a little more than one basket«	33/67	<i>Gray and Black Wares</i>	-	-
		<i>Red-coated Ware</i>	A 16	4
			A 20	12
			C 6	1
			C 10	1
			C 33	2
<i>Plain Ware</i>	A 2	45		
<i>Early Aegean Wares</i>	-	2		
<i>Coarse Fabrics</i>	C 22	1		
	C 39	1		

bestand aus mehreren Lagen kleinerer Steinen und einem in der Breite entsprechend dimensionierten Lehmziegelaufbau.⁴²² Der hintere, geringfügig tiefer gelegene Raum des Gebäudes war über einen ca. 0,6 m breiten Durchgang zu erreichen, der mit einem großen Schwellstein ausgestattet war, an den wiederum – zur Überwindung der zwischen beiden Raumeinheiten bestehenden Höhendifferenz – zwei vergleichsweise flache Stufen anschlossen (Taf. 28.1). Der zwischen ∇ 35,25 m ü. NN und ∇ 35,14 m ü. NN gelegene Begehunshorizont von *Room 455* war auffallend uneben und mit einer zwischen 0,4–0,5 m dicken Ablagerung aus Brandrückstände bedeckt, die sich insbesondere im Nahbereich der Seitenwände konzentrierte. Im Zentrum fand sich

⁴²² Blegen *et al.* 1951: 175.

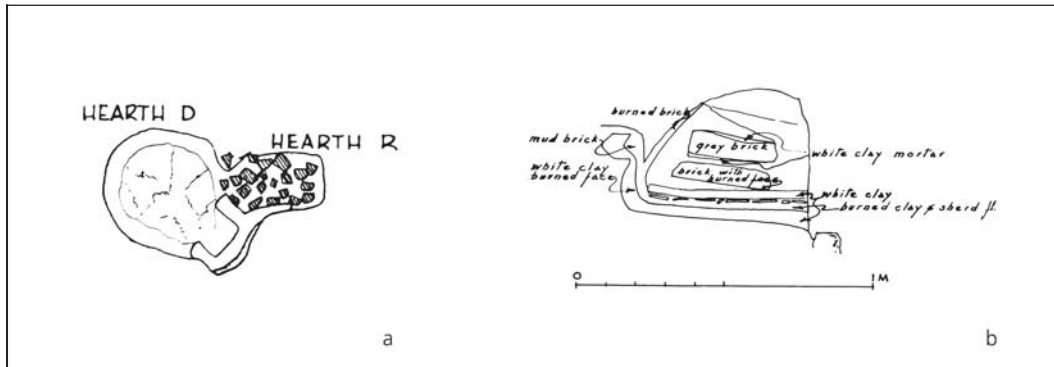


Abb. 29
 Quadrat E 6, Room 455. a. *Hearth D* und *Hearth R*, Grundrißplan. Blegen et al. 1951: Fig. 270 (Detailausschnitt); b. *Hearth R*, schematischer Profilschnitt (Blegen et al. 1951: Fig. 276).

Tab. 31: Quadrat E 6, Room 455, Keramikfundgut Troia IVb				
Menge insgesamt	ca. %-Anteil Fein-/Grobkeramik	Warengattung	Form	Anzahl
»one basket«	25/75	<i>Gray and Black Wares</i>	-	-
		<i>Red-coated Ware</i>	A 16	2
			A 20	1
			A	1
			A 33	1
			B 6	1
		<i>Plain Ware</i>	A 2	2
		<i>Early Aegean Wares</i>	C 10	1
			C 12	1
		<i>Coarse Fabrics</i>	B 11	1
C 12	1			
C 13	1			
C 22	1			
C	»several«			
C 39	1			

eine Herdstelle, *Hearth D*, deren konkave, hart gebrannte Grundfläche über einen dünnen kalkhaltigen Schicht angelegt und mit einem ca. 0,1 m starken Rand aus geschichtetem Lehm eingefasst worden war; unmittelbar im Südwesten daran anschließend, erhob sich eine rechteckige, ebenfalls aus Lehm gefertigte Plattform, die eine mit Asche und lockerer Erde verfüllte Vertiefung umschloß (Taf. 28.2).⁴²³ Etwas weiter in nördlicher Richtung lag der zweite Herd innerhalb des Raums, *Hearth R*. Dieser verfügte über einen Unterbau aus Gefäßfragmenten und ebenfalls über eine leicht erhöhte Randzone; der Befundlage nach zu urteilen handelte es sich bei diesem wohl ursprünglich um einen Kuppelofen (Abb. 29).⁴²⁴ Unter den in *Room 455* geborgenen Fundobjekten befanden sich elf großteils bis vollständig erhaltene Gefäße, darunter mehrere Schalen, Krüge und vier Vorratsgefäße, die beim Einsturz des Gebäudes – wohl infolge eines größeren

⁴²³ Blegen et al. 1951: 175 u. Fig. 270.

⁴²⁴ Blegen et al. 1951: 175 u. Fig. 276.

Brandes – vollständig überdeckt worden waren; relativ gering war demgegenüber die Anzahl der Scherben ohne erkennbare Zusammengehörigkeit (Tab. 31).⁴²⁵

House 456 war mit großer Sicherheit auch in Phase Troia IVb in Gebrauch, jedoch ohne strukturelle Modifikation im Vergleich zum vorhergehenden Zeitabschnitt. In einer Höhe von ▼ 35,14 m ü. NN fand sich im Südwesten des Raums ein stark verdichteter Fußboden aus kalkhaltigem Lehm, der im Norden bis auf ein absolutes Niveau von ▼ 35,54 m ü. NN anstieg. Angelegt worden war dieser unmittelbar auf einer bis zu 0,7 m starken Schuttschicht, die ihrerseits direkt auf dem Begehungshorizont von Troia IVa lagerte.⁴²⁶ »*The deposit, though generally similar to the debris resulting from the fire in the neighboring House 455 in Phase IVb, showed some striations, and might have been formed by the accumulation on successive rough floors. It was therefore difficult to determine whether the clay pavement at 35.14 m. to 35.54 m. A.T. should be assigned to Phase IVb or IVc. Its level was appropriate for the earlier of the two, but since it sloped upward to the north, whereas all the other floors of Phase IVb sloped downward in that direction, we have attributed it to Phase IVc.*«⁴²⁷

Eindeutig als solche identifizierbare Funde und Befunde der Phase Troia IVb konnten im Bereich von *House 457* zwar nicht angetroffen werden, jedoch ist nach Blegen *et al.* vor allem in Anbetracht des Weiterbestehens dieses bereits in Troia IVa angelegten Raumsegments in Troia IVc davon auszugehen, daß dieser Teil des Baukomplexes auch im dazwischen gelegenen chronologischen Abschnitt auf die eine oder andere Weise genutzt wurde.⁴²⁸

2.2.3.2.3 Troia IVc

Ähnlich wie in den vorangegangenen Zeithorizonten, reduzierten sich die konstruktiven Eingriffe in die in Quadrat E 6 vorhandene bauliche Struktur auch am Übergang von Troia IVb nach Troia IVc auf ein Minimum: *Street 458* war nach wie vor in Gebrauch und auch die Gebäude 450 und 451 waren praktisch unverändert übernommen (Taf. 29.1). Im weiteren Verlauf des Siedlungsgeschehens lagerte sich hier sukzessive eine rund 20 cm starke Schicht aus inhomogenem Siedlungsschutt ab, die, ausgehend von einer absoluten Höhe von ▼ 35,40 m ü. NN, durch mehrere Begehungsniveaus in sich strukturiert wurde.⁴²⁹

Die bestehende Aufteilung von *House 452–453* in zwei aufeinander folgende Räume wurde grundsätzlich beibehalten. Auf dem mit Asche bedeckten Fußboden fanden sich nur wenige Objekte, darunter zwei Spinnwirtel, ein Reibstein sowie die Fragmente einer unvollständigen Kanne und diejenigen eines zumindest teilrestaurierbaren Gefäßes der Form C 22 (Tab. 32),⁴³⁰ das wie der überwiegende Teil der kontemporären grobkeramischen Gefäße aus organisch gemagertem

⁴²⁵ Blegen *et al.* 1951: 175.

⁴²⁶ Cf. Blegen *et al.* 1951: 189.

⁴²⁷ Blegen *et al.* 1951: 177–178.

⁴²⁸ Blegen *et al.* 1951: 178, 190.

⁴²⁹ Blegen *et al.* 1951: 186.

⁴³⁰ Blegen *et al.* 1951: 186–187.

Tab. 32: Quadrat E 6, House 452–453, House 454–455, House 456, House 457, Keramikfundgut Troia IVc

Menge insgesamt	ca. %-Anteil Fein-/Grobkeramik	Warengattung	Form	Anzahl
-	-	<i>Gray and Black Wares</i>	A 16	8
			B 24	2
			C 28 oder C 33	1
			D 7	1
		<i>Red-coated Ware</i>	A 11 (?)	1
A 16	50			
A 18	5			
A 20	22			
A	-			
A 33	6			
A 39	4			
C 28	1			
C 33	1			
<i>Plain Ware</i>			A 2	»several pieces«
			A 33	2
			A 39	3
			B 24	1
			C 10	1
<i>Early Aegean Wares</i>			-	-
<i>Coarse Fabrics</i>			A 16	1
			C 10	»numerous fragments«
			C 11	»numerous fragments«
			C 14	»numerous fragments«
			C 16	»numerous fragments«
			C 19	»many fragments«
			C 22	»many fragments«
			C 39	1
			D 23	-

Ton hergestellt worden war: »[Coarse Fabrics] *Practically all straw-tempered. Seventy per cent very coarse ware; i. e., clay contains gravel, surface is gritty, though irregularly smoothed, and sometimes lightly polished.*«⁴³¹

Innerhalb von *House 454–455* fand sich direkt auf der Begehungsfläche der Phase Troia IVb eine 0,4–0,5 m starke Ablagerung, die neben vergangenen Lehmziegeln und größeren zusammenhängenden Partien des ehemaligen Kalkverputzes zahlreiche Stücke verbrannten Holzes, kalzinierter Erde und Asche enthielt. Unmittelbar auf der Oberfläche dieser Deposition konnten wiederum verschiedene, in einigen Fällen in größeren Teilen erhaltene Gefäße geborgen werden, was nach Blegen *et al.* nur dadurch zu erklären sei, daß sich in diesem Niveau ein weiterer, nach dem Brand des Hauses entstandener Laufhorizont befunden habe (*cf.* Tab. 32).⁴³² Bereits kurze Zeit nach dessen Fertigstellung entstand an der Stelle, an der sich zuvor noch *Hearth D* und *Oven R* ausgedehnt hatten, eine Konstruktion unbekannter Funktion aus Steinen und luftge-

⁴³¹ Blegen *et al.* 1951: 191.

⁴³² Blegen *et al.* 1951: 187.

trockneten Lehmziegeln (Taf. 29.1). Diese bestand aus einer verhältnismäßig schmalen, auf einer einzelnen Lage kleinerer Bruchsteine angelegten Lehmziegelwand, die auf einer Länge von ca. 1,5 m von der nordwestlichen Gebäudemauer her in den Raum hineinragte und auf diese Weise eine zwischen 0,5–0,75 m breite Bank bzw. Plattform bildete (cf. Taf. 28.2).⁴³³

Ein zwischen ∇ 35,14 m ü. NN im Südwesten und ∇ 35,34 m ü. NN gelegener Boden kennzeichnete im Bereich von *House 456* den Übergang von Troia IVb nach Troia IVc. Im rückwärtigen Bereich des Gebäudesegments fanden sich auf diesem die Reste einer runden, bereits von Schliemann in Teilen abgetragenen Herdstelle, *Hearth C*. Diese verfügte über einen Durchmesser von annähernd 1,1 m sowie über eine Brandplatte aus geglättetem Lehm, in deren Zentrum das darunterliegende Erdmaterial bis in eine Tiefe von 0,13 m stark durchgeglüht und teilweise verziegelt war (Taf. 29.2).⁴³⁴

Hinweise auf eine Weiterverwendung von *House 457* in Phase Troia IVc lagen hauptsächlich in Form einer 0,7–0,85 m großen Herdstelle vor; deren hart gebrannte Oberfläche lag in einer Höhe von ∇ 35,69 m ü. NN und war im Bereich der Randzone mit einem schmalen Kranz kleinerer Steine eingefasst.⁴³⁵

2.2.3.2.4 Troia IVd

Die nur ca. 0,25 m starke Akkumulation der Phase Troia IVd konnte lediglich in kleineren Teilbereichen des Quadrats E 6 nachgewiesen werden (Taf. 30.1).⁴³⁶ Durch die Beseitigung der über einen Zeitraum von drei Besiedlungsphasen – Troia IVa bis Troia IVc – zwischen den Räumen 454 und 455 bestehenden Trennwand wurde *House 455* von einem zunächst zweiräumig konzipierten Bau in ein Einraumgebäude umgestaltet.⁴³⁷ Neu hinzu kam eine ovale, der südöstlichen Seitenmauer dicht vorgelagerte Herdstelle, *Hearth A*, die der feinstratigraphischen Untersuchung nach zu schließen über zwei zeitlich versetzte Ausbaustadien verfügte (Taf. 30.2, 31.1):⁴³⁸ Die ältere, in einer Höhe von ∇ 35,67 m ü. NN gelegene Brandplatte dehnte sich in einer Fläche von maximal $1,4 \times 1,2$ m aus, war in nordwestlicher Richtung leicht abschüssig und aus sorgfältig geglättetem Lehm hergestellt. Noch in Phase Troia IVd wurde die Installation vollständig erneuert, wobei sich die Grundmaße auf nur mehr $1,12 \times 0,9$ m verringerten. Der neue, bei ∇ 35,81 m ü. NN gelegene Boden bestand aus einer Schicht größerer Gefäßfragmente, die man in einer ca. 4 cm dicken Schicht aus Lehmörtel dicht verlegt hatte; die Rückwand des Herds bildeten fünf aufrecht gestellte Fragmente von Großgefäßen, einige weiß verputzte Lehmziegel sowie mehrere ringförmig platzierte Steine (Taf. 31.1).⁴³⁹ Eine zweite Herdstelle, *Hearth B*, lag

⁴³³ Blegen *et al.* 1951: 187–188.

⁴³⁴ Blegen *et al.* 1951: 189.

⁴³⁵ Blegen *et al.* 1951: 189.

⁴³⁶ Cf. Blegen *et al.* 1951: 200 u. Fig. 261, 262, 272.

⁴³⁷ Cf. Blegen *et al.* 1951: Fig. 268–273.

⁴³⁸ Blegen *et al.* 1951: 201.

⁴³⁹ Blegen *et al.* 1951: 201 u. Fig. 129, 130.



Abb. 30
 Quadrat E 6,
 »Bothros E« in
 House 455, Phase
 Troia IVd (Blegen *et al.*
 1951: Fig. 131).

in der südöstlichen Raumecke und dürfte zeitlich in etwa dem älteren Herd A entsprochen haben. Die wenige Zentimeter über das Niveau des umgebenden Fußbodenhorizonts hinausragende Herdplatte bildete ein Pflaster aus unterschiedlich großen Gefäßfragmenten, Lehmziegelbruchstücken und Tonbrocken (Taf. 31.2). Auf der anderen Seite des Raums fand sich eine – von einer Höhe von ∇ 35,69 m ü. NN ausgehend – rund 0,25 m in die darunterliegenden Schichten eingetiefte Grube, »Bothros E«. Die Wandung der ovalen, 0,45 × 0,37 m großen Eintiefung war sorgfältig mit einem dicken Verputz aus kalkhaltigem Lehmörtel verkleidet (Abb. 30). Hinweise hinsichtlich der einstigen Nutzung ergaben sich weder anhand der spezifischen Struktur der Grube selbst, noch anhand des im Inneren geborgene Fundguts, das sich im wesentlichen nicht von dem des zugehörigen Fußbodens unterschied; ausgeschlossen werden konnte lediglich, daß es sich bei dieser um eine in funktionaler Verbindung mit den nahe gelegenen Herdstellen stehende Aschegrube handelte, da sich keine der hier ansonsten mit großer Wahrscheinlichkeit vorauszusetzenden Brandrückstände fanden (Tab. 33).⁴⁴⁰

Eine vergleichbare Vertiefung konnte ebenfalls innerhalb von *House 456* dokumentiert werden, »Bothros C«, von dem ansonsten nur wenige sicher der Phase Troia IVd zuweisbare Befunde vorlagen. Diese verfügte über einen Gesamtdurchmesser von 1,2 m und erreichte zwischen ∇ 35,70 m ü. NN und ∇ 34,95 m ü. NN eine Gesamttiefe von 0,75 m.⁴⁴¹ Im oberen Bereich der Verfüllung fand sich eine größere Menge Muscheln, während sich im tiefer gelegenen Teilabschnitt Tierknochen, Gefäßfragmente und Bruchstücke stark verbrannter Lehmziegel konzentrierten (Tab. 33).⁴⁴²

⁴⁴⁰ Blegen *et al.* 1951: 201.

⁴⁴¹ Cf. Blegen *et al.* 1951: Fig. 261, 262.

⁴⁴² Blegen *et al.* 1951: 201–202.

Tab. 33: Quadrat E 6, House 455, House 456, Keramikfundgut Troia IVd

Menge insgesamt	ca. %-Anteil Fein-/Grobkeramik	Warengattung	Form	Anzahl
»approximately two baskets«	25/75	<i>Gray and Black Wares</i>	-	15
		<i>Red-coated Ware</i>	A 2 oder A 4	1
			A 16	18
			A 18	18
			A 20	5
			A 33	»several fragments«
A 39	2			
B 20	1			
B 24	2			
C 5	2			
C 14, C 16	-			
<i>Plain Ware</i>	A 2	»some small pieces«		
<i>Early Aegean Wares</i>	-	7		
<i>Coarse Fabrics</i>	B 24	1		
	C 10	»several fragments«		
	C 11	»several fragments«		
	C 14	»several fragments«		
	C 16	»several fragments«		
	C 11 (?)	1		
	C 19, C 22	37		
C 39	»many fragments«			

2.2.3.2.5 Troia IVe

Troia IVe, die Endphase der Troia IV-zeitlichen Besiedlung, konnte im Bereich von Quadrat E 6 nahezu ausschließlich in Form keramischen Fundmaterials erschlossen werden; von den entsprechend zugehörigen Bauten hatten sich – nicht zuletzt auch infolge zum Teil tiefer in die vorhandene Substanz hineinreichender Bodeneingriffe zu Beginn der anschließenden Phase Troia V¹ – nur wenige Reste erhalten,⁴⁴³ wie beispielsweise ein Teil der Trennwand, die in früheren chronologischen Abschnitten *House 454–455* von *House 456* trennte (Taf. 32.1). *Street 458* scheint in dieser Zeit seine Bedeutung verloren zu haben und in *Area 455* miteinbezogen worden zu sein.⁴⁴⁴ Am selben Ort wie in Troia IVd fand sich hier eine Herdstelle, *Hearth B*, die wie vergleichbare Strukturen aus früherer Zeit über eine scherbengepflasterte Brandplatte mit abschließender Lehmabdeckung verfügte (Taf. 32.2). »*Bothros A*«, eine 0,83 m tiefe Grube mit einem Mündungsdurchmesser von 1,3 m, fand sich an derjenigen Stelle, an der sich zuvor die Trennwand von *House 452–453* zu *House 455* befunden hatte.⁴⁴⁵ Im Zentrum der Vertiefung konnte eine schmale, aus Lehm gefertigte Scheidewand festgestellt werden, die aller Wahrscheinlichkeit nach aus Gründen der Lager- bzw. Vorratshaltung im Inneren errichtet worden

⁴⁴³ Cf. Blegen *et al.* 1951: 262–270.

⁴⁴⁴ Blegen *et al.* 1951: 210.

⁴⁴⁵ Cf. Blegen *et al.* 1951: Fig. 109.

Tab. 34: Quadrat E 6, Area 455, Area 456, Keramikfundgut Troia IVe

Menge insgesamt	ca. %-Anteil Fein-/Grobkeramik	Warengattung	Form	Anzahl
-	-	<i>Gray and Black Wares</i>	C 28	1
			D 7	1
		<i>Red-coated Ware</i>	A 12	3
			A 16	18
			A 18	11
			A 20	4
			A 21	5
			A 33	3
			A 39	2
			B 24	3
			B	1
			C	-
		<i>Plain Ware</i>	A 2	-
			A 16	-
			A 18	-
			A 20	-
			A 21	-
		<i>Early Aegean Wares</i>	-	9
		<i>Coarse Fabrics</i>	C 16 (?)	1
			C 19	»many rim fragments«
C 22	»many rim fragments«			

war. Eines dieser Grubensegmente enthielt größere Mengen verkohlten Getreides, während sich im anderen tausende Muscheln, Asche, einige Tierknochen und Gefäßfragmente fanden. Eine zweite Grube, »*Bothros B*«, war im Norden des Areals zu lokalisieren. Diese besaß einen annähernd ovalen, $0,95 \times 0,6$ m messenden Grundriß sowie eine Tiefe von 0,2–0,3 m. In der oberen Verfüllung konnten auch hier vergleichsweise zahlreiche Muscheln geborgen werden, in der unteren Zone konzentrierte sich dahingegen vor allem verbranntes Holz.⁴⁴⁶ Der zu diesen Installationen gehörende Raumboden lag in einer Höhe von $\nabla 35,94$ m ü. NN und bestand aus stark verdichtetem Lehm, vermutlich fein zerstoßenen Lehmziegeln. Auf dessen Oberfläche lagerten zahlreiche räumlich verdichtete Anhäufungen von Gefäßfragmenten (Taf. 32.2) und größere Mengen an Brandrückständen, darunter auch ein verkohltes, insgesamt $0,3 \times 0,35$ m starkes und etwa 1,0 m langes Teilstück eines Balkens (Tab. 34). In *Area 456* ließen sich keine architektonischen Befunde entsprechender Zeitstellung feststellen.⁴⁴⁷

⁴⁴⁶ Blegen *et al.* 1951: 210–211.

⁴⁴⁷ Blegen *et al.* 1951: 211.

2.2.3.2.6 Troia V¹

Durch spätere, vornehmlich Troia VI- und Troia IX-zeitliche Eingriffe in die vorhandene Bodensubstanz waren größere Teile der der Periode Troia V zuweisbaren Ablagerungen innerhalb von Quadrat E 6 nachhaltig strukturell beeinträchtigt worden.⁴⁴⁸ Zwar gelang es die zwischen ▼ 36,20 m ü. NN und ▼ 37,39 m ü. NN gelegene Akkumulation deutlich von dem darunter liegenden Stratum der Periode Troia IV zu differenzieren, jedoch gestaltete sich die Unterscheidung der einzelnen stratigraphischen Einheiten innerhalb des kompakten Schichtpakets demgegenüber vergleichsweise problematisch. Mit einiger Sicherheit erschlossen werden konnten lediglich drei separate Horizonte, die sich jedoch weder formal noch inhaltlich mit den in Quadrat F 8 dokumentierten Ablagerungen exakt parallelisieren ließen; um einer zufälligen Verwechslung bzw. einer unangemessenen zeitlichen Gleichsetzung entsprechend vorzubeugen, wurde von Blegen *et al.* bei der terminologischen Ansprache der betreffenden Einzelschichten daher eine numerische Bezeichnung – Troia V¹, Troia V², und Troia V³ – einer alphabetischen vorgezogen.⁴⁴⁹ Zur Veranschaulichung der allgemeinen stratigraphischen Verhältnisse innerhalb des Siedlungshügels und der je spezifischen relativchronologischen Bezüge stellte man abschließend, jedoch explizit als Arbeitshypothese formuliert, eine Korrelation zwischen den beiden Untersuchungsbereichen E 6 und F 8 her: »*We are inclined to believe that V¹ corresponds to the deposits of Phases Va and Vb, V² to that of Vc, and V³ to that of Vd.*«⁴⁵⁰

Dem untersten, zwischen ▼ 36,20 m ü. NN und ▼ 36,34 m ü. NN gelegenen Stratum Troia V¹ konnten verschiedene architektonische Strukturen zugewiesen werden, die entweder von mehreren, separat erschlossenen Gebäuden stammten oder aber zu einem einzelnen Bauwerk mit vier Raumeinheiten zu ergänzen sind (Taf. 33.1). Das Niveau der jeweiligen Laufhorizonte unterschied sich teils beträchtlich, ebenso drangen die Mauerfundamente in verschiedene Tiefen vor; zurückzuführen ist dieser Umstand in erster Linie auf das bereits zur Zeit von Troia III und Troia IV in diesem Bereich der Siedlung bestehende Gefälle der Hügeloberfläche von Südwesten nach Nordosten.⁴⁵¹ Die im einzelnen dokumentierten Mauerzüge verfügten einheitlich über Sockel, bestehend aus zwischen vier bis fünf Lagen Kalkbruchsteinen; diese dienten wiederum als Unterbau für Mauerkörper aus ungebrannten Lehmziegeln oder, wenn auch seltener, ebenfalls aus Steinen. In ihrer Stärke variierte das aufgehende Mauerwerk zwischen 0,35–0,4 m, wobei der Gebäudekomplex als solcher in südwest-nordöstlicher Richtung ausgerichtet war. Vom Baueschema der erfaßten architektonischen Elementen ausgehend, schlossen Blegen *et al.* – trotz gewisser Vorbehalte – doch eher auf einen einzelnen, in sich geschlossenen Raumkomplex im Randbereich einer unmittelbar daran vorüberführenden Straße, *Street 556*, was, sofern diese Annahme tatsächlich zutreffend sei, auf eine übereinstimmende oder zumindest durchaus vergleichbare Anlagesystematik und Raumorganisation wie in der vorhergehenden Phase Troia IVe hindeute.⁴⁵²

⁴⁴⁸ Cf. Blegen *et al.* 1951: Fig. 261.

⁴⁴⁹ Blegen *et al.* 1951: 262.

⁴⁵⁰ Blegen *et al.* 1951: 262.

⁴⁵¹ Cf. Blegen *et al.* 1951: 37, 148, 152, 155, 158.

⁴⁵² Blegen *et al.* 1951: 263 u. Fig. 280.



Abb. 31
 Quadrat E 6, House
 550–551, im Vorder-
 grund Room 552
 (Blegen *et al.* 1951:
 Fig. 210).

Street 556 im Südwesten des untersuchten Areals hatte sich nur zu einem kleinen Teil erhalten. Auf einer Länge von ca. 3 m und einer maximalen Breite von 0,65 m konnte eine Steinpflasterung nachgewiesen werden, auf deren Oberfläche sich nur zwar wenig aussagefähiges, indes für Ablagerungen im Bereich von Straßen und Verkehrswegen charakteristisches Fundgut befand.⁴⁵³

Gleichermaßen über eine Pflasterung aus kleineren bis mittleren Steinen verfügte *Area 555* im Südosten des Quadrats E 6. Ob es sich bei der in einer Höhe von ∇ 36,29 m ü. NN gelegenen Fläche ebenfalls um eine Straße gehandelt hatte oder ob dieses Terrain einstmals als unüberdachter Hof seitlich des angrenzenden Gebäudes diente, konnte in Anbetracht der schlechten Erhaltungsbedingungen nicht eruiert werden. Eine kleinere, an die Südostfassade von *Room 550* unmittelbar im rechten Winkel anschließende Mauer deutete indessen darauf hin, daß der betreffende Teilabschnitt zumindest zu Beginn der Troia V-zeitlichen Bebauung an dieser Stelle nach Südwesten hin abgegrenzt war.⁴⁵⁴

Von *Room 550* hatten sich jeweils die nach Westen, Norden und nach Osten gewandten Mauerzüge erhalten, anhand derer die Raummaße von mindestens $3,5 \times 3,2$ m erschlossen werden konnten (Taf. 33.2); nördlich daran schloß eine weitere, *Room 551* genannte Struktur an (Abb. 31).⁴⁵⁵ Die Fundamente lagen zwischen ∇ 36,10 m ü. NN und ∇ 36,29 m ü. NN und wiesen eine Stärke von 0,35–0,4 m auf. Das darauf aufbauende Mauerwerk bestand aus überwiegend kleinformatischen, unbearbeiteten Steinen und war bis zu einer maximalen Höhe von 0,37 m erhalten (Taf. 34.1, 2); aller Wahrscheinlichkeit nach diente dieser Unterbau als Substruktion für

⁴⁵³ Blegen *et al.* 1951: 263.

⁴⁵⁴ Blegen *et al.* 1951: 263 u. Fig. 208.

⁴⁵⁵ Blegen *et al.* 1951: 263.

eine darüber liegende Konstruktion aus ungebrannten Lehmziegeln. Grundsätzlich ist davon auszugehen, daß die beiden Räume über eine im Bereich der östlichen Seitenmauer gelegenen Tür gegenseitig zugänglich waren. Falls sich mit *Area 555* ein Hof im Südosten an den Bau angeschlossen haben sollte, ist davon auszugehen, daß sich hier auch ein entsprechender Zugang befand; der Haupteingang von *House 550–551* ist jedoch eher im Südwesten, im Bereich der straßenzugewandten Fassade zu vermuten. Der zu *Room 550* gehörige Laufhorizont bestand aus tonhaltiger Erde und lag in einem Niveau von $\nabla 36,25$ m ü. NN. Unter den dort geborgenen Funden fielen unter anderem eine Perle aus Marmor, ein Reibstein, zwei Spinnwirtel aus gebranntem Ton sowie drei flache, sekundär bearbeitete Gefäßfragmente auf.⁴⁵⁶ Die ursprünglichen Ausmaße von *Room 551*, von dem lediglich Teile der Süd- und Westmauer und eine Grundfläche von $3 \times 1,8$ m untersucht werden konnten, schätzten Blegen *et al.* entsprechend denjenigen von *Room 550* ein. Von einem fragmentarisch erhaltenen Keramikgefäß abgesehen, konnten hier keine besonders hervorzuhebenden Fundobjekte geborgen werden.⁴⁵⁷

Im Westen daran anschließend fanden sich zwei weitere Räume, wobei der nordostwärts orientierte Bereich *Room 552* deutlich größer bemessen war als das unmittelbar im Südwesten daran angrenzende Segment *Room 553* (Taf. 33.1). Die 0,3–0,4 m starken Mauern bestanden auch hier aus vergleichsweise kleinen unbearbeiteten Kalkbruchsteinen und waren in zwei parallelen Reihen angeordnet, wobei vorhandene Zwischenräume mit Lesesteinen verfüllt worden waren (*cf.* Taf. 34.1). Im Norden des Gebäudes hatte man die Fundamente in einer Höhe von $\nabla 35,97$ m ü. NN angelegt, während in südlicher Richtung das Niveau bei $\nabla 36,11$ m ü. NN lag; erhalten hatten sich die leicht ins Rauminnere geneigten Grundmauern, die ebenfalls über einen Aufbau aus ungebrannten Lehmziegeln verfügt hatten (Taf. 34.2), bis zu vier Steinlagen, was einer Höhe von rund 0,4 m entsprach.⁴⁵⁸ Im Zuge der Grabungsaktivitäten Schliemanns war der nördliche Abschnitt von *Room 552* vollständig abgetragen worden. Einer näheren Untersuchung stand nichtsdestoweniger ein Areal von nicht weniger als $4,25 \times \text{ca. } 4,0$ m zur Verfügung (*cf.* Taf. 33.2), das in südlicher Richtung durch eine quer verlaufende Mauer mit einem annähernd 0,9 m breiten Durchgang von dem unmittelbar hier anschließenden *Room 553* abgetrennt wurde (*cf.* Taf. 34.1, 2). Gebildet wurde der Türbereich durch zwei sorgfältig gesetzte und mit Lehmverputz verkleidete Mauerwangen sowie einen größeren Schwellstein bei $\nabla 36,37$ m ü. NN, dessen Oberfläche noch im Verlauf der Phase Troia V¹ mit einem Steinpflaster überdeckt wurde (Abb. 32). Der hierzugehörige Raumboden in einer Höhe von $\nabla 36,34$ m ü. NN bestand aus kompakt verdichteter, tonhaltiger Erde und wies keinerlei etwa durch eine Herdstelle oder einen Ofen hervorgerufene Verfärbungen auf; auffällig hingegen waren mehrere Konzentrationen von Keramikfragmenten unmittelbar auf der Begehungsfläche, die unter anderem drei mehr oder minder vollständig restaurierbare Gefäße enthielten.⁴⁵⁹ Mit *Room 553* wurde ein Gebäudeteil erfaßt, das an seiner vergleichsweise geringen Grundfläche von $1,65 \times \text{ca. } 4,0$ m gemessen eher

⁴⁵⁶ Blegen *et al.* 1951: 263–264.

⁴⁵⁷ Blegen *et al.* 1951: 264.

⁴⁵⁸ Blegen *et al.* 1951: 264.

⁴⁵⁹ Blegen *et al.* 1951: 264.



Abb. 32
 Quadrat E 6, Room
 552, Türbereich mit
 Schwellsteinen (Blegen
et al. 1951: Fig. 213).

als Nebenkammer denn als vollwertiger Raum gedient haben dürfte (*cf.* Taf. 34.1).⁴⁶⁰ Infolge verschiedener struktureller Modifikationen erwies sich das primäre Ausbaustadium des Raums als nur schwer faßbar. Zugewiesen wurde ein Mauerverlauf, dessen Fundamentzone zwischen ∇ 35,98 m ü. NN und ∇ 36,20 m ü. NN dokumentiert werden konnte, der über eine Stärke von 0,4–0,45 m verfügte und in dessen Mauerwerk sich neben den allgemein gängigen Kalkbruchsteinen mehrere Fragmente von Großgefäßen befanden. Konkrete Hinweise auf einen Durchgang zur südlich vorüberführenden Straße gab es keine; eine ca. 1,0 m breite Tür konnte jedoch im Bereich der Westmauer beobachtet werden, allerdings war diese im späteren Verlauf der Besiedlungsphase durch eine Steinsetzung verschlossen worden. Zur festen Innenausstattung des Raums gehörte ein in der östlichen Zimmerhälfte gelegener Kuppelofen, der sich im wesentlichen aus drei funktionalen Komponenten zusammensetzte: zuunterst befand sich eine »Brand- bzw. Aschekammer«, darüber lag die eigentliche Ofenkammer, die ihrerseits wiederum von einer abschließenden Kuppel überspannt wurde (Taf. 35.1, 2). Die mit Grundmaßen von $0,9 \times$ ca. $1,0$ m annähernd quadratische Substruktion lag in einem absoluten Niveau von ∇ 36,14 m ü. NN. Gebildet hatte man den 0,25 m hohen Unterbau mittels mehrerer auf die Schmalseite gestellter Lehmziegel; diese hatte man ebenfalls zum Einbau einer mittig gelegenen Scheidewand herangezogen, die die Kammer in zwei langgestreckte Segmente unterteilte. In Anbetracht der beiden nur jeweils $0,13 \times 0,13$ m großen Öffnungen, durch die man lediglich kleinere Äste oder Holzkohle zur Betreibung des Ofens hätte einsetzen können, zogen Blegen *et al.* schließlich eine funktionale Ansprache des Konstruktionselements als »ash pit« bzw. als »air space to provide

⁴⁶⁰ Blegen *et al.* 1951: 265.

a draft to make the fire burn« vor.⁴⁶¹ Ein flacher, annähernd quadratischer Stein mit Seitenlängen von 0,15 m, den man in unmittelbarer Nähe des Kuppelofens gefunden hatte, hätte demnach als Verschuß dienen können, mit dessen Hilfe man die Luftzirkulation im Innenraum regulierte. Für eine Interpretation der Einrichtung als Brandraum sprach hingegen jedoch nicht zuletzt der Umstand, daß beide Segmente zum Zeitpunkt ihrer Ausgrabung nahezu vollständig mit Asche und anderen Brandrückständen angefüllt waren. Vier flache, rechteckige Lehmziegel mit den Maßen 0,48 × 0,34 × 0,08 m ruhten nebeneinander auf den hochkant gestellten Quadern des Unterbaus und bildeten so den eigentlichen Boden des Ofens; eine zugehörige Öffnung dürfte sich im Westen befunden haben. Die darüber sich erhebende Kuppel bestand aus grob gefertigten Lehmziegeln und Ton und war sowohl im Norden wie auch im Süden direkt gegen die dort vorhandenen Mauerzüge errichtet worden. Daß die sich im Befundbild abzeichnende Überlappung zwischen Kuppel und Ostmauer bereits zum Zeitpunkt der Errichtung des Ofens bestand, wie dies von Blegen *et al.* vorgeschlagen wurde,⁴⁶² ist in Anbetracht des spezifischen Konstruktionschemas entsprechender Anlagen hingegen weitaus weniger wahrscheinlich (*cf.* Taf. 35.2). Vieleher scheint es plausibel, daß die partielle Überlagerung des Baukörpers erst geraume Zeit nach der Auflassung von *Room 553* zustande kam, als ein Teilbereich der östlichen Gebäudemauer bereits verstürzt war; als Ursachen hierfür kommen hier nicht zuletzt Faktoren wie Erosion oder spätere Planierungsmaßnahmen in Frage.

Drei auf einem grundsätzlich vergleichbaren Anlagenschema basierende Kuppelöfen fanden sich zudem in dem direkt nordwestlich an *Room 553* anschließenden *House 554* (Taf. 36.1).⁴⁶³ Erhalten hatten sich von diesen lediglich die Substruktionen, konkrete Hinweise bezüglich der Konstruktion des entsprechend zugehörigen Oberbaus ergaben sich hingegen nicht (Taf. 36.2). Trotz der unmittelbaren räumlichen Nähe der einzelnen Kuppelöfen zueinander sowie den je verschiedenen Errichtungsniveaus – Ofen 1 lag in einer absoluten Höhe von ▼ 35,83 m ü. NN, Ofen 2 bei ▼ 36,18 m ü. NN und Ofen 3 bei ▼ 36,34 m ü. NN (*cf.* Abb. 33) – schlossen Blegen *et al.* auf ein zeitliches Nebeneinander von zumindest Ofen 1 und Ofen 2; aus praktischen Erwägungen zogen sie indessen für Ofen 3 ein späteres Entstehungsdatum in Betracht: »[...] *Oven No. 3 was in all likelihood built after Nos. 1 and 2 had fallen into disuse; for approach to the latter would surely have been blocked off by the massive dome-shaped superstructure we must probably assume for all.*«⁴⁶⁴ *House 554* selbst konnte in einer Fläche von maximal 2,9 × 1,85 m untersucht werden. Ob es sich bei diesem ursprünglich um ein eigenständig erschlossenes Gebäude gehandelt hatte oder ob die erfaßten architektonischen Hinterlassenschaften einst lediglich Teil eines größeren, aus mehreren Einheiten bestehenden Raumkomplexes bildeten, ging aus der Befundsituation nicht mehr eindeutig hervor (*cf.* Taf. 33.1).⁴⁶⁵ In südlicher wie westlicher Richtung war *House 554* durch ca. 0,4 m starke Mauerzüge begrenzt, die ausgehend von einem Niveau von ▼ 36,00 m ü. NN bis ▼ 36,10 m ü. NN bis zu einer Resthöhe von 0,4 m erhalten

⁴⁶¹ Blegen *et al.* 1951: 265.

⁴⁶² Blegen *et al.* 1951: 265.

⁴⁶³ Zu näheren Spezifikationen s. Blegen *et al.* 1951: 266–268.

⁴⁶⁴ Blegen *et al.* 1951: 267, 280.

⁴⁶⁵ Blegen *et al.* 1951: 267.



Abb. 33
 Quadrat E 6, House 554,
 Kuppelofen 1, Phase
 Troia V¹ (Blegen et al.
 1951: Fig. 215).

waren; im Osten bildete eine mit *Room 552* gemeinsame Mauer den räumlichen Abschluß. Der Eingang zu *House 554* darf mit großer Wahrscheinlichkeit im Norden vermutet werden. Zwar fand sich in einer Distanz von ca. 0,7 m zur südöstlichen Raumecke ein schmaler Durchgang im Bereich der Südmauer, jedoch war dieser zu einem späteren Zeitpunkt mit Hilfe von Mauersteinen verschlossen worden und hatte demnach durch einen entsprechenden – wohl auf der gegenüber liegenden Seite gelegenen – Zugang ersetzt werden müssen (Tab. 34).⁴⁶⁶

2.2.3.2.7 Troia V²

Die materiellen Überreste der zweiten Phase der Troia V-zeitlichen Besiedlung in Quadrat E 6, Troia V², lagen stratigraphisch nur unwesentlich über denjenigen des vorhergehenden Zeitabschnitts Troia V¹. Klar erkennbare Fußbodenhorizonte zeichneten sich im Grunde zwar an keiner Stelle der untersuchten Fläche ab, jedoch wiesen mehrere in einer absoluten Höhe von ca. ▼ 36,45 m ü. NN gelegene Scherbenkonzentrationen auf die ungefähre Höhe des ehemaligen Begehungsniveaus hin.⁴⁶⁷ Die zu diesem gehörenden Mauerzüge griffen im wesentlichen den Verlauf der älteren Gebäudestrukturen auf, jedoch wurde im Zuge ihrer Errichtung jeweils ein

⁴⁶⁶ Blegen et al. 1951: 266.

⁴⁶⁷ Blegen et al. 1951: 277.

Tab. 35: Quadrat E 6, House 550–551, House 552–553, House 554, Keramikfundgut Troia V ²				
Menge insgesamt	ca. %-Anteil Fein-/Grobkeramik	Warengattung	Form	Anzahl
»several baskets«	50/50	<i>Grey Ware</i>	A 23 B 9 (?) C 38 D 29 (?)	1 2 1 1
		<i>Red-coated Ware</i>	A 11 (?) A 12 A 16 A 18 A 21 A 33 A 41 A B 18 (?) C 5 (?) D 5 (?) D 7	1 3 3 15 5 2 1 »many fragments« 1 4 1 1
		<i>Plain Ware</i>	A 2 A 16 B 24 B C 8	»several fragments« »a few rim fragments« 1 1 1
		<i>Early Aegean Wares</i>	-	14
		<i>Coarse Fabrics</i>	A 8 C 10 C 14 C 19 C 20 C 22 C 23 D 16	1 - - 1 - - - 1

neuer Sockel aus relativ großen Bruchsteinen hinzugefügt, der bei ∇ 36,40 m ü. NN unmittelbar auf dem Lehmziegelaufbau des Vorgängerbaus gründete.⁴⁶⁸

In TroiaV¹ wurde das als *Room 550* bezeichnete Gebäudesegment durch die Verlegung der Nordmauer um rund 0,7 m weiter in nördliche Richtung in seiner Ausdehnung geringfügig erweitert; durch die grundlegende Neugestaltung der Süd- und Ostmauern nahm der Raum schließlich einen annähernd quadratischen Grundriß an (Taf. 37.1). Die gesamte südwestliche Ecke des Innenraums wurde von einem verhältnismäßig großen Kuppelofen eingenommen (Taf. 37.3 u. 38.1, 2). Mit Ausmaßen von 2,2 × 1,65 m war der Unterbau, dessen aus Lehmziegeln gesetzte Wandung zwischen 0,60 und 0,35 m in der Stärke variierte, nahezu elliptisch; die Innenseite war mit einem 3–4 cm dicken Verputz aus feingemagertem Lehmörtel verkleidet, der als Resultat der wiederholten Hitzeeinwirkung zunehmend rissig geworden war. Eine Öffnung, von der aus

⁴⁶⁸ Cf. Blegen *et al.* 1951: Fig. 212.



Abb. 34
 Quadrat E 6, Room 552,
 Bank in der südöstlichen
 Raumecke, Phase
 Troia V¹ (Blegen et al.
 1951: Fig. 219).

die bei $\nabla 36,45$ m ü. NN gelegene, in sich leicht konkave Ofenplatte aus erreichbar gewesen wäre, konnte anhand der erhaltenen Strukturen nicht nachgewiesen werden. In Anbetracht der Orientierung sowie der Lage der Installation in Relation zu den unmittelbar an diese angrenzenden Mauern im Süden und im Westen, wird ein Betrieb des Kuppelofens jedoch mit allergrößter Wahrscheinlichkeit aus östlicher Richtung erfolgt sein. Der zum Raum gehörende Begehungshorizont war nur annäherungsweise nachzuweisen. Dieser war flächendeckend mit Siedlungsabfällen verschiedener Art bedeckt, über denen sich wiederum eine nahezu fundfreie, in der Stärke nicht näher spezifizierte Ablagerung aus vergangenen Lehmziegeln ausbreitete.⁴⁶⁹ Gleichmaßen von den Troia V²-zeitlichen Umbaumaßnahmen betroffen waren die Räume 552–553 (cf. Taf. 37.1); hier entstanden eine neue Süd- und Westmauer sowie eine gemauerten, $1,3 \times 0,5$ m große Bank in der Südostecke von Raum 552 (Abb. 34).⁴⁷⁰ Ausgehend von $\nabla 36,39$ m ü. NN erreichte diese bis $\nabla 36,59$ m ü. NN eine Höhe von 0,2 m, allerdings ist davon auszugehen, daß sich auf der Oberfläche der vergleichsweise unebenen Steinkonstruktion ursprünglich ein Aufbau aus Lehmziegeln oder Lehmörtel befunden haben dürfte. Room 553 wurde strukturell im wesentlichen beibehalten. Anhaltspunkte dafür, daß sich hier wie in der vorhergehenden Phase möglicherweise ein Kuppelofen befunden hatte, gab es nicht, auch war das korrespondierende Laufniveau insgesamt nur sehr schwer auszumachen.⁴⁷¹

Angesichts des deutlich höher gelegenen Basisniveaus des zunächst der früheren Phase Troia V¹ zugewiesenen Ofens 3 in Room 554, schlossen Blegen *et al.* eine Datierung der Installation

⁴⁶⁹ Blegen *et al.* 1951: 278–279.

⁴⁷⁰ Blegen *et al.* 1951: 279 u. Fig. 219, 281.

⁴⁷¹ Blegen *et al.* 1951: 280.

Tab. 36: Quadrat E 6, Keramikfundgut Troia V³

Menge insgesamt	ca. %-Anteil Fein-/Grobkeramik	Warengattung	Form	Anzahl
»approximately one basket«	-	Grey Ware	- C 38 (?)	»very few sherds« 1
		Red-coated Ware	A 16	2
			A 18	8+
			A 21	2
			A	-
B 18 (?)	1			
Plain Ware	B 20	1		
	C 29 (?)	1		
	B 24 C 30	1 1		
Coarse Fabrics	-	-		

nach Troia V² nicht grundsätzlich aus; ein Fußbodenhorizont entsprechender Zeitstellung oder andere bauliche Hinterlassenschaften, anhand derer diese Hypothese gegebenenfalls verifiziert hätte werden können, fanden sich jedoch nicht (Tab. 35).⁴⁷²

2.2.3.2.8 Troia V³

Troia V³, der letzte Abschnitt der Troia V-zeitlichen Besiedlung in Quadrat E 6, konnte – in völliger Abwesenheit architektonischer Befunde – lediglich auf der Grundlage eines schmalen Stratum unmittelbar über *House 552–553* erschlossen werden, das neben verschiedenen Kleinfunden aus Keramik und Stein mehrere Gefäßfragmente enthielt, die zeitlich sicher älter anzusetzen sind als Troia VI; zwölf sicher Troia VI-zeitliche Bruchstücke aus Anatolischer Grauware und drei einer von Blegen *et al.* als »yellow Minyan Ware« bezeichneten Keramikgattung aus demselben Fundkontext wurden als intrusiv und dementsprechend für die Datierung der Schicht als irrelevant eingestuft (Tab. 36).⁴⁷³

2.2.4 Keramischer Befund

2.2.4.1 Troia IV

Den verschiedenen von Blegen *et al.* für Troia IV herausgearbeiteten Keramikgattungen lag im wesentlichen ein bereits bei der Auswertung Troia II- und Troia III-zeitlichen Fundmaterials an-

⁴⁷² Blegen *et al.* 1951: 280.

⁴⁷³ Blegen *et al.* 1951: 288. S. in diesem Zusammenhang auch Pavúk 2005: 98–99.

Tab. 37: Warenklassifikation Troia IV	
Feinkeramik	»Gray and Black Wares« »Red-coated Ware« »Plain Ware« »Early Aegean Ware«
Grobkeramik	»Straw-tempered Ware« »Gritty Ware«

gewandtes Klassifikationssystem zugrunde.⁴⁷⁴ Differenziert wurde zwischen Fein- und Grobwaren, wobei jede der beiden Klassen entsprechend der charakteristischen Ausprägung von Textur, Oberflächenbehandlung und Brennweise der untersuchten Stücke gegebenenfalls noch weiter unterteilt wurde (Tab. 37).⁴⁷⁵

Die in Schichten der Periode Troia IV in vergleichsweise geringeren Mengen vertretenen »Black and Gray Wares« betrachteten Blegen *et al.* als eine direkte Weiterentwicklung einer erstmals in Troia II-zeitlichen Fundkontexten dokumentierten Warengattung.⁴⁷⁶ Hinsichtlich ihrer Qualität und Textur unterscheidet sich diese im Grunde nicht wesentlich von der zeitgleichen »Red-coated Ware«, jedoch sei sie im Gegensatz zu dieser bewußt in einer reduzierenden Brennatmosphäre hergestellt worden, die die spezifische Farbgebung letztlich hervorgerufen habe. Daß einige der in Frage kommenden Stücke bisweilen eine deutliche Rot-, Braun- oder Schwarzfärbung aufwiesen, könne zwar in erster Linie auf produktionstechnische Faktoren zurückgeführt werden, jedoch sei nicht auszuschließen, daß dieser Effekt mitunter auch durch den Einsatz des Gefäßes im Herdfeuer oder bei der Zerstörung des Gebäudes durch einen Brand hervorgerufen worden sei. Als charakteristisches Merkmal der »Black and Gray Wares« wurde ein fein geschlämmter Ton mit wenigen groben Partikeln betrachtet, dem in einigen Fällen organische Substanzen als Zuschlagstoff beigemischt worden war. Der porige Bruch sei in aller Regel homogen oder mit dunklem Kern, braun oder rötlich. Handgeformte und scheibengedrehte Fragmente sei gleichermaßen vertreten, wobei man die äußeren Oberflächen der Gefäße zwar grundsätzlich mit einem Überzug versehen hatte, der jedoch nur eher seltenen durch eine glänzende Politur ergänzt wurde.⁴⁷⁷

Die bereits in den Perioden Troia II und Troia III in auffallend großer Menge vertretene »Red-coated Ware« war mit einem Anteil von mehr als 66 % auch in Troia IV die mengenmäßig umfangreichste feinkeramische Warenart;⁴⁷⁸ in dieser Zeit tendierte die Grundfarbe der überwiegend scheibengedrehten Gefäße jedoch mehrheitlich zu dunkleren Brauntönen hin. Der Ton der untersuchten Stücke variierte von sehr bis mittel fein, konnte in Ausnahmefällen auch die Struktur und Materialeigenschaften feinerer Grobkeramik annehmen. Als Magerungsstoffe traten in erster Linie mineralische Substanzen hervor, darüber hinaus erwiesen sich organische Additive in

⁴⁷⁴ Blegen *et al.* 1950: 219–224; Blegen *et al.* 1951: 18–22, 117–118.

⁴⁷⁵ Ausführlich dazu Blegen *et al.* 1951: 117–122.

⁴⁷⁶ Grundsätzlich dazu s. Blegen *et al.* 1951: 19, 118; Blegen *et al.* 1950: 220. S. hierzu auch Podzuweit 1979: 19.

⁴⁷⁷ Blegen *et al.* 1951: 118.

⁴⁷⁸ Cf. Blegen *et al.* 1950: 221.

Form von Strohhäcksel als durchaus üblich. Im Bruch der Troia IV-zeitlichen »*Red-coated Ware*« war fast immer ein grauer Kern zu beobachten, der nach außen hin bisweilen eine braune, beigefarbene oder rötliche Färbung annehmen konnte. Die Oberflächen der Gefäße waren vor dem Auftrag des teilweise stark glimmerhaltigen Überzugs, der sich bei offenen Formen sowohl auf der Außen- wie auf der Innenseite befinden konnte, in der Regel sorgfältig geglättet worden, so daß nur in äußerst seltenen Fällen Magerungspartikel aus diesem sichtbar hervortraten. Bis auf wenige Stücke waren die Gefäße vor dem abschließendem Brennvorgang mit einer dichten Politur versehen worden, die – wie zuvor in Troia III – gelegentlich auch streifig ausfallen konnte.⁴⁷⁹

Wie schon in den beiden vorangegangenen Perioden wurde auch in Troia IV »*Plain Ware*« mehrheitlich auf der Töpferscheibe hergestellt, allerdings nur in vergleichsweise kleiner Produktionsreihe.⁴⁸⁰ Die in früherer Zeit oft sehr ausgeprägten Drehrillen waren nun wesentlich reduziert, auch waren die grundsätzlich unbehandelten Oberflächen erkennbar weniger unregelmäßig als zuvor.⁴⁸¹ Während der Bruch zum Teil einen ausgeprägten Hellrot-, Blaugrau- und Rotbraunton aufweisen konnte, war die Oberflächenfarbe fast immer gelblich-beige. Die Matrix der Scherben war feinkörnig mit nur wenigen Magerungspartikeln, die bisweilen auch an der Außenseite sichtbar sein konnten.⁴⁸²

Bei den sogenannten »*Early Aegean Wares*« unterschieden Blegen *et al.* zwar grundsätzlich zwischen einer importierten und einer lokal hergestellten Variante, nichtsdestoweniger würden beide in gleicher Weise direkte Bezüge zu frühbronzezeitlichen Warengruppen vom griechischen Festland, von den Kykladen und anderen Fundorten in der Ägäis aufzeigen.⁴⁸³ Als Import konnten ein vollständiges Gefäß sowie 125 Einzelfragmente identifiziert werden. Die verwendeten Tone waren im allgemeinen recht feinkörnig, enthielten indes größere Mengen weißer oder schwarzer mineralischer Magerungspartikel. In ihrem Inneren verfügten die untersuchten Stücke über einen ausgeprägt ziegelroten, rötlich-gelben, beigefarbenen oder grauen Kern; alle waren äußerst hart gebrannt und in der Mehrzahl handgefertigt. Auf der äußeren Oberfläche befand sich entweder ein mattglänzender, von Blegen *et al.* als »Urfirnis« bezeichneter Überzug, der insbesondere in Rot-, Braun-, Grau- oder Schwarzvariationen auftreten konnte, oder aber ein sehr dünn aufgetragener »*wash*« in helleren roten, beigen, gelblichen oder gräulich-weißen Nuancen.⁴⁸⁴ Die zur Herstellung der lokalen Produkte verwendeten Tone waren denjenigen der eingeführten Stücke grundsätzlich vergleichbar, jedoch hatte man – gelegentlich zugunsten organischer Bestandteile – auf eine Beimengung der für letztgenannte überaus charakteristischen weißen und schwarzen Zusatzstoffe gemeinhin verzichtet. Bei der lokalen »*Early Aegean Ware*« war zudem ein deutlich höherer Prozentsatz scheibengedrehter Gefäße festzustellen, auch trat hier ein stumpfer, allem Anschein nach mit Hilfe eines feinen Pinsels aufgetragener »*wash*« häufiger an die Stelle des dunklen Überzugs.⁴⁸⁵

⁴⁷⁹ Cf. Blegen *et al.* 1950: 19, 119 u. Fig. 155–160; Knacke-Loy 1994: 55.

⁴⁸⁰ Allgemein dazu s. Blegen *et al.* 1950: 221–222; Blegen *et al.* 1951: 19–20.

⁴⁸¹ Blegen *et al.* 1950: 120. S. hierzu auch Knacke-Loy 1994: 54.

⁴⁸² Blegen *et al.* 1951: 19, 120.

⁴⁸³ Ergänzend dazu s. Blegen *et al.* 1951: 20–21.

⁴⁸⁴ Blegen *et al.* 1951: 120. Vgl. Knacke-Loy *et al.* 1995: 171–172.

⁴⁸⁵ Blegen *et al.* 1951: 120.

Mit einem Anteil von rund 75 % am jeweiligen Gesamtvolumen bildeten Grobwaren stets die quantitativ umfangreichste Keramikklasse in den von Blegen *et al.* untersuchten Troia IV-zeitlichen Fundkomplexen. Zumal sich eine klare Abgrenzung gegenüber gröberer Feinkeramik teilweise als verhältnismäßig problematisch erwies und häufig allein im Ermessen des Bearbeiters lag, wurde, obwohl die Grobwaren eine gewisse Variationsbreite aufwiesen, außer der Unterscheidung zwischen »Straw-tempered Ware« und »Gritty Ware« keine weitere Differenzierung vorgenommen. Erstere

sei dabei zweifelsohne eine Weiterentwicklung einer bereits in der Zeit von Troia I bis Troia III für die Herstellung von »baking pans« und Gußtiegel verwendeten Keramiksorte,⁴⁸⁶ die dann im vierten Siedlungsabschnitt als eigenständige und für diesen chronologischen Horizont charakteristische Warengattung größere Akzeptanz gefunden habe.⁴⁸⁷ Der Ton der untersuchten Fragmente enthielt in den allermeisten Fällen kleinere Steine und andere Fremdstoffe, die Farbe der Oberfläche konnte zwischen braun, rotbraun und ziegelrot, gelblich-beige, grau variieren oder war mehrfarbig gefleckt. Da Strohhäcksel der Grundmasse in größerer Menge zur Verringerung des relativen Tonanteils beigelegt worden waren, hatten sich im Inneren der Scherbe während des Brennprozesses kleinere Hohlräume gebildet, und auch an der Oberfläche des fertigen Gefäßes waren zahlreiche schlitzförmige Vertiefungen an Stelle der herausgebrannten organischen Zusätze zu erkennen (Abb. 35). Ausgesprochen selten festzustellen waren Überzüge und andere deckende Oberflächenbeschichtungen, auch waren Polituren bei der »Straw-tempered Ware« im Grunde nur in wenigen Ausnahmefällen zu beobachten.⁴⁸⁸

Die in der Hauptsache mineralisch gemagerte »Gritty Ware« habe, so Blegen *et al.*, bevorzugt bei der Herstellung der für Troia IV besonders typischen tiefen, weit geöffneten Töpfe Verwendung gefunden, sei bisweilen jedoch auch bei der Anfertigung größerer Vorratsbehältnisse bis hin zu Miniaturgefäßen eingesetzt worden. Als Zuschlagstoffe wurden Splitt, kleinere Kiesel sowie gelegentlich auch Schamott beobachtet; im Bruch wiesen die betreffenden Stücke entweder einen grauen oder rötlichen Kern auf, während die jeweils korrespondierenden Oberflächen über verschiedene Rot-, Braun-, Beige- oder Grautöne verfügten. Die überwiegend

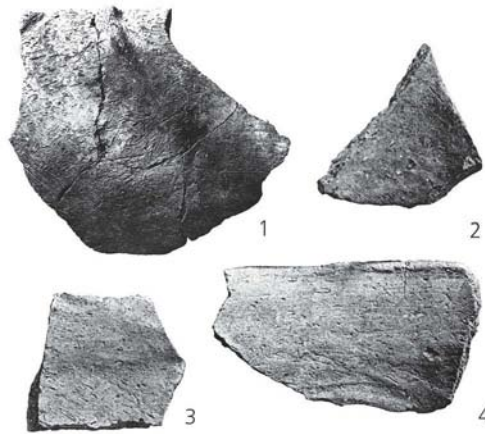


Abb. 35
Troia IV, Gefäßfragmente aus »Straw-tempered Ware« (1. Blegen *et al.* 1951: Fig. 173.14; 2. Blegen *et al.* 1951: Fig. 172.22; 3. Blegen *et al.* 1951: Fig. 172.21; 4. Blegen *et al.* 1951: Fig. 172.23).

⁴⁸⁶ Cf. Blegen *et al.* 1950: 56, 224; Blegen *et al.* 1951: 22, 118, 121.

⁴⁸⁷ Blegen *et al.* 1951: 118 »One innovation, Straw-tempered Ware, stands out among the fabrics of Troy IV, which inherited its other varieties of wares from Settlement III and II. Tempering with straw seems to have been employed rarely before this time, and only for baking pans and crucibles, and it died out quickly in the Fifth Settlement. This technique was used chiefly for large pots and coarse fabric, but not infrequently also in finer wares, and it constitutes a valuable criterion for dating within the Trojan series.«

⁴⁸⁸ Blegen *et al.* 1951: 121. Cf. Knacke-Loy 1994: 56.

rauen Außenseiten der Gefäße waren oft sehr uneben und trugen nur in den seltensten Fällen Spuren einer sorgfältigen Überarbeitung; flächendeckende Überzüge Engoben, oder Polituren waren unüblich.⁴⁸⁹

Von den insgesamt 143 als charakteristisch für die frühe Bronzezeit in Troia herausgestellten Gefäßformen konnten 59 in Troia IV-zeitlichen Fundkomplexen identifiziert werden (Taf. 39, 40);⁴⁹⁰ darunter befanden sich 17 neue, in Troia I–III-zeitlichen Schichten nicht vertretene Typen. Einer kombinationsstatistischen Auswertung zufolge, scheinen einige der Formen fest an eine bestimmte Keramikgattung gebunden gewesen zu sein, während andere hingegen in zwei oder mehr Waren auftreten konnten (Taf. 41).⁴⁹¹

2.2.4.2 Troia V

Die von Blegen *et al.* als Troia V-zeitlich eingestufte Keramik setzte sich etwa zu gleichen Teilen aus Fein- und Grobwaren zusammen. Alles in allem weist das umfangreiche Fundmaterial zwar unmittelbar auf eine Kontinuität von Troia IV nach Troia V hin, jedoch zeichne sich die jüngere, nun mehrheitlich auf der Drehscheibe gefertigte und entsprechend symmetrischer erscheinende Töpferware gegenüber der älteren durch eine höhere Qualität aus.⁴⁹² Während sich bei der feingemagerten Keramik vier klar differenzierte Varianten herausarbeiten ließen, gelang es trotz zum Teil erheblicher Unterschiede in Oberflächenbehandlung, Magerungsart und -menge nicht die gröberen Stücke angemessen in Warengruppen zu strukturieren (Tab. 38); da man die Produktion der für Troia IV typischen »Straw-tempered Ware« bereits zu Beginn von Troia Va eingestellt hatte, fand in dieser und in der darauffolgenden Zeit keine andere grobe Warenart außer der sogenannten »Gritty Ware« Verwendung.⁴⁹³

Als Troia V-zeitliche »Gray Ware« wurde eine Keramikgruppe angesprochen, deren Vertreter in der Hauptsache über eine dunkelgraue, bisweilen jedoch auch über eine braune, olivfarbene oder seltener über eine schwarze Oberfläche verfügten.⁴⁹⁴ Nahezu alle Stücke waren aus einem feingemagerten homogenen Ton gefertigt und relativ hart gebrannt; im Bruch konnte sich

Feinkeramik	»Gray Ware« »Red-coated Ware« »Plain Ware« »Early Aegean Wares«
Grobkeramik	keine Unterteilung

⁴⁸⁹ Blegen *et al.* 1951: 121.

⁴⁹⁰ Cf. Blegen *et al.* 1951: 122–136 Fig. 43–46 u. Tab. 14, 28.

⁴⁹¹ Blegen *et al.* 1951: 122.

⁴⁹² Blegen *et al.* 1951: 223.

⁴⁹³ Blegen *et al.* 1951: 235.

⁴⁹⁴ Cf. Podzuweit 1979: 19.

ein rotgrauer oder rotbrauner Kern abzeichnen. Da die Ware mit einem quantitativen Anteil von etwa 7% in Fundkontexten der Periode Troia V repräsentiert war, schlossen Blegen *et al.* generell die Möglichkeit aus, daß es sich bei den betreffenden Stücken um zufällige Fehlbrände gehandelt haben könnte. Alles in allem sei die jüngere »Gray Ware« technisch entwickelter als die vergleichbare Troia IV-zeitliche Variante und sei bis in die frühen Phase der Periode Troia VI hergestellt worden.⁴⁹⁵

Wie schon im vorhergehenden Siedlungsabschnitt wurde auch in Troia V zur Fabrikation von Gefäßen aus »Red-coated Ware« ein verhältnismäßig feiner Ton verwendet, den man mit einem deckenden, überwiegend sorgfältig polierten Überzug versah und abschließend hart brannte; im Bruch zeichnete sich in zahlreichen Fällen ein grauer Kern ab. Nach Auffassung von Blegen *et al.* konnte hinsichtlich der spezifischen Materialeigenschaften somit allein die Farbe der Oberfläche als ausschlaggebendes Unterscheidungskriterium für eine relativchronologische Differenzierung zwischen den frühen und späten Fundstücken herangezogen werden: Während noch in Troia IV ein dunkleres Braun weit häufiger zu beobachten gewesen sei als kräftige Rotfärbungen, habe sich in späterer Zeit das spezifische Mengenverhältnis deutlich zugunsten letzterer verschoben.⁴⁹⁶

Zur Herstellung von »Plain Ware« wurde in Troia V im Grunde dasselbe Ausgangsmaterial eingesetzt wie für die zeitgleiche »Red-coated Ware«. In einer für diese Warengattung typischen Weise blieben die Oberflächen der Gefäße jedoch grundsätzlich unbehandelt und konnten mitunter deutliche Spuren der Bearbeitung, wie etwa Drehrillen im Falle von scheibengefertigten Produkten, aufweisen.⁴⁹⁷

Mit nur 38 Einzelfragmenten waren die sogenannten »Early Aegean Wares« im fünften Abschnitt der Besiedlung Troias gegenüber allen anderen feinkeramischen Waren quantitativ erheblich unterrepräsentiert.⁴⁹⁸ Wenn auch die betreffenden Stücke in ihrer Gesamtheit keine homogene Gruppe bildeten, wiesen sie nach Blegen *et al.* nichtsdestotrotz erkennbar übereinstimmende Charakteristika mit entsprechenden Vertretern der bereits aus Troia IV-zeitlichen Fundzusammenhängen bekannten Keramikategorie auf; wie dort sei auch hier eine Bestimmung des ursprünglichen Herkunftsorts der importierten Gefäße – wenn überhaupt – nur in ausgesprochen seltenen Fällen möglich: »[...] *in the entire collection there is not a single piece that can unhesitatingly be attributed to a specific Aegean or Helladic place of manufacture. Nevertheless, as a whole, the bearing of this category of pottery is decisive: it is obviously un-Trojan and cannot have been made locally; it is unquestionably related to the corresponding ware we have recognized in the Fourth and preceding settlements, where the Aegean analogies were unmistakable; and it stands closer to Aegean ceramic products than to those from any other region. Whether contacts with the west were amicable or hostile, we have no way to determine; but that they were maintained on a much more restricted scale than heretofore seems to be indicated by*

⁴⁹⁵ Blegen *et al.* 1951: 118–119, 235. S. hierzu auch Pavúk 2005: 43.

⁴⁹⁶ Blegen *et al.* 1951: 235–236.

⁴⁹⁷ Blegen *et al.* 1951: 236.

⁴⁹⁸ Blegen *et al.* 1951: 223.

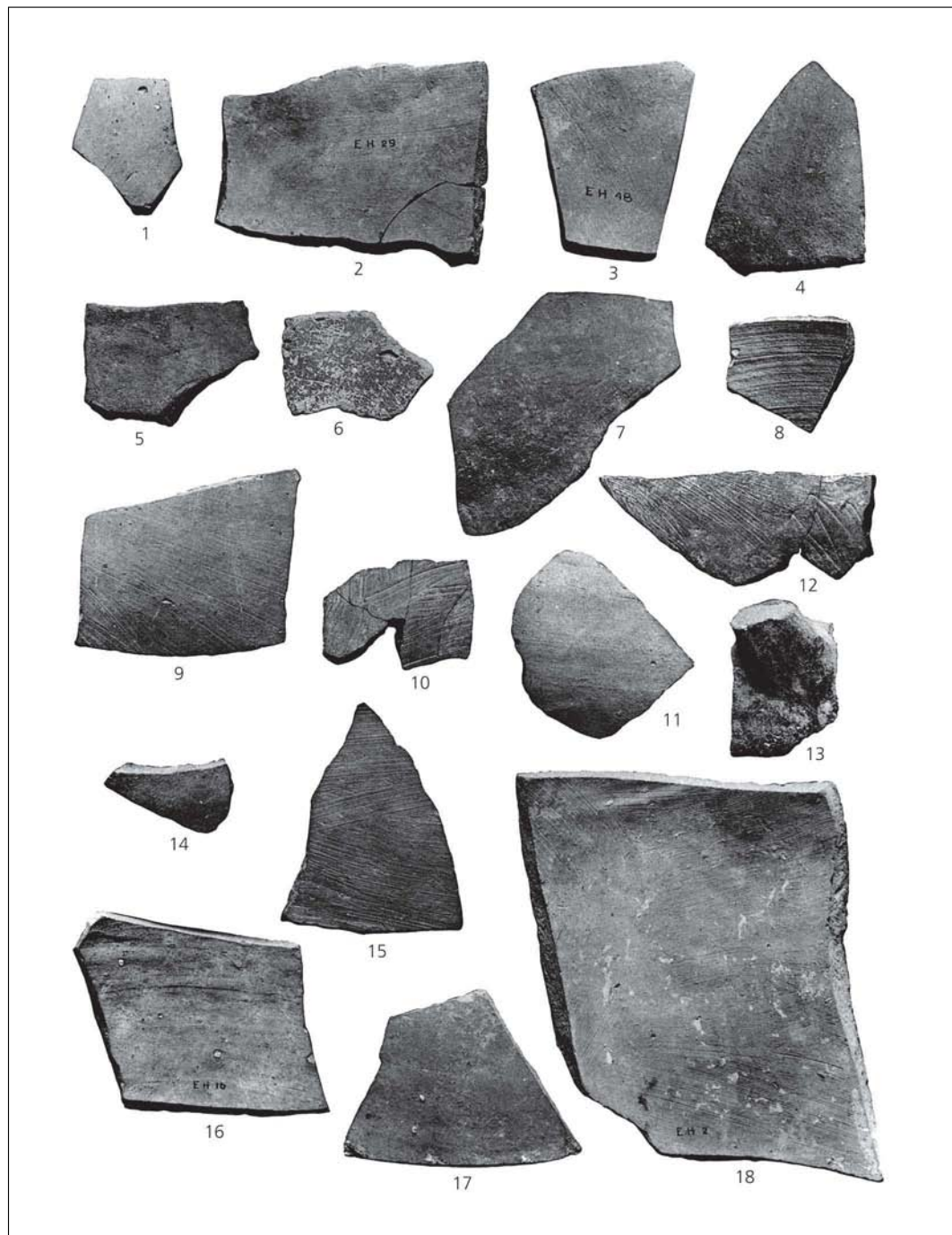


Abb. 36
Troia V, Gefäßfrag-
mente aus sog. »Early
Aegean Ware« (Ble-
gen *et al.* 1951: Fig.
250.1–18).

the relatively small quantity of imported pottery we were able to recognize.⁴⁹⁹ Rund 40 % der untersuchten Fragmente verfügte über eine rote bzw. rötliche Oberfläche, weitere 40 % über eine braune oder graue, der Rest wies einen weißlichen Farbton auf. Als charakteristisches Kenn-

⁴⁹⁹ Blegen *et al.* 1951: 227.

zeichen der Importware wurde zudem ein dünner Überzug herausgestellt, der aller Wahrscheinlichkeit auch mit einem Pinsel auf die Außenseite des Gefäßes aufgetragen worden war (Abb. 36). Auch in Troia V habe man in lokaler Produktion zahlreiche Imitationen der eingeführten Gefäße hergestellt, die diesen formal zwar recht ähnlich seien, dennoch erlaube die Kleinteiligkeit der identifizierten Stücke schließlich keine über diese Feststellung hinausgehenden Schlußfolgerungen.⁵⁰⁰

Da sich die Troia V-zeitlichen Grobwaren weder anhand materialspezifischer noch aufgrund herstellungstechnischer Kriterien nachhaltig zu unterscheiden schienen, wurden sie von den Bearbeitern der *Cincinnati Expedition* in nur einer einzigen Keramikklasse, den »*Coarse Fabrics*«, zusammengefaßt: Die untersuchten Gefäßfragmente wiesen im wesentlichen dieselben Grundeigenschaften auf wie schon die Stücke der entsprechenden Warengattung aus der Zeit von Troia IV und wurden daher auch diesen entsprechend beschrieben.⁵⁰¹

Eine typographische Auswertung des keramischen Fundmaterials ergab, daß sich die Troia V-zeitlichen Randfragmente maximal 49 Gefäßtypen zuordnen lassen, von denen neun als Neuschöpfungen betrachtet werden können (Taf. 42).⁵⁰² Wie schon in der vorhergehenden Periode traten einige der herausgearbeiteten Formen grundsätzlich in Kombination mit einer bestimmten Warenart auf, während andere zur selben Zeit auch aus verschiedenen Ausgangsmaterialien hergestellt worden sein konnten (Taf. 43).⁵⁰³

2.2.5 Kulturhistorische Charakterisierung der Perioden Troia IV und Troia V

»*In the gradual changes of types and shapes they reveal we may trace the slow movement and progress of native Trojan culture; but in the essential sameness from one period to the next it is clear that we must recognize the lasting power of persistent local tradition, virtually unaffected by alien influences.*«⁵⁰⁴ In ihrer Gesamtheit stellte sich für Blegen *et al.* die frühe Bronzezeit in Troia stets als eine Epoche von großer zeitlicher Tiefe dar, an der sich gemessen insgesamt nur wenige, sich zudem ausgesprochen langsam vollziehende kulturelle Innovationsprozesse anhand der erfaßten materiellen Hinterlassenschaften erkennbar abzeichneten.⁵⁰⁵ In den teilweise mehr als 12,0 m mächtigen Ablagerungen entsprechender Zeitstellung konnten im Zuge der Grabungstätigkeiten der »*University of Cincinnati Excavations in the Troad*« im ganzen fünf größere stratigraphische Horizonte voneinander abgegrenzt werden, die, als eigenständige Perioden der Besiedlung interpretiert, ihrerseits wiederum in mehr als 30 Phasen mit jeweils zugehörigen

⁵⁰⁰ Blegen *et al.* 1951: 236.

⁵⁰¹ Blegen *et al.* 1951: 237.

⁵⁰² Blegen *et al.* 1951: 237–249.

⁵⁰³ Blegen *et al.* 1951: 237 u. Tab. 28.

⁵⁰⁴ Blegen *et al.* 1951: vii.

⁵⁰⁵ Blegen *et al.* 1951: vii. Cf. Blegen 1963: 39–40; Blegen 1971a: 413.

Subphasen untergliedert werden konnten.⁵⁰⁶ Für jeden dieser chronologischen Teilabschnitte wurde – nicht zuletzt angesichts des Ausmaßes der betreffenden Akkumulationen – eine durchschnittliche Dauer von einer Generation bzw. 30 Jahren veranschlagt,⁵⁰⁷ woraus sich ausgehend von der Gründung der Siedlung in Troia I um 3000 v. Chr. bis zum Ende von Troia V zwischen 1900–1800 v. Chr. eine ungefähre Zeitspanne von etwas länger als einem Jahrtausend für die gesamte Epoche erschloß.⁵⁰⁸ Zumal sich in der Architektur, der Keramik sowie in den verschiedenen Gattungen entsprechend vergesellschafteter Kleinfunde weder konkrete Anzeichen für eine abrupte Unterbrechung der Siedlungsaktivitäten noch für starke kulturelle Einflüsse von außerhalb abzuzeichnen schienen, schlossen Blegen *et al.* auf äußerst konservative Lebensgewohnheiten der Bewohner Troias,⁵⁰⁹ die schließlich mit dazu beigetragen hätten, daß das kulturelle Substrat, das in Troia I gelegt worden sei, über mehrere Jahrhunderte hinweg ohne nennenswerte Veränderungen bis in die Zeit von Troia V fortbestehen habe können.⁵¹⁰ Zwar sei selbstverständlich damit zu rechnen, daß die ortsansässige Bevölkerung sich hin und wieder mit kleineren Zwischenfällen oder gar größeren Katastrophen, wie etwa Großbränden, Erdbeben, Stürmen etc.,⁵¹¹ konfrontiert sah, doch habe sich die Gesellschaft von diesen in allen Fällen stets vollständig erholt und habe das Alltagsleben in gewohnter Form wiederaufnehmen können. Die wirtschaftliche Grundlage Troias, das schon bald nach seiner Entstehung den Status eines durch aristokratische Herrschaftsstrukturen geprägten Zentralorts für einen größeren geographischen Raum angenommen habe, sei neben der landwirtschaftlichen Produktion vor allem die Kontrolle über verschiedene hier unmittelbar vorüberführende regionale und überregionale Handelswege gewesen, worauf nicht zuletzt auch eine vergleichsweise große Anzahl von am Ort selbst gefundener ägäischer und aus dem Süden Anatoliens stammender Importstücke hindeute:⁵¹² »*Throughout the Bronze Age a powerful stronghold dominated the north-western corner of Asia Minor. Established in a strategic position, on a low ridge somewhat less than four miles distant from the Aegean to the west and from the Dardanelles to the north, it ensured its occupants control over traffic up and down the straits as well as mastery of an important land route that led from the western Anatolian coast to a crossing of the narrows [...]. Widespread searching explorations of the whole district have revealed many small settlements, where the greater part*

⁵⁰⁶ Blegen *et al.* 1950: 204; Blegen *et al.* 1951: vii.

⁵⁰⁷ Blegen 1963: 39 »*We have no reliable means of determining with any exactness the duration in years of these many successive phases of habitation; but the imposing mass of debris that accumulated gradually with its numerous subdivisions surely points to a long chronology [...]. An estimate of at least one generation would seem to be a minimum average for each phase – and this is a guess probably far on the short side.*«

⁵⁰⁸ Cf. Blegen 1963: 174.

⁵⁰⁹ S. in diesem Zusammenhang etwa Blegen *et al.* 1951: 103, 223.

⁵¹⁰ Blegen *et al.* 1951: vii; Blegen 1963: 39; Blegen 1971b: 704.

⁵¹¹ Blegen 1963: 39 »*The major catastrophes are reflected in the general destruction of all the houses in the settlement [...]; and these are recognisable in the widespread wreckage that marked the divisions between Troy I and II, II and III, III and IV, and IV and V. The less serious afflictions, perhaps often local in the scope and not extending over the whole site, are represented by the successive strata within each of the principal layers. But even in these less serious disturbances many houses were sometimes completely demolished and had to be replaced.*«

⁵¹² Zu möglichen Handels- und Außenkontakten während des Zeitraums von Troia IV und Troia V s. Blegen *et al.* 1951: 107–111, 227–230.

of the agricultural population doubtless lived; but there is no place other than Hisarlık that can show the characteristic features of a royal fortress.«⁵¹³

Mit einer Ausdehnung von wenigstens 17000 m² war das Siedlungsareal von Troia IV größer als dasjenige der vorangegangenen Periode.⁵¹⁴ Soweit sich dies anhand der vergleichsweise kleinräumigen Untersuchungsflächen beurteilen ließ, war das in Troia III allgemein gebräuchliche Siedlungsschema, d. h. die räumliche Gliederung des genutzten Terrains durch kleinere, mittels Verkehrswege voneinander getrennte Raumkomplexe, ohne grundsätzliche strukturelle Veränderungen in den neuen chronologischen Horizont hinein übernommen worden.⁵¹⁵ Zwar waren die baulichen Überreste von Troia III bereits zu Beginn des vierten Abschnitts der Besiedlung systematisch mit Schutt überdeckt worden, so daß sie zum Zeitpunkt des Neubaus keinesfalls sichtbar und als Orientierungshilfe zu nutzen waren, auch unterschied sich die nach Troia II nun erstmals wieder verwendete Mauertechnik, bei der man gebrochene Kalksteine mit ungebrannten Lehmziegeln kombinierte, nicht unwesentlich von der vorherigen, bei der ausschließlich Bruchsteine als Baumaterial zum Einsatz gekommen waren, dessenungeachtet betrachteten Blegen *et al.* den veränderten architektonischen Habitus von Troia IV in seiner Gesamtheit uneingeschränkt als ein Fortleben älterer Traditionen denn als Anzeichen kultureller Diskontinuität. Selbst der Nachweis eines neuen Gebäudetyps in Quadrat E 6, der mehrere kleinere und meist separat erschlossene Raumsegmente in einem größeren Baukomplex vereinte, sei in diesem Sinne nicht als Kennzeichen einer Unterbrechung des Siedlungsgeschehens zu werten, sondern müsse als konkreter Hinweis auf einen Zuwachs der Bevölkerung von Troia III nach Troia IV verstanden werden, der unter Umständen mit einem drastischen Rückgang des bisherigen Lebensstandards einherging;⁵¹⁶ entsprechendes gelte freilich auch für das unvermittelte Auftreten des Kuppelofens sowie für die handwerkliche Produktion von Troia IV, die bis auf nur wenige Ausnahmen auf Techniken und das Formenrepertoire früherer Zeit zurückgreife.⁵¹⁷ Der Nachweis einer massiven Umfassungsmauer im Süden und im Osten der Siedlung, die Terrassierungs- und Verteidigungszwecken gleichermaßen gedient haben könnte, wurde von Blegen *et al.* dahingehend interpretiert, daß sich der soziale Status des Orts beim Übergang von einer Periode zur nächsten ebenfalls nicht wesentlich verändert hatte: Troia IV habe wie seine Vorgängersiedlung die Funktion einer befestigten Anlage, eines »stronghold«, mit zentralörtlichem Charakter eingenommen;⁵¹⁸ wenn sich auch von der einstigen Bebauung im Inneren der Zitadelle nichts erhalten habe, so müsse man hier doch die Residenz eines Herrschers vermuten, um die sich herum eine größere Anzahl von »private houses« gruppierte.⁵¹⁹

Anhand der dokumentierten Fundverteilung erschlossen Blegen *et al.* für Troia V ein Siedlungsareal von etwa 18000 m²; da dies bereits im großen und ganzen derjenigen Fläche ent-

⁵¹³ Blegen 1971a: 411.

⁵¹⁴ Cf. Blegen *et al.* 1951: 4–5, 102–103.

⁵¹⁵ Blegen *et al.* 1951: 103; Blegen 1963: 100.

⁵¹⁶ Blegen 1963: 100–101.

⁵¹⁷ Blegen *et al.* 1951: 103, 118, 111–117; Blegen 1963: 102–105.

⁵¹⁸ Cf. Blegen *et al.* 1951: 102, 105, 139–140. Vgl. Dörpfeld 1902: 102–103.

⁵¹⁹ Blegen 1971b: 704–705.

sprach, die in der darauffolgenden Periode Troia VI von der Zitadellenmauer umschlossen wurde, lehnte man die von Dörpfeld in diesem Zusammenhang vertretene Auffassung, bei der fünften Ansiedlung habe es sich – wie schon im Falle von Troia IV – lediglich um eine unbedeutende Anlage mit dörflichem Charakter gehandelt,⁵²⁰ kategorisch ab, zumal es sich abzuzeichnen schien, als daß das bebaute Gebiet im Bereich des Hügels ebenfalls über substantielle Verteidigungs- und Befestigungsanlagen verfügte.⁵²¹ Ähnlich wie Troia IV im Grunde ohne erkennbare Unterbrechung an die vorhergehende Periode Troia III angeschlossen habe, könne man Troia V als eine direkte Weiterentwicklung von Troia IV betrachten; zwar liesen sich anhand der materiellen Hinterlassenschaften dieser Zeit verschiedenerlei signifikante Anzeichen eines wohl in erster Linie auf einer allgemeinen Verbesserung der Lebensumstände der Bevölkerung beruhenden kulturellen Fortschritts ablesen, insgesamt betrachtet habe die handwerkliche Produktion von Troia V jedoch unverkennbar in Tradition zu derjenigen der vorausgegangenen Periode gestanden.⁵²² Zu den Innovationen im Bereich der Architektur zähle vor allem eine Verbesserung der Mauerbaus, die es den Einwohnern erlaubt habe die Komplexität der Gebäude nachhaltig zu erhöhen und darüber günstigere Lösungsmöglichkeiten für eine Verteilung der Grundbedürfnisse Kochen, Wohnen, Schlafen sowie der Manufaktur und der Tier-, Lager- und Vorratshaltung auf verschiedene Räumlichkeiten eines Hauses zu finden.⁵²³ Mit ein Resultat dieser technischen Entwicklung sei, daß die Bauwerke im Randbereich des Hügels schon allein aufgrund ihrer äußeren Gestalt nun über einen repräsentativen Charakter verfügten, der den Vorgängerbauten noch vollständig gefehlt habe, auch sei der zu Beginn von Troia V neu entworfene Siedlungsplan im direkten Vergleich zum früheren sichtlich regelmäßiger strukturiert. Daß man Herde und die überaus markanten Kuppelöfen aus dem vorherigen Zeitabschnitt in nahezu identischer Form und Konstruktionsweise übernommen habe sei ein wesentliches Element der kulturellen Beständigkeit. Daß diese in aller Regel qualitätsvoller ausgeführt worden waren als diejenigen zuvor und daß das innenarchitektonische Repertoire der Gebäude um weitere Bestandteile, wie etwa flache Bänke entlang der Mauern, ergänzt wurde, kennzeichne hingegen den neu erworbenen Wohlstand.⁵²⁴ Dieser spiegele sich denn auch unmittelbar in der keramischen Produktion von Troia V wider, zumal sich die frühen Gefäße bezüglich ihrer Machart, Formenauswahl und Warenspektrum in der überwiegenden Mehrzahl noch sehr stark an denjenigen von Troia IV orientiert hätten, während die späteren sowohl beim handwerklichen Geschick wie auch beim künstlerischen Ausdruck eine Fortentwicklung klar erkennen ließen.⁵²⁵ So habe etwa durch den gestiegenen Gebrauch der Töpferscheibe die Symmetrie der Töpfereiprodukte insgesamt deutlich zugenommen, ähnlich wie sich die Güte der Oberflächenbehandlung und Farbgestaltung

⁵²⁰ S. diesbezüglich Dörpfeld 1902: 102–107.

⁵²¹ Blegen *et al.* 1951: 222; Blegen 1963: 105; Blegen 1971b: 705.

⁵²² Programmatisch hierzu s. etwa Blegen *et al.* 1951: 224 »*For all its freshness and enhanced grace the pottery of Troy V is nevertheless unquestionably the direct offspring of the Trojan ceramic tradition that we have followed through many stages without a break from its simple beginnings in the First Settlement.*«

⁵²³ Blegen *et al.* 1951: 223; Blegen 1963: 105–107.

⁵²⁴ Blegen 1963: 106.

⁵²⁵ Blegen 1963: 109.

um ein Vielfaches steigerte;⁵²⁶ plastische Dekorationen, häufig in Form von Applikationen in Gestalt von Knubben oder Spiralen im henkelnahen Bereich, seien in gleicher Weise neue kreative Elemente der entwickelten Periode Troia V, ebenso wie die überaus charakteristischen kreuzförmigen Bemalungen in roter Farbe im Inneren und auf der Außenseite von Schalen, die allerdings bereits Vorläufer in Troia IV und Troia V Früh gehabt hätten.⁵²⁷ Die mit Abstand auffallendste zivilisatorische Neuerung in Troia V sei dessenungeachtet das Aufkommen einer Art des Hausfleißes gewesen, an der es den Bewohnern der verschiedenen vorangegangenen Perioden noch sichtlich gemangelt habe:⁵²⁸ Während man beispielsweise noch zur Zeit von Troia III und Troia IV einen Großteil der sich im Tagesgeschehen ansammelnden Abfälle systematisch innerhalb der bewohnten Gebäudeteile sowie auf den Oberflächen der im Siedlungsbereich verlaufenden Verkehrswege deponiert und immer dann, wenn dieser Zustand schließlich unhaltbar gewesen sei mit einem neuen Fußboden aus lehmiger Erde überdeckt habe,⁵²⁹ habe man im fünften Abschnitt der Besiedlung Troias die jeweiligen Begehungshorizonte von dem im Alltag anfallenden Unrat geradezu penibel sauber gehalten und diesen entsprechend anderenorts entsorgt: »*The floors were now to a great extent swept clean of the ordinary day-by-day accumulation of rubbish, and disappointingly little in the way of animal bones, miscellaneous objects, discarded or lost, and whole or broken pottery was left on the floor to be found by excavators. Some of the latter can hardly be blamed for feeling a prejudice against the inhabitants of the Fifth Settlement.*«⁵³⁰

2.2.6 Bewertung

Das qualitative Niveau der Untersuchungen der *University of Cincinnati Excavations in the Troad* lag vor allem in methodischer Hinsicht weit über dem gängigen Standard der damaligen, infolge der langen disziplinären Verknüpfung noch wesentlich durch Inhalte und Praktiken der seinerzeit vornehmlich antiquarisch geprägten Klassischen Archäologie bestimmten anatolischen und ägäischen Ur- und Frühgeschichtsforschung (Abb. 37).⁵³¹ So belegt nicht zuletzt der

⁵²⁶ Blegen *et al.* 1951: 225; Blegen 1963: 108–109.

⁵²⁷ Blegen *et al.* 1951: 224.

⁵²⁸ Allgemein dazu s. Blegen *et al.* 1951: 223; Blegen 1963: 107; Blegen 1971b: 705.

⁵²⁹ Cf. Blegen *et al.* 1951: 5 »*The accumulation of debris within the houses shows the people of Troy III to have been careless housekeepers: in the course of time the floors became littered with refuse of shells, animal bones, sherds, and decomposed matter; when the garbage became unbearable, a new floor of fresh clean earth or clay was laid down, only in its turn to be covered with rubbish.*« In einigen Fällen soll dieser, hauptsächlich mit der Bequemlichkeit der Troianer begründete Effekt schließlich sogar dazu geführt haben, daß die Wände und Dächer längerfristig genutzter Gebäude von Zeit zu Zeit erhöht werden mußten, um den durch die progressive Anhebung des Fußbodenniveaus erlittenen Verlust an Raumhöhe in angemessener Weise auszugleichen: »*To compensate for the rise in the floor [...], the walls ultimately had to be made higher to raise the roof, and they were strengthened by the addition, on the outside, of stones set on edge like orthostates.*« In diesem Zusammenhang s. auch Blum 2002a: 103–137; Blum 2005: 87–96; Blum/Aslan 2005: 313–321.

⁵³⁰ Blegen 1963: 107.

⁵³¹ Bittel 1998: 139, 493. S. in diesem Zusammenhang auch Özdoğan 1998: 111–119.



Abb. 37
 Carl W. Blegen bei
 seinem letzten Besuch
 in Troia im Jahr 1968.
 Rechts der damalige
 Leiter des »*Truva*
Müzesi« Hamit Kartal
 (Privates Bildarchiv
 Hamit Kartal,
 Çanakkale).

systematische Einsatz verschiedener damals innovativer Grabungs- und Aufnahmetechniken – wie etwa die Entnahme ausgewählter Bodenproben oder die begleitende filmische Dokumentation – eine gewisse methodische Weitsicht der Grabungsleitung,⁵³² auch kann die konsequente Präsentation der jeweils jüngsten Untersuchungsergebnisse in jährlichen Vorberichten sowie die abschließende Endpublikation in jedem Fall als richtungsweisend gelten: In einer für die damalige Zeit im Grunde eher unüblichen Weise wurden nicht nur architektonische Befunde in Form von zahlreichen Plänen, Profilschnitten und Beschreibungen eingehend vorgestellt, sondern auch Aspekte der Keramik- und Kleinfundtypologie, der Archäozoologie, Geologie und Anthropologie etc. wurden gleichermaßen mit in die allgemeine Betrachtung des Fundorts selbst sowie in eine regional übergreifende Diskussion zur relativen und absoluten Chronologie einbezogen.⁵³³ Trotz aller gegebener Ausführlichkeit und größtmöglicher redaktioneller Sorgfalt ergeben sich speziell im Rahmen einer befundimmanenten Revision der vorgelegten Resultate dennoch verschiedenerlei Kritikpunkte sowohl an der praktischen Vorgehensweise von Blegen *et al.* während der Ausgrabungsarbeiten in Troia selbst wie auch an den auf den entsprechenden Grabungsergebnissen basierenden chronologischen und kulturhistorischen Interpretationen; diese sollen im folgenden anhand einiger exemplarisch ausgewählter, im besonderen für eine

⁵³² Allgemein dazu s. Thumm 2002: 92–97; Thumm-Doğrayan 2006: 120–122.

⁵³³ Cf. Bittel 1954: 435.

weitergehende Bewertung der Perioden Troia IV und Troia V relevanter Gesichtspunkte thematisiert werden.⁵³⁴

In Anbetracht der häufig doch sehr komplexen multilinearen Schichtenabfolgen vor allem im Innenbereich des Siedlungshügels war es zweifelsohne praktisch sinnvoll, noch vor der flächigen Untersuchung eines Areals schmale Sondagen anzulegen, um sich anhand der im Profil zu erkennenden Einzelablagerungen vorab über die je spezifische Stratifizierung zu informieren.⁵³⁵ Im Falle stratigraphisch weniger klar differenzierter Abschnitte dagegen in künstlichen Abhüben von max. 15 cm vorzuziehen mag sich wohl ebenfalls als zweckdienlich erwiesen haben,⁵³⁶ allerdings mußte es dabei – grabungstechnisch bedingt – zwangsläufig zu einer Vermischung inhaltlich und zeitlich verschiedener Fundkomplexe kommen. Betroffen werden davon zwar in erster Linie Funde aus Schichten mit starkem Gefälle gewesen sein, wie man sie vor allem in Hangbereich der Zitadelle häufiger antraf,⁵³⁷ jedoch ist keinesfalls auszuschließen, daß auch im Inneren des ursprünglich bebauten Raums stratigraphische Einheiten auf dieselbe Weise abgetragen wurden, zumal auch hier teils beträchtliche Niveauunterschiede zwischen den einzelnen Ablagerungen bestanden.⁵³⁸ Für einen nicht näher quantifizierbaren Teil des vorgelegten Keramik- und Kleinfundmaterials besteht somit potentiell die Möglichkeit aus entsprechenden Komplexen zu stammen, die weit weniger die eigentliche Stratifizierung des Areals selbst als vielmehr die hier angewandte Grabungstechnik unmittelbar widerspiegeln und sowohl von einer typologischen wie auch von einer feinchronologischen Betrachtung konsequent hätte ausgeschlossen werden müssen. Ob und gegebenenfalls welche Troia IV- und Troia V-zeitlichen Fundobjekte unter entsprechenden Umständen geborgen wurden und ob diese eventuell doch Eingang in die abschließende Auswertung der Befunde fanden, ist indessen weder den einschlägigen Vorberichten noch den monographischen Publikationen von Blegen *et al.* zu entnehmen, auch erlaubt die mitunter recht unterschiedliche Qualität der Tagebuchführung der jeweiligen Ausgräber meist nur in wenigen Ausnahmefällen eine Revision der Grabungsergebnisse.

Daß ein unbestimmbarer Teil der von Blegen *et al.* publizierten Profilschnitte erst nachträglich, auf Grundlage entsprechender in den Grabungstagebüchern enthaltener Skizzen oder als zeichnerische Umsetzung von Photographien entstand (Taf. 44.1, 2 u. 45.1, 2. Vgl. Taf. 20),⁵³⁹ stellt die Detailgetreue und damit verbunden die Aussagefähigkeit der im einzelnen wiedergegebenen Schichtenabfolgen grundsätzlich in Frage.⁵⁴⁰ Nicht zuletzt werden jedoch gerade vor diesem Hintergrund verschiedene, bei einer differenzierten Durchsicht der aufgezeigten Relationen festzustellende stratigraphische Fehlinterpretationen verständlich: Als beispielhaft können in diesem Sinne vor allem die Depositionen 15, 16, 17, 18, 26, und 27 im Ostprofil von

⁵³⁴ Ergänzend dazu s. Pavúk 2005: 41–42.

⁵³⁵ Blegen *et al.* 1950: 20.

⁵³⁶ Blegen *et al.* 1950: 20.

⁵³⁷ Cf. Blegen *et al.* 1950: Fig. 291–292, 312.

⁵³⁸ S. hierzu beispielsweise Blegen *et al.* 1950: Fig. 262, 295.

⁵³⁹ Vgl. Blegen *et al.* 1950: 20.

⁵⁴⁰ Cf. Becks 2005: 110 u. Abb. 11, 112.

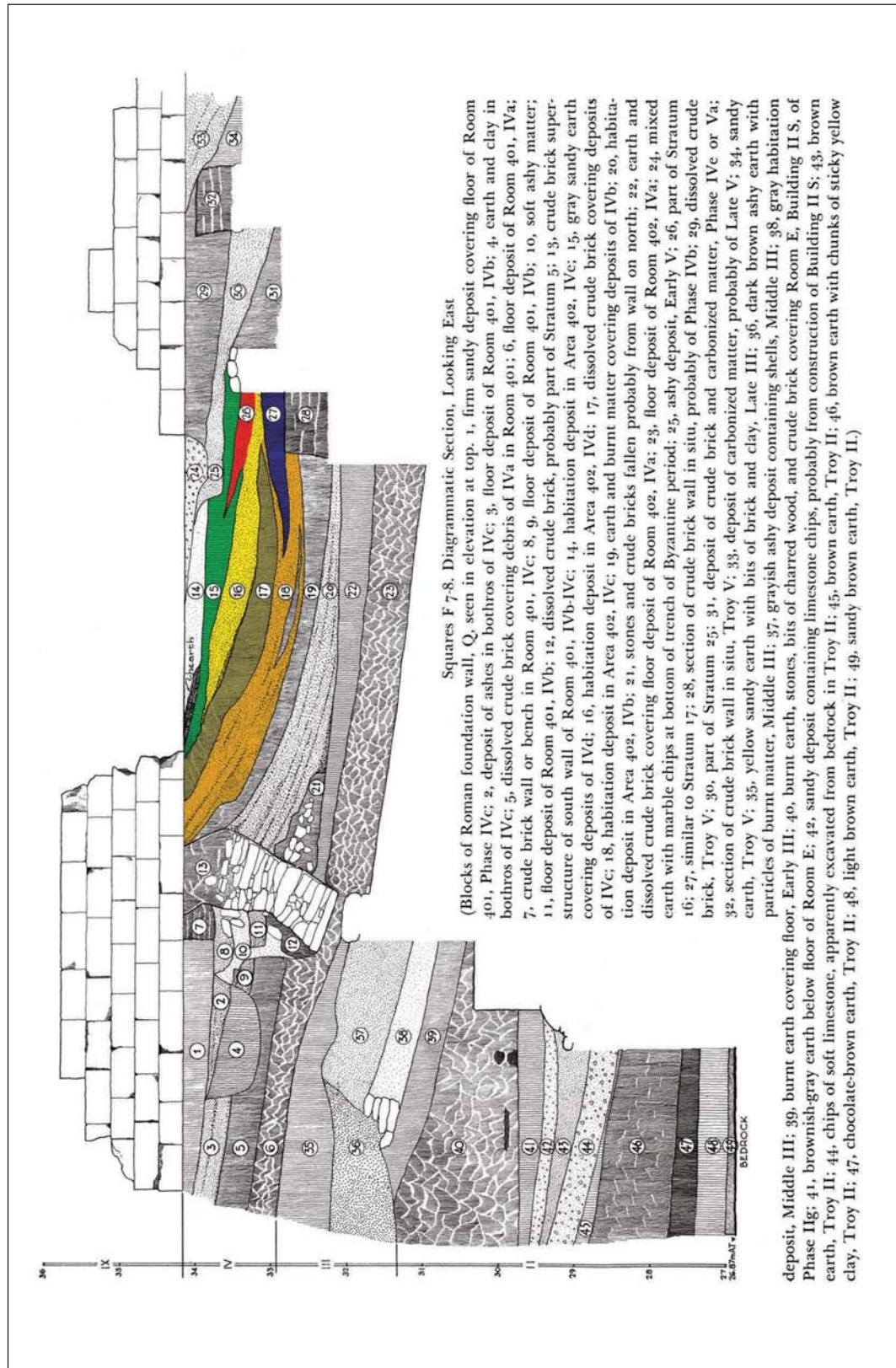


Abb. 38
 Quadrat F 7/8,
 Schematisiertes
 Ostprofil (Blegen *et al.*
 1951: Fig. 292).

Quadrat F 7/8 gelten (Abb. 38),⁵⁴¹ deren Aufeinanderfolge zumindest in der dargestellten Form kaum nachzuvollziehen ist. So überlagert etwa Stratum 27, eine flächige Ansammlung verstürzter Lehmziegel, die mit Schicht 17 vergleichbar sein soll, unmittelbar eine mit Nummer 18 gekennzeichnete Akkumulation bestehend aus Siedlungsmaterialien der Phase Troia IVc. Diese erstreckt sich dann ihrerseits wiederum – wenn auch nur partiell – über Schicht 27 und wäre somit auf der einen Seite zwar zunächst älter als diese, auf der anderen Seite aber auch jünger. Entsprechend verhält es sich mit den Schichten 15, 16, und 26: Stratum 26, das Teil der Troia IVd-zeitlichen Schuttanhäufung 16 sein soll, liegt sowohl oberhalb von Schicht 15 wie auch unter dieser, was jedoch bei einem längerfristigen Ablagerungsvorgang und einer ungestörten Schichtüberlieferung *a priori* auszuschließen ist.⁵⁴² Ein guter Teil dieser Unstimmigkeiten dürfte wohl in erster Linie auf Ungenauigkeiten bei der Übertragung der Schichten in die Profile zurückzuführen sein (vgl. Abb. 20),⁵⁴³ jedoch relativieren gerade diese, wenn auch zunächst nur indirekt, die Gültigkeit der vorgenommenen Phasenunterteilung erheblich, zumal aus keiner der vorliegenden Veröffentlichung auch nur annäherungsweise zu entnehmen wäre, in welchem Maße Profilschnitte zur zeitlichen Gliederung einer Periode herangezogen wurden, oder ob die erarbeitete chronologische Sequenz allein auf den im Planum dokumentierten Architekturbefunden beruht.

Stratigraphische Subphasen wurden im Kontext Troia IV- und Troia V-zeitlicher Ablagerungen – wenngleich auf einem guten Teil der veröffentlichten Photographien als solche klar erkennbar (cf. Abb. 25) – grundsätzlich nicht als eigenständige chronologische Abschnitte herausgearbeitet, weder während den Ausgrabungstätigkeiten in Hisarlık selbst noch im Rahmen der abschließenden Publikation;⁵⁴⁴ die von Blegen *et al.* für die betreffenden Perioden definierten untergeordneten Zeithorizonte bzw. »phases«⁵⁴⁵ beruhen mithin allein auf mehr oder minder stark ausgeprägten Veränderungen im architektonischen Habitus, zu denen zwar wohl in erster Linie substantielle Modifikationen an Mauerzügen oder eine Neuordnung der Wege- und Straßenführung gezählt haben dürften, nicht jedoch stratigraphische Ereignisse geringeren Ausmaßes, wie etwa die Akkumulation unstrukturierter Füll- und Abfallschichten oder die nachträgliche Installation von Raumböden (Abb. 39).⁵⁴⁶ Ausgrabungstechnisch bedingt wurde dabei zeitlich differenziertes Fundgut zu größeren Einheiten zusammengefaßt, was unweigerlich zur Folge gehabt haben mußte, daß feinere typographische Unterschiede bei einer entsprechenden Auswertung der – vergleichsweise großen⁵⁴⁷ – Materialkomplexe zwar grundsätzlich als solche zu fassen gewesen sein mußten, diese jedoch nicht als potentielle Indikatoren chronologischer Heterogenität, sondern ausnahmslos als Anzeichen kontemporärer Formenvielfalt verstanden wur-

⁵⁴¹ Cf. Blegen *et al.* 1950: Fig. 295 u. 296.

⁵⁴² Grundsätzlich dazu s. Harris 1989: 11–13, 30–31. In diesem Zusammenhang s. auch Harris 1979: 111–117; Brown/Harris 1993: 8–9; Stucki 1993: 125; Triggs 1993: 259; Schiffer 1987: 122–123, 137; Eggert 2008: 173.

⁵⁴³ S. etwa Blegen *et al.* 1951: Fig. 99.

⁵⁴⁴ Vgl. Blegen *et al.* 1951: 139–218, 252–298.

⁵⁴⁵ S. in diesem Zusammenhang Blegen *et al.* 1951: 24, 26–29 u. Fig. 125–128; Blegen 1963: 30.

⁵⁴⁶ Cf. Frirdich 1997: 112.

⁵⁴⁷ Ergänzend dazu s. Pavúk 2005: 41–42.

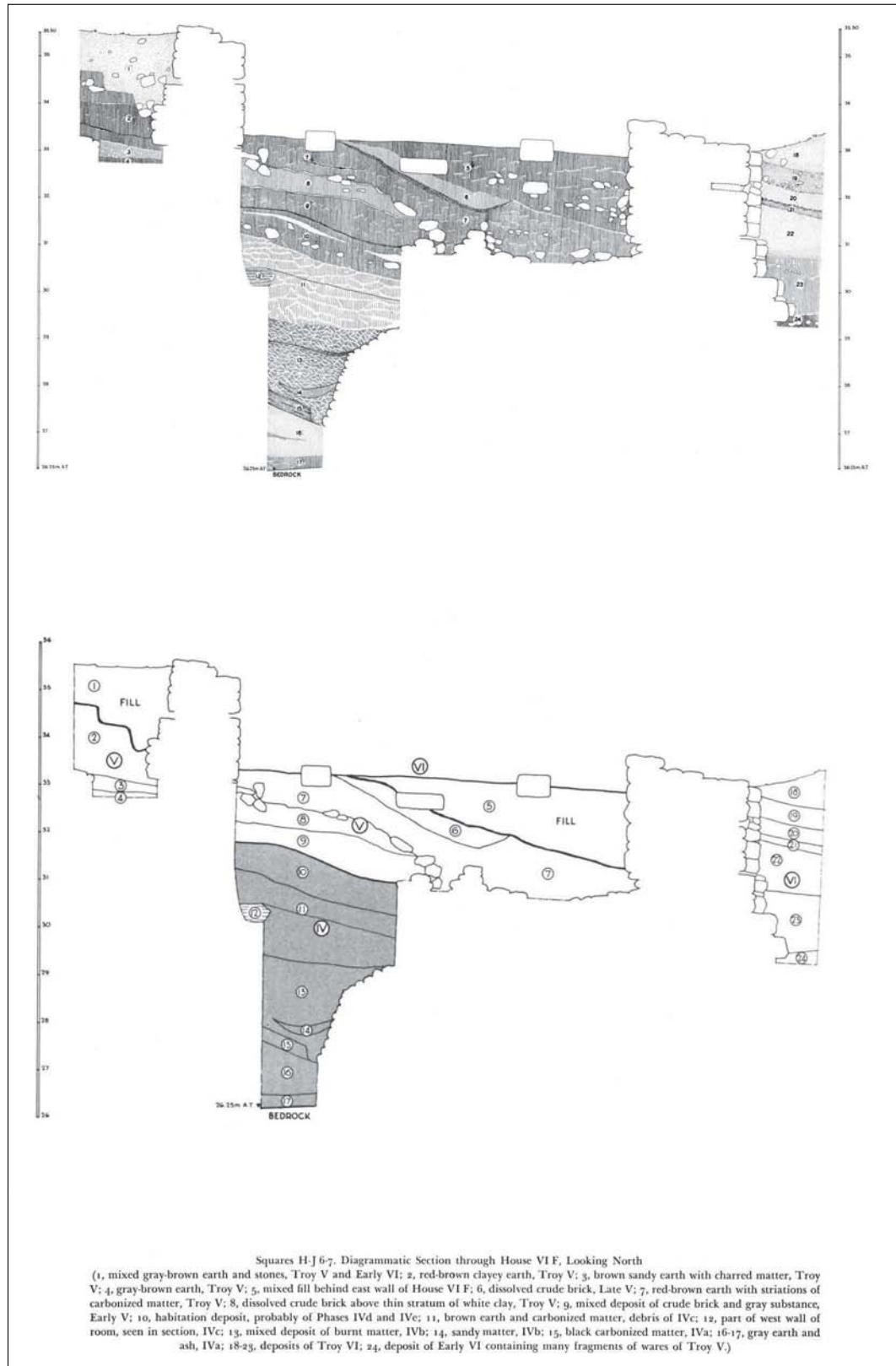


Abb. 39
 Quadrate HJ 6/7,
 Schichtenabfolge und
 schematische
 Einteilung in Siedlungs-
 perioden und -phasen
 (Blegen *et al.* 1951:
 Fig. 122).

den. Ein Resultat dieser Praxis war, daß die Übergänge zwischen den einzelnen Phasen zumindest anhand des jeweils vergesellschafteten Materials nicht mehr zu erkennen und einige Formen deutlich langlebiger erschienen, als sie wohl tatsächlich waren; intrusive Fundstücke konnten nur mehr in wenigen Ausnahmefällen als solche in Schichtzusammenhängen der Perioden Troia IV und Troia V identifiziert werden, wie etwa die überaus charakteristischen Knickwandschalen der Periode Troia I⁵⁴⁸ oder Gefäßfragmente der Troia VI-zeitlichen Anatolischen Grauware (»*Gray Minyan Ware*«),⁵⁴⁹ nicht jedoch diejenigen des unmittelbar vorangegangenen Besiedlungshorizonts.

Das von den Mitgliedern der *University of Cincinnati Excavations in the Troad* angestrebte Ziel, die Ergebnisse von Schliemann und Dörpfeld durch eine Wiederaufnahme der Ausgrabungstätigkeiten in Troia in ein neues Licht zu rücken und die mittlerweile etablierte Siedlungsabfolge in das zwischenzeitlich stark modifizierte und grundlegend erweiterte Chronologiesystem der ägäischen Bronzezeit einzubetten, wurde nur bedingt erreicht.⁵⁵⁰ Zunächst war es sicherlich sinnvoll gewesen, an den »neun Städten« Dörpfelds als Grundgerüst festzuhalten, eine kritische Auseinandersetzung mit den diesen zugrundeliegenden Funden und Befunden blieb – von einer eher sporadischen Betrachtung von Einzelobjekten abgesehen – indessen weitestgehend aus. Die von Blegen *et al.* im Detail untersuchten Siedlungshorizonte wurden gemäß ihrer spezifischen Abfolge zwar in das Dörpfeldsche System eingepaßt, grundsätzlich versäumt wurde jedoch eine für eine Betrachtung des Fundplatzes in seiner Gesamtheit unabdingbare Korrelation der neuen Grabungsergebnisse mit den früheren; diese standen einander unkommentiert gegenüber, was – zumindest für die früh- und beginnenden mittelbronzezeitlichen Zeitabschnitte – bis in jüngere Zeit zu chronologischen und vor allem terminologischen Unsicherheiten führte.⁵⁵¹ Einen ersten ernsthaften Versuch in diese Richtung unternahm im Jahr 1959 James Mellaart, der die Mehrzahl der bis dahin bekannten architektonischen Überreste der Perioden Troia I und Troia II in einer Serie von zeitlich differenzierten Übersichtsplänen zusammenführte.⁵⁵² Unberücksichtigt blieb dabei jedoch, daß der von Blegen *et al.* erarbeitete relativ-chronologische Rahmen, in den die älteren Befunde von Mellaart auf kompliziertem Wege eingepaßt wurden, lediglich auf einer größeren Anzahl von Einzelstratigraphien beruhte, die nicht anders als anhand der jeweils vergesellschafteten Keramik- und Kleinfunde miteinander verbunden worden waren und somit im Prinzip keine zuverlässige, diesem Vorhaben entsprechende Sequenzierung zuließen. Eine grundlegende Revision der Grabungsergebnisse durch Easton konnte schließlich einige der bestehenden Fehleinschätzungen bei der chronologischen Bewertung der Perioden Troia I bis Troia V in aller Klarheit aufzeigen.⁵⁵³

⁵⁴⁸ Quadrat E 6 *Room 455* Phase Troia IVb (Blegen *et al.* 1951: 176).

⁵⁴⁹ Quadrat F 7/8 *Area 505* Phase Troia Vd und Quadrat E 6 *Stratum V*³ (Blegen *et al.* 1951: 287–289).

⁵⁵⁰ Bittel 1954: 440–443.

⁵⁵¹ Allgemein dazu s. Mellaart 1959: 131; Bittel 1954: 435; Easton 1976: 146–149.

⁵⁵² Mellaart 1959: 131–154. Kritisch dazu Easton 1976: 147.

⁵⁵³ S. hierzu Easton 1976: 146–149; Easton 2000: 74–80; Easton 2002: 335–341; Ünlüsoy 2006: 133–143.



Abb. 40
Bildmitte, drei der zum
Transport des Fund-
materials verwendeten
»buckets« (Blegen
et al. 1958: Fig. 135).

Die Klassifikation der keramischen Inventare durch Blegen und seine Mitarbeiter galt in erster Linie der Herausarbeitung von Warenklassen⁵⁵⁴ und Formentypen, einen weiteren Aspekt stellte zudem die schematisierte Darstellung des Materials im Katalogteil dar; Fragen der Datierung traten demgegenüber deutlich in den Hintergrund, da Keramik nur in Ausnahmefällen zur zeitlichen Einordnung von Befunden herangezogen wurde. Gemäß ihrer formalen Erscheinung wurden die Gefäße einer von insgesamt vier, nach funktionalen Gesichtspunkten differenzierten Typen zugewiesen: »[...] in the interest of convenience we classified the shapes roughly into four categories representing vessels for eating and drinking (A: plates, bowls, and cups); for pouring (B: jugs and spouted vessels); for storage (C: jars, crocks, and pithoi); and for miscellaneous other purposes (D: cooking pots, lids, stands, etc.).«⁵⁵⁵ Varianten wurden diesen, sofern überhaupt unterschieden, numerisch untergeordnet. Die zu den entsprechenden Formen – und Warengattungen – im Katalog enthaltenen quantitativen Informationen sind dabei jedoch nur sehr eingeschränkt zu verwenden, zumal das ursprüngliche Volumen eines Fundensembles, »bucket«, nurmehr anhand der verfügbaren Fotodokumentation abzuschätzen ist (cf. Abb. 14, 40), auch wurden verschiedentlich für ein und denselben Komplex teils absolute, teils prozentuale, oder

⁵⁵⁴ Verzichtet wurde auf eine Differenzierung des grobkeramischen Materials, trotz offensichtlicher Unterschiede; Troia IV: »Only one subvariety stands out distinctly among the coarse fabrics, namely Straw-tempered Ware. The rest of the material is heterogeneous, but has been classified together for convenience under the heading Gritty Ware, in which we include also what in earlier periods we have called Pithos Ware.« (Blegen et al. 1951: 121); Troia V: »Cooking pots and household storage vessels make up about half the pottery found. They have few distinguishing qualities, and we have not attempted to classify them by different kinds of ware.« (Blegen et al. 1951: 237).

⁵⁵⁵ Blegen et al. 1950: 23. Cf. Pavúk 2002: 36.

aber unklare qualitative Mengenangaben, wie z. B. »a number of fragments«, »numerous examples«, »a few sherds«, oder »some 100 fragments«, gemacht (cf. Tab. 1–38).⁵⁵⁶ Eine systematische Differenzierung der für die Zeit von Troia I bis Troia V gleichermaßen gültigen und daher notwendigerweise recht weit gefaßten Formenklassen in Typen und Varianten wurde – trotz nachgewiesener formaler Vielfalt – grundsätzlich nicht vorgenommen; auf möglicherweise bestehende typographische Unterschiede wurde lediglich im Rahmen der nach Besiedlungsperioden getrennten Formbeschreibungen summarisch hingewiesen.⁵⁵⁷ So wurde etwa für die insgesamt recht typische, bereits in den frühen Phasen von Troia I zahlreich vertretene Schalenform A 16 festgehalten, daß sie wohl in den einzelnen Abschnitten eine gewisse Variationsbreite insbesondere bei der Rand- und Wandungsgestaltung aufweisen könne, inwieweit diese auf chronologische Faktoren zurückzuführen sind, oder ob sich die registrierten Erscheinungen möglicherweise nur auf Einzelstücke beschränkten, geht aus den entsprechenden Ausführungen von Blegen *et al.* indessen nicht hervor.⁵⁵⁸ Wenn auch in den jeweiligen Tafelbänden verschiedene, teils nach Phasen differenzierte Beispiele der Form A 16 abgebildet wurden (Abb. 41), so fehlt ein entsprechender Hinweis darauf, ob es sich bei diesen um relativchronologisch signifikante Leitformen für den jeweiligen Zeithorizont handelt oder ob vergleichbare Stücke auch in anderen Phasen vertreten sein können und hier nur zur allgemeinen Verdeutlichung des vorhandenen Formenspektrums abgebildet wurden. Infolge der fehlenden absteigenden Differenzierung der herausgearbeiteten Varianten ist eine Beurteilung deren Formentwicklung somit weder von einer Phase zur unmittelbar nächsten möglich, noch gelingt es diese über den Zeitraum von einer Periode oder gar einer gesamten Epoche hinweg zu überblicken. Anhand des vorgelegten Materials ist nurnoch festzustellen, in welchem chronologischem Abschnitt der Besiedlung eine Form erstmals auftauchte und wann sie schließlich aus der Mode geriet, nicht jedoch, wie sie sich im Laufe der Zeit möglicherweise veränderte; nicht nur, daß durch das von Blegen *et al.* angewandte Verfahren bedingt zeitübergreifende Betrachtungen der vorgelegten Keramikfunde grundsätzlich unrealisierbar gemacht wurden, auch kann ein Großteil der Formen – wie etwa

⁵⁵⁶ Cf. Frirdich 1997: 114–116; Weninger 2002: 1037–1040.

⁵⁵⁷ Vgl. Blegen *et al.* 1950: 56–76, 224–241; Blegen *et al.* 1951: 22–34, 122–136, 237–249.

⁵⁵⁸ Troia I: »Bowl: flattened or slightly hollowed bottom; somewhat convex lower side; rounded shoulder, ending in rounded lip. No example restorable or sufficiently complete to give outline from bottom to lip. We reconstruct the shape on the analogy of Shape A 12, and of bowls of Shape A 16 in Troy II. Profiles show many variations, from sharp bend near rim to gentler and more uniform curve. Short curve most common when shape first appears, later all gradations of curvature occur contemporaneously, but at end of Troy I rims are again stubby and sharply curved. Fragments of Shape A 12, when broken near a lug, are often difficult to distinguish from fragments of Shape A 16, since the angle frequently goes over into a curve as it approaches lug attachment.« (Blegen *et al.* 1950: 62); Troia II: »Bowl: flattened bottom; slightly convex lower side; rounded shoulder, ending in rounded, incurving lip; frequently with rounded loop-handle or handles set horizontally above the curve.« (Blegen *et al.* 1950: 227); Troia III: »Bowl: flattened bottom; slightly convex lower side; rounded shoulder, ending in rounded, incurving lip; round loop-handle or handles in many examples set horizontally above the curve. Usually wheelmade. Descended from Troy I and Troy II, this is the commonest variety of bowl found in Troy III.« (Blegen *et al.* 1951: 24–25); Troia IV: »Bowl: as in Troy III except that lower side is flaring and slightly convex, or decidedly convex. Height and curvature of side and rim vary greatly. Usually wheelmade.« (Blegen *et al.* 1951: 124); Troia V: »Bowl: as in Troy III and Troy IV. In the Fifth settlement we note great variety in height and degree of curvature of side and rim. In at least one instance the bowl stands on a lo ring-base.« (Blegen *et al.* 1951: 240).

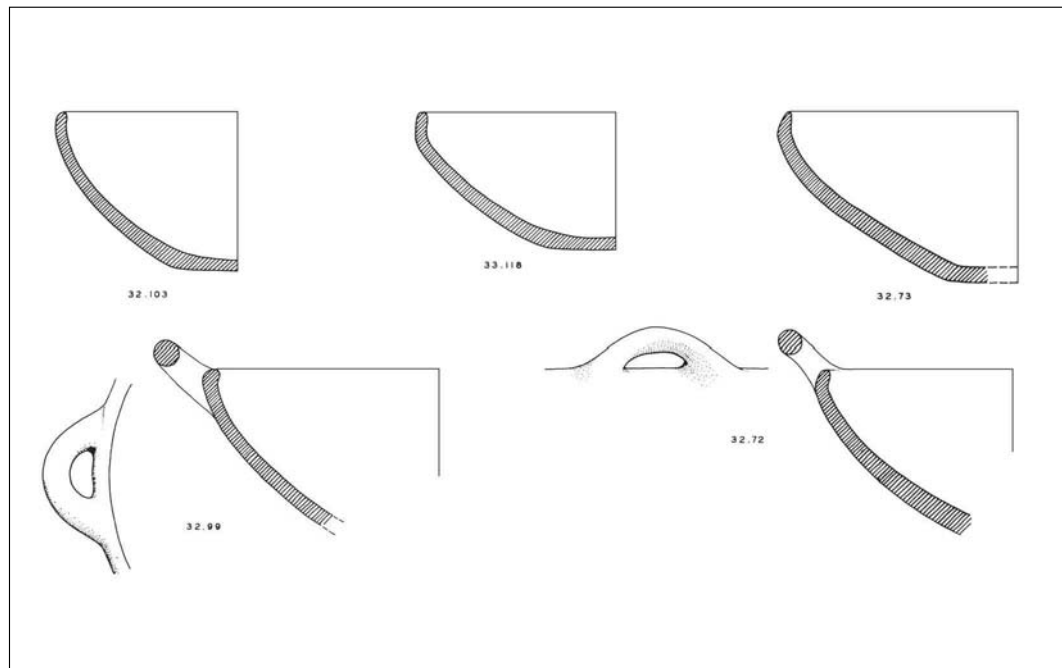


Abb. 41
Troia IV, Typvertreter
der Schalenform A 16
(Blegen *et al.* 1958:
Fig. 176, 32103,
33118, 3273, 3299
u. 3272).

Schalen der Form A 16 – im Grunde nicht mehr zu Datierungszwecken herangezogen werden, es sei denn, sie seien ausschließlich auf eine einzelne Phase bzw. Periode beschränkt.

Das von Blegen und anderen Mitgliedern der *Cincinnati Expedition* für die Perioden Troia IV und Troia V entworfene gesellschaftliche Bild ist nachhaltig von positivistisch-evolutionistischen Strukturen geprägt.⁵⁵⁹ Als Ausgangsbasis für die kulturhistorische Interpretation dienten – wie im Grunde auch für alle früheren und späteren Zeitabschnitte – in erster Linie Beobachtungen zum architektonischen Habitus, wobei Befestigungswerke in diesem Zusammenhang eine Schlüsselstellung einnahmen. Nachdem für Troia IV sowohl im Süden wie auch im Osten des Hügels eine massive Umfassungsmauer nachgewiesen und für die darauffolgende Periode eine wohl vergleichbare, zur Terrassierung und Verteidigung des Orts gleichermaßen geeignete Struktur anhand des Schichtenverlaufs zumindest wahrscheinlich gemacht werden konnte,⁵⁶⁰ lag eine Charakterisierung der beiden Siedlungen als burgähnlich konzipierte Anlagen in jedem Fall nahe.⁵⁶¹ Im Inneren der Zitadelle war notwendigerweise die Residenz eines wie auch immer legitimierten Herrschers zu vermuten, um die sich eine größere Anzahl kleinerer privater Bauten gruppierte, scheint demgegenüber jedoch weit weniger zwingend, zumal in diesem Bereich keinerlei der hier ansonsten wohl mit großer Wahrscheinlichkeit vorhandenen monumentalen

⁵⁵⁹ S. in diesem Zusammenhang etwa Trigger 1986: 195–200; Trigger 1989: 186–206; Willey/Sabloff 1974: 88–177; Jennings 1986: 23–32; Haag 1986: 65–67; Wylie 2002: 29–31, 42–51.

⁵⁶⁰ Cf. Blegen 1937b: 571; Blegen *et al.* 1951: 105, 139–140, 222, 252; Blegen *et al.* 1953: Fig. 122; Blegen 1963: 105; Blegen 1971b: 705. Ergänzend dazu s. Easton 2002: 310–311.

⁵⁶¹ Cf. Blegen *et al.* 1951: 102, 105, 139–140. Vgl. Dörpfeld 1902: 102–103.

Bauten nachgewiesen werden konnten.⁵⁶² Wenn auch grundsätzlich die Möglichkeit bestehen mag, daß diese im Zuge späterer Bodeneingriffe zerstört und völlig abgetragen wurden, so scheint die vor allem als Korrektiv zum Deutungsversuch Dörpfelds gedachte Interpretation – nicht zuletzt auch als unmittelbares Resultat der allgemein zugrundegelegten soziokulturellen Kontinuität⁵⁶³ – nicht unwesentlich vom Erscheinungsbild der Perioden Troia II und Troia VI beeinflusst zu sein; unberücksichtigt geblieben wäre dabei allerdings, daß sich weder in dem einen noch in dem anderen zeitlichen Horizont kleinräumig ausgelegte, dicht nebeneinander gelegene Gebäude im Nahbereich der Befestigungsanlagen befanden, sondern vergleichsweise große freistehende Bauten mit repräsentativem Charakter.⁵⁶⁴ Strenggenommen unvereinbar ist überdies die Annahme, Troia habe während des relevanten Zeitraums für einen größeren, auch überregionalen Raum zentralörtliche Funktionen übernommen,⁵⁶⁵ sei selbst in seiner kulturellen Entwicklung jedoch von externen Einflüssen stets ausgenommen gewesen; gerade jedoch für die frühen Abschnitte der Besiedlung belegen zahlreiche Importstücke⁵⁶⁶ die vielfältigen Kontakte Troias nach außerhalb,⁵⁶⁷ welche aufgrund der deutlichen Überbewertung des architektonischen Erscheinungsbilds durch Blegen *et al.* allerdings nur wenig Berücksichtigung im Rahmen der vorgestellten kulturhistorischen Bewertung fanden.⁵⁶⁸ Aber auch selbst im Hinblick auf die bauliche Gestaltung des Siedlungshügels wurden markante strukturelle Neuerungen wie etwa die Einführung des Kuppelofens in Troia IV⁵⁶⁹ oder das Auftreten neuer Konstruktions- und Grundrißformen vor allem nach Troia II⁵⁷⁰ vorzugsweise auf gesellschaftsinterne Innovationsprozesse zurückgeführt und nur äußerst zögerlich auf die Möglichkeit einer Übernahme fremden Ideenguts hin überprüft. In gleicher Weise vernachlässigt wurde der archäozoologische Befund als Indikator gesellschaftlicher und ökonomischer Strukturen, auch scheint der in allen Publikationen vermittelte Eindruck kultureller Kontinuität von Periode Troia I bis Periode Troia V nicht zuletzt in Anbetracht der insgesamt zu kurz greifenden Klassifizierung des keramischen Fundmaterials im ganzen unangemessen.

⁵⁶² S. in diesem Zusammenhang Trigger 1990: 119–128; Trigger 2003: 564–583.

⁵⁶³ Vgl. Blegen *et al.* 1951: 226; Blegen *et al.* 1953: 5.

⁵⁶⁴ Allgemein dazu s. Dörpfeld 1902: 49–98, 107–182; Bittel 1942: 144–150, 193; Bittel 1945a: 23–24; Bittel 1945b: 32; Blegen *et al.* 1950: 203–208 u. Fig. 434–435, 451–473; Blegen *et al.* 1953: 5–6 u. Fig. 447–512; Blegen 1963: 59–71, 113–138; Mellaart 1959: 136–162; Naumann 1971: 244–249; Sinos 1971: 26–33; Korfmann 1983a: 233–237; Easton 2002: 307–311; Schachner 1999: 64–78; Ünlüsoy 2006: 137–142.

⁵⁶⁵ Cf. Blegen *et al.* 1951: 102, 105, 139–140.

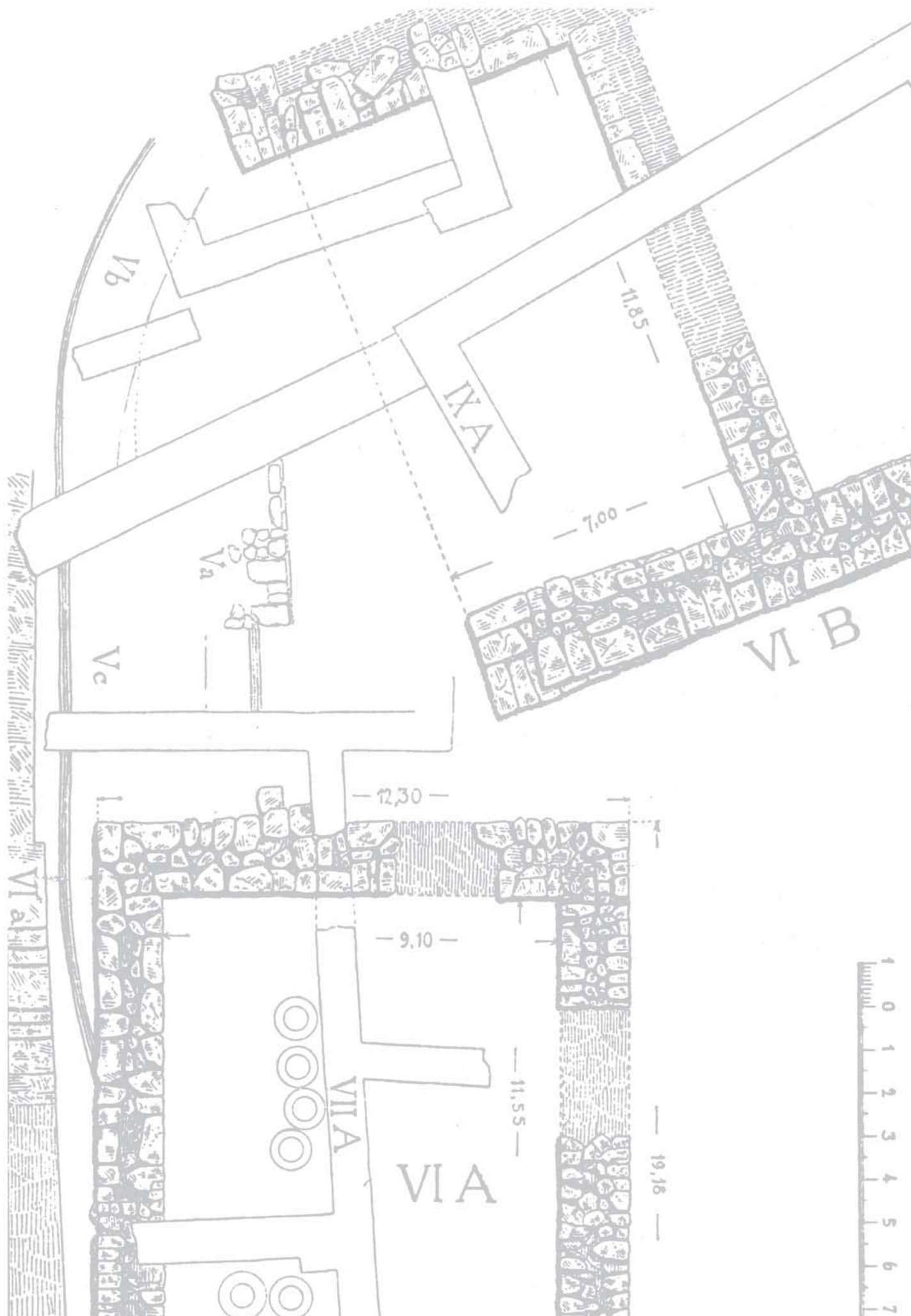
⁵⁶⁶ Blegen *et al.* 1951: 107–111, 227–230.

⁵⁶⁷ S. in diesem Zusammenhang etwa Korfmann 2001a: 347–348; Korfmann 2001b: 361; Renfrew 1972: 181–183, 206–210, 408–409; Seeher 1987: 157–160; Kull 1988: 132–133; Efe 1988: 93–99; Efe 2006: 17–27; Pernicka 2001: 369–371.

⁵⁶⁸ Cf. Bittel 1954: 442.

⁵⁶⁹ Blegen *et al.* 1951: 107–108.

⁵⁷⁰ Vgl. Blegen *et al.* 1951: 5, 103.



3.1 Quadrate A 5/6: Lage und forschungsgeschichtliche Betrachtung

Die im folgenden näher untersuchten Planquadrate A 5 und A 6 liegen im äußersten Westen des Siedlungshügels von Hisarlık. Innerhalb des seit Wilhelm Dörpfeld und Wilhelm Wilberg im wesentlichen unverändert verwendeten Vermessungsnetzes wird dieser Bereich durch die Koordinaten $y=9200,00$ bis $y=9220,00$ sowie $x=10680,00$ bis $x=10720,00$ umschrieben (Abb. 42). Erste archäologische Untersuchungen fanden hier im Jahre 1890 unter Leitung von Heinrich Schliemann statt, dessen Mitarbeiter Wilhelm Dörpfeld es damals gelang, in den betreffenden Arealen neben verschiedenen architektonischen Elementen der Perioden Troia VII⁵⁷¹ und Troia IX⁵⁷² Teile der Troia VI-zeitlichen Zitadellenmauer⁵⁷³ sowie einzelne Segmente der ebenfalls spätbronzezeitlichen Großgebäude VI A und VI B freizulegen; anhand des im entsprechend zugehörigen Fundkontext angetroffenen Keramikguts wurden die Bauten in die mykenische Zeit datiert.⁵⁷⁴ In der Grabungskampagne 1893 wurden dann beide Gebäude umfassend untersucht.⁵⁷⁵ Während sich von Megaron VI B infolge früherer Bodeneingriffe im Grunde nur die nördliche und südliche Ante des Eingangsbereichs sowie ein Teil der inneren Vorhallenmauer erhalten hatten, konnte Megaron VI A, dessen Fundamente noch nahezu vollständig zu dokumentieren gewesen waren,⁵⁷⁶ größerflächig untersucht werden (Taf. 46–48). Die bereits im selben Jahr erfaßten Mauern Vb und Vc wurden – wie auch noch in späteren Publikationen⁵⁷⁷ – als Überreste der »Burgmauer der V. Schicht« betrachtet (cf. Taf. 49).⁵⁷⁸

Im Zuge der Ausgrabungen unter Carl W. Blegen wurden in den Quadraten A 5/6 mit »*Section 6*« die nördliche Fortsetzung der Troia VI Spät-zeitlichen Festungsmauer⁵⁷⁹ sowie ein zu dieser gehörendes Tor, Tor VI V,⁵⁸⁰ erfaßt. Hinzu kamen die Gebäude 650, 651⁵⁸¹ und 661,⁵⁸²

⁵⁷¹ Dörpfeld 1902: 190–192.

⁵⁷² Dörpfeld 1902: 234.

⁵⁷³ Dörpfeld 1894: 38–40; Dörpfeld 1902: 113–116.

⁵⁷⁴ Dörpfeld 1890: 58–61 »In der zweiten und dritten Schicht von oben kommen Häuser vor, deren Mauern zum Theil in griechischer polygonaler Bauweise errichtet waren. Am wichtigsten war die vierte Schicht von oben, in welcher mehrere aus großen Steinblöcken errichtete Gebäude vorkamen. Eines dieser Bauwerke, dessen Grundriss wir einigermaßen kennen, obwol er noch nicht ganz ausgegraben ist, gleicht dem einfachen griechischen Tempel oder auch dem Megaron der Herrschersitze. [...] An eine 9,10 m breite und 4,23 m tiefe Vorhalle schliesst sich ein ebenso breiter und 11,5 m langer Saal an, welcher möglicherweise durch zwei Reihen von Innensäulen in drei Schiffe getheilt war. Es hat sich nämlich der Rest eines Fundamentes gefunden, welches vielleicht den Stylobat einer inneren Säulenreihe gebildet hat; doch ist die Vermuthung durchaus unsicher. Ob in diesem Bau ein Tempel oder ein Wohnhaus vorliegt, ist unbekannt und wird auch wol kaum festgestellt werden können. Gleichwol ist das Gebäude für die trojanischen Alterthümer von sehr grosser Bedeutung, denn innerhalb desselben und in der zugehörigen Schuttschicht sind mehrere mykenische Vasen und Vasenscherben gefunden worden [...].« Ergänzend dazu s. Dörpfeld 1902: 151–155.

⁵⁷⁵ Dörpfeld 1894: 15–20.

⁵⁷⁶ Dörpfeld 1902: 152.

⁵⁷⁷ S. hierzu etwa Dörpfeld 1902: 103–106 u. Fig. 31.

⁵⁷⁸ Dörpfeld 1894: 40.

⁵⁷⁹ Blegen *et al.* 1953: 105–107 u. Fig. 504.

⁵⁸⁰ Blegen *et al.* 1953: 104–105 u. Fig. 73, 75–80, 447, 503.

⁵⁸¹ Blegen *et al.* 1953: 162–164.

⁵⁸² Blegen *et al.* 1953: 366–368.

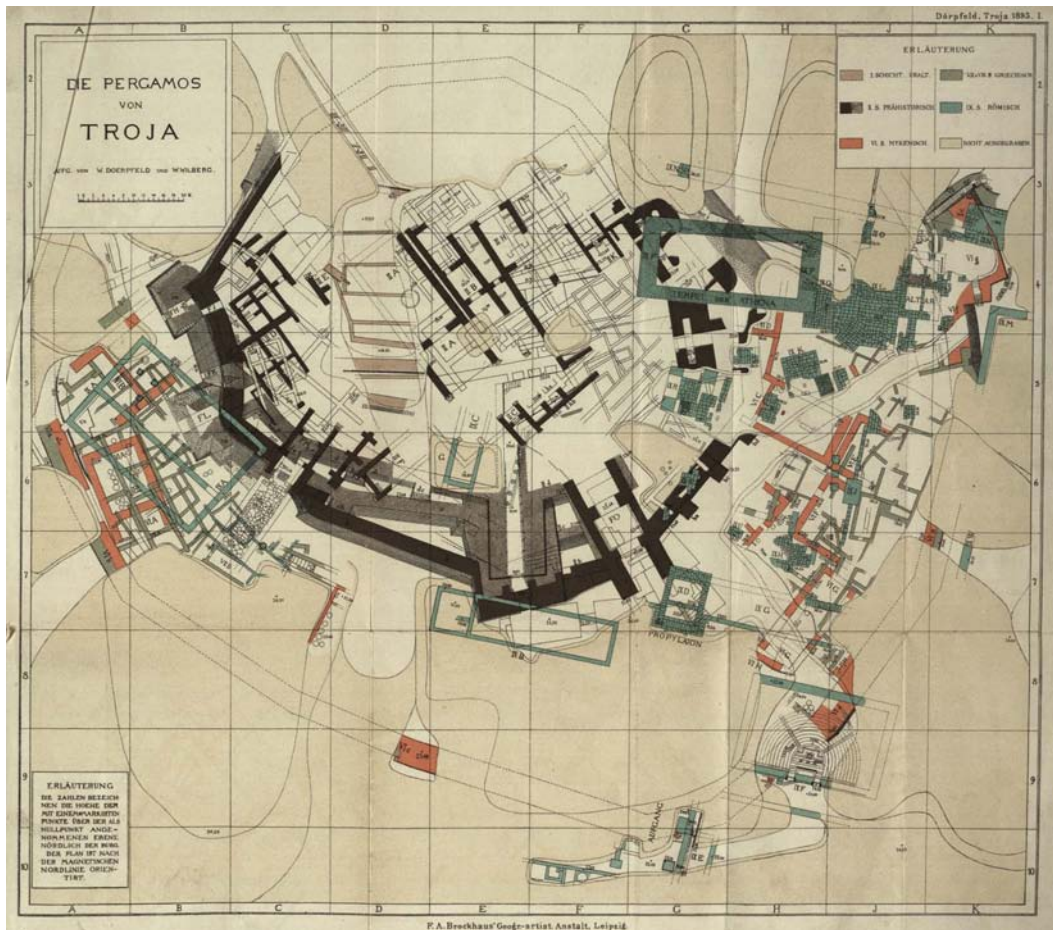


Abb. 42
Gesamtplan Troias
im Jahre 1893
(Dörpfeld 1894: Taf. I).

ebenfalls aus der Zeit von Troia VI. Trotz teils umfangreicher Ausgrabungsaktivitäten wurden Schichten der Perioden Troia IV bzw. Troia V im Bereich des Burgbergs nicht erreicht; lediglich im westlichen Bereich des Quadrats A 5, von der Baugrube der Festungsmauer von Troia VI geschnitten, kamen entsprechende Fundeinheiten zutage.⁵⁸³ Zur Periode Troia IV wurde von Blegen *et al.* ein 1,5 m starkes, unmittelbar auf dem anstehenden Felsgrund lagerndes Schichtpaket gerechnet, das sich ausgehend von einem Niveau von ∇ 21,50 m ü. NN in mehrere stratigraphische Untereinheiten einteilen ließ (Taf. 50.1). In der vergleichsweise kleinräumig angelegten Sondage zeichneten sich verschiedene Reste von Gebäudemauern ab, für Blegen und Mitarbeiter ein klares Indiz dafür, daß sich die Troia IV-zeitliche Besiedlung weiter nach Westen erstreckte; das zugehörige, offenbar nicht wenig umfangreiche Fundgut wurde indes nicht vorgelegt.⁵⁸⁴ Zwischen ∇ 23,70 m ü. NN und ∇ 23,00 m ü. NN fanden sich zwei Schichten, die aufgrund des in ihnen enthaltenen – ebenfalls nicht in die vorgelegten Publikationen mit aufge-

⁵⁸³ Allgemein dazu s. Blegen *et al.* 1951: 217–218, 297–298 u. Fig. 318; Blegen *et al.* 1953: 162.

⁵⁸⁴ Blegen *et al.* 1951: 218.

nommenen⁵⁸⁵ – Keramikmaterials summarisch der Periode Troia V zugewiesen wurden. Im Profil der Baugrube der Troia VI-zeitlichen Burgaußenbegrenzung fanden sich zudem mehrere meist plattige Steine einer in östlicher Richtung eingestürzten Mauer, die nach Auffassung von Blegen *et al.* chronologisch früher, d. h. in Troia V, anzusetzen sei (Taf. 50 u. 51.1). Diese begleitend konnte eine massive Ablagerung aus Lehm beobachtet werden, die entsprechend ihrer Lage und Struktur als verkippter Oberbau der unter Umständen einstmals als Wehranlage dienenden Struktur interpretiert wurde. Unweit östlich davon und allem Anschein nach aus derselben Zeit stammend, lag eine allgemein als Hausmauer angesprochene Konstruktionseinheit, deren einmaliger Baukörper in einer Höhe zwischen $\nabla 25,97$ m ü. NN und $\nabla 27,57$ m ü. NN noch bis zu sieben Steinlagen hoch erhalten war (Taf. 51.2 u. 52).⁵⁸⁶

Ausgangspunkt der in den Jahren 2000 und 2001 unter Manfred O. Korfmann an gleicher Stelle durchgeführten Ausgrabungen war zunächst die Frage nach dem frühesten Auftreten von Pferdeknochen im archäozoologischen Befund von Troia, darüber hinaus sollten verschiedene Angaben von Dörpfeld und Blegen hinsichtlich der Datierung einiger mit Tor VI V in Zusammenhang stehender Mauersegmente präzisiert sowie der Übergang von Troia IV nach Troia V im Detail geklärt werden.⁵⁸⁷ Bei einem Ausgangsniveau von maximal $\nabla 30,75$ m ü. NN wurde hierfür zunächst der gesamte Bereich zwischen den Fundamenten der Gebäude IX A, VI A und VI B sowie Dörpfelds Mauer Va untersucht ($y = 9211,25$ bis $y = 9217,75/x = 10697,25$ bis $x = 10707,50$), danach, als in der Hauptsache Troia V-zeitliche Schichten anstanden, wurden die Schnittgrenzen des Grabungsareals auf $y = 9213,00$ bis $y = 9217,00/x = 10700,50$ bis $x = 10705,00$ reduziert (Taf. 53.1–2 u. Abb. 43). Als Ausgräberin konnte für beide Kampagnen Magda Pieniążek-Sikora gewonnen werden.

3.2 Perioden- und Phasenunterteilung der Quadrate A 5/6

3.2.1 Methodische Vorgehensweise

3.2.1.1 Stratigraphisches Diagramm: »Harris Matrix«

Der im folgenden vorgestellten stratigraphischen Analyse der Planquadrate A 5/6, d. h. der systematischen Beschreibung und Interpretation der dokumentierten Schichtenabfolge,⁵⁸⁸ liegen im ganzen vier fundamentale, in entsprechender Form erstmals von Edward C. Harris für die archäologische Forschung systematisch formulierte »stratigraphische Axiome« bzw. »stratigraphische Gesetze« zugrunde:⁵⁸⁹

⁵⁸⁵ Blegen *et al.* 1951: 297.

⁵⁸⁶ Blegen *et al.* 1951: 297.

⁵⁸⁷ Korfmann 2001c: 10–11; Korfmann 2002: 7–9.

⁵⁸⁸ Cf. Harris 1975: 110.

⁵⁸⁹ Harris 1979: 111–117; Harris 1989: 29–39. Cf. Jackson 1981: 904–905.



Abb. 43
Quadrate A 5/6 zu Beginn der Ausgrabungen im Jahr 2000 (Dia Troia 43598).

1. das Stenosche »Lagerungsgesetz«⁵⁹⁰ (*Law of Superposition*);
2. das Gesetz der ursprünglichen Horizontalität (*Law of Original Horizontality*);
3. das Gesetz der ursprünglichen Kontinuität (*Law of Original Continuity*);
4. das Gesetz der stratigraphischen Abfolge (*Law of Stratigraphical Succession*).⁵⁹¹

Die ersten drei genannten Prinzipien sind dabei unmittelbar der Geologie entlehnt, der vierte Leitsatz hingegen wurde von Harris ausschließlich anhand archäologischer Beispiele entwickelt – nicht zuletzt aufgrund des Umstands, daß archäologische Schichten im Gegensatz zu geologischen meist nur von äußerst begrenzter Ausdehnung sind, von unterschiedlichster Zusammensetzung sein können und in aller Regel nicht vergleichbar verfestigt sind.⁵⁹² Gemäß dem Stenoschen »Lagerungsgesetz« liegt im Falle eines sich über einen längeren Zeitraum hinweg erstreckenden Ablagerungsprozesses die jeweils jüngere stratigraphische Einheit grundsätzlich auf der älteren, so daß eine Stratifizierung bei ungestörter Schichtenüberlieferung den zeitlichen Ablauf der Akkumulation unmittelbar widerspiegelt.⁵⁹³ Ausgehend von den je spezifischen physischen Zusammenhängen der einzelnen Stratifikationseinheiten zueinander bestimmen Superpositionen somit die stratigraphische Sequenz einer Fundstelle, unabhängig vom jeweils ver-

⁵⁹⁰ Begriffsverwendung gemäß Eggert 2008: 163, 173.

⁵⁹¹ Grundsätzlich dazu s. Harris 1979: 112–113; Harris 1989: 30–34.

⁵⁹² Harris 1979: 113; Harris 1989: 29.

⁵⁹³ S. hierzu etwa Harris 1977: 90–91; Harris 1989: 30. Ergänzend dazu s. Praetzellis 1993: 70.

gesellschafteten Fundmaterial.⁵⁹⁴ Ein zum Zeitpunkt seiner Ablagerung unverfestigtes Material tendiert nach Maßgabe des Gesetzes der ursprünglichen Kontinuität stets dazu, sich mehr oder weniger horizontal auszurichten; Schichten, die in geneigter Lage angetroffen werden, können dabei entweder in entsprechender Form abgelagert sein oder sich an die Struktur einer vorgegebenen Oberfläche angepaßt haben.⁵⁹⁵ Nach dem Gesetz der ursprünglichen Kontinuität läuft jede ursprüngliche archäologische Ablagerung sukzessive in alle Richtungen aus oder wird durch den Verlauf der Oberfläche, der sie unmittelbar aufliegt, begrenzt. Sollte dies nicht der Fall sein, so ist davon auszugehen, daß ein Teil der betreffenden Schicht entweder durch spätere Bodeneingriffe oder durch Erosion zerstört bzw. strukturell verändert wurde.⁵⁹⁶ Ausschlaggebend für die Position stratigraphischer Elemente innerhalb einer stratigraphischen Sequenz ist laut dem Gesetz der stratigraphischen Abfolge allein das räumliche Verhältnis einer Einheit zu den unmittelbar angrenzenden. Dabei ist jedoch nur der physische Kontakt zur jeweils ältesten der darüberliegenden Einheiten von Relevanz, ebenso wie der zur jüngsten der darunterliegenden; alle weiteren Superpositionen sind als redundant zu betrachten.⁵⁹⁷

Das grundlegende Element einer stratigraphischen Sequenz ist die Schicht bzw. das Stratum, wobei generell zwischen solchen natürlichen und anthropogenen Ursprungs zu differenzieren ist.⁵⁹⁸ Eine Besonderheit in Zusammenhang archäologischer Schichten stellen aufgehende bzw. positive, von Harris als »*upstanding strata*« bezeichnete Befunde dar;⁵⁹⁹ zu diesen zählen neben Mauern alle Befunde, die sich nicht in der Horizontalen sondern hauptsächlich in der Vertikalen erstrecken. Hinzu kommen sogenannte *interfaces*, d. h. »Grenzflächen« oder »Grenzebenen«,⁶⁰⁰ die nicht als Schichten im eigentlichen Sinne zu betrachten sind, sondern als abstrakte, physisch nicht existierende Schnittflächen zwischen solchen.⁶⁰¹ Unterschieden wird zwischen *layer interfaces* und *feature interfaces*. Erstgenannte gehen in ihrer Entstehung auf Ablagerungsprozesse zurück, unabhängig davon, ob sich das betreffende Material in mehr oder weniger horizontaler Erstreckung durch die Akkumulation immer neuer Straten anreichert (*horizontal layer interfaces*) oder sich vertikal anlagert (*upstanding layer interfaces*).⁶⁰² *Feature interfaces* entstehen dahingegen durch die teilweise oder vollständige Zerstörung bestehender stratigraphischer Einheiten: »*There are two types of feature interfaces, the vertical and the horizontal. These interfaces are formed by the destruction of stratification and create their own surfaces and areas. They have stratigraphic relationships which are theirs alone and not those of an associated deposit. Feature interfaces are units of stratification in their own right: they have their own set of stratigraphic relationships with other units of stratification, and their own boundary and surface contours. Horizontal feature interfaces are associated with upstanding*

⁵⁹⁴ Harris 1977: 87, 91; Harris 1989: 31. S. hierzu auch Schiffer 1987: 122–123, 137; Triggs 1993: 259.

⁵⁹⁵ Harris 1979: 113; Harris 1989: 31–32. S. diesbezüglich auch Eggert 2008: 173 Anm. 22 mit berechtigter Kritik.

⁵⁹⁶ Harris 1979: 113–114; Harris 1989: 32–33.

⁵⁹⁷ Cf. Harris 1979: 114; Harris 1989: 33–34; Herzog 1993: 203.

⁵⁹⁸ Harris 1989: 46–48.

⁵⁹⁹ Harris 1989: 48. Cf. Eggert 2008: 176 Anm. 25.

⁶⁰⁰ Gemäß Eggert 2008: 176 Anm. 27.

⁶⁰¹ Allgemein dazu s. Harris 1989: 54–68.

⁶⁰² Harris 1989: 54–57.

*strata and mark the levels to which those deposits have been destroyed. They are created when a wall decays and falls down. [...] Vertical feature interfaces result from the digging of holes and are found on most sites, whereas horizontal feature interfaces occur only on sites where remains of buildings survive. Such holes may have served various uses, e.g. ditches, pits, graves, postholes, and so on.*⁶⁰³

Zusammen bilden Schichten und *interfaces* Ausgangspunkt für die Erstellung einer Harris Matrix, einem Diagramm zur graphischen Darstellung einer stratigraphischen Sequenz. In Übereinstimmung mit den ersten drei Gesetzen der archäologischen Stratigraphie wird dabei zunächst eine Sequenz durch die Interpretation der zur Diskussion stehenden Stratifikation festgelegt, woraufhin die in diesem Zusammenhang bestimmten stratigraphischen Relationen gemäß dem *Law of Stratigraphical Succession* in relativer, sequentieller Reihenfolge in Diagrammform gebracht werden.⁶⁰⁴ Zu berücksichtigen sind diesbezüglich insgesamt drei Bezugsmöglichkeiten: entweder stehen zwei stratigraphische Einheiten (1) in keiner stratigraphischen bzw. physischen Beziehung zueinander, sie befinden sich (2) in Superposition oder (3) sie korrelieren in Form einer ursprünglich durchgehenden, nun aber räumlich getrennten Einheit.⁶⁰⁵

3.2.1.2 Quadrate A 5/6: Stratigraphische Sequenz

Grundlage der stratigraphischen Analyse der Quadrate A 5/6 bildeten neben einschlägigen Tagebuchaufzeichnungen und Fotodokumenten in erster Linie die für den betreffenden Bereich zur Verfügung stehenden Plan- und Profilzeichnungen (Taf. 54–61).⁶⁰⁶ Insgesamt fanden 160 eigenständige stratigraphische Einheiten – Schichten und *interfaces* – aus der Zeit von Troia IV und Troia V Aufnahme in der mit Hilfe der Computeranwendung Stratify 1.3 generierten Harris Matrix (Taf. 62 u. 63).⁶⁰⁷ Die Benennung der verschiedenen stratigraphischen Komponenten erfolgte dabei numerisch und nicht gemäß der während der Grabungen in Troia für Ausgrabungseinheiten gebräuchlichen Bezeichnung »Behälter«, da diese bisweilen – in den allermeisten Fällen grabungstechnisch bedingt – von den tatsächlichen Elementen der Stratifizierung sowohl in quantitativer wie qualitativer Hinsicht abweichen können;⁶⁰⁸ zur Veranschaulichung der vorliegenden Befundabfolge wurden die erfaßten stratigraphischen Einheiten nach Maßgabe von Entstehung und Inhalt bzw. Funktion differenziert, elf Kategorien zugewiesen:

⁶⁰³ Harris 1989: 59–60 u. Fig. 18, 21, 22.

⁶⁰⁴ Grundsätzlich dazu s. Harris 1989: 34 »*The Harris Matrix is the name given to a printed sheet of paper which contains a grid of rectangular boxes. The name has no other connotation, mathematical or otherwise: it is simply a format of exhibiting the stratigraphic relationships of a site. The resulting diagram, which is often called a »matrix« in shorthand, represents the stratigraphic sequence of a site. A »stratigraphic sequence« is defined as »the order of the deposition of layers and the creation of feature interfaces through the course of time« on an archaeological site.*«

⁶⁰⁵ Harris 1989: 36. Cf. Herzog 1993: 203–207.

⁶⁰⁶ Cf. Jablonka 2000: 106–112.

⁶⁰⁷ Eine umfassende Zusammenstellung der diesbezüglich relevanten Information findet sich in Katalog Teil A 1.1 »Stratigraphische Einheiten«.

⁶⁰⁸ Entsprechend dazu s. Katalog Teil A 1.2 »Konkordanz: Ausgrabungseinheiten/Stratigraphische Einheiten«.

1. Planierungen
2. Fundamentierungen/Steinmauerwerk
3. Lehmsteinmauerwerk
4. Fußböden/Begehungshorizonte
5. Pflaster
6. Öfen/Herdstellen
7. Ablagerungen Siedlungsmaterial
8. Gruben/Grubenverfüllungen
9. Verstärzte Bausubstanz
10. Zerstörungen
11. Pfostenlöcher/Pfosten

Ausschlaggebend für die relativchronologische Untergliederung der stratigraphischen Sequenz der Quadrate A 5/6 in Perioden, Phasen und Subphasen waren in aller Regel markante, den architektonischen Habitus strukturell nachhaltig prägende Veränderungen im Bereich der baulichen Substanz, wie etwa die Errichtung von Mauern oder die Anlage eines neuen Fußbodens, aber auch scheinbar weniger einschneidende stratigraphische Ereignisse, wie z. B. Planierungen und Umbaumaßnahmen geringeren Ausmaßes, wurden in diesem Zusammenhang berücksichtigt. Die dabei zur Kennzeichnung der verschiedenen zeitlichen Abschnitte verwendeten Bezeichnungen Troia IV₁, Troia IV₂ etc. sind ausschließlich auf die spezifischen Befundverhältnisse der Planquadrate A 5/6 bezogen und erheben grundsätzlich keinen Anspruch auf arealübergreifende Gültigkeit.⁶⁰⁹

3.2.2 Befunde der Periode Troia IV

3.2.2.1 Phase Troia IV₁

Ausgangspunkt der frühesten in den Quadraten A 5/6 festgestellten Besiedlungsaktivitäten der Periode Troia IV – im folgenden unter der Phasenbezeichnung Troia IV₁ geführt – bildete eine zwischen ▼ 27,59 m ü. NN und ▼ 27,72 m ü. NN leicht von Nordosten in Richtung Südwesten abfallende Planierschicht (Matrix-Nr. 001).⁶¹⁰ Diese setzte sich vornehmlich aus kompakt verdichtetem, teils stark aschehaltigem Lehm- und Siedlungsschutt zusammen und enthielt neben zahlreichen Fragmenten keramischer Gefäße größere Mengen an archäozoologischem Fundmaterial (Taf. 64).⁶¹¹

Unmittelbar auf deren Oberfläche, d. h. ohne gesonderten Bodeneingriff im Sinne einer Baugrube, wurden bei einem Basisniveau von ▼ 27,61 m ü. NN bis maximal ▼ 27,78 m ü. NN die

⁶⁰⁹ S. hierzu Kapitel 7 »Die zeitliche Stellung der Perioden Troia IV und Troia V«.

⁶¹⁰ Pieniżek-Sikora 2001: 148, 159, 160–161.

⁶¹¹ Pieniżek-Sikora 2001: 148, 160.

Fundamente der Mauern 29/31 (Matrix-Nr. 002) und 30 (Matrix-Nr. 004) angelegt.⁶¹² Erstgenannte wies eine Breite von durchschnittlich 0,50 m auf und konnte auf einer Länge von insgesamt 3,43 m untersucht werden (Taf. 65.1). Während die Gesamtausdehnung des bis zu einer absoluten Höhe von $\nabla 28,05$ m ü. NN reichenden Baukörpers infolge der bestehenden Arealgrenzen nach Osten hin nicht dokumentiert werden konnte, zeichnete sich in westlicher Richtung ($y=9214,10/x=10701,64$ und $y=9214,22/x=10701,31$), bedingt durch einen sich hier befindlichen Durchgangs- bzw. Türbereich, ein vorläufiges Ende des Segments ab (cf. Taf. 64). Zum Einsatz waren in erster Linie kleinformatige Kalkbruch- und Lesesteine gekommen, die man in zwei parallelen Reihen mit jeweils drei Lagen verlegte; lediglich im westlichen Teilabschnitt des Fundaments, nahe des Eingangs, hatte man auf größere, meist plattige Steine zurückgegriffen. Den durch die unregelmäßige Gestalt des verwendeten Materials hervorgerufenen Zwischenraum zwischen den beiden Steinreihen verfüllte man mit kleineren Steinen und Lehmörtel.⁶¹³ Die Fundamentzone von Mauer 30 schloß bei $y=9215,60/x=10701,98$ und $y=9215,96/x=10702,16$ in einem Winkel von 90° an diejenige von Mauer 29/31 an und bestand ebenso wie diese aus dreifach geschichteten Kalksteinen und einer Lehmörtelverfüllung. Nach einer Distanz von ca. 1,2 m in südöstlicher Richtung endete die linear verlaufende Steinsetzung, da sich auch hier eine Tür befand (Taf. 65.2).⁶¹⁴ Auf derselben stratigraphischen Ebene wie Matrix-Nummern 002 und 004 entstand unmittelbar im Nordwesten von Mauer 29/31, zwischen $\nabla 27,67$ m ü. NN und maximal $\nabla 27,74$ m ü. NN, die Substruktion eines Pflasters (Matrix-Nr. 006). Als Resultat verschiedener späterer, wenn wohl auch verhältnismäßig zeitnah anzusetzender Bodeneingriffe war diese in ihrer Substanz jedoch soweit strukturell beeinträchtigt, daß die ursprüngliche Ausdehnung der aus relativ kleinen, sehr dicht verlegten Steinen bestehenden Konstruktionseinheit nicht mehr exakt zu erschließen war (cf. Taf. 64).⁶¹⁵

Im darauffolgenden Arbeitsschritt entstanden mit Matrix-Nummern 003 und 005 die Oberbauten der Mauern 29/31 und 30 (Taf. 56.1, 57 u. 66.1, 2).⁶¹⁶ Die zwischen $\nabla 27,75$ m ü. NN und $\nabla 28,66$ m ü. NN knapp über 0,9 m erhaltenen Baukörper aus $0,5 \times 0,24 \times 0,11$ m großen, quaderförmigen Lehmsteinen waren im Verhältnis zur jeweils korrespondierenden Fundamentzone unwesentlich schmaler ausgelegt und verfügten über deckende Wandverputze aus Lehm, die ihrerseits wiederum eine Grundlage für Anstriche aus Kalkmörtel bildeten (Abb. 44, 45 u. Taf. 67.1, 2).⁶¹⁷ Dem verhältnismäßig hohen Anteil an im Baumaterial enthaltener Knochen- und Keramikstücke nach zu urteilen, war bei dessen Herstellung zumindest in Teilen älteres Siedlungsmaterial aufgearbeitet worden;⁶¹⁸ an welcher Stelle die Gewinnung erfolgte, geht aus

⁶¹² Pieniążek-Sikora 2001: 150 u. Planum A5/6.2001.18.

⁶¹³ S. hierzu Pieniążek-Sikora 2001: 150.

⁶¹⁴ Pieniążek-Sikora 2001: 150.

⁶¹⁵ Pieniążek-Sikora 2001: 147, 161.

⁶¹⁶ Pieniążek-Sikora 2001: 95, 101, 145 u. Plana A5/6.2001.14, 15.

⁶¹⁷ Aufgetragen wurden diese jedoch erst nach Fertigstellung des zugehörigen Raumbodens (Matrix-Nr. 008), worauf entsprechende Überlagerungen im jeweiligen Kontaktbereich hinweisen (cf. Abb. 45).

⁶¹⁸ Pieniążek-Sikora 2001: 145.



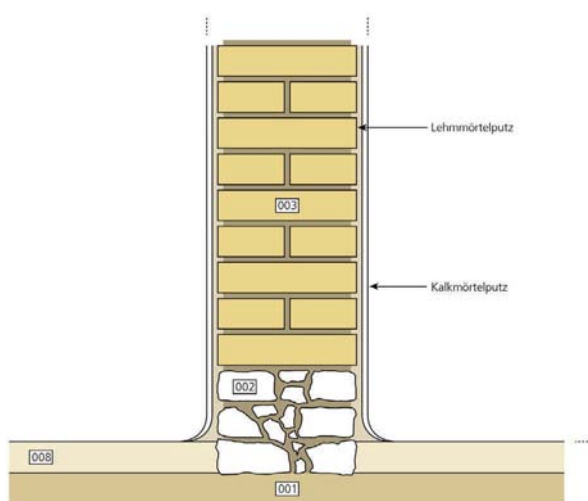
Abb. 44
 Quadrate A 5/6,
 Troia IV₁, Mauer 30
 mit Kalkverputz
 (Dia Troia 47194).

dem Fundmaterial selbst zwar nicht unmittelbar hervor, jedoch spricht die große Menge ausschließlich nach Troia IV zu datierender Fragmente eher für einen Abbau vor Ort.

Auf Höhe der Oberkante der ersten Steinlage der Fundamente entstand ein im Durchschnitt 6 cm starker Fußboden (Matrix-Nummer 008) aus stark komprimiertem, graubraunem Lehm (∇ 27,69 m ü. NN bis ∇ 27,85 m ü. NN),⁶¹⁹ der wie bereits die unmittelbar darunterliegende Planierung leicht in südwestlicher Richtung abfiel (*cf.* Taf. 54, 55). Zeitgleich mit diesem wurde im

Westen des Areals, bei einem Niveau von ∇ 27,73 m ü. NN bis ∇ 27,94 m ü. NN, ein Pflaster aus mittelgroßen, vorwiegend plattig geformten Kalkbruchsteinen angelegt (Matrix-Nr. 007);⁶²⁰ wie bei dem entsprechend zugehörigen Unterbau (Matrix-Nr. 006) ist die ehemalige räumliche Ausdehnung der Struktur unbekannt (Taf. 68). Matrix-Nummer 009, eine Ablagerung aus lockerem, aschehaltigem Lehmschutt und vermischten Siedlungsabfällen, markiert in stratigraphischer Hinsicht den Abschluß von Phase Troia IV₁. Die stellenweise bis zu

Abb. 45
 Quadrate A 5/6,
 Querschnitt Mauer
 29/31 (schematische
 Darstellung).



⁶¹⁹ Pieniżek-Sikora 2001: 141, 148 u. Planum A5/6.2001.19.

⁶²⁰ Pieniżek-Sikora 2001: 139, 141, 147, 160–161 u. Planum A5/6.2001.19.

16 cm starke Akkumulation überlagerte flächendeckend den Raumboden des Gebäudes und zog unmittelbar bis an die unteren Parteien der Mauern 29/31 und 30 heran (cf. Taf. 54, 55, 56.1, 57–59, 65.2).⁶²¹

3.2.2.2 Phase Troia IV₂

Zu Beginn von Phase Troia IV₂ wurde der gesamte begehbare Bereich des Areals – zwischen ▼ 27,84 m ü. NN und ▼ 28,94 m ü. NN – umfassend planiert (Matrix-Nummer 010).⁶²² Die dabei geschaffene Oberfläche bildete eine Basis für die bis maximal 0,5 m breite Substruktion von Mauer 32 (Matrix-Nr. 011), die bei $y=9215,32/x=10702,30$ und $y=9215,74/x=10702,50$ rechtwinklig an Mauer 29/31 anschloß. Anders als die beiden Fundamentsetzungen des vorherigen Zeitabschnitts entstand der zu Mauer 32 gehörige Sockel aus mehreren größeren, in nur einer Linie angeordneten Kalksteinplatten und verfügte über eine einzelne bis zu einem maximalen Niveau von ▼ 27,95 m ü. NN reichende Lage (Taf. 69, 70.1).⁶²³ Zum Ausgleich der durch die unterschiedliche Stärke der verwendeten Konstruktionselemente hervorgerufenen Höhenunterschiede wurden die beiden weiter im Südosten platzierten Steine zwischen 8–10 cm in die darunterliegende Planierschicht eingetieft,⁶²⁴ während alle anderen direkt auf der Oberfläche von Matrix-Nummer 010 verlegt wurden; ein knapp 0,9 m breiter, zwischen $y=9214,50/x=10704,10$ bis $y=9214,88/x=10704,28$ und $y=9214,22/x=10704,96$ und $y=9214,58/x=10705,02$ gelegener Durchgang befand sich 1,94 m nordwestlich des Anschlusses an Mauer 29/31 (cf. Taf. 65.1).⁶²⁵ Der zugehörige Oberbau aus ungebrannten Lehmsteinen (Matrix-Nr. 012) wies dieselben bautechnischen Merkmale auf wie derjenige von Mauer 29/31, sowohl hinsichtlich des verwendeten Materials wie auch in bezug auf die Art und Weise des zugrundegelegten Konstruktionsverfahrens (Abb. 46, 47 u. Taf. 70.2).⁶²⁶ Recht markant hingegen – und in dieser Form bislang singulär in Troia – ist eine exakt 0,6 m breite, bis höchstes 0,2 m über dem Niveau des begleitenden Raumbodens gelegene Aussparung im aufgehenden Mauerwerk (Taf. 71.1).⁶²⁷ Ebenso wie die beiden seitlichen Mauerwangen war die Oberfläche des unteren Teilabschnitts der im Bereich von $y=9215,30/x=10702,60$ bis $y=9215,64/x=10702,74$ und $y=9214,96/x=10703,10$ bis $y=9215,32/x=10703,24$ positionierten, fensterähnlichen Öffnung mit einem Anstrich aus feinem, sorgfältig verstrichenem Kalkmörtel versehen; infolge der nur bedingten strukturellen Überlieferung von Mauer 32 ließ sich die originale Höhe des architektonischen Elements nicht mehr ermitteln. Die Ecken der beiden zum oben erwähnten Durchgang gehörigen Mauerwangen waren leicht abgerundet und ebenfalls mit einem deckenden Lehm- bzw.

⁶²¹ S. hierzu Pieniążek-Sikora 2001: 127, 131, 141, 147–148.

⁶²² Pieniążek-Sikora 2001: 127, 131, 141, 147–148.

⁶²³ Pieniążek-Sikora 2001: 150 u. Planum A5/6.2001.18.

⁶²⁴ Pieniążek-Sikora 2001: 161.

⁶²⁵ Cf. Pieniążek-Sikora 2001: Planum A5/6.2001.19.

⁶²⁶ Pieniążek-Sikora 2001: 87, 107, 137, 144–145 u. Plana A5/6.2001.14, 15.

⁶²⁷ Cf. Pieniążek-Sikora 2001: 137 u. Planum A5/6.2001.15.



Abb. 46
Quadrate A 5/6,
Grabungshelfer
Veli Yavaş (*nur içinde
yatsın*) bei der
Freilegung von Mauer
32 (Dia Troia 47257).



Abb. 47
 Quadrate A 5/6, Mauer
 32: Lehmsteinaufbau
 mit Aussparung
 (Dia Troia 47207).

Kalkverputz ausgestattet worden (Abb. 47 u. Taf. 71.2); eine Türschwelle konnte hier nicht nachgewiesen werden,⁶²⁸ dafür fand sich im Südosten des Zugangs, Mauer 32 unmittelbar vorgelagert, ein Türangelstein aus grobem Muschelkalk.⁶²⁹

Zeitnah zur Entstehung von Mauer 32 dürfte die Neugestaltung des bereits in der vorherigen Besiedlungsphase Troia IV₁ nordwestlich von Mauer 29/31 entstandenen Pflasters anzusetzen sein (Matrix-Nr. 013).⁶³⁰ In seiner überarbeiteten Form erreichte das nun aus deutlich größer bemessenen Steinplatten bestehende Gefüge ein absolutes Niveau von ▼ 27,95 m ü. NN (Taf. 70.1) und bildete mit Matrix-Nummer 010, der zu Beginn von Phase Troia IV₂ angelegten Planierung, einen gemeinsam Laufhorizont (cf. Taf. 65.1 u. 72.1, 2).⁶³¹ Unmittelbar zwischen und auf den Steinen des Pflasters fanden sich zahlreiche, teils in größeren Stücken erhaltene Gefäßfragmente mit auffallend starken Abrasionserscheinungen an der Oberfläche (Taf. 73).⁶³² Ob Matrix-Nummer 014, ein zwischen ▼ 27,78 m ü. NN und ▼ 28,24 m ü. NN angelegter Fußboden aus Kalkmörtel, den Befund vollständig oder nur in Teilen überdeckte, konnte infolge

⁶²⁸ Lage und Niveau einiger größerer Steine der unter Matrix-Nummer 013 beschriebenen Pflasterung – darunter auch ein Läuferstein in sekundärer Verwendung – deuten darauf hin, daß sich diese in ihrem ursprünglichen Zustand weiter in nordöstlicher Richtung fortsetzte und auf diese Weise im Bereich der Tür eine feste begehbare Grundfläche bildete (cf. Taf. 72). S. hierzu auch Pieniążek-Sikora 2001: 159, 161 u. Planum A5/6.2001.19.

⁶²⁹ Pieniążek-Sikora 2001: 155.

⁶³⁰ Pieniążek-Sikora 2001: 139, 141, 147, 161.

⁶³¹ Vgl. Pieniążek-Sikora 2001: Plana A5/6.2001.15, 19.

⁶³² Pieniążek-Sikora 2001: 161.

Abb. 48
 Quadrate A 5/6,
 Mauer 29/31: Reste
 des Troia IV₂-zeitlichen
 Maueroberbaus aus
 Lehmsteinen und seit-
 lich verstärktes Baumaterial (Dia Troia 47236).



dessen allgemein schlechter Erhaltung nicht mehr eruiert werden (*cf.* Taf. 65.1, 72.2, 74.1).⁶³³ Im Bereich der Türöffnung von Mauer 32 fand sich mit Ausgrabungseinheit A5/6.954.00 ein zu diesem gehörender Türangelstein aus stark feinporigem Kalk, der bei $y = 9215,25/x = 10704,30$ ($\nabla 27,84$ m ü. NN bis $\nabla 27,93$ m ü. NN) direkt über demjenigen des vorherigen Ausbaustadiums positioniert worden war (*cf.* Taf. 358.1).⁶³⁴

Matrix-Nummer 015 kennzeichnet die abschließende Zerstörung der Troia IV₂-zeitlichen Bauelemente der Quadrate A 5/6 (*cf.* Taf. 57). Situationsbedingt waren hiervon in erster Linie die Mauerzüge 29/31, 30 und 32 betroffen (Abb. 48), aber auch der Kalkmörtelboden sowie größere Teile des Pflasters im Nordwesten des Areals wurden im Zuge der Destruktion strukturell in Mitleidenschaft gezogen. Unmittelbar auf dieses Ereignis ging ebenso die Akkumulation einer bis zu 0,23 m starken Lehmschuttschicht bei $y = 9213,72/x = 10700,52$ bis $y = 9214,36/x = 10700,52$ und $y = 9213,22/x = 10702,44$ bis $y = 9214,74/x = 10702,16$ (27,76 m ü. NN bis $\nabla 28,06$ m ü. NN) zurück, die sich vor allem innerhalb sowie im Bereich nördlich der Türöffnung von Mauer 29/31 flächig erstreckte (Matrix-Nr. 016).⁶³⁵ Wie bei dieser handelte es sich auch bei Matrix-Nummer 017 um verstärktes Baumaterial (Taf. 74.2), worauf mehrere in der grauen, holzkohle- und feinaschehaltigen Schichtsubstanz enthaltene Lehmsteine nachdrücklich hindeuten (*cf.* Taf. 57).⁶³⁶ Der spezifischen Zusammensetzung sowie dem räumlichen Verhältnis

⁶³³ Pieniżek-Sikora 2001: 123, 127, 131, 139, 147–148 u. Planum A5/6.2001.15.

⁶³⁴ Pieniżek-Sikora 2001: 155.

⁶³⁵ Pieniżek-Sikora 2001: 92, 95, 113, 119, 127, 131, 147 u. Planum A5/6.2001.19.

⁶³⁶ Pieniżek-Sikora 2001: 92, 95, 113, 119, 127, 131.



Abb. 49
Gefäß A 5/6.873.01
nach der Freilegung
(Dia Troia 47191).

der Akkumulation zu den Mauerzügen 29/31 und 32 nach zu schließen, dürfte es sich bei Matrix-Nummer 018 wohl um den Versturz eines Lehmflachdaches gehandelt haben (cf. Taf. 57).⁶³⁷ Zu den Hauptbestandteilen des stratigraphisch zwischen $\nabla 27,78$ m ü. NN und $\nabla 28,38$ m ü. NN eingebundenen, direkt auf den Resten des darunterliegenden Fußbodens sich ausbreitenden Schichtpakets zählten neben Lehm und verhältnismäßig kleinen Kalk- und Kieselsteinen in erster Linie Gefäßfragmente und Knochen sowie teils größere Holzkohlepartikel. Überlagert wurde dieses in der gesamten Fläche von Matrix-Nummer 019, einem größtenteils aus kompaktem gelblichgrauem Lehm bestehenden Stratum zwischen $\nabla 28,25$ m ü. NN bis $\nabla 28,76$ m ü. NN (Taf. 75.1).⁶³⁸ Zahlreiche in der Versturzmasse enthaltene Lehmsteine mit anhaftenden Resten von Kalkmörtelverputz wiesen die Akkumulation als weitere Verkippung der Mauerzüge 29/31, 30 und 32 aus.⁶³⁹ Neben diesen fanden sich hier einzelne, teils auch große Kalkbruchsteine (cf. Taf. 60, 61) sowie Knochen- und Keramikobjekte, darunter mit Ausgrabungseinheit A5/6.873.01 auch ein nahezu vollständig erhaltener einhenkliger Krug bei $y = 9215,05/y = 9215,50$ und $x = 10704,35/x = 10705,10$ ($\nabla 28,06$ m ü. NN bis $\nabla 28,25$ m ü. NN; Abb. 49 u. Taf. 75.2).⁶⁴⁰

⁶³⁷ Pieniążek-Sikora 2001: 113, 119, 123, 127, 131, 137, 147.

⁶³⁸ Grundsätzlich dazu s. Pieniążek-Sikora 2001: 83, 87–88, 91–92, 95, 99, 101, 107 109–110, 113, 117, 119, 123, 147 u. Planum A5/6.2001.14.

⁶³⁹ Pieniążek-Sikora 2001: 83, 88.

⁶⁴⁰ Pieniążek-Sikora 2001: 117.

3.2.3 Befunde der Periode Troia V

3.2.3.1 Phase Troia V₁

Ein sowohl in stratigraphischer wie auch in besiedlungsgeschichtlicher Hinsicht markanter Einschnitt konnte mit Matrix-Nummer 020, einer weiteren, in Relation zu früheren Bodeneingriffen dieser Art jedoch vergleichsweise grundlegenden Planierung erfaßt werden.⁶⁴¹ Im Zuge der Nivellierungsmaßnahme waren sämtliche eventuell noch über das oberste Niveau von Matrix-Nummer 019 hinausragenden Bauelemente systematisch eingeebnet worden, so daß zur Anlage von Matrix-Nummer 021, einem neuen Boden- bzw. Begehungshorizont aus graubraunem sandigem Material, zwischen ∇ 28,29 m ü. NN bis ∇ 28,78 m ü. NN ein angemessen flaches Terrain zur Verfügung stand (Taf. 76.1, 2).⁶⁴² Dieser diente als Grundfläche für einen Kuppelofen, dessen Reste sich im Osten des untersuchten Bereichs fanden (Taf. 77.1, 2).⁶⁴³ Durch den Verlauf der Arealgrenzen bedingt, konnte von diesem lediglich ein vergleichsweise kleiner Teilschnitt dokumentarisch festgehalten werden (Taf. 78), zudem war die gesamte obere Partie des Ofens im Zuge einer späteren Oberflächenbegradigung vollständig zerstört worden;⁶⁴⁴ die exakte Grundrißform und -ausdehnung der Installation sind diesem Umstand entsprechend unbekannt, ebenso entzieht sich die Gestalt und Konstruktionsweise der Kuppel genauerer Kenntnis (cf. Taf. 56.1). Errichtet war der Ofen auf einer zwischen ∇ 28,74 m ü. NN und ∇ 28,70 m ü. NN gelegenen Substruktion aus kleineren Kieselsteinen (Matrix-Nr. 024), die ihrerseits wiederum als Untergrund für ein dicht verlegtes, maximal 2,8 cm starkes Pflaster aus Gefäßfragmenten diente (Matrix-Nr. 025). Über diesem lag eine bis zu 6 cm dicke, vom mehrfachen Gebrauch stark verziegelte Brandplatte aus sorgfältig geglättetem Lehm (Matrix-Nr. 026). Vier im näheren Umfeld des Ofens beobachtete Pfostenlöcher legen grundsätzlich die Vermutung nahe, daß dieser im Laufe seines Bestehens – mitsamt einem größeren Teil des ihm unmittelbar vorgelagerten Aktionsraums – überdacht gewesen war (Taf. 79.1):⁶⁴⁵ Das erste lag bei $y = 9216,70/y = 9216,88$ und $x = 10704,10/x = 10704,24$ und wies ausgehend von ∇ 28,71 m ü. NN eine Resttiefe von 4,2 cm auf (Matrix-Nr. 033; cf. Taf. 79.2); in der mit Matrix-Nummer 034 erfaßten Verfüllung fanden sich kleinere Holzkohlepartikel sowie mehrere Stücke verbrannten Lehms. Knapp 1,5 m südwestlich davon, in einem Bereich von $y = 9215,04/y = 9215,24$ und $x = 10703,28/x = 10703,60$, stand das zweite der hölzernen Tragwerkselemente (Matrix-Nr. 035; Taf. 79.2). Die vergleichsweise flache, nicht mehr als 8 cm tiefe Pfostengrube (∇ 28,59 m ü. NN bis ∇ 28,51 m ü. NN) beinhaltete ebenfalls kompakten, infolge intensiver Hitzeeinwirkung stark geröteten Lehm und Holzkohle, darüberhinaus konnte hier ein unbearbeiteter Kalkstein mittlerer Größe geborgen werden (Matrix-Nr. 036). Matrix-Nummer 037 bezeichnet eine langovale Eintiefung bei $y = 9215,70/y = 9216,14$ und $x = 10701,08/x = 10701,34$. In ihr, abgelagert in

⁶⁴¹ Ausführlich dazu s. Pieniązek-Sikora 2001: 65, 73, 75, 77, 80–81, 88, 91, 95–96, 105, 107.

⁶⁴² Pieniązek-Sikora 2001: 65, 73, 75, 77, 80–81, 88, 91, 95–96, 105, 107 u. Plana A5/6.2001.12, 13.

⁶⁴³ Pieniązek-Sikora 2001: 81, 83, 89 u. Planum A5/6.2001.12.

⁶⁴⁴ Cf. Matrix-Nummer 039.

⁶⁴⁵ Pieniązek-Sikora 2001: 83, 88, 91 u. Planum A5/6.2001.12.

einer absoluten Höhe von ∇ 28,52 m ü. NN bis ∇ 28,40 m ü. NN, fand sich ausschließlich Asche (Matrix-Nr. 038; *cf.* Taf. 79.1). Partiiell vom Ostprofil überdeckt, lag das vierte Pfostenloch des Dachs, Matrix-Nummer 022, bei $y = 9217,00/y = 9217,28$ und $x = 10700,90/x = 10701,21$; die mit Matrix-Nummer 23 zwischen ∇ 28,50 m ü. NN und ∇ 28,40 m ü. NN erfaßte Füllmasse des Objekts entsprach grundsätzlich derjenigen von Matrix-Nummer 038.⁶⁴⁶ Weitere Konstruktionselemente dieser Art sind ebenfalls östlich des untersuchten Bereichs vorauszusetzen, da sich die wohl in erster Linie zum Schutz des Ofens vor Witterungseinflüssen errichtete Überdachung auch dorthin fortgesetzt haben dürfte.

Ergänzend dazu entstand im Nordwesten des Grabungsareals eine verhältnismäßig große, knapp 0,8 m in die darunterliegenden Schichten eingetiefte Grube (Matrix-Nr. 027; Taf. 80.1, 2). Zwar konnte auch diese infolge ihrer Lage an den Profilen nur eingeschränkt untersucht werden, jedoch zeichnete sich der annähernd runde Durchmesser der flachkonisch angelegten Vertiefung im Planum deutlich ab (*cf.* Taf. 60, 78).⁶⁴⁷ Ausgehend von einem Niveau von ∇ 27,69 m ü. NN war die negative Bodenstruktur zunächst mit Matrix-Nummer 028, einer relativ lockeren Schüttung bestehend aus gelblichgrauem Lehm, Asche, abgeplatzttem Kalkverputz und Gefäßfragmenten angefüllt worden.⁶⁴⁸ Unmittelbar über dieser lagerten zahlreiche äußerst feine Ascheschichten mit nur wenigen Fremdeinschlüssen, die in ihrer Gesamtheit ein Stratum von bis zu 0,28 m Stärke bildeten (Matrix-Nummer 029).⁶⁴⁹ Stratigraphisch den Abschluß bildete eine Akkumulation aus Lehm, Asche und Holzkohlepartikeln, mit welcher die leicht muldenförmige Grube abschließend verfüllt war (Matrix-Nr. 030; Taf. 80.1).⁶⁵⁰ Demselben Zeithorizont ist eine zweite, nicht mehr als 0,78 m im Osten davon gelegene Eintiefung mit ovalem Grundriß zuweisbar (Matrix-Nr. 031; Abb. 50). In der darauffolgenden Besiedlungsphase Troia V₂ war diese beim Bau von Mauer 12 jedoch teilweise zerstört worden,⁶⁵¹ so daß mit Matrix-Nummer 032 nur noch ein Rest der vorwiegend lehm- und keramikhaltigen Verfüllung geborgen werden konnte.⁶⁵²

Betrachtet man das Troia V₁-zeitliche Befundbild der Quadrate A 5/6 in seiner Gesamtheit, so fällt – insbesondere im direkten Vergleich zu früheren und späteren Abschnitten der Besiedlung – in erster Linie ein Fehlen von Gebäudestrukturen jeglicher Art auf (*cf.* Taf. 78). Zwar mag dies nicht zuletzt mit auf den vergleichsweise knappen Ausmaßen des untersuchten Areals beruhen, berücksichtigt man hier allerdings auch die von Blegen *et al.* in diesem Zusammenhang vorgelegten Grabungsbefunde, so scheint dieser Umstand jedoch geradezu symptomatisch für die gesamte Phase zu sein.⁶⁵³

⁶⁴⁶ S. hierzu Pieniążek-Sikora 2001: 83.

⁶⁴⁷ Pieniążek-Sikora 2001: Plana A5/6.2001.14, 15, 19.

⁶⁴⁸ Pieniążek-Sikora 2001: 113, 123, 127, 131, 141, 147.

⁶⁴⁹ Pieniążek-Sikora 2001: 92, 102, 105, 127.

⁶⁵⁰ S. hierzu Pieniążek-Sikora 2001: 70, 81, 87, 92, 95.

⁶⁵¹ *Cf.* Matrix-Nummer 040.

⁶⁵² Pieniążek-Sikora 2001: 96, 117 u. Planum A5/6.2001.14.

⁶⁵³ S. diesbezüglich auch Kapitel 7.1.1 »Fundortspezifische Einordnung«.



Abb. 50
 Quadrate A 5/6, Grube
 der Phase Troia V₁
 (Umriß gestrichelt)
 und Mauer 12
 (Dia Troia 47177).

3.2.3.2 Phase Troia V_{2a-2b}

Matrix-Nummer 039, eine flächendeckende Aufschüttung zwischen ∇ 28,84 m ü. NN im Osten und ∇ 28,58 m ü. NN im Westen aus holzkohle- und kalkhaltigem Lehm, markiert in stratigraphischer Hinsicht den Beginn von Subphase Troia V_{2a} (cf. Abb. 48, Taf. 56.1, 2, Taf. 57).⁶⁵⁴ Wohl in erster Linie als Ausgleichsschicht und Arbeitshorizont gedacht, wurde sie im Zuge der Aushubarbeiten an Matrix-Nummer 040, der Fundamentgrube von Mauer 12, teilweise geschnitten.⁶⁵⁵ Deren Tiefe belief sich im Osten des Areals auf 0,35 m und lief dann infolge des Oberflächengefälles in südwestlicher Richtung nach und nach aus; ab einem Bereich von ca. $y = 9214,70/x = 10704,24$ und $y = 9214,90/x = 10703,88$ verfügte die Substruktion von Mauer 12 dann über keine eigens dafür vorgesehene Baugrube mehr, sondern saß der Oberfläche von Matrix-Nummer 039 unmittelbar auf (Abb. 51).⁶⁵⁶ Für die unterste Lage der nur in Ausnahmefällen zweireihig angelegten Fundamentierung waren – mit Maximalwerten von $0,54 \times 0,34 \times 0,22$ m – vergleichsweise große, weitestgehend unbearbeitete Kalksteinblöcke verwendet worden (Matrix-Nr. 041);⁶⁵⁷ in den bis zu 0,12 m breiten Fugen zwischen den einzelnen Steinen befand sich Lehmörtel (Taf. 81.1, 2 u. 82.1). Der aufgehende Mauerkörper selbst bestand aus deutlich kleineren, für gewöhnlich in zwei sich parallel gegenüberliegenden Reihen verlegter Kalkbruch-

⁶⁵⁴ Pieniżek-Sikora 2001: 75, 77, 88, 91.

⁶⁵⁵ Pieniżek-Sikora 2001: 59, 63, 65, 73–75.

⁶⁵⁶ Untersucht wurde Mauer 12 in einem Bereich von $y = 9213,00/x = 10703,00$ bis $y = 9213,00/x = 10703,48$ und $y = 9216,51/x = 10705,06$ und $y = 9217,20/x = 10705,04$.

⁶⁵⁷ Pieniżek-Sikora 2001: 105.



Abb. 51
 Quadrate A 5/6,
 Fundamentgrube
 Mauer 12
 (Dia Troia 47185).

steine (Matrix-Nr. 042). Materialbedingte Lücken und Unregelmäßigkeiten im Verband des zwischen $\nabla 28,40$ m ü. NN und $\nabla 29,02$ m ü. NN gesetzten Mauerwerks waren mit kleineren Steinen und Mörtel aus Lehm ausgeglichen (Taf. 82.2 u. 83). Im folgenden Arbeitsschritt füllte man die Fundamentgrube von Mauer 12 bis zu einer Höhe von $\nabla 28,84$ m ü. NN mit dunkelbraunem, nahezu fundfreiem Lehm auf (Matrix-Nr. 043).⁶⁵⁸ In einem Bereich von $y=9213,20/x=10703,50$ schloß das Fundament von Mauer 27 (Matrix-Nr. 044) an dasjenige von Mauer 12 im rechten Winkel an (Taf. 84.1, 2).⁶⁵⁹ Mit einem Ausgangsniveau von $\nabla 28,46$ m ü. NN lagerte auch dies unmittelbar auf der obersten Schichtgrenze von Matrix-Nummer 039 und bildete in Richtung Nordwesten einen Unterbau für Matrix-Nummer 045, einen doppelreihig in Lehm-mörtel gesetzten Mauerkörper aus vorwiegend mittelformatigen Kalkbruchsteinen (Taf. 85).⁶⁶⁰ Nach Fertigstellung der einzelnen Gebäudeteile und Mauersegmente wurde der Baugrund südlich von Mauer 12 mit Matrix-Nummer 046 ($\nabla 28,86$ m ü. NN bis $\nabla 28,46$ m ü. NN) vollständig eingeebnet,⁶⁶¹ im Norden des Areals mit Matrix-Nummer 047 ($\nabla 28,84$ m ü. NN bis $\nabla 28,58$ m ü. NN).⁶⁶² Ausgehend davon entstanden mit Matrix-Nummern 048 und 050 in beiden Teilbereichen neue Fußboden- bzw. Begehungshorizonte aus dunklem, stark verdichtetem Lehm (Abb. 52)⁶⁶³ sowie mit Matrix-Nummer 049 eine Pflasterung aus Kalksteinen zwischen ca. $y=$

⁶⁵⁸ S. hierzu Pieniżek-Sikora 2001: 59, 63–65, 73, 75.

⁶⁵⁹ Pieniżek-Sikora 2001: 99 u. Planum A5/6.2001.6.

⁶⁶⁰ Pieniżek-Sikora 2001: 99.

⁶⁶¹ Pieniżek-Sikora 2001: 59, 63–65, 67, 75, 77.

⁶⁶² Pieniżek-Sikora 2001: 51, 67, 69, 81, 105.

⁶⁶³ Pieniżek-Sikora 2001: 51, 59, 63, 65, 67, 69, 75, 77, 81, 105 u. Plana A5/6.2001.10, 13.



Abb. 52
 Quadrate A 5/6, Troia
 V_{2a}, Seitenansicht
 Mauer 12
 (Dia Troia 47161).

9213,07/y = 9215,30 und $x = 10703,80/x = 10705,00$ (Taf. 86.1, 2 u. Taf. 87).⁶⁶⁴ Zwischen $y = 9217,00/y = 9217,18$ und $x = 10704,80/x = 10704,92$ (∇ 28,82 m ü. NN) fand sich in Form einer massiven Konzentration von Holzkohlepartikeln die Standspur eines Pfostens (Matrix-Nr. 051; Taf. 88.1).⁶⁶⁵ Ein flächiges Pflaster aus Kieselsteinen bei ∇ 28,80 m ü. NN (Matrix-Nr. 052)⁶⁶⁶ sowie eine unmittelbar darüberegelegene Abdeckung aus Gefäßfragmenten (Matrix-Nr. 053)⁶⁶⁷ bildeten die Substruktion für einen Kuppelofen mit langovalem Grundriß, dessen bei ∇ 28,86 m ü. NN gelegene Brandplatte aus geglättetem Lehm mit Matrix-Nummer 054 erfaßt wurde (Taf. 77.2, 88.2),⁶⁶⁸ die bis zu einem Niveau von maximal ∇ 29,22 m ü. NN erhaltene Kuppel aus kleineren Kalkbruchsteinen und sorgfältig verstrichenem, fein gemagerten Lehm kennzeichnet Matrix-Nummer 055 (Taf. 79.1, 89.1 u. Abb. 53).⁶⁶⁹

Zu Subphase Troia V_{2b} ist zunächst eine erneute Destruktion von Mauer 12 zu zählen (Matrix-Nr. 056), die – wohl im Zuge einer größer angelegten Instandsetzungsmaßnahme des Baukörpers – einem Wiederaufbau ebenjenes unmittelbar vorausgegangen war (Matrix-Nr. 057; cf. Taf. 57).⁶⁷⁰ Wie auch im vorherigen Stadium des Ausbaus setzte sich das verwendete Konstruktionsmaterial in erster Linie aus grob bearbeiteten Kalkbruchsteinen zusammen, von denen jedoch zahlreiche nicht wie üblich horizontal in Lehmörtel verlegt, sondern – eventuell

⁶⁶⁴ Pieniżek-Sikora 2001: 67, 81, 83 u. Planum A5/6.2001.13.

⁶⁶⁵ Pieniżek-Sikora 2001: 59, 63, 65 u. Planum A5/6.2001.10.

⁶⁶⁶ In diesem Zusammenhang s. Pieniżek-Sikora 2001: 70, 80, 83 u. Planum A5/6.2001.12.

⁶⁶⁷ Pieniżek-Sikora 2001: 77, 80, 83 u. Planum A5/6.2001.12.

⁶⁶⁸ Pieniżek-Sikora 2001: 77, 80, 83.

⁶⁶⁹ Pieniżek-Sikora 2001: 80, 83 u. Plana A5/6.2000.14, A5/6.2001.1, 2, 5, 6, 10.

⁶⁷⁰ Cf. Pieniżek-Sikora 2001: 101.

zum Ausgleich der zwischen den einzelnen Steinlagen bestehenden Höhenunterschiede – schräg aneinandergestellt wurden (cf. Taf. 81.1, 2 u. 82.1). Auf's neue zerstört wurde Mauer 12 mit Matrix-Nummer 058 in einer Höhe von ∇ 29,38 m ü. NN. Aus diesem Ereignis resultierte zunächst die Ablagerung einer massiven Schicht stark kalkhaltigen Baulehms zwischen ∇ 28,78 m ü. NN und maximal ∇ 29,22 m ü. NN (Matrix-Nr. 061; Taf. 89.2);⁶⁷¹ nach Lage und Zusammensetzung der Akkumulation zu schließen, dürfte es sich bei dieser ebenso wie bei Matrix-Nummer 062 um einen Teil des ehemaligen Lehmsteinoberbaus von Mauer 12 gehandelt haben (Taf. 90.1).⁶⁷² Verstärzte Bausubstanz wurde zudem mit Matrix-Nummer 063 erfaßt, einer unstrukturierten Anhäufung aus hellgrauem, teils holzkohlehaltigen Lehm zwischen ∇ 29,08 m ü. NN und ∇ 29,30 m ü. NN, die Matrix-Nummer 062 unmittelbar überlagerte (Taf. 90.2).⁶⁷³ Im Inneren des Troia V_{2a}-zeitlichen Kuppelofens (Matrix-Nr. 052–055) fand sich mit Matrix-Nummern 064 eine räumlich begrenzte Konzentration an Holzkohlepartikeln, deren Entstehung gegebenenfalls auch noch mit der letztmaligen Verwendung der Installation in Zusammenhang gestanden haben könnte. Mit Matrix-Nummern 065 und 066 wurden die verschiedenen Komponenten der eingestürzten Ofenkuppel erfaßt (Taf. 91.1); unmittelbar über diesen und Matrix-Nummer 063 lagerte eine schmale graue Schicht, bei der es sich – gemessen am vergleichsweise hohen Anteil der darin enthaltenen Muscheln (*C. glaucum*)⁶⁷⁴ – um Abfälle der Nahrungszubereitung gehandelt haben dürfte (Matrix-Nr. 067; Taf. 91.2).⁶⁷⁵ Zahlreiche verkippte Mauersteine, die sich in einer massiven Anhäufung im Südosten des untersuchten Areals fanden, sind einem außerhalb der Gra-

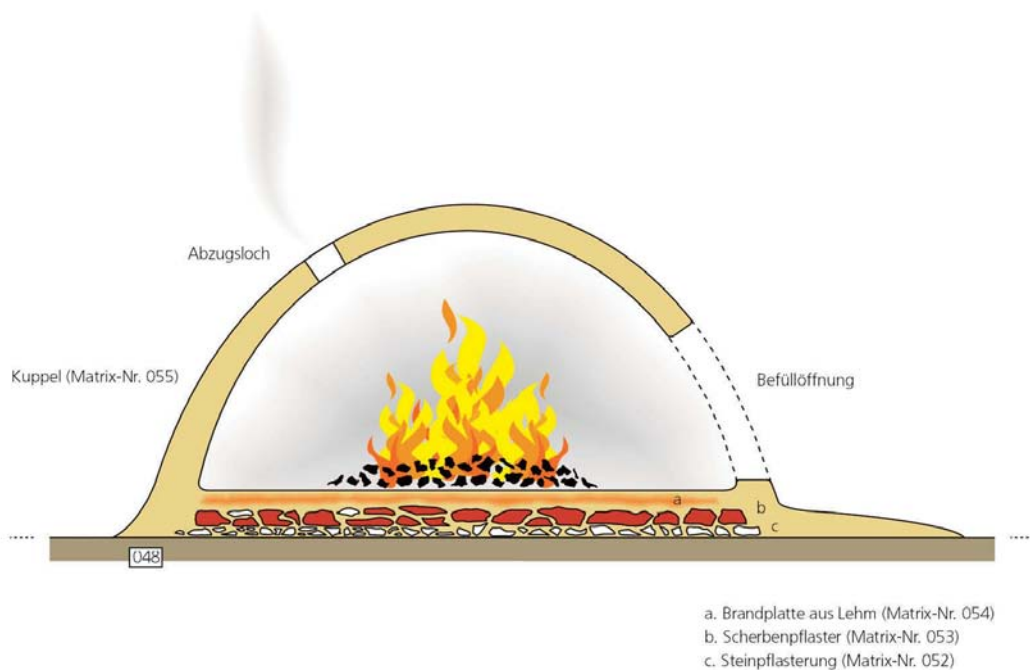


Abb. 53
Quadrate A 5/6,
Troia V_{2a}, Kuppelofen
(Rekonstruktions-
vorschlag).

⁶⁷¹ Pieniżek-Sikora 2001: 44, 47, 51, 55, 59, 63, 65 u. Planum A5/6.2001.6.

⁶⁷² S. hierzu Pieniżek-Sikora 2001: 40, 43, 44, 47, 51, 55 u. Planum A5/6.2001.6.

⁶⁷³ Pieniżek-Sikora 2001: 127, 131 u. Planum A5/6.2001.5.

⁶⁷⁴ Allgemein dazu s. Çakırlar 2007: 96.

⁶⁷⁵ Pieniżek-Sikora 2000: 127, 131, 141.

Abb. 54
 Quadrate A 5/6, Troia
 V_{2b}, Schuttakkumulation
 nördlich von
 Mauer 12 mit darin
 enthaltener menschlischer
 Schädelkalotte
 (Dia Troia 47152).



zungsgrenzen gelegenen Baukörper zuzuweisen (Taf. 92.1), auch werden die zahlreichen ver-
 stürzten Lehmsteine, die mit Matrix-Nummern 068 und 069 zwischen ∇ 28,60 m ü. NN und
 ∇ 29,34 m ü. NN erfaßt werden konnten vielerlei zu diesem gehört haben, als zu Mauer 12 (cf.
 Taf. 90.1).⁶⁷⁶ Als Teil dieser sind hingegen zwei Ablagerungen von Lehmschutt anzusprechen,
 die sich unmittelbar nördlich des Baukörpers in einer Höhe von ∇ 28,64 m ü. NN bis ∇ 29,18 m
 ü. NN mit Matrix-Nummer 059 und 060 fanden (Abb. 54 u. Taf. 92.2).⁶⁷⁷

3.2.3.3 Phase Troia V₃

Ausgangspunkt der Troia V₃-zeitlichen Besiedlung der Quadrate A 5/6 bildete eine umfassend
 angelegte Planierung zwischen ∇ 29,30 m ü. NN und ∇ 28,80 m ü. NN (Matrix-Nr. 070).⁶⁷⁸
 Davon ausgehend wurde im Süden des Areals mit Matrix-Nummer 071 eine rund 0,4 m tiefe
 Grube angelegt (∇ 29,10 m ü. NN bis ∇ 28,70 m ü. NN),⁶⁷⁹ die zunächst mit Matrix-Nummer 072,
 einer lockeren Verfüllung aus gelblichgrauem Lehm mit zahlreichen darin enthaltenen Tierkno-
 chen und Muscheln,⁶⁸⁰ und dann mit Matrix-Nummer 073, einer stark holzkohlehaltigen Mi-
 schung aus dichtem hellgrauem Lehm und Kalksplitt,⁶⁸¹ zugeschüttet wurde. Zeitnah und un-
 mittelbar auf den Resten des zuvor eingeebneten Vorgängerbaus ruhend (cf. Matrix-Nr. 057),

⁶⁷⁶ Dazu s. Pieniążek-Sikora 2001: 27, 29, 36, 40, 44, 47, 51, 55, 59, 63, 65, 67, 83 u. Planum A5/6.2001.5–8.

⁶⁷⁷ Pieniążek-Sikora 2001: 31, 32, 35, 39, 48, 51, 56, 67, 105 u. Plana A5/6.2001.6, 9.

⁶⁷⁸ Pieniążek-Sikora 2000: 125, 127, 141, 153; Pieniążek-Sikora 2001: 24, 27, 31, 35.

⁶⁷⁹ Pieniążek-Sikora 2001: 39, 43 u. Plana A5/6.2001.5, 6.

⁶⁸⁰ Pieniążek-Sikora 2001: 43 u. Plana A5/6.2001.5, 6.

⁶⁸¹ Pieniążek-Sikora 2001: 39 u. Plana A5/6.2001.5, 6.



Abb. 55
 Quadrate A 5/6,
 Troia V₃, Mauer 12
 (Dia Troia 43555).

entstand mit Matrix-Nummer 074 ein neuer Sockel für Mauer 12 aus kleineren bis mittelgroßen Kalksteinen (Abb. 55 u. Taf. 93).⁶⁸² Auf dessen bis zu einem Niveau von maximal \blacktriangledown 29,94 m ü. NN reichender Oberseite lagerte wiederum ein im Durchschnitt 0,42 m breiter, bis zu \blacktriangledown 30,10 m ü. NN erhaltener Oberbau aus ungebrannten Lehmsteinen (Matrix-Nr. 075; cf. Taf. 81.2, 82.1, 83, 86.1 u. 2, 90.1 u. 2, 92.2, 94.1 u. 2, 95.1 u. 2).⁶⁸³ Im Anschluß an die Fertigstellung des Baukörpers wurden sowohl im Norden wie auch im Süden des Areals Fußböden aus kompaktem Stampflehm angelegt (Matrix-Nr. 076 u. Matrix-Nr. 077);⁶⁸⁴ während sich im nördlichen Abschnitt des Geländes keine Hinweise auf ergänzende Baumaßnahmen fanden, erwies sich dagegen der südliche Teilbereich als vergleichsweise dicht mit funktionalen Elementen ausgestattet (Taf. 96): Ein der Südfassade von Mauer 12 unweit vorgelagertes Pfostenloch konnte zwischen $y = 9214,62/y = 9214,96$ und $x = 10703,42/x = 10703,70$ in einer Höhe von \blacktriangledown 29,04 m ü. NN bis \blacktriangledown 28,83 m ü. NN dokumentiert werden, sechs weitere fanden sich in einem Umkreis von $y = 9215,38/y = 9216,64$ und $x = 10700,64/x = 10702,80$ (Taf. 97.1 u. 2).⁶⁸⁵ Bei letztgenannten dürfte es sich um eine nach Südwesten und Südosten hin geöffnete Umfassung

⁶⁸² Cf. Pieniążek-Sikora 2001: 78, 99 u. Plana A5/6.2000.6, A5/6.2001.1–6.

⁶⁸³ Pieniążek-Sikora 2001: 15 u. Plana A5/6.2000.4–6, Plana A5/6.2001.1, 2.

⁶⁸⁴ Pieniążek-Sikora 2000: 125, 127, 141, 153 u. Plana A5/6.2000.12, 14; Pieniążek-Sikora 2001: 24, 27, 31, 35–36 u. Planum A5/6.2001.5.

⁶⁸⁵ Dokumentarisch erfaßt wurden diese mit Matrix-Nummern 080 ($y = 9215,72/y = 9216,08$ und $x = 10700,64/x = 10700,98$ bei Niveau max. \blacktriangledown 28,92 m ü. NN), 082 ($y = 9216,12/y = 9216,42$ und $x = 10700,80/x = 10701,12$ bei Niveau max. \blacktriangledown 28,91 m ü. NN), 084 ($y = 9216,64/y = 9216,92$ und $x = 10701,76/x = 10702,10$ bei Niveau max. \blacktriangledown 28,86 m ü. NN), 086 ($y = 9216,38/y = 9216,72$ und $x = 10702,30/x = 10702,72$ bei Niveau max. \blacktriangledown 29,07 m ü. NN), 088 ($y = 9215,70/y = 9216,08$ und $x = 10702,34/x = 10702,80$ bei Niveau max. \blacktriangledown 29,04 m ü. NN) sowie mit Matrix-Nummer 090 ($y = 9215,38/y = 9215,72$ und $x = 10702,06/x = 10702,50$ bei Niveau max. \blacktriangledown 28,90 m ü. NN). S. hierzu auch Pieniążek-Sikora 2001: 19, 21, 32, 39–40, 43–44, 47, 55 u. Planum A5/6.2001.5.



Abb. 56
Quadrate A 5/6,
Troia V₃, Herdstelle
(Dia Troia 43534).



Abb. 57
Quadrate A 5/6,
Troia V_{4a}, Auffüllschicht
(Dia Troia 43527).

für eine im Zentrum der Pfostenstellung gelegene Herdstelle gehandelt haben. Deren vom mehrmaligen Gebrauch stark gerötete Brandplatte bestand aus einem zweilagigen Scherbenpflaster und war in einer flachen, ausgehend von \blacktriangledown 29,15 m ü. NN knapp 14 cm tiefen Mulde angelegt

(Matrix-Nr. 096; Abb. 56 u. Taf. 98, 99).⁶⁸⁶ In deren Randzone war mit Matrix-Nummer 094 eine kleinere ovale Grube integriert worden, in deren kompakter Verfüllung (Matrix-Nr. 095) sich mit Ausgrabungseinheit A5/6.492.01 ein nahezu vollständig erhaltenes, mit feiner lehmiger Erde angefülltes Gefäß fand (▼ 29,09 m ü. NN bis ▼ 28,95 m ü. NN; cf. Abb. 56).⁶⁸⁷ Ergänzend dazu war bei $y = 9215,40/y = 9216,44$ und $x = 10702,96/x = 10703,90$ eine insgesamt 0,82 m tiefe, im Grundriß nahezu kreisrunde – für die Vorratshaltung wie für die Entsorgung von Abfällen gleichermaßen geeignete – Grube entstanden (Matrix-Nr. 092; Taf. 100.1),⁶⁸⁸ die sich vorwiegend aus verbranntem Lehm und Holzkohle, Knochen, Muscheln und Keramikfragmenten zusammensetzende Verfüllung der Vertiefung wurde zwischen ▼ 28,76 m ü. NN und ▼ 27,94 m ü. NN mit Matrix-Nummer 093 erfaßt (cf. Taf. 76.1 u. 2, 82.2).⁶⁸⁹

3.2.3.4 Phase Troia V_{4a-b}

Wohl im Zuge bauvorbereitender Maßnahmen war ein Teil des südlich von Mauer 12 gelegenen Areals (ca. $y = 9213,78/y = 9216,28$ und $x = 10701,56/x = 10704,48$) zu Beginn von Phase Troia V₄ zunächst mit Matrix-Nummer 097, einer lockeren Schüttmasse aus hellbraunem Lehm (▼ 28,71 m ü. NN bis ▼ 29,04 m ü. NN),⁶⁹⁰ und dann mit Matrix-Nummer 098, einem stark holzkohle- bzw. aschehaltigen Gemenge aus dunkelgrauem Lehm, Kalksteinen, Knochen und teils größeren Keramikfragmenten,⁶⁹¹ aufgeschüttet worden (▼ 28,94 m ü. NN bis ▼ 29,03 m ü. NN; Taf. 100.2 u. 101.1).

Mauer 12 wurde ohne erkennbare strukturelle Modifikation in den neuen Abschnitt der Besiedlung hinein übernommen, der Baugrund nördlich und südlich von dieser wurde dagegen zu Beginn von Subphase Troia V_{4a} mit Matrix-Nummern 099 und 100 zum wiederholten Male eingeebnet.⁶⁹² Davon ausgehend entstand mit Matrix-Nummer 103 ein vergleichsweise flaches, bis maximal 0,42 m breites Streifenfundament für Mauer 13/25 (▼ 29,00 m ü. NN bis ▼ 29,42 m ü. NN; Taf. 101.2 u. 102.1),⁶⁹³ deren parallel zu Mauer 12 orientierter, nur in geringen Resten erhaltener Oberbau aus ungebrannten Lehmsteinen bis zu einer Höhe von ▼ 29,80 m ü. NN nachgewiesen werden konnte (Matrix-Nr. 104; Taf. 102.2 u. 103.1).⁶⁹⁴ Die Fundamentzone von Mauerelement 16 schloß bei $y = 9215,56/x = 10702,08$ und $y = 9216,09/x = 10702,38$ (▼ 29,09 m ü. NN bis ▼ 31,32 m ü. NN) rechtwinklig an diejenige von Mauer 13/25

⁶⁸⁶ Pieniążek-Sikora 2000: 131, 147 u. Planum A5/6.2000.14; Pieniążek-Sikora 2001: 24 u. Plana A5/6.2001.4, 4a.

⁶⁸⁷ Pieniążek-Sikora 2000: 131.

⁶⁸⁸ Pieniążek-Sikora 2001: 48, 51, 59, 63, 65, 73, 77, 84, 87 u. Plana A5/6.2001.6, 10, 12, 14, 15.

⁶⁸⁹ Pieniążek-Sikora 2000: 143, 147, 149; Pieniążek-Sikora 2001: 48, 51, 59, 63, 65, 73, 77, 84, 87 u. Plana A5/6.2001.6, 10, 12, 14, 15.

⁶⁹⁰ S. hierzu Pieniążek-Sikora 2000: 149; Pieniążek-Sikora 2001: 37, 43 u. Plana A5/6.2001.2, 5.

⁶⁹¹ Pieniążek-Sikora 2000: 143, 147; Pieniążek-Sikora 2001: 21, 23, 24, 27, 29, 37, 43 u. Plana A5/6.2001.2, 5.

⁶⁹² Pieniążek-Sikora 2000: 125, 127, 141, 153 u. Plana A5/6.2000.12, 1; Pieniążek-Sikora 2001: 24, 27, 31, 35–36 u. Planum A5/6.2001.5.

⁶⁹³ Pieniążek-Sikora 2001: 32 u. Plana A5/6.2000.2, 3.

⁶⁹⁴ Pieniążek-Sikora 2001: 15 u. Plana A5/6.2000.5a, 5b, 6, 12, 14 sowie A5/6.2001.1, 2.



Abb. 58
 Quadrate A 5/6,
 Troia V_{4a}, Fundament-
 zone und Reste des
 Oberbaus aus unge-
 brannten Lehmsteinen
 (obere Bildmitte;
 Dia Troia 47122).

an und bestand ebenso wie diese aus mehrlagig geschichteten Kalkbruchsteinen und einer Lehm-
 mörtelverfüllung (Matrix-Nr. 105; cf. Taf. 90.2 u. 103.2).⁶⁹⁵ Bei $y = 9214,68/x = 10703,86$ und
 $y = 9215,12/x = 10703,98$ stieß das knapp 2 m lange und bis zu 0,56 m breite, ebenfalls mit einem
 Lehmsteinoberbau (Matrix-Nr. 106; Abb. 57 unten links, 58)⁶⁹⁶ ausgestattete Bausegment zudem
 an Mauer 12, so daß sich durch das spezifische räumliche Verhältnis der einzelnen Konstrukti-
 onselemente zueinander eine Aufteilung der zwischen den Mauern 12 und 13/25 gelegenen
 Fläche ergab (Taf. 104). Matrix-Nummer 102 bezeichnet eine von Nordosten nach Südwesten
 orientierte, ca. 0,48 m breite bankähnliche Rauminstallation, die im Bereich von $y = 9215,66/$
 $x = 10701,50$ und $y = 9215,84/x = 10701,76$ rechtwinklig an die Südfassade von Mauer 13/25
 anschloß. Die zwischen $\nabla 29,00$ m ü. NN bis $\nabla 29,36$ m ü. NN im Durchschnitt 0,32 m hohe
 Struktur aus ungebrannten Lehmsteinen gründete unmittelbar auf der als Begehungshorizont
 genutzten Planierung (cf. Matrix-Nr. 099) und war sowohl im Bereich seiner Nordost- und Süd-
 westfassade wie auch an der Oberfläche deckend mit einem teils mehrschichtigen Kalkmörtel-
 putz versehen (Taf. 105.1, 2). Zwischen ca. $y = 9216,58/y = 9216,60$ und $x = 10701,78/$
 $x = 10702,14$ ($\nabla 29,04$ m ü. NN bis $\nabla 29,18$ m ü. NN) entstand im weiteren Verlauf der Sub-
 phase Troia V_{4a} zudem eine kleinere, leicht grubenförmig angelegte Feuer- bzw. Herdstelle (Ma-
 trix-Nr. 101), in deren Zentrum sich mehrere, wenn auch unverbrannte Knochen und Ge-
 fäßfragmente fanden (Taf. 106.1, 2 u. 107), darunter mit Ausgrabungseinheiten A5/6.542.01 und

⁶⁹⁵ Pieniążek-Sikora 2001: 24 u. Planum A5/6.2001.3.

⁶⁹⁶ Pieniążek-Sikora 2001: 15 u. Plana A5/6.2000.5a, 5b, 6, 12, 14 sowie A5/6.2001.1, 2.

A5/6.542.02 zwei größere Bruchstücke sogenannter *Red cross bowls*.⁶⁹⁷ Um mit Siedlungsabfällen vermischten Schutt dürfte es sich bei einer äußerst heterogenen, östlich von Mauer 16 mit Matrix-Nummer 107 dokumentierten Akkumulation gehandelt haben (▼ 29,19 m ü. NN bis ▼ 29,38 m ü. NN; Taf. 108.1).⁶⁹⁸ Ähnlich wie die – sowohl strukturell wie auch stratigraphisch – dazu korrespondierende Ablagerung westlich von Mauer 16 (Matrix-Nr. 108), setzte sich diese in erster Linie aus hellbraunem, teils aschehaltigem Lehm zusammen und enthielt größere Mengen an Knochen und Fragmenten keramischer Gefäße (Taf. 108.2);⁶⁹⁹ eine dem in jeder Beziehung vergleichbare Schicht fand sich mit Matrix-Nummer 109 zudem im gesamten Bereich nördlich von Mauer 12, zwischen ▼ 28,88 m ü. NN bis ▼ 29,24 m ü. NN.⁷⁰⁰

Subphase Troia V_{4b} begann mit einer umfassenden Planierung der Raumzonen westlich und östlich von Mauer 16 (Matrix-Nr. 110 u. 111),⁷⁰¹ ebenso wurde der gesamte Bereich nördlich von Mauer 12 eingeebnet (Matrix-Nr. 112).⁷⁰² Unmittelbar darüber entstanden mit Matrix-Nummern 113, 114 (▼ 29,60 m ü. NN bis ▼ 29,34 m ü. NN)⁷⁰³ und 115 (▼ 28,94 m ü. NN bis ▼ 29,28 m ü. NN)⁷⁰⁴ neue Fußböden aus bis zu 4 cm stark aufgetragenem, sorgfältig verdichtetem Lehm (Taf. 109). Eine ausgehend von ▼ 28,96 m ü. NN bis ▼ 29,34 m ü. NN maximal 0,26 m mächtige Akkumulation aus lockerem, gelblichgrauem Lehm mit zahlreichen Einschlüssen von Gefäßfragmenten und Tierknochen – wohl eine aus Bauschutt und vermischten Siedlungsabfällen bestehende Anschüttung – überdeckte nördlich von Mauer 12 den gesamten Begehungshorizont (Matrix-Nr. 117),⁷⁰⁵ im Osten von Mauer 16 fand sich mit Matrix-Nummer 116 eine Ablagerung identischer Zusammensetzung (▼ 29,22 m ü. NN bis ▼ 29,64 m ü. NN).⁷⁰⁶

3.2.3.5 Phase Troia V_{5a-b}

Einem fünften Abschnitt der Troia V-zeitlichen Besiedlung – und dort der Subphase Troia V_{5a} – ist mit Matrix-Nummern 118 bis 121 die Errichtung eines neuen Baukörpers, Mauer 26, im Norden des untersuchten Areals zuzuweisen. Matrix-Nummer 118 kennzeichnet dabei die knapp 1,3 m breite, bis zu einem Niveau von ▼ 29,06 m ü. NN in das darunterliegende Stratum eingetieft Baugrube (cf. Matrix-Nr. 117).⁷⁰⁷ Für das bei $y = 9214,00/x = 10703,84$ und $y = 9215,04/x = 10704,44$ im Winkel von 90° an Mauer 12 anbindende Streifenfundament aus verhältnismäßig großen Kalkbruchsteinen steht Matrix-Nummer 119 (▼ 29,08 m ü. NN bis

⁶⁹⁷ Pieniążek-Sikora 2000: 151 u. Planum A5/6.2000.12; Pieniążek-Sikora 2001: 56.

⁶⁹⁸ Dazu s. Pieniążek-Sikora 2000: 123, 125.

⁶⁹⁹ Pieniążek-Sikora 2001: 7, 10.

⁷⁰⁰ Pieniążek-Sikora 2001: 35, 39, 44, 47, 51, 105.

⁷⁰¹ Pieniążek-Sikora 2000: 81, 85, 123, 125, 127 u. Planum A5/6.2000.6 sowie A5/6.2001.2.

⁷⁰² Allgemein dazu s. Pieniążek-Sikora 2001: 31, 35, 39, 44, 47, 105.

⁷⁰³ Pieniążek-Sikora 2000: 85, 123, 125, 127 u. Planum A5/6.2000.6.

⁷⁰⁴ Pieniążek-Sikora 2001: 27, 31, 35, 39, 44, 47, 105 u. Planum A5/6.2001.4.

⁷⁰⁵ S. hierzu Pieniążek-Sikora 2001: 5, 9, 13, 17, 19, 27, 29, 31, 105.

⁷⁰⁶ Pieniążek-Sikora 2000: 77, 79, 81, 85.

⁷⁰⁷ Pieniążek-Sikora 2001: 5, 9, 19, 29.

▼ 29,38 m ü. NN), für das darüber aufgehende, bis zu einer absoluten Höhen von maximal ▼ 29,36 m ü. NN erhaltene Steinmauerwerk selbst, Matrix-Nummer 120 (Taf. 110.1, 2).⁷⁰⁸ Zeitnah zur Verfüllung der Fundamentgrube von Mauer 26 (Matrix-Nr. 121)⁷⁰⁹ dürfte die Entstehungen einer auffallend stark molluskenhaltigen Akkumulation zwischen ▼ 29,56 m ü. NN und ▼ 29,72 m ü. NN anzusetzen sein (Matrix-Nr. 122), mit deren Hilfe der unebene Baugrund östlich von Mauer 16 vor Anlage eines neuen Begehungshorizonts abgeglichen wurde (Taf. 111).⁷¹⁰ Im Anschluß daran wurde die dadurch geschaffene Oberfläche zunächst sorgfältig eingeebnet (Matrix-Nr. 123) und schließlich mit einer im Durchschnitt 4 cm starken Schicht aus dunkelgrauem Lehm überdeckt (Matrix-Nummer 125);⁷¹¹ der dazu korrespondierende Fußboden nördlich von Mauer 12 wurde mit Matrix-Nummern 124 und 126 aus grundsätzlich vergleichbarem Material angelegt (▼ 29,22 m ü. NN bis ▼ 29,60 m ü. NN).⁷¹² Im weiteren Verlauf von Subphase Troia V_{5a} lagerte sich südlich von Mauer 12, in einem Bereich von ca. $y = 9216,08/y = 9217,10$ und $x = 10703,04/x = 10704,70$ zunächst eine holzkohle- und aschehaltige, mit Matrix-Nummer 127 erfaßte Abfallschicht ab (▼ 29,66 m ü. NN bis ▼ 29,82 m ü. NN; Taf. 112.1), welche ihrerseits wiederum von einer flächendeckenden, aus gelblichbraunem Lehm mit Kohle- und Keramikeinschlüssen bestehenden Akkumulation überdeckt wurde (Matrix-Nr. 128; ▼ 29,66 m ü. NN bis ▼ 29,86 m ü. NN).⁷¹³ In gleicher Weise um mit Bauschutt vermengte Siedlungsabfälle dürfte es sich bei einer mit Matrix-Nummer 129 nördlich von Mauer 12 und östlich von Mauer 26 erfaßten Ablagerung gehandelt haben, die zwischen $y = 9214,70/y = 9215,44$ und $x = 10704,44/x = 10705,04$ den dortigen Fußboden in Teilen überlagerte (▼ 29,66 m ü. NN bis ▼ 29,86 m ü. NN).⁷¹⁴

Zu den baulichen Unternehmungen der Subphase Troia V_{5b} zählte zunächst eine weitere Planung im Norden der Quadrate A 5/6 (Matrix-Nr. 130),⁷¹⁵ die ihrerseits als Ausgangsbasis für einen neuen Begehungshorizonts aus schwarzgrauem, vergleichsweise kompaktem Lehm zwischen ▼ 29,32 m ü. NN und ▼ 29,35 m ü. NN diente (Matrix-Nr. 131);⁷¹⁶ auf diesem lagen bis zu einer maximalen Stärke von 8 cm deponierte Überreste der Siedlungsaktivitäten, darunter in erster Linie Bruchstücke keramischer Gefäße, Knochen und Muscheln; diese wurden mit Matrix-Nummer 132 erfaßt.⁷¹⁷

⁷⁰⁸ In diesem Zusammenhang s. insbesondere Pieniążek-Sikora 2001: 5, 9, 19.

⁷⁰⁹ Pieniążek-Sikora 2001: 5, 9, 19, 29.

⁷¹⁰ Dazu s. Pieniążek-Sikora 2001: 2000: 59, 67, 77, 79, 81.

⁷¹¹ Pieniążek-Sikora 2000: 59, 65 u. Planum A5/6.2000.5a.

⁷¹² Pieniążek-Sikora 2001: 5, 9, 15, 21, 29, 40, 105 u. Planum A5/6.2000.5.

⁷¹³ Pieniążek-Sikora 2000: 59, 65.

⁷¹⁴ S. hierzu Pieniążek-Sikora 2001: 9, 40.

⁷¹⁵ Pieniążek-Sikora 2001: 40.

⁷¹⁶ Cf. Pieniążek-Sikora 2001: 9 u. Planum A5/6.2001.2.

⁷¹⁷ Pieniążek-Sikora 2001: 9.

3.2.3.6 Phase Troia V₆

Eine ausschließlich im Norden von Mauer 12, in einem Bereich von $y = 9214,30/y = 9215,36$ und $x = 10704,44/x = 10705,04$ (▼ 29,38 m ü. NN bis ▼ 29,42 m ü. NN) mit Matrix-Nummer 133 dokumentierte Planierung bildete in stratigraphischer Hinsicht den Ausgangspunkt der Troia V₆-zeitlichen Besiedlung der Quadrate A 5/6.⁷¹⁸ Im Anschluß an deren Fertigstellung wurde die knapp 0,65 m breite Baugrube von Mauer 24 in diese leicht eingetieft (Matrix-Nr. 134), in der man dann wiederum mit Matrix-Nummer 135 ein verhältnismäßig flaches, nur bis zu zwei Lagen hoch geschichtetes Streifenfundament aus mittelgroßen Kalksteinen anlegte (▼ 29,40 m ü. NN bis ▼ 29,41 m ü. NN); vom darauf unmittelbar aufbauenden Mauerkörper selbst hatten sich bis zu einem Niveau von maximal ▼ 29,52 m ü. NN nur einzelne Steine erhalten (Matrix-Nr. 136; Taf. 112.2). Auf die Verfüllung der Fundamentgrube mit graubrauner Erde (Matrix-Nr. 137)⁷¹⁹ folgte mit Matrix-Nummer 140 die Anlage eines Fußbodens aus dunkelgrauem, holzkohlehaltigen Lehm im schmalen Bereich zwischen den Mauern 18 und 24 (▼ 29,40 m ü. NN bis ▼ 29,44 m ü. NN),⁷²⁰ während im Osten des Areals der bereits in vorhergehenden Phase entstandene Begehungshorizont weiterhin in Benutzung gewesen zu sein scheint (cf. Matrix-Nr. 126; Taf. 113).

Auch den Baugrund östlich von Mauer 16 hatte man mit Matrix-Nummer 138 zunächst vollständig eingeebnet (▼ 29,70 m ü. NN bis ▼ 29,86 m ü. NN), bevor hier – mit Matrix-Nummer 139 – ein knapp 4 cm starker Raumboden aus mit Kalk und zahlreichen kleineren Kieselsteinen durchmischem Lehm angelegt wurde (Taf. 114.1).⁷²¹ Auf diesem lagerten bis zu einer Stärke von maximal 0,1 m Siedlungsabfälle, die sich neben Tierknochen und Muscheln im wesentlichen aus kleinteiligen Gefäßfragmenten zusammensetzten (Matrix-Nr. 141).⁷²² Eine vergleichbare, wenn auch mit 0,26 m Stärke deutlich mächtigere Deposition überdeckte ebenfalls im Westen von Mauer 16 die gesamte, zwischen $y = 9213,50/y = 9215,46$ und $x = 10701,60/x = 10703,76$ untersuchte Raumzone (Matrix-Nr. 142; Taf. 114.2).⁷²³

Der Zerstörung der Mauern 13/25 (Matrix-Nr. 143),⁷²⁴ 16 (Matrix-Nr. 144),⁷²⁵ 24 (Matrix-Nr. 146)⁷²⁶ und 26 (Matrix-Nr. 145)⁷²⁷ gegen Ende der Besiedlungsphase lag eine tiefgreifende Umstrukturierung des Geländes zugrunde, in deren Rahmen ein wesentlicher Teil der vorhandenen architektonischen Substanz beseitigt und eingeebnet wurde; einzig Mauer 12 scheint von diesem einschneidenden Ereignis im großen und ganzen ausgenommen gewesen zu sein. Im Zuge der Destruktion lagerten sich mit Matrix-Nummer 147 zunächst zahlreiche, mit Sicherheit vom Oberbau von Mauer 13/25 stammende und in südlicher Richtung verkippte Lehmsteine in

⁷¹⁸ Pieniążek-Sikora 2001: 9, 40.

⁷¹⁹ Pieniążek-Sikora 2001: 7 u. Planum A5/6.2001.1.

⁷²⁰ Cf. Pieniążek-Sikora 2001: 40.

⁷²¹ Pieniążek-Sikora 2000: 57 u. Planum A5/6.2000.4.

⁷²² S. in diesem Zusammenhang Pieniążek-Sikora 2000: 57.

⁷²³ Pieniążek-Sikora 2000: 85.

⁷²⁴ Erhaltene Oberkante maximal: ▼ 29,29 m ü. NN bis ▼ 29,80 m ü. NN.

⁷²⁵ Erhaltene Oberkante maximal: ▼ 29,40 m ü. NN bis ▼ 29,56 m ü. NN.

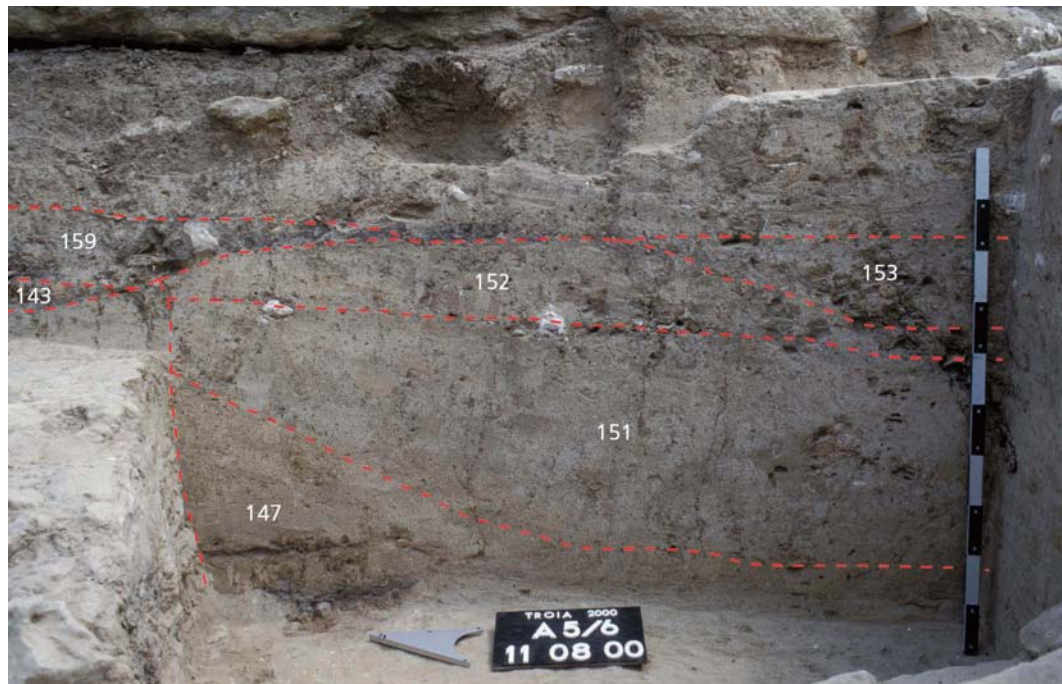


Abb. 59
 Quadrate A 5/6,
 Troia V₆, Schichten-
 abfolges üdöstlich
 von Mauer 13/25
 (Dia Troia 43546).

einem Bereich von $y = 9215,85/y = 9216,90$ und $x = 10700,58/x = 10702,30$ ab. Diese bedeckten zwischen $\blacktriangledown 29,16$ m ü. NN bis $\blacktriangledown 29,62$ m ü. NN einen Teil des dortigen Raumbodens und zogen bis dicht an den Mauerkörper selbst heran.⁷²⁸ Unmittelbar darüber bis zu einem Niveau von maximal $\blacktriangledown 29,88$ m ü. NN fand sich mit Matrix-Nummer 151 weiterer, wohl in der Hauptsache von demselben Bauelement stammender Schutt; alle bis dahin noch offenstehenden Raumzonen und -einrichtungen südlich von Mauer 12 wurden von diesem flächig überdeckt, darunter auch die zuvor mit Matrix-Nummer 102 erfaßte bankähnliche Installation (Abb. 59 u. Taf. 115.1).⁷²⁹ Im weiteren Verlauf des Ablagerungsprozesses entstand über dieser zwischen $\blacktriangledown 29,64$ m ü. NN bis maximal $\blacktriangledown 29,78$ m ü. NN eine Lehmschuttschicht (Matrix-Nr. 152),⁷³⁰ die ihrerseits wiederum von einem bis zu 0,22 m starken Stratum aus graubraunen, asche- und holzkohlehaltigen Erdmaterial zumindest in Teilen überdeckt wurde (Matrix-Nr. 153; Abb. 59 u. Taf. 115.2).⁷³¹ Eine vergleichbare, wenn auch mit einer maximalen Stärke von 0,25 m wesentlich schmalere Akkumulation konnte mit Matrix-Nummer 148 zudem westlich von Mauer 16 bei $y = 9213,75/y = 9215,75$ und $x = 10701,20/x = 10702,30$ dokumentiert werden ($\blacktriangledown 29,17$ m ü. NN bis $\blacktriangledown 29,31$ m ü. NN).⁷³² Die nördlich von Mauer 12 mit Matrix-Nummern 149 und 150 bis zu einer

⁷²⁶ Erhaltene Oberkante maximal: $\blacktriangledown 29,47$ m ü. NN bis $\blacktriangledown 29,88$ m ü. NN.

⁷²⁷ Erhaltene Oberkante maximal: $\blacktriangledown 29,50$ m ü. NN bis $\blacktriangledown 29,59$ m ü. NN.

⁷²⁸ Pieniżek-Sikora 2000: 125, 127 u. Planum A5/6.2000.6.

⁷²⁹ Ausführlich dazu s. Pieniżek-Sikora 2000: 51, 57, 59 u. Planum A5/6.2000.4, 5a; Pieniżek-Sikora 2001: 15, 17.

⁷³⁰ Pieniżek-Sikora 2000: 43, 59 u. Planum A5/6.2000.4.

⁷³¹ S. hierzu Pieniżek-Sikora 2000: 43, 59.

⁷³² Pieniżek-Sikora 2000: 85–86 u. Planum A5/6.2000.6.

Höhe von $\nabla 29,78$ m ü. NN festgestellten, aus Lehm und wenigen Kalkbruchsteinen bestehenden Schuttmassen sind in ihrer Entstehung auf die Zerstörung der Mauern 24 und 26 zurückzuführen (cf. Taf. 116).⁷³³

3.2.3.7 Phase Troia V₇

Eine abermalige Planierung der Geländeoberfläche südlich von Mauer 12 (Matrix-Nr. 154) leitete den Beginn von Phase Troia V₇ ein, des letzten Abschnitts der Troia V-zeitlichen Besiedlungsaktivitäten innerhalb der Quadrate A 5/6 (Taf. 116).⁷³⁴ Ausgehend von einem Niveau von $\nabla 29,71$ m ü. NN bis $\nabla 29,76$ m ü. NN bildete diese in einem Teilbereich von ca. $y = 9213,10/y = 9217,08$ und $x = 10701,36/x = 10704,93$ Ausgangspunkt für die Anlage eines neuen, im Durchschnitt 4 cm starken Begehungshorizonts aus kalkhaltigem, hellgrauem Lehm (Matrix-Nr. 155; cf. Taf. 115.2). Eine nahezu kreisrunde, mit Matrix-Nummer 156 erfaßte Feuerstelle lag zwischen $y = 9215,68/y = 9216,74$ und $x = 10702,56/x = 10703,40$ unmittelbar auf diesem ($\nabla 29,70$ m ü. NN bis $\nabla 29,73$ m ü. NN), ebenso wie eine in Höhe von $\nabla 29,70$ m ü. NN bis $\nabla 29,73$ m ü. NN dokumentierte, räumlich klar umrissene Ascheakkumulation bei $y = 9216,64/y = 9217,05$ und $x = 10704,08/x = 10704,71$ (Matrix-Nr. 157; cf. Taf. 115.2 u. Taf. 117.1).⁷³⁵ Aus der Zerstörung von Mauer 12 gegen Ende von Troia V₇ (Matrix-Nr. 158)⁷³⁶ resultierte schließlich die Entstehung einer zwischen $\nabla 29,70$ m ü. NN und $\nabla 29,98$ m ü. NN erfaßten Anhäufung von Schuttmassen südlich des Baukörpers (Matrix-Nr. 159),⁷³⁷ in gleicher Weise ging die Ablagerung von Matrix-Nummer 160, einer ausgehend von $\nabla 29,47$ m ü. NN bis zu 0,38 m starken, aus gelblichgrauem Lehm bestehender Akkumulation – wohl den Resten verkippter und dann im Laufe der Zeit allmählich vergangener Lehmsteine – im Norden von Mauer 12, unmittelbar auf dieses Ereignis zurück.⁷³⁸

Alle weiteren innerhalb der Arealgrenzen von A 5/6 dokumentierten stratigraphischen Einheiten sind jüngeren Datums, d. h. sie stammen aus der Zeit von Troia VI und später (Taf. 117.2).⁷³⁹

⁷³³ Pieniążek-Sikora 2001: 3, 5, 7, 19, 40, 105.

⁷³⁴ Dazu s. Pieniążek-Sikora 2000: 51, 55, 57 u. Planum A5/6.2000.4.

⁷³⁵ Pieniążek-Sikora 2000: 51, 55 u. Planum A5/6.2000.4.

⁷³⁶ Erhaltene Oberkante maximal: $\nabla 29,71$ m ü. NN bis $\nabla 30,10$ m ü. NN.

⁷³⁷ Pieniążek-Sikora 2000: 43, 47, 51.

⁷³⁸ S. in diesem Zusammenhang Pieniążek-Sikora 2000: 51, 59, 73, 81, 85; Pieniążek-Sikora 2001: 3, 105.

⁷³⁹ Auf eine differenzierte Betrachtung der diesbezüglich relevanten – in Katalog Teil A 1 »Stratigraphische Einheiten« unter Matrix-Nummer 999 subsummierten – Befundkontexte soll im Rahmen vorliegender Arbeit daher verzichtet werden.



A series of horizontal lines for writing, with a small grey brushstroke icon at the end of each line, indicating a space for notes or descriptions.

4.1 Methoden der Datenaufnahme und Auswertung

Das keramische Material der in den Jahren 2000 und 2001 untersuchten Quadrate A 5/6 wurde ausgrabungsbegleitend, entsprechend dem in Troia seit Wiederaufnahme der Grabungen durch Manfred O. Korfmann für die Aufnahme der betreffenden Fundgattung zugrundegelegten System erfaßt. Insgesamt konnten 5640 Stücke Troia IV- und Troia V-zeitlichen Fundkontexten zugeordnet werden, von denen 998, also knapp 17,7 % des Gesamtaufkommens aufgrund besonderer formaler und/oder herstellungstechnischer Merkmale als diagnostisch eingestuft wurden. Berücksichtigt wurden hierbei neben Rand- und Bodenstücken grundsätzlich alle Fragmente mit Henkeln und anderen plastischen Applikationen sowie solche mit besonders markanten Bearbeitungsspuren, Markierungen oder Dekorationen. Die für Waren und Formen relevanten Parameter wurden in einem standardisierten Formblatt erfaßt, das wiederum Grundlage für die Aufnahme der zur Verfügung stehenden Informationen in einer zu Zwecken der statistischen und multivariaten Analyse des Fundmaterials geführten Datenbank (FileMaker Pro, Microsoft Access) bildet (Taf. 118).⁷⁴⁰ Wandscherben, die keinem teil- oder vollrestaurierbaren Gefäß zugewiesen werden konnten, wurden ausschließlich quantitativ, unter Angabe der jeweiligen Ware erfaßt, diagnostische Stücke dahingegen im Detail (*cf.* Katalog Teil B). Ergänzend dazu wurde der für eine Beurteilung der qualitativen Zusammensetzung von Fundvergesellschaftungen relevante Grad der Zerschabung – vom äußeren »Gesamteindruck« des zur Diskussion stehenden Komplexes ausgehend – anhand von insgesamt sieben, ihrer spezifischen Flächenausdehnung nach unterschiedenen Größenklassen charakterisiert (Taf. 119); aus entsprechenden Gesichtspunkten heraus wurden zudem Auffälligkeiten hinsichtlich des allgemeinen Erhaltungszustands der in den jeweiligen Fundeinheiten enthaltenen Einzelstücke festgehalten, wie z. B. die nachträgliche Ablagerung von Fremdsubstanzen an der Fragmentoberfläche, sekundärer Brand oder Abrasionserscheinungen (Taf. 120).⁷⁴¹

4.2 Klassifikation der Keramik nach Waren

4.2.1 Kriterien der Beschreibung

Den auf Grundlage des keramischen Fundmaterials der Planquadrate A 5/6 für die Zeit von Troia IV₁₋₂ und Troia V₁₋₇ definierten »Waren«⁷⁴² liegt jeweils eine konstante Kombination bestimmter diagnostischer Merkmale zugrunde,⁷⁴³ wobei die Charakterisierung der einzelnen Wa-

⁷⁴⁰ *Cf.* Postgate 2007a: 237–239 u. Fig. 362–364; Horejs 2007: 19–22.

⁷⁴¹ S. hierzu Kapitel 6.2.1 »Kriterien der Identifikation von Fundvergesellschaftungen«.

⁷⁴² *Cf.* Rice 1987: 286–287.

⁷⁴³ Entsprechend Rouse 1960: 313–317; Rouse 1972: 48, 300; Eggert 2008: 131–140; Lambert 1998: 161–162. Ergänzend dazu s. Adams/Adams 1991: 169–193, 226.

renklassen primär über Tonqualität und Magerungsbestandteile vorgenommen wurde, sekundär anhand der Oberflächenbehandlung, Herstellungstechnik, Materialhärte und Festigkeit, der Struktur, Porosität und Gefüge des Bruchs sowie der Farbe.⁷⁴⁴ Über die Aufnahme eines Gefäßes bzw. eines Gefäßfragments in eine bestimmte Warenklasse entschied – im Sinne einer monothetischen Klassifikation – das Vorhandensein aller der für diese Gattung festgelegten *Significata*.

4.2.1.1 Tonqualität und Bestandteile der Magerung

Unter den verschiedenen festgestellten Magerungskomponenten überwiegen mineralische mit großem Abstand, Schamotte und organische Zuschlagstoffe sind dagegen nur selten und in vergleichsweise geringen Mengen nachzuweisen. Zur Herabsetzung des bindefähigen Anteils der zur Gefäßherstellung verwendeten Tone war in erster Linie Steingrus eingesetzt worden, d. h. zu verhältnismäßig kleinen, überwiegend scharfkantigen Fragmenten zerriebenes oder zerstoßenes Gesteinsmaterial, meist Quarz, Kalk, Alkalifeldspat, Quarzit und Glimmerschiefer.⁷⁴⁵ Sand, in erster Linie an den gerundeten Kanten der Einzelpartikel zu erkennen, ist dagegen nur in wenigen Fällen in Form von Quarzsand positiv zu identifizieren. Hinsichtlich der Größe der mineralischen Magerungsbestandteile wurden vier Größenklassen unterschieden: »Sehr fein« bezeichnet alle Magerungspartikel, die kaum noch visuell wahrnehmbar sind, »fein« diejenigen Bestandteile der Magerung unter 1 mm; in die Kategorie »mittelfein« fallen mineralische Partikel zwischen 1 und 2 mm, als »grob« werden dagegen Zuschlagstoffe verstanden, deren Größe 2 mm überschreitet.⁷⁴⁶ In Bezug auf die Quantität der jeweils enthaltenen Magerungskomponenten wurden drei, gemäß dem spezifischen Anteil der dem Ton zugesetzten Additive unterschiedenen Klassen festgelegt: »Wenig« kennzeichnet dabei einen Anteil von bis zu 5 % Magerungspartikel, »mäßig viel« einen Anteil von bis zu 10 %, »viel« steht für einen Anteil von 20 % und darüber (Taf. 121).⁷⁴⁷

Vegetabile Zuschlagstoffe kamen während des hier zur Diskussion stehenden Zeitraums vergleichsweise selten zum Einsatz. Bei den im folgenden als »fein« bezeichneten organischen Magerungsbestandteilen überschreiten die einzelnen Partikel nur in Ausnahmefällen eine Größe von 2 mm, während bei der »groben« Variante nicht selten Längen von bis zu 1 cm erreicht werden.⁷⁴⁸ In aller Regel sind die dem Rohton zugesetzten Stoffe in der Keramik oder an der Oberfläche des betreffenden Gefäßes verbrannt und hinterließen dort mehr oder weniger charakteristische Poren bzw. im Negativ erhaltene Abdrücke.⁷⁴⁹

⁷⁴⁴ S. hierzu auch Seeher 1987: 3–7; Efe 1988: 7–11; Kull 1988: 101–104, 126–130; Di Nocera 1998: 75–77; Kaschau 1999: 92–93; Genz 2002: 29; Knappett/Kilikoglu 2007: 241–272; Knappett 2007: 273–293. Vgl. Rutter 1995: 11–13.

⁷⁴⁵ Ergänzend dazu s. etwa Knacke-Loy 1994: 67–71 u. Anhang 5; Knacke-Loy *et al.* 1995: 154–162.

⁷⁴⁶ Vgl. Schneider *et al.* 1989: 25.

⁷⁴⁷ Cf. Orton *et al.* 1993: 240; Gibson/Woods 1997: 272 u. Fig. 229, 230; Deal 1998: 47.

⁷⁴⁸ Vgl. Knacke-Loy 1994: 56. Cf. Seeher 1987: 6–7; Di Nocera 1998: 76; Kaschau 1999: 95.

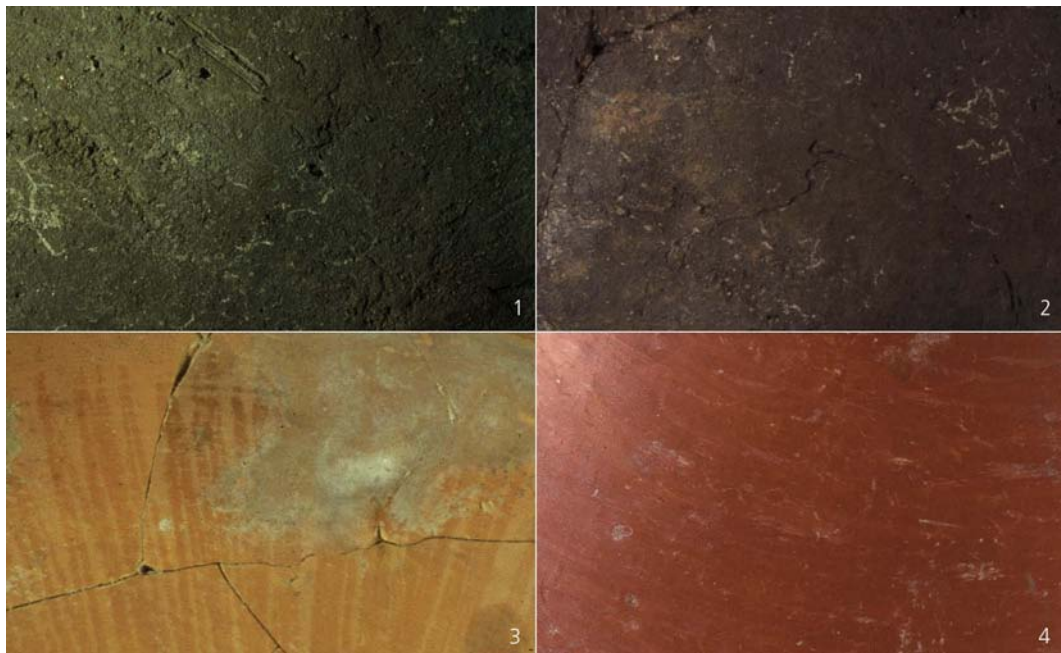
⁷⁴⁹ Ergänzend dazu s. Johnson *et al.* 1988: 404–406, 408–412.

4.2.1.2 Oberflächenbehandlung

Je nach Art und Ausführung der Behandlung der äußeren und/oder inneren Oberfläche von Gefäßen verteilt sich das im Bereich der Quadrate A 5/6 aufgenommene keramische Fundmaterial auf zwei übergeordnete Klassen mit verschiedenen, diesen entsprechend nachgestellten Ausprägungen: 1. Gefäße mit Überzug und 2. Gefäße ohne einen solchen. Zu letztgenannter Kategorie zählen zunächst alle Gefäße, deren Oberfläche nicht, grob oder nur wenig verstrichen wurde. Als geglättet werden diejenigen eingestuft, deren Oberfläche deutlich erkennbare Spuren einer Überarbeitung aufweisen (Abb. 60.1–2).⁷⁵⁰ Im Falle einer Politur ist die Gefäßoberfläche so weit verdichtet und geglättet, daß sie reflektierend erscheint, selbst wenn an dieser noch schwache, von der Bearbeitung herrührende Streifen sichtbar sein sollten (Abb. 60.1–2).⁷⁵¹

Partiell oder vollständig auf die Außen- und/oder Innenseite keramischer Gefäße aufgetragene Überzüge treten während der Zeit von Troia IV_{1–2} und Troia V_{1–7} in zweierlei Form in Erscheinung, entweder als pastose Engobe oder als dünner, transparenter »wash«.⁷⁵² Beide Arten der Oberflächengestaltung liegen sowohl in geglätteter wie auch in polierter Ausführung vor.

Abb. 60
Oberflächen-
behandlung: Beispiele
für die Kategorien
»geglättet« (1, 2)
sowie »poliert« (3, 4).



⁷⁵⁰ Schneider *et al.* 1989: 13; Kull 1988: 122.

⁷⁵¹ Zum Herstellungsprozeß allgemein s. Rice 1987: 136–138; Arnold 1985: 37, 51, 54–55; Arnold 1991: 40–44; Sinopoli 1991: 9–42; Orton *et al.* 1993: 85, 126; Gibson/Woods 1997: 44–47; Kramer 1997: 68–71; Skibo/Blinman 1999: 178–179, 188. Cf. Seeher 1987: 3–4; Kull 1988: 119–123; Rutter 1995: 55–58.

⁷⁵² Cf. Arnold 1985: 140; Rice 1987: 149–151, 231–232, 369; Seeher 1987: 4–5; Efe 1988: 11; Kull 1988: 123–124; Orton *et al.* 1993: 70, 221.

4.2.1.3 Herstellungstechnik

Hinsichtlich der Produktionsweise lassen sich in Aufbautechnik entstandene Gefäße von solchen abgrenzen, deren Formgebung auf einer drehbaren Unterlage, wie der schnellaufenden Töpferscheibe, erfolgte.⁷⁵³ Bei einem Teil des untersuchten Materials, insbesondere bei Gefäßen mit Polituren und deckenden Überzügen, ist eine Unterscheidung diesbezüglich indes nur unter Vorbehalten zu treffen, da bei nicht wenigen der betreffenden Stücke zunächst an der Oberfläche vorhandene Spuren der Herstellung, wie z. B. Drehrillen, im Rahmen des weiterführenden Überarbeitungsprozesses soweit überglättet wurden, daß sie völlig verschwanden.

4.2.1.4 Härte und Festigkeit

Den hinsichtlich der Härte und Festigkeit für einen repräsentativen Teil der in den einzelnen Warengruppen enthaltenen Stücke ermittelten Werten liegt maßgeblich die Härteskala von Mohs zugrunde. Die Meßwerte decken insgesamt ein Spektrum von 2,5 bis maximal 5,5 auf dieser ab, wobei im folgenden unter »mäßig hart« alle Werte bis 2,5 verstanden werden, als »hart« solche bis 3,5; Härtewerte über 4,5 kennzeichnen Keramik, die »sehr hart« bis »klingend hart« gebrannt ist.⁷⁵⁴

4.2.1.5 Struktur des Bruchs, Porosität und Gefüge

Je nach formaler Ausprägung des frischen Bruchs können Scherben mit »glatter«, »schiefriger/splittiger«, »körniger«, »geklüfteter« oder »geschichteter« Struktur voneinander unterschieden werden. Die Charakterisierung der Porosität wurde anhand der Kategorien »porös« und »dicht« vorgenommen, wobei die Grenze zwischen »feinporiger« und »grobporiger« Keramik bei 0,2 mm mittlerem Porendurchmesser festgelegt wurde.⁷⁵⁵ Hinsichtlich der je spezifischen Verteilung von makroskopisch sichtbaren Magerungsbestandteilen, Poren und Inhomogenitäten, d. h. des Gefüges des Scherben, erwies sich das untersuchte Material entweder als »gleichmäßig« oder »ungleichmäßig«, konnte jedoch ebenso über eine »gerichtete Struktur« verfügen.

⁷⁵³ Allgemein dazu s. Kull 1988: 104–107; Schneider *et al.* 1989: 16–17; Gibson/Woods 1997: 37–44.

⁷⁵⁴ Rice 1987: 354–356. Cf. Schneider *et al.* 1989: 20, 22–23. Vgl. Seeher 1987: 7; Kaschau 1999: 92 u. Anm. 490.

⁷⁵⁵ Schneider *et al.* 1989: 24–25.

4.2.1.6 Farbe

4.2.1.6.1 Farbe der Oberflächen

Die Farbe keramischer Objekte ist primär von einer bestimmten Kombination werkstoff- und verfahrenstechnisch bedingter Faktoren abhängig, wie etwa der Grundzusammensetzung des verwendeten Tons, der Brennatmosphäre, der erreichten Temperatur sowie der Brenndauer,⁷⁵⁶ allerdings können sich bereits im Verlauf der Produktion – wie im Falle von Fehlbränden – starke Farbveränderungen ergeben, ebenso wie durch sekundären Brand oder eine Lagerung in bestimmten Bodenmilieus;⁷⁵⁷ selbst innerhalb geschlossener Warengruppen sind starke Farbbunterschiede daher nicht selten. Die äußere und je nach Formgebung des Gefäßes innere Farbe der Oberfläche wurde daher auch im Fall der Troia IV- und Troia V-zeitlichen Keramik der Quadrate A 5/6 nur mit Einschränkungen als warendefinierendes Kriterium herangezogen, sie dient vielmehr der näheren Beschreibung. Eine allzu feine Differenzierung der Oberflächenfarben erwies sich in gleicher Weise als unangebracht, so daß bereits während der Materialaufnahme – auch mit aus Gründen der allgemeinen Praktikabilität – auf eine Farbbestimmung der Einzelstückchen verzichtet wurde. Ersatzweise wurde für jede Farbe eine Gruppe repräsentativer, den jeweiligen Schwankungsbereich in seiner Gesamtheit abdeckenden Scherben zusammengestellt, anhand derer die je spezifischen Farbwerte mittels der Munsell Soil Color Charts ermittelt wurden.⁷⁵⁸ Diese verteilen sich auf insgesamt fünf höhere »Farbwertklassen« mit verschiedenen diesen nachgeordneten Abstufungen (Tab. 39).⁷⁵⁹

Farbe	Farbliche Abstufung	Farbwerte nach Munsell Soil Color Charts
Schwarz	-	10 R 2,5/1 2,5 YR 2,5/1 5 YR 2,5/1 7,5 YR 2,5/1 10 YR 2/1 2,5 Y 2,5/1 5 Y 2,5/1 + 2,5/2
Grau	Dunkelgrau	5 YR 3/1 7,5 YR 3/1 10 YR 3/1 + 3/2 2,5 Y 3/1 + 3/2 5 Y 3/1 + 3/2

⁷⁵⁶ Ergänzend dazu s. Arnold 1991: 35, 51–60; Arnold 1999a: 76–79; Kramer 1997: 28, 71, 74–75; Deal 1998: 46, 49–51, 70–71, 75, 167; Arnold 1999b: 111–115; O'Brien *et al.* 2003: 217; Dunnell/Feathers 2003: 233–236.

⁷⁵⁷ Schneider *et al.* 1989: 20. Cf. Hegmon *et al.* 1995: 41, 48.

⁷⁵⁸ Munsell Soil Color Charts (New Windsor 2000). GretagMacbeth, New Windsor.

⁷⁵⁹ S. in diesem Zusammenhang auch Seeher 1987: 5; Kull 1988: 101–02 u. Abb. 95; Rutter 1995: 55; Di Nocera 1998: 75; Kaschau 1999: 93 u. Anm. 493; Knappett 2007: 273–293.

	Grau	10 R 3/1 + 4/1 + 5/1 + 6/1 2,5 YR 3/1 + 4/1 5 YR 4/1 + 4/2 + 5/1 + 5/2 + 6/1 7,5 YR 4/1 + 5/1 + 6/1 10 YR 4/1 + 4/2 + 5/1 + 5/2 2,5 YR 4/1 + 5/1 + 6/1 5 Y 4/1 + 4/2 + 5/1 + 5,2 + 6/1
	Grauliv	5 Y 4/2 + 5/2 + 6/2
	Hellgrau	10 R 7/1 + 6/2 2,5 YR 7/1 5 YR 6/2 + 7/1 + 7/2 7,5 YR 6/2 + 7/1 + 7,2 10 YR 6/2 + 7/1 + 7/2 2,5 Y 6/2 + 7/1 + 7/2 5 Y 7/1 + 7/2
Braun	Dunkelbraun	10 R 2,5/2 + 3/2 + 3/3 + 3/4 2,5 YR 2,5/2 + 2,5/3 + 2,5/4 + 3/2 + 3/3 + 3/4 5 YR 2,5/2 + 3/2 + 3/3 + 3/4 7,5 YR 2,5/2 + 2,5/3 + 3/2 + 3/3 + 3/4 10 YR 2/2 + 3/2 + 3/3 + 4/2 2,5 Y 3/2 + 3/3 + 4/2
	Braun	7,5 YR 4/2 + 4/3 + 4/4 + 4/6 + 5/2 + 5/3 + 5/4 + 5/6 10 YR 3/4 + 3/6 + 4/3 + 4/3 + 4/4 + 4/6
	Braunoliv	2,5 Y 4/3 + 4/4 + 5/3 + 6/3
	Hellbraun	2,5 YR 6/2 + 6/3 + 6/4 + 7/2 + 7/3 + 7/4 5 YR 4/6 + 5/6 + 5/8 + 6/3 + 6/4 + 6/6 + 6/8 + 7/3 + 7/4 + 7/6 + 7/8 7,5 YR 6/3 + 6/4 + 6/6 + 6/8 + 7/3 + 7/4 + 7/6 + 7/8 10 YR 6/2 + 6/3 + 6/4 + 7/3 + 7/4
Rot	Rotbraun	10 R 3/2 + 3/3 + 3/4 + 4/2 + 4/3 + 4/4 + 5/2 + 5/3 + 5/4 + 6/2 + 6/3 2,5 YR 4/2 + 4/3 + 4/4 + 4/6 + 5/2 + 5/3 + 5/4 + 5/6 5 YR 4/3 + 4/4 + 4/6 + 5/3 + 5/4 + 6/3 + 6/4
	Rot	10 R 3/6 + 4/6 + 4/8 + 5/6 + 5/8 2,5 YR 3/6 + 4/8 + 5/8
	Hellrot	10 R 6/6 + 6/8 + 7/2 + 7/3 + 7/4 + 7/6 + 7/8 2,5 YR 6/6 + 6/8 + 7/6 + 7/8
Beige	Beigerot	10 R 8/2 + 8/3 + 8/4 2,5 YR 8/3 + 8/4 5 YR 8/3 + 8/4
	Beige	7,5 YR 8/3 + 8/4 + 8/6 10 YR 8/3 + 8/4 + 8/6 2,5 Y 8/3 + 8/4 5 Y 8/3
	Hellbeige	10 R 8/1 2,5 YR 8/1 + 8/2 5 YR 8/1 + 8/2 7,5 YR 8/1 + 8/2 10 YR 8/1 + 8/2 2,5 Y 8/1 + 8/2 5 Y 8/1 + 8/2

Fortsetzung
Tab. 39



Abb. 61
Bruchfarben und
Bruchzonen:
Beispiele für die
Kategorien »nicht
erkennbar« (1–3),
»undeutlich abge-
grenzt« (4–6)
und »klar abge-
grenzt« (7–9).

4.2.1.6.1 Bruchfarben und -zonen

Ein guter Teil des bearbeiteten Materials, und hier vor allem die mit mittelfeinem bis grobem Quarzgrus gemagerten, in Aufbautechnik hergestellten Gefäße, weist im frischen Bruch eine von der Oberfläche abweichende Farbe auf, auch sind deutlich ausgeprägte Farbzonen nicht selten. Im Rahmen der Datenaufnahme wurde zwischen »nicht erkennbaren«, »undeutlich abgegrenzten« und »klar abgegrenzten« Kernbereichen unterschieden, der farblichen Charakterisierung liegen dieselben Kriterien zugrunde, wie der Deskription der Oberflächen (Abb. 61.1–9).⁷⁶⁰

4.2.2 Beschreibung der Waren

Für die Zeit von Troia IV₁₋₂ bis Troia V₁₋₇ lassen sich ausgehend vom keramischen Fundmaterial der Quadrate A 5/6 insgesamt zwölf Warenklassen feststellen,⁷⁶¹ die in einigen Fällen durch diesen klassifikatorisch nachgeordnete Waren bzw. Warentypen zu ergänzen sind. Diese sind nur zum Teil identisch mit den von Blegen *et al.* für den betreffenden zeitlichen Horizont isolierten Keramikgattungen, auch wird das bislang im Rahmen des Troia Projekts gebräuchliche Warensystem⁷⁶² der gegebenen Variationsbreite nur bedingt gerecht (*cf.* Tab. 40). Letzteres steht,

⁷⁶⁰ Vgl. Seeher 1987: 6.

⁷⁶¹ Hinsichtlich der von Blegen *et al.* 1951: 117–121, 235–237 in diesem Zusammenhang unterschiedenen Warenklassen s. Kapitel 2.2.4 »Keramischer Befund.« Ergänzend dazu s. Podzuweit 1979: 19; Knacke-Loy 1994: 54–56; Frirdich 1997: 123–125.

⁷⁶² Allgemein dazu s. Knacke-Loy 1994: 48–51; Frirdich 1997: 120–125.

Tab. 40: Konkordanz der Warenbezeichnungen

Ware	University of Cincinnati Excavations in the Troad (1932–1938)	Projekt Troia (1988–2008)
1A	<i>Plain Ware</i> (Blegen et al. 1951: 19–20, 120).	Ware 202: <i>Plain Ware</i>
1B	-	Ware 207: <i>Plain Ware</i> poliert
1C	<i>Red-coated Ware</i> (Blegen et al. 1951: 119–120, 235–236)	Ware 203: <i>Red Wash Ware</i>
1D		Ware 204: <i>Red-coated Ware</i>
2A	<i>Plain Ware</i> (Blegen et al. 1951: 19–20, 120)	Ware 255: Quarzgemagerte Ware, fein
2B	<i>Red-coated Ware</i> (Blegen et al. 1951: 119–120, 235–236)	Ware 203: <i>Red Wash Ware</i>
2C		Ware 204: <i>Red-coated Ware</i>
3A	<i>Polished Ware</i> (Blegen et al. 1951: 119–120, 235–236) <i>Unpolished Ware</i> (Blegen et al. 1950: 56) <i>Gray and Black Polished Wares</i> (Blegen et al. 1950: 220) <i>Gray and Black Wares</i> (Blegen et al. 1951: 118–119, 235) <i>Gray Ware</i> (Blegen et al. 1951: 235)	Ware 103: Braune Ware
3B		Ware 103: Braune Ware Ware 260: Graue Ware
3C		
3D		Ware 452: Braune Ware mit organischer Magerung
3E		
4		
5A		<i>Red-coated Ware</i> (Blegen et al. 1951: 119–120, 235–236)
5B	<i>Straw-tempered Ware</i> (Blegen et al. 1951: 121, 237)	Ware 501: Organisch gemagerte Ware
6	<i>Baking-pan Ware</i> (Blegen et al. 1950: 56, 224)	Ware 270: <i>Baking-pan Ware</i>
7	<i>Nubbly Ware</i> (Blegen et al. 1950: 223)	Ware 251: <i>Nubbly Ware</i>
8	<i>Early Aegean Wares</i> (Blegen et al. 1951: 120, 236)	Ware 254: <i>Early Aegean Ware</i>
9		Ware 280: <i>Early Aegean Ware</i> , Variante II
10	<i>Gritty Ware</i> (Blegen et al. 1951: 121)	Ware 253: <i>Gritty Ware</i>
11	<i>Coarse Fabrics</i> (Blegen et al. 1951: 120–121, 237)	Ware 256: Quarzgemagerte Ware, grob
12		Ware 451: Grobe Ware

indem es keramisches Fundmaterial der Perioden Troia II, III, IV und V auf Grundlage einheitlicher beschreibender Kriterien pauschal in der Kategorie »Waren Troia II–V« zusammenfaßt, ohne dabei zeitspezifische Besonderheiten der Einzelwaren zu berücksichtigen einer diachronen, perioden- und/oder phasenübergreifenden Betrachtungsweise der keramischen Entwicklung des Fundplatzes entgegen. So sind beispielsweise pastose rote Überzüge in der Zeit von Troia II stets an eine extrem fein gemagerte Warengattung, die sogenannte *Plain Ware*, gebunden und bilden in Kombination mit dieser dem Warentyp »W204: *Red-coated Ware*«; in Fundkontexten der Perioden Troia IV und Troia V finden sich Überzüge nach Art der *Red-coated Ware* jedoch vor allem auf Scherben des Typs »W255: Quarzgemagerte Ware, fein«, die bis zu 5 % mineralische Zuschlagstoffe enthalten kann und sich von *Plain Ware* deutlich unterscheidet. Dieser, der Definition von Ware 204 im Grunde zuwiderlaufende Aspekt ist im bisherigen Warenschlüssel

jedoch nicht vorgesehen, bleibt im Rahmen der Datenaufnahme entsprechend unberücksichtigt und steht somit für eine chronologische Bewertung der *Red-coated Ware* und dieser verwandter Warentypen letztlich nicht zur Verfügung. Zwingend notwendig ist daher eine Auflösung der Sammelklasse »Waren Troia II–V« zugunsten periodenbezogener, gegebenenfalls erweiterter Warenklassifikationen, wobei in jedem Fall inhaltlich »neutrale« Bezeichnungen den bislang für Waren und Warentypen gebräuchlichen, teils einzelne charakteristische Merkmale der Oberflächenbehandlung, teils Eigenheiten der Magerung in den Vordergrund stellende Termini, wie z. B. »*Red Wash Ware*«, »Braune Ware mit organischer Magerung« oder »*Red-coated Ware*, organisch gemagert«, vorzuziehen sind. Die Benennung der im folgenden von »fein« zu »grob« angeordneten Warenklassen und Warentypen erfolgt anhand fortlaufender arabischer Ziffern, die jeweiligen Untergruppen sind durch diesen unmittelbar nachgestellte Großbuchstaben des lateinischen Alphabets gekennzeichnet.

4.2.2.1 Ware 1A

Kennzeichnend für Ware 1A ist ein gut geschlammter, sehr feiner Ton. In aller Regel ist keine Magerung vorhanden, andernfalls handelt es sich um wenig sehr feine bis feine mineralische Partikel in Form eckiger oder gerundeter Quarz- oder Kalkteilchen einer Größe von 0,2 mm bis maximal 0,3 mm.⁷⁶³ Die innere und/oder äußere Gefäßoberfläche ist entweder unbehandelt oder geglättet, wobei im erstgenannten Fall leicht bis stark ausgeprägte Drehrillen auf beiden Seiten des Gefäßes vorhanden sein können. Ware 1A liegt sowohl in handgefertigter als auch in scheibengedrehter Ausführung vor, mit einem deutlichen Schwerpunkt auf letzterer. Der Brand variiert zwischen hart und sehr hart, die Struktur des frischen Bruchs kann entweder glatter oder leicht körniger Ausprägung sein; die Matrix ist stets dicht und feinporig bei gleichmäßigem oder gerichtetem Gefüge des Scherbens. Das farbliche Spektrum der Gefäßoberflächen deckt die gesamte Bandbreite des Grundtons Beige ab, allerdings überwiegen die »reinen« Beigetöne bei weitem. Unabhängig von der Dicke des Scherbens kann ein undeutlich oder klar abgegrenzter, grauer bis hellgrauer Kernbereich vorhanden sein (Taf. 122.1–2).

4.2.2.2 Ware 1B

Ware 1B entspricht hinsichtlich ihrer technischen Grundeigenschaften Ware 1A, allerdings ist bei dieser in jedem Fall eine der beiden Gefäßoberflächen mit einer flächigen Politur versehen; in aller Regel handelt es sich dabei um die Außenseite des jeweiligen Keramikobjekts (Taf. 122.3–123.1).

⁷⁶³ Knacke-Loy 1994: 54. Cf. Blegen *et al.* 1951: 19–20, 120; Frirdich 1997: 124.

4.2.2.3 Ware 1C

Bezeichnend für Ware 1C ist ein verhältnismäßig dünner hellroter bis roter, stets transparent wirkender Überzug, der mindestens eine Seite des Gefäßes teilweise oder vollständig bedeckt; ansonsten ist Warentyp 1C identisch mit Ware 1A.

4.2.2.4 Ware 1D

Deckende pastose, partiell oder flächendeckend auf die Oberflächen von Gefäßen aufgetragene Überzüge unterscheiden Vertreter des Warentyps 1D von solchen der Ware 1A. Die nicht selten glimmerhaltigen Engoben bedecken geringstenfalls eine der beiden Gefäßseiten, sind bis auf wenige Ausnahmen flächig oder streifig poliert und liegen vor allem in den Farbtönen Rotbraun und Rot vor, seltener in Hellrot (Taf. 123.3–4).⁷⁶⁴

4.2.2.5 Ware 2A

Eine sehr feine bis feine Scherbenmatrix, in der bis zu maximal 5 % mineralische Zuschlagstoffe enthalten sein können, charakterisiert Ware 2A. Neben einem bezeichnend hohen Anteil an Quarzgrus umfaßt die Magerung nicht selten Kalkpartikel einer Größe von bis zu 0,8 mm, auch ist Schamotte vereinzelt als Bestandteil vertreten. Die Oberflächen der größtenteils auf der Töpferscheibe gefertigten Gefäße sind grundsätzlich geglättet, und nur in Ausnahmefällen sind partielle oder flächig angelegte Polituren festzustellen (Abb. 62). Ware 2A ist stets sehr hart bis klingend hart gebrannt, wobei die Struktur des Bruchs zwischen glatt und geklüftet variieren kann; die Matrix ist in jedem Fall dicht und feinporig bei gleichmäßigem oder gerichtetem Gefüge. Das Spektrum der Oberflächenfarben wird im wesentlichen durch die jeweils hellen Varianten der Farben Braun, Rot und Grau bestimmt, beige Farbtöne liegen dagegen in jeder farblichen Abstufung vor; dunklere Nuancen treten demgegenüber deutlich in den Hintergrund. Deutlich ausgeprägte, nicht selten mehrfach farblich zwischen Grau, Hellgrau und Hellrot abgestufte Bruchzonen sind für rund 80 % der hier zur Diskussion stehenden Fundstücke belegt (Taf. 124–130.3).⁷⁶⁵

4.2.2.6 Ware 2B

Hauptmerkmal der vergleichsweise seltenen Ware 2B ist ein ausgesprochen dünner hellroter bis roter, in jedem Fall transparent erscheinender Überzug, der eine oder beide Oberflächen des Gefäßes entweder teilweise oder vollständig bedeckt; ansonsten ist sie in jeder Hinsicht mit Ware 2A identisch (Taf. 130.4–131.1).

⁷⁶⁴ Cf. Blegen *et al.* 1951: 119–120, 235–236.

⁷⁶⁵ Vgl. Blegen *et al.* 1951: 19–20, 120; Frirdich 1997: 124.

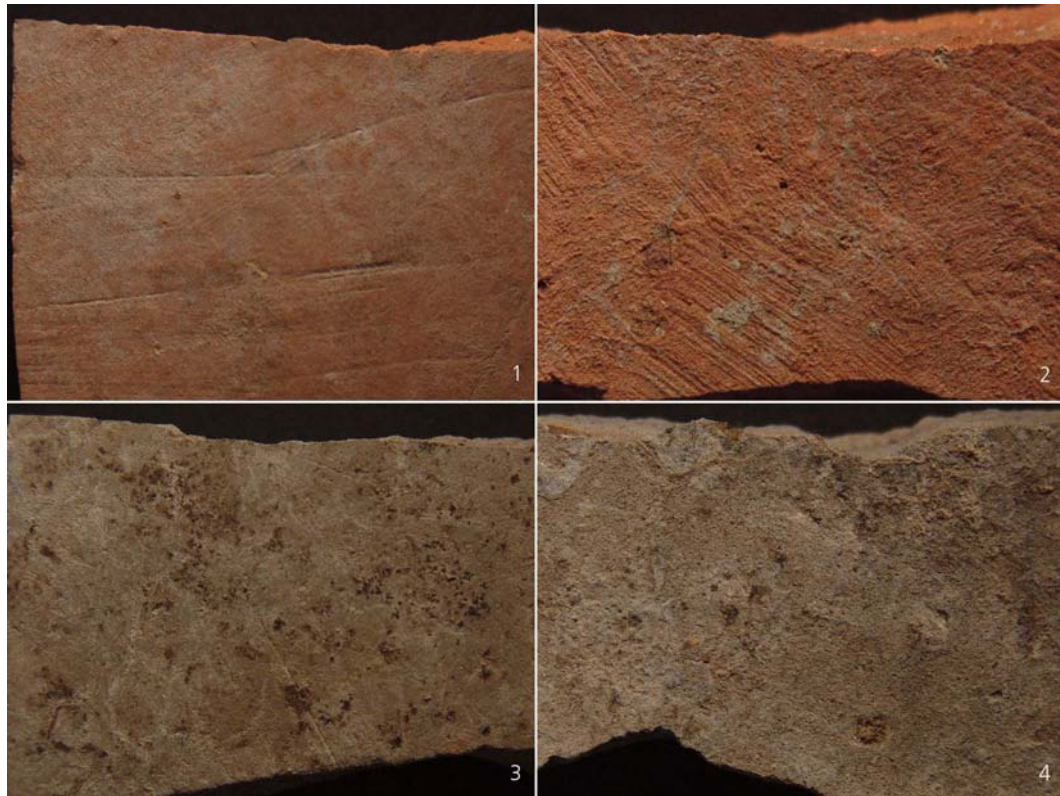


Abb. 62
Gefäßoberflächen
Warentyp 2A,
außen (1, 3) und
innen (2, 4). M 2:1.

4.2.2.7 Ware 2C

Ein deckender pastoser, nicht selten glimmerhaltiger Überzug auf mindestens einer Seite des Gefäßes grenzt Ware 2C gegenüber Ware 2A ab (Abb. 63), auf der sie in produktionstechnischer Hinsicht basiert.⁷⁶⁶ Die Engoben sind bis auf wenige Ausnahmen flächig oder streifig poliert und liegen insbesondere in den Farbtönen Braun, Hellbraun, Rotbraun und Rot vor, seltener in Hell- oder Beigerot (Taf. 131.2–133.3).

4.2.2.8 Ware 3A

Ware 3A definiert sich über einen feinen bis mittelfeinen Ton mit einem Anteil von bis zu 10 % nichtplastischer mineralischer Zuschlagstoffe. Unter diesen überwiegen Quarz- und Kalkgrus mit großem Abstand, während Glimmerschiefer, Quarzit oder Alkalifeldspat nur selten als Bestandteil der Magerung nachzuweisen sind. Die meist stumpfen, selten matt glänzenden Oberflächen sind in jedem Fall geglättet, wobei für einen Großteil der aus Ware 3A gefertigten Ge-

⁷⁶⁶ S. in diesem Zusammenhang auch Frirdich 1997: 125. Vgl. Knacke-Loy 1994: 55.

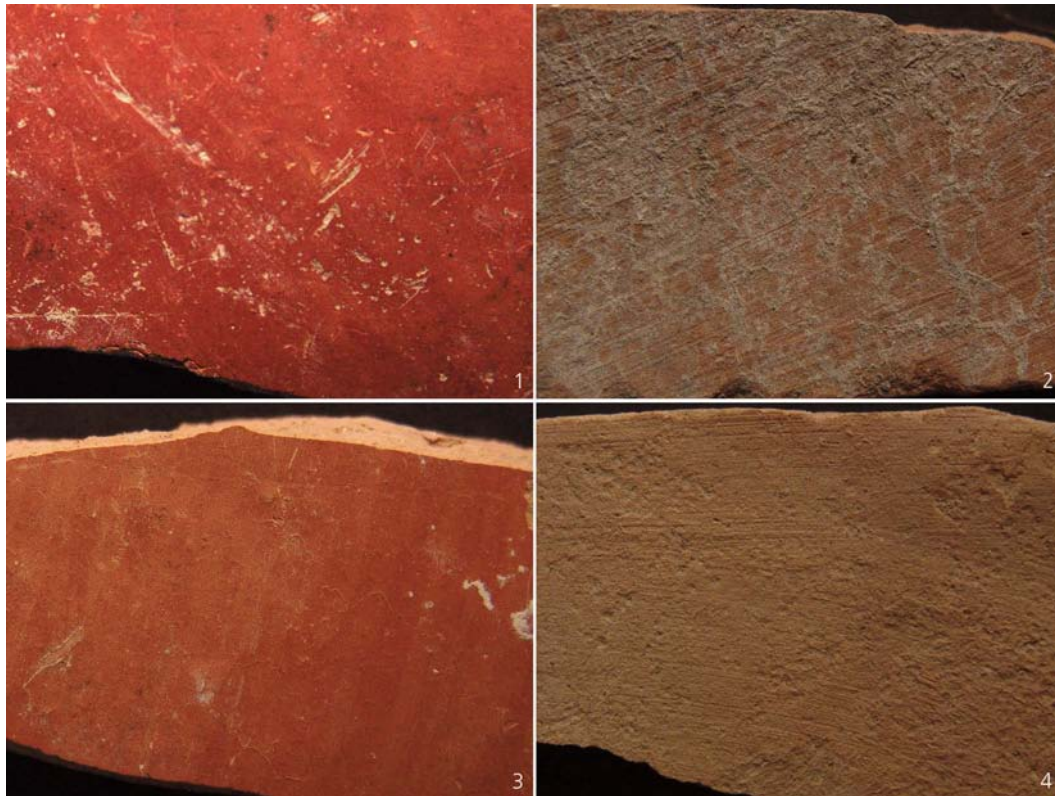


Abb. 63
Gefäßoberflächen
Warentyp 2C, außen
(1, 3) und innen (2, 4).
M 2:1.

fäße eine Herstellung in Aufbautechnik vorauszusetzen ist. Diese sind grundsätzlich mäßig hart gebrannt und weisen im frischen Bruch eine körnige bis leicht geklüftete Struktur auf; die Matrix des Scherbens ist feinporig dicht und weist eine gleichmäßige Verteilung von Poren und eventuell vorhandener Inhomogenitäten auf. Unter den Oberflächenfarben dominieren insbesondere die Farben Grau und Braun, mit einer deutlichen Tendenz hin zu dunkleren Tönen. Bruchzonen sind bei nahezu allen der Ware 3A zuweisbaren Fundstücke vorhanden, meist in Form eines gegenüber der Oberfläche klar abgegrenzten, helleren Kernbereichs.

4.2.2.9 Ware 3B

Fundstücke der Ware 3B erfüllen dieselben klassifikatorischen Kriterien wie diejenigen der Ware 3A, allerdings verfügen die zu diesem Warentyp gehörenden Gefäße bzw. Gefäßfragmente auf mindestens einer der beiden Seiten über einen tonfarbenen, vergleichsweise dünn auf die Oberfläche aufgetragenen Überzug, ebenso wie über eine flächig ausgeführte Politur (Taf. 134.4).⁷⁶⁷

⁷⁶⁷ Vgl. Blegen *et al.* 1950: 56, 220; Blegen *et al.* 1951: 119–120, 235–236. Ergänzend dazu s. Knacke-Loy 1994: 52; Frirdich 1997: 122.

4.2.2.10 Ware 3C

Ware 3C ist mit Ware 3A grundsätzlich vergleichbar, einzig die Festigkeit der beiden Warentypen weicht deutlich voneinander ab; mit Härtewerten von bis zu 3,5 Mohs liegt diese bei Ware 3C deutlich höher als bei letztgenannter mit Meßwerten von maximal 2,5 Mohs (Taf. 134.2).

4.2.2.11 Ware 3D

Ein polierter, stets dünn auf die innere und/oder äußere Gefäßoberfläche aufgetragener Überzug unterscheidet Ware 3D von dem ansonsten in jeder Hinsicht identischen Warentyp 3C (Taf. 134.3).

4.2.2.12 Ware 3E

Auch wenn die wesentlichen werkstoff- und produktionstechnischen Grundeigenschaften von Ware 3E mit denjenigen der Ware 3A übereinstimmen mögen, so grenzt sie sich von dieser über einen Anteil von bis zu 5 % in der Magerung enthaltener feiner organischer Zuschlagstoffe deutlich ab.⁷⁶⁸ Die Oberflächen der grundsätzlich in Aufbautechnik entstandenen Gefäße sind ausnahmslos geglättet, der Brand mäßig hart. Im frischen Bruch weist Ware 3E eine schiefrige/splittige oder leicht geklüftete Struktur auf bei stets feinporig dichter Matrix; das Gefüge des Scherben ist immer gleichmäßig. Farblich deckt Ware 3E das gesamte Spektrum der Farben Grau, Braun und Beige ab, rötliche Brauntöne sind dagegen selten; hinsichtlich der Bruchzonen bzw. Kernbereiche bestehen zu Ware 3A keine Differenzen (Taf. 134.4, 135.1).

4.2.2.13 Ware 4

Charakteristisch für Ware 4 ist ein feiner bis mittelfeiner Ton mit einem Mindestanteil von 20 % Quarzsand der Kornfraktionen bis 0,4 mm. Gefäße dieses Warentyps verfügen durchweg über geglättete teils matt glänzende Oberflächen, auch ist eine Fertigung in Aufbautechnik in jedem Fall vorauszusetzen. Zu diesem Warentyp gehörende Fundstücke sind mäßig hart gebrannt und brechen körnig oder geklüftet; die Porosität der Scherbenmatrix ist feinporig dicht, das Gefüge stets gleichmäßig. Farblich variieren die Oberflächen der Ware 4 zwischen Dunkelgrau und Rotbraun, Bruchzonen sind in Form grauer oder brauner Kerne klar als solche abgegrenzt (Taf. 135.2–3).

⁷⁶⁸ Vgl. Knacke-Loy 1994: 56.



Abb. 64
Gefäßoberflächen
Warentyp 5A, außen (1)
und innen (2). M 2:1.

4.2.2.14 Ware 5A

Vertreter des Warentyps 5A verfügen über eine feine bis mittelfeine Matrix, die derjenigen der in Warenklasse 2 zusammengefaßten Fundstücke grundsätzlich vergleichbar ist (Abb. 64). Feine organische Zuschlagstoffe, die dem Rohthon im Rahmen des Aufbereitungsprozesses mit einem Anteil von 20 % und darüber regelhaft beigemischt wurden, unterscheiden beide Warengattungen jedoch grundlegend voneinander.⁷⁶⁹ Pastose rote, seltener dünne tonfarbene Überzüge mit streifiger oder flächiger Politur bedecken die Oberflächen der in den meisten Fällen auf der Töpferscheibe entstandenen Gefäße; diese sind stets hart bis sehr hart gebrannt und weisen durchweg eine geklüftete Bruchstruktur auf.⁷⁷⁰ Trotz des relativ hohen Anteils vegetabiler Magerungsbestandteile ist der Scherben selbst ausgesprochen dicht und feinporig bei jeweils gleichmäßigem bis ungleichmäßigem, seltener gerichtetem Gefüge. Das farbliche Spektrum von Ware 5 wird entscheidend durch die jeweils hellen Abstufungen der Farben Braun und Rot bestimmt, Bruchzonen liegen meist in Form klar abgegrenzter dunkelgrauer Kernbereiche vor (Taf. 135.4–136).

4.2.2.15 Ware 5B

Viele feine und/oder grobe organische Zuschlagstoffe in einer ansonsten nur wenig feinmineralisch gemagerten Scherbenmatrix sind charakteristisch für Ware 5B.⁷⁷¹ Die jeweiligen Gefäßoberflächen, an denen sich die vegetabilen Bestandteile der Magerung in Form negativer Abdrücke erhalten haben (Abb. 65), sind durchweg geglättet und können gegebenenfalls über einen matten tonfarbenen oder einen im Vergleich zum Scherben deutlich dunkleren Überzug verfügen. Alle Vertreter dieses Warentyps entstanden in Aufbautechnik und sind hart bis sehr hart, in

⁷⁶⁹ Vgl. Blegen *et al.* 1951: 119–120, 235–236.

⁷⁷⁰ Knacke-Loy 1994: 56; Frirdich 1997: 125.

⁷⁷¹ Cf. Johnson *et al.* 1988: 410; Skibo *et al.* 1989: 123–143.

selteneren Fällen auch klingend hart gebrannt.⁷⁷² Der frische Bruch weist eine schiefrige/splittige oder geklüftete Struktur auf, kann unter Umständen aber auch geschichteter Ausprägung sein. Ware 5B ist hinsichtlich ihrer Porosität als dicht einzustufen, allerdings fällt sie infolge des konstant hohen Anteils vegetabiler Magerungspartikel über 2 mm Länge mit entsprechenden Durchmessern allgemein grobporig aus. Das Gefüge des Scherben ist entweder ungleichmäßig oder gerichtet, mit einer deutlichen Tendenz hin zu erstgenanntem. Unter den Oberflächenfarben sind die Töne Beige, Beigerot, Hellrot, Hellbraun und Hellgrau mit Abstand am häufigsten vertreten, Dunkelgrau, Grau und Dunkelbraun treten nur dann als Grundton auf, wenn die äußere Seite des Gefäßes mit einem deckenden Überzug versehen wurde. Klar gegenüber der Oberfläche abgegrenzte Bruchzonen sind bei knapp 25 % des betreffenden Fundmaterials vorhanden, nicht selten als dunkelgrauer, grauer oder rotbrauner Kernbereich (Taf. 137–138.3).

4.2.2.16 Ware 6

Kennzeichnend für die an die Formenklasse »Platte« gebundene Ware 6 ist ein mittelfein bis grob mineralisch gemagerter, wenig größere organische Bestandteile enthaltender Ton (Abb. 66). Die Oberseiten der stets handgefertigten Fundstücke sind generell geglättet, während die Un-

Abb. 65
Gefäßoberflächen
Warentyp 5B,
außen (1, 3) und
innen (2, 4). M 2:1.



⁷⁷² Cf. Blegen *et al.* 1951: 121, 237. Ergänzend dazu s. Knacke-Loy 1994: 56; Frirdich 1997: 125; Kaschau 1999: 95.



Abb. 66
Gefäßoberflächen
Warentyp 6, innen (1)
und außen (2). M 2:1.

terseiten in jedem Fall sehr rau sind und teils tiefe Abdrücke vegetabiler Stoffe – vor allem Stroh – aufweisen. Höhere Härte- bzw. Festigkeitswerte wurden in keinem Fall erreicht, der frische Bruch ist in aller Regel körnig, seltener geklüftet oder geschichtet.⁷⁷³ Ware 6 verfügt über eine poröse, grobporige Matrix bei einer allgemein ungleichmäßigen Verteilung von Bestandteilen der Magerung, Poren und Inhomogenitäten. Dunkelgrau, Grau, Dunkelbraun, Braun, Hellbraun und Rotbraun sind als Oberflächenfarbe vertreten, Bruchzonen bzw. Kernbereiche zeichnen sich meist nur undeutlich ab oder sind nicht als solche zu erkennen (Taf. 138.4–139.1).

4.2.2.17 Ware 7

Eine mittelfeine bis grobe Matrix, in deren Aufbau bis zu 40 % mineralische Zuschlagstoffe enthalten sein können, ist bezeichnend für Ware 7.⁷⁷⁴ Neben Quarzgrus und Quarzit zählt Glimmerschiefer, der nicht selten in bis zu 6 mm großen Partikeln beigemischt wurde, zu den Hauptbestandteilen des Scherben. Infolge des hohen Anteils grober Magerungskomponenten, die teils leicht aus den jeweiligen Gefäßoberflächen herausragen können, erscheinen die stets mit einem dünnen tonfarbenen Überzug versehenen, teils geglätteten, teils polierten Außen- bzw. Innenseiten verhältnismäßig unregelmäßig (Abb. 67). Hinweise auf eine Verwendung der Töpferscheibe im Rahmen des Produktionsablaufs liegen nicht vor;⁷⁷⁵ die Brandhärte bzw. Festigkeit erreicht Meßwerte von maximal 3,5 Mohs. Überaus charakteristisch für Warentyp 7 ist eine ausgeprägt schiefrige/splittrige, bisweilen geschichtete Bruchstruktur sowie eine poröse, grobporige Matrix mit ungleichmäßigem oder gerichtetem Gefüge. Ware 7 kann in den Farbtönen Dunkelgrau, Grau, Dunkelbraun, Braun und Rotbraun vorliegen, wobei nur in Ausnahmefällen ein Unterschied zwischen der Farbe der Oberfläche und derjenigen des Bruchs besteht (Taf. 139.2–4).⁷⁷⁶

⁷⁷³ Wie auch Blegen *et al.* 1950: 56, 224. Vgl. Frirdich 1997: 122, 125.

⁷⁷⁴ Entsprechend Knacke-Loy 1994: 55.

⁷⁷⁵ Cf. Frirdich 1997: 114.

⁷⁷⁶ Blegen *et al.* 1950: 223; Knacke-Loy 1994: 55; Frirdich 1997: 124.

Abb. 67
Gefäßoberflächen
Warentyp 7, außen (1)
und innen (2). M 2:1.



4.2.2.18 Ware 8

Für Ware 8 ist ein mittelfein bis grob mineralisch gemagerter Ton bezeichnend. Mit einem Anteil von mindestens 20 % sind Quarz- und Kalkgrus die am häufigsten im Scherben vertretenen Zuschlagstoffe, hinzu kommen grobe, nicht selten bis zu 4 mm große schiefrige Partikel. Vor allem letztgenannte treten nicht selten aus den mit tonfarbenen, meist polierten Überzügen versehenen Gefäßoberflächen leicht hervor und verleihen diesen eine markant unregelmäßige Struktur.⁷⁷⁷ Hand- und scheibengefertigte Gefäße sind zu gleichen Teilen im Fundmaterial vertreten, der Härtegrad variiert zwischen mäßig hart und hart. Hinsichtlich der Struktur des frischen Bruchs, der spezifischen Porosität und des Gefüges ist Ware 8 im Grunde nicht von Warentyp 7 zu unterscheiden. Als Oberflächenfarben treten die Töne Braun, Hellbraun und Rotbraun auf, Bruchzonen – sofern vorhanden – liegen als undeutlich abgegrenzte, meist hellgraue Kernbereiche vor (Taf. 140.1).

4.2.2.19 Ware 9

Charakteristisch für Ware 9 ist eine mittelfeine, bisweilen auch grob mineralisch gemagerte Scherbenmatrix sowie ein dünner schwarzer, dunkelgrauer oder dunkelbrauner Überzug auf einer ansonsten geglätteten oder polierten Gefäßoberfläche (Abb. 68).⁷⁷⁸ Von einer Herstellung in Aufbautechnik ist in den meisten Fällen auszugehen, jedoch liegen auch scheibengedrehte Fundstücke vor.⁷⁷⁹ Die Brandhärte von Ware 9 variiert zwischen hart, sehr hart und klingend hart, wobei die Brüche meist eine körnige, seltener geklüftete Struktur aufweisen. Der Scherben ist generell dicht und feinporig und kann entweder über ein gleichmäßiges oder ungleichmäßi-

⁷⁷⁷ Vgl. Blegen *et al.* 1951: 120, 236. S. hierzu auch Knacke-Loy 1994: 52; Frirdich 1997: 124.

⁷⁷⁸ S. in diesem Zusammenhang auch Frirdich 1997: 114.

⁷⁷⁹ Vgl. Blegen *et al.* 1951: 120, 236. S. hierzu auch Knacke-Loy 1994: 52; Frirdich 1997: 124.



Abb. 68
Gefäßoberflächen
Warentyp 9, außen (1)
und innen (2). M 2:1.

ges Gefüge verfügen. Bruchzonen sind bei nahezu allen der Ware 9 zuweisbaren Fundstücken vorhanden, meist in Form eines gegenüber der Oberfläche klar abgegrenzten, helleren Kernbereichs (Taf. 140.2–3).

4.2.2.20 Ware 10

Die Matrix der Ware 10 ist grundsätzlich mittelfein bis grob und umschließt viele meist kantige Quarzgrus- und Kalkpartikel. Gefäße des Warentyps 10 verfügen über geglättete Oberflächen und dünne tonfarbene Überzüge (Abb. 69), sind in Aufbautechnik gefertigt und durchweg hart gebrannt. Im frischen Bruch ist der Scherben überwiegend körnig, seltener geklüftet und weist eine feinporig dichte Struktur auf; das Gefüge ist in jedem Fall gleichmäßig. Unter den Oberflächenfarben dominieren Braun und Rotbraun, hellere Varianten der entsprechenden Grundtöne sind nur in Ausnahmefällen vertreten. Nur wenige Stücke der Ware 10 weisen im Bruch eine von der Oberfläche abweichende Farbe auf, die dann eine undeutlich abgegrenzte, zumeist wesentlich dunklere Bruchzone bildet (Taf. 140.4–141.1).

4.2.2.21 Ware 11

Eine mittelfeine, seltener grob gemagerte Scherbenmatrix, in der deutlich über 20 % Quarzgrus als Zuschlagstoff enthalten ist, kennzeichnet Fundstücke der Ware 11. Neben dem markant hohen Anteil angularer Quarzpartikel⁷⁸⁰ umfaßt die Magerung nicht selten zerstoßenen Kalk einer Größe von bis zu 1,2 mm, auch ist Schamotte vereinzelt als Bestandteil zu identifizieren. Die Oberflächen der größtenteils in Aufbautechnik, seltener auf der Töpferscheibe gefertigten Ge-

⁷⁸⁰ Die markant eckige, teils splittrige Oberflächenstruktur der betreffenden Partikel weist diese als gebrochenes bzw. zerstoßenes Gestein aus und nicht als Sand, wie Frirdich 1997: 124.

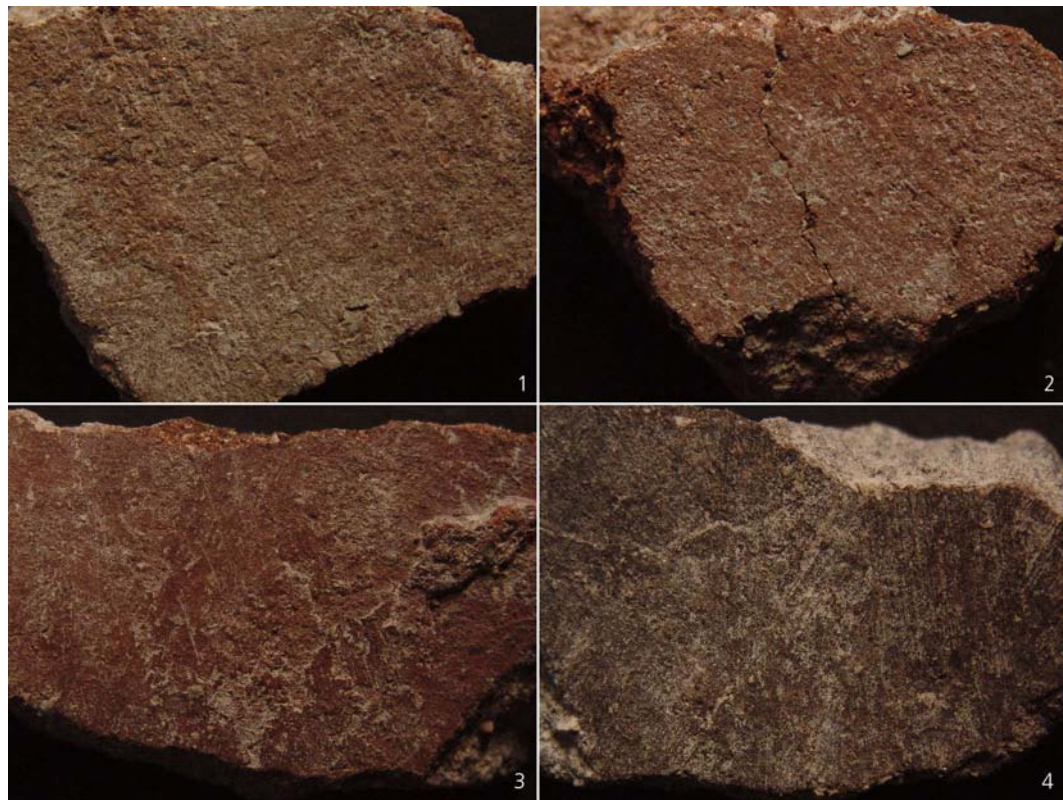


Abb. 69
Gefäßoberflächen Wa-
rentyp 10, außen (1, 3)
und innen (2, 4).
M 2:1.

fäße sind entweder geglättet oder streifig poliert und können mit einem dünnen tonfarbenen Überzug versehen sein (Abb. 70). Vertreter des Warentyps sind stets sehr hart bis klingend hart gebrannt, wobei die Struktur des frischen Bruchs zwischen körnig und geklüftet variieren kann; die Matrix ist in jedem Fall dicht und feinporig bei gleichmäßigem oder gerichtetem Gefüge.⁷⁸¹ Das farbliche Spektrum der Oberflächen wird im wesentlichen von den jeweils hellen Varianten der Farben Grau, Braun, und Rot beherrscht, beige Farbtöne liegen dagegen in jeder farblichen Abstufung vor; dunklere, in Richtung Schwarz und Dunkelgrau tendierende Nuancen treten demgegenüber deutlich in den Hintergrund. Der Bruch kann farblich homogen sein, jedoch auch, je nach dem Grad der Oxidation oder der Stärke der sekundären Brandeinwirkung, einen deutlich ausgeprägten, nicht selten mehrfach farblich zwischen Grau, Hellgrau und Hellrot abgestuften Kernbereich aufweisen; Bruchzonen sind für rund 75 % der hier zur Diskussion stehenden Fundstücke belegt (Taf. 141.2–144.3).

⁷⁸¹ Vgl. Blegen *et al.* 1951: 120–121, 237; Frirdich 1997: 124–125.

4.2.2.22 Ware 12

Vertreter des Warentyps 12 zeichnen sich durch einen ausgesprochen hohen Anteil grober mineralischer Zuschlagstoffe aus; Steingrus, bevorzugt von Quarz und Kalk, sowie natürliche Sedimente der Kornfraktionen bis 8 mm können dabei zu gleichen Teilen vertreten sein. Die äußere Gefäßoberfläche ist meist nur verstrichen oder wenig geglättet, während die Innenseite der Gefäße streifig, teils gut geglättet ist; dünne tonfarbene Überzüge sind insgesamt selten (Abb. 71).⁷⁸²

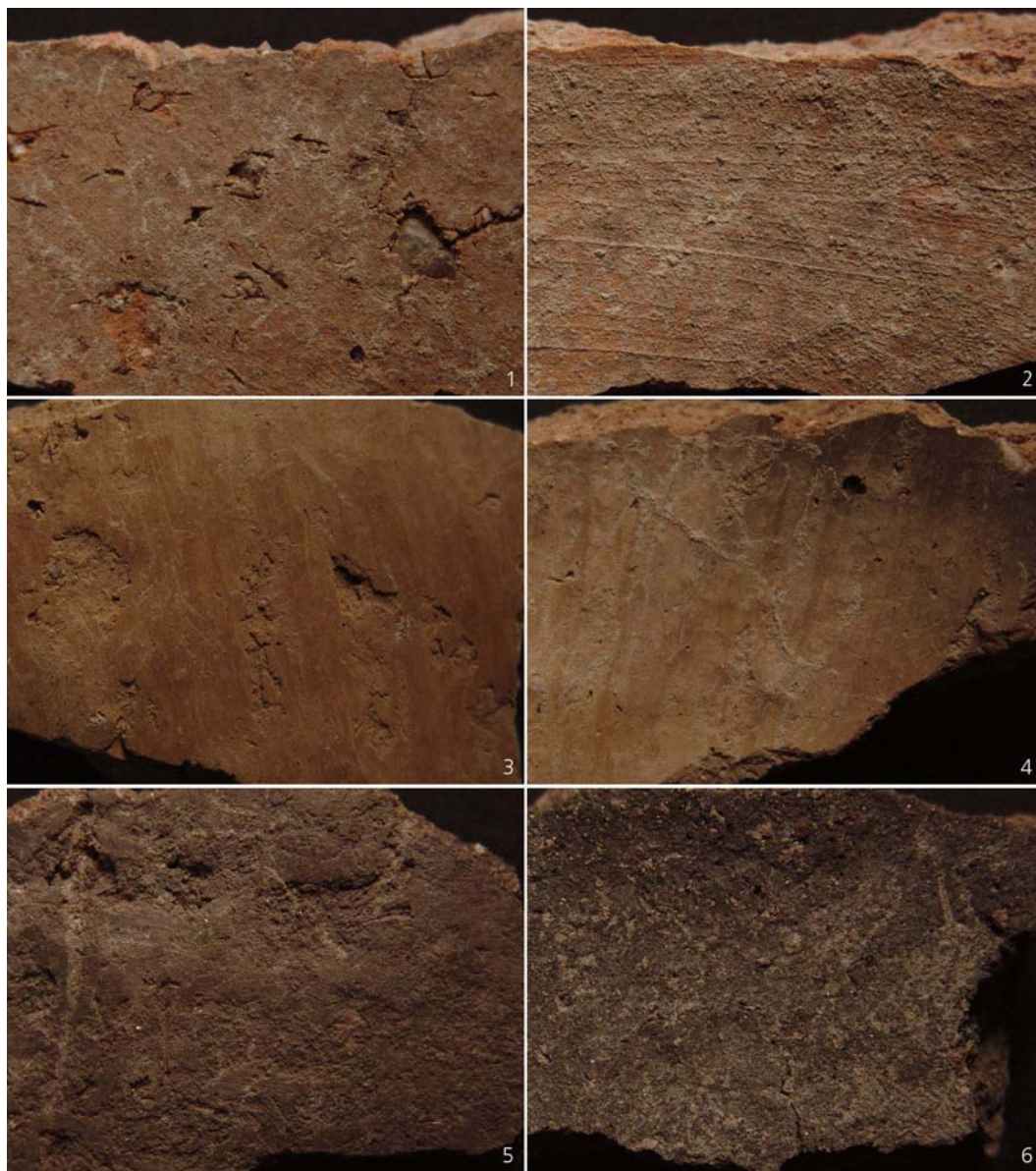


Abb. 70
Gefäßoberflächen
Warentyp 11,
außen (1, 3, 5) und
innen (2, 4, 6). M 2:1.

⁷⁸² Cf. Knacke-Loy 1994: 53, 55.

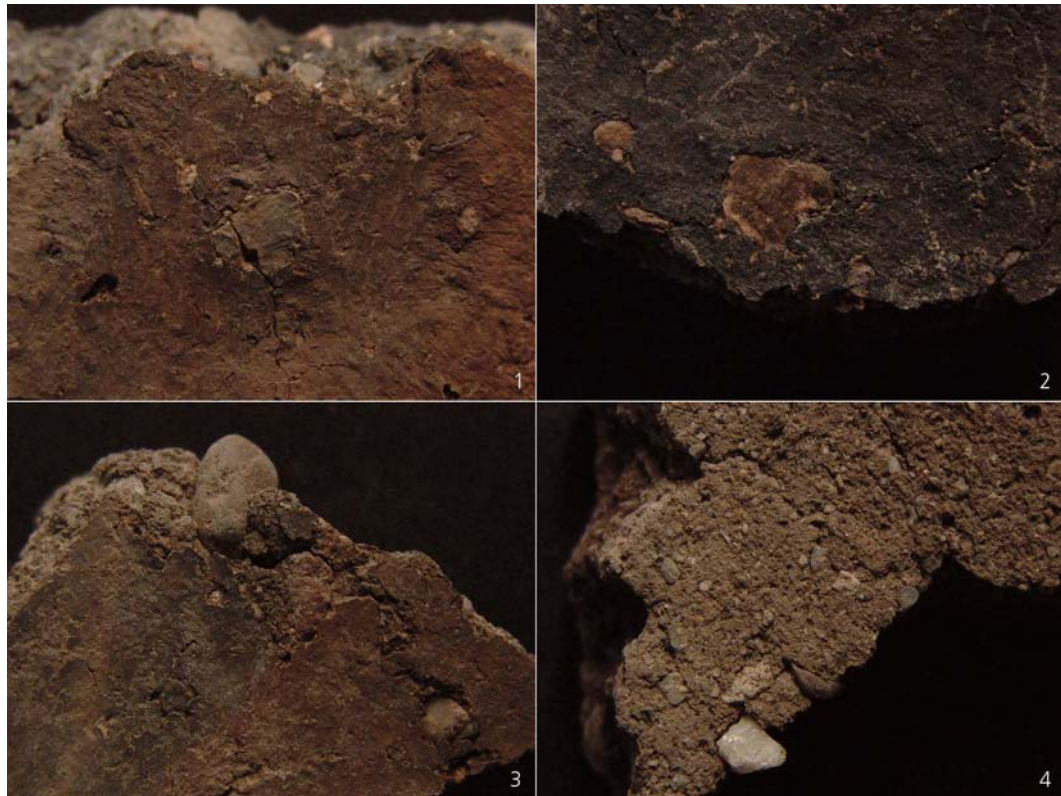


Abb. 71
Gefäßoberflächen
Warentyp 12,
außen (1, 3) und
innen (2, 4). M 2:1.

Eine Produktion in Aufbautechnik ist ebenso charakteristisch für Vertreter der Ware 12 wie ein mäßig harter Brand. Die Struktur des frischen Bruchs kann entweder körniger oder geklüfteter Ausprägung sein, die Matrix ist stets porös und weist eine ungleichmäßige Verteilung von Magerungsbestandteilen, Inhomogenitäten und Poren über 0,2 mm auf. Farblich deckt Ware 12 das gesamte Spektrum der Farben Grau, Braun und Beige ab, auch sind rötliche Brauntöne nicht selten; undeutlich oder klar gegenüber der Oberfläche abgegrenzte Bruchzonen sind bei knapp 85 % des betreffenden Fundmaterials vorhanden, nicht selten als dunkelgrauer, grauer, brauner oder rotbrauner Kernbereich (Taf. 144.4–146).

4.2.3 Quantitative Verteilung der Waren auf die Gesamtmenge der erfaßten Keramik

Mit einem Anteil von 19,9 % am Gesamtfindaufkommen ist Ware 12 die insgesamt am häufigsten vertretene Keramikgattung innerhalb der Quadrate A 5/6, gefolgt von Ware 2C mit 18,2 % und Ware 2A mit 13,7 %. Alle anderen Waren und Warentypen sind mit weniger als 10 % vertreten (*cf.* Abb. 72 u. Tab. 41).

Tab. 41: Quantitative Verteilung der Waren auf die Gesamtmenge der erfaßten Keramik.

Ware	Wandscherben	Randscherben	Menge absolut	Prozentualer Anteil
1A	207	155	362	6,4 %
1B	143	59	202	3,6 %
1C	8	2	10	0,2 %
1 D	59	27	86	1,5 %
2A	710	60	770	13,7 %
2B	21	9	30	0,5 %
2C	687	342	1029	18,2 %
3A	38	4	42	0,7 %
3B	45	7	52	0,9 %
3C	74	7	81	1,4 %
3D	93	12	105	1,9 %
3E	31	6	37	0,7 %
4	155	11	166	2,9 %
5A	13	7	20	0,4 %
5B	110	17	127	2,3 %
6	37	1	38	0,7 %
7	177	17	194	3,5 %
8	104	9	113	2,0 %
9	4	3	7	0,1 %
10	136	13	149	2,6 %
11	420	52	472	8,4 %
12	1021	101	1122	19,9 %
Sonstige	349	77	426	7,6 %

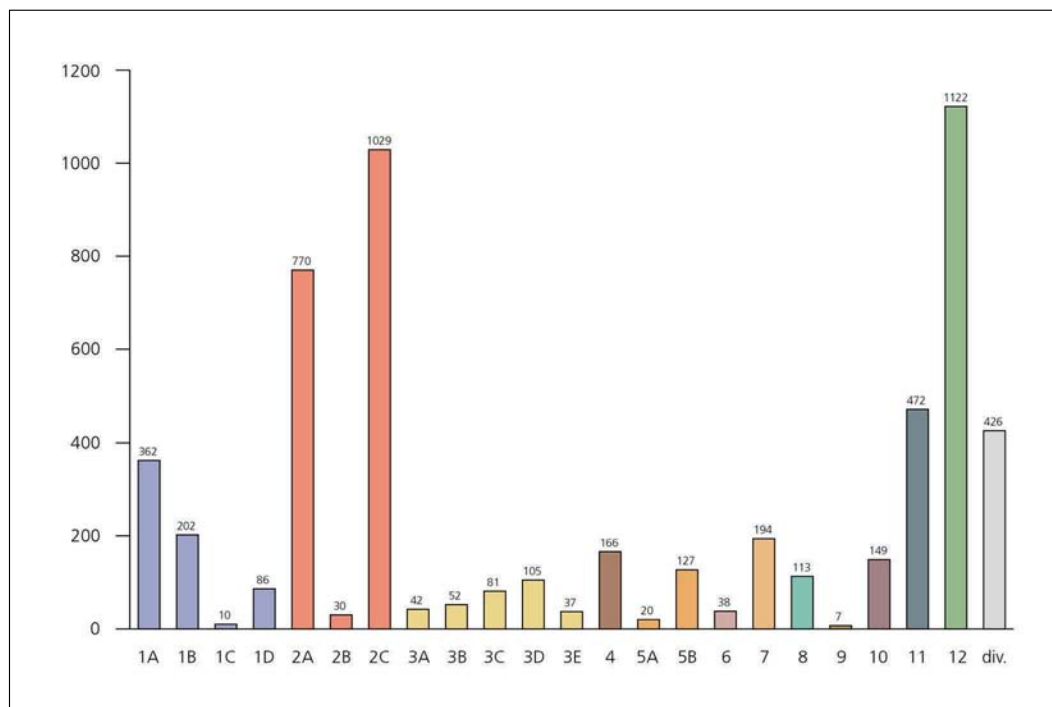
4.3 Formen

4.3.1 Klassifikationssystem: Formenklassen, Typen, Varianten

Die typologische Gliederung des Troia IV- und Troia V-zeitlichen Keramikmaterials der Quadrate A 5/6 basiert auf einem im ganzen dreistufig angelegten System, das auf analytischem Weg von allgemeinen zu speziellen Kriterien der Klassifikation, d. h. Merkmalen, überleitet.⁷⁸³

⁷⁸³ Arnold 1999b: 103–109; Chilton 1999: 44–45; Deal 1998: 51, 53–59, 177–179. S. in diesem Zusammenhang auch Eggert 2008: 124–129.

Abb. 72
Quantitative Verteilung
der Waren auf die
Gesamtmenge der
erfaßten Keramik.



Formenklassen, als erste Ebene der Untergliederung, werden dabei anhand übergeordneter Charakteristika definiert, wie etwa der Grundform und Größe von Gefäßen. Auch wenn sich die jeweiligen Einheiten derart deutlich von den anderen unterscheiden mögen, daß ein Unterschied in der Funktion anzunehmen ist, wurden sowohl bei der Bestimmung als auch bei der Benennung dieser bewußt Begriffe vermieden, die bereits eine spezielle Verwendungsweise implizie-

Tab. 42	
Benennung	Formenklasse
Sc	Schale
Te	Teller
To	Topf
Kr	Krug
Ka	Kanne
Kn	Kännchen
Be	Becher
Pl	Platte
He	Henkelkrug
Gr	Großgefäß
De	Deckel

Tab 43: Konkordanz der Formenbezeichnungen		
Typ / Variante	<i>University of Cincinnati Excavations in the Troad</i> (1932–1938)	Projekt Troia (1988–2008)
Sc 1	A 16	2, 13, 17, 18, 29, 59, 974, 1012, 1016, 1017, 1173, 1405, 1594, 1596
Sc 2.1	-	1723
Sc 2.2	-	1782, 1789
Sc 2.3	A 4	1155
Sc 3.1	A 16	299, 1010, 1107, 1173, 1267, 1269, 1520, 1548
Sc 3.2	A 16	1777
Sc 3.3	A 16	10, 299, 564, 938, 939, 974, 982, 984, 1107, 1010, 1016, 1100, 1132, 1520, 1548, 1594, 1738
Sc 3.4	A 16	299, 982, 1132, 1548
Sc 3.5	A 16	1784, 1795
Sc 3.6	A 16	366, 1017, 1596
Sc 4.1	A 18	44, 938, 939, 1016, 1107, 1132, 1269, 1548
Sc 4.2	A 18	982, 1743
Sc 4.3	A 18	366, 1259
Sc 5	A 12	107, 938, 1016, 1107, 1259, 1411
Sc 6.1	A 18	1246, 1269
Sc 6.2	A 18	-
Sc 7	A 20	1177
Sc 8	A 20	1174, 1177
Sc 9	A 21	1268, 1433
Sc 10.1	A 11	979, 1012, 1776
Sc 10.2	A 11	1271, 1776
Sc 11.1	A 18	1404
Sc 11.2	A 18	979, 984, 1177, 1790
Sc 11.3	A 18	1269
Sc 11.4	A 18	-
Sc 11.5	A 11	1177
Sc 11.6	A 11	1246, 1268, 1449, 1774
Sc 12	A 11	1265, 1268
Sc 13	A 21	984, 1534
Sc 14	A 21	-
Sc 15	A 21	1562
Sc 16	A 21	1775

Fortsetzung
Tab. 43

Sc 17	A 18	975, 1012, 1246
Sc 18	A 18	1177, 1781
Sc 19	A 18	832
Te 1	A 2	7, 18, 40, 1562, 1566
Te 2.1	A 2	2, 5, 7, 9, 10, 21, 29, 40, 139, 1187, 1243, 1245, 1652, 1665, 1727
Te 2.2	A 2	1274
Te 3	A 2	17, 19, 139, 1566
To 1.1	C 19	974, 1514
To 1.2	C 19	974, 1594
To 2.1	C 20, C 22	132, 974, 1025, 1405, 1514, 1723
To 2.2	C 20, C 22	974, 1514, 1658, 1723, 1724, 1727
To 2.3	C 20, C 22	1616
To 3.1	C 21	1405
To 3.2	C 21	2, 65, 159, 830, 1155, 1405, 1510, 1514, 1562, 1723
To 3.3	C 21	132, 1155, 1723, 1770
To 4	C 23	1264
Kr 1	B 3	1738
Kr 2	B 3	1787
Ka 1	B 22	-
Ka 2	B 24	-
Ka 3.1	B 20	1543, 1738
Ka 3.2	B 20	1285
Kn	-	-
Be 1	A 41	-
Be 2	A 39	-
Be 3	A 38, A 39	2, 1516
Pl	D 23	-
He 1.1	C 3	1279, 1384,
He 1.2	C 2	1665
He 2	C 5	1301
He 3	C 6, C 7	187, 1254
He 4	C 9	159, 1240
He 5	C 10	1559
He 6	C 11	1720
He 7	C 12	1738, 1796

He 8	C 14	1771
He 9	C 16	1157, 1550
Gr 1	C 39	1738
Gr 2	C 39	-
Gr 3	C 39	1254
De 1	D 5	-
De 2	D 7	-

Fortsetzung
Tab. 43

ren, wie beispielsweise *Vorratsgefäße*, *Kochtöpfe*, *Trinkgefäße* etc.⁷⁸⁴ Insgesamt läßt sich der aufgenommene Fundstoff in 11 Formenklassen unterteilen,⁷⁸⁵ die mit einer jeweils feststehenden Kombination aus Groß- und Kleinbuchstaben des lateinischen Alphabets gekennzeichnet wurden (Tab. 42).

Auf der zweiten Ebene der Klassifikation angesiedelt sind die »Typen«, die sich ausgehend von der jeweils vorgeordneten Formenklasse über verschiedene, in jedem Fall jedoch signifikante Einzelmerkmale, wie vor allem der Rand-, in selteneren Fällen auch der Boden- oder Henkelform eines Gefäßes definieren. Die Benennung der Typen erfolgte anhand arabischer Ziffern, die jeweils hinter den für die Formenklassen verwendeten Bezeichnungen angefügt sind, wie z. B. im Fall der Schalen vom Typ Sc 2.

Die auf unterschiedlichen formalen Ausprägungen gleicher Merkmale beruhenden »Varianten« sind den Typen hierarchisch nachgestellt; sie stellen insgesamt die unterste Stufe der typographischen Differenzierung dar (cf. Tab. 43).⁷⁸⁶ Zu ihrer Kennzeichnung wurden ebenfalls arabische Ziffern verwendet, die grundsätzlich durch einen Punkt von der Kennziffer des jeweils übergeordneten Typs abgegrenzt sind, wie etwa bei der Schalenvariante Sc 2.1 (Taf. 147–166).

4.3.2 Definition der Formen

4.3.2.1 Schalen und Schüsseln

Als Schalen (Sc) bzw. Schüsseln werden offene Gefäße bezeichnet, deren Randdurchmesser in jedem Fall größer ist als die korrespondierende Höhe. Die Unterscheidung zwischen beiden

⁷⁸⁴ Vgl. etwa Blegen *et al.* 1950: 23–24 wo das keramische Fundmaterial zunächst vier übergeordneten Kategorien bzw. Klassen zugeordnet wird: A. Gefäße zum Essen und Trinken (Teller, Schalen und Tassen); B. Gefäße zum Ausgießen (Kannen und andere Gefäße mit Ausguß); C. Gefäße zur Aufbewahrung und Lagerhaltung (Krüge, Töpfe und Pithoi); D. Gefäße für verschiedene andere Zwecke (Kochtöpfe, Deckel, Ständer etc.). Ein im Grunde vergleichbares System der Differenzierung legte auch Podzuweit 1979: 8–9 bei der Neubearbeitung des betreffenden Fundstoffs zugrunde: I. Gefäße zur Nahrungsaufnahme (Teller, Schalen, Tassen, Becher); II. Gefäße zur Nahrungsaufbewahrung (Flaschen, Krüge, Amphoren, kleine Vorratsgefäße, Pithoi); III. Gefäße zur Nahrungsaufbereitung (Eimer, Töpfe); IV. Deckel; V. Sonderformen. Cf. Korfmann 1981: 409; Pavúk 2002: 36. Ergänzend dazu s. Clarke 1968: 189; Whittaker *et al.* 1998: 133–143.

⁷⁸⁵ Vgl. Podzuweit 1979: 9.

⁷⁸⁶ Vgl. Podzuweit 1979: 9. Kritisch dazu insbesondere Seeher 1987: 8 Anm. 29.

Tab. 44	
Typ / Variante	Beschreibung
Sc 1	Halbkugelige Schale mit gerundetem bis keulenförmig verdicktem Rand.
Sc 2.1	Tiefe Schale mit nach innen abgestrichenem Rand.
Sc 2.2	Tiefe Schale mit nach innen abgestrichenem, spitz zulaufendem Rand.
Sc 2.3	Tiefe Schale mit nach außen abgestrichenem Rand.
Sc 3.1	Schale mit einbiegendem, keulenförmig verdicktem Rand.
Sc 3.2	Schale mit einbiegendem verdickten, eckig abgestrichenem Rand.
Sc 3.3	Schale mit einbiegendem, gerundetem Rand.
Sc 3.4	Schale mit einbiegendem, spitz zulaufendem Rand.
Sc 3.5	Schale mit einbiegendem, nach innen abgestrichenem Rand.
Sc 3.6	Schale mit einbiegendem, spitz zulaufendem und nach innen abgestrichenem Rand.
Sc 4.1	Schale mit senkrechtem, gerundetem bis leicht keulenförmig verdicktem Rand.
Sc 4.2	Schale mit senkrechtem, spitz zulaufendem Rand.
Sc 4.3	Schale mit senkrechtem, verdicktem und nach innen abgestrichenem Rand.
Sc 5	Schale mit stumpfwinklig nach innen geknickter Wandung und gerundetem bis keulenförmig verdicktem Rand.
Sc 6.1	Schale mit stumpfwinklig nach innen geknickter, leicht einziehender Wandung und gerundetem bis keulenförmig verdicktem Rand.
Sc 6.2	Schale mit stumpfwinklig nach innen geknickter, leicht einziehender Wandung und verdicktem, spitz zulaufendem Rand.
Sc 7	Schale mit ausgespartem, gerundetem bis keulenförmig verdicktem Rand.
Sc 8	Schale mit umlaufender Kehle und verdicktem, gerundetem oder nach innen abgestrichenem Rand.
Sc 9	Kehlrandschale mit kurzem gerundeten, nach innen abgestrichenem Rand.
Sc 10.1	Schale mit leicht einziehendem, nach innen abgestrichenem Rand.
Sc 10.2	Schale mit leicht einziehendem verdickten, nach innen abgestrichenem Rand.
Sc 11.1	Schale mit Z-förmigem Profil und verdicktem, nach innen abgestrichenem Rand.
Sc 11.2	Schale mit Z-förmigem Profil und nach außen ziehender, leicht verjüngter Randlippe.
Sc 11.3	Schale mit Z-förmigem Profil und leicht nach außen ziehender, spitz zulaufender Randlippe.
Sc 11.4	Flache Schale mit Z-förmigem Profil und ausladender, spitz zulaufender Randlippe.
Sc 11.5	Schale mit Z-förmigem Profil und nach außen ziehender, gerundeter Randlippe.
Sc 11.6	Schale mit Z-förmigem Profil und verdicktem, nach außen flach abgestrichenem Rand.
Sc 12	Schale mit Z-förmigem Profil und verdicktem, in einem scharfen Winkel nach außen ziehendem, spitz zulaufendem Rand.
Sc 13	Flache Schale mit Z-förmigem Profil und ausladendem, leicht verdicktem und gerundetem Rand.
Sc 14	Schale mit leicht einziehendem Rand und nach oben ausgezogener, verdickter und gerundeter Randlippe.
Sc 15	Schale mit leicht einziehendem Rand und nach unten ausgezogener, gerundeter Randlippe.
Sc 16	Flache Schale mit einziehendem Rand und nach unten ausgezogener, spitz zulaufender Randlippe.

Sc 17	Schale mit leicht einziehendem Rand und kurzer, senkrechter Randlippe.
Sc 18	Tiefe Schale mit umlaufender Kehle und ausladendem, gerundetem Rand.
Sc 19	Tiefe Schale mit umlaufender Kehle und gerundetem Rand.

Fortsetzung
Tab. 44

Grundformen erfolgt für gewöhnlich anhand des je spezifischen Verhältnisses zwischen Höhe und Breite;⁷⁸⁷ unter Schalen werden flache Gefäße verstanden, deren Höhe einen Wert von maximal der Hälfte des Raddurchmessers oder weniger erreicht, während sie bei Schüsseln, die nicht selten über einen größeren Durchmesser und eine steilere Gefäßwandung verfügen,⁷⁸⁸ die Hälfte des Durchmessers überschreitet. Auch wenn sich bei dem hier zur Diskussion stehenden Fundmaterial entsprechend der allgemeinen Variabilität von Breiten- und Höhenmaßen eine dieser Vorgabe gemäße Trennung vornehmen ließe, wird angesichts des Umstands, daß beide Formenklassen zu einem nicht unbeträchtlichen Teil durch Randstücke repräsentiert werden, die je nach dem Grad ihrer Fragmentierung gegebenenfalls keine eindeutige Bestimmung des weiteren Wandungsverlaufs und damit der ursprünglichen Gefäßhöhe zulassen, auf eine Differenzierung zwischen Schüsseln und Schalen zugunsten von letztgenannten verzichtet.⁷⁸⁹ Hinzu kommt, daß identische Randausbildungen ohne erkennbare Regelmäßigkeit bei beiden Formen vorkommen können, so daß auch diesbezüglich keine klar umrissenen Unterscheidungskriterien vorliegen. Soweit die Größe der erhaltenen Randstücke dies zuließ, richtet sich die für die Formenklasse »Schale« vorgenommene Unterteilung in Typen und Varianten von diesen primär nach dem Verlauf der Gefäßwandung, sekundär nach der Formgebung der Randpartie. Aufgrund des häufig schlechten Erhaltungszustands lassen sich nicht allen Typen mit endgültiger Sicherheit Bodenformen zuweisen; es kommen jedoch sowohl Flach- als auch ausgeprägte Rundböden vor. Henkel, sofern im ursprünglichen Zustand vorhanden, sind unabhängig von der Zuweisung eines Gefäßes zu einem bestimmten Schalentyp oder dessen Varianten grundsätzlich in Form randständiger Parallelhenkel vorauszusetzen (Tab. 44; Taf. 167–195.4).⁷⁹⁰

Tab. 45	
Typ / Variante	Beschreibung
Te 1	Geradwandiger bis leicht gerundeter Teller mit gerundetem Rand.
Te 2.1	Geradwandiger Teller mit keulenförmig verdicktem Rand.
Te 2.2	Geradwandiger Teller mit gerundetem, nach außen umbiegender Rand.
Te 3	Teller mit leicht gerundeter Wandung und keulenförmig verdicktem Rand.

⁷⁸⁷ Cf. Hachmann 1969: 125; Bauer *et al.* 1993: 30.

⁷⁸⁸ Cf. Kull 1988: 138; Seeher 1987: 113–113; Di Nocera 1998: 87.

⁷⁸⁹ Wie auch Kaschau 1999: 36; Genz 2002: 25 Anm. 10.

⁷⁹⁰ S. hierzu auch Podzuweit 1979: 107–139 u. Taf. 1–4.

4.3.2.2 Teller

In der Formenklasse Teller (Te) werden offene, flachkonisch bis leicht gerundet geformte Gefäße zusammengefaßt, deren Höhe in aller Regel weniger als ein Drittel des Randdurchmessers beträgt.⁷⁹¹ Die teils nach außen verdickten und stark abgerundeten Ränder gehen stets direkt in die vorwiegend geradlinig verlaufende oder nur wenig strukturierte Wandung über, die Böden sind ohne Ausnahme flach (Taf. 195.5–201).

4.3.2.3 Töpfe

Unter Töpfen (To) werden konische, ovale oder gerundete Gefäße ohne ausgeprägten Hals verstanden, deren Randdurchmesser identisch oder deutlich kleiner sein kann als die in aller Regel am Bauch gelegene größte Breite; unabhängig von der jeweiligen Grundform des Gefäßes kann die Höhe größer sein als der Durchmesser des Randes oder identische Maße aufweisen.⁷⁹² Wenn gleich für die typographische Differenzierung der Formenklasse im wesentlichen kleinteiliges Scherbenmaterial zur Verfügung steht, geben insbesondere Randfragmente mit erhaltenem Schulteranschluß hinreichend Auskunft über den ursprünglichen Verlauf des Gefäßoberteils bzw. des -umbruchs; je nach Steigung der Schulterpartie, ist dann von einem rundbauchigen, ovalen oder eher schlankeren Profilverlauf auszugehen. Bei ovoiden Typvertretern gehen die Ränder stets direkt in eine einziehende Gefäßschulter über und können bei identischer Körpergestalt formal variieren.⁷⁹³ Abhängig vom jeweiligen Zustand der Erhaltung sind für verschiedene Vertreter der Formenklasse zwei sich an der weitesten Stelle des Gefäßkörpers gegenüberliegende

Typ / Variante	Beschreibung
To 1.1	Topf mit einbiegendem, nach innen abgestrichenem Rand.
To 1.2	Topf mit einbiegendem, gerundetem Rand.
To 2.1	Topf mit leicht einbiegendem, nach innen abgestrichenem Rand.
To 2.2	Topf mit leicht einbiegendem, gerundetem Rand.
To 2.3	Topf mit leicht einbiegendem, verdicktem und nach innen abgestrichenem Rand.
To 3.1	Topf mit nach innen abgestrichenem Rand.
To 3.2	Topf mit gerundetem Rand.
To 3.3	Topf mit horizontal abgestrichenem Rand.
To 4	Topf mit leicht einziehendem, nach innen abgestrichenem Rand.

⁷⁹¹ Vgl. Podzuweit 1979: 130–131 u. Taf. 3.1. Cf. Zimmermann 2006: 11–12.

⁷⁹² S. in diesem Zusammenhang auch Podzuweit 1979: 208–215.

⁷⁹³ Vgl. Kull 1988: 152–157; Seeher 1987: 23, 41, 135–136; Di Nocera 1998: 92; Kaschau 1999: 54, 62.

Senkrechtchenkel oder kurz unter dem Rand angebrachte Ohrengriffe belegt;⁷⁹⁴ als Bodenformen sind insbesondere Flachbasen vorauszusetzen, doch zeigen einzelne Scherbenfunde, daß es auch solche mit Rundboden gegeben haben muß (Taf. 202–212).⁷⁹⁵

4.3.2.4 Krüge

Hauptmerkmale der Krüge (Kr) sind ein bauchiger bis gestreckter Gefäßkörper sowie ein ausgeprägter Hals, der sich mehr oder weniger deutlich vom Körper absetzt. Der Rand verläuft stets horizontal. Ein oder gegebenenfalls zwei Henkel führen vom Rand oder Hals auf den Körper hinunter.⁷⁹⁶ Die Böden der Krüge sind überwiegend flach, doch sind im betreffenden Fundmaterial auch wenig ausgeprägte Rundbasen vertreten (Taf. 213–214.1).⁷⁹⁷

Tab. 47	
Typ / Variante	Beschreibung
Kr 1	Einhenkliger Krug mit abgesetztem Hals und leicht ausbiegendem verdickten, nach außen abgestrichenem Rand.
Kr 2	Einhenkliger Krug mit abgesetztem Hals und ausladendem, horizontal abgestrichenem Rand.

4.3.2.5 Kannen

Kannen (Ka) sind geschlossene Gefäße mit kugeligem oder gestreckt ellipsoidem Körper und verengter, erkennbar abgesetzter Halspartie.⁷⁹⁸ Typisch ist ein Henkel, der am Hals ansetzt und auf die Schulter hinabreicht sowie ein Ausguß auf der dem Henkel gegenüberliegenden Seite. Hinsichtlich ihrer Grundform stehen die Kannen den Krügen sehr nahe und sind meist nur bei einer genügend großen Randerhaltung von diesen klar zu trennen. Die Böden der Kannen sind grundsätzlich flach, wobei die Gefäßwandung meist in einer geschwungenen Linie vom Bauch zum Boden verläuft (Taf. 214.2–215).⁷⁹⁹

Tab. 48	
Typ / Variante	Beschreibung
Ka 1	Kanne mit abgesetztem Hals und schräger Mündung.
Ka 2	Kanne mit abgesetztem Hals und kleeblattförmiger Mündung.
Ka 3.1	Einhenkelige Kanne mit langem, schmalem Hals und abgesetzter, schnabelförmiger Mündung.
Ka 3.2	Einhenkelige Kanne mit langem, schmalem Hals und schräger, schnabelförmiger Mündung.

⁷⁹⁴ Cf. Blegen *et al.* 1951: 132–133, 245–246.

⁷⁹⁵ Cf. Podzuweit 1979: 208–215 u. Taf. 18, 19.

⁷⁹⁶ Cf. Kull 1988: 148; Seeher 1987: 40; Kaschau 1999: 46–47; Zimmermann 2006: 19–22.

⁷⁹⁷ Vgl. Podzuweit 1979: 165–181.

⁷⁹⁸ Vgl. Kull 1988: 146; Kaschau 1999: 46.

⁷⁹⁹ Entsprechend Blegen *et al.* 1951: 129–130, 244.

4.3.2.6 Kännchen

Kännchen (Kn) unterscheiden sich im wesentlichen aufgrund ihrer Größe und Proportion von den Kannen; sie sind erheblich kleiner und deutlich schlankeren Zuschnitts als diese. Der in jedem Fall vorauszusetzende Henkel setzt am Rand oder Hals des Gefäßes an und führt zu dessen Schulter hinab, der weitere Wandungsverlauf ist geschwungen. Die zugehörigen Bodenformen sind flachrunder Ausprägung (Taf. 216.1).

4.3.2.7 Becher

Zur Formenklasse Becher (Be), den sogenannten *Tankards*,⁸⁰⁰ zählen zunächst Gefäße mit stark tailliertem Körper, tiefliegendem Umbruch sowie einer ausladenden Randzone. Bezeichnend ist ein vergleichsweise weit aufragender Senkrechthenkel, der unmittelbar am Gefäßrand ansetzt und im mittleren Schulterbereich endet; die Böden der entsprechenden Typvertreter sind stets deutlich gerundet.⁸⁰¹ Hinzu kommen geschlossene bauchige Gefäße, die über einen hoch angesiedelten Bauchknick, einen ausbiegenden Rand sowie einen senkrecht ansetzenden Henkel verfügen, der vom Rand ausgehend leicht nach oben zieht und schließlich am Übergang vom Bauch zur Schulter endet; die zugehörigen Böden sind flach. Gefäße mit kugeligem Körper, ausgeprägtem Bauchknick und vergleichsweise langem, leicht geschweiftem Hals und Flachboden zählen ebenfalls zu dieser Formklasse (Tab. 49; Taf. 216.2–217.5).⁸⁰²

4.3.2.8 Platten

Kennzeichnend für Platten (Pl) ist ein ausgesprochen flacher Boden mit großem Durchmesser sowie ein kurzer steiler Rand. Vollständige Exemplare von Platten sind nicht erhalten und insgesamt auch nur sehr wenige kleinere Fragmente, jedoch scheint es sich um eine runde Grundform zu handeln.⁸⁰³ Die Innenseiten der Platten sind stets geglättet, während die Bodenpartien grundsätzlich keine Spuren einer Überarbeitung aufweisen und dementsprechend rauh ausfallen.⁸⁰⁴

4.3.2.9 Henkelkrüge

Als Henkelkrüge (He) werden Gefäße mit bauchigem oder eiförmigem Körper bezeichnet, deren leicht einziehende oder ausladende Halszone sich deutlich vom Gefäßkörper absetzt; der Rand

⁸⁰⁰ Blegen *et al.* 1951: 126–127, 242–243. Cf. Zimmermann 2006: 12.

⁸⁰¹ S. hierzu auch Zimmermann 2006: 13.

⁸⁰² Blegen *et al.* 1951: 126–127, 242–243. Vgl. Rutter 1995: 308–309, 318–319 u. III. S4.3; Di Nocera 1998: 92.

⁸⁰³ Cf. Frirdich 1997: 199 Taf. 1.7.

Tab. 49	
Typ / Variante	Beschreibung
Be 1	Einhenkeliger, sanduhrförmiger Becher.
Be 2	Einhenkeliger Becher mit Bauchknick und ausladendem Rand.
Be 3	Einhenkeliger Becher mit kugeligem Körper und abgesetztem, geschweiftem Hals.

Tab. 50	
Typ / Variante	Beschreibung
He 1.1	Henkelkrug mit breitem ovalen Körper und abgesetztem, geschweift ausladendem Trichterrand.
He 1.2	Henkelkrug mit breitem ovalen bis doppelkonischem Körper und abgesetztem, ausladendem Trichterrand.
He 2	Henkelkrug mit rundem Körper und abgesetztem, konischem Rand.
He 3	Henkelkrug mit rundem Körper, zylindrischem Hals und leicht ausbiegender Randlippe.
He 4	Henkelkrug mit ovalem Körper und trichterförmigem, gerundetem Rand.
He 5	Henkelkrug mit langovalem Körper, abgesetztem Hals und leicht ausbiegendem verdickten, nach außen abgestrichenem Rand.
He 6	Henkelkrug mit ovalem Körper und abgesetztem trichterförmigen, nach innen abgestrichenem Rand.
He 7	Henkelkrug mit rundem Körper, abgesetztem Hals und leicht ausbiegendem verdickten, nach außen abgestrichenem Rand.
He 8	Henkelkrug mit ovalem Körper und abgesetztem ausladenden, nach innen abgestrichenem Rand.
He 9	Henkelkrug mit ovalem Körper und ausladendem, nach außen abgestrichenem Rand.

verläuft stets horizontal. Meist finden sich zwei gegenständige Senkrecht- oder Parallelhenkel an der weitesten Stelle des Gefäßkörpers, gelegentlich auch im Bereich der Schulter.⁸⁰⁵ Größerdimensionierte Vertreter dieser Grundform leiten bereits zur Formenklasse Großgefäße über.⁸⁰⁶ Hinsichtlich der Bodenformen sind bei den Henkelkrügen insbesondere Flachbasen vertreten,⁸⁰⁷ doch zeigen einzelne Scherbenfunde, daß es auch solche mit flachem Rundboden gab (Tab. 50; Taf. 217.6–220.3).

4.3.2.10 Großgefäße

Formal beruhen die Vertreter der Formenklasse Großgefäße (Gr) auf den Henkelkrügen, von denen sie sich in erster Linie durch einen deutlichen Unterschied in der Größe absetzen;⁸⁰⁸ die

⁸⁰⁴ S. hierzu auch Seeher 1987: 143; Di Nocera 1998: 93; Kaschau 1999: 73.

⁸⁰⁵ Cf. Rutter 1995: 404–407.

⁸⁰⁶ Cf. Podzuweit 1979: 184–192, 205–207.

⁸⁰⁷ S. hierzu auch Blegen *et al.* 1951: 130–132, 135, 244, 247. Cf. Zimmermann 2006: 24–26.

⁸⁰⁸ Seeher 1987: 139.

Tab. 51	
Typ / Variante	Beschreibung
Gr 1	Großgefäß mit ovalem Körper, abgesetztem zylindrische Hals und ausgestellt, nach außen abgestrichenem Rand.
Gr 2	Großgefäß mit ovalem Körper, abgesetztem zylindrischen Hals und leicht ausbiegendem, spitz zulaufendem Rand.
Gr 3	Großgefäß mit ovalem Körper, abgesetztem zylindrischen Hals und leicht ausbiegendem, horizontal abgestrichenem Rand.

Höhe der Gefäße ist dabei stets größer als der größte Durchmesser. Zwei gegenständige Henkel im Bereich der Schulter oder an der weitesten Stelle des Gefäßkörpers sind voranzusetzen, ebenso wie Flachböden (Tab. 51; Taf. 220.4–221.2).⁸⁰⁹

4.3.2.11 Deckel

Hauptmerkmale der in der Formenklasse Deckel (De) zusammengefaßten keramischen Fundobjekte sind eine konische bis glockenförmige Grundgestalt sowie ein ein- oder dreiarmer Bügelhenkel. Die Oberseite ist konvex ausgeprägt und können vom Unterteil gegebenenfalls deutlich abgesetzt sein (Taf. 221.3–223).⁸¹⁰

Tab. 52	
Typ / Variante	Beschreibung
De 1	Deckel mit geschweiftem Unterteil, flach gewölbter Oberseite und einfachem Bügelhenkel.
De 2	Deckel mit abgesetztem geraden Unterteil, gewölbter Oberseite und dreiarmigem Bügelhenkel.

4.3.3 Quantitative Verteilung der Formenklassen, Typen und Varianten

Bezogen auf die Gesamtmenge der Troia IV- und Troia- V-zeitlichen Keramik der Planquadrate A 5/6 verteilen sich die Formenklassen wie folgt (Tab. 53):

Der Anteil der Typen und Varianten an der Gesamtmenge der erfaßten Keramik sowie den diesen jeweils übergeordneten Formenklassen stellt sich folgendermaßen dar (Tab. 54):

⁸⁰⁹ Entsprechend Blegen *et al.* 1951: 135, 247.

⁸¹⁰ Vgl. Di Nocera 1998: 93. Cf. Podzuweit 1979: 216–227 u. Taf. 22, 23; Zimmermann 2006: 26–27.

Formenklasse	Anzahl	Prozentualer Anteil
Sc	195	3,6 %
Te	70	1,2 %
To	68	1,2 %
Kr	2	0 %
Ka	6	0,1 %
Kn	1	0 %
Be	8	0,1 %
Pl (nur in Wandscherben vorliegend)	mind. 16	0,3 %
He	18	0,3 %
Gr	3	0 %
De	5	0,1 %

Formenklasse	Typ / Variante	Anzahl	Prozentualer Anteil an der Formenklasse
Sc	Sc 1	27	13,8 %
	Sc 2.1	1	0,5 %
	Sc 2.2	2	1 %
	Sc 2.3	1	0,5 %
	Sc 3.1	24	12,3 %
	Sc 3.2	5	2,6 %
	Sc 3.3	47	24,1 %
	Sc 3.4	5	2,6 %
	Sc 3.5	2	1 %
	Sc 3.6	4	2 %
	Sc 4.1	12	6,1 %
	Sc 4.2	4	2 %
	Sc 4.3	3	1,5 %
	Sc 5	13	6,7 %
	Sc 6.1	2	1 %
	Sc 6.2	1	0,5 %
	Sc 7	2	1 %
	Sc 8	2	0,5 %
	Sc 9	2	0,5 %
	Sc 10.1	5	2,4 %

Fortsetzung
Tab. 54

	Sc 10.2	2	0,5 %
	Sc 11.1	1	0,5 %
	Sc 11.2	4	2 %
	Sc 11.3	1	0,5 %
	Sc 11.4	1	0,5 %
	Sc 11.5	3	1,5 %
	Sc 11.6	5	2,6 %
	Sc 12	2	1 %
	Sc 13	3	1,5 %
	Sc 14	1	0,5 %
	Sc 15	1	0,5 %
	Sc 16	1	0,5 %
	Sc 17	3	1,5 %
	Sc 18	2	1 %
	Sc 19	1	0,5 %
	Te	Te 1	10
Te 2.1		51	72,9 %
Te 2.2		2	2,9 %
Te 3		7	10 %
To	To 1.1	7	10,3 %
	To 1.2	4	5,9 %
	To 2.1	17	25 %
	To 2.2	19	28 %
	To 2.3	2	2,9 %
	To 3.1	1	1,5 %
	To 3.2	13	19,1 %
	To 3.3	4	5,9 %
	To 4	1	1,5 %
Kr	Kr 1	1	50 %
	Kr 2	1	50 %
Ka	Ka 1	1	16,7 %
	Ka 2	2	33,3 %
	Ka 3.1	2	33,3 %
	Ka 3.2	1	16,7 %
Be	Be 1	1	12,5 %
	Be 2	2	25 %

	Be 3	5	62,5 %
He	He 1.1	2	11,1 %
	He 1.2	1	5,6 %
	He 2	1	5,6 %
	He 3	3	16,7 %
	He 4	2	11,1 %
	He 5	1	5,6 %
	He 6	1	5,6 %
	He 7	4	22,2 %
	He 8	1	5,6 %
	He 9	2	11,1 %
Gr	Gr 1	1	33,3 %
	Gr 2	1	33,3 %
	Gr 3	1	33,3 %
De	De 1	2	40 %
	De 2	3	60 %

Fortsetzung
Tab. 54

4.4 Korrelation von Waren und Formenklassen

Die spezifische Verteilung der Waren 1A bis 12 auf die Formenklassen Sc bis De dürfte in erster Linie auf funktionale, d. h. nutzungsbedingte Faktoren zurückzuführen sein;⁸¹¹ die einzelnen Materialgruppen verfügen teils über sehr unterschiedliche physische Eigenschaften, so daß sich Gefäße eines bestimmten Produktionsbereichs – unabhängig von ihrer jeweiligen äußeren Gestalt – für manche Arten der Verwendung besser eignen als für andere (Tab. 55).⁸¹²

In Ware 1A finden sich schwerpunktmäßig Teller der Typen Te 2.1 bis Te 3, daneben in geringer Anzahl auch Schalen, Kannen und Henkelkrüge (*cf.* Abb. 73). Ware 1B ist ausschließlich Schalen und Tellern vorbehalten, während Ware 1C lediglich durch ein einzelnes Fundstück in der Formenkategorie Te vertreten ist. Mit 12 von insgesamt 15 Exemplaren liegt Ware 1D vor allem in Form von Schalen vor, seltener dagegen als Henkelkrug oder Deckel. Die in Areal A 5/6 insgesamt am häufigsten vertretene Warengattung 2A deckt ein vergleichsweise breites Formenspektrum ab, ohne dabei besonders auffällige Schwerpunkte in der Verteilung aufzuweisen: Schalen, Teller, Krüge und Kannen sind dabei ebenso im Fundbild vertreten wie Becher und

⁸¹¹ Ob und gegebenenfalls inwieweit die bestehenden Kombinationen auch aus der Spezialisierung einzelner handwerklicher Betriebe auf bestimmte Typen von Gefäßen hervorgegangen sein mögen, entzieht sich infolge geringer Stückzahlen einer weiteren Erschließung.

⁸¹² *Cf.* Blegen *et al.* 1951: Table 28; Podzuweit 1979: 10–11 u. Beilage 11–14. Ergänzend dazu s. etwa Kull 1988: 127–130; Di Nocera 1998: 94–95.

Tab. 55: Korrelation von Waren und Formenklassen.

	Sc	Te	To	Kr	Ka	Kn	Be	Pl	He	Gr	De
1A	2	44			1				2		
1B	20	5									
1C		1									
1D	12								1		2
2A	8	5		1	3		1		3		
2B	1	2									
2C	136	12		1	2	1	7		5		3
3A	5	1									
3B	1		2								
3C	1		2								
3D	7		2								1
3E			1								
4	4										
5A	1								1		
5B									2		
6								mind. 16			
7	4		7								
8			1						1	2	
9											
10			3						2	1	
11	2		8	1					1		
12	1		42								

Henkelkrüge. Dagegen ist Ware 2B als eine der feinen Keramikgattungen ausnahmslos auf Schalen und Teller beschränkt. 136 der insgesamt 195 Vertreter der Formenklasse Sc liegen in Ware 2C vor, seltener tritt diese bei Tellern der Typen Te 1 bis Te 2.2, bei Krügen, Kannen, Kännchen, Bechern, kleineren Henkelkrügen und bei Deckeln in Erscheinung, dominiert also deutlich bei den kleineren Formen. Ware 3A scheint ausnahmslos der Herstellung von Schalen und Tellern vorbehalten gewesen zu sein, während aus Waren 3B und 3C im wesentlichen Schalen und Töpfe gefertigt wurden. Mit sieben Fundstücken ist Ware 3D in Formenklasse Sc vertreten, mit zwei in Formenklasse To und einem weiteren in Formenklasse De; zur Warengattung 3E gehört ein einzelner Topf, in Ware 4 sind ausschließlich Schalen. Aus den organisch gemagerten Ware 5A und 5B wurden neben Schalen insbesondere Henkelkrüge hergestellt, Ware 6 tritt dagegen nur in Verbindung mit Formenklasse Pl auf. In Ware 7 finden sich Schalen und Töpfe, in Warentyp 8 Töpfe, Henkelkrüge und – wenn auch nur in äußerst geringer Menge –

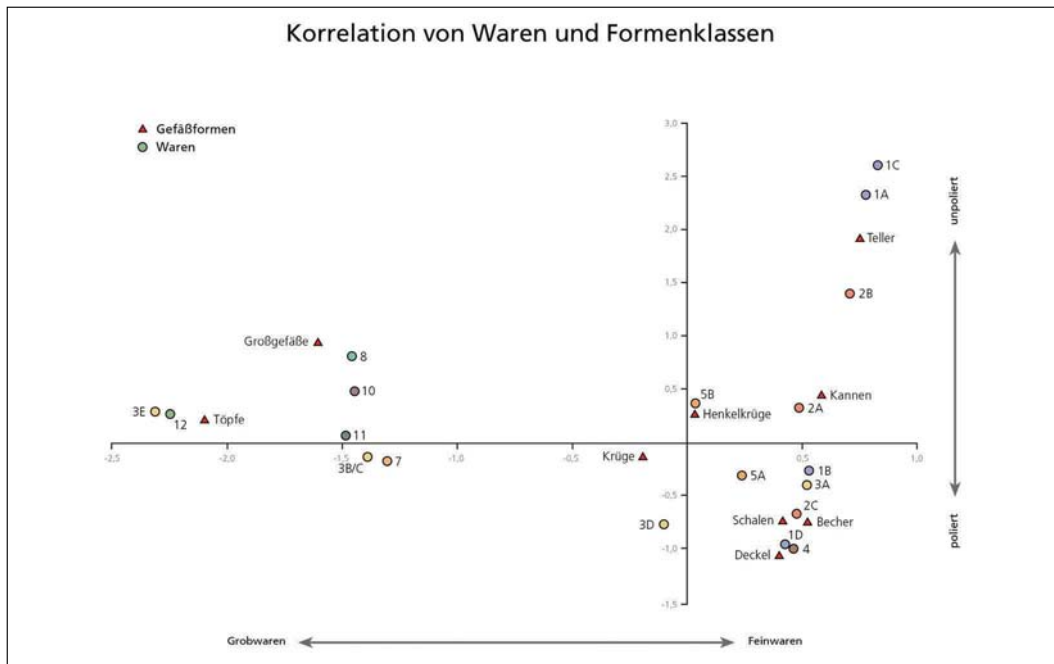


Abb. 73 Position der Formenklassen und Waren im Raum der ersten beiden Eigenvektoren einer Korrespondenzanalyse.

Großgefäße. Keine Randformen sind für Warenklasse 9 belegt, zu Krügen, Henkelkrügen und Großgefäßen gehörende Stücke dagegen für Ware 10. Vertreter der Formenklassen Sc, Kr, He und To finden sich ebenfalls an Ware 11 gebunden, während Ware 12 mit 42 von insgesamt 43 Fundstücken nahezu ohne Ausnahme in Form von Töpfen in Erscheinung tritt; lediglich eine einzelne Schale der Form Sc 2.2 ist ebenfalls in dieser Warengattung vertreten (cf. Taf. 41, 43).

4.5 Dekorationen

Wie in anderen Troia IV- und Troia V-zeitlichen Fundkontexten fällt auch in den Planquadraten A 5/6 das quantitative Verhältnis zwischen dekoriertem und undekoriertem Keramik deutlich zugunsten letzterer aus;⁸¹³ von den insgesamt 5640 dokumentierten Fundstücken weisen lediglich 50 (0,89 %) eine Verzierung auf (Tab. 56).

Tab. 56	
Art der Dekoration	Anzahl der Fundstücke
Bemalungen	34
Negative Elemente der Verzierung mit und ohne Inkrustation	9
Applikationen	7

⁸¹³ Grundsätzlich dazu s. Blegen *et al.* 1951: 136–138, 249–251.

4.5.1 Art und quantitative Verteilung der Dekorationen

4.5.1.1 Bemalungen

Mit einem Anteil von 68 % sind kreuz- und sternförmige Bemalungen aus rotbrauner bis hellroter Tonschlämme auf der Innen- und/oder Außenseite von Schalen die am häufigsten belegte Art der Dekoration (Taf. 224–230).⁸¹⁴ Die sogenannten *Red cross* bzw. *Multiple cross bowls* liegen in der Hauptsache in Ware 2C vor, seltener in Ware 1B;⁸¹⁵ unter den Formen dominieren die Varianten Sc 3.1 und Sc 5 mit jeweils vier belegten Exemplaren, während die Schalenformen Sc 3.4, Sc 8, Sc 10.1 und Sc 13 mit nur zwei oder weniger Stücken vertreten sind.⁸¹⁶ Je nach Lage und Anordnung der dekorativen Elemente auf der Oberfläche des Gefäßes lassen sich im ganzen vier Arten der Gestaltung unterscheiden: In den meisten Fällen sind die Außenseiten der Schalen flächig poliert oder mit einem pastosen roten Überzug versehen, der gegebenenfalls den Rand sowie den oberen Teilbereich der Innenseite mit bedecken kann,⁸¹⁷ während sich im Inneren zwei bis zu 5,3 cm breite, bisweilen leicht asymmetrisch verlaufende und scheinbar flüchtig überglättete Bänder rechtwinklig kreuzen.⁸¹⁸ Seltener sind demhingegen Exemplare mit einer entsprechenden radialen Dekoration sowohl auf der äußeren wie auch auf der inneren Seite des Gefäßes, und lediglich bei einer einzelnen *Red cross bowl* (A5/6.818.02) der Form Sc 3.1 wurde das Kreuzornament nur auf die Oberfläche der Gefäßaußenseite aufgetragen (Taf. 172.3);⁸¹⁹ singularär im Fundmaterial der Quadrate A 5/6 ist zudem ein Schalenfragment (A5/6.831.01) mit einer sternförmigen Bemalung auf der Innen- und Außenseite (Taf. 230.1).⁸²⁰

4.5.1.2 Negative Elemente der Verzierung mit und ohne Inkrustation

Mit nur vier erhaltenen Fragmenten treten rillenverzierte Gefäße gegenüber den *Red cross bowls* deutlich in den Hintergrund.⁸²¹ Insgesamt scheint diese Art des Dekors an die Formenklasse Kanne (Ka) gebunden gewesen zu sein und tritt ausschließlich in den Waren 2C und 3D auf, wobei die horizontal umlaufenden Ornamente bei letztgenannter zusätzlich weiß inkrustiert sind (A5/6.727.05; Taf. 231.3).⁸²² Bei drei Exemplaren liegen die verhältnismäßig dicht übereinander angeordneten Parallelrillen im Bereich des Halses, und nur bei einem Typvertreter der Warenklasse 2C (A5/6.727.09; Taf. 231.4) befindet sich ein umlaufendes Rillenpaar auf der Ge-

⁸¹⁴ Zur Verbreitung und chronologischen Stellung der Objektgruppe s. Kapitel 8 »Kulturhistorische Verortung der Perioden Troia IV und Troia V«.

⁸¹⁵ Cf. Symington 2007a: 308.

⁸¹⁶ Vgl. Blegen *et al.* 1951: 250–251; Lloyd/Mellaart 1962: 254.

⁸¹⁷ Wie auch Symington 2007a: 308.

⁸¹⁸ Symington 2007a: 308.

⁸¹⁹ S. hierzu auch Blegen *et al.* 1951: 251. Cf. Korfmann 1983b: 292.

⁸²⁰ Cf. Blegen *et al.* 1951: 251; Lloyd/Mellaart 1962: 254.

⁸²¹ Vgl. Blegen *et al.* 1951: 137.

⁸²² Cf. Symington 2007a: Fig. 378.411, 415–417 u. Fig. 379.446–447.

fäßschulter, unmittelbar über dem unteren Ansatz eines unter den Keramikfunden der Quadrate A 5/6 ansonsten singulären Doppelhenkels.⁸²³

Kurze horizontale Ritzungen im Bereich des Henkelrückens sind charakteristisch für Fundstück A5/6.325.06, einem in Ware 2A gefertigten Senkrechtchenkel (Taf. 232.1). Eine weiß inkrustierte Ritzlinie mit darunterliegendem Einstichdekor findet sich bei Fragment A5/6.847.07 aus Ware 1B (Taf. 232.2),⁸²⁴ bei Keramikobjekt A5/6.678.12 (Ware 3B) liegt überhalb des waagerechten, ebenfalls mit weißer Inkrustation versehenen Liniendekors eine dichte, in unregelmäßigen Abständen angeordnete Schrägschraffur (Taf. 232.3). Von der Grundkonzeption her vergleichbar, wenn auch deutlich symmetrischer ausgeführt ist die Dekoration einer mit A5/6.556.06 erfaßten Schale der Form Sc 3.3 (Ware 3D): knapp 6 mm unterhalb des einbiegenden, gerundeten Rands befindet sich ein horizontal umlaufendes, weiß inkrustiertes Rillenspaar, dessen 8 mm breiter Zwischenraum mit kurzen parallelen, von unten links nach oben rechts verlaufenden Strichen aufgefüllt wurde (Taf. 178.3).

Fundstück A5/6.937.05, ein insgesamt 6,4 cm breiter Senkrechtchenkel eines aus Ware 8 gefertigten Großgefäßes weist im Bereich des abgeflachten Henkelrückens zwei breite, annähernd parallel verlaufende Senkrechtriefen sowie ein sich nahe des Ansatzes befindliches Kreisornament auf (Taf. 234.1); beide Arten der Dekoration finden im Fundspektrum der Quadrate A 5/6 keine Entsprechung.

4.5.1.3 Applikationen

Plastische Verzierungen in Form aufgesetzter Leisten und Knubben sind für insgesamt sieben Fundstücke belegt.⁸²⁵ Davon entfallen vier auf erstgenannte Kategorie, wobei alle Typvertreter zu Spiraldekorationen zu ergänzen sind,⁸²⁶ die ausschließlich in Kombination mit Ware 2C vorkommen und an Gefäße der Formenklasse He 2 gebunden sind (Taf. 232.4–233.1).⁸²⁷

Über eine langovale Knubbe im oberen Schulterbereich verfügt das aus Ware 11 gefertigte Gefäß A5/6.835.02 (Taf. 233.2), rund und horizontal abgeflacht ist dagegen diejenige des Fundstücks A5/6.941.06 aus Ware 12 (Taf. 233.3). Zwei kleinere, annähernd kreisrunde Knubben sitzen auf dem gewölbten Rücken eines mit Fundeinheit A5/6.325.05 erfaßten Senkrechtchenkels der Warengattung 1B (Taf. 233.4).

⁸²³ Cf. Symington 2007a: Fig. 379.433–435, 446.

⁸²⁴ In diesem Zusammenhang s. auch Blegen *et al.* 1951: 250.

⁸²⁵ Allgemein dazu s. Blegen *et al.* 1951: 137.

⁸²⁶ Cf. Blegen *et al.* 1951: Fig. 244.23.

⁸²⁷ S. hierzu auch Blegen *et al.* 1951: 137, 249.

Quantitativ verteilen sich die Dekorationen wie folgt (Tab. 57):

Tab. 57			
Dekoration	Anzahl	Troia Inv.Nr.	Tafel
<i>Red cross bowl</i>	34	A5/6.751.05	171.5
		A5/6.818.02	172.3
		A5/6.556.03	173.4
		A5/6.727.16	175.3
		A5/6.333.01	183.2
		A5/6.570.03	187.1
		A5/6.712.08	188.5
		A5/6.333.02	188.6
		A5/6.242.11	189.7
		A5/6.672.03	190.6
		A5/6.559.03	193.6
		A5/6.314.09	194.1
		A5/6.189.17	224.1
		A5/6.189.18	224.2
		A5/6.189.19	224.3
		A5/6.189.20	224.4
		A5/6.189.21	224.5
		A5/6.189.22	224.6
		A5/6.209.07	224.7
		A5/6.209.12	224.8
		A5/6.237.16	225.1
		A5/6.237.17	225.2
		A 5/6.242.09	225.3
		A5/6.266.01	225.4
		A5/6.502.05	225.5
		A5/6.502.06	225.6
		A5/6.542.01	226.1
		A5/6.542.02	227.1
		A5/6.568.03	228.1
		A5/6.603.08	228.1
		A5/6.689.01	228.2
		A5/6.727.12	230.2

		A5/6.733.06	229.2
		A5/6.831.01	230.1
Parallel verlaufende Horizontalrillen, teilweise weiß inkrustiert	4	A5/6.762.10	231.1
		A5/6.709.18	231.2
		A5/6.727.05	231.3
		A5/6.727.09	231.4
Kurze horizontale Ritzungen	1	A5/6.325.06	232.1
Horizontale Ritzlinie und Einstichdekor, weiß inkrustiert	1	A5/6.847.07	232.2
Horizontale Ritzlinien und Schrägschraffur, weiß inkrustiert	2	A5/6.678.12	232.3
		A5/6.556.06	178.3
Riefen- und Kreisdekor	1	A5/6.937.05	234.1
Aufgesetzte Leisten (Spiraldecor)	4	A5/6.556.05	232.4
		A5/6.885.04	232.5
		A5/6.847.08	232.6
		A5/6.603.10	233.1
Langovale Knubben	1	A5/6.835.02	233.2
Kreisförmige, horizontal abgeflachte Knubben	1	A5/6.941.06	233.3
Aufgesetzte kreisförmige Knubben	1	A5/6.325.05	233.4

 Fortsetzung
 Tab: 57

4.6 Beobachtungen zur Herstellungstechnik Troia IV- und Troia V-zeitlicher Keramik

Ausgehend von der Gesamtheit der erfaßten diagnostischen, d. h. einer bestimmten Formenklasse fest zuweisbaren Einzelstücke, stehen in den Quadraten A 5/6 insgesamt 243 auf der Töpferscheibe gefertigten – oder zumindest auf dieser abschließend nachbearbeiteten⁸²⁸ – Exemplaren (63,1 %) 142 handgeformte Fragmente gegenüber (36,9 %).⁸²⁹ Je nach Grundform ist das quantitative Verhältnis zwischen scheibengedrehten und in Aufbautechnik entstandenen Gefäßen mitunter sehr verschieden (Tab. 58),⁸³⁰ zudem dominieren in erstgenanntem Segment vor allem die als »Feinwaren« einzustufenden Keramikgattungen 1A, 1B und 1D sowie 2A bis 2C, während gröber gemagerte Waren vorzugsweise in Verbindung mit handgefertigten Stücken auftreten (cf. Katalog Teil B).⁸³¹

⁸²⁸ S. hierzu auch Kull 1988: 107; Genz 2002: 36.

⁸²⁹ Cf. Kull 1988: 104–111; Wattenmaker 1998: 132–133 u. Tab. 4.

⁸³⁰ Blegen 1963: 109; Blegen *et al.* 1951: 118.

⁸³¹ Allgemein dazu s. Blegen *et al.* 1951: 118, 235.



Abb. 74
Drehrillen auf den
Innenseiten von
Gefäßen der Formen-
klasse SC M 2:1.

Wie teils stark ausgeprägte Drehrillen auf den Gefäßinnenseiten zeigen, überwiegen bei Formenklasse Sc bei nahezu allen Typen und Varianten scheibengedrehte Exemplare bzw. liegen ausschließlich in dieser Machart vor (Abb. 74);⁸³² lediglich bei Schalen der Form Sc 1.1 kommen auf 17 handgefertigte Variantenvertreter nur zehn auf der Töpferscheibe produzierte Stücke (cf. Tab. 58).

Mit Ausnahme zweier Einzelstücke der Form Te 1 (A5/6.774.21 und A5/6.941.01) sind alle in Planquadrat A 5/6 geborgenen Teller auf der Töpferscheibe entstanden.⁸³³ Nicht selten weisen die Böden deutliche Spuren eines Abschabe- oder Abdrehvorgangs auf, der in noch lederhartem Zustand vorgenommen worden sein dürfte.⁸³⁴

Das bevorzugte Herstellungsverfahren für Töpfe war zweifelsohne die Aufbautechnik: von den insgesamt 63 erfaßten Vertretern der Formenklasse To ist nur ein einziges Exemplar (A5/6.721.02) auf der Töpferscheibe entstanden.⁸³⁵ Mit ein Resultat dieser Verfahrensweise sind nicht zuletzt teils stark variierende Wandstärken bei nicht selten unregelmäßiger Grundform sowie vom Produktionsablauf herrührende Fingerspuren auf der Innenseite der Gefäße (Abb. 75).

⁸³² Cf. Blegen *et al.* 1951: 122, 124–125; 239–241.

⁸³³ Wie auch Blegen *et al.* 1951: 122, 239.

⁸³⁴ In diesem Zusammenhang s. auch Kull 1988: 109–110 u. Abb. 113.

⁸³⁵ Vgl. Blegen *et al.* 1951: 132–133, 245–246.

Tab. 58

Formenklasse	Scheibengedreht	Handgeformt
Sc	155	40
Te	68	2
To	1	62
Kr	1	1
Ka	-	6
Kn	-	1
Be	7	1
Pl	-	16
He	10	7
Gr	-	3
De	1	4

Krüge liegen zu gleichen Teilen in scheibengedrehter und handgefertigter Machart vor, während alle sechs Vertreter der Formenklasse Ka in Aufbautechnik entstanden,⁸³⁶ Formenklasse Kn ist durch ein einzelnes handgefertigtes Exemplar vertreten (A5/6.739.01). Mit Ausnahme des Fundstücks A5/6.229.03 sind alle in Planquadrat A5/6 dokumentierten Becher scheibengedreht.⁸³⁷ Platten sind ausnahmslos handgefertigt,⁸³⁸ bei den Henkelkrügen kommen auf 10 scheibengedrehte Gefäße insgesamt sieben aus Tonteilen oder -ringen aufgebaute Typvertreter.⁸³⁹ Zur Aufbaukeramik zählen in gleicher Weise die unter den Fundnummern A5/6.865.01, A5/6.821.04 und A5/6.622.01 erfaßten Großgefäße,⁸⁴⁰ auch weist in der Formenklasse De lediglich ein einzelnes Fundstück (A5/6.693.04) charakteristische Merkmale einer Fertigung auf der Töpferscheibe auf (*cf.* Tab. 59).

Konkrete Hinweise auf die spezifischen Wesenszüge der Keramikherstellung in Troia während der ausgehenden frühen und beginnenden mittleren Bronzezeit, d. h. zur Zeit von Troia IV und Troia V, sind – wie auch an anderen ägäischen und anatolischen Fundorten entsprechender chronologischer Stellung⁸⁴¹ – bislang vergleichsweise selten. Lediglich ein einzelner, bereits von Blegen im Jahr 1932 erstmals vorgestellter Befund kann dahingehend als relevant betrachtet werden:⁸⁴² Es handelt sich im ganzen um vier in Quadrat E 6 dokumentarisch

⁸³⁶ S. hierzu auch Blegen *et al.* 1951: 128–129, 243–244.

⁸³⁷ Ergänzend dazu s. Blegen *et al.* 1951: 242–243.

⁸³⁸ *Cf.* Blegen *et al.* 1951: 136, 248.

⁸³⁹ Vgl. Blegen *et al.* 1951: 130–132, 244–245.

⁸⁴⁰ Ergänzend dazu s. Blegen *et al.* 1951: 135, 247.

⁸⁴¹ S. in diesem Zusammenhang etwa die entsprechenden Zusammenstellungen in Kull 1988: 124–126; Hasaki 2002: 195–200. Ergänzend dazu s. auch Hauptmann 1982: 18; Genz 2002: 37.

⁸⁴² Blegen 1932: 435–436 u. Fig. 3, 4.

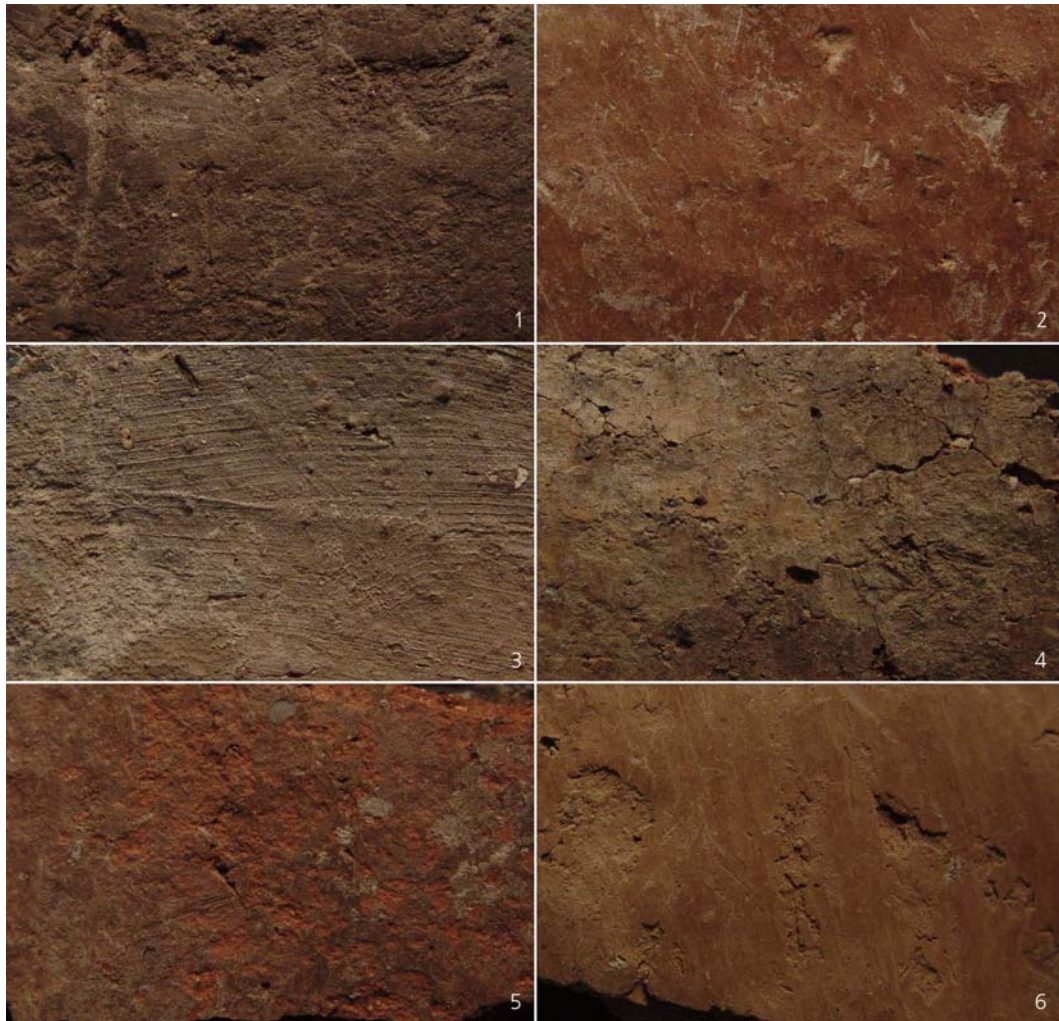


Abb. 75
Innere und äußere
Oberflächen von
Gefäßen der Formen-
klasse To. M 2:1.

erfaßte Kuppelöfen mit deutlich ausgeprägten Brand- bzw. Feuerkammern, einer in *Room 553* und drei, die aller Wahrscheinlichkeit nach einen mehrphasigen Komplex bildeten,⁸⁴³ in *House 554* (cf. Abb. 33 u. Taf. 34–35).⁸⁴⁴ Ihrem Anlageschema entsprechend können diese ortsfesten Installationen als Töpferöfen angesprochen werden,⁸⁴⁵ womit das betreffende Gebäude bzw. bestimmte Bereiche von diesem zu einem Werkstattbereich würde; die verhältnismäßig schmalen Raumsegmente, in denen sich die Öfen befinden, sind als offene oder zumindest teilüberdachte Ummauerungen der Anlagen vorzusetzen.⁸⁴⁶ Darüber hinaus verbleiben als Anhaltspunkte für die Rekonstruktion des Töpferwesens der Perioden Troia IV und Troia V in erster Linie die Endprodukte selbst, d. h. die Gefäße. Für die Produktion der feinen, zumeist auf der Töpfer-

⁸⁴³ Blegen *et al.* 1951: 267, 280.

⁸⁴⁴ Ausführlich dazu s. Blegen *et al.* 1951: 265–268.

⁸⁴⁵ Cf. Hasaki 2002: 70–101.

⁸⁴⁶ Blegen *et al.* 1951: Fig. 280, 282–283.

Tab. 59			
Formenklasse	Typ / Variante	Scheibengedreht	Handgeformt
Sc	Sc 1	10	17
	Sc 2.1	1	-
	Sc 2.2	-	2
	Sc 2.3	-	1
	Sc 3.1	22	2
	Sc 3.2	4	1
	Sc 3.3	41	6
	Sc 3.4	4	1
	Sc 3.5	2	-
	Sc 3.6	3	1
	Sc 4.1	11	1
	Sc 4.2	3	1
	Sc 4.3	2	1
	Sc 5	13	-
	Sc 6.1	2	-
	Sc 6.2	-	1
	Sc 7	2	-
	Sc 8	2	-
	Sc 9	2	-
	Sc 10.1	4	1
	Sc 10.2	2	-
	Sc 11.1	1	-
	Sc 11.2	3	1
	Sc 11.3	1	-
	Sc 11.4	1	-
	Sc 11.5	3	-
	Sc 11.6	5	-
	Sc 12	1	1
	Sc 13	3	-
	Sc 14	1	-
	Sc 15	1	-
	Sc 16	1	-
	Sc 17	2	1
Sc 18	1	1	

Fortsetzung
Tab. 59

	Sc 19	1	-
Te	Te 1	9	1
	Te 2.1	50	1
	Te 2.2	2	-
	Te 3	7	-
To	To 1.1	-	7
	To 1.2	-	4
	To 2.1	-	12
	To 2.2	1	18
	To 2.3	-	2
	To 3.1	-	1
	To 3.2	-	13
	To 3.3	-	4
	To 4	-	1
Kr	Kr 1	-	1
	Kr 2	1	-
Ka	Ka 1	-	1
	Ka 2	-	2
	Ka 3.1	-	2
	Ka 3.2	-	1
Be	Be 1	1	-
	Be 2	1	1
	Be 3	5	-
He	He 1.1	2	-
	He 1.2	1	-
	He 2	1	-
	He 3	3	-
	He 4	-	2
	He 5	1	-
	He 6	-	1
	He 7	1	2
	He 8	-	1
	He 9	1	1
Gr	Gr 1	-	1
	Gr 2	-	1
	Gr 3	-	1

De	De 1	-	2
	De 2	1	2

Fortsetzung
Tab. 59

scheibe verarbeiteten Waren 1A bis 1D sowie 2A, 2B und 2C, die stets gleichmäßig gebrannt sind und nur in Ausnahmefällen fleckige Oberflächen aufweisen, müssen grundsätzlich entwickelte Formen von Töpferöfen – vergleichbar denjenigen in Quadrat E 6 – angenommen werden.⁸⁴⁷ Die groben steingrusgemagerten, fleckig und ungleichmäßig gebrannten, nicht selten brüchigen Gefäße der Warenklassen 6, 10, 11 und 12 dagegen wurden aller Wahrscheinlichkeit nach im offenen Feldbrand oder im Meiler unter relativem Luftabschluß, d. h. überwiegend reduzierend gebrannt;⁸⁴⁸ inhomogene dunkle Bruchfarben bei vergleichsweise dünner, indes harter Oberfläche sowie dunkelgraue bis schwarze Schmauchflecken, die häufig im Inneren von Gefäßen der Formenklasse To zu beobachten sind, mögen lassen ein offenes Feuer vermuten, bei dem das zu brennende Gefäß mit entflammbarem Material angefüllt worden war.

Der hohe Anteil scheibengedrehter Gefäße insbesondere bei den Formenklassen Sc, Te und He setzt im ganzen eine Spezialisierung der produzierenden Töpfer und Handwerksbetriebe voraus,⁸⁴⁹ ebenso legt das regelhafte Auftreten bestimmter Formen in bestimmten Waren eine ebensolche nahe (cf. Tab. 59).⁸⁵⁰ Für die Fertigung von Gefäßen in Aufbautechnik und tendenziell größeren Waren – und hier speziell der Vertreter der Formenklassen To und Pl – ist ein Nebeneinander von häuslicher Produktion und spezialisierten Töpfern nicht grundsätzlich auszuschließen,⁸⁵¹ allerdings deutet sich über die relative Standardisierung der Formen auch in diesem Segment ein organisierter Produktionsablauf an;⁸⁵² bei den großen, bis zu 1,5 m hohen Gefäßen der Formenklasse Gr ist ohnehin nur eine Herstellung durch Spezialisten denkbar.

4.7 Stratigraphie und Chronologie der Keramik

Die chronologische Beurteilung der differenzierten Waren, Formen und Elemente der Verzierung erfolgt ausgehend von der je spezifischen Einbindung der betreffenden Typvertreter in die lokale Schichtenabfolge der Quadrate A 5/6. Dabei soll die wechselseitige Kontrolle von Gege-

⁸⁴⁷ S. hierzu beispielsweise Shepard 1956: 222–224; Rice 1987: 81–82, 86–90, 435; Arnold 1985: 26–28, 59, 153, 213–214, 218; Arnold 1991: 52–53, 55; Kramer 1997: 28, 71, 74–75; Deal 1998: 46, 49–51, 70–71, 75, 167; Arnold 1999b: 111–115; O'Brien *et al.* 2003: 217; Dunnell/Feathers 2003: 233–236.

⁸⁴⁸ Allgemein dazu s. Shepard 1956: 80. Ergänzend dazu s. auch Soeffing 1988: 63; Köpke/Graf 1988: 111–112 u. Abb. 1, 2; Schneider 1991: 80–81; Arnold 1985: 217; Arnold 1991: 52–53, 56–60; Herbich/Dietler 1991: 125–128.

⁸⁴⁹ S. hierzu Rice 1984: 47–52; Amiran/Shenhav 1984: 107–109; Arnold 1985: 10, 19, 162, 166; Arnold 1991: 94–98, 152–153; Annis 1985: 241–246; Annis 1996: 144–145; Costin 1991: 18–43. Ergänzend s. Brumfiel/Earle 1987: 5–7; Trigger 1989: 152, 171–172, 188, 190, 121, 217–218, 240; Trigger 2003: 70–73, 154–155, 358, 361–368.

⁸⁵⁰ Cf. Kramer 1985: 81; Arnold 1991: 152–153; Wattenmaker 1998: 129–137.

⁸⁵¹ Zu möglichen Organisationsformen des Töpferwesens s. insbesondere Arnold 1985: 226–227; Kramer 1985: 83–88; Wattenmaker 1998: 136; Sinopoli 1991: 99, 101–102.

⁸⁵² Blackman *et al.* 1993: 77; Wattenmaker 1998: 136.

benheiten der Stratigraphie und typographischer bzw. typologischer Merkmale der Keramik mit der Unterscheidung übergeordneter »stilistischer« Horizonte dienen. Grabungstechnisch bedingt, erfüllt allerdings nur ein Teil des zur Diskussion stehenden Fundmaterials die für eine präzise zeitliche Ansprache notwendigerweise erforderlichen Voraussetzungen: Als unmittelbare Konsequenz teils schwer voneinander zu trennender Befund- und Schichtgefüge wurden Ausgrabungseinheiten nicht selten in einer Weise angelegt, daß unterschiedliche stratigraphische Elemente entweder in ihrer Gesamtheit oder partiell im selben Kontext erfaßt wurden. Eine Folge hiervon ist unweigerlich die Vermengung chronologisch heterogenen Fundmaterials, das keiner der jeweils betroffenen Einheiten mit einer für Zwecke der Datierung jedoch in jedem Fall vorauszusetzenden Exaktheit zugeordnet werden kann. Sofern die vermischten Komplexe ausschließlich Fundmaterial desselben architektonischen Horizonts enthalten, kann dieses noch als chronologisch konsistent bzw. »stratifiziert« gelten, selbst dann wenn es in der graphischen Umsetzung der Stratigraphie, der Harris Matrix, in zwei oder mehreren Feldern vertreten sein sollte (cf. Taf. 258, 286).⁸⁵³ Dem steht eine Gruppe von Ausgrabungseinheiten gegenüber, die Fundstücke aus maximal zwei direkt aufeinanderfolgenden Bauabschnitten umfassen (cf. Taf. 260, 306); für eine phasengenaue Ansprache der Objekte sind diese zwar ungeeignet, indessen zeigt das jeweils jüngere Datum den spätesten Zeitpunkt der Ablagerung an. Eine dritte Kategorie der Fundeinheiten beinhaltet Töpfereiprodukte aus zwei räumlich bzw. stratigraphisch voneinander getrennten (z. B. Troia V₁ und Troia V₃) oder drei und mehr stratigraphischen Horizonten, welche aufgrund des hohen Grades ihrer chronologischen Vermischung nur mehr im Rahmen einer periodenübergreifenden Beurteilung der Keramikentwicklung von Bedeutung sind (cf. Taf. 272, 294).

Sofern eine Objektgruppe in ausreichender Quantität und in entsprechender Qualität vorliegt, bildet im folgenden allein aus zeitlich homogenen, d. h. unvermischten Komplexen stammendes Fundmaterial den Ausgangspunkt für eine weiterführende chronologische Auswertung.⁸⁵⁴ Aussagefähige Ergebnisse sind dabei im Grunde nur bei Stückzahlen von über 20 zu erwarten, zumal bei seltener vertretenen Objekten die Gefahr einer unzutreffenden stratigraphischen Einordnung durch verlagertes Material vergleichsweise groß ist.⁸⁵⁵

4.7.1 Stratigraphische Verteilung der Waren

Von den insgesamt 5214 Fundstücken der Waren 1A bis 12 können 2165, d. h. 38,38 % des Gesamtfundaufkommens, einem einzelnen Besiedlungsabschnitt zugewiesen werden. Mit einem Anteil von 26,72 % sind 1507 Exemplare nur auf zwei einander folgende Phasen genau datierbar, weitere 1968 (34,90 %) sind aufgrund ihrer Bergungsumstände nicht näher stratigraphisch

⁸⁵³ Cf. Katalog Teil A (Konkordanz: Ausgrabungseinheiten/Stratigraphische Einheiten).

⁸⁵⁴ Da nur ein geringer Teil des ohnehin in äußerst begrenzter Quantität vorliegenden Fundmaterials der Phase Troia IV₁ genannte Kriterien erfüllt, wurde es – zur relativen Erweiterung der Materialbasis – mit demjenigen des unmittelbar darauffolgenden Siedlungsabschnitts Troia IV₂ zusammengefaßt.

⁸⁵⁵ S. hierzu Kapitel 6.1 »Grundlagen der Untersuchung stratifizierter Fundvergesellschaftungen«.

Tab. 60

Ware	Troia IV ₁	Troia IV ₂	Troia V ₁	Troia V ₂	Troia V ₃	Troia V ₄	Troia V ₅	Troia V ₆	Troia V ₇	Troia VI und jünger
1A	●	●	●	●	●	●	●	●	●	●
1B	●	●	●	●	●	●	●	●	●	●
1C	●	●		●		●	●			●
1 D	●	●	●	●			●	●	●	●
2A	●	●	●	●	●	●	●	●	●	●
2B	●	●	●	●	●	●	●	●	●	●
2C	●	●	●	●	●	●	●	●	●	●
3A	●	●	●	●	●	●	●	●	●	●
3B	●	●	●	●	●	●	●	●	●	●
3C	●	●	●	●	●	●		●		●
3D	●	●	●	●	●	●	●	●	●	●
3E	●	●	●	●	●	●	●	●	●	●
4	●	●	●	●	●	●		●	●	●
5A	●	●	●	●	●		●			●
5B	●	●	●	●	●	●	●	●	●	●
6	●	●	●	●	●	●	●		●	●
7	●	●	●	●	●	●	●	●	●	●
8	●	●	●	●	●	●	●	●	●	●
9				●					●	●
10	●	●	●	●	●	●	●	●	●	●
11	●	●	●	●	●	●	●	●	●	●
12	●	●	●	●	●	●	●	●	●	●

- Phasenzuweisung gesichert
- Fundstück /-e aus chronologisch vermischten, maximal zwei aufeinanderfolgenden Phasen zuweisbaren Komplexen
- Fundstück /-e aus chronologisch stark vermischten Komplexen

Tab. 61

	Troia IV ₁ / Troia IV ₂	Troia V ₁	Troia V ₂	Troia V ₃	Troia V ₄	Troia V ₅	Troia V ₆	Troia V ₇
Stück	65	15	22	24	5	5	2	1
Verteilung in %	9,4	8,8	8,9	5,6	1,6	2,4	3,2	3,0

Tab. 62

	Troia IV ₁ / Troia IV ₂	Troia V ₁	Troia V ₂	Troia V ₃	Troia V ₄	Troia V ₅	Troia V ₆	Troia V ₇
Stück	15	13	3	23	31	5	2	-
Verteilung in %	2,2	7,6	1,2	5,4	9,8	2,5	3,2	-

	Troia IV ₁ / Troia IV ₂	Troia V ₁	Troia V ₂	Troia V ₃	Troia V ₄	Troia V ₅	Troia V ₆	Troia V ₇
Stück	1	-	1	-	3	-	-	-
Verteilung in %	0,1	-	0,4	-	0,9	-	-	-

	Troia IV ₁ / Troia IV ₂	Troia V ₁	Troia V ₂	Troia V ₃	Troia V ₄	Troia V ₅	Troia V ₆	Troia V ₇
Stück	22	17	4	-	-	1	-	-
Verteilung in %	3,2	10	1,6	-	-	0,5	-	-

	Troia IV ₁ / Troia IV ₂	Troia V ₁	Troia V ₂	Troia V ₃	Troia V ₄	Troia V ₅	Troia V ₆	Troia V ₇
Stück	65	28	54	79	68	29	14	3
Verteilung in %	9,4	16,5	21,9	18,5	21,5	14,1	22,2	9,1

zu verorten. Die Verteilung des Materials auf die verschiedenen chronologischen Horizonte nach qualitativen Kriterien kann dabei je nach Warengattung und/oder Phase der Besiedlung – unabhängig vom tatsächlichen quantitativen Anteil – deutlich variieren (Tab. 60):

Mit einem Anteil von 9,4 % am stratifizierten Fundmaterial weist Ware 1A in der Zeit von Troia IV₁/Troia IV₂ einen deutlichen Schwerpunkt auf (Tab. 61 u. Taf. 341). In den darauffolgenden Phasen Troia V₁ bis Troia V₃ sinkt ihr Anteil auf maximal 5,6 %, danach ist sie mit konstant weniger als 3,2 % im Fundaufkommen vertreten (Taf. 235).⁸⁵⁶

Ware 1B, die stets an der Oberfläche polierte Variante der Ware 1A ist über die Phasen Troia IV₁/Troia IV₂ bis Troia V₆ relativ gleichmäßig verteilt (Tab. 62 u. Taf. 341). In Phasen Troia V₁ und Troia V₄ ist sie mit 7,6 bzw. 9,8 % insgesamt am stärksten vertreten, für Troia V₇ ist sie nur als Bestandteil mit jüngerem Material vermischter Ausgrabungseinheiten belegt (Taf. 236).

Die wenigen Stücke, die Ware 1C zugewiesen werden konnten, finden sich in den chronologischen Abschnitten Troia IV₁/Troia IV₂, Troia V₂ und Troia V₄ (Tab. 63 u. Taf. 341), wobei ihr mengenmäßiger Anteil am stratigraphisch sicher zuweisbaren Fundmaterial 0,9 % in keinem Fall übersteigt (Taf. 237).

Das Vorkommen der technologisch ebenfalls auf Ware 1A basierenden, grundsätzlich jedoch mit einem polierten zumeist roten Überzug auf der Außen- und/oder Innenseite versehenen Ware 1D beschränkt sich im wesentlichen auf die Phasen Troia IV₁/Troia IV₂ bis Troia V₂ mit einem

⁸⁵⁶ Vgl. Frirdich 1997: 129 u. Abb. 11, 12.

	Troia IV ₁ / Troia IV ₂	Troia V ₁	Troia V ₂	Troia V ₃	Troia V ₄	Troia V ₅	Troia V ₆	Troia V ₇
Stück	-	-	-	1	2	1	1	-
Verteilung in %	-	-	-	0,2	0,6	0,5	1,6	-

	Troia IV ₁ / Troia IV ₂	Troia V ₁	Troia V ₂	Troia V ₃	Troia V ₄	Troia V ₅	Troia V ₆	Troia V ₇
Stück	42	39	47	150	96	63	29	3
Verteilung in %	6,1	22,9	19	35,1	30,3	30,6	46	9,1

	Troia IV ₁ / Troia IV ₂	Troia V ₁	Troia V ₂	Troia V ₃	Troia V ₄	Troia V ₅	Troia V ₆	Troia V ₇
Stück	18	2	1	6	-	1	-	-
Verteilung in %	2,6	1,2	0,4	1,4	-	0,5	-	-

deutlichen Schwerpunkt während Troia V₁ (Tab. 64 u. Taf. 341);⁸⁵⁷ danach tritt sie lediglich in Form von – wohl verlagerten – Einzelstücken auf, wie etwa in Troia V₅, wobei ihr Vorkommen während der Phasen Troia V₆ und Troia V₇ ausgehend von dem zur Verfügung stehenden Fundmaterial nicht eindeutig zu belegen ist (Taf. 238).⁸⁵⁸

Die insgesamt 340 Typvertreter der Warengattung 2A aus stratigraphisch sicher zuweisbaren Fundzusammenhängen verteilen sich in Anteilen von je 14,1 % bis maximal 22,2 % vergleichsweise einheitlich über alle chronologischen Abschnitte der Troia V-zeitlichen Besiedlung, nach zunächst nur 9,4 % in Troia IV₁/Troia IV₂ (Tab. 65 u. Taf. 342); für den Zeitraum von Troia V₇ schlägt sich in der prozentualen Verteilung der betreffenden Funde deutlich der Umstand nieder, daß für diese Phase im wesentlichen vermischtes Fundmaterial vorliegt (*cf.* Taf. 239).

Ware 2B, die mit einem dünnen hellroten bis roten Überzug ausgestattete Variante der Ware 2A, ist erstmals für die Zeit von Troia IV₁/Troia IV₂ belegt (*cf.* Taf. 240), nicht oder nur unter Vorbehalten hingegen für die Abschnitte Troia V₁ und Troia V₂. Ihr Gesamtanteil am keramischen Fundaufkommen pro Siedlungshorizont steigt erst ab Phase Troia V₃ auf 0,2 % und erreicht auch in Phase Troia V₆ nur 1,6 % (Tab. 66 u. Taf. 342).

Mit im ganzen 1029 Typvertretern ist Ware 2C die am häufigsten vertretene Warengattung im Segment der feingemagerten Keramikklassen.⁸⁵⁹ Von den 469 stratigraphisch sicher einzuordnenden Stücken entfallen 6,1 % auf Troia IV₁/Troia IV₂, in den darauffolgenden Phasen ist

⁸⁵⁷ *Cf.* Blegen *et al.* 1951: 119–120, 235–236 u. Tab. 14, 21.

⁸⁵⁸ S. in diesem Zusammenhang auch Blegen *et al.* 1951: Tab. 14, 21.

⁸⁵⁹ Vgl. Blegen *et al.* 1951: 119–120, 235–236.

	Troia IV ₁ / Troia IV ₂	Troia V ₁	Troia V ₂	Troia V ₃	Troia V ₄	Troia V ₅	Troia V ₆	Troia V ₇
Stück	20	-	1	-	-	1	-	-
Verteilung in %	0,3	-	0,4	-	-	0,5	-	-

	Troia IV ₁ / Troia IV ₂	Troia V ₁	Troia V ₂	Troia V ₃	Troia V ₄	Troia V ₅	Troia V ₆	Troia V ₇
Stück	27	1	2	1	3	-	1	-
Verteilung in %	3,9	0,6	0,8	0,2	0,9	-	1,6	-

	Troia IV ₁ / Troia IV ₂	Troia V ₁	Troia V ₂	Troia V ₃	Troia V ₄	Troia V ₅	Troia V ₆	Troia V ₇
Stück	22	2	3	10	-	-	3	-
Verteilung in %	3,2	1,2	1,2	2,3	-	-	4,8	-

	Troia IV ₁ / Troia IV ₂	Troia V ₁	Troia V ₂	Troia V ₃	Troia V ₄	Troia V ₅	Troia V ₆	Troia V ₇
Stück	4	1	5	1	-	-	-	-
Verteilung in %	0,6	0,6	2	0,2	-	-	-	-

sie mit einem Anteil von mindestens 19 % vertreten mit einem deutlichen Schwerpunkt in Troia V₆ mit 46 % (Tab. 67 u. Taf. 342); das unvermittelte Absinken auf einen Wert von 9,1 % in Phase Troia V₇ dürfte – wie im Fall von Ware 2A – in erster Linie auf fundstatistische Faktoren zurückzuführen sein (Taf. 241).

Ware 3A ist mit 2,6 % in den Phasen Troia IV₁/Troia IV₂ am stärksten vertreten, während sie in den drei unmittelbar folgenden chronologischen Abschnitten auf Werte zwischen 0,4 und 1,4 % absinkt (Tab. 68 u. Taf. 342).⁸⁶⁰ Für die Zeit von Troia V₄ ist sie nicht belegt, für Troia V₅ und Troia V₇/Troia VI lediglich in Form isolierter Einzelstücke (Taf. 242).

Das Vorkommen von Ware 3B, der überzogenen und polierten Variante von Ware 3A, beschränkt sich im wesentlichen auf den Horizont Troia IV₁/Troia IV₂, wo sie einen Anteil von 0,3 % am entsprechenden Keramikspektrum stellt (Tab. 69 u. Taf. 343); hiernach ist sie nur noch vereinzelt im Fundbild vertreten, wie etwa in Troia V₂, Troia V₃/Troia V₄, Troia V₅ oder Troia V₇/Troia VI, oder fällt in diesem vollständig aus (*cf.* Taf. 243).

Der prozentuale Anteil von Ware 3C sinkt von zunächst 3,9 % in Troia IV₁/Troia IV₂ auf weniger als 1,0 % in den Phasen Troia V₁, Troia V₂, Troia V₃ und Troia V₄ (Tab. 70 u. Taf. 343);

⁸⁶⁰ Vgl. Blegen *et al.* 1951: Tab. 14, 21.

	Troia IV ₁ / Troia IV ₂	Troia V ₁	Troia V ₂	Troia V ₃	Troia V ₄	Troia V ₅	Troia V ₆	Troia V ₇
Stück	30	2	8	10	-	-	-	1
Verteilung in %	4,3	1,2	3,2	2,3	-	-	-	3,0

	Troia IV ₁ / Troia IV ₂	Troia V ₁	Troia V ₂	Troia V ₃	Troia V ₄	Troia V ₅	Troia V ₆	Troia V ₇
Stück	2	4	-	-	-	2	-	-
Verteilung in %	0,3	2,4	-	-	-	1,0	-	-

	Troia IV ₁ / Troia IV ₂	Troia V ₁	Troia V ₂	Troia V ₃	Troia V ₄	Troia V ₅	Troia V ₆	Troia V ₇
Stück	45	5	4	8	-	-	-	-
Verteilung in %	6,5	2,9	1,6	1,9	-	-	-	-

	Troia IV ₁ / Troia IV ₂	Troia V ₁	Troia V ₂	Troia V ₃	Troia V ₄	Troia V ₅	Troia V ₆	Troia V ₇
Stück	3	-	-	1	2	3	-	-
Verteilung in %	0,4	-	-	0,2	0,6	1,4	-	-

in den darauffolgenden Zeitabschnitten ist sie lediglich in Phase Troia V₆ in Form eines – eventuell auch umgelagerten – Einzelstücks vertreten, im Fundaufkommen der Phasen Troia V₅ und Troia V₇ hingegen ist sie nicht präsent (Taf. 244).

Ware 3D unterscheidet sich hinsichtlich ihrer quantitativen Verteilung nur unwesentlich von Warentyp 3C (Tab. 71 u. Taf. 343). Auch sie tritt in der Zeit von Troia IV₁/Troia IV₂ am häufigsten auf und ist in den nachfolgenden Phasen Troia V₁ bis Troia V₃ sowie Troia V₆ mit Stückzahlen von zehn und weniger vertreten; für Troia V₄ und Troia V₇/Troia VI liegen ausschließlich Fundstücke aus vermischten Komplexen vor (Taf. 245).

Stratigraphisch sicher zuzuordnende Vertreter von Ware 3E finden sich ausschließlich in Fundzusammenhängen der Phasen Troia IV₁/Troia IV₂ bis Troia V₃ (Tab. 72 u. Taf. 343). In diesen erreicht die vergleichsweise seltene Keramikgattung einen prozentualen Anteil von maximal 2 %, für andere Abschnitte liegt sie hingegen nur als Bestandteil vermischter Ausgrabungseinheiten vor (Troia IV₄, Troia V₇/Troia VI) oder tritt überhaupt nicht in Erscheinung, wie in Troia V₅ und Troia V₆ (Taf. 246).

Der quantitative Schwerpunkt von Ware 4 ist mit 4,3 % in den Phasen Troia IV₁/Troia IV₂ zu verzeichnen, während sie in stratifizierten Fundeinheiten der anschließenden Zeithorizonte Troia V₁, Troia V₂ und Troia V₃ auf Werte zwischen 1,2 und 2,8 % absinkt (Tab. 73 u. Taf. 344); ein einzelnes Fragment fand sich darüber hinaus in Ablagerung der Phase Troia V₇ (Taf. 247).

	Troia IV ₁ / Troia IV ₂	Troia V ₁	Troia V ₂	Troia V ₃	Troia V ₄	Troia V ₅	Troia V ₆	Troia V ₇
Stück	71	4	6	19	6	2	1	1
Verteilung in %	10,3	2,4	2,4	4,4	1,9	1,0	1,6	3,0

	Troia IV ₁ / Troia IV ₂	Troia V ₁	Troia V ₂	Troia V ₃	Troia V ₄	Troia V ₅	Troia V ₆	Troia V ₇
Stück	57	3	3	-	2	1	1	-
Verteilung in %	8,2	1,8	1,2	-	0,6	0,5	1,6	-

	Troia IV ₁ / Troia IV ₂	Troia V ₁	Troia V ₂	Troia V ₃	Troia V ₄	Troia V ₅	Troia V ₆	Troia V ₇
Stück	-	-	4	-	-	-	-	1
Verteilung in %	-	-	1,6	-	-	-	-	3,0

	Troia IV ₁ / Troia IV ₂	Troia V ₁	Troia V ₂	Troia V ₃	Troia V ₄	Troia V ₅	Troia V ₆	Troia V ₇
Stück	10	2	6	9	7	32	2	22
Verteilung in %	1,4	1,2	2,4	2,1	2,2	15,5	3,2	66,7

Von den im ganzen nur 20 Typvertretern der Warengattung 5A sind lediglich acht einer einzelnen Besiedlungsphase zuzuweisen, alle übrigen Stücke stammen aus vermischten bis stark vermischten Fundzusammenhängen (cf. Taf. 248). In den Phasen Troia IV₁/Troia IV₂ ist Ware 5A mit einem Anteil von 0,3 % vertreten, in Troia V₁ mit 2,4 % und in Phase Troia V₅ mit 1,0 % (Tab. 74 u. Taf. 344).

Mit einem prozentualen Anteil von 6,5 % am Gesamtfundaufkommen ist Warenart 5B im Abschnitt Troia IV₁/Troia IV₂ deutlich am stärksten vertreten. In den darauffolgenden Phasen sinkt sie dann von zunächst 2,9 % in Troia V₁ auf zeitweilig 1,6 % in Troia V₂ und schließlich auf 1,9 % in Phase Troia V₃ (Tab. 75 u. Taf. 344). Für die Zeit von Troia V₄ bis Troia V₆ ist Ware 5B nicht belegt, und nur drei Fundstücke aus vermischten Komplexen belegen ihre Präsenz in Schichtzusammenhängen der Phasen Troia V₇/Troia VI (Taf. 249).

Typvertreter der vergleichsweise seltenen Warengattung 6 fanden sich vor allem in Schichteinheiten des Horizonts Troia IV₁/Troia IV₂; allein 16 der insgesamt 38 geborgenen Exemplare stammen aus diesem Abschnitt (cf. Taf. 250). Im weiteren Verlauf beschränkt sich das Vorkommen von Ware 6 – unabhängig von den jeweiligen Bergungsumständen – insbesondere auf wenige Einzelstücke, wie etwa im Falle der Phasen Troia V₁/Troia V₂, Troia V₃ bis Troia V₅ und Troia V₇/Troia VI, oder fällt im Fundspektrum völlig aus, wie zur Zeit von Troia V₆ (Tab. 76 u. Taf. 344).

Tab. 81

	Troia IV ₁ / Troia IV ₂	Troia V ₁	Troia V ₂	Troia V ₃	Troia V ₄	Troia V ₅	Troia V ₆	Troia V ₇
Stück	105	-	10	24	21	13	4	-
Verteilung in %	15,2	-	4	5,6	6,6	6,3	6,3	-

Tab. 82

	Troia IV ₁ / Troia IV ₂	Troia V ₁	Troia V ₂	Troia V ₃	Troia V ₄	Troia V ₅	Troia V ₆	Troia V ₇
Stück	67	32	63	61	71	47	3	1
Verteilung in %	9,7	18,8	25,5	14,3	22,4	22,8	4,8	3,0

Tab. 83

Ware	Troia IV ₁	Troia IV ₂	Troia V ₁	Troia V ₂	Troia V ₃	Troia V ₄	Troia V ₅	Troia V ₆	Troia V ₇	Troia VI und jünger
Sc 1	•	•	•	•	•	•	•	•	•	•
Sc 2.1					•					
Sc 2.2		•	•	•						
Sc 2.3	•	•								
Sc 3.1	•	•	•	•	•	•	•	•	•	•
Sc 3.2							•	•	•	•
Sc 3.3	•	•	•	•	•	•	•	•	•	•
Sc 3.4	•	•			•	•		•	•	•
Sc 3.5			•	•	•					
Sc 3.6		•	•	•	•					
Sc 4.1		•		•	•	•	•	•	•	•
Sc 4.2						•			•	•
Sc 4.3				•	•		•	•	•	•
Sc 5			•	•		•	•	•	•	•
Sc 6.1									•	•
Sc 6.2							•	•	•	
Sc 7			•	•	•					
Sc 8					•			•		•
Sc 9			•	•	•				•	•
Sc 10.1		•	•	•	•	•				•
Sc 10.2			•						•	•

Fortsetzung
Tab. 83

Sc 11.1					•						
Sc 11.2		•	•	•	•						•
Sc 11.3						•					
Sc 11.4							•				
Sc 11.5			•	•				•	•	•	
Sc 11.6		•	•	•				•			
Sc 12		•	•	•							
Sc 13							•	•	•		
Sc 14					•						
Sc 15						•	•				
Sc 16									•	•	
Sc 17		•	•	•	•	•					
Sc 18			•	•	•						
Sc 19					•	•					
Te 1	•	•	•	•	•	•		•	•	•	
Te 2.1	•	•	•	•	•	•	•		•	•	
Te 2.2				•	•					•	
Te 3	•	•	•		•					•	
To 1.1	•	•	•	•							
To 1.2	•	•	•	•	•	•	•			•	
To 2.1	•	•	•	•	•	•	•	•		•	
To 2.2		•	•	•	•	•				•	
To 2.3			•	•		•					
To 3.1		•	•								
To 3.2	•	•	•	•	•	•	•		•	•	
To 3.3		•	•	•		•	•				
To 4		•	•								
Kr 1		•									
Kr 2				•	•						
Ka 1					•						
Ka 2		•	•	•							
Ka 3.1				•	•					•	
Ka 3.2				•						•	
Kn			•	•							
Be 1					•	•					
Be 2									•	•	

Be 3		•	•	•			•			
Pl	•	•	•	•	•	•	•		•	•
He 1.1					•	•	•			
He 1.2		•								
He 2						•				
He 3	•	•		•	•				•	•
He 4				•		•	•	•	•	
He 5		•								
He 6						•	•			
He 7	•	•	•							
He 8			•							
He 9	•	•			•					
Gr 1		•								
Gr 2					•					
Gr 3									•	
De 1				•						
De 2			•	•			•			

 Fortsetzung
 Tab. 83

- Phasenzuweisung gesichert
- Fundstück /-e aus chronologisch vermischten, maximal zwei aufeinanderfolgenden Phasen zuweisbaren Komplexen
- Fundstück /-e aus chronologisch stark vermischten Komplexen

Ware 7 ist mit Anteilen von 1,0 bis 4,4 % über alle Phasen hinweg konstant vertreten (Tab. 77 u. Taf. 345), lediglich im Abschnitt Troia IV₁/Troia IV₂ liegt der betreffende Wert mit 10,3 % deutlich höher (Taf. 251).

In der Zeit von Troia IV₁/Troia IV₂ weist Ware 8 mit einem Anteil von 8,2 % am stratifizierten Fundmaterial einen deutlichen Schwerpunkt auf (Tab. 78 u. Taf. 345). Bereits in der unmittelbar nachfolgenden Phase Troia V₁ beläuft sich das entsprechende Fundaufkommen auf weniger als 2 %, welches dann in keinem der daran anschließenden Zeitabschnitte einen Wert von 1,6 % überschreitet (Taf. 252).

Ware 9 ist insgesamt der am seltensten vertretene Warentyp der Quadrate A 5/6. Von den im ganzen nur sieben Typvertretern fanden sich vier in Schichtzusammenhängen der Phase Troia V₂, ein weiteres Fundstück konnte Troia V₇ zugewiesen werden (Tab. 79 u. Taf. 345); alle übrigen Exemplare stammen aus vermischten Komplexen der Phasen Troia V₇/Troia VI (Taf. 253).

Über alle chronologischen Horizonte hinweg ist Warengattung 10 mit Anteilen von 1,2 bis 3,2 % im Spektrum des stratifizierten Fundmaterials vertreten (Tab. 80 u. Taf. 345); die außergewöhnlich hohen Werte der Phasen Troia V₅ und Troia V₇ sind durch die Präsenz einiger stark zerscherbter, in Teilen jedoch restaurierbarer Gefäße bedingt (Taf. 254).⁸⁶¹

⁸⁶¹ Vgl. Kaschau 1999: 97 u. Anm. 524.

Mit einem Anteil von 15,2 % am stratifizierten Fundmaterial weist die mittelfein bis grob quarzgemagerte Warenart 11 im Zeitraum von Troia IV₁/Troia IV₂ einen quantitativen Schwerpunkt auf (Tab. 81 u. Taf. 346). Für den unmittelbar darauffolgenden Abschnitt Troia V₁ liegen nur Typvertreter aus vermischten Komplexen vor, danach ist Ware 11 mit prozentualen Werten zwischen 4,0 und 6,6 im Fundaufkommen der jeweiligen Phasen vertreten; für den Bereich Troia V₇/Troia VI sind ebenfalls nur chronologisch vermengte Fundstücke belegt (cf. Taf. 256).

In quantitativer Hinsicht ist für Warentyp 12, der mit insgesamt 1122 Fragmenten mit Abstand am häufigsten vorkommenden Warenkategorie der Quadrate A 5/6, zu Beginn von Periode Troia V ein markanter Anstieg zu verzeichnen (Tab. 82 u. Taf. 346): Ausgehend von 9,7 % in Troia IV₁/Troia IV₂ steigt der prozentuale Anteil des Warentyps am stratifizierten Fundmaterial auf zunächst 18,8 % in Troia V₁ und schließlich auf 25,5 % in Troia V₂; das scheinbar unvermittelte Absinken in Phase Troia V₃ auf einen Wert von 14,3 % mag auf fundstatistische bzw. ausgrabungstechnisch bedingte Faktoren zurückzuführen sein, worauf eine größere Anzahl Fundstücke hindeutet, die entsprechend ihrer Bergungsumstände nur mehr im Bereich Troia V₃/Troia V₄ zeitlich anzusetzen sind (cf. Taf. 256). In den Phasen Troia V₄ und Troia V₅ ist Warengattung 12 wiederum mit Anteilen von 22,4 bzw. 22,8 % vertreten, und erst danach, beginnend mit Phase Troia V₆, ist ein allgemeiner Rückgang des Keramiktyps zu konstatieren.

4.7.2 Stratigraphische Verteilung der Formenklassen, Typen und Varianten

Entsprechend der stratigraphischen Verteilung der Waren wurde auch die Einbindung der jeweiligen Formenklassen und Typen sowie diesen nachgeordneten Varianten innerhalb der Schichtenabfolge der Quadrate A 5/6 untersucht. Dabei wurde ausschließlich von der Gesamtzahl der im Katalogteil B erfaßten, eine konkrete Bestimmung der Gefäßform erlaubenden Individual- bzw. Randstücke ausgegangen (cf. Taf. 167–223), d. h. Böden, Henkel usw., die sowohl in die qualitative wie auch quantitative Bewertung der Waren noch miteinbezogen werden konnten, blieben hier grundsätzlich unberücksichtigt.⁸⁶²

Verzichtet wurde ebenfalls auf eine nach Typen und Varianten differenzierte Betrachtung des prozentualen Anteils der Einzelformen pro Phase, da nicht wenige von diesen in stark begrenzter Stückzahl vorliegen; selbst auf Ebene der Formenklassen ist im Grunde nur bei den Schalen (Sc) und Tellern (Te) mit zuverlässigen Werten zu rechnen, da nur diese in einer für Zwecke der quantitativen Differenzierung angemessenen Menge vorliegen. Auch absolute Fundzahlen wurden nur unter Vorbehalten zur Bestimmung von Laufzeiten verwandt, da die Gesamtmenge der vorhandenen Gefäße bzw. Fragmente pro Abschnitt der Besiedlung mitunter sehr stark variiert, auch kann die tatsächliche Anzahl der Fundstücke – noch weit stärker als bei den Waren – in einem umgekehrten Verhältnis zur Qualität der Fundlage, d. h. der Bergungsumstände stehen (cf. Tab. 83 u. Taf. 257–330).

⁸⁶² Cf. Byrd/Owens 1997: 315–318.

	Troia IV ₁ / Troia IV ₂	Troia V ₁	Troia V ₂	Troia V ₃	Troia V ₄	Troia V ₅	Troia V ₆	Troia V ₇
Stück	18	8	7	21	13	9	5	1
Verteilung in %	35,3	38,1	41,2	60	59,1	56,2	100	25

4.7.2.1 Schalen und Schüsseln

Der prozentuale Anteil von Schalen und Schüsseln im jeweiligen Formenspektrum der Besiedlungshorizonte nimmt im frühen bis mittleren Verlauf der Periode Troia V stetig zu. Besteht in den Phasen Troia IV₁/Troia IV₂ nur 35,3 % des keramischen Fundmaterials aus Vertretern der Formenklasse Sc, so steigt deren Anteil von zunächst 38,1 % in Phase Troia V₁ bis auf 60 % in Phase Troia V₃ und sinkt erst dann wieder – ausgehend von 59,1 % im Abschnitt Troia V₄ – allmählich bis auf 25 % in Troia V₇ ab (Tab. 84); der deutlich überhöhte Wert in Troia V₆ ist fraglos fundstatistisch bedingt (cf. Taf. 257–291).

Schalentyp Sc 1, den Blegen *et al.* unter der Bezeichnung A 16 in allen Phasen der Perioden Troia IV und Troia V führen,⁸⁶³ ist mit insgesamt 27 Fundstücken die am zweithäufigsten vertretene Schalengattung der Quadrate A 5/6 (Taf. 257). Typvertreter der halbkugeligen Schalen mit gerundetem bis keulenförmig verdicktem Rand finden sich hier hauptsächlich in Fundzusammenhängen der Phasen Troia IV₁/Troia IV₂ bis Troia V₄, danach sind sie nur noch vereinzelt anzutreffen, wie etwa in den Phasen Troia V₅ und Troia V₆, oder fallen im Fundbild vollständig aus (Troia V₇/Troia VI).

Variante Sc 2.1, eine tiefe Schale mit nach innen abgestrichenem Rand, liegt nur als Einzelstück vor (A5/6.651.02), das seiner stratigraphischen Einbindung zufolge in der Zeit von Troia V₃ anzusetzen ist (Taf. 258).

Schalenform Sc 2.2, die tiefe Schale mit nach innen abgestrichenem, spitz zulaufendem Rand, ist mit insgesamt zwei Exemplaren im keramischen Fundaufkommen der Quadrate A 5/6 vertreten (Taf. 259). Von diesen ist Fragment A5/6.733.08 einem vermischten Komplex zuzuweisen, der neben Funden der Phase Troia V₁ ausschließlich Troia V₂-zeitliches Material enthält, woraus sich für das Fundstück in jedem Fall eine Datierung in letztgenannte Phase ergibt, wobei ein früherer Ansatz indessen nicht auszuschließen ist. Das zweite Exemplar A5/6.780.02 wurde als Bestandteil einer aufgrund ihrer strukturellen und inhaltlichen Zusammensetzung als »stark vermischt« eingestuften Ausgrabungseinheit geborgen; auch wenn die für eine genauere stratigraphische bzw. zeitlichen Einordnung des Objekts notwendigen Grundvoraussetzungen demnach nicht gegeben sind, wird das Fragment gemäß dem Umstand, daß die hier zur Diskussion stehende Ausgrabungseinheit allein Fundmaterial der Phasen Troia IV₂, Troia V₁ und Troia V₂ umfaßt, in relativchronologischer Hinsicht zumindest annäherungsweise in den Bereich des zuvor besprochenen Stücks gerückt.

⁸⁶³ Blegen *et al.* 1951: 124, 240 u. Tab. 14, 21.

Ein einzelnes Fragment der tiefen Schalen mit nach außen abgestrichenem Rand (A5/6.918.07) fand sich in stratigraphischen Einheiten der Phasen Troia IV₁/Troia IV₂ (Taf. 260); der Form Sc 2.3 vergleichbare Stücke wurden von Blegen *et al.* dem Typ A 4 zugeordnet und chronologisch Troia IVa bis einschließlich Troia V *Early* verortet.⁸⁶⁴

Vertreter der Schalen mit einbiegendem, keulenförmig verdicktem Rand (Sc 3.1) stellen einen Anteil von 12,3 % an der übergeordneten Formenklasse und treten in Planquadrat A 5/6 erstmals in Befunden der Phasen Troia IV₁/Troia IV₂ in Erscheinung (Taf. 261). Ein quantitativer Schwerpunkt der von Blegen *et al.* für die gesamte Dauer der Perioden Troia I bis Troia V der Form A 16 zugerechneten Schalenvariante⁸⁶⁵ ist in den Phasen Troia V₃ und Troia V₄ zu verzeichnen, in der Folgezeit reduziert sich ihr Vorkommen dann auf einige wenige Einzelstücke.

Schalenvariante Sc 3.2 (Schale mit einbiegendem verdickten, eckig abgestrichenem Rand) ist mit zwei Fundstücken in Abschnitt Troia V₅ präsent (A5/6.314.06 u. A5/6.314.21), zwei weitere Exemplare sind einer vermischten Ausgrabungseinheit der Zeitabschnitte Troia V₇/Troia VI zuzuweisen (A5/6.204.02 u. A5/6.209.03); mit dem aus einem stark vermischten Fundkomplex stammenden Fragment A5/6.237.09 kommt zu diesen ein weiteres Stück hinzu, dessen Deposition im Zeitraum zwischen Troia V₅ und Troia V₇ anzusetzen ist (Taf. 262). Wie die Vertreter der zuvor besprochenen Schalenkategorie zählen diejenigen der Variante Sc 3.2 – in Ermangelung einer weitergehenden typographischen Differenzierung der Grundtyps gezwungenermaßen formal und chronologisch weit gefaßten – zur Form A 16 von Blegen *et al.*

Schalen mit einbiegendem, gerundetem Rand (Sc 3.3) sind mit 47 Stücken im Fundmaterial der Quadrate A 5/6 vertreten und bilden mit einem prozentualen Anteil von 24,1 die quantitativ umfangreichste Objektgruppe innerhalb der Formenklasse. Die aufgrund ihrer formalen Charakteristika ebenfalls der Gattung A 16 von Blegen *et al.* zuzurechnende Schalenvariante⁸⁶⁶ ist in Planquadrat A 5/6 ausgehend von Befunden der Phasen Troia IV₁/Troia IV₂ in nahezu allen stratigraphischen Horizonten anzutreffen, mit einem leichten quantitativen Schwerpunkt in Phase Troia V₃; für die Zeit nach Troia V₄ zeichnet sich für Schale Sc 3.3 ein signifikanter Rückgang ab (Taf. 263).

Von den im ganzen nur fünf Fragmenten der Form Sc 3.4, der Schale mit einbiegendem, spitz zulaufendem Rand, konnte nur eines einer einzelnen Besiedlungsphase – Troia V₃ – zugewiesen werden (A5/6.481.12), während die aus vermischten Komplexen stammenden Fundstücke A5/6.941.03, A5/6.896.03 und A5/6.215.07 jeweils mit einer chronologischen Überschneidung den stratigraphischen Abschnitten Troia IV₁/Troia IV₂, Troia IV₂/Troia V₁ bzw. Troia V₇/Troia VI zuzuordnen waren; für das in einer stark vermischten Ausgrabungseinheit enthaltene Exemplar A5/6.333.01 ist eine Ablagerung im Zeitraum zwischen Troia V₄ und Troia V₆ anzunehmen (Taf. 264). Auch Schale Sc 3.4 ist typographisch in Form A 16 nach Blegen *et al.* zu fassen.⁸⁶⁷

⁸⁶⁴ Blegen *et al.* 1951: 122, 239 u. Tab. 14, 21; Podzuweit 1979: 121 u. Taf. 2.1 F 13.

⁸⁶⁵ S. hierzu Blegen *et al.* 1951: 124, 240 u. Tab. 14, 21.

⁸⁶⁶ Blegen *et al.* 1951: 124, 240. Cf. Podzuweit 1979: 121 u. Taf. 2.1 F 14.

⁸⁶⁷ S. in diesem Zusammenhang auch Podzuweit 1979: 121 u. Taf. 2.1 F 12.

Die speziell durch einen einbiegenden, nach innen abgestrichenen Rand charakterisierten Schalen der Variante Sc 3.5 sind ausgesprochen selten im Formenrepertoire der Planquadrate A 5/6 vertreten (cf. Taf. 265).⁸⁶⁸ Eines der insgesamt nur zwei – formal ebenfalls auf Schalen des Typs A 16 nach Blegen *et al.* basierenden – Fundstücke ist stratigraphisch im Bereich der Phasen Troia V₁/Troia V₂ angesiedelt (A5/6.818.03), das zweite Exemplar zwischen Troia V₁ und Troia V₃ (A5/6.712.07).

Fundstücke der Kategorie Sc 3.6, der Schalen mit einbiegendem, spitz zulaufendem und nach innen abgestrichenem Rand, fanden sich in Form einzelner Fragmente in Schichten der Phasen Troia V₁ (A5/6.899.01) und Troia V₃ (A5/6.619.06) ebenso wie als Bestandteil vermischter Komplexe der Zeit von Troia IV₂/Troia V₁ (A5/6.859.22) und Troia V₁/Troia V₂ (A5/6.772.11); Vertreter der Variante Sc 3.6 stehen typographisch den Schalen des Typs A 16 von Blegen *et al.* nahe (cf. Taf. 266).

Schalen mit senkrechtem, gerundetem bis leicht keulenförmig verdicktem Rand (Sc 4.1) sind in der stratigraphischen Abfolge der Quadrate A 5/6 mit zwei Exemplaren erstmals für die Zeit von Troia IV₁/Troia IV₂ belegt (A5/6.840.01 u. A5/6.885.02), danach treten sie mit Fragment A5/6.619.02 erst wieder in Phase Troia V₃ in Erscheinung (Taf. 267). Hinzu kommen aus vermischten Komplexen die Fundstücke A5/6.559.02 (Troia V₆/Troia V₇) und A5/6.218.03 (Troia V₇/Troia VI) sowie sechs weitere Fragmente, deren Deposition nur mehr grob zwischen Troia V₂ und Troia VI anzusetzen ist. Der Variante Sc 4.1 formal entsprechende Stücke wurden von Blegen *et al.* dem Schalentyp A 18 zugeordnet,⁸⁶⁹ dessen Vertreter während des gesamten Zeitraums der Perioden Troia IV und Troia V im Fundaufkommen registriert wurden.⁸⁷⁰

Schalen mit senkrechtem, spitz zulaufendem Rand (Sc 4.2) sind ebenfalls der Form A 18 von Blegen *et al.* zuzurechnen. Das früheste der insgesamt vier Exemplare dieser Gattung fand sich in einem Kontext der Phasen Troia IV₂/Troia V₁ (A5/6.896.02), weitere Stücke konnten dann erst wieder in Ablagerungen der Phasen Troia V₄ (A5/6.441.04), Troia V₅ (A5/6.314.07) und schließlich Troia V₇/Troia VI (A5/6.327.02) nachgewiesen werden (Taf. 268).

In Planquadrat A 5/6 fanden sich nur drei Vertreter der typographisch in gleicher Weise auf Form A 18 von Blegen *et al.* beruhenden Variante Sc 4.3, der Schale mit senkrechtem, verdicktem und nach innen abgestrichenem Rand. Von diesen konnte Fragment A5/6.568.01 entsprechend seiner stratigraphischen Einbindung der Phase Troia V₆ zugewiesen werden, Fundstück A5/6.577.01 mit leichter chronologischer Überschneidung den Abschnitten Troia V₅/Troia V₆; infolge der starken Vermischung der betreffenden Ausgrabungseinheit ist das dritte Exemplar A5/6.709.02 nicht näher einzuordnen (Taf. 269).

Als typographisches Gegenstück zur Form A 12 von Blegen *et al.* ist Schalentyp Sc 5, die Schale mit stumpfwinklig nach innen geknickter Wandung und gerundetem bis keulenförmig verdicktem Rand, in nahezu allen stratigraphischen Horizonten der Periode Troia V zugegen (Taf. 270).⁸⁷¹ Innerhalb der Quadrate A 5/6 ist das früheste Auftreten der Objektgruppe sicher

⁸⁶⁸ Vgl. Podzuweit 1979: 113 u. Taf. 1.2 E IIa3.

⁸⁶⁹ Blegen *et al.* 1951: 124–125, 240–241. Cf. Podzuweit 1979: 113 u. Taf. 1.2 E IIa1.

⁸⁷⁰ Blegen *et al.* 1951: Tab. 14, 21.

⁸⁷¹ Ergänzend dazu s. Podzuweit 1979: 113 u. Taf. 1.2 E I6.

in Troia V₂ anzusetzen (A5/6.751.04), eventuell auch schon in der Phase zuvor mit Fragment A5/6.733.07 (Troia V₁/Troia V₂); Blegen *et al.* führen den Typ in allen Abschnitten der Troia IV- und Troia V-zeitlichen Besiedlung.⁸⁷²

Von den insgesamt nur zwei Vertretern der von Blegen *et al.* dem Typ A 18 zugewiesenen Schalen⁸⁷³ mit stumpfwinklig nach innen geknickter, leicht einziehender Wandung und gerundetem bis keulenförmig verdicktem Rand (Sc 6.1) kann lediglich das aus einem vermischten Komplex der Phasen Troia V₇/Troia VI stammende Fragment A5/6.215.12 chronologisch näher eingegrenzt werden (Taf. 271); für Fundstück A5/6.588.02 hingegen liegen keine stratigraphischen Angaben vor.

Das Vorkommen der Schalenvariante Sc 6.2 (Schale mit stumpfwinklig nach innen geknickter, leicht einziehender Wandung und verdicktem, spitz zulaufendem Rand) beschränkt sich auf ein einzelnes Fundstück (A5/6.237.03) aus einer stark vermischten Ausgrabungseinheit (Taf. 272). Inhaltlich umfaßt diese Material der Phasen Troia V₅, Troia V₆, und Troia V₇, so daß sich für die Deposition des hier zur Diskussion stehenden Exemplars ein entsprechender – wenn auch verhältnismäßig weit gefaßter – Zeitansatz ergibt; Vertreter der Variante Sc 6.2 stehen formal den Schalen der Form A 18 von Blegen *et al.* nahe.

Fundstück A5/6.934.10 ist einer von im ganzen nur zwei Typvertretern der Schalen mit ausgespartem, gerundetem bis keulenförmig verdicktem Rand (Sc 7), die gemäß ihrer formalen Charakteristika der von Blegen *et al.* als Leitform für die gesamte Periode Troia IV und den frühen Abschnitt von Troia V – *Early V* – angesetzten Form A 20 zuzurechnen sind;⁸⁷⁴ es stammt aus einer mit Matrix-Nummern 027 und 028 erfaßten Fundvergesellschaftung und gehört dementsprechend in die Zeit von Troia V₁ (Taf. 273). Das zweite Exemplar des Typs Sc 7, Fragment A5/6.712.10, ist den Umständen seiner Bergung zufolge nur mehr grob im Bereich zwischen Troia V₁, Troia V₂ und Troia V₃ anzusiedeln.

Ebenfalls der Form A 20 nach Blegen *et al.* zuzuweisen sind Fundstücke des Typs Sc 8, der Schale mit umlaufender Kehle und verdicktem, gerundetem oder nach innen abgestrichenem Rand. Diese sind im Formenspektrum der Quadrate A 5/6 mit zwei Exemplaren vertreten, von denen Fragment A5/6.481.01 phasengenau in Troia V₃ verortet werden kann, während für die Ablagerung des zweiten, als Bestandteil einer stark vermischten Ausgrabungseinheit geborgenen Stücks A5/6.242.11 lediglich ein – bezogen auf die generelle chronologische Tendenz des Typs – verhältnismäßig spätes Datum von Troia V₆ oder Troia VI und jünger anzusetzen ist (Taf. 274).

Vertreter des Schalentyps Sc 9, der Kehlrandschalen mit kurzem gerundeten, nach innen abgestrichenem Rand, stehen typographisch den von Blegen *et al.* unter Typ A 21 geführten Fundstücken nahe.⁸⁷⁵ Während entsprechende Exemplare im Rahmen der US-amerikanischen Ausgrabungen zum Teil auch in größeren Mengen in nahezu allen chronologischen Horizonten der

⁸⁷² Blegen *et al.* 1951: 124, 239–240 u. Tab. 14, 21.

⁸⁷³ Cf. Blegen *et al.* 1951: 124–125, 240–241 u. Tab. 14, 21.

⁸⁷⁴ Blegen *et al.* 1951: 125, 241 u. Tab. 14, 21; Podzuweit 1979: 129–130 u. Taf. 3.1 Ka, b.

⁸⁷⁵ Cf. Podzuweit 1979: 121 u. Taf. 2.1 E IVb1.

Perioden Troia IV und Troia V dokumentiert werden konnten,⁸⁷⁶ verzeichnete man für die Quadrate A 5/6 lediglich das Vorkommen zweier vereinzelter, überdies nur bedingt stratigraphisch faßbarer Stücke (Taf. 275). Von diesen ist das aus einem stark vermischtem Materialkomplex stammende Fragment A5/6.712.09 relativchronologisch im Bereich von Troia V₁ bis Troia V₃ anzusetzen, A5/6.327.01 dagegen im Zeitraum von Troia V₇/Troia VI.

Mit drei stratifizierten Fundstücken ist Schalenvariante Sc 10.1 (Schale mit leicht einziehendem, nach innen abgestrichenem Rand) im frühen Abschnitt der Periode Troia V, d. h. den Phasen Troia V₂ bis Troia V₄, präsent (A5/6.678.02, A5/6.774.10 u. A5/6.672.03). Hinzu kommen zwei Exemplare aus stark vermischtem – im Grunde jedoch auf denselben chronologischen Rahmen verweisende – Ausgrabungseinheiten, von denen A5/6.784.09 aus einem Komplex stammt, der Material der Phasen Troia IV₂ bis Troia V₂ enthält, während Fragment A5/6.746.06 mit Fundstücken der Zeit von Troia V₁, Troia V₂ und gegebenenfalls Troia VI vergesellschaftet ist (Taf. 276); formal findet Variante Sc 10.1 ihre größtmögliche Entsprechung in Typ A 11 von Blegen *et al.*, der – wenn auch insgesamt recht selten – sicher für die Abschnitte Troia IVa, Troia V Früh und Troia V Spät belegt ist sowie mit gewisser Wahrscheinlichkeit für Troia IVc, Troia IVd und Troia V Mitte.⁸⁷⁷

Das früheste Auftreten von Variante Sc 10.2, den Schalen mit leicht einziehendem verdicktem, nach innen abgestrichenem Rand, ist ausgehend von Fragment A5/6.934.08 in Phase Troia V₁ anzusetzen. Ein zweites Exemplar der ebenfalls auf Form A 11 von Blegen *et al.* basierenden Schalenart (A5/6.209.02) fand sich in Schichtzusammenhängen der Abschnitte Troia V₇/Troia VI (Taf. 277).

Seiner stratigraphischen Einbindung gemäß ist Fragment A5/6.801.04, als einziger Vertreter der Schalen mit Z-förmigem Profil und verdicktem, nach innen abgestrichenem Rand, Phase Troia V₂ zuzuordnen (Taf. 278); formal steht Variante Sc 11.1 der von Blegen *et al.* als Typ A 18 definierten Schalenform nahe.

Schalen mit Z-förmigem Profil und nach außen ziehender, leicht verjüngter Randlippe (Sc 11.2) sind mit Fundstück A5/6.678.07 für Phase Troia V₂ sicher belegt, alle weiteren Exemplare der ebenfalls mit Form A 18 von Blegen *et al.* zu vergleichenden Gefäßgattung⁸⁷⁸ können als Bestandteil stark vermischter Materialsammlungen nur mehr pauschal den Phasen Troia IV₂ bis Troia V₃ und möglicherweise Troia VI zugewiesen werden (Taf. 279).

Ein Einzelstück der Variante Sc 11.3 (A5/6.519.02), der Schalen mit Z-förmigem Profil und nach außen ziehender, leicht verjüngter Randlippe, fand sich im stratigraphischen Kontext der Phase Troia V₃ (Taf. 280); der Form Sc 11.1 formal verwandte Stücke wurden von Blegen *et al.* dem Typ A 18 zugeordnet.

Das Vorkommen der Schalenvariante Sc 11.4 (flache Schale mit Z-förmigem Profil und ausladender, spitz zulaufender Randlippe) beschränkt sich auf ein einzelnes, mit Matrix-Nummer 116 geborgenes Fragment (A5/6.314.03), das nach Maßgabe seiner spezifischen Schichtzu-

⁸⁷⁶ Blegen *et al.* 1951: 125, 241–242 u. Tab. 14, 21.

⁸⁷⁷ Blegen *et al.* 1951: 124, 239 u. Tab. 14, 21.

⁸⁷⁸ S. hierzu auch Podzuweit 1979: 113 u. Taf. 2.1 E IVa1.

gehörigkeit in der Zeit von Troia V₃ anzusetzen ist (Taf. 281). Wie die Vertreter der zuvor besprochenen Schalenkategorie zählen diejenigen der Variante Sc 11.4 zum Typ A 18 gemäß der Definition von Blegen *et al.*⁸⁷⁹

Typographisch der Form A 11 von Blegen *et al.* nahestehend sind Schalen der Variante Sc 11.5,⁸⁸⁰ d. h. Schalen mit Z-förmigem Profil und nach außen ziehender, gerundeter Randlippe. Mit zwei Vertretern sind Gefäße dieser Kategorie in vermischten Fundeinheiten der Phasen Troia V₁/Troia V₂ präsent (A5/6.727.18 u. A5/6.733.05), ein weiteres Exemplar, Fragment A5/6.189.14, ist in einem stark vermischtem Komplex enthalten und dabei mit Material der Phasen Troia V₆, Troia V₇ und Troia VI vergesellschaftet (Taf. 282).

Schalen mit Z-förmigem Profil und verdicktem, nach außen flach abgestrichenem Rand (Sc 11.6) sind mit insgesamt fünf Exemplaren im keramischen Fundaufkommen vertreten. Das früheste – und dabei stratigraphisch gesicherte – Auftreten dieser ebenfalls Typ A 11 von Blegen *et al.* zuzuweisenden Form ist mit Fragment A5/6.899.02 für Phase Troia V₁ zu verzeichnen, das späteste Stück stammt aus Ablagerungen der Phase Troia V₆ (A5/6.596.03); drei aus leicht bis stark vermischtem, insgesamt jedoch in den begrenzten Zeitraum zwischen Troia IV₂ und Troia V₂ zu datierenden Ausgrabungseinheiten stammende Fragmente weisen die betreffende Schalenvariante mit als frühe Erscheinung innerhalb des Formenspektrums der Quadrate A 5/6 aus (Taf. 283).

Von den insgesamt nur zwei Fundstücken des Schalentyps Sc 12, den Schalen mit Z-förmigem Profil und verdicktem, in einem scharfen Winkel nach außen ziehendem, spitz zulaufendem Rand konnte nur Fragment A5/6.494.01 einem einzelnen Besiedlungsabschnitt – Phase Troia V₂ – zugeordnet werden; das aus einem stark vermischtem Fundensemble stammende Exemplar A5/6.780.10 hingegen ist entsprechend der gegebenen – wenn auch eingeschränkten – chronologischen Überschneidung im Bereich Troia IV₂ bis Troia V₂ anzusetzen (Taf. 284). Den Schalen des Typs Sc 12 vergleichbare Stücke wurden von Blegen *et al.* der Form A 11 zugewiesen.

Zu Typ Sc 13 zählen alle flachen Schalen mit Z-förmigem Profil und ausladendem, leicht verdicktem und gerundetem Rand. Zwei deren Vertreter fanden sich in Schichtzusammenhängen der Phase Troia V₅ (A5/6.247.08 u. A5/6.314.09), ein weiterer, A5/6.559.03, als Bestandteil eines vermischten Komplexes der Phasen Troia V₆/Troia V₇ (Taf. 285). Formal stimmen Schalen des Typs Sc 13 mit den für die gesamte Zeit von Troia IV und Troia IV angesetzten Vertretern der Form A 21 von Blegen *et al.* überein.⁸⁸¹

Schalen mit leicht einziehendem Rand und nach oben ausgezogener, verdickter und gerundeter Randlippe sind mit Fragment A5/6.684.03 in Ablagerungen der Phase Troia V₃ vertreten (Taf. 286); Fundstücken des Typs Sc 14 vergleichbare Exemplare wurden von Blegen *et al.* ebenfalls der Form A 21 zugeordnet.⁸⁸²

⁸⁷⁹ Vgl. Podzuweit 1979: 113 u. Taf. 1.2 E IIIc.

⁸⁸⁰ Blegen *et al.* 1951: 124, 239. Cf. Podzuweit 1979: 113 u. Taf. 2.1 E IVa1.

⁸⁸¹ Blegen *et al.* 1951: 125, 241–242 u. Tab. 14, 21.

⁸⁸² Podzuweit 1979: 113 u. Taf. 1.2 E IIIb2.

Einzelstück A5/6.329.09 steht stellvertretend für Schalen der Gattung Sc 15, den Schalen mit leicht einziehendem Rand und nach unten ausgezogener, gerundeter Randlippe. Das im Rahmen einer vermischten, Troia V₄- und Troia V₅-zeitliches Material enthaltenden Fundeinheit geborgene Fragment ist mit Exemplaren des Typs A 21 von Blegen *et al.* formverwandt (Taf. 287).

Ein einzelnes Fragment der flachen Schalen mit einziehendem Rand und nach unten ausgezogener, spitz zulaufender Randlippe (A5/6.209.06) fand sich in stratigraphischen Einheiten der Phasen Troia V₇/Troia VI (Taf. 288); diesem unter Form Sc 16 geführtem Schalentyp stehen Vertreter der Form A 21 von Blegen *et al.* typographisch nahe.

Schalenkategorie Sc 17 (Schale mit leicht einziehendem Rand und kurzer, senkrechter Randlippe) ist mit Fundstück A5/6.4471.02 in Phase Troia V₄ präsent sowie mit A5/6.617.03, als Bestandteil eines teilvermischten Materialkomplexes, in den stratigraphischen Abschnitten Troia V₃/Troia V₄; die Ablagerung des dritten Fragments der – wiederum auf Typ A 18 von Blegen *et al.* basierenden – Form Sc 17, A5/6.784.05, ist in der Zeit zwischen Troia IV₂ und Troia V₂ anzusetzen (Taf. 289).

Tiefe Schalen mit umlaufender Kehle und ausladendem, gerundetem Rand (Sc 18) sind im Fundaufkommen der Quadrate A 5/6 zweifach vertreten, wobei für keines der beiden hier zur Diskussion stehenden Exemplare eine phasengenau Zuweisung möglich ist (*cf.* Taf. 290): Fundstück A5/6.733.09 stammt aus einem Fundensemble, das neben Troia V₁-zeitlichem Material solches der Phase Troia V₂ enthält, Fragment A5/6.709.09 ist Teil eines stark vermischten Komplexes der Abschnitte Troia V₂, Troia V₃ und gegebenenfalls Troia VI. Dem Schalentyp Sc 18 formal verwandte Stücke wurden von Blegen *et al.* der Form A 18 zugewiesen.

Als einziger Vertreter der Schalenform Sc 19 (tiefe Schale mit umlaufender Kehle und gerundetem Rand) ist Fragment A5/6.605.04 in Ablagerungen der Phasen Troia V₃/Troia V₄ enthalten (Taf. 291); es erfüllt dieselben formalen Kriterien wie andere von Blegen *et al.* unter Typ A 18 zusammengefaßte Fundstücke.⁸⁸³

4.7.2.2 Teller

Formenklasse Te weist eine den Schalen und Schüsseln entgegengesetzte quantitative Entwicklung auf. Mit einem Gesamtanteil vom 39,2 % am stratifizierten Fundmaterial verzeichnet die Gruppe der Teller zur Zeit von Troia IV₁/Troia IV₂ einen deutlichen Schwerpunkt (Tab. 85), in den drei unmittelbar anschließenden Phasen Troia V₁ bis Troia V₃ hingegen einen signifikanten Rückgang von zunächst 14,3 % über 17,6 % auf schließlich 8,6 % (*cf.* Taf. 292–295).

14,3 % der Formenklasse Te entfallen auf den Typ Te 1, die geradwandigen bis leicht gerundeten Teller mit gerundetem Rand. Ein quantitativer Schwerpunkt der typographisch der Kategorie A 1 nach Blegen *et al.* nahestehenden Tellergattung⁸⁸⁴ ist mit fünf ihrer im ganzen 10 Typvertretern im Bereich von Troia IV₁/Troia IV₂ zu verzeichnen, während ihr Vorkommen sich

⁸⁸³ S. hierzu Blegen *et al.* 1951: 124–125, 240–241. *Cf.* Podzuweit 1979: 113.

⁸⁸⁴ Blegen *et al.* 1950: 56–58.

	Troia IV ₁ / Troia IV ₂	Troia V ₁	Troia V ₂	Troia V ₃	Troia V ₄	Troia V ₅	Troia V ₆	Troia V ₇
Stück	20	3	3	3	-	1	-	-
Verteilung in %	39,2	14,3	17,6	8,6	-	6,25	-	-

in den darauffolgenden Phasen im wesentlichen auf wenige, zudem isolierte Einzelstücke beschränkt (Taf. 292).

Geradwandige Teller mit keulenförmig verdicktem Rand (Te 2.1) sind mit 50 Stücken im Fundmaterial der Quadrate A 5/6 vertreten und bilden mit einem prozentualen Anteil von 72,9 die quantitativ umfangreichste Objektgruppe innerhalb der Formenklasse. Mit nicht weniger als 19 stratigraphisch sicher zuweisbaren und vier aus teilvermischten Komplexen stammenden Vertretern ist Variante Te 2.1 besonders häufig für den chronologischen Abschnitt Troia IV₁/Troia IV₂ belegt, in Schichteinheiten der Phasen Troia V₁ bis Troia V₃/Troia V₄ hingegen ist ihre Präsenz stark rückläufig (Taf. 293); der Variante Te 2.1 vergleichbare Stücke wurden von Blegen *et al.* der erstmals in Fundeinheiten der Periode Troia II registrierten Form A 2, den sogenannten »*flaring bowls*« zugeordnet.⁸⁸⁵

Für Variante Te 2.2, die geradwandigen Teller mit gerundetem, nach außen umbiegender Rand, liegen im ganzen nur zwei Stücke vor (Taf. 294). Von diesen ist Fragment A5/6.709.14 einem stark vermishten Materialensemble zuzuweisen, in dem Funde der Phasen Troia V₂ und Troia V₃ enthalten sind, eventuell auch solche der Periode Troia VI; in gleicher Weise ist Fundstück A5/6.724.01 in einem Materialkomplex enthalten, der Troia V₂- und gegebenenfalls Troia VI-zeitliche Objekte umfaßt. Wie diejenigen der zuvor behandelten Gattung beruhen Teller der Variante Te 2.2 formal auf Typ A 2 von Blegen *et al.* und dürften – trotz einer etwaigen Vermischung der jeweils betreffenden Fundeinheit mit deutlich jüngerem Material – relativ-chronologisch früh, d. h. in der Zeit von Troia V₂ und Troia V₃, anzusetzen sein.

Teller des Typs Te 3 (Teller mit leicht gerundeter Wandung und keulenförmig verdicktem Rand) sind in der stratigraphischen Abfolge der Quadrate A 5/6 mit drei Exemplaren aus vermishten Komplexen erstmals für die Zeit von Troia IV₁/Troia IV₂ bzw. Troia IV₂/Troia V₁ belegt (A5/6.859.13, A5/6.902.05 u. A5/6.902.08), danach treten sie mit Fragment A5/6.774.04 erst wieder in Phase Troia V₃ in Erscheinung (Taf. 267). Hinzu kommen aus stark vermishten Materialsammlungen die Fundstücke A5/6.812.03 und A5/6.812.04 (Troia IV₁ bis Troia V₁) sowie A5/6.787.02 (Troia IV₂ u. eventuell Troia VI), die trotz verhältnismäßig weitgefaßter stratigraphischer Verortung Teller des Typs Te 3 als frühe Erscheinung innerhalb des Gesamtformenspektrums der Planquadrate A 5/6 ausweisen; dem Typ Te 3 typographisch entsprechende Stücke wurden von Blegen *et al.* der Tellerform A 2 zugeordnet.

⁸⁸⁵ Dazu s. Blegen *et al.* 1950: 225–226; Blegen *et al.* 1951: 122, 237–239 u. Tab. 14, 21.

	Troia IV ₁ / Troia IV ₂	Troia V ₁	Troia V ₂	Troia V ₃	Troia V ₄	Troia V ₅	Troia V ₆	Troia V ₇
Stück	4	6	4	5	5	3	-	1
Verteilung in %	7,8	28,6	23,5	14,3	22,7	18,8	-	25

4.7.2.3 Töpfe

Töpfe sind mit Werten zwischen 14,3 und 28,6 % verhältnismäßig konstant im Fundbild der einzelnen Besiedlungsphasen vertreten (Tab. 86), lediglich in Troia IV₁/Troia IV₂ ist ihr Anteil mit 7,8 % zunächst scheinbar geringer; unter Einbeziehung von Fundstücken aus vermischten Komplexen nähert sich jedoch auch dieser Wert demjenigen von Troia V₁ an (*cf.* Taf. 296–304).

Vertreter der Kategorie To 1.1, der Töpfe mit einbiegendem, nach innen abgestrichenem Rand, stehen typographisch den von Blegen *et al.* im gesamten Zeitraum der Perioden Troia II bis Troia V unter Form C 19 geführten Stücken nahe,⁸⁸⁶ im keramischen Fundaufkommen der Quadrate A 5/6 sind diesen formal entsprechende Exemplare bis einschließlich Phase Troia V₂ vertreten (Taf. 296).

Der Variante To 1.2 (Topf mit einbiegendem, gerundetem Rand) sind insgesamt vier Fundstücke zuzurechnen, deren frühestes Auftreten mit Fundstück A5/6.937.02 in Abschnitt Troia IV₁/Troia IV₂ anzusetzen ist. Darüber hinaus sind sie – gleichfalls als Bestandteil vermischter Komplexe – in den stratigraphischen Bereichen Troia V₃/Troia V₄ (A5/6.672.04) und Troia V₄/Troia V₅ (A5/6.329.07) präsent, die Ablagerung von Fragment A5/6.746.13 dagegen ist vermutlich in der Zeit von Troia V₁/Troia V₂ zu verorten, kann gegebenenfalls jedoch auch jüngeren Datums sein, d. h. Troia VI (Taf. 297); entsprechend ihrer formalen Charakteristika sind Töpfe der Form To 1.2 in gleicher Weise Typ C 19 nach Blegen *et al.* zuzuweisen.⁸⁸⁷

25 % der Formenklasse To entfallen auf Variante To 2.1, d. h. auf Töpfe mit leicht einbiegendem, nach innen abgestrichenem Rand. Die ältesten Exemplare der mit insgesamt 17 Fundstücken vertretenen Objektgruppe sind in Schichtzusammenhängen der Phase Troia IV₂ angesiedelt (A5/6.865.03 u. A5/6.908.01), mit Fragment A5/6.911.03 gegebenenfalls auch schon in solchen des Abschnitts Troia IV₁ (*cf.* Taf. 298). Zwischen den Phasen Troia V₁ und Troia V₅/Troia V₆ treten Töpfe der Gattung To 2.1 verhältnismäßig konstant auf – wenn zum Teil auch nur in Form von Einzelstücken –, danach sind sie im Fundaufkommen nicht mehr zugegen. Formal finden sich Vertreter der hier zur Diskussion stehenden Gefäßform sowohl in Typ C 22 wieder, den Blegen *et al.* für die gesamte Zeit von Troia IV und Troia V registrierten, wie auch in Typ C 20, einer als Leitform der Periode Troia V ausgewiesenen Kategorie von Töpfen.⁸⁸⁸

⁸⁸⁶ Blegen *et al.* 1951: 30, 132, 245 u. Tab. 14, 21. S. in diesem Zusammenhang auch Blegen *et al.* 1950: 235; Podzuweit 1979: 209–210 u. Taf. 19.1 C Ic1.

⁸⁸⁷ *Cf.* Podzuweit 1979: 209–210 u. Taf. 19.1 C Ia.

⁸⁸⁸ Blegen *et al.* 1951: 133, 245–246 u. Tab. 14, 21; Podzuweit 1979: 209–210 u. Taf. 19.1 Ic1–Ic2, 20.1 C Va–Vc.

Mit im ganzen 19 Fundstücken und einem prozentualen Anteil von 28 an der klassifikatorisch übergeordneten Formenklasse ist Variante To 2.2 (Töpfe mit leicht einbiegendem, gerundetem Rand) die quantitativ umfangreichste Gefäßgattung in diesem Segment. Erstmals in Materialensembles des Abschnitts Troia IV₂ enthalten (A5/6.862.05), bilden Fundstücke dieser Art bis einschließlich Phase Troia V₄ eine konstante Größe im Fundaufkommen der Quadrate A 5/6, für die Zeit danach liegen keine – stratigraphisch gesicherten – Belege vor (Taf. 299); wie diejenigen der zuvor besprochenen Variante wurden der Form To 2.2 formal verwandte Stücke von Blegen *et al.* den Typen C 20 und C 22 zugeordnet.

Töpfe mit leicht einbiegendem, verdicktem und nach innen abgestrichenem Rand (To 2.3) sind ihrer typographischen Charakteristika entsprechend ebenfalls den Formen C 20 und C 22 nach Blegen *et al.* vergleichbar und mit zwei Stücken im Fundmaterial der Quadrate A 5/6 vertreten. Von diesen ist Fragment A5/6.733.10 einem vermischten Komplex zuzuweisen, der neben Funden der Phase Troia V₁ solche des Abschnitts Troia V₂ umfaßt, Fragment A5/6.614.01 hingegen ist in Schichtzusammenhängen der Phase Troia V₄ vergesellschaftet (Taf. 300).

Stellvertretend für Gefäße der Kategorie To 3.1, die Töpfe mit nach innen abgestrichenem Rand, steht Fragment A5/6.859.21, ein in Ablagerungen der Horizonte Troia IV₂/Troia V₁ geborgenes Einzelstück (Taf. 301). Typographisch ist es Typ C 21 zuzuordnen, der von Blegen *et al.* erstmals und ausschließlich in Troia II- und Troia III-zeitlichen Kontexten dokumentiert wurde.⁸⁸⁹

Die im wesentlichen durch einen gerundeten Rand charakterisierten Töpfe der Form To 3.2 treten erstmals in stratigraphischen Einheiten der Phasen Troia IV₁/Troia IV₂ auf und sind dann durchgängig und in gleichbleibend großer Quantität bis zum Ende der Periode Troia V belegt (Taf. 302). Mit 13 Fundstücken und einem Anteil von 19,1 % bildet die ebenfalls dem Gefäßtyp C 21 von Blegen *et al.* vergleichbare Variante To 3.2 das drittstärkste Segment innerhalb der Formenklasse.

Von den insgesamt nur vier Vertretern der Gattung To 3.3, den Töpfen mit horizontal abgestrichenem Rand, konnten nicht mehr als zwei – A5/6.805.03 (Troia V₁) und A5/6.566.03 (Troia V₃) – einem einzelnen Abschnitt der Besiedlung zugeordnet werden; das aus einem vermischten Fundensemble stammende Exemplar A5/6.329.06 hingegen ist entsprechend der gegebenen chronologischen Überschneidung im Bereich Troia V₄/Troia V₅ anzusetzen, während für die Ablagerung von Fragment A5/6.780.11 ein Datum zwischen Troia IV₂ und Troia V₂ zu veranschlagen ist (Taf. 303). Formal den Töpfen der Variante To 3.3 vergleichbare Stücke wurden von Blegen *et al.* der Form C 21 zugewiesen.

Im Formenrepertoire der Quadrate A 5/6 ist Fragment A5/6.859.01 der einzige Vertreter der Töpfe mit leicht einziehendem, nach innen abgestrichenem Rand (To 4). Es erfüllt dieselben typographischen Kriterien wie die von Blegen *et al.* der Form C 23 zugeordneten und als Leitform der Phasen Troia V Früh und Troia V Mitte angesprochenen Stücke;⁸⁹⁰ entsprechend seiner Einbindung in die Schichtenabfolge der Quadrate A 5/6, ist es zeitlich – als Bestandteil eines teilvermischten Fundensembles – im Bereich von Troia IV₂/Troia V₁ zu verorten (Taf. 304).

⁸⁸⁹ Vgl. Blegen *et al.* 1950: 235; Blegen *et al.* 1951: Tab. 28. Ergänzend dazu s. Podzuweit 1979: 209–210 u. Taf. 19.2 C IIa–IIc.

⁸⁹⁰ Blegen *et al.* 1951: 246 u. Tab. 21.

	Troia IV ₁ / Troia IV ₂	Troia V ₁	Troia V ₂	Troia V ₃	Troia V ₄	Troia V ₅	Troia V ₆	Troia V ₇
Stück	1	-	-	-	-	-	-	-
Verteilung in %	2,0	-	-	-	-	-	-	-

4.7.2.4 Krüge

Mit nur zwei positiv zu identifizierenden Typvertretern, ist Formenklasse Kr im Fundspektrum der Quadrate A 5/6 deutlich unterrepräsentiert (Tab. 87), auch kann nur eines dieser Exemplare phasengenau der lokalen Schichtenabfolge zugewiesen werden (*cf.* Taf. 305–306).

Das Fragment eines einhenkligen Krugs mit abgesetztem Hals und leicht ausbiegendem verdickten, nach außen abgestrichenem Rand (Kr 1) fand sich in Ablagerungen der Phase Troia IV₂ (Taf. 305). Typvertreter A5/6.873.01 entsprechende Fundstücke finden sich in Gefäßtyp B 3 von Blegen *et al.* wieder, welche im Zuge der US-amerikanischen Ausgrabungen in den chronologischen Horizonten Troia IVa, Troia V Früh und Troia V Mitte angetroffen wurden.⁸⁹¹

Typ Kr 2 (einhenkliger Krug mit abgesetztem Hals und ausladendem, horizontal abgestrichenem Rand) ist mit Fundstück A5/6.657.01 im Bereich Troia V₂/Troia V₃ vertreten (Taf. 306); es erfüllt dieselben typographischen Kriterien wie andere von Blegen *et al.* in Gattung B 3 aufgenommene Fundstücke.

4.7.2.5 Kannen

Die wenigen stratigraphisch sicher einzuordnenden Typvertreter der Formenklasse Ka verteilen sich – mit statistisch irrelevanten Werten – auf die relativchronologischen Abschnitte Troia IV₁/Troia IV₂ und Troia V₃ (Tab. 88), ansonsten sind sie im Fundbild der Quadrate A 5/6 entweder nicht präsent oder liegen als Bestandteil vermischter Komplexe vor (*cf.* Taf. 307–310).

Ein einzelnes Fundstück aus Ablagerungen der Phase Troia V₃ (A5/6.741.02) steht stellvertretend für Gefäße des Typs Ka 1, d. h. Kannen mit abgesetztem Hals und schräger Mündung (Taf. 307). Formal nahestehende, in Kategorie B 22 zusammengefaßte Exemplare wurden von Blegen *et al.* bereits in Schichtzusammenhängen der Perioden Troia II und Troia III dokumentiert ebenso wie dann in solchen der Phase Troia IVc.⁸⁹²

Beide Vertreter des Typs Ka 2 (Kanne mit abgesetztem Hals und kleeblattförmiger Mündung) wurden in älteren Schichteinheiten der Quadrate A 5/6 geborgen: Fragment A5/6.826.01 in denjenigen der Phase Troia IV₂, während Fundstück A5/6.727.02 seiner stratigraphischen Einbindung zufolge im Bereich von Troia V₁/Troia V₂ einzuordnen ist (Taf. 308). Ihrer typolo-

⁸⁹¹ S. in diesem Zusammenhang Blegen *et al.* 1951: 128, 243 u. Tab. 14, 21; Podzuweit 1979: 176–177 u. Taf. 9.2 F IIa.

⁸⁹² Blegen *et al.* 1950: 233; Blegen *et al.* 1951: 129 u. Tab. 14. S. hierzu auch Podzuweit 1979: 165 u. Taf. 8.1 A IIa–IIb.

	Troia IV ₁ / Troia IV ₂	Troia V ₁	Troia V ₂	Troia V ₃	Troia V ₄	Troia V ₅	Troia V ₆	Troia V ₇
Stück	1	-	-	2	-	-	-	-
Verteilung in %	2,0	-	-	5,7	-	-	-	-

graphischen Charakteristika gemäß sind Kannen der Gattung Ka 2 in Typ B 24 nach Blegen *et al.* zu fassen, der erstmals in Troia II auftritt⁸⁹³ und dann durchgängig bis zum Ende der Periode Troia V im Formenspektrum des jeweiligen chronologischen Abschnitts präsent ist.⁸⁹⁴

Variante Ka 3.1, die einhenkelige Kanne mit langem, schmalen Hals und abgesetzter, schnabelförmiger Mündung, ist mit Fragment A5/6.481.09 für Troia V₃ sicher belegt. Das zweite Fundstück dieser Kannengattung, A5/6.724.02, ist als Bestandteil eines stark vermischten Fundensembles, das neben Troia V₂-zeitlichem Material solches der Periode Troia VI umfaßt (Taf. 309), nur unter Vorbehalten chronologisch zu verorten; in Anbetracht dessen, daß Blegen *et al.* entsprechende, Typ B 20 zugeordnete Stücke bereits in Periode Troia III⁸⁹⁵ und davon ausgehend in allen Siedlungsabschnitten bis einschließlich Phase Troia V Spät verzeichnen, dürfte hier allerdings der frühere Ansatz vorzuziehen sein.⁸⁹⁶

Das Vorkommen von Gefäßen der Variante Ka 3.2, der einhenkeligen Kannen mit langem, schmalen Hals und schräger, schnabelförmiger Mündung beschränkt sich mit Fragment A5/6.660.03 auf ein einzelnes Fundstück,⁸⁹⁷ das infolge der starken Vermischung der betreffenden Ausgrabungseinheit keinem der beiden zumindest in Teilen zusammenerfaßten stratigraphischen Abschnitte Troia V₂ und Troia VI mit absoluter Gewißheit zugewiesen werden kann (Taf. 310); als Bestandteil des Typs B 20 von Blegen *et al.* scheint das Fragment – der allgemeinen chronologischen Tendenz der Formengruppe folgend – jedoch eher früh anzusetzen zu sein.⁸⁹⁸

4.7.2.6 Kännchen

Gefäßtyp Kn (Kännchen) ist im Formenspektrum der Quadrate A 5/6 lediglich mit einem einzelnen, dafür jedoch nahezu vollständig erhaltenem Exemplar vertreten. Fundstück A5/6.739.01 stammt aus einer mit Matrix-Nummer 047 erfaßten Fundvergesellschaftung der Zeit von Troia V₁/ Troia V₂ (Taf. 311).

⁸⁹³ Dazu s. Blegen *et al.* 1950: 233.

⁸⁹⁴ Blegen *et al.* 1951: 28, 130 u. Tab. 7, 14, 21. Cf. Podzuweit 1979: 78 u. Taf. 10.1 H.

⁸⁹⁵ Cf. Blegen *et al.* 1951: 28–29 u. Tab. 7.

⁸⁹⁶ Blegen *et al.* 1951: 129, 243–244 u. Tab. 14, 21; Podzuweit 1979: 169 u. Taf. 9.1 C V.

⁸⁹⁷ S. auch Podzuweit 1979: 169 u. Taf. 8.2 C IIa1–IIa2, IIb2.

⁸⁹⁸ Cf. Blegen *et al.* 1951: 129, 243–244.

	Troia IV ₁ / Troia IV ₂	Troia V ₁	Troia V ₂	Troia V ₃	Troia V ₄	Troia V ₅	Troia V ₆	Troia V ₇
Stück	-	-	1	-	1	2	-	1
Verteilung in %	-	-	5,9	-	4,5	12,5	-	25

4.7.2.7 Becher

Vertreter der Formenklassen Be 1, Be 2 und Be 3 sind zu 0,8 % unter den diagnostischen Fundstücken vertreten und verteilen sich verhältnismäßig gleichmäßig – wenn auch zumeist nur in Form von Einzelstücken (Tab. 89) – über die gesamte stratigraphische Abfolge des Areals (cf. Taf. 312–314).

Das Fragment eines einhenkeligen Bechers mit sanduhrförmigem Profil (Be 1) fand sich in Ablagerungen der Phasen Troia V₃/Troia V₄ (Taf. 312). Typvertreter A5/6.501.00 formal verwandte Fundstücke wurden von Blegen *et al.* erstmals – und ausschließlich – in Kontexten der Phasen Troia V Früh, Troia V Mitte und Troia V Spät dokumentiert und dementsprechend, unter der Bezeichnung A 41, als Leitform der Gesamtperiode ausgewiesen.⁸⁹⁹

Einhenkelige Becher mit Bauchknick und ausladendem Rand (Be 2) sind im Fundrepertoire der Quadrate A 5/6 mit zwei Exemplaren vertreten, wobei nur für eines der beiden hier zur Diskussion stehenden Stücke eine phasengenaue Zuweisung möglich ist: Fragment A5/6.229.03 ist nach Aussage der lokalen Stratifizierung in Abschnitt Troia V₇ anzusetzen, Fundstück A5/6.733.09 hingegen stammt aus einem Fundensemble, das neben Troia V₇-zeitlichem Material auch solches der Periode Troia VI enthalten kann (Taf. 313). Bechertyp Be 2 vergleichbare Stücke wurden von Blegen *et al.* der Form A 39 zugeordnet, die sowohl in Troia IV- wie auch in Troia V-zeitlichen Zusammenhängen zu registrieren war.⁹⁰⁰

Gefäßtyp Be 3, der einhenkelige Becher mit kugeligem Körper und abgesetztem, geschweiftem Hals, ist mit insgesamt fünf Fragmenten innerhalb der Quadrate A 5/6 vertreten und stellt mit 62,5 % den größten Teil der Formenklasse. Erstmals in Schichten der Phasen Troia IV₂/Troia V₁ enthalten (A5/6.859.02), ist die Formengruppe bis einschließlich Phase Troia V₅ im Fundaufkommen des untersuchten Bereichs gegenwärtig (Taf. 314). Ihre typographischen Merkmale stellen Becher des Typs Be 3 solchen der erstmals aus Kontexten der Periode Troia II bekannten Form A 38 nach Blegen *et al.* zur Steite⁹⁰¹ ebenso wie denjenigen der Kategorie A 39.

⁸⁹⁹ Blegen *et al.* 1951: 242–243 u. Tab. 14, 21. S. in diesem Zusammenhang auch Podzuweit 1979: 154–155 u. Taf. 6.1 C I–II; Zimmermann 2006: 13 u. Taf. 10.84.

⁹⁰⁰ Blegen *et al.* 1951: 126–127, 242 u. Tab. 14, 21.

⁹⁰¹ Cf. Blegen *et al.* 1950: 229.

4.7.2.8 Platten

Platten bilden einen vergleichsweise geringen Anteil innerhalb des Keramikrepertoires der Quadrate A 5/6, was mit auf die starke Zerschabung der Stücke aufgrund des brüchigen Ausgangsmaterials, d. h. Ware 6 zurückzuführen sein dürfte. Individual- bzw. Randstücke sind für diese Formenklasse nicht belegt (*cf.* Taf. 250 u. Taf. 315), so daß sich eine quantitative Charakterisierung der zur Diskussion stehenden Objektgruppe notwendigerweise auf eine – befundimmanente – Beurteilung des zur Verfügung stehenden Wandscherbenmaterials beschränken muß (s. o.).

4.7.2.9 Henkelkrüge

In stratifizierten und vermischten Fundkomplexen enthaltene Vertreter der Gefäßgattung He weisen diese als verhältnismäßig frühe Erscheinung innerhalb des Formenspektrums aus (Tab. 90): Der überwiegende Teil der Fundstücke verteilt sich auf die Phasen Troia IV₁/Troia IV₂ sowie Troia V₁, während für die darauffolgenden stratigraphischen Horizonte, d. h. für die Zeit von Troia V₂ bis Troia V₇/Troia VI Henkelkrüge im wesentlichen im Form von Einzelstücken belegt sind (*cf.* Taf. 316–325).

Henkelkrüge der Variante He 1.1 (Henkelkrug mit breitem ovalen Körper und abgesetztem, geschweift ausladendem Trichterrand) sind mit Fundstück A5/6.821.02 erstmals für den Abschnitt Troia V₁ belegt, danach treten sie mit A5/6.329.04 in Schichten der Horizonte Troia V₄/Troia V₅ letztmalig in Erscheinung (Taf. 316). Formal sind die betreffenden Stücke am ehesten mit Vertretern der Form C 3 zu vergleichen, die von Blegen *et al.* in Fundkontexten der Periode Troia I angetroffen wurden.⁹⁰²

Ein einzelnes, Schichteinheiten der Phase Troia IV₂ entnommenes Fundstück steht stellvertretend für Variante He 1.2 (A5/6.914.02), die Henkelkrüge mit breitem ovalen bis doppelkonischem Körper und abgesetztem, ausladendem Trichterrand (Taf. 317); typographisch ist das Exemplar Form C 2 nach Blegen *et al.* zuzuordnen, einem speziell für Troia I-zeitliche Inventare charakteristischen Gefäßtyp.⁹⁰³

Zur Formengruppe He 2, den Henkelkrügen mit rundem Körper und abgesetztem, konischem Rand ist das aus Troia V₄-zeitlichen Ablagerungen stammende Fragment A5/6.614.03 zu zählen (Taf. 318). Formverwandte Stücke wurden von Blegen *et al.* Typ C 5 zugerechnet, der für die Zeit von Troia II,⁹⁰⁴ Troia III, Troia IVa, Troia IVc und Troia IVd dokumentiert werden konnte ebenso wie für Troia V Früh und Troia V Mitte.⁹⁰⁵

Der früheste Vertreter der Gefäßtyps He 3, der Henkelkrüge mit rundem Körper, zylindrischem Hals und leicht ausbiegender Randlippe, ist mit Fundstück A5/6.918.02 im Bereich der Phasen Troia IV₁/Troia IV₂ anzusetzen, Fragment A5/6.218.04 hingegen ist – als insgesamt

⁹⁰² Blegen *et al.* 1950: 59.

⁹⁰³ *Cf.* Blegen *et al.* 1950: 59; Blegen *et al.* 1951: Tab. 28; Podzuweit 1979: 189–190 u. Taf. 14.2 E IV.

⁹⁰⁴ Blegen *et al.* 1950: 233.

⁹⁰⁵ Blegen *et al.* 1951: 28–29, 130, 244 u. Tab. 14, 21; Podzuweit 1979: 185 u. Taf. 12.1 A IIb.

	Troia IV ₁ / Troia IV ₂	Troia V ₁	Troia V ₂	Troia V ₃	Troia V ₄	Troia V ₅	Troia V ₆	Troia V ₇
Stück	3	3	1	2	1	-	-	-
Verteilung in %	5,9	14,3	5,9	5,7	4,5	-	-	-

spätestes Exemplar der Formengruppe – dem Abschnitt Troia V₇/Troia VI zuweisen. Das aus einem stark vermischtem Fundkomplex stammende Stück A5/6.709.39 könnte zunächst in den Phasen Troia V₂/Troia V₃ zu verorten sein, angesichts der heterogenen Zusammensetzung des vergesellschafteten Materials jedoch auch in Ablagerungen der Periode Troia VI (Taf. 319). Im Fundrepertoire der US-amerikanischen Ausgrabungen sind formal verwandte Gefäßfragmente in den Kategorien C 6 (Troia IVb, Troia IVd, Troia IVe)⁹⁰⁶ und C 7 (Troia III, evtl. Troia IVa) zusammengefaßt.⁹⁰⁷

Henkelkrüge mit ovalem Körper und trichterförmigem, gerundetem Rand (He 4) sind für Schichten der Phase Troia V₂ belegt (A5/6.828.02), alle weiteren Stücke der Formengruppe sind aufgrund einer allzu starken Vermischung der zugehörigen Fundeinheiten stratigraphisch nicht näher einzuordnen (*cf.* Taf. 320); sie sind Gefäßen des Typs C 9 von Blegen *et al.* zu vergleichen, die sowohl in Ablagerungen der Periode Troia II wie auch in solchen der Phase Troia IVa dokumentiert wurden.⁹⁰⁸

In Fundschichten der Phase Troia IV₂ fand sich mit Fragment A5/6.870.12 der einzige Typvertreter der unter Form He 5 zusammengefaßten Henkelkrüge mit langovalem Körper, abgesetztem Hals und leicht ausbiegendem verdickten, nach außen abgestrichenem Rand (Taf. 321). Diesem formal nahestehend sind Krüge der Gattung C 10, deren Vorkommen Blegen *et al.* in Troia II, Troia III, Troia IVa bis Troia IVd sowie Troia V Früh und Troia V Mitte verzeichneten.⁹⁰⁹

Gefäße der Form He 6 (Henkelkrug mit ovalem Körper und abgesetztem trichterförmigem, nach innen abgestrichenem Rand) sind ihren typographischen Eigenschaften entsprechend solchen des Typs C 11 nach Blegen *et al.* zur Seite zu stellen, die zunächst in stratigraphischen Einheiten der Periode Troia II und dann erst wieder in denjenigen der Phasen Troia IVa, Troia IVc und Troia IVd in Erscheinung traten.⁹¹⁰ Im Fundaufkommen der Quadrate A 5/6 sind sie mit Einzelstück A5/6.605.02 für die Zeit von Troia V₃/Troia V₄ bezeugt (Taf. 322).

Der Form He 7 (Henkelkrug mit rundem Körper, abgesetztem Hals und leicht ausbiegendem verdickten, nach außen abgestrichenem Rand) sind im ganzen vier Individualstücke zuzurechnen. Chronologisch sind diese zwischen Phase Troia IV₂ (A5/6.885.05) und Troia V₁ anzusetzen (A5/6.831.02 u. A5/6.899.03), mit Exemplar A5/6.918.03 gegebenenfalls auch schon

⁹⁰⁶ S. hierzu Blegen *et al.* 1951: 130 u. Tab. 14.

⁹⁰⁷ Allgemein dazu s. Blegen *et al.* 1951: 28, 230 u. Tab. 14.

⁹⁰⁸ Blegen *et al.* 1950: 233; Blegen *et al.* 1951: 131 u. Tab. 14.

⁹⁰⁹ S. hierzu Blegen *et al.* 1950: 234; Blegen *et al.* 1951: 29, 131, 245 u. Tab. 14, 21; Podzuweit 1979: 184–185 u. Taf. 11.1 A Ia.

⁹¹⁰ *Cf.* Blegen *et al.* 1950: 234; Blegen *et al.* 1951: 131 u. Tab. 14.

in Troia IV₁ (Taf. 323). Hinsichtlich ihrer äußeren Gestalt sind die hier zur Diskussion stehenden Gefäßfragmente am ehesten mit Typvertretern der Kategorie C 12 nach Blegen *et al.* zu vergleichen, die in Troia II-zeitlichen Inventaren angetroffen wurden, ebenso wie solchen der Phasen Troia IVa, Troia IVb und eventuell Troia IVc.⁹¹¹

Ein einzelnes Fundstück aus Ablagerungen der Phase Troia V₁ (A5/6.934.13) steht stellvertretend für Gefäße des Typ He 8, d. h. Henkelkrüge mit ovalem Körper und abgesetztem ausladendem, nach innen abgestrichenem Rand (Taf. 324). Typographisch verwandte, zu Gattung C 14 zusammengefaßte Stücke wurden von Blegen *et al.* in allen der Phasen der Perioden Troia IV und Troia V identifiziert.⁹¹²

Das früheste der beiden Gefäßtyp He 9 (Henkelkrug mit ovalem Körper und ausladendem, nach außen abgestrichenem Rand) repräsentierenden Fundstücke stammt aus Ablagerungen der Phasen Troia IV₁/Troia IV₂ (A5/6.918.05), während das jüngere Exemplar, A5/6.481.11, in Troia V₃-zeitlichen Schichtzusammenhängen geborgen wurde (Taf. 325). Vertreter der Gattung C 16, die denjenigen der Kategorie He 9 in formaler Hinsicht gegenüberzustellen sind, wurden von Blegen *et al.* in allen Phasen der Periode Troia IV registriert, nicht jedoch in solchen der Periode Troia V.⁹¹³

4.7.2.10 Großgefäße

Im Formenrepertoire der Planquadrate A 5/6 sind Großgefäße ausgesprochen selten vertreten (Tab. 91), auch zeichnen sich – freilich mit als Resultat der geringen Stückzahlen – hinsichtlich ihrer stratigraphischen Grundverteilung keine Besonderheiten ab (*cf.* Taf. 326–328).

Großgefäße des Typs Gr 1 (Großgefäß mit ovalem Körper, abgesetztem zylindrischen Hals und ausgestelltem, nach außen abgestrichenem Rand) sind mit Fragment A5/6.865.01 für Troia IV₂ – stratigraphisch – sicher belegt (Taf. 326); es ist Gefäßen des Typs C 39 von Blegen *et al.* zu vergleichen, die in allen Abschnitten der Periode Troia IV und in Troia V Früh in Erscheinung traten, nicht jedoch in Troia V Mitte und Troia V Spät.⁹¹⁴

Als einziger Vertreter der Kategorie Gr 2 (Großgefäß mit ovalem Körper, abgesetztem zylindrischen Hals und leicht nach außen gestellter abgerundeter Randpartie) ist A5/6.821.04 in Ablagerungen der Phase Troia V₃ enthalten (Taf. 327); es erfüllt dieselben formalen Kriterien wie die von Blegen *et al.* in Typ C 39 zusammengefaßten Fundstücke.⁹¹⁵

Das Fragment eines Großgefäßes mit ovalem Körper, abgesetztem zylindrischen Hals und leicht ausbiegendem, horizontal abgestrichenem Rand (Gr 3) fand sich in Schichten der Phase Troia V₇ (Taf. 328). Typvertreter A5/6.622.01 entsprechende Fundstücke finden sich ebenfalls in der Gefäßkategorie C 39 von Blegen *et al.* wieder.

⁹¹¹ Zusammenfassend dazu s. Blegen *et al.* 1950: 234; Blegen *et al.* 1951: 131–132 u. Tab. 14.

⁹¹² Blegen *et al.* 1951: 132, 245 u. Tab. 14, 21.

⁹¹³ In diesem Zusammenhang s. Blegen *et al.* 1951: 132 u. Tab. 14; Podzuweit 1979: 209 u. Taf. 18.2 B Ia.

⁹¹⁴ Blegen *et al.* 1951: 135, 247 u. Tab. 14, 21.

⁹¹⁵ *Cf.* Podzuweit 1979: 205–206 u. Taf. 17.2 A IIb.

Tab. 91								
	Troia IV ₁ / Troia IV ₂	Troia V ₁	Troia V ₂	Troia V ₃	Troia V ₄	Troia V ₅	Troia V ₆	Troia V ₇
Stück	1	-	-	1	-	-	-	1
Verteilung in %	2,0	-	-	2,9	-	-	-	25

Tab. 92								
	Troia IV ₁ / Troia IV ₂	Troia V ₁	Troia V ₂	Troia V ₃	Troia V ₄	Troia V ₅	Troia V ₆	Troia V ₇
Stück	-	1	1	-	-	1	-	-
Verteilung in %	-	4,8	5,9	-	-	5,6	-	-

4.7.2.11 Deckel

Lediglich drei der im ganzen nur fünf Typvertreter der Formenklasse De können auf eine Phase genau innerhalb der Schichtenabfolge der Quadrate A 5/6 verortet werden (Tab. 92), alle übrigen Fundstücke stammen aus chronologisch heterogenen, stark vermischten Ausgrabungseinheiten, die keine nähere Zuordnung erlauben (*cf.* Taf. 329–330).

Von den zwei Fundstücken der Form De 1, der Deckel mit geschweiftem Unterteil, flach gewölbter Oberseite und einfachem Bügelhenkel, konnte nur Fragment A5/6.721.01 einem einzelnen Besiedlungsabschnitt – Phase Troia V₂ – zugeordnet werden (Taf. 329); das aus einem stark vermischten Fundensemble stammende Exemplar A5/6.588.07 dagegen ist chronologisch nicht zu verorten. Vertretern des Typs De 1 vergleichbare Stücke wurden von Blegen *et al.* in Schichtzusammenhängen der Phasen Troia IVa bis Troia V Mitte identifiziert und der Gattung D 5 zugewiesen.⁹¹⁶

Deckeln der ebenfalls für die Zeit von Troia IVa bis Troia V Mitte konstatierten Kategorie D 7 nach Blegen *et al.*⁹¹⁷ stehen typographisch diejenigen der Gattung De 2 (Deckel mit abgesetztem geraden Unterteil, gewölbter Oberseite und dreiarbigem Bügelhenkel) zur Seite. Innerhalb der Quadrate A 5/6 ist das früheste Auftreten dieses Typs mit Fragment A5/6.951.01 in Phase Troia V₁ anzusetzen, das späteste Stück dagegen stammt aus Ablagerungen der Phase Troia V₅ (A5/6.314.10); zwischen diesen reiht sich mit Fundstück A5/6.693.04 der dritte Vertreter der Formengruppe ein, der als Bestandteil eines stark vermischten Komplexes chronologisch im Bereich von Troia V₂/Troia V₄ liegt (Taf. 330).

⁹¹⁶ Dazu s. Blegen *et al.* 1951: 135, 247 u. Tab. 14, 21; Podzuweit 1979: 220 u. Taf. 22.2 D 1b.

⁹¹⁷ Blegen *et al.* 1951: 135, 247 u. Tab. 14, 21. *Cf.* Podzuweit 1979: 221 u. Taf. 22.2 E I.

4.7.3 Stratigraphische Verteilung der Dekorationen

19 der insgesamt 59 dekorierten Fundstücke, d. h. 32,2 % des zur Diskussion stehenden Fundaufkommens, können ihren Bergungsumständen entsprechend einem einzelnen Abschnitt der Besiedlung zugewiesen werden. Mit einem Anteil von 22 % sind 13 Fragmente nur mehr auf zwei einander folgende Phasen genau datierbar, weitere 27 (45,80 %) sind nicht näher einzuordnen (Tab. 93):

Die stratigraphische Verteilung der *Red cross* bzw. *Multiple cross bowls* weist diese zweifelsfrei als eine Erscheinung der Periode Troia V aus:⁹¹⁸ Erstmals in Fundschichten der Phase Troia V₁ enthalten (A5/6.831.01), treten Schalen mit kreuz- und sternförmiger Bemalung auf der Innen- und/oder Außenseite konstant in allen Abschnitten des betreffenden Zeithorizonts auf. Ausgehend vom stratifizierten Fundmaterial ergibt sich – bezogen auf die Gesamtzahl der *Red cross bowls* der Planquadrate A 5/6 – ein quantitativer Schwerpunkt in den Phasen Troia V₄ (11,8 %) und Troia V₅ (8,8 %) nach zunächst je 2,9 % in Troia V₁ und Troia V₂ sowie 5,9 % in Phase Troia V₃ (Tab. 94 u. Taf. 331). In Troia V₆ sinkt der Anteil wiederum auf einen Wert von 2,9 %, während für die letzte Etappe der Troia V-zeitlichen Ansiedlung, Phase Troia V₇, nur einige wenige Fundstücke aus zudem vermischten Komplexen vorliegen (Troia V₆/Troia V₇ u. Troia V₇/Troia VI).

Drei Fundstücke mit parallel verlaufenden Horizontalrillen (teilweise weiß inkrustiert) wurden in Schichteinheiten der Zeit von Troia V₁/Troia V₂ angetroffen (A5/6.727.05, A5/6.727.09 u. A5/6.762.10), die Ablagerung eines vierten Fragments A5/6.709.18 ist dagegen in der Zeit von Troia V₂/Troia V₃ zu verorten, kann gegebenenfalls jedoch auch jüngeren Datums sein, d. h. Troia VI (cf. Taf. 332).

In Phase Troia V₆ ist das mit Matrix-Nummer 148 erfaßte Fundstück A5/6.325.06 anzusetzen, ein singuläres Henkelfragment mit kurzen horizontalen Ritzungen im Bereich des Rückens (cf. Taf. 333).

Ein einzelnes Objekt A5/6.847.07 verfügt als Element der Verzierung über eine weiß inkrustierte, horizontal verlaufende Ritzlinie mit darunterliegendem Einstichdekor; seiner stratigraphischen Einbindung entsprechend ist das Stück in Phase Troia IV₂ einzuordnen (cf. Taf. 334). Eine mit weißer Inkrustation versehene, waagrecht angebrachte Ritzlinie und Schrägschraffur weist Fragment A5/6.678.12 auf, welches sich in Troia V₂-zeitlichem Kontext vergesellschaftet fand (cf. Taf. 335).

Stratigraphischen Einheiten der Phasen Troia IV₁/Troia IV₂ ist mit Fundstück A5/6.937.05 das Henkelfragment eines Großgefäßes zuzuweisen (cf. Taf. 336), auf dessen abgeflachtem Rücken sich zwei verhältnismäßig breite, in etwa parallel verlaufende Senkrechtiefen befinden sowie ein in der Nähe des Ansatzes platziertes Kreisornament.

Zu Gefäßen mit Spiraldekorationen zu ergänzende Fragmente mit aufgesetzten Leisten treten im Bereich der Planquadrate A 5/6 zunächst in Fundschichten der Phase Troia IV₂ in Erscheinung (A5/6.847.08 u. A5/6.885.04), danach sind sie mit Exemplar A5/6.603.10 erst wie-

⁹¹⁸ S. in diesem Zusammenhang auch Kapitel 7.1 »Relative Chronologie«. Vgl. Blegen *et al.* 1951: 126, 138, 193, 209, 212. Cf. Lloyd/Mellaart 1962: 254–255 u. Map X; Easton 1976: 149; Korfmann 1983b: 292–297; Symington 2007a: 307–308; Symington 2007b: 326.

Tab. 93

Dekoration	Troia IV ₁	Troia IV ₂	Troia V ₁	Troia V ₂	Troia V ₃	Troia V ₄	Troia V ₅	Troia V ₆	Troia V ₇	Troia VI und jünger
Red cross bowl			•	•	•	•	•	•	•	•
Parallel verlaufende Horizontalrillen			•	•	•					•
Kurze horizontale Ritzungen								•		
Horizontale Ritzlinie und Einstichdekor		•								
Horizontale Ritzlinie /-n und Schrägschraffur				•						
Riefen- und Kreisdekor	•	•								
Aufgesetzte Leisten (Spiraldekor)		•			•					
Langovale Knubben				•		•	•	•	•	
Kreisförmige, horizontal abgeflachte Knubben	•	•								
Aufgesetzte kreisförmige Knubben								•		

• Phasenzuweisung gesichert

• Fundstück /-e aus chronologisch vermischten, maximal zwei aufeinanderfolgenden Phasen zuweisbaren Komplexen

• Fundstück /-e aus chronologisch stark vermischten Komplexen

der in Phase Troia V₃ präsent (cf. Taf. 337); ein weiterer Vertreter dieser Objektgattung A5/6.556.05 ist ausgrabungstechnisch bedingt nicht zu datieren.

Das einzige mit einer langovalen Knubbe versehene Fragment A5/6.835.02 bildet Teil einer stark vermischten Ausgrabungseinheit, die neben Fundmaterial des Abschnitts Troia V₂ solches der Phasen Troia V₄ bis Troia V₇ umfaßt. Wenn auch dieser Eigenschaft entsprechend kein näheres Datum für den Zeitpunkt der Ablagerung des betreffenden Objekts zu ermitteln ist, so erschließt sich für diesen zumindest eine chronologische Verortung in Periode Troia V (cf. Taf. 338).

	Troia IV ₁ / Troia IV ₂	Troia V ₁	Troia V ₂	Troia V ₃	Troia V ₄	Troia V ₅	Troia V ₆	Troia V ₇
Stück	-	1	1	2	4	3	1	-
Verteilung in %	-	2,9	2,9	5,9	11,8	8,8	2,9	-

Kreisförmige, horizontal abgeflachte Knubben sind im Bereich der Quadrate A5/6 mit Einzelstück A5/6.941.06 ausschließlich für die Zeit von Troia IV₁/Troia IV₂ belegt (cf. Taf. 339).

Zwei kleinere, annähernd kreisrunde Knubben im Bereich des gewölbten Rückens charakterisieren einen mit Matrix-Nummer 148 erfaßten Senkrechtchenkel (A5/6.325.05) der Phase Troia V₆ (cf. Taf. 340), darüber hinaus tritt diese Art der Dekoration nicht in Erscheinung.

4.7.4 Stratigraphische Auswertung der Keramik

Für die Gesamtheit des keramischen Fundmaterials der Planquadrate A 5/6 lassen sich zwei übergeordnete, jeweils mehrere Bauphasen umfassende Keramikhorizonte im Sinne stilistischer Entitäten definieren: Ausgeprägte, zeitlich bedingte Unterschiede zwischen »Horizont 1« und »Horizont 2« sind dabei in erster Linie auf Grundlage der Warenverteilung, d. h. je spezifischen Veränderungen des prozentualen Anteils einer Keramikgattung in Relation zur lokalen Schichtenabfolge zu fassen, zumal es sich bei einem Großteil der differenzierten Warenklassen und -typen um ausgesprochene Durchläufer handelt. Chronologisch fällt der Übergang vom frühen zum späten Horizont indessen nicht mit dem anhand markanter stratigraphischer bzw. architektonischer Ereignisse indizierten Übergang von Troia IV nach Troia V zusammen, sondern ist – wie bereits von Blegen *et al.* in ähnlicher Weise angemerkt⁹¹⁹ – vielmehr zwischen den Phasen Troia V₃ und Troia V₄ anzusetzen.

Der frühe Abschnitt, Horizont 1, ist vor allem durch einen vergleichsweise hohen Anteil an Ware 1A gekennzeichnet, auch treten hier die Keramikgattungen 1D, 3A, 3C bis 3E ebenso wie Waren 4, 5A, 5B und 8 weit zahlreicher in Erscheinung als in Horizont 2. Die später anzusetzenden Warenkategorien 2B, 6, 10 und 11 dagegen sind in Horizont 1 zwar schon präsent, allerdings meist nur in sehr geringer Stückzahl (cf. Taf. 341–346). Ergänzend dazu verschiebt sich im Verlauf von Keramikhorizont 1 das quantitative Verhältnis der deckend rot überzogenen Waren 1D und 2C in zunehmendem Maße zugunsten von letztgenannter, auch löst diese die »traditionelle«, auf Ware 1A basierenden *Red-coated Ware* in der Zeit nach Troia V₃, also in Horizont 2, in ihrer Gesamtheit ab.⁹²⁰

⁹¹⁹ Blegen *et al.* 1951: 225 »The Early Subperiod of Troy [Early V] is set off from the later phases by the continued occurrence of pottery characteristic of Troy IV, notably Straw-tempered Ware and bowls of shape A 20 in Red-coated Ware. Apparently neither of these was manufactured thereafter.« S. in diesem Zusammenhang auch Blegen 1963: 108–109.

⁹²⁰ Cf. Frirdich 1997: 124.

Ähnliche Veränderungen vom frühen zum späten Keramikhorizont lassen sich auch bei den Formen beobachten, wobei ein Teil der in diesem Zusammenhang zu konstatierenden Erscheinungen mit von der chronologischen Entwicklung der Waren abhängig ist.⁹²¹ Als typische Vertreter des frühen, bis einschließlich Phase Troia V₃ reichenden Keramikhorizonts 1 sind Schalen des Typs Sc 1, Sc 3.1, Sc 3.3, Sc 3.4, Sc 3.6, Sc 4.1, Sc 7, Sc 10.1, Sc 11.2, Sc 11.5 und Sc 11.6 zu betrachten ebenso wie Teller der Formen Te 1, Te 2.1 und Te 3 und Töpfe der Varianten To 1.1, To 1.2, To 2.1, To 2.2, To 2.3; demselben Abschnitt sind Kannen der Gattung Ka 2 zuzurechnen wie auch Henkelkrüge des Typs He 7. Ausschließlich in Horizont 2 zu verorten sind dagegen Schalen der Form Sc 3.2, Sc 4.3, Sc 5, Sc 13 und Sc 16, alle übrigen in dieser Zeit geläufigen Gefäßformen wurden aus Horizont 1 übernommen.⁹²²

Die Verteilung sowohl der Warengattungen wie der Formenklassen, Typen und Varianten über die Keramikhorizonte 1 und 2 weist insgesamt auf eine kontinuierliche Entwicklung des Töpferwesens zur Zeit von Troia IV und Troia V hin,⁹²³ wobei der frühere der beiden Abschnitte noch stark frühbronzezeitlichen Traditionen verhaftet ist, während der spätere unverkennbar in die Mittelbronzezeit überleitet.⁹²⁴ Zwar sind zwischen Horizont 1 und Horizont 2 gewisse Unterschiede zu erkennen, doch liegen keine auffälligen Brüche vor. Echte – und mithin relativchronologisch relevante – Innovationen treten nur selten auf; die auffälligsten Differenzen zwischen den beiden Bereichen sind anhand von Änderungen der prozentualen Anteile von Waren und Formen zu fassen. Mit einer Konsequenz diesen Sachverhalts ist daher auch, daß keramische Fundinventare des frühen Abschnitts der Periode Troia V nicht von solchen der – späten – Periode Troia IV zu trennen sind.⁹²⁵ Lediglich bei einer Präsenz von *Red cross* oder *Multiple cross bowls* in chronologisch entsprechend anzusetzenden Ensembles ist eine solche Differenzierung möglich, da nur diese – mit ihrem unvermittelten Auftreten am stratigraphisch angezeigten Periodenübergang, d. h. in Phase Troia V₁ – die für eine »Leitform« notwendigerweise voraussetzenden chronologischen Grundanforderungen erfüllen können.⁹²⁶

⁹²¹ S. hierzu Kapitel 4.4 »Korrelation von Waren und Formenklassen«.

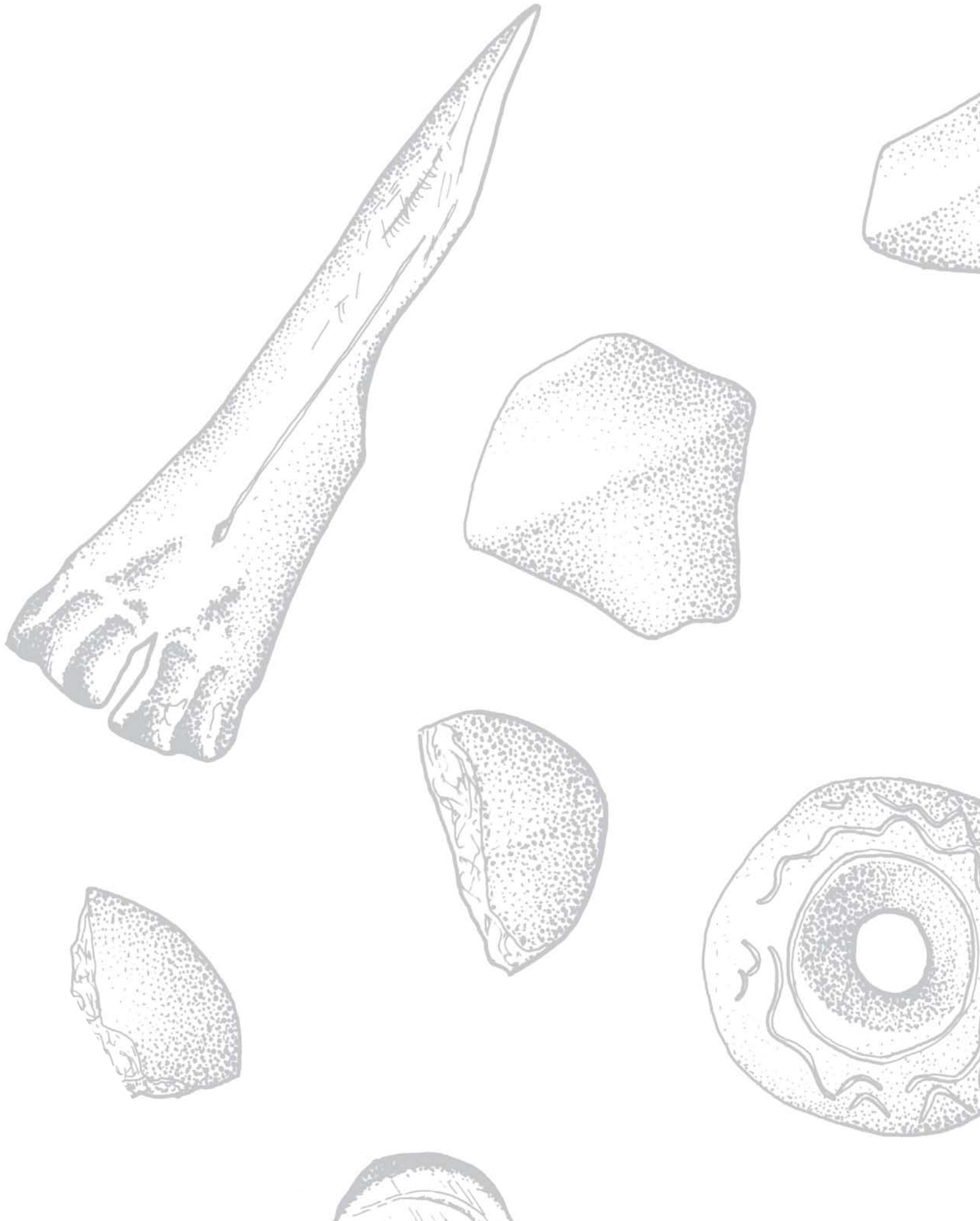
⁹²² Wie auch Blegen 1963: 108–109 »In the early phase of Troy V the [...] shapes that predominated in the Fourth Settlement are still characteristic. In the middle and late phases one may observe a general advance in technological skill as well as in artistic expression. A few innovations in shapes, or in modifications of earlier types, also make their appearance. The pots are now more carefully formed and fired, with the result that greater symmetry of contour and a smoother surface finish, a more even quality and brighter colours in the glaze-like coating of the exterior are achieved.«

⁹²³ van der Leeuw 1998: 242–243.

⁹²⁴ S. in diesem Zusammenhang auch Blegen *et al.* 1951: 223–224.

⁹²⁵ S. hierzu auch Kapitel 6.2 »Quadrate A 5/6: Räumliche und funktionale Bestimmung von Aktivitätszonen«.

⁹²⁶ Cf. Blum im Druck. Ergänzend dazu s. Kapitel 7.1 »Relative Chronologie«.



5.1 Klassifikation der Kleinfunde

Der Fundkategorie »Kleinfunde« können insgesamt 65 Artefakte zugewiesen werden, darunter verschiedene Geräte, Schmuck sowie Halbfabrikate (*cf.* Katalog Teil C). Als primäres Ordnungsmerkmal der vergleichsweise heterogenen Objektgruppe dient der Werkstoff, wobei allgemein zwischen den Materialklassen Keramik, Knochen, Metall und Stein unterschieden wurde.⁹²⁷ Auf der nachgeordneten sekundären Ebene der Klassifikation wurde der Fundstoff auf Grundlage funktionaler Kriterien getrennt; Gegenstände dagegen, deren – wohl ursprünglich intendierte – Verwendungsweise sich nicht erschloss, wurden ausgehend von morphologisch signifikanten Einzelmerkmalen differenziert (Tab. 95):

Werkstoffklasse	Typ	Anzahl
Keramik	Spinnwirtel	12
	Sekundär bearbeitete Scherbe	20
Knochen	Spatula	2
	Metapodienspitze	1
	Bearbeitetes Astragal	1
	Halbfabrikat	2
Metall	Nadel	1
Stein	Reibstein	2
	Läuferstein	3
	Angebohrter Stein	1
	Türangelstein	4
	Klopfstein	5
	Stößel	1
	Schwerer Hammer	1
	Schleifstein	1
	Großer Polierstein	2
	Kleiner Polierstein	2
	Steinbeilklinge	1
	Retuschierter Abschlag	1
	Kantenretuschierte Klinge	2

⁹²⁷ *Cf.* Blegen *et al.* 1953: 111–117, 230–234. Darüber hinaus s. Postgate 2007b: 439–440; Obladen-Kauder 1996: 209. Vgl. Kull 1979: 180–210.

Die relativchronologische Beurteilung der hier im einzelnen zur Diskussion stehenden Kleinfunde erfolgt – wie im Falle der keramischen Waren und Formenklassen – anhand deren Einbindung in die stratigraphische Sequenz der Planquadrate A 5/6.⁹²⁸

5.2 Keramische Kleinfunde

5.2.1 Spinnwirtel

Mit einem Anteil von 18,5 % stellen Spinnwirtel unter den Kleinfunden der Planquadrate A 5/6 eine der umfangreichsten Fundgruppen dar. Zwölf vollständige oder teilerhaltene Vertreter dieser bei der Herstellung von Garn als Schwunggewicht für Handspindeln eingesetzten Objekte⁹²⁹ fanden sich auf die lokale Schichtenabfolge verteilt, mit einem deutlichen quantitativen Schwerpunkt in den Phasen Troia IV₁/Troia IV₂ (58,3 %).

Technisches Merkmal	Charakterisierung	Anzahl
Tonqualität und Bestandteile der Magerung	sehr fein	3
	fein	5
	mittelfein	3
	grob	1
Oberflächenbehandlung	geglättet	11
	geglättet / poliert	1
Brennhärte und -festigkeit	mäßig hart	1
	hart	4
	sehr hart	7
Gefüge und Porosität	glatt / feinporig	6
	körnig / feinporig	5
	geklüftet / grobporig	1
Farbton	Grau	2
	Dunkelbraun	2
	Hellbraun	1
	Rotbraun	2
	Beige	5

⁹²⁸ S. hierzu Kapitel 4.7 »Stratigraphie und Chronologie der Keramik«.

⁹²⁹ Wie auch Balfanz 1995: 117, 119. Cf. Goldman 1956: 328–330; Kull 1988: 197–198; Obladen-Kauder 1996: 226–227 u. Anm. 510; Schmidt 2002: 29; Postgate 2007b: 440; Symington/Collon 2007: 481. Alternativ dazu Völling 2008: 249–251.

Das zur Fertigung der Wirtel verwendete Material ist äußerst variabel⁹³⁰ und – vergleichbar der Gefäßkeramik – am günstigsten über technische Merkmale wie Tonqualität und Magerung, Behandlung der Oberfläche, Brennhärte und -festigkeit, Gefüge und Porosität sowie über die jeweilige Farbe zu fassen (cf. Tab. 96).⁹³¹ Die Tonzusammensetzung der Spinnwirtel variiert im wesentlichen zwischen sehr fein, fein und mittelfein, grobe Zuschlagstoffe dagegen sind nur in einem einzelnen Fall belegt (A5/6.719.00). Unter den festzustellenden Magerungskomponenten überwiegen mineralische mit großem Abstand, wie etwa Quarz, Kalk, Quarzit und Glimmerschiefer; Schamotte und vegetabile Additive hingegen sind selten.⁹³² Die Oberflächen aller Typvertreter sind sorgfältig geglättet, diejenige des Fundstücks A5/6.562.00 ist zudem partiell poliert.⁹³³ Das Spektrum der Brennhärte und -festigkeit reicht von mäßig hart bis sehr hart, mit einer deutlichen Tendenz hin zu letztgenanntem. Sehr fein bis mittelfein gemagerte Wirtel weisen bei einer glatten bis körnigen Bruchstruktur ein dichtes, feinporiges Gefüge auf, das grob gemagerte Stück A5/6.719.00 indes ist im Bruch geklüftet und verfügt über zahlreiche, auch größere Poren.

Von den im ganzen 31 von Blegen *et al.* differenzierten Spinnwirtelformen finden sich fünf im Formenrepertoire der Quadrate A 5/6 wieder:⁹³⁴ Typ 1, 4, 15, 21 und 23 (Abb. 76). Wie bei den Blegen-Grabungen ist Form 23 mit fünf Typvertretern (41,7 %) dabei insgesamt am häufigsten vertreten, gefolgt von Typ 15 mit drei Exemplaren (25 %).⁹³⁵ Die durchschnittliche Größe der Wirtel liegt bei 2,4 cm in der Höhe sowie 3,1 cm im Durchmesser. Das mittlere Gewicht der – vollständig erhaltenen – Exemplare beläuft sich auf 20,2 g bei einem kleinsten gemessenen Gewicht von 10,8 g (A5/6.945.00) und einem maximalen Wert von 47,2 g (A5/6.894.00).⁹³⁶ Sieben der zwölf Spinnwirtel weisen Dekorationen auf, darunter Fingernageleindrücke, Einstiche oder zum Teil mit weißen Kalkinkrustationen ausgelegte Ritzungen;⁹³⁷ die Motive setzen sich vorwiegend aus Bögen, Winkeln, Punkten, Strichen, konzentrischen Linien und deren Kombinationen zusammen und sind um die im Zentrum des Wirtels gelegene Durchlochung symmetrisch angeordnet.⁹³⁸ Wirtel mit identischen oder vergleichbaren Verzierungen fanden sich unter anderem in Beycesultan (Level VI),⁹³⁹ Demircihüyük,⁹⁴⁰ Kilise Tepe (Level V und Level IV)⁹⁴¹ sowie in Tarsus.⁹⁴²

⁹³⁰ Cf. Balfanz 1995: 120; Völling 2008: 229.

⁹³¹ Entsprechend Kapitel 4.2.1 »Kriterien der Beschreibung«.

⁹³² S. in diesem Zusammenhang auch Völling 2008: 229. Cf. Symington/Collon 2007: 481.

⁹³³ Wie auch Balfanz 1995: 120; Völling 2008: 229. Ergänzend dazu s. Obladen-Kauder 1996: 232.

⁹³⁴ Blegen *et al.* 1951: Fig. 42. Cf. Schmidt 1902a: 204–223; Balfanz 1995: 118–120. Ergänzend dazu s. Völling 2008: 230–233.

⁹³⁵ Blegen *et al.* 1951: 15, 116, 234 u. Tab. 6, 13, 20.

⁹³⁶ Cf. Balfanz 1995: 119; Völling 2008: 229–230, 233 u. Abb. 2, 6; Symington/Collon 2007: 481.

⁹³⁷ S. hierzu auch Balfanz 1995: 121 u. Anm. 28; Blegen *et al.* 1951: 116, 233; Völling 2008: 229, 234–241 u. Anm. 24.

⁹³⁸ Cf. Symington/Collon 2007: 483.

⁹³⁹ Lloyd/Mellaart 1962: 277.

⁹⁴⁰ Kull 1988: 198 u. Abb. 188; Obladen-Kauder 1996: 228–230.

⁹⁴¹ Symington/Collon 2007: 483–490.

⁹⁴² Goldman 1956: 329.

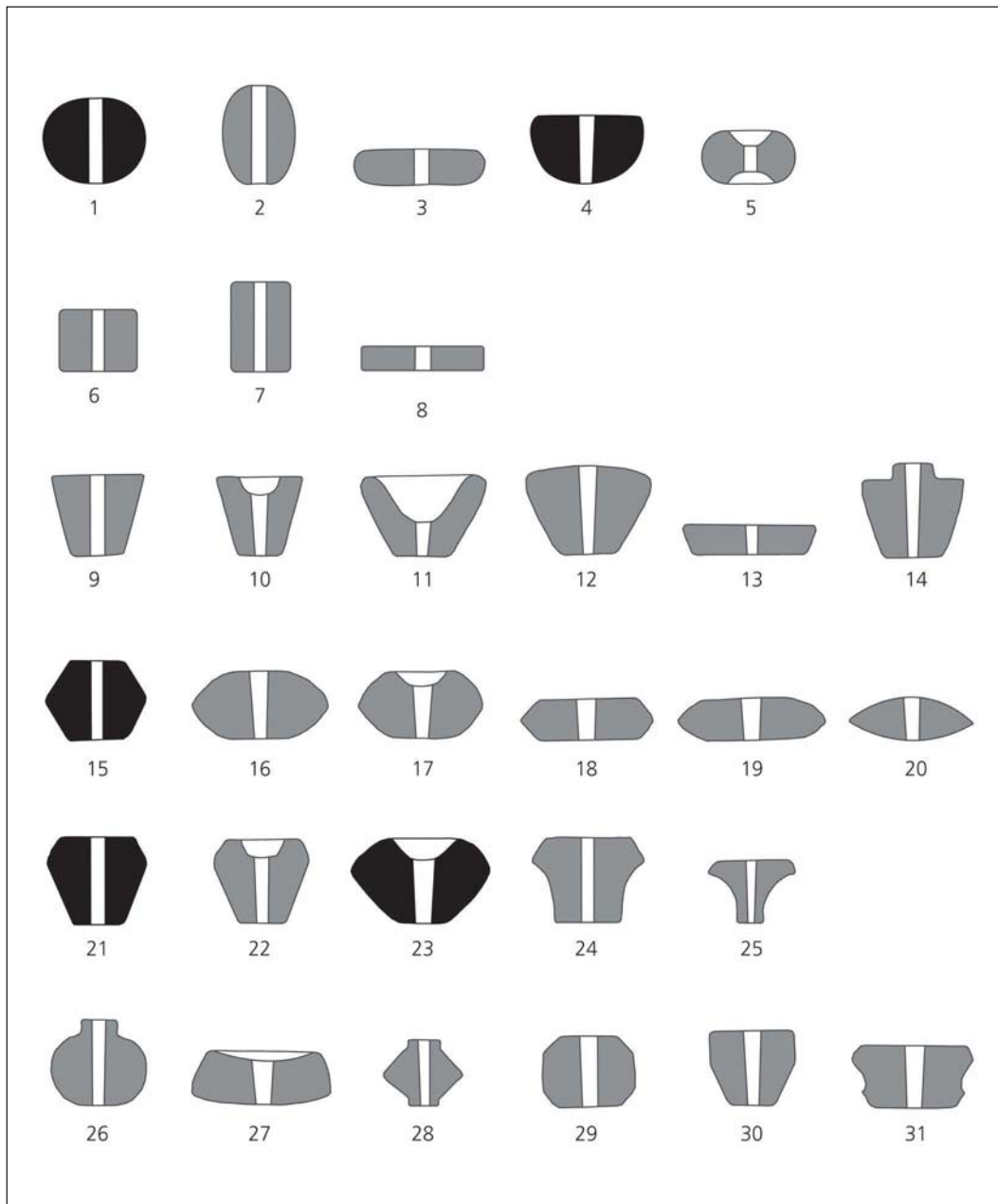


Abb. 76
Typologie der troianischen Spinnwirtel nach Blegen *et al.* 1951: Fig. 42; die in Planquadrat A 5/6 dokumentierten Formen sind schwarz hinterlegt.

Der unter Fundnummer A5/6.546.01 erfaßte Spinnwirtel ist nur fragmentarisch erhalten, besteht aus sehr fein gemagertem, hart gebranntem Ton und weist im glatten Bruch ein dichtes, feinporiges Gefüge auf (Taf. 347.1). Seine Oberfläche ist sorgfältig geglättet, undekoriert und verfügt über einen beigen Farbton. Bei einer maximalen Höhe von 3,9 cm und einer Breite von 3,5 cm beträgt das Gewicht 17,8 g. Als Bestandteil einer stark vermischten Ausgrabungseinheit ist der Wirtel vom Typ 21 mit Fundmaterial der Phasen Troia V₃, Troia V₄ und gegebenenfalls Troia VI vergesellschaftet.

Der vollständig erhaltene Spinnwirtel A5/6.562.00 wurde aus sehr feinem Ton gefertigt und verfügt – bei gleichmäßigem, sehr harten Brand – über eine körnige, feinporige Matrix (Taf. 347.2). Die geglättete, hellbraune Oberfläche ist partiell poliert und weist keinerlei dekorative Elemente auf. Das Gewicht des 2,0 cm hohen und 3,6 cm breiten, zu Form 23 zu zählenden Fundstücks beläuft sich auf 22,6 g; seiner stratigraphischen Einbindung zufolge ist der Wirtel in der Zeit von Troia V₆ und Troia V₇ anzusetzen.

Das 11,0 g schwere Fragment eines beigefarbenen Spinnwirtels vom Typ 21 wurde mit Fundnummer A5/6.626.01 dokumentiert (Taf. 347.3). Dessen Oberfläche ist gut geglättet und vollkommen unverziert, wobei der zur Fertigung eingesetzte Ton hart gebrannt und feiner Körnung ist und eine glatte, feinporige Bruchstruktur aufweist. Von der ursprünglichen Höhe sind 1,7 cm erhalten, von der Breite 2,7 cm. Den Bergungsumständen entsprechend ist der Spinnwirtel mit Funden der Phasen Troia V₂ und Troia VI assoziiert.

Als einziger grobgemagerter Vertreter der Fundkategorie, ist Wirtel A5/6.719.00 der Form 23 zuzuweisen (Taf. 347.4). Das etwa zu zwei Dritteln erhaltene Fundstück verfügt bei einer Höhe von 2,7 cm und einer Restbreite von 4,0 cm über ein Gewicht von 30,7 g. Der verwendete Ton umschließt zahlreiche gröbere Quarz-, Kalk-, und Schieferbruchstücke, ist mäßig hart gebrannt und stellt sich im Bruch als geklüftet und grobporig dar. Die Oberfläche des rotbraunen Spinnwirtels ist geglättet und wurde im oberen Randbereich mit einer umlaufenden Reihe von Fingernageleindrücken versehen. Relativchronologisch ist Wirtel A5/6.719.00 in der Zeit von Troia V₂/Troia V₃ anzusetzen, gegebenenfalls auch in Troia VI.

Der rotbraune, mittelfein gemagerte Spinnwirtel A5/6.888.00 ist 2,0 cm hoch, 4,3 cm breit und – bei vollständiger Erhaltung – 33,7 g schwer (Taf. 347.5). Die Oberfläche des sehr hart gebrannten, feinporigen und dichten Schwunggewichts vom Typ 23 ist stark geglättet und an der Oberseite mit einer konzentrischen Kreislinie sowie zwei umlaufenden, teils unterbrochenen Wellenlinien verziert; es wurde in Fundschichten der Phase Troia IV₂ geborgen.

Mit einem Gewicht von 47,2 g ist Wirtel A5/6.894.00 insgesamt der schwerste Vertreter der Objektgattung (Taf. 347.6). Aus feinem, sehr hart gebranntem Ton gefertigt, verfügt das vollständig überlieferte Fundstück über eine körnige, feinporige Matrix. Seine Höhe beläuft sich auf 2,9 cm, die Breite dagegen auf 4,2 cm. Die beige Oberfläche ist überaus sorgfältig geglättet und unverziert. Über die stratigraphische Einbindung ergibt sich für den Spinnwirtel vom Typ 1 ein chronologisches Datum von Troia IV₂.

Fundstück A5/6.945.00 besteht aus mittelfeinem Ton, verfügt über eine dichte, feinporige Materialstruktur und ist hart gebrannt. Bei einer Gesamthöhe von 1,8 cm und einer maximalen seitlichen Ausdehnung von 2,5 cm beträgt das Gewicht des Wirtels 10,8 g (Taf. 348.1). Seine gleichmäßig dunkelbraune Oberfläche ist geglättet und mit drei dreiteiligen sowie einem vierteiligen Bogenritzmuster verziert.⁹⁴³ Formal Typ 15 von Blegen *et al.* nahestehend, ist Wirtel A5/6.945.00 im Horizont Troia IV₁/Troia IV₂ zu verorten.

⁹⁴³ Zu Fundstücken mit vergleichbaren Motiven s. Blegen *et al.* 1951: Fig. 151 Nr. 37.689, 37.176, 37.23, 36.383, 36.352 u. Fig. 153 Nr. 36.352 u. Fig. 237 Nr. 32.72, 35.309, 32.174, 35.499; Goldman 1956: Fig. 447.12, 25 u. 450.80; Kull 1988: Taf. 40.8; Joukowsky 1986: Fig. 312.12; Obladen-Kauder 1996: Taf. 92.3; Symington/Collon 2007: 485 u. Fig. 446.1859; 485 u. Fig. 446.1860; 486 u. Fig. 446.1869; 487 u. Fig. 446.1873; 487 u. Fig. 1874; 487 u. Fig. 446.1877; 487 u. Fig. 446.1878; 488 u. Fig. 447.1884; Völling 2008: Abb. 18.1–3, 8 u. 23.6.

Der zur Fertigung von Spinnwirtel A5/6.946.00 verwendete Ton ist fein gemagert und – bei sehr hartem Brand – von körniger, feinporiger Grundstruktur. Die geglättete Oberfläche verfügt über einen grauen Farbton und weist als Elemente der Dekoration eine konzentrische Ritzlinie sowie je zwei sich gegenüberliegende zwei- bzw. dreiteilige Winkelgruppen auf (Taf. 348.2).⁹⁴⁴ Der Wirtel vom Typ 23 ist 3,3 cm breit, 2,2 cm hoch und 19,5 g schwer; er fand sich in Fundschichten der Phasen Troia IV₁/Troia IV₂ vergesellschaftet.

Zwei konzentrische Kreise mit 16 mehr oder weniger senkrecht dazu verlaufenden Ritzlinien zieren die geglättete Oberfläche von Spinnwirtel A5/6.947.00 (Taf. 348.3). Das fein gemagerte, sehr hart gebrannte Fundstück ist von dunkelbraunem Farbton und verfügt über eine dichte, feinporige Matrix. Das Gewicht des 2,2 cm hohen und 3,2 cm breiten Exemplars liegt bei 34,2 g. Zeitlich ist der Spinnwirtel in den Phasen Troia IV₁/Troia IV₂ anzusetzen, formal in Typ 15.

Die vollständig erhaltene Schwungmasse A5/6.948.00 mißt 3,9 cm in der Breite, 2,4 cm in der Höhe und ist insgesamt 34,2 g schwer (Taf. 348.4). Sie ist aus feinem, hart gebranntem Material gefertigt und weist eine hohe Dichte und geringe Porosität auf. Drei zweiteilige Bogenmuster mit eingedrückten Punkten in den Zwickeln⁹⁴⁵ bedecken einen Teil der ansonsten sorgfältig geglätteten Oberfläche. Der beige Spinnwirtel vom Typ 4 ist seiner Stratifizierung zufolge nach Troia IV₁/Troia IV₂ zu datieren.

Das undekorierte Fundstück A5/6.623.00 besteht aus mittelfeinem, hart gebranntem Ton. Es wiegt 13,1 g und ist 2,1 cm hoch und 2,6 cm breit (Taf. 348.5). Seine beigefarbene Oberfläche ist gut geglättet, die Matrix körnig und feinporig. Der mit Matrix-Nummer 098 geborgene Spinnwirtel vom Typ 15 ist Phase Troia V₄ zuzuweisen.

Spinnwirtel mit fünfteiligen Musterkombinationen aus mehreren, nicht selten kalkinkrustierten Bögen sind kennzeichnend für Troia IV und Troia V (Taf. 348.6).⁹⁴⁶ Ein typischer Vertreter dieser Objektkategorie fand sich mit A5/6.858.00, einem äußerst fein gemagerten, sehr hart gebranntem und feinporigen Spinnwirtel des Typs 23. Das 1,7 cm hohe und 2,9 cm breite Exemplar verfügt über ein Gewicht von 11,6 g und ist im Bereich seiner graufarbenen Oberfläche sorgfältig geglättet; die Dekoration greift das für Spinnwirtel dieser Art gängige Motiv in Form fünf dreiteiliger Bögen auf.⁹⁴⁷ Gemäß seiner Vergesellschaftung in Matrix-Nummer 019, ist Wirtel A5/6.858.00 in der Zeit von Troia IV₂ anzusetzen.

⁹⁴⁴ Cf. Blegen *et al.* 1951: Fig. 151 Nr. 37.7; Symington/Collon 2007: 485 u. Fig. 445.1852.

⁹⁴⁵ S. hierzu etwa auch Balfanz 1995: 123 u. Abb. 8.

⁹⁴⁶ Wie Balfanz 1995: 123; Easton 2002: 333.

⁹⁴⁷ Cf. Blegen *et al.* 1951: Fig. 151 Nr. 37.657, 37.696, 36.334, 33.106 u. Fig. 152 Nr. 33.82, 33.105, 37.450, 36.334, 33.79, 33.108, 33.59, 33.53, 33.31 u. Fig. 153 Nr. 33.106, 37.50 u. Fig. 236 Nr. 37.16, 35.502 u. Fig. 237 Nr. 32.293, 37.16; Balfanz 1995: 123 u. Abb. 9; Völling 2008: Abb. 23.8–10, 13. S. in diesem Zusammenhang auch Goldman 1956: Fig. 449.63 u. 450.75, 79; Lloyd/Mellaart 1962: Fig. 6 (Level VI Nr. 2); Joukowsky 1986: Fig. 313.3, 313.6, 313.7; Symington/Collon 2007: 487 u. Fig. 446.1873; 487 u. Fig. 446.1876; 488 u. Fig. 447.1889; 489 u. Fig. 447.1898.

Stratigraphisch verteilen sich die Spinnwirtel wie folgt (Tab. 97):

	Troia IV ₁	Troia IV ₂	Troia V ₁	Troia V ₂	Troia V ₃	Troia V ₄	Troia V ₅	Troia V ₆	Troia V ₇	Troia VI und jünger
A5/6.562.00								•	•	
A5/6.623.00						•				
A5/6.858.00						•				
A5/6.546.01					•	•				•
A5/6.719.00				•	•					•
A5/6.626.01				•						•
A5/6.888.00		•								
A5/6.894.00		•								
A5/6.945.00		•								
A5/6.946.00		•								
A5/6.947.00		•								
A5/6.948.00		•								

• Phasenzuweisung gesichert

• Fundstück aus chronologisch vermischten, maximal zwei aufeinanderfolgenden Phasen zuweisbaren Komplexen

• Fundstück aus chronologisch stark vermischten Komplexen

5.2.2 Sekundär bearbeitete Scherben

Gerundete, teils angebohrte oder vollständig durchbohrte Gefäßfragmente sind im Kleinfundspektrum der Quadrate A 5/6 mit 20 Exemplaren vertreten.⁹⁴⁸ Anders als bei den übrigen Fundkategorien stellt das grundlegende typenbildende Merkmal bei den Keramikscheiben nicht die Form dar, sondern die Art der Fertigung: In Typ 1 sind 11 zweiseitig durchbohrte Fundstücke zusammengefaßt (Abb. 77.1–4 u. Taf. 349.1–3).⁹⁴⁹ Die in aller Regel zentral gelegene Bohrung wurde dabei sowohl von der Ober- wie auch von der Unterseite her angesetzt, was der Perforation insgesamt eine sanduhrförmige Erscheinung verlieh.⁹⁵⁰ Fünf Exemplare weisen auf beiden Seiten flache, sich unmittelbar gegenüberliegende Bohrtrichter auf (Typ 2; Abb. 77.1–4 u. Taf. 349.4–8),⁹⁵¹ vier weitere sind lediglich rund zugeschlagen oder geschliffen (Typ 3; Taf. 350.1–4).

⁹⁴⁸ Cf. Blegen *et al.* 1951: 233.

⁹⁴⁹ Wie Blegen *et al.* 1951: Fig. 151 Nr. 37.547, 32.488, 32.397 u. Fig. 236 Nr. 32.471, 32.83, 32.81, 32.80, 32.82, 33.41.

⁹⁵⁰ Cf. Korfmann 1982: 167; Kull 1988: 208. S. diesbezüglich auch Genz 2002: 107; Schmidt 2002: 31.

⁹⁵¹ Wie Blegen *et al.* 1951: Fig. 236 Nr. 32.192, 32.191, 32.193.

Tab. 98: Korrelation von Kantenbearbeitung und Typ.

	Typ 1	Typ 2	Typ 3
Kanten gleichmäßig zugeschlagen	5	4	-
Kanten gleichmäßig zugeschlagen und geschliffen	1	-	2
Kanten grob ungleichmäßig zugeschlagen	1	1	1
Kanten geschliffen	3	-	1
Kantenbearbeitung unbestimmt	1	-	-

Tab. 99: Korrelation von Typ und Ware.

	Ware 1A	Ware 1B	Ware 2B	Ware 2C	Ware 8
Typ 1	-	4	-	6	1
Typ 2	1	-	-	4	-
Typ 3	1	-	1	2	-

Bei angestrebter kreisförmiger Gestalt⁹⁵² konnte die formgebende Bearbeitung der Kanten auf verschiedene Weise erfolgen:⁹⁵³ Bei neun Exemplaren wurde der Rand des verwendeten Gefäßbruchstücks gleichmäßig zugeschlagen, bei drei weiteren zudem etwas beschliffen. Einen grob zugeschlagenen Rand mit scharfkantigen Bruchstellen weisen insgesamt drei Stücke auf, während vier weitere Vertreter des Fundtyps über einen sehr sorgfältig ausgeführten Kantenschliff verfügen (Tab. 98).⁹⁵⁴

Als Ausgangsmaterial zur Herstellung gerundeter Keramikscheiben dienten – bevorzugt aus der Wandung zerbrochener Gefäße stammende⁹⁵⁵ – Fragmente der sehr fein bis fein gemagerten und sehr hart bis klingend hart gebrannten Warenklassen 1 und 2, mit einem deutlichen quantitativen Schwerpunkt auf deren Varianten 1B (20 %) und 2C (60 %);⁹⁵⁶ Grobwaren treten demgegenüber in den Hintergrund (Tab. 99).

Bei vollständiger bis nahezu vollständiger Erhaltung liegt das Minimalgewicht sekundär bearbeiteter Scherben bei 8,1 g (A5/6.950.00), das Maximalgewicht bei 54,4 g (A5/6.746.03); das mittlere Gewicht beläuft sich auf 26,5 g.⁹⁵⁷ Der Durchmesser variiert zwischen 3,8 (A5/6.950.00) und 9,2 cm (A5/6.746.03).⁹⁵⁸

⁹⁵² S. hierzu jedoch auch Obladen-Kauder 1996: 215–216 u. Abb. 142. Cf. Collon/Symington 2007a: 455.

⁹⁵³ Dazu s. Obladen-Kauder 1996: 215.

⁹⁵⁴ Cf. Joukowsky 1986: 381; Kull 1988: 208; Obladen-Kauder 1996: 215; Collon/Symington 2007a: 455.

⁹⁵⁵ Vgl. Kull 1988: 208; Collon/Symington 2007a: 454.

⁹⁵⁶ S. hierzu Kapitel 4.2.2 »Beschreibung der Waren«. Vgl. Joukowsky 1986: 381; Kull 1988: 208; Obladen-Kauder 1996: 221–222; Genz 2002: 108; Collon/Symington 2007a: 454–455.

⁹⁵⁷ Grundlage der Berechnung bilden Typvertreter A5/6.609.00 (26,7 g), A5/6.783.00 (21,7 g), A5/6.598.00 (10,4 g), A5/6.793.00 (46,5 g), A5/6.324.00 (35,3 g), A5/6.583.01 (13,2 g), A5/6.916.03 (9,3 g), A5/6.949.00 (26,2 g), A5/6.950.00 (8,1 g), A5/6.241.00 (34,2 g), A5/6.715.00 (45,1 g) sowie A5/6.810.00 (17,3 g). Ergänzend dazu s. Katalog Teil C.

⁹⁵⁸ Cf. Kull 1988: 208–210; Obladen-Kauder 1996: 222–224; Genz 2002: 107–108; Collon/Symington 2007a: 455.

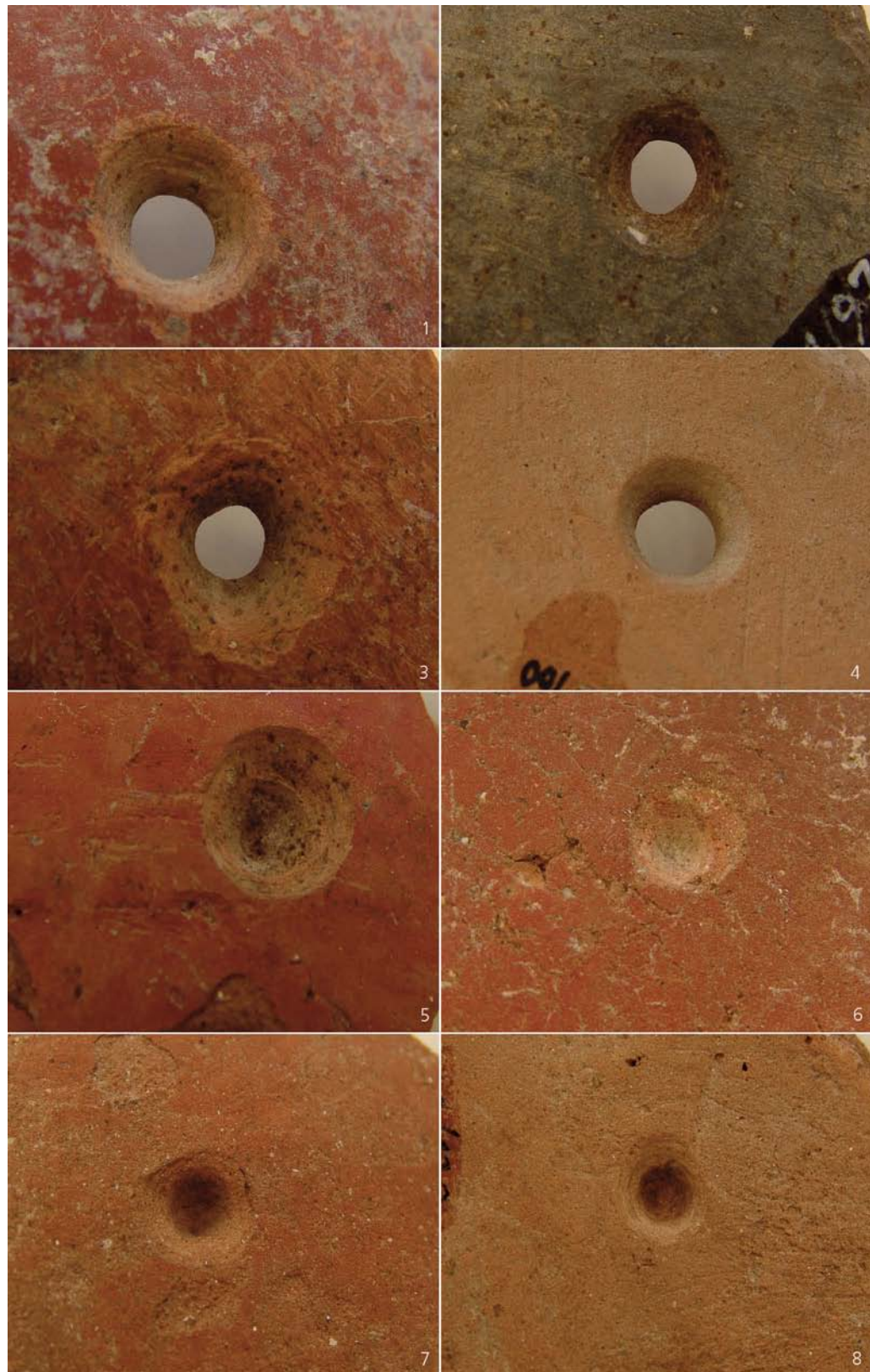


Abb. 77
Sekundär bearbeitete
Scherben: 1–4 durch-
bohrte Gefäßfrag-
mente vom Typ 1,
5–8 Bruchstücke mit
zentraler Anbohrung
vom Typ 2. M 2:1.

Tab. 100

	Troia IV ₁	Troia IV ₂	Troia V ₁	Troia V ₂	Troia V ₃	Troia V ₄	Troia V ₅	Troia V ₆	Troia V ₇	Troia VI und jünger
A5/6.241.00							●	●	●	
A5/6.324.00								●		●
A5/6.340.00						●	●			
A5/6.502.07					●	●				
A5/6.559.04							●	●		
A5/6.583.01			●	●	●	●	●	●	●	●
A5/6.590.01					●					
A5/6.598.00			●	●	●	●	●	●	●	
A5/6.609.00								●		
A5/6.712.17			●	●	●					
A5/6.715.00				●	●					●
A5/6.774.01					●					
A5/6.746.03			●	●						●
A5/6.783.00		●	●	●						
A5/6.793.00					●					
A5/6.810.00		●								●
A5/6.826.06		●								
A5/6.916.03			●							
A5/6.949.00			●							
A5/6.950.00			●							

● Phasenzuweisung gesichert

● Fundstück aus chronologisch vermischten, maximal zwei aufeinanderfolgenden Phasen zuweisbaren Komplexen

● Fundstück aus chronologisch stark vermischten Komplexen

Die stratigraphische Verteilung der gerundeten Keramikscheiben weist diese als gängige Erscheinung im Formenrepertoire der Perioden Troia IV und Troia V aus. Erstmals in Ablagerungen der Phase Troia IV₂ enthalten, sind entsprechende Stücke – unabhängig vom jeweils zugrundeliegenden Formtyp – in Quadrat A 5/6 bis in die jüngsten Abschnitte der Siedlungsabfolge hinein belegt (Tab. 100):

Gerundete Gefäßbruchstücke stellen eine Fundgruppe großer räumlicher und zeitlicher Verbreitung dar,⁹⁵⁹ für deren Funktion bislang keine ausreichende Erklärung gefunden werden

⁹⁵⁹ S. hierzu etwa die entsprechenden Zusammenstellung in Joukowsky 1986: 381; Obladen-Kauder 1996: 224; Carington Smith 2000: 208–209; Schmidt 2002: 31–32; Collon/Symington 2007a: 455; Völling 2008: 247 Anm. 90. Ergänzend dazu s. Evans/Renfrew 1968: 70; Elster 2003: 238 Fig. 6.15 a–c; Sudo 2003: 226–227.

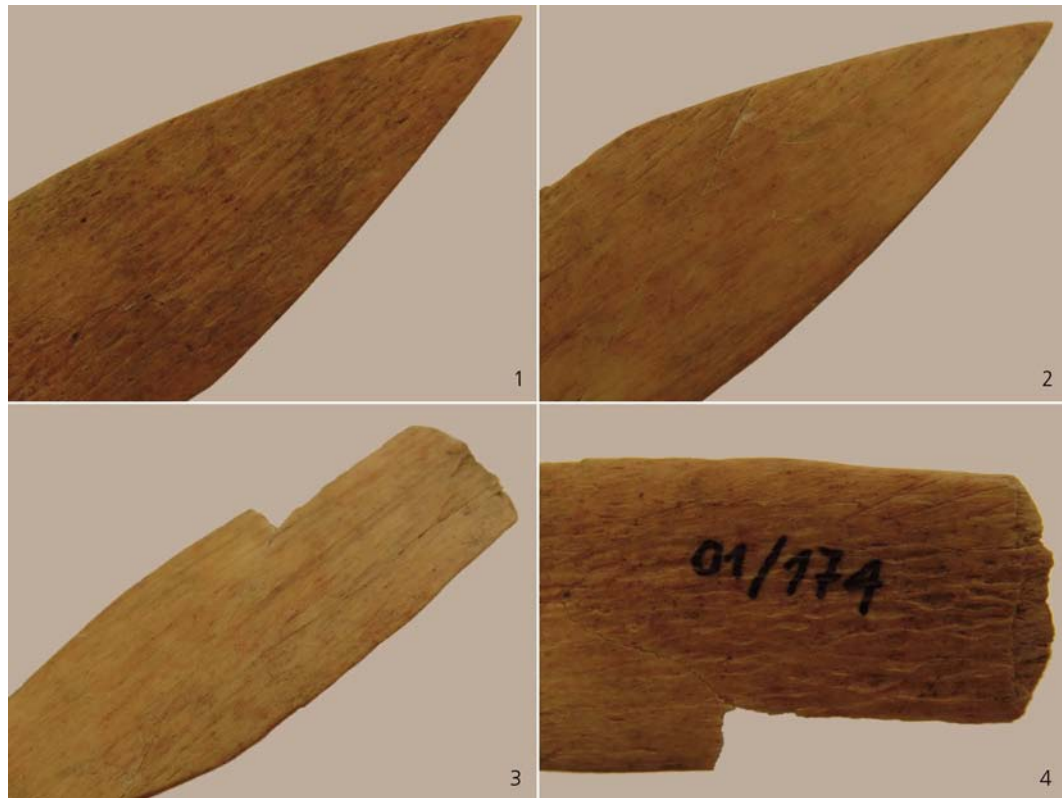


Abb. 78
Detailansichten Spatula
A5/6.775.01.
Ohne Maßstab.

konnte. Im Falle der durchlochten Stücke reichen die Interpretationen von Spinnwirtel,⁹⁶⁰ Gewicht in der Weberei⁹⁶¹ und Ansatz für einen Drillbohrer⁹⁶² über Netzsenker,⁹⁶³ Spielstein⁹⁶⁴ und Deckel⁹⁶⁵ bis hin zu Zählmarken und »tokens« im Sinne administrativer Dokumente.⁹⁶⁶ Ungelochete oder nur leicht angebohrte Scherben wurden mitunter als Halbfabrikate der Spinnwirtelherstellung angesprochen,⁹⁶⁷ wogegen jedoch an nicht wenigen Fundorten das quantitative Verhältnis zwischen den sich vermeintlich im Prozeß der Bearbeitung befindlichen Stücken und den angenommenen Endprodukten spricht;⁹⁶⁸ auch im Falle der Planquadrate A 5/6 stünden neun Rohlingen im ganzen nur elf fertiggestellte Exemplare gegenüber. Für die angebohrten Gefäßfragmente scheint demnach eine Ansprache etwa als »Bohrlager« weit plausibler, während

⁹⁶⁰ S. hierzu etwa Evans/Renfrew 1968: 70; Obladen-Kauder 1996: 224; Carington Smith 2000: 208; Genz 2002: 108; Elster 2003: 238 Fig. 6.15 a–c; Sudo 2003: 227.

⁹⁶¹ Wie beispielsweise Korfmann 1982: 167; Kull 1988: 210. Cf. Balfanz 1995: 119.

⁹⁶² Kull 1988: 210; Sagona 1994: 9; Obladen-Kauder 1996: 226.

⁹⁶³ Korfmann 1982: 167; Kull 1988: 210.

⁹⁶⁴ Cf. Joukowsky 1986: 381.

⁹⁶⁵ Goldman 1956: 322–323; Korfmann 1982: 167; Joukowsky 1986: 381; Balfanz 1995: 119.

⁹⁶⁶ S. hierzu z. B. Goldman 1956: 322; Collon/Symington 2007a: 455.

⁹⁶⁷ Wie etwa Carington Smith 2000: 208.

⁹⁶⁸ S. in diesem Zusammenhang Obladen-Kauder 1996: 215; Genz 2002: 108.

für die nicht durchbohrten Fundstücke viele Deutungsmöglichkeiten verbleiben – als Spielstein,⁹⁶⁹ Gefäßverschluß⁹⁷⁰ oder – und dies speziell bei Gefäßscherben mit sorgfältig abgeschliffener Kante – als Polier- oder Formgerät für Keramik.⁹⁷¹

5.3 Kleinfunde aus Knochen

5.3.1 Spatulae

Zwei der im ganzen sechs aus Knochenmaterial gefertigten Artefakte sind der Fundgruppe der *Spatulae* zuzuweisen: A5/6.190.01 und A5/6.775.01 (Taf. 352.1–2).⁹⁷² Erstgenannte verfügt bei einer erhaltenen Breite von 0,9 cm über eine Länge von 5,8 cm, Letztere dagegen ist 7,1 cm lang, 2,0 cm breit und weist ein Gewicht von 3,1 g auf. Zur Herstellung waren in beiden Fällen von Rindern stammende Rippen (*Costa*) verwendet worden,⁹⁷³ wobei man die Rohlinge so stark überarbeitete, daß großflächig Spongiosa sichtbar wurde. Die Kanten der asymmetrisch angelegten Geräte sind senkrecht geschnitten und wie die vordere Arbeitskante deutlich verrundet. Ein Teil der Seiten sowie die Spitzen weisen einen Politurglanz auf, auch sind auf den Oberflächen beider Typvertreter großflächige Kratzspuren zu beobachten (Abb. 78).⁹⁷⁴ Fundstück A5/6.190.01 ist gemäß seiner Stratifizierung in Troia V₆, Troia V₇ oder gegebenenfalls in Troia VI anzusetzen, während sich für A5/6.775.01 ein Datum von Troia V₃ ergibt.

5.3.2 Metapodienspitzen

Eine aus dem Vordermittelfuß (*Metacarpus*) eines Damhirschs gefertigte Metapodienspitze mit vollständig erhaltener distaler Epiphyse fand sich in stratigraphischen Einheiten der Phasen Troia IV₁/Troia IV₂ (A5/6.942.01). Bei einer Länge von 9,5 cm und einer maximalen Breite von 2,4 cm beträgt das Gewicht des Fundstücks 20,3 g (Taf. 352.3). Im Rahmen des Fertigungsprozesses wurde ein Ende des Knochens abgetrennt, das andere diente als Handhabe, und der Schaftteil wurde durch Schnitzen und sorgfältiges Schleifen zur Spitze geformt.⁹⁷⁵ Nicht nur die große Härte und die longitudinale Struktur der verwendeten Stücke legt eine Verwendung als Pfriem nahe, auch läßt der mit Ausnahme der Epiphyse auf der gesamten Oberfläche vorhandene Politurglanz eine entsprechende Nutzung vermuten (Abb. 79).

⁹⁶⁹ Joukowsky 1986: 381.

⁹⁷⁰ Joukowsky 1986: 381.

⁹⁷¹ Wie beispielsweise Kull 1988: 109, 186.

⁹⁷² Cf. Obladen-Kauder 1996: 301 (s.v. Typ I: Spatel-Spitzen); Schmidt 2002: 23.

⁹⁷³ S. hierzu auch Blegen *et al.* 1951: Fig. 149 Nr. 33.121a u. Fig. 235 Nr. 35.131. Cf. Zidarov 2006: 229.

⁹⁷⁴ Wie auch Obladen-Kauder 1996: 302. Cf. van Ess 1992: 208–209.

⁹⁷⁵ Vgl. Obladen-Kauder 1996: 289–300; Schmidt 2002: 22–23 u. Taf. 24.304.



Abb. 79
Metapodienspitze
A5/6.942.01.
Ohne Maßstab.

5.3.3 Bearbeitete Astragale

Ein maximal 3,9 cm langes, 2,3 cm breites und 15,9 g schweres Astragal (*Talus*) wurde mit Fundnummer A5/6.932.01 dokumentiert (Taf. 352.4). Beide Seitenflächen des vollständig erhaltenen Kurzknochens vom Damhirsch sind flach abgeschliffen und weisen im Randbereich Politurglanz auf (Abb. 80).⁹⁷⁶ Das eventuell zu Glättungszwecken genutzte Objekt datiert nach Troia IV₂.

⁹⁷⁶ S. in diesem Zusammenhang auch Obladen-Kauder 1996: 310 u. Taf. 152.11; Baker/Collon 2007: 531–535.

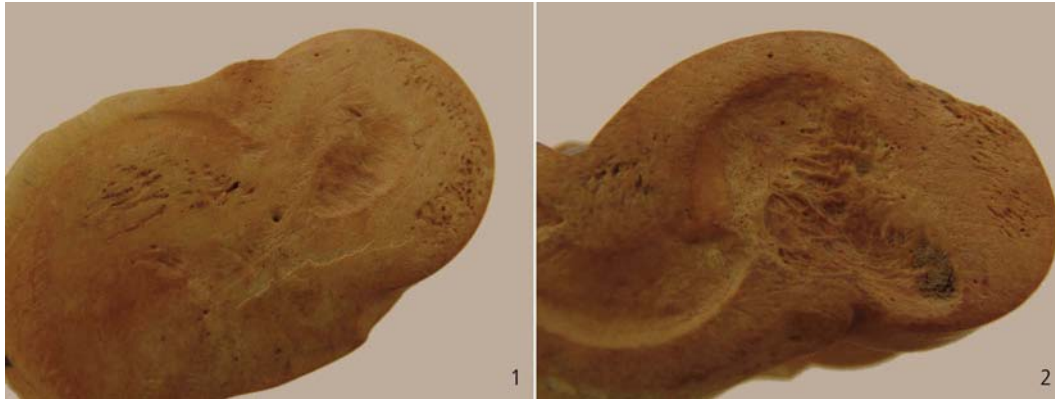


Abb. 80
Abgeflachtes Astragal
A5/6.932.01.
Ohne Maßstab.

5.3.4 Halbfabrikate

Zur Fundgruppe der Halb- oder Rohprodukte zählen die beiden Stücke A5/6.216.01 und A5/6.747.01 (Taf. 353.1–2). Bei erstgenanntem handelt es sich um das 3,8 cm lange und 2,1 cm breite, aus dem Bereich der proximalen Epiphyse stammende Fragment eines Röhrenknochens (*Radius*) vom Damhirsch. Diesen hatte man im Zuge der Bearbeitung mit einem scharfen, eventuell aus Silex bestehenden Werkzeug entlang der Mittelachse gespalten, auch weist das Fundstück im Bereich der Oberfläche der Diaphyse eine verhältnismäßig tief angelegte Schnittspur auf. Zeitlich ist das betreffende Objekt in Phase Troia V₇ oder in Troia VI anzusetzen.

Mit Fundstück A5/6.747.01 wurde ein mittig gebrochener Langknochen (*Metacarpus*) eines Damhirschs erfaßt, der – als vorbereitende Maßnahme zur anschließenden Spaltung – in Längsrichtung tief vorgeritzt wurde (Abb. 81). Die Länge des unter Umständen zur Herstellung von Knochenadeln oder -spitzen⁹⁷⁷ eingesetzten Rohlings beträgt 18,8 cm bei einer maximalen Breite von 3,2 cm; das Gewicht beläuft sich auf 37,7 g. Das als Bestandteil eines stark vermischten Fundensembles geborgene Artefakt ist chronologisch in Troia V₁ oder Troia V₂ einzuordnen, unter Umständen auch in Troia VI.

5.4 Kleinfunde aus Metall

5.4.1 Nadeln

In stratigraphischen Einheiten der Phase Troia V₄ (Matrix-Nr. 098) fand sich das 7,5 cm lange Bruchstück einer bislang singulären Nadel aus Kupfer oder Bronze (A5/6.613.00). Diese verfügt über einen knapp 3 mm starken, aus gehämmertem Metalldraht bestehenden Schaft mit rundem

⁹⁷⁷ Cf. Obladen-Kauder 1996: 297 u. Abb. 208 u. Taf. 140.5–6.

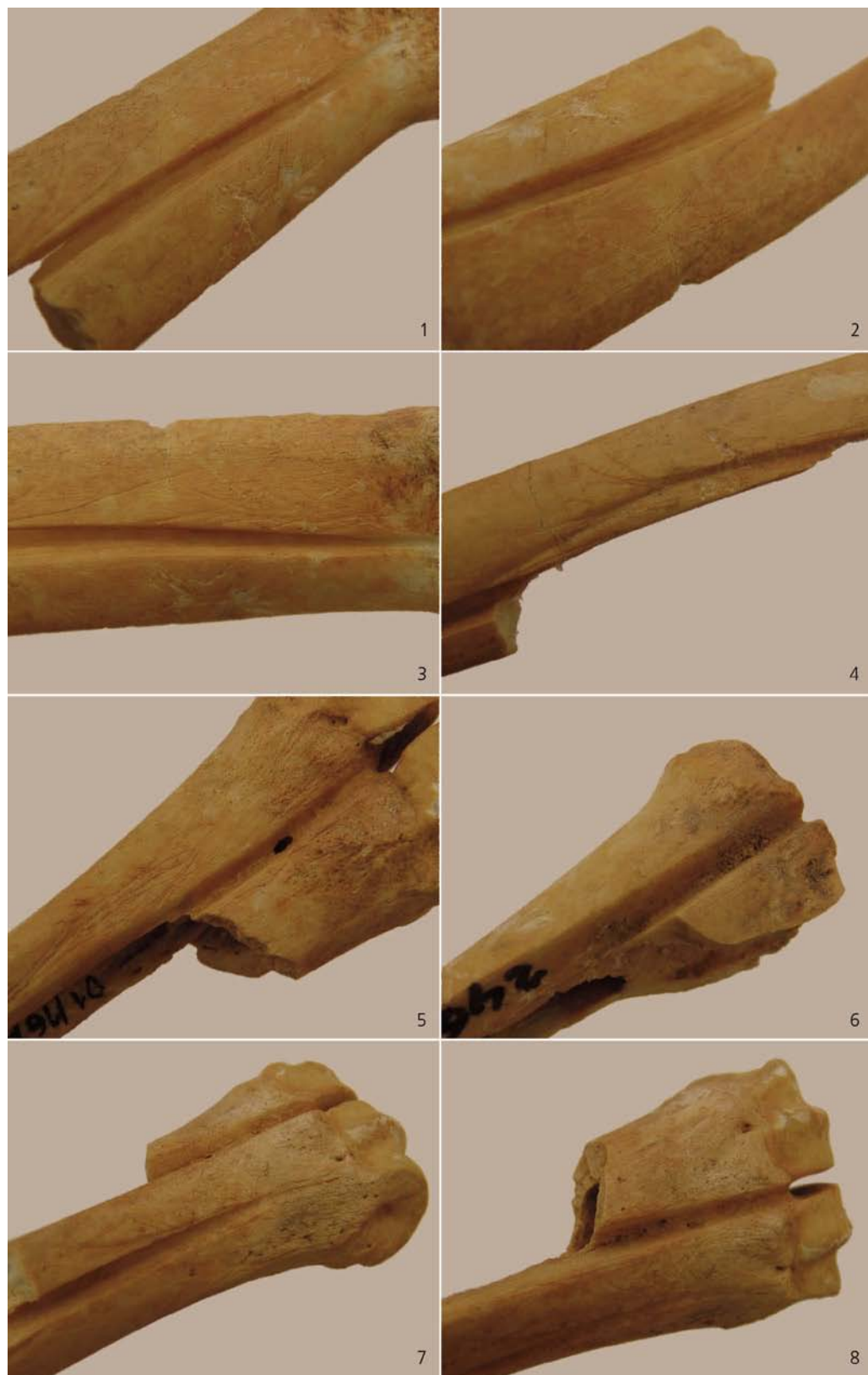


Abb. 81
Halbfabrikat
A5/6.747.01.
Ohne Maßstab.



Abb. 82
Kugelkopfnadel
A5/6.613.00.
Ohne Maßstab.

Querschnitt und weist ein Restgewicht von 2,5 g auf (Taf. 354.1).⁹⁷⁸ Trotz starker Fragmentierung und Deformation ist im oberen Bereich ein hohler Kugelkopf zu ergänzen, der in seinem ursprünglichen Zustand eventuell zur Aufnahme eines – nicht mehr vorhandenen – Tonkerns diente (Abb. 82).⁹⁷⁹

⁹⁷⁸ S. in diesem Zusammenhang auch Schalk 2008: 186.

⁹⁷⁹ Vgl. Schalk 2008: 187.

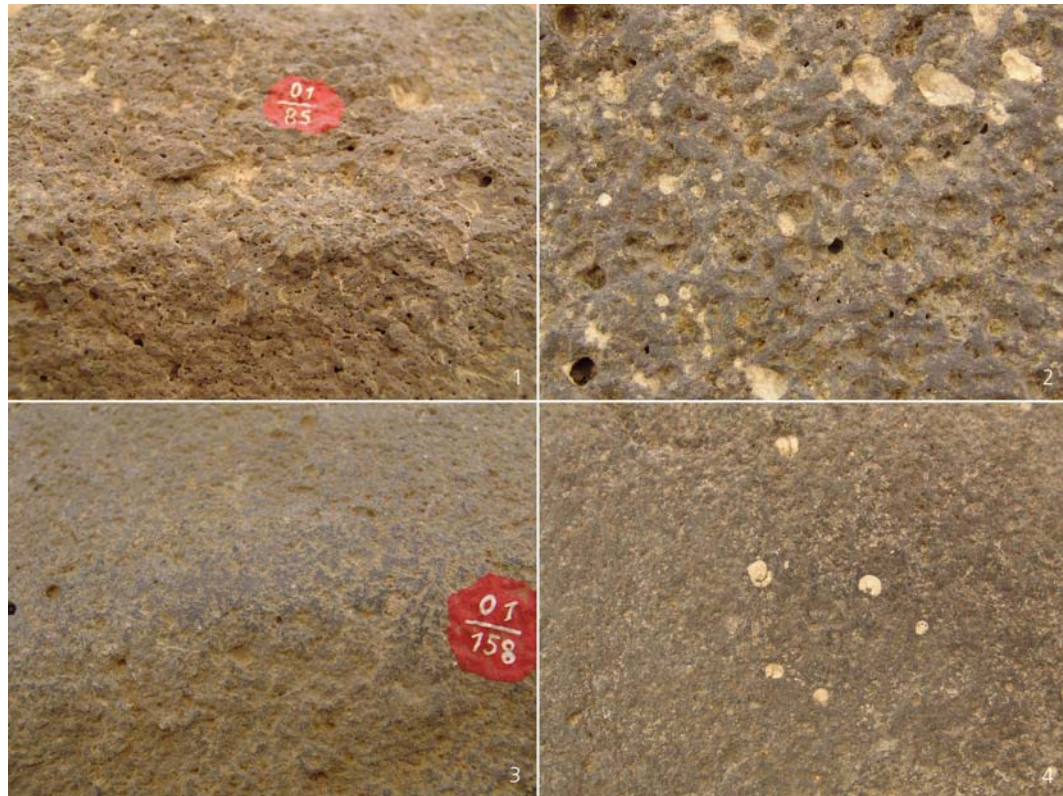


Abb. 83
Gebrauchsflächen
der Reibsteine
A5/6.757.00 (1–2) und
A5/6.901.00 (3–4).
Ohne Maßstab.

5.5 Kleinfunde aus Stein

5.5.1 Felssteingeräte

5.5.1.1 Reibsteine

Als Reibstein werden im folgenden ausschließlich diejenigen Elemente zweiteiliger Mahleinheiten angesprochen, die während des Aufbereitungsprozesses von Lebensmitteln wie Getreide, Salz etc. fest auf dem Boden lagern und als Unterlage für die beweglichen Läufersteine dienen.⁹⁸⁰

Typvertreter A5/6.757.00 verfügt bei einer Länge von 32,4 cm und einer Breite von 26,6 cm über ein Gesamtgewicht von 7 kg (Taf. 355.1). Die Rückseite des maximal 4,8 cm hohen Fundstücks ist flach bis leicht konvex und ebenso wie die seitlichen Partien nur grob bearbeitet. Zur Herstellung wurde Basalt verwandt, wofür in erster Linie die Härte und die hohe Porosität des Materials ausschlaggebend gewesen sein dürfte. Starker Abrieb kennzeichnet die Oberseite

⁹⁸⁰ Cf. Blegen *et al.* 1951: 113, 232 u. Tab. 10, 17; Baykal Seeher 1996: 171; Mansfeld 2001: 209–210; Schmidt 2002: 18. S. hierzu auch Kull 1988: 195 u. Taf. 44.10, 47.8; Güldoğan 2003: 419–422; Collon 2007: 569.

(Abb. 83.1–2), auch spricht die ausgeprägt konkave Struktur der Reibfläche in Längsrichtung für eine längere Nutzungsdauer.⁹⁸¹ Anhand der Stratifizierung ergibt sich für den Reibstein ein Datum von Troia V₁/Troia V₂.

Die Reibfläche des unter A5/6.901.00 inventarisierten Fundstücks ist annähernd flach (Taf. 355.2)⁹⁸² und weist vor allem in den Randzonen abrasiven Verschleiß auf (Abb. 83.3–4). Sein Gewicht beläuft sich auf 6 kg, die Länge auf 33,6 cm und die Breite auf 21,9 cm. Das zur Fertigung herangezogene Gestein – ebenfalls vulkanischer Basalt – verfügt über eine vergleichsweise dichte Struktur und wurde nur grob zugearbeitet;⁹⁸³ die spitz zulaufende Unterseite setzt für die Nutzung eine partielle Eintiefung in den Boden oder eine entsprechende seitliche Unterstützung voraus.⁹⁸⁴ Der vollständig erhaltene Reibstein ist in die Zeit von Troia IV₂/Troia V₁ zu datieren.

5.5.1.2 Läufersteine

Im Fundaufkommen der Planquadrate A 5/6 sind – in Ergänzung zur Objektgruppe der Reibsteine – im ganzen drei als Läufersteine zu klassifizierende Artefakte enthalten. Dem Verlauf ihrer Reibflächen nach geordnet, bilden diese zwei Typen: Läufersteine mit konzentrischer Oberflächenwölbung (Typ 1) und Läufersteine mit in Längsrichtung ebener Arbeitsfläche (Typ 2).⁹⁸⁵

5.5.1.2.1 Läufersteine Typ 1

Entsprechend den typographischen Vorgaben für Läufersteine vom Typ 1 ist die Reibfläche des Fundstücks A5/6.474.00 allseitig konvex ausgeprägt.⁹⁸⁶ Der 10,5 kg schwere, aus feinporigem Basalt bestehende Typvertreter mißt 29,2 cm in der Länge und maximal 23,1 cm in der Breite (Taf. 356.1). Die Rückseite ist stark gewölbt und vergleichsweise sorgfältig bearbeitet; starke Spuren der Abnutzung kennzeichnen die Nutzfläche (Abb. 84.1–2). Zeitlich ist der Läuferstein in Phase Troia V₄ anzusetzen.

Mit einem Gewicht von 1,7 kg ist das in stratigraphischen Einheiten der Phasen Troia V₁/Troia V₂ geborgene Fundstück A5/6.758.00 verhältnismäßig leicht ausgelegt. Seine Breite beläuft sich auf 15,4 cm, die Länge auf 18,7 cm (Taf. 356.2). Als Ausgangsmaterial diente Ba-

⁹⁸¹ S. hierzu auch Blegen *et al.* 1951: 39, 47, 61, 70 u. Fig. 50 Nr. E 6.43, 50 Nr. E 6.21, 50 Nr. E 6.18, 50 Nr. E 6.22, 50 Nr. E 6.8, 50 Nr. E.6.16. Cf. Goldman 1956: 275 u. Fig. 419.113, 419.115, 419.116; Kull 1988: Taf. 44.10, 47.8; Baykal Seeher 1996: 182–185; Mansfeld 2001: 210; Schmidt 2002: Taf. 20.221–222; Gündoğan 2003: Fig. 5–6; Collon 2007: 569–572 u. Fig. 468.2718, 468.2741.

⁹⁸² Wie etwa auch Blegen *et al.* 1951: 57, 70, 186 u. Fig. 50 Nr. E 6.55, 50 Nr. E 6.27, 148 Nr. E 6.2; Baykal Seeher 1996: 182–185 u. Taf. 69.3 69.8, 69.11, 70.1; Collon 2007: 570 u. Fig. 468.2719.

⁹⁸³ Cf. Collon 2007: 569.

⁹⁸⁴ S. in diesem Zusammenhang Baykal Seeher 1996: 171.

⁹⁸⁵ Vgl. Baykal Seeher 1996: 172; Mansfeld 2001: 208–209 u. 274 Liste 5.

⁹⁸⁶ Cf. Kull 1988: Taf. 40.12; Baykal Seeher 1996: Taf. 71.1–8; Schmidt 2002: Taf. 20.218–220.

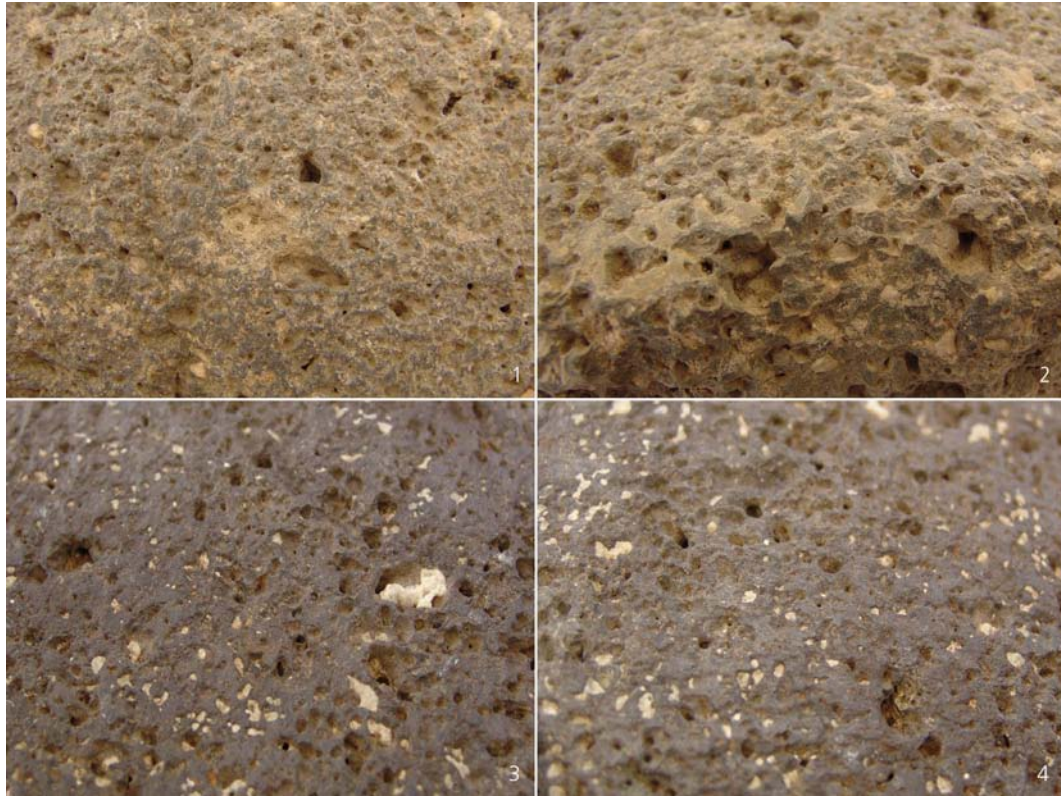


Abb. 84
Gebrauchsflächen
der Läufersteine
A5/6.474.00 (1–2)
und A5/6.758.00 (3–4).
Ohne Maßstab.

salt, der im Rahmen der formgebenden Überarbeitung grob zugehauen wurde. Die flach gewölbte Reibfläche des Läufersteins ist infolge intensiven Gebrauchs abgenutzt (Abb. 84.3–4).

5.5.1.2.2 Läufersteine Typ 2

Als Vertreter des Typs 2 verfügt Läuferstein A5/6.759.00 über eine in Längsrichtung geradlinig verlaufende Reibfläche; wohl dadurch, daß er während des Mahlvorgangs überwiegend in Vor- und Rückbewegungen auf einem – ebenfalls als plan vorauszusetzenden – Reibstein geführt wurde,⁹⁸⁷ weist sein Querschnitt eine leicht konvexe Struktur auf (Taf. 357.1).⁹⁸⁸ Aus feinporigem Basalt gefertigt, weist das fragmentarisch erhaltene Fundstück eine Restlänge von 21,1 cm auf. Bei einer Breite von 17,2 cm beläuft sich das Gewicht nur mehr auf 3 kg. Die Nutzfläche des in Fundschichten der Phasen Troia V₁/Troia V₂ vergesellschafteten Steinartefakts weist deutliche Abrasionserscheinungen auf.

⁹⁸⁷ Cf. Baykal Seeher 1996: Abb. 140. Vgl. Mansfeld 2001: 208–209.

⁹⁸⁸ Wie etwa auch Kull 1988: Taf. 47.7; Collon 2007: 569–572 u. Fig. 468.2719.

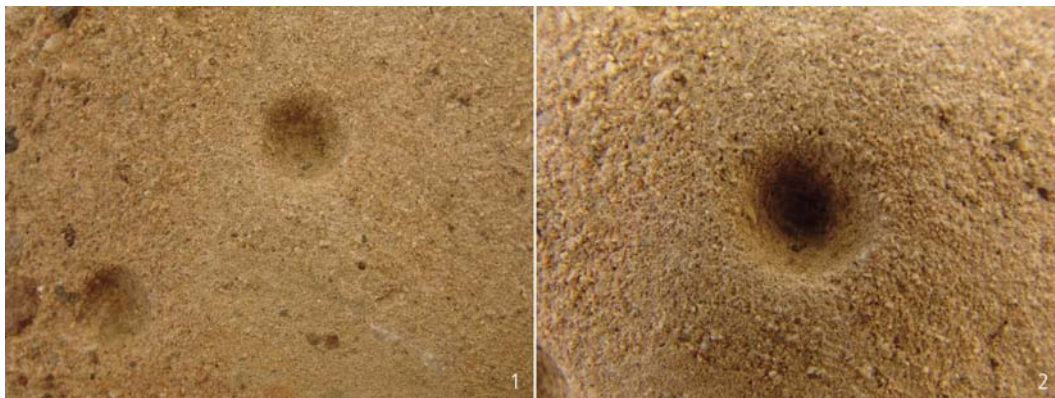


Abb. 85
 Angebohrte Oberfläche
 des Felssteingeräts
 A5/6.642.00.
 Ohne Maßstab.

5.5.1.3 Angebohrte Steine

Die ursprüngliche Funktion des unter Fundnummer A5/6.642.00 aufgenommenen Objekts aus Sandstein ist weder anhand formaler Kriterien zu erschließen noch über den entsprechenden archäologischen Kontext: es fand sich in das mit Matrix-Nummer 103 erfaßte Fundament der Troia V₄-zeitlichen Lehmsteinmauer 16 sekundär verbaut (*cf.* Taf. 102.1 Mitte).⁹⁸⁹ Markant sind insbesondere zwei im Bereich der leicht konvexen, sorgfältig geglätteten Oberseite gelegene Bohrtrichter von jeweils 1,5 cm Durchmesser und einer Tiefe von 0,7 cm bzw. 0,8 cm (Abb. 85). Die Rückseite des maximal 15,2 cm langen, 14,8 cm breiten und 1,9 kg schweren Steingeräts ist nur grob zugehauen (Taf. 357.2).

5.5.1.4 Türangelsteine

Türangelsteine sind im Kleinfundspektrum der Quadrate A 5/6 mit vier Exemplaren vertreten,⁹⁹⁰ wobei nur eines der entsprechenden Stücke in originaler Fundlage dokumentiert werden konnte:⁹⁹¹ Der unter A5/6.954.00 dokumentierte Türangelstein aus feinporigem Kalk fand sich bei $y = 9215,25/x = 10704,30$ (▼ 27,84 m ü. NN bis ▼ 27,93 m ü. NN) unmittelbar neben der Türöffnung von Mauer 32 (*cf.* Taf. 71.2, 73) und ist demgemäß in Phase Troia IV₂ anzusetzen.⁹⁹² Das aus einem ausgemusterten Läuferstein vom Typ 1 gefertigte Fundstück⁹⁹³ verfügt über eine Länge von 21,9 cm und eine Breite von 21,6 cm (Taf. 358.1); das Gewicht beläuft sich auf 6 kg.

⁹⁸⁹ S. in diesem Zusammenhang Kapitel 3.2.3.4 »Phase Troia V₄«.

⁹⁹⁰ Allgemein dazu s. Baykal Seher 1996: 172–173; Güldoğan 2003: 422–423 u. Fig. 7–8. S. in diesem Zusammenhang auch Mansfeld 2001: 207–208.

⁹⁹¹ *Cf.* Mansfeld 2001: 207.

⁹⁹² S. hierzu Pieniżek-Sikora 2001: 155.

⁹⁹³ Wie auch Baykal Seher 1996: 171–172.



Abb. 86
Muldenförmige
Vertiefungen in den
Oberflächen der Türan-
gelsteine A 5/6.954.00
(1–2), A5/6.834.00 (3–4),
A5/6.868.00 (4–6),
A5/6.749.00 (7–8).
Ohne Maßstab.

Zur Aufnahme eines runden Scharnierholzes wurde in die konvexe Oberfläche eine insgesamt $15,2 \times 10,4$ cm große und 2,4 cm tiefe Mulde eingearbeitet (Abb. 86.1–2).

Mit A5/6.834.00 wurde ein 22,8 cm langer, im ganzen 19,4 cm breiter und 6 kg schwerer Türangelstein erfaßt (Taf. 358.2), der als Bestandteil eines vermischten Fundensembles nur mehr pauschal den Phasen Troia IV₂ bis Troia V₂ zugewiesen werden kann. Die Oberfläche des zur Herstellung verwendeten Sandsteins ist sorgfältig geglättet, die $11,1 \times 10,8$ cm große und 3,0 cm tiefe Schaniermulde liegt ausmittig und weist deutliche Spuren der Abnutzung auf (Abb. 86.3–4).⁹⁹⁴

Das unter A5/6.868.00 inventarisierte Fundstück besteht aus dichtem Muschelkalk, ist 6 kg schwer und mißt bei einer Länge von 23,5 cm maximal 17,4 cm in der Breite (Taf. 358.3). Eine annähernd kreisrunde, 1,8 cm tief in die Oberfläche eingearbeitete Mulde diente als Angelpunkt für ein Rundholz; dessen Gebrauch führte zu starken Abrasionserscheinungen im Inneren der $8,2 \times 8,1$ cm großen Vertiefung (Abb. 86.5–6). Über die Stratifizierung ergibt sich für den Typvertreter ein Datum von Troia IV₂/Troia V₁.

Mit einem verbliebenen Gewicht von 3,8 kg ist das unvollständig erhaltene Fundstück A5/6.749.00 mit Abstand das leichteste der Objektgattung; zur Fertigung des 21,3 cm langen und 16,2 cm breiten Türangelsteins wurde feinporiger Muschelkalk verwendet (Taf. 358.3). Zwei strukturell nahezu übereinstimmende Eintiefungen in der geglätteten Oberfläche mögen diesen als Lager einer zweiflügeligen Tür ausweisen, wobei die im randlichen Bereich einer der beiden Mulden ansetzende Bruchkante gegebenenfalls nutzungsbedingt sein kann (Abb. 86.5–6). Der Türangelstein fand sich in Schichten der Phasen Troia V₁ bis Troia V₃ vergesellschaftet.

5.5.1.5 Klopffsteine

Das Kleinfundinventar der Planquadrate A 5/6 umfaßt fünf rundliche bis kantige, als Klopffsteine anzusprechende Artefakte. Nach Lage und Struktur der Gebrauchsspuren differenziert, verteilen sich diese auf vier – speziell auf Unterschiede in der Handhabung zurückzuführende – »Funktionstypen«:⁹⁹⁵ Zu Typ 1 zählen Klopffsteine mit zirkular verlaufenden, eine bandförmige Klopffzone bildenden Abnutzungsspuren. Typ 2 umfaßt Fundstücke mit Schlagspuren auf der gesamten Oberfläche, bei Typ 3 finden sich diese nur entlang zweier gegenüberliegender Seiten. Klopffsteine, deren Schlagspuren sich im Bereich der spitzeren Partien verdichten, sind in Typ 4 gefaßt.⁹⁹⁶

⁹⁹⁴ Vgl. Mansfeld 2001: 207–208.

⁹⁹⁵ Zum Einsatzbereich von Klopffsteinen s. etwa Baykal Seeher 1996: 174.

⁹⁹⁶ Cf. Baykal Seeher 1996: 174.



Abb. 87
Detailansicht Klopfstein
A5/6.455.00.
Ohne Maßstab.

5.5.1.5.1 Klopfsteine Typ 1

Der vollständig erhaltene Klopfstein A5/6.455.00 besteht aus feinkristallinem Quarz, ist 7,3 cm lang und 6,4 cm breit (Taf. 359.1); sein Gewicht beträgt 529,6 g.⁹⁹⁷ An zwei Seiten des Steins finden sich gröbere Bruchstellen, während eine bandförmig umlaufende Klopfzone die restliche Oberfläche bedeckt (Abb. 87.1–2); Gebrauchsspuren sind in Form kleiner, sehr dicht beieinanderliegender halbmondförmiger Abschlagnegative vorhanden. Der mit Matrix-Nummer 107 geborgene Klopfstein ist Phase Troia V₄ zuzuweisen.

5.5.1.5.2 Klopfsteine Typ 2

In einer für Klopfsteine vom Typ 2 charakteristischen Weise bedecken zahlreiche vom intensiven Gebrauch herrührende Abplatzungen die gesamte Oberfläche des Fundstücks A5/6.504.00 (Abb. 88.1–2).⁹⁹⁸ Das aus vulkanischem Rhyolith gefertigte Steingerät mißt 8,7 × 7,9 cm, ist 840 g schwer und ist seiner Stratifizierung entsprechend nach Troia V₃/Troia V₄ zu datieren (Taf. 359.2).

5.5.1.5.3 Klopfsteine Typ 3

Als Vertreter des Typs 3 weist Klopfstein A5/6.953.00 Gebrauchsspuren ausschließlich im Bereich zweier getrennter, sich unmittelbar gegenüberliegender Seiten auf (Abb. 89.1–2).⁹⁹⁹ Seine Abmessungen betragen 8,0 × 6,6 cm bei einem Gewicht von 546,2 g; zur Herstellung wurde Granit verwendet (Taf. 359.3). Als Bestandteil einer teilvermischten Ausgrabungseinheit wurde

⁹⁹⁷ S. hierzu etwa Kull 1988: 184 u. Taf. 47.6.

⁹⁹⁸ S. hierzu beispielsweise auch Goldman 1956: 271 u. Fig. 415.37, 415.38; Kull 1988: Taf. 35.4–5, 38.18; Colton/Symington 2007b: 564 u. Fig. 465.2632.

⁹⁹⁹ Cf. Baykal Seeher 1996: Taf. 75.2–5.



Abb 88
Klopfstein
A5/6.504.00, Detailan-
sicht der Oberfläche.
Ohne Maßstab.

das vollständig erhaltene Steingerät zusammen mit anderem Fundmaterial der Phasen Troia IV₂ und Troia V₁ geborgen.

5.5.1.5.4 Klopfsteine Typ 4

Zahlreiche sich im Bereich der spitzeren Zonen von Fundstück A5/6.765.00 verdichtende Gebrauchsspuren weisen dieses als typischen Vertreter der Klopfsteinkategorie 4 aus (Abb. 90.1–2).¹⁰⁰⁰ Das aus einem unbearbeiteten fluviatilen Geröll (Gabbro) bestehende, insgesamt 1,77 kg schwere Schlaggerät mißt 11,6 × 10,5 cm, ist vollständig erhalten und nach Maßgabe seiner Einbindung in die lokale Schichtenabfolge den Phasen Troia V₁/Troia V₂ zuzuweisen (Taf. 360.1).

Kleine, sehr dicht beieinanderliegende Absplitterungen bedecken die Kanten des unter A5/6.763.00 erfaßten Klopf- bzw. Schlagsteins (Abb. 90.3–4). Ansonsten ist die Oberfläche des aus unbearbeitetem Serpentin bestehende Geräts ausgesprochen glatt und weist nur wenige gebrauchsbedingte Verschleißerscheinungen auf. Das stark fragmentierte Fundstück verfügt bei Ausmaßen von 8,2 × 6,8 cm über ein Restgewicht von 488 g (Taf. 360.2). Anhand der Stratifizierung ergibt sich für den Klopfstein ein relativchronologischer Ansatz von Troia V₁/Troia V₂.

5.5.1.6 Stößel

Ein 66,9 g schwerer, aus schwarzgrünem Serpentin gefertigter Stößel fand sich mit Objekt A5/6.720.00. Die Oberfläche des 6,3 cm langen und bis zu 2,9 cm breiten Fundstücks ist vollständig und sehr glatt abgeschliffen, das nur wenig verjüngte Gebrauchsende ist flach und weist leichte, vom Zerkleinern feiner Materialien, wie etwa Farbstoffen, Gewürzen oder anderen Le-

¹⁰⁰⁰ S. hierzu etwa Kull 1988: 185 u. Taf. 35.1.

Abb. 89
Detailansicht
Klopfstein
A5/6.953.00.
Ohne Maßstab.

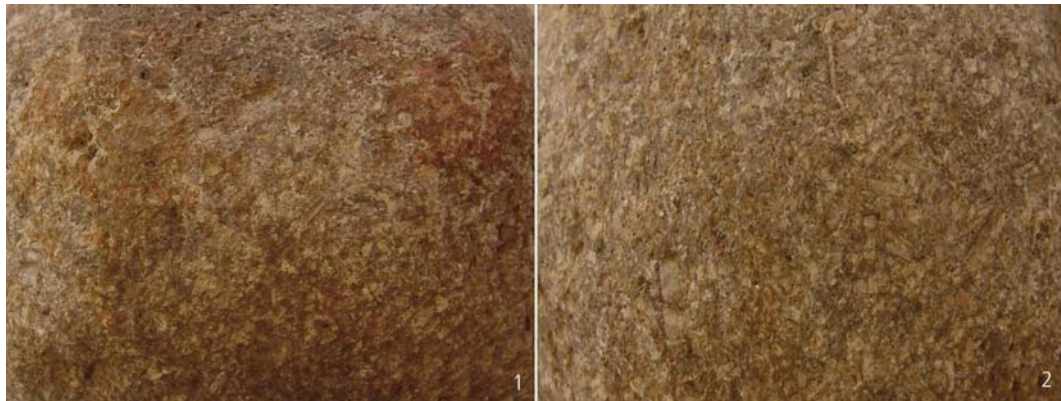
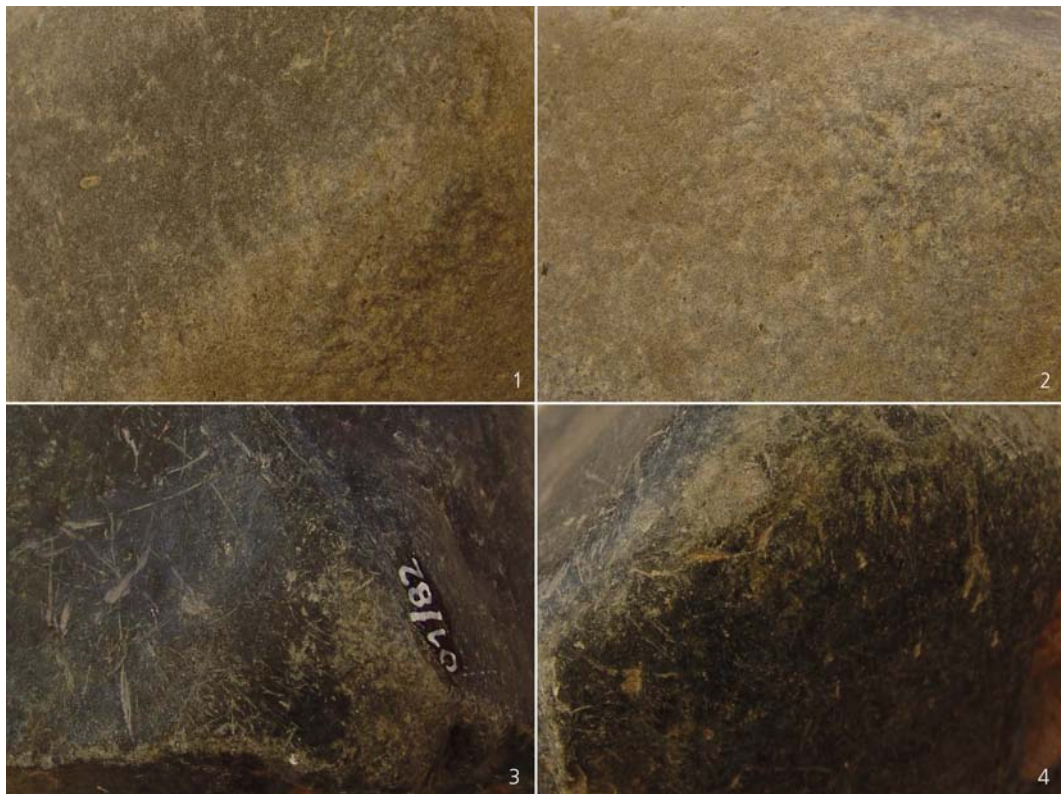


Abb. 90
Detailansichten der
abgenutzten Ober-
flächen der Klopfsteine
A5/6.765.00 (1–2) und
A5/6.763.00 (3–4).
Ohne Maßstab.



bensmitteln herrührende Abrasionserscheinungen auf (Taf. 360.2).¹⁰⁰¹ Den Umständen seiner Bergung entsprechend, ist Kleinfund A5/6.720.00 nur mehr grob im Bereich von Troia V₂ und Troia V₃ zu verorten, eventuell auch in Troia VI.

¹⁰⁰¹ Wie etwa auch Goldman 1956: 275 u. Fig. 420.117, 420.119, 420.123–420.127, 420.127–420.128; Baykal Secher 1996: 173 u. Taf. 72.13. S. in diesem Zusammenhang jedoch auch Schmidt 2002: 18 u. Taf. 17.205–209.



Abb. 91
Schwerer Hammer
A5/6.764.00, Detailan-
sicht der Oberflächen.
Ohne Maßstab.

5.5.1.7 Schwere Hämmer

In Fundschichten der Phasen Troia V₁/Troia V₂ konnte mit A5/6.764.00 ein seiner äußeren Erscheinung nach als Hammer anzusprechendes Felssteingerät geborgen werden (Taf. 361.1). Dessen Länge beträgt 8,3 cm, die Breite 6,1 cm; das Gewicht liegt bei 326,2 g. Die Seitenflächen des aus feinkristallinem Serpentin bestehende Werkzeugs sind stark geglättet (Abb. 91.1), während die Funktionsenden nur grob zugearbeitet wurden (Abb. 91.2).¹⁰⁰² Sowohl die Bahn, also die abgeflachte Schlagfläche im hinteren Bereich des Hammerkopfs, wie auch die im vorliegenden Fall keilförmig zulaufende Finne weisen deutliche Spuren des Gebrauchs auf, teils in Form tiefer Abschlagnegative.

5.5.1.8 Schleifsteine

Im Falle des unter Fundnummer A5/6.714.02 aufgenommenen Geräts aus grauem Sandstein¹⁰⁰³ ist eine Verwendung als Schleifstein wahrscheinlich (Taf. 361.2): Die untere Gebrauchsfläche des flachen, ursprünglich annähernd kreisförmigen Fundstücks ist in Längsrichtung konvex und verfügt über zahlreiche feine, sich insbesondere am Übergang zur Schmalseite konzentrierende Schleifspuren. Ansonsten ist die Oberfläche durch mehrere flach ausgeschliffene Mulden und Rillen gegliedert. Die gegenüberliegende Seite ist leicht konkav und weist vor allem im Bereich der Randzonen vom Prozeß der Glättung stammende Verschleißerscheinungen auf. Für das in einer stark vermischten Ausgrabungseinheit enthaltene, noch 10 × 3,2 cm große und 306,6 g schwere Artefakt ist eine Ablagerung im Zeitraum zwischen Troia V₁ und Troia V₃ anzunehmen.

¹⁰⁰² Cf. Baykal Seher 1996: 174 u. Taf. 76.1–5; Schmidt 2002: 5.

¹⁰⁰³ Wie auch Baykal Seher 1996: 176.



Abb. 92
Polierstein
A5/6.895.00, Detailan-
sicht der Oberfläche.
Ohne Maßstab.

5.5.1.9 Poliersteine

Unter den insgesamt 23 Felssteingeräten der Planquadrate A 5/6 konnten vier als Poliersteine identifiziert werden.¹⁰⁰⁴ Bei diesen handelt es sich um speziell ihrer feinen Oberflächenstruktur und Härte nach ausgewählte Kieselsteine von runder, ovaler oder rechteckiger Gestalt;¹⁰⁰⁵ auf eine formgebende Überarbeitung der Flußgerölle – Basalt, harter Kalkstein und Gabbro – war in jedem Fall verzichtet worden.¹⁰⁰⁶ Die Entstehung feiner, meist parallel verlaufender Kratzspuren und flach abgeriebener, teils glänzend wirkender Stellen im Bereich der Oberflächen ist nutzungsbedingt und charakteristisch für den Funktionstyp.¹⁰⁰⁷

In Fundschichten der Phase Troia IV₂ wurde Polierstein A5/6.443.01 angetroffen (Taf. 361.3). Das fragmentarisch erhaltene Exemplar aus Basalt mißt 6,3 × 4,5 cm und verfügt über ein Restgewicht von 80,5 g. Feine, gleichmäßig verteilte Schleifspuren bedecken die gesamte originale Oberfläche.

Polierstein A5/6.895.00 besteht aus hartem, feinkristallinem Kalkstein, ist 206,9 g schwer und weist Abmessungen von 8,3 × 6,2 cm auf (Taf. 361.4). Parallel verlaufende Schleif- und Kratzspuren konzentrieren sich vor allem im Bereich der Flachseite des nach Troia IV₂ zu datierenden Fundstücks (Abb. 92.1–2).

Bei einer Gesamtlänge von 6,8 cm und einer Breite von 4,2 cm verfügt Typvertreter A5/6.952.00 über eine Gewicht von 59,8 g (Taf. 361.5). Abrasive Verschleißerscheinungen sind vor allem entlang der beiden Flachseiten des Troia IV₁-zeitlichen, aus vergleichsweise hartem Kalkstein bestehenden Fundstücks zu beobachten (Abb. 93.1).

Sehr feine Schleifspuren bedecken die gesamte Oberfläche des unter A5/6.692.00 inventarisierten Poliersteins aus Gabbro (Abb. 93.2). Das im ganzen 4,4 × 4,1 cm große und 48,6 g schwere Fundstück ist entsprechend seiner Vergesellschaftung in Matrix-Nummer 060 nach Troia V₂ zu datieren (Taf. 361.6).

¹⁰⁰⁴ Cf. Baykal Seeher 1996: 175 u. Taf. 77.1–19.

¹⁰⁰⁵ S. hierzu etwa auch Blegen *et al.* 1951: 114, 149, 156, u. Fig. 148 Nr. 33.138, 33.122.

¹⁰⁰⁶ Wie auch Kull 1988: 185 u. Taf. 47.4.

¹⁰⁰⁷ Allgemein dazu s. Baykal Seeher 1996: 175.

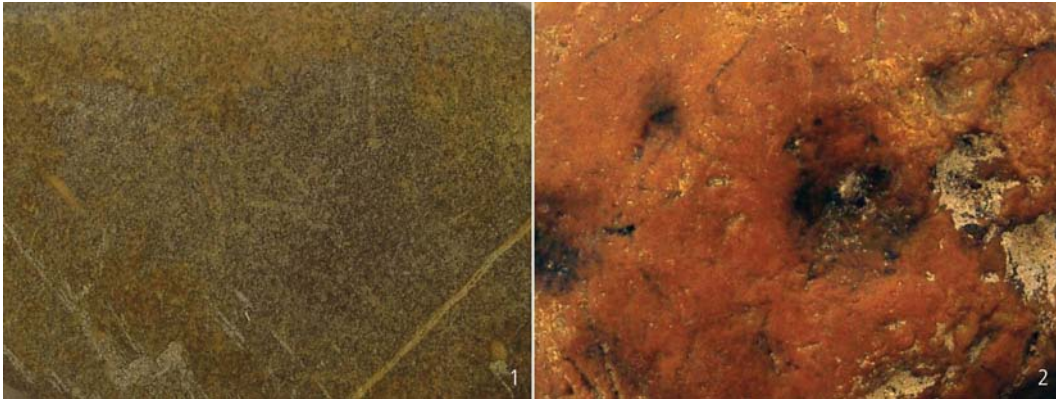


Abb. 93
Poliersteine
A5/6.952.00 (1)
und A5/6.692.00 (2),
Detailansicht der
Oberflächen.
Ohne Maßstab.

5.5.1.10 Steinbeilklingen

Mit Fundstück A5/6.774.02 wurde das $5,9 \times 3,8$ cm große und 162,9 g schwere Fragment einer im Längsschnitt asymmetrischen Beilklinge aus grauem Gabbro geborgen (Taf. 362.1).¹⁰⁰⁸ Gemäß ihrer stratigraphischen Einbindung in Matrix-Nummern 092/093 ist diese in Phase Troia V₃ chronologisch zu verorten.

5.5.2 Silexgeräte (Auswahl)

Die Fundgruppe der troianischen Silexgeräte bildet Gegenstand einer getrennten, von Ivan Gatsov (New Bulgarian University, Sofia) unternommenen Untersuchung. Diese bezieht die in Quadrat A 5/6 geborgenen Stücke mit ein,¹⁰⁰⁹ so daß im folgenden nur einige wenige, als repräsentativ zu betrachtende Exemplare aufgeführt werden sollen.

5.5.2.1 Retuschierte Abschläge

Stellvertretend für die Gruppe der unilateral kantenretuschierten Abschläge steht Fundstück A5/6.944.00 (Taf. 362.2).¹⁰¹⁰ Das 3,9 m lange, bis zu 2 cm breite und insgesamt 7,4 g schwere Artefakt besteht aus opakem weißem Silex¹⁰¹¹ und weist im Bereich der Kanten leichte Absplitterungen auf; es wurde in Ablagerungen der Horizonte Troia IV₁/Troia IV₂ geborgen.

¹⁰⁰⁸ Cf. Blegen *et al.* 1951: 147 u. Fig. 148 Nr. 37.531. Ergänzend dazu s. Baykal Seeher 1996: 176–177; Schmidt 2002: 5–10.

¹⁰⁰⁹ Gatsov 2002: 275–277 u. Fig. 1.9.

¹⁰¹⁰ S. hierzu etwa auch Blegen *et al.* 1951: 144, 170, 184 u. Fig. 147 Nr. 37.526, 37.530, 37.185, 37.203 sowie 268, 289 u. Fig. 234 Nr. 32.200, 32.162. Vgl. Baykal Seeher 1996: 25.

¹⁰¹¹ Cf. Gatsov 2002: 275.

5.5.2.2 Klingen

Das 3,7 cm lange und 1,6 cm breite, im Querschnitt flach trapezförmige Medialfragment einer bilateral dorsal retuschierten Klinge wurde mit Fundstück A5/6.666.00 in Schichtablagerungen der Phase Troia V₄ geborgen (Taf. 362.3);¹⁰¹² zur Herstellung war brauner bis dunkelbeigefarbener, aus lokaler Gewinnung stammender Silex verwendet worden.¹⁰¹³ Sowohl die Absplittierung der Kanten wie auch der beidseitig zu beobachtende Sichelglanz sind gebrauchsbefordert und typisch für die Artefaktkategorie.¹⁰¹⁴

Aus opakem weißem Silex mit dunkelgrauen und schwarzen Dendriten besteht das unter A5/6.683.00 inventarisierte Distalfragment einer unilateral kantenretuschierten Klinge (Taf. 362.4). Das nur mehr 1,9 × 0,8 cm große und 2,1 g schwere, im Bereich seiner Gebrauchskante leicht abgesplitterte Stück ist stratigraphisch bedingt nach Besiedlungsphase Troia V₂ zu datieren.

5.6 Beurteilung

Die äußerst heterogene Zusammensetzung des Fundensembles wie auch die auf die zeitliche Tiefe des Areals bezogene verhältnismäßig geringe Anzahl an Kleinfunden dürfte in erster Linie in fundstatistischen Ursachen begründet liegen: Über mehrere Stadien des Ausbaus hinweg hatte man die architektonische Grundsubstanz im wesentlichen beibehalten, Begehungshorizonte und Fußböden allein durch Planieren für die Neugestaltung der Räumlichkeiten vorbereitet;¹⁰¹⁵ mobiles, für einen weiteren Gebrauch bestimmtes Inventar war während der Bauzeit vorübergehend ausgelagert worden, und nur ausgesonderte Objekte gelangten zusammen mit anderen Haushaltsabfällen in die jeweiligen Füllschichten.¹⁰¹⁶ Von den im ganzen 65 der Kategorie Kleinfunde zugewiesenen Artefakten konnte nur Türangelstein A5/6.954.00 am Ort seiner tatsächlichen Nutzung geborgen werden, für alle weiteren Fundstücke gingen im Zuge des Entsorgungs- bzw. Ablagerungsprozesses entsprechende, auf den Primärkontext des Gebrauchs bezogene Informationen verloren.¹⁰¹⁷

Mit Ausnahme der allgemein als Schmuckgegenstand anzusprechenden Bronzenadel A5/6.613.00 sowie den im Sektor Architektur zu verortenden Türangelsteinen sind alle in Planquadrat A 5/6 geborgenen Kleinfunde – soweit identifizierbar und funktional einzuordnen – im häuslichen Produktionsbereich angesiedelt;¹⁰¹⁸ Rückschlüsse auf Landwirtschaft, Jagd, Herstellung von Keramik, Handel, Religion etc. ergeben sich ausgehend vom Fundmaterial wenn

¹⁰¹² S. hierzu etwa Baykal Seeher 1996: 25–28 u. Taf. 12–14; Schmidt 1996: Taf. 45.625.

¹⁰¹³ Gatsov 1998: 116–117; Gatsov 2002: 275.

¹⁰¹⁴ Cf. Schmidt 1996: 101–102.

¹⁰¹⁵ S. hierzu Kapitel 3 »Architektur und Stratigraphie der Quadrate A 5/6«.

¹⁰¹⁶ Cf. Kapitel 6.2.1 »Kriterien der Identifikation von Fundvergesellschaftungen«.

¹⁰¹⁷ Wie etwa auch Postgate 2007b: 437; Obladen-Kauder 1996: 315.

¹⁰¹⁸ Cf. Postgate 2007b: 437.

überhaupt, dann nur indirekt. Insgesamt sehr dominant ist der Zweig der Textilverarbeitung mit 12 Spinnwirteln und gegebenenfalls 20 sekundär bearbeiteten Keramikscheiben,¹⁰¹⁹ an Rohstoffen für die Herstellung von Textilien kommen insbesondere Schafswolle und Flachs in Frage.¹⁰²⁰ Daneben dürften sowohl von Haus- wie auch von Wildsäugetieren stammende Häute eine entscheidende Rolle bei der Anfertigung von Bekleidungsstücken gespielt haben. Diese mußten vor ihrer Verarbeitung zu entsprechenden Erzeugnissen zunächst gewaschen und geweicht werden, wobei zur Beseitigung der Haare und Fleischreste Knochengeräte wie etwa die beiden *Spatulae* A5/6.190.01 und A5/6.775.01 verwendet worden sein mögen. Für ein Weichklopfen des Leders kommen speziell die rundlich geformten Klopffsteine in Frage, auch könnten die Metapodienspitze, die Poliersteine sowie das bearbeitete Astragal mit der Verarbeitung von Tierhäuten in Zusammenhang stehen.¹⁰²¹ In den Bereich der Nahrungszubereitung gehören aus den Reihen der Kleinfunde insbesondere die Reib- und Läufersteine, auch werden der unter A5/6.720.00 inventarisierte Stößel und die Klopffsteine¹⁰²² mit bei der Verarbeitung von Ernteprodukten zum Einsatz gekommen sein.¹⁰²³ Die starken Abnutzungsspuren an Hammer A5/6.764.00 dagegen deuten auf einen sehr materialbeanspruchenden Gebrauch hin, wie etwa das Zerkleinern und Zurichten von Kalksteinen für den Fundament- und Mauerbau; im Rahmen konstruktiver Tätigkeiten mag auch Beil A5/6.774.02 verschiedentlich zum Einsatz gekommen sein.

¹⁰¹⁹ Cf. Postgate 2007b: 438; Obladen Kauder 1996: 319.

¹⁰²⁰ S. in diesem Zusammenhang Riehl 1999: 41.

¹⁰²¹ Wie beispielsweise Obladen Kauder 1996: 319.

¹⁰²² Als eine weitere Funktion der Klopffsteine ist das Aufrauhnen der Oberflächen von Reib- und Läufersteinen in Betracht zu ziehen: Baykal Seeher 1996: 171, 174.

¹⁰²³ Allgemein dazu s. Riehl 1999: 41–43.

TROIA 2001
A 5 / 6
2 0 8 0 1

6.1 Grundlagen der Untersuchung stratifizierter Fundvergesellschaftungen

In den verschiedenen Etappen des Lebenszyklus einer Siedlung, eines Gebäudes oder einer einzelnen Aktivitätszone treten unterschiedliche Arten kultureller und nichtkultureller Formationsprozesse auf, die sowohl die konstruktive Substanz der Einrichtung selbst wie auch die Zusammensetzung des inner- und außerhalb deponierten Fundmaterials direkt oder mittelbar beeinflussen. In Abhängigkeit ihrer je spezifischen Wirkungsweise sind die bei der Fundstellenbildung zum tragen kommenden Prozesse in Akkumulations- und Reduktionsvorgänge zu unterteilen, wobei erstgenannte grundsätzlich aus der Anreicherung von organischen und anorganischen Materialien im Bereich von Gebäuden und anderen anthropogenen Handlungsräumen resultieren, während letztere eine Deponierung von Objekten am Ort ihres eigentlichen Gebrauchs entweder unmittelbar verhindern oder aber zu einer nachträglichen Beseitigung, d. h. räumlichen Um- und Verlagerung bereits bestehender archäologischer Fundvergesellschaftungen führen. Ungeachtet der Variabilität der hierbei im einzelnen relevanten Einflußgrößen ergibt sich, daß zwischen den Objekten, die später im Bereich einer Raumstruktur gefunden werden, und den in prähistorischer Zeit an diesem Ort ausgeübten Tätigkeiten nicht notwendigerweise eine Verbindung oder gar eine direkte inhaltliche Übereinstimmung bestanden haben muß. So ist es weder wahrscheinlich, daß alle Gegenstände, die man innerhalb eines Gebäudes nutzte, auch dort deponiert wurden, noch, daß alle Objekte, die man in einem Gebäude deponierte und zurückließ, auch tatsächlich dort genutzt wurden.

Mit der Komplexität der strukturellen Bildung und postdepositionalen Transformation archäologisch relevanter Fundvergesellschaftungen befaßt sich insbesondere die zu Beginn der 1970er-Jahre von Michael Brian Schiffer entwickelte *Behavioral Archaeology*.¹⁰²⁴ Mit dem Ziel einer

¹⁰²⁴ In der traditionellen Ur- und Frühgeschichtsforschung wurde vielfach die Ansicht vertreten, daß die inhaltliche Struktur einer archäologischen Stätte zum Zeitpunkt der Ausgrabung im wesentlichem demjenigen Zustand entspricht, wie sie zuletzt verwendet wurde. Selbst den methodische Grundansätzen der hinsichtlich methodischer Belange ansonsten als progressiv zu betrachtenden *New Archaeology* entsprechend, wurde vorbehaltlos die Auffassung zugrundegelegt, archäologische Befunde seien über die Zeit konstante, in Struktur und Substanz unveränderliche anthropogene Primärbildungen (Binford 1962: 217–223; Binford 1964: *passim*; Binford 1965: 203–208; Binford 1967: 1–10) und die im je spezifischen Befundbild zu konstatierende quantitative, qualitative und chorologische Variabilität sei ausnahmslos auf aktivitätsbedingte Unterschiede zurückzuführen, d. h. auf die Verschiedenheit der am betreffenden Ort durchgeführten Tätigkeiten und dem daraus resultierenden materiellen Niederschlag: »The formal structure of artifact assemblages together with the between element contextual relationship should and do present a systematic and understandable picture of the total extinct cultural system« (Binford 1962: 219) und »The loss, breakage, and abandonment of implements and facilities at different locations, where groups of variable structure performed different tasks, leaves a fossil record of the actual operation of an extinct society« (Binford 1964: 425). Bereits 1968 wies jedoch Robert Ascher mit Nachdruck darauf hin, daß »the differential abandonment of a site changes the normal ratios of elements in various processes of their systemic context and the normal spatial distribution of elements« (Ascher 1968). Am Beispiel verschiedener, vorwiegend dörflich geprägter Siedlungskomplexe der in Sonora, Mexiko lebenden Seri konnte deutlich gezeigt werden, daß Auflassungsprozesse recht häufig einen integralen Bestandteil des allgemeinen Siedlungsgeschehens bilden und daß wüstgefallene Wohn- und Arbeitsbereiche innerhalb bestehender Dorfgemeinschaften durchaus keine Seltenheit darstellen, daß sie nicht selten das Erscheinungsbild der Anlage sogar entscheidend bestimmen. Darüber hinaus wurde ersichtlich, daß es sich selbst bei vollständig verlassenen Siedlungen weniger um »ghost

realitätsgerechteren Interpretation von Befunden – und somit der ur- und frühgeschichtlichen Vergangenheit – wurde in dieser der Lebenszyklus von Artefakten und baulichen Gefügen formalisiert und die maßgeblichen natürlichen und anthropogen bedingten Prozesse (*»non-cultural«* bzw. *»natural formation processes«* und *»cultural formation processes«*) vor, während und nach dem Übergang eines Objekts vom systemischen in den archäologischen Kontext in einem explizit theoretischen Rahmen erörtert.¹⁰²⁵ Zur allgemeinen Beschreibung der im einzelnen differenzierten kulturellen und natürlichen Einflußgrößen bediente sich Schiffer eines schematisierten kybernetischen Modells, in dem eine Kultur als homöostatisches System ausgewiesen wird, dessen Teilelemente sich in verschiedenen Subsystemen bewegen, wobei einzelne oder mehrere Aktivitäten auf diese einwirken können. Hinsichtlich des Umgangs mit verwitterungsresistenten Artefakten, wie Stein- oder Keramikobjekten, unterschied Schiffer fünf Verhaltensweisen: Beschaffung, Herstellung, Verwendung, Instandhaltung und Entsorgung; bei Konsumgütern aus vergänglichen Substanzen, wie etwa im Falle von Nahrungsmitteln, stehen diesen die Prozesse Beschaffung, Zubereitung, Verzehr und Entsorgung gegenüber.¹⁰²⁶ Aufnahme in das Modell fanden überdies die Aktivitäten Lagerung und Transport, die sowohl zu einer zeitlichen wie räumlichen Verschiebung eines Elements führen können. Als Resultat verschiedener, unter der Bezeichnung *»reuse«* zusammengefaßten Wiederverwendungsprozesse können sich Elemente dabei auch entgegen ihrer normalen, als unilinear beschriebenen Flußrichtung bewegen. Schiffer differenzierte in diesem Zusammenhang zwischen den Ereignissen *»recycling«*, *»lateral cycling«* und *»secondary use«*, wobei im erstgenannten Fall ein Gegenstand nach Ablauf seiner Gebrauchszeit als Rohstoff zur Herstellung eines anderen, neuen Elements

towns« mit einem statischen materiellen Inventar handelt, als vielmehr um hoch variable Systeme, die durch verschiedene äußere Einwirkungen mannigfache Veränderungen erfahren können (Ascher 1968: 44–46). Für die in der Forschung bis dahin gängige Annahme einer Fossilisierung des archäologischen Befunds prägte Ascher den Begriff »Pompeji Prämissen« bzw. »Pompeji Syndrom« (Ascher 1961: 324; Ascher 1968: 47. Cf. Binford 1983b; Schiffer 1972: 156; Schiffer 1985: 18–38; LaMotta/Schiffer 1999: 19). Zur der in diesem Zusammenhang vor allem in der US-amerikanischen Ur- und Frühgeschichtsforschung geführten Methoden- und Theoriediskussion siehe Binford 1962: 219; Binford 1964: 425; Binford 1967: 1–3; Binford 1968: 23; Binford 1983a: 229–241; Cordell *et al.* 1987: 573–574; Cordell/Upham 1989: 815–817. Cf. Schiffer 1972: 156; Schiffer 1985: 18–38; Schiffer 1988: 462–463; LaMotta/Schiffer 1999: 19; Raab/Goodyear 1984: 258–263; Kosso 1991: 622–624; Shott 1998: 311–312; Tschauner 1996: 3–6.

¹⁰²⁵ Grundsätzlich dazu s. Schiffer 1972: 156–164; Schiffer 1973: *passim*; Reid *et al.* 1974: 125–126; Reid *et al.* 1975: 864–867; Schiffer 1975: 839–844; Schiffer 1976: *passim*. Ergänzend s. Schiffer 1978a: 239; Schiffer 1983: 676–677; Schiffer 1988: 462–463; Schiffer 1995a: 11–17; Schiffer 1995b: 55–64; Schiffer 1995c: 251–253; Schiffer 1995d: 23–25; Schiffer 1995e: 251–253; Schiffer 1996: 644–659; Schiffer 1999: 166–168; Schiffer 2000a: 6; Schiffer *et al.* 2001: 729–733; Schiffer/Miller 1999: 22–23, 123; LaMotta/Schiffer 2001: 15–16. Cf. Reid 1973: 5–49; Reid 1995: 15–21; Shott 1989: 283–285; Shott 1998: 304–312; Tschauner 1996: 3–10; Murray 1997: 456; Patrik 1985: 28–37; Lyman *et al.* 1997: 216–218; Walker *et al.* 1995: 1–11; Walker 1998: 259–264; Raab/Goodyear 1984: 258–263; Kosso 1991: 622–624; Blum 2003: 1–7; Blum 2005: 75–80; Eggert 1978: 7–13; Eggert 2008: 112, 178. Natürliche Transformationsprozesse sind all diejenigen Ereignisse, die auf archäologische Materialien Einfluß nehmen und nicht das direkte Resultat anthropogener Aktivitäten sind. Die Mehrheit der Formations- und Transformationsprozesse, die in einer archäologischen Stätte nach deren Auffassung Wirksamkeit zeigen, sind zu dieser Gattung zu zählen und werden daher häufig auch als »postdepositionale Störungen« bezeichnet (Dibble *et al.* 1997: 629). Zu den wesentlichen kulturellen Faktoren, die zur Fundstellenbildung beitragen, sind insbesondere solche Aktivitäten zu zählen, bei denen Objekte – ob bewußt oder unbewußt – aus dem systemischen Kontext in den archäologischen überführt werden; Abfallentsorgung und Auffassungsverhalten nehmen hierbei einen besonders signifikanten Stellenwert ein.

¹⁰²⁶ Cf. Schiffer 1972: Fig. 1, 2.

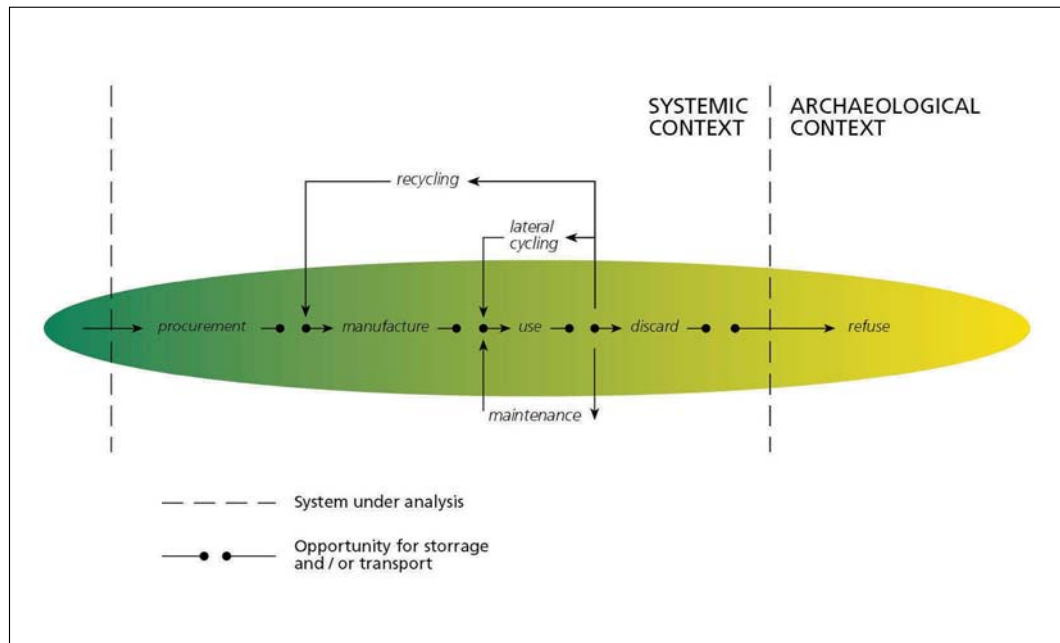


Abb. 94
Schematische
Darstellung des Lebens-
zyklus dauerhafter
Objekte (nach Schiffer
1972: 158 Fig. 1).

dient, während er im Rahmen des *lateral cycling* zwar in seiner intendierten Funktion weiterverwendet wird, jedoch von einer anderen als der ursprünglichen Person; *secondary use* bezeichnet die Wiederverwendung eines Objekts ohne Veränderung dessen physischer Charakteristika in einer von der ursprünglichen abweichenden Funktion (Abb. 94).¹⁰²⁷

Die in einer kulturellen Gemeinschaft unter alltagsüblichen Bedingungen anfallenden Abfälle unterteilte Schiffer aufgrund der Lage des jeweiligen Ablagerungsorts in die Kategorien primären und sekundären Abfall;¹⁰²⁸ Objekte, die zu primärem Abfall werden, verbleiben stets am Ort ihrer Entstehung bzw. ihres letztmaligen Gebrauchs, während sich bei sekundären Abfällen der Ort der Entsorgung bzw. Endlagerung grundsätzlich nicht mit demjenigen der Nutzung deckt. Infolge ihrer inhaltlichen und räumlichen Systematik sind primäre Ablagerungen somit generell in der Lage, die exakte Position von Aktivitätsbereichen sowie die Art der an ihnen ausgeübten Tätigkeiten unmittelbar widerzuspiegeln und verfügen hinsichtlich der Rekonstruktion sozia-

¹⁰²⁷ Schiffer 1976: 38–63; Schiffer *et al.* 1981: 68–69; Schiffer 1983: 683; Schiffer 1985: 27, 37; Schiffer 1995b: 56; Wilson 1995: 126–129; S. diesbezüglich auch Kramer 1982: 123–130, 263–269; Gould 1984: 201–202; Rathje 1978: 73–74; Rathje/Murphy 2001: 201–213; McKee 1999: 30–38, Deal/Hagstrum 1995: 113–125; Brooks 1993: 178; De-Boer/Lathrap 1979: 127; Wilson 1995, 128–129). Nicht alle der in einem kulturellen System vertretenen Elemente müssen notwendigerweise alle Stationen des vorgegebenen Lebenszyklus durchlaufen. Verschiedene Objektgruppen, wie z. B. die bei der Herstellung neuer Produkte entstehenden Werkabfälle, können bereits direkt nach ihrer Entstehung entsorgt werden. Unmittelbar dann, wenn ein Element aus dem systemischen Kontext als Abfall ausgeschieden wird, tritt es in den archäologischen Kontext ein.

¹⁰²⁸ Schiffer 1972: 161; Rathje/Schiffer 1982: 116; Schiffer 1983: 679; 685; Schiffer 1985: 24, 29. Cf. Hayden/Cannon 1983: 126; Murray 1980: 492, 494.

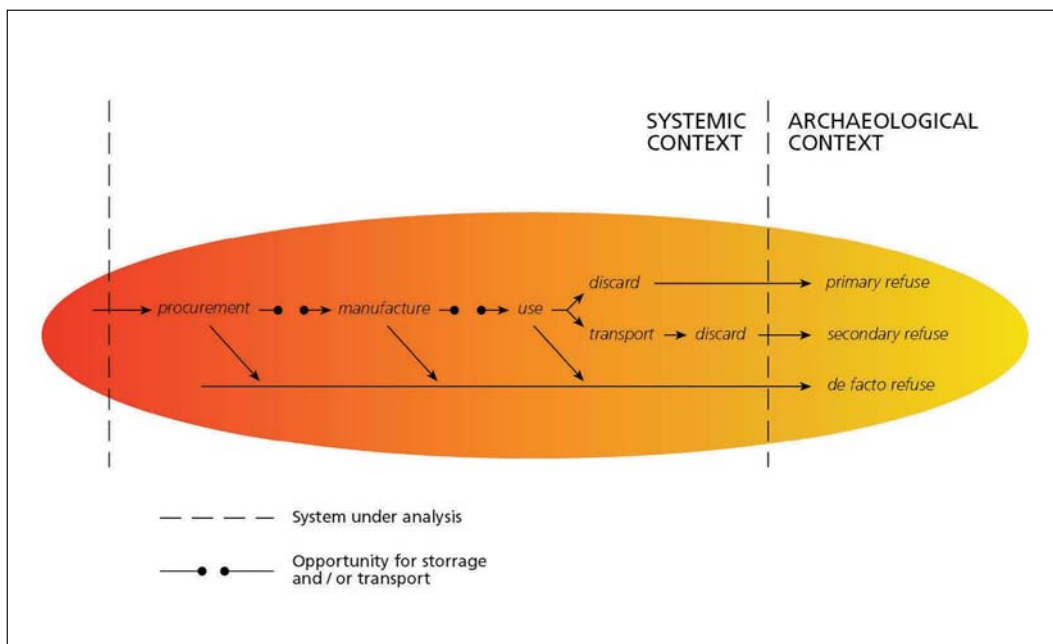


Abb. 95
Schematische Darstellung der Entstehung primärer, sekundärer und *de facto*-Abfälle (nach Schiffer 1972: 162 Fig. 3).

ler, wirtschaftlicher und demographischer Verhältnisse der jeweils untersuchten Gemeinschaften über ein größtmögliches interpretatorisches Potential.¹⁰²⁹ Gegenstände, die bei der permanenten Auflassung von Wohn-, Lager- und Arbeitseinrichtungen entweder unmittelbar am Ort ihres regulären Gebrauchs oder ihrer letzten Lagerung bzw. Zwischenlagerung zurückgelassen, d. h. nicht formell entsorgt, werden, bilden eine spezielle Klasse des Abfalls, den sogenannten *de facto refuse* (Abb. 95).¹⁰³⁰ Dieser umfaßt gemäß der Definition Schiffers grundsätzlich alle Fundmaterialien auf Begehungshorizonten, die entweder noch uneingeschränkt gebrauchsfähig oder in irgendeiner Form wiederverwendbar sind. Die Entscheidung darüber, ob ein Gegenstand beim Verlassen einer Einrichtung zurückgelassen wird oder nicht, hängt meist nicht nur von einer Reihe verschiedener objektspezifischer Kriterien ab, wie zum Beispiel vom zukünftigem Gebrauchswert, dem Neuanschaffungspreis, der Portabilität bzw. der maximalen Ladekapazität der zur Verfügung stehenden Transportmöglichkeiten, sondern ist auch wesentlich durch die

¹⁰²⁹ Schiffer 1972: 159–162; Schiffer 1976: 30–34, 56–68; Schiffer 1983: 679–686; Schiffer 1985: 18–29; Schiffer 1987: 57–62, 335–336; Kent 1980: 220–221; Kent 1984: 169–171; Kent 1992: 649–650; Carr 1984: 108–110; McKee 1999: 38; Keeley 1982: 802; Sullivan 1995: 180; Rosen 1986: 92–114; Metcalfe/Heath 1990: 794; Bartram *et al.* 1991: 98, 136, 141; McManamon 1984: 228–234; Stevenson 1982: 241–260; Deal 1985: 269; Tomka 1993: 14–21; Lightfoot 1993: 165–174; Joyce/Johannessen 1993: 138–151.

¹⁰³⁰ Schiffer 1972: 159–162; Schiffer 1976: 30–34, 56–68; Schiffer 1983: 679–686; Schiffer 1985: 18–29; Schiffer 1987: 57–62, 335–336; Kent 1980: 220–221; Kent 1984: 169–171; Kent 1992: 649–650; Carr 1984: 108–110; McKee 1999: 38; Keeley 1982: 802; Sullivan 1995: 180; Rosen 1986: 92–114; Blum 2002a: 133–135; Blum 2003: 222–231; Metcalfe/Heath 1990: 794; Bartram *et al.* 1991: 98, 136, 141; McManamon 1984: 228–234; Stevenson 1982: 241–260; Deal 1985: 269; Tomka 1993: 14–21; Lightfoot 1993: 165–174; Joyce/Johannessen 1993: 138–151.

äußeren Umstände der Auffassung, wie etwa die zur Verfügung stehende Planungs- und Umzugszeit, bestimmt.¹⁰³¹ Eine Analyse des *de facto refuse*-Bestands innerhalb eines Siedlungsbereichs gibt somit nicht nur allein Auskunft darüber, welche Aktivitäten in den einzelnen Arealen vor dem Verlassen ausgeübt wurden, sondern ist gleichfalls auch dazu in der Lage, Aufschluß darüber zu geben, wie und warum die betreffende Einrichtung von ihren Benutzern verlassen wurde.

Ausgehend von den Überlegungen Schiffers entstand vor allem nach der Mitte der 1970er Jahre eine Vielzahl von Einzeluntersuchungen, die sich vorwiegend aus interpretativer Perspektive mit der Identifikation und Klassifikation der Wirkungsweise der für die Bildung archäologischer Fundvergesellschaftungen relevanten Einflußgrößen sowie den aus diesen im Befundbild gegebenenfalls resultierenden Regelmäßigkeiten und Muster auf deskriptiver und analytischer Basis auseinandersetzen; die hierfür jeweils notwendige Datengrundlage bildeten in der Mehrzahl ethnographische und ethnoarchäologische Feldstudien, aber auch die Resultate der experimentellen Archäologie,¹⁰³² der Geoarchäologie sowie diejenigen der sogenannten *Modern Material Culture Studies* wurden in diesem Zusammenhang wiederholt herangezogen.¹⁰³³ Ein nicht unwesentlicher Teilaspekt verschiedener dieser Untersuchungen bestand zudem in der Differenzierung der variablen, für die Auffassung von Siedlungen oder Einzelgebäuden verantwortlichen Ursachen und zugrundeliegenden kulturellen bzw. sozialen Rahmenbedingungen sowie deren spezifische, auf die quantitative und qualitative Zusammensetzung des materiellen Bestands innerhalb einer Raumeinheit resultierende Wirksamkeit.¹⁰³⁴ Von teils umfassend angelegten Rauminhaltsanalysen ausgehend, wurde dabei versucht, eine möglichst genaue Abfolge der im einzelnen auftretenden kulturellen und nichtkulturellen Formationsprozesse sowie deren relative und absolute zeitliche Relation zueinander zu analysieren, um anhand der auf diesem Wege ermittelten chronologischen Abfolge der Deponierungseignisse die verschiedenen Etappen des Lebenszyklus baulicher Strukturen möglichst exakt erfassen und davon ausgehend differenzieren zu können.¹⁰³⁵ Im Rahmen einer Studie über Töpferabfälle der Hochlandmaya (Mexiko) schlug Michael Deal 1985 beispielsweise vor, archäologische Fund-

¹⁰³¹ S. hierzu etwa Schiffer 1972: 160; Schiffer 1973: 60; Stevenson 1982: 241; Schiffer 1985: 31; Tomka 1993: 15; Deal 1985: 270.

¹⁰³² Kent 1987: 1–49.

¹⁰³³ S. hierzu beispielsweise Bonnichsen 1973: 277–287; Cameron 1991: 155–158; Ciolek-Torrello 1985: 41–59; Deal 1985: 243–291; Farrand 1993: 85–95; Bar-Yosef 1993: 11–27; Nash 1993: 125–135; Rosen 1993: 141–148; Goldberg/Whitbread 1993: 165–186; Joyce/Johannessen 1993: 138–151; Kent 1987: 2–46; Lightfoot 1993: 165–175; Lightfoot *et al.* 1998: 199–201, 205–218; Montgomery 1993: 157–162; Reid/Whittlesey 1982: 687–701; Rothschild *et al.* 1993: 123–137; Savelle 1984: 508–524; Scarborough 1989: 405–425; Schiffer 1976: 99–157; Schiffer 1978b: 154–158; Schiffer 1981: 904–905; Schiffer 1985: 19; Schiffer 1989: 37–48; Schiffer 1991: 3–4. Cf. Schiffer *et al.* 1981: 67–69, 74–86; Seymour/Schiffer 1987: 549–603; Schiffer 2000b: 72–73; Schiffer *et al.* 1994: ix–xiii; Schiffer/Miller 1999: 5–6; LaMotta/Schiffer 2001: 33–54; Shaffer 1993: 59–74; Stevenson 1985: 63–81; Sullivan 1989: 101–114; Wilk/Schiffer 1979: 530–535; Reid *et al.* 1975: 864–866; Skibo 1992: 18–30; Waters 1992: 7–114; Quine 1995: 77–92; Leone 1981: 12–13; Rothschild 1981: 161, 180–181; Rathje 1979: 1–28; Rathje 1995: 36–43; Rathje/Murphy 2001: 30–52; Wilson 1995: 126–130. Cf. Stark 1999: 24–25. Vgl. Stanislawski 1973: 376–379; Stiles 1977: 88; Vossen 1992: 4–9; Fetten/Noll 1992: 161–167; Gosden 1999: 9, 57.

¹⁰³⁴ S. in diesem Zusammenhang Nelson 2000: 52–61.

¹⁰³⁵ Stevenson 1982: 241–260. Cf. Cameron 1990: 27–34; Cameron 1991: 155–157; Joyce/Johannessen 1993: 138–139, 141–148; Kent 1993a: 56–58; Lange/Rydberg 1972: 419–432; Longacre/Ayres 1968: 151–159; Nelson 2000: 52–57; Nelson/Hegmon 2001: 213–231; Blum 2005: 87–96; Blum/Aslan 2005: 313–321; Blum *et al.* 2004: 212–213.

vergesellschaftungen als das Resultat einer evolutionären Sequenz, bestehend aus den drei in jedem Fall aufeinanderfolgenden Entwicklungsstadien »*preabandonment*«, »*abandonment*« und »*post-abandonment*«, zu betrachten.¹⁰³⁶ Einer in wesentlichen Aspekten entsprechenden Tendenz folgt ein von Vincent LaMotta und Schiffer 1999 unterbreiteter Ansatz, demgemäß bei der Rekonstruktion und Interpretation von Depositionsabläufen generell zwischen den Stufen »*use/habitation*«, »*abandonment*« und »*post-abandonment*« zu differenzieren ist;¹⁰³⁷ Peter Pfälzner unterschied 2001 in diesem Zusammenhang zwischen den Etappen Bautätigkeit, Unterhaltung, Umbau, Nutzungspausen Auflassung, Zerstörung, Nachnutzung und Verfall.¹⁰³⁸

6.2 Quadrate A 5/6: Räumliche und funktionale Bestimmung von Aktivitätszonen

Ausgangspunkt für eine Lokalisierung und inhaltliche Charakterisierung von Aktivitätszonen im Arbeitsgebiet der Quadrate A 5/6 bildet primär eine räumliche und funktionale Bestimmung von Installationen, d. h. ortsfesten Einbauten innerhalb und gegebenenfalls außerhalb der erfaßten Gebäudeteile, wie Öfen, Herdstellen oder Vorrats- und Abfallgruben;¹⁰³⁹ bewegliche Güter, wie Gefäße, Werkzeuge, Geräte etc. werden dagegen erst in einem dem nachgeordneten Schritt der Zuordnung berücksichtigt,¹⁰⁴⁰ da bei diesen – anders als bei den »immobilen« Elementen der Raum- und Gebäudeausstattung, die grundsätzlich dazu in der Lage sind, den Ort einer Aktivität direkt anzuzeigen – zunächst all diejenigen kulturellen und nichtkulturellen Formationsprozesse, die zur Ablagerung in einer bestimmten Fundsituation führen, identifiziert und einer befundimmanenten Evaluation unterzogen werden müssen, um davon ausgehend beurteilen zu können, ob sich der Fundort eines Objekts mit demjenigen seiner tatsächlichen Verwendung deckt bzw. ob der betreffende Fund und/oder eine Gruppe von Funden für eine Aktivitätszone oder eine bestimmte Tätigkeit kennzeichnend ist.¹⁰⁴¹ Zu beachten ist dabei, daß nicht alle häuslichen Aktivitäten im selben Maß zur Fundstellenbildung beitragen, weder in qualitativer noch quantitativer Hinsicht. Ein signifikanter materieller Niederschlag ist am ehesten von Aktionen wie der Beschaffung, Verarbeitung und Konsumierung von Lebensmitteln zu erwarten, ebenso wie von der Herstellung von Arbeitsgeräten, Werkzeugen, Schmuck etc. oder der Entsorgung von Abfällen; andere hingegen, wie beispielsweise das Schlafen oder die Körperhy-

¹⁰³⁶ Deal 1985: 243. S. hierzu ebenfalls Deal 1998: 115–140 Fig. 5.1.

¹⁰³⁷ LaMotta/Schiffer 1999: 20 Tab. 2.1.

¹⁰³⁸ Pfälzner 2001: 39 u. Abb. 12.

¹⁰³⁹ Cf. Kapitel 3.2.1.2 »Quadrate A 5/6: Stratigraphische Sequenz«.

¹⁰⁴⁰ S. hierzu die entsprechenden Fundzusammenstellungen in Kapitel 4 »Quadrate A 5/6: Die Keramik der Perioden Troia IV und Troia V« und Kapitel 5 »Die Kleinfunde der Perioden Troia IV und V der Quadrate A 5/6«.

¹⁰⁴¹ Cf. Blum/Aslan 2005: 315–321; Blum *et al.* 2004: 212–213. S. in diesem Zusammenhang auch Schiffer 1976: 56–57; Schiffer 1985: 27, 31; Schiffer 1987: 90; Schiffer/Skibo 1997: 39; Binford 1983a: 241 u. Anm. 5; Binford 1983b: 266–267; Binford 1983c: 283–284; Binford 1989: 465–466; Sanders 1990: 43, 59, 71–72; Kent 1984: 2–3; Cameron 1992: 179–181; Cameron 1993: 3–5; Stevenson 1982: 241; Tomka/Stevenson 1993: 193; Deal 1985: 270; Daviau 1993: 29–33; Pfälzner 2001: 24–25, 38; Shott 1989: 288–289; Shott 1996: 260–269, 274; Reid 1973: 27–28; Montgomery 1993: 158, 162; Deal/Hagstrum 1995: 121.

giene, hinterlassen nur wenig bis keine klar zu fassende Spuren im Befundbild und entziehen sich der archäologischen Sichtbarkeit weitestgehend.¹⁰⁴²

Aufbauend auf den Resultaten der Aktivitätszonenanalyse kann durch die Einbeziehung weiterer architektonischer Parameter eine Bestimmung der Raumfunktion vorgenommen werden;¹⁰⁴³ bautechnische Eigenschaften, wie die Breite und Höhe von Türen und Durchgängen, können dabei ebenso zu den relevanten Einflußgrößen zählen wie die Art und Ausführung von Verputzen oder die Konsistenz von Fußböden und Begehungshorizonten. Letztere etwa zeigt an, ob eine Raumeinheit sehr häufig oder nur sporadisch frequentiert wurde,¹⁰⁴⁴ ob sie offen oder überdacht war, ob sie frei von Abfällen gehalten oder etwa als Stall genutzt wurde. Multifunktionale Gebäudeteile, in denen zeitgleich oder nacheinander, unter Umständen sogar im saisonalen Wechsel,¹⁰⁴⁵ mehrere unterschiedliche Aktivitäten stattfanden, sind dabei ebenso in Erwägung zu ziehen wie eine diachrone Variabilität der baulichen Struktur selbst: Erfüllt ein Raum zum Zeitpunkt seiner Errichtung noch alle in praktischer Hinsicht an ihn gestellten Ansprüche, so driften Zweckmäßigkeit und tatsächliche Erfordernisse mit zunehmendem Alter nicht selten auseinander; mit veränderten ökonomischen oder sozialen Anforderungen, wie etwa dem Anwachsen einer Familie durch Heirat oder Geburt,¹⁰⁴⁶ entstehen über kurz oder lang räumliche Anpassungszwänge, die – je nach Aufteilung und Dimension der betreffenden Einheit – bauliche Erweiterungen oder konstruktive Modifikationen erfordern.¹⁰⁴⁷ Im Falle der in Planquadrat A 5/6 dokumentierten Bauten kann angesichts einer relativen zeitlichen Konstanz verschiedener Grundbauelemente (z. B. Matrix-Nr. 042, 057, 074, 075; cf. Taf. 57)¹⁰⁴⁸ davon ausgegangen werden, daß derartige Adaptionen zumeist schrittweise erfolgten, seltener durch Abriß und Neubau; dort, wo die bereits bestehende Bausubstanz den Betriebsablauf nicht zu sehr hinderte, wurde sie übernommen, dort, wo sie angepaßt werden mußte, möglichst ohne allzu große Eingriffe verändert; die verhältnismäßig leichte Verarbeitbarkeit der bevorzugt verwendeten Grundbaustoffe Stein und Lehm begünstigte dabei maßgeblich die Bildung flexibler Planstrukturen und ermöglichte eine hohe konstruktive Variabilität und Effektivität der Raumnutzung. Da der Verlauf des Bauprozesses somit nicht mit der einmaligen Entstehung eines formal statischen Raumkomplexes abschloß, sind einmal entwickelte und dann konstant aufgegriffene Grundrißformen im Befundbild nicht zu erwarten.¹⁰⁴⁹

¹⁰⁴² Brooks/Yellen 1987: 70–71. Cf. Pfälzner 2001: 24–25.

¹⁰⁴³ Cf. Horne 1994: 176.

¹⁰⁴⁴ Allgemein dazu s. Schiffer 1983: 679; Schiffer 1985: 25; Schiffer 1987: 126–129, 268, 276; LaMotta/Schiffer 1999: 21; Rathje/Schiffer 1982: 123–124; Blum 2003: 238–248; McBrearty *et al.* 1998: 109–111; Villa 1982: 276, 278–285; Gifford 1978: 82; Courtin/Villa 1982: 122; Gifford-Gonzalez *et al.* 1985: 804; Olsen/Shipman 1988: 536–539. S. diesbezüglich auch Barton/Clark 1993: 47; Savelle 1984: 517–518.

¹⁰⁴⁵ S. hierzu Kent 1990a: 6; Kent 1990b: 128, 148–149; Kent 1984: 2, 65–66; Oswald 1987: 327; Layne 1987: 356–361; Horne 1994: 176–177; Daviau 1993: 22, 30.

¹⁰⁴⁶ Cf. Kramer 1982: 96–97; Horne 1993: 20; Pfälzner 2001: 25.

¹⁰⁴⁷ Dazu s. Kent 1990a: 2–3; Rapoport 1990: 11, 18; Horne 1994: 178–181, 184–186; Yakar 2000: 125; Snyder 2000: 179–183; Blum 2003: 27–28.

¹⁰⁴⁸ S. in diesem Zusammenhang Kapitel 3.2.2 »Befunde der Periode Troia IV« und Kapitel 3.2.3 »Befunde der Periode Troia V«.

¹⁰⁴⁹ Cf. Yakar 2000: 153–164; Horne 1994: 176–177.

Rückschlüsse auf dem übergeordnete Themenbereiche, wie etwa den gesellschaftlichen Status der Bewohner, deren Familienform und Haushaltsgröße oder den biologisch-sozialen und ökonomischen Entwicklungszyklus des Hauses, ergeben sich ausgehend vom materiellen Bestand der Quadrate A 5/6 im Grunde keine bzw. nur unter Vorbehalten, da deren Erschließung in noch weit stärkerem Maße als bei der Aktivitätszonen- und Raumfunktionsanalyse von einer vollständigen – im vorliegenden Fall jedoch nicht gewährleisteten – Erfassung einer Gebäudeeinheit abhängig ist. Lediglich im Hinblick auf eine Rekonstruktion der Wirtschaftsweise mögen sich, wenn auch gleichfalls eingeschränkt, anhand der in den jeweiligen Räumlichkeiten vergesellschafteten Funde und Einrichtungsobjekte verschiedene Anhaltspunkte ergeben. Auf handwerkliche Tätigkeiten, die innerhalb des Haus ausgeführt wurden, verweisen so etwa Rohmaterialien, Produktionsabfälle und ein Teil der geborgenen Geräte und Werkzeuge, darunter Spinnwirtel, Knochenspatulae und Metapodienspitzen, Stößel, Reib-, Schleif- und Poliersteine;¹⁰⁵⁰ als Hinweise auf außerhäusliche, speziell landwirtschaftlich orientierte Arbeiten dürfen in diesem Zusammenhang Fundstücke wie Hämmer und Beile verstanden werden ebenso wie im archäobotanischen Befund gegebenenfalls enthaltene Wild- und Kulturpflanzen;¹⁰⁵¹ die Bedeutung von Jagd, Fischfang und/oder Viehhaltung für die Ökonomie eines Haushalts erschließt sich über das quantitative Verhältnis zwischen Wild- und Haustierknochen pro Besiedlungsabschnitt.¹⁰⁵²

6.2.1 Kriterien der Identifikation von Fundvergesellschaftungen

Um auf Dauer ein Bestandteil des archäologischen Befunds zu werden, muß eine Einrichtung von ihren Benutzern verlassen werden. Unabhängig davon, ob es sich bei dieser um einen gesamten Stadt, ein Dorf, eine einzelne Struktur oder gar nur um eine räumlich eng begrenzte Aktivitätszone handelt, beeinflußt die Art und Weise, wie diese aufgelassen wird, maßgeblich die Erscheinungsform des späteren Befundbilds. Auch zwischen den in Kapitel 3.2.1.2 »Quadrate A 5/6: Stratigraphische Sequenz« für den hier zur Diskussion stehenden Grabungsbereich eingeführten Ablagerungskategorien (cf. Taf. 62) und den jeweiligen Ablagerungsursachen bestanden unmittelbare kausale Zusammenhänge. Diese äußerten sich sowohl in der Konsistenz des Materials selbst wie auch in der qualitativen und quantitativen Zusammensetzung der eingelagerten Fundobjekte.¹⁰⁵³ Letztere vermögen entscheidende Hinweise darauf zu liefern, ob eine archäologische Fundeinheit in primärer, d. h. ungestörter, originaler Lage angetroffen wurde, oder ob

¹⁰⁵⁰ Cf. Kapitel 5 »Die Kleinfunde der Perioden Troia IV und V der Quadrate A 5/6«.

¹⁰⁵¹ Cf. Riehl 2006: 297–298, 303–306.

¹⁰⁵² S. in diesem Zusammenhang etwa Uerpmann 2003: 257–259, 262; Uerpmann 2006: 292–293; Çakırlar 2009: 70–91.

¹⁰⁵³ Cf. Schiffer 1976: 56–57; Schiffer 1985: 27, 31; Schiffer 1987: 90; Schiffer/Skibo 1997: 39; Sanders 1990: 43, 59, 71–72; Kent 1984: 2–3; Binford 1983a: 241 u. Anm. 5; Binford 1983b: 266–267; Binford 1983c: 283–284; Binford 1989: 465–466; Cameron 1992: 179–181; Cameron 1993: 3–5; Stevenson 1982: 241; Tomka/Stevenson 1993: 193; Deal 1985: 270; Daviau 1993: 29–33; Pfälzner 2001: 24–25, 38; Shott 1989: 288–289; Shott 1996: 260–269, 274; Reid 1973: 27–28; Blum/Aslan 2005: 315–321; Blum *et al.* 2004: 212–213; Montgomery 1993: 158, 162; Deal/Hagstrum 1995: 121.

es sich bei dieser um einen sekundären, prädepositional verlagerten Komplex handelt oder gar um eine tertiäres, postdepositional umgelagertes Gefüge.¹⁰⁵⁴

Zur näheren Eingrenzung der verschiedenen möglichen Gattungen von Fundvergesellschaftungen wurde das jeweils assoziierte keramische Fundmaterial nach dem Grad seiner Zerschabung in sieben, der maximalen Flächenausdehnung der Einzelstücke entsprechend abgestufte Größenklassen unterteilt (cf. Taf. 119).¹⁰⁵⁵ Gefäßfragmente bis einschließlich 1 cm² wurden dabei Größenklasse A zugeordnet, diejenigen bis 4 cm² Größenklasse B. Auf die dritte Kategorie, Größenklasse C, entfallen Stücke bis 16 cm², während in Größenklasse D alle Exemplare mit einem Ausmaß von bis zu 36 cm² Aufnahme fanden. Größenklasse E, als dem nächst übergeordnete Einheit, beinhaltet keramische Bruchstücke bis 64 cm², solche bis maximal 100 cm² bilden Teil von Größenklasse F; Fragmente mit einer Ausdehnung von mehr als 100 cm² schließlich sind in Größenklasse G zusammengefaßt. Als »kleine« Scherben werden im folgenden Vertreter der Größenklassen A bis C angesprochen, diejenigen der Kategorien D bis G hingegen sollen allgemein für »große« Scherben stehen. Ausgehend von deren zahlenmäßigem Verhältnis innerhalb des keramischen Fundbestands einer Ablagerung wurden zusätzlich dazu die Gegensatzpaare »wenig – viel« sowie »zusammensetzbar – nicht zusammensetzbar« zur Beschreibung der Materialkomplexe herangezogen,¹⁰⁵⁶ Fundvergesellschaftungen dagegen, deren Scherbenmaterial zu weitestgehend kompletten Gefäßen zu ergänzen ist, wurden als »vollständig« eingestuft (Abb. 96). Mit in die Bewertung flossen zudem verschiedene Aspekte des allgemeinen Erhaltungszustands der Keramikfragmente ein, wie die Verrundung von Bruchkanten und/oder markante Abrassionserscheinungen im inneren und äußeren Oberflächenbereich,¹⁰⁵⁷ Verfärbungen durch nachträgliche Brandeinwirkungen oder sekundäre Ablagerungen auf den Außenseiten der Scherben, wie beispielsweise vergangene Algen, Moose etc. (cf. Taf. 120).

6.2.1.1 Aktives Nutzungsinventar

In selteneren, für die Rekonstruktion prähistorischer Lebensverhältnisse indessen besonders aussagekräftigen Fällen, wird ein Bauwerk noch im Verlauf seiner aktiven Nutzung durch externe Faktoren, wie etwa Erdbeben, vulkanische Aktivitäten, kriegerischen Auseinandersetzungen

¹⁰⁵⁴ Schiffer 1972: 156; Schiffer 1985: 19–24; LaMotta/Schiffer 1999: 19; LaMotta/Schiffer 2001: 41–47; Raab/Goodyear 1984: 258–263; Kosso 1991: 622–624; Deal/Hagstrum 1995: 119–120; Tschauner 1996: 8–9. Vgl. Binford 1962: 219; Binford 1964: 425; Binford 1967: 1–3.

¹⁰⁵⁵ Cf. Kapitel 4.1 »Methoden der Datenaufnahme und Auswertung«. S. hierzu auch die entsprechenden Zusammenstellungen im Appendix »Quadrate A 5/6: Erhaltungszustand der keramischen Inventare«.

¹⁰⁵⁶ Entsprechend Pfälzner 2001: 64.

¹⁰⁵⁷ Cf. Skibo *et al.* 1989: 103. »Microchipping is the removal of small chips by (hertzian) fracture. [...] edges and sharp curves in most ceramics are susceptible to microchipping by a host of abrasive processes. Flat or gently curved surfaces struck by abraders at high angles of incidence can also undergo microchipping. Fatigue and delamination take place in areas receiving repeated impacts. Lateral cracks from below the surface, probably at grain boundaries, and eventually the surface delaminates.« Ergänzend dazu s. Skibo *et al.* 1997: 311–315; Schiffer 1987: 128–129; Nielsen 1991: 493–494, 501; Bronitsky 1989: 589–592. Vgl. Bronitsky/Hamer 1986: 89–99; Feathers 1989: 579–587.

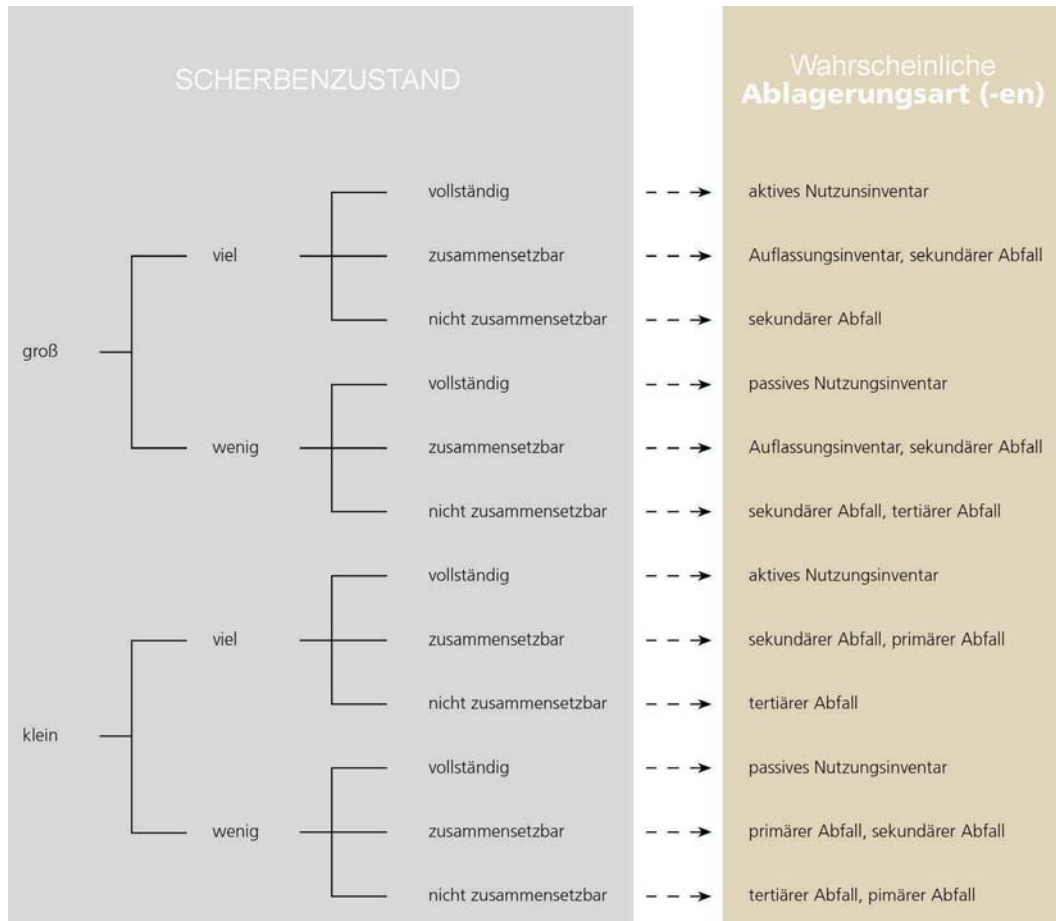


Abb. 96 Quadrate A 5/6, Kriterien der Gattungs- und Ursachenbestimmung von Ablagerungen (nach Pfälzner 2001: Abb. 24).

etc.,¹⁰⁵⁸ oder durch interne Ursachen, wie Gebäudebrand etc., abrupt zerstört.¹⁰⁵⁹ Als Konsequenz abrupt eintretender Ereignisse wird neben größeren Mengen verstürzten Baumaterials die Masse der sich zum Zeitpunkt innerhalb der betreffenden Raumeinheit befindlichen Objekte abgelagert, da den Bewohnern infolge einer plötzlichen strukturellen Auflösung des Baukörpers nicht ausreichend Zeit verbleibt, den gesamten mobilen Besitz zu sichern; lediglich Objekte, die sich durch einen besonderen persönlichen oder finanziellen Wert auszeichnen, werden beim Verlassen des Gebäudes in Eile hinausgetragen, während alle anderen Elemente des systemischen Inventars unmittelbar an demjenigen Ort zurückbleiben, an dem sie zuletzt benutzt, abgestellt oder aufbewahrt wurden. Je nach Ausmaß und äußeren Begleitumständen des Schandenfalls ist allerdings damit zu rechnen, daß auf solche Weise entstandene Fundvergesellschaftungen gegebenenfalls in ihrer quantitativen und qualitativen Zusammensetzung substantiell reduziert wer-

¹⁰⁵⁸ Schiffer 1987: 231–255.

¹⁰⁵⁹ Im Normalfall ist jedoch nicht die gesamte konstruktive Substanz eines Gebäudes von einer Zerstörung betroffen; zumeist steht wenigstens noch ein Teil des aufgehenden Mauerwerks an, dessen weiterer Verfall dann unmittelbar im Anschluß an die vorausgehende Destruktion einsetzt.

den können, z. B. dann, wenn die ehemaligen Bewohner oder andere Personen versuchen, hochwertiger oder weiterhin benutzbare Objekte aus den Trümmern zu bergen;¹⁰⁶⁰ falls die angefallenen Schuttmassen jedoch zu mächtig sein sollten oder andere Umstände einen späteren Zugriff unmöglich machen sollten, bleibt das verschüttete Inventar durch direkte anthropogene Einflüsse im wesentlichen unbeeinträchtigt.¹⁰⁶¹

Im Zuge katastrophischer Ereignisse entstandene Inventare zeichnen sich vor allem durch eine große inhaltliche Geschlossenheit aus, darüber hinaus ist insbesondere bei Artefakten fragiler Warengattungen mit einer größtmöglichen Vollständigkeit zu rechnen.¹⁰⁶² So kann etwa anhand der spezifischen Verteilung der Einzelfragmente eines Keramikgefäßes nicht nur dessen ursprünglicher Standort mit relativer Genauigkeit lokalisiert werden, sondern auch, ob dieses gegebenenfalls bereits vor der Zerstörung des Gebäudes beschädigt bzw. unvollständig war oder ob es erst bei dessen Einsturz zerbrochen wurde. Überdies finden sich in den horizontalen und gegebenenfalls vertikalen Streuungsmustern der Scherben unmittelbar Hinweise auf die Art und den Verlauf der strukturellen Auflösung des Bauswerks; ob ein Raum bzw. das in diesem enthaltene Inventar im Anschluß an die endgültige Gebäudedestruktion durch ehemalige Bewohner oder etwaige Plünderer nach verwertbaren Dingen durchsucht wurde, ist beispielsweise dann erkennbar, wenn die Fragmente eines Gefäßes über einen weiteren Bereich verteilt sind, als dies die natürliche Streuung der Scherben unter normalen Voraussetzungen bewirkt haben kann. Hinzu kommt, daß sich in der Fundlage bzw. der räumlichen Relation der einzelnen Bestandteile eines Fundensembles zueinander zumindest teilweise der ursprünglich systemische, funktionale Kontext der vergesellschafteten Objekte widerspiegelt.¹⁰⁶³ Dazu gehört, daß diejenigen Gegenstände, die bei derselben Aktivität benötigt werden, zusammen gefunden werden, oder aber, daß eine enge räumliche Verbindung zwischen ortsfesten Installationen einerseits und den jeweils zugehörigen mobilen Gebrauchsgütern andererseits besteht, wie etwa im Falle von Reib- und Läufersteinen.¹⁰⁶⁴ Neben einer rekonstruierbaren Nutzbarkeit der betreffenden Funde ist ebenfalls der spezifische Materialumfang, d. h. die Menge und die Variabilität der demselben Befundkontext zuweisbaren Gegenstände ein wesentlicher Aspekt bei der Identifikation eines aktiven Rauminventars. In Räumen, die noch bis zum Zeitpunkt ihrer plötzlichen Zerstörung in Benutzung waren, ist somit – sofern diese nicht ausschließlich monofunktional verwendet wurden – eine Vergesellschaftung vieler unterschiedlicher Gegenstände, die entsprechend als typisch für die jeweilige lebende Kultur gelten können, zu erwarten. Unter diesen befinden sich –

¹⁰⁶⁰ Kramer 1982: 94–95; Newell 1987: 142, 149; Schlanger/Wilshusen 1993: 91–92.

¹⁰⁶¹ Schiffer 1987: 99–120.

¹⁰⁶² Cf. Schiffer 1985: 21. Das Fehlen einzelner Gefäßfragmente muß jedoch nicht notwendigerweise gegen die Annahme einer abrupten Zerstörung eines Gebäudes sprechen. So kann der Verlust einiger Scherben gegebenenfalls auch das Resultat zahlreicher natürlicher bzw. anthropogen bedingter, postdepositionaler Faktoren sein (allg. dazu siehe Schiffer 1987: 25–261; Wood/Johnson 1978: 315–370), oder aber das Ergebnis einer unvollständigen archäologischen Bergung. Hinzu kommt, daß Gefäßteile, wie etwa Töpfe oder Krüge mit beschädigter oder abgebrochener Randzone, nicht selten im Rahmen von Wiederverwendungsprozessen als Behältnisse für verschiedene Inhalte genutzt werden und somit noch über einen längeren Zeitraum einen festen Bestandteil des aktiv genutzten, systemischen Rauminventars bilden (s. hierzu etwa Blum 2003: 212 u. Abb. 271; Lightfoot 1993: 169).

¹⁰⁶³ Schiffer 1976: 149–152, 178–185.

¹⁰⁶⁴ Cf. Schiffer/Miller 1999: 24–25, 78, 109; Pfälzner 2001: 16, 24.

bisweilen mit einem für archäologischen Fundvergesellschaftungen vergleichsweise hohen prozentualen Anteil am Gesamtfundaufkommen – auch Objekte mit einer spezifisch geringen Abfallrate, d. h. besonders dauerhafte Artefakte, die nicht den alltagsüblichen Abfall- und Abfallbeseitigungsprozessen unterliegen bzw. wegen ihrer relativ geringen Zerbrechlichkeit und/oder ihres hohen materiellen, funktionalen oder etwa ideellen Werts entweder lange benutzt oder aufbewahrt werden;¹⁰⁶⁵ hierzu zählen in erster Linie Reib- und Mahlsteine, Werkzeuge aus Metall und Stein, Schmuck aus kostbaren Werkstoffen etc.

Von zentraler Bedeutung für die Bestimmung und Beurteilung einer infolge plötzlicher Ereignisse entstandenen Fundvergesellschaftung ist, daß die Begehungsfläche des jeweils zur Diskussion stehenden Aktivitätsbereichs frei von größeren Abfallstoffen angetroffen wird; denn während des tatsächlichen Nutzungszeitraums eines Gebäudes werden häufig frequentierte Raumzonen von allem während der Verrichtung alltäglicher Aktivitäten anfallenden Unrat durch regelmäßiges Kehren freigehalten, und eine spätere Einbringung von Abfallstoffen in den Raum ohne erkennbare strukturelle Störung des primären Zerstörungsbefundes ist im Grunde unmöglich. Die im Laufe der aktiven Nutzungsphase einer Wohn-, Lager- oder Produktionseinrichtung auftretenden Akkumulationsprozesse resultieren im wesentlichen aus Aktivitäten, die primär mit der Instandhaltung des betreffenden Gebäudes selbst oder dem Unterhalt der sie benutzenden Haus- bzw. Lebensgemeinschaft verbunden sind. Nahezu alle Gebrauchsgegenstände durchlaufen dabei im Anschluß an ihre Fertigung einen zeitlich begrenzten Lebens- bzw. Nutzungszyklus, der in aller Regel mit der Entsorgung, zumeist infolge von Unbrauchbarkeit durch Abnutzung oder Bruch, abschließt.¹⁰⁶⁶ Nach welcher Zeit ein Objekt als Abfallstoff in den archäologischen Kontext überführt wird, ist je nach Artefaktkategorie verschieden und in erster Linie von der Haltbarkeit des verwendeten Werkstoffs, d. h. dessen Resistenz vor allem gegenüber mechanischer Beanspruchung, sowie von der Intensität und Häufigkeit der Verwendung des Gegenstands abhängig. Der in Haushaltsaktivitätszonen unter alltagsüblichen Umständen anfallende Abfall setzt sich vorwiegend aus den bei der Zubereitung von Lebensmitteln anfallenden organischen Resten, kleinen anorganischen Elementen, wie etwa Keramikscherben, sowie verschiedenen Arten von Werkabfällen zusammen.¹⁰⁶⁷ In ihrer Gesamtheit und Anlagensystematik sind derartige, zunächst als primäre Abfälle entstandenen Fundvergesellschaftungen jedoch nur von relativ kurzem zeitlichen Bestand, auch enden nur verhältnismäßig wenige Gegenstände überhaupt auf diese Weise.¹⁰⁶⁸ So gelangt ein nicht unwesentlicher Teil der – vorwiegend kleineren – Hausabfälle im Rahmen von Reinigungsaktivitäten in Form sekundärer Depositionen in den »Kehrichtbereich« des Gebäudes, der bereits unmittelbar im oder vor dem Eingangsbereich einer Raumstruktur angesiedelt sein kann; Gegenstände, die dadurch, daß sie über einen längeren Zeitraum im Bereich einer der am häufigsten frequentierten Gebäudeteile

¹⁰⁶⁵ Schiffer 1976: 45–46, 58; Murray 1980: 492; Stevenson 1991: 273–276, 278.

¹⁰⁶⁶ Dazu s. Schiffer 1975: 839–841; Schiffer 1976: 27–52; Schiffer 1983: 678–696; Schiffer 1987: 25–262. Cf. Deal 1998: 91–96; Arnold 1991: 72–79; Lightfoot 1993: 170–108; Skibo 1992: 53–54.

¹⁰⁶⁷ Cf. Hayden/Cannon 1983: 126; Blum 2003: 198–199; Wilson 1994: 47–51; Schiffer 1987: 66; Binford 1984: 249–250; Carr 1991: 230–232. Cf. Needham/Spence 1997: 82–84; Gould 1971, 164–166.

¹⁰⁶⁸ S. in diesem Zusammenhang Murray 1980: 492, 494; Hayden/Cannon 1983: 119–120, 126.

lagerten, können deutliche Spuren begehungsbedingter Abnutzung aufweisen.¹⁰⁶⁹ Größere Objekte, die den innerräumlichen Arbeitsablauf möglicherweise einschränken oder solche, die entsprechend ihrer physischen Merkmale als gefährlich eingestuft werden, wie etwa Knochen splitter oder besonders scharfkantige Keramik- und Steinfragmente, können entlang von Verkehrswegen, die die betreffende räumliche Raumstruktur umgeben, oder in ungenutzten Siedlungsbereichen entsorgt werden;¹⁰⁷⁰ unvermischte Küchenabfälle werden dagegen nicht selten zur Verfütterung oder zu Düngezwecken eingesetzt,¹⁰⁷¹ während Ofen- und Herdasche häufig in passiven, d. h. nicht ständig oder nur wenig intensiv genutzten Bereichen, wie etwa den Randzonen von Innenhöfen oder Verkehrswegen, deponiert wird.¹⁰⁷² Von maßgeblicher Bedeutung ist in jedem Fall, daß sich innerhalb – und gegebenenfalls auch außerhalb – von Gebäuden mit steigender Dauer und Intensität der Nutzung das quantitative und qualitative Verhältnis zwischen primären und sekundären Abfällen zunehmend zugunsten der letztgenannten verschiebt;¹⁰⁷³ die im Bereich einer Fundstellenoberfläche deponierten Objekte sind aufgrund der räumlichen Verlagerung vom Ort ihrer Entstehung bzw. des eigentlichen Gebrauchs somit nur in Ausnahmefällen dazu in der Lage, die genaue Position der verschiedenen Tätigkeitsbereiche direkt wiederzugeben oder die Art der hier ausgeführten Aktivitäten in Form eines »*fos-sil record*« zu reflektieren.¹⁰⁷⁴

In mehrphasigen Siedlungsanlagen wie Troia ist ein aktives Nutzungsinventar zudem in Verbindung mit größeren Mengen verstürzten Baumaterials oder Brandschutt zu erwarten, so daß die einen derartigen Fundkomplex stratigraphisch unmittelbar überlagernde, in ihrer Entstehung auf ein mehr oder minder plötzliches Ereignis zurückgehende Matrix als ergänzendes Kriterium der Identifikation herangezogen werden kann.¹⁰⁷⁵ Hierbei ist zwar mit einer deutlich Konzentration der Einzelfunde direkt auf der Oberfläche des Raumbodens zu rechnen, jedoch stellt eine solche keine unabdinge Grundvoraussetzung für die Bestimmung eines aktiven Nutzungsinventars dar: Gegenstände etwa, die in Wandregalen untergebracht, auf erhöhten Einrichtungselementen abgelegt oder an den Wänden aufgehängt waren, können ebenso wie Objekte, die sich zum Zeitpunkt des Einsturzes im Obergeschoß eines Hauses befanden oder auf

¹⁰⁶⁹ S. hierzu Schiffer 1972: 161; Schiffer 1976: 30–31, 67–71, 129–139; Schiffer 1983: 684–686; Schiffer 1985: 29; Schiffer 1987: 59–62; Schiffer 1995b: 56; LaMotta/Schiffer 1999: 21. S. diesbezüglich auch Kent 1984: 169–171; Rosen 1986: 92–114; Metcalfe/Heath 1990: 794; Stein 1987: 351; Ault/Nevett 1999: 48–49; Joyce/Johannessen 1993: 138–139; Tomka 1993: 21; Bartram *et al.* 1991: 98, 136, 141; McManamon 1984: 228–234; Needham/Spence 1997: 77 u. Tab. 1; Wilson 1994: 43–45. Cf. Murray 1980: 494; Rothschild *et al.* 1993: 131–132.

¹⁰⁷⁰ Hayden/Cannon 1983: 119–126; Schiffer 1987: 64–67; LaMotta/Schiffer 1999: 21; Hitchcock 1987: 416; Dittmore 1983: 257; Wilson 1994: 47–48. Cf. Rathje/Murphy 2001: 38, 204–205; Kramer 1979: 149; South 1978: 226; Joyce/Johannessen 1993: 139.

¹⁰⁷¹ Schiffer 1987: 66; Alexander 1999: 84; McKee 1999: 36. Cf. Hoffman 1974: 43–44.

¹⁰⁷² S. hierzu Dittmore 1983: 256–257; Hayden/Cannon 1983: 130; Kramer 1982: 29, 89. Cf. Schiffer 1983: 684; Schiffer 1985: 25; Kramer 1982: 88; O'Connell *et al.* 1991: 67; Bartram *et al.* 1991: 97, 106–107, 127, 136 u. Fig. 9–10.

¹⁰⁷³ Schiffer 1972: 162.

¹⁰⁷⁴ Cf. Binford 1962: 219; Binford 1964: 425; Binford 1967: 1–3. Vgl. Schiffer 1972: 156; Schiffer 1985: 19–24; LaMotta/Schiffer 1999: 19; LaMotta/Schiffer 2001: 41–47; Raab/Goodyear 1984: 258–263; Kosso 1991: 622–624; Deal/Hagstrum 1995: 119–120; Tschauner 1996: 8–9.

¹⁰⁷⁵ Cf. Pfälzner 2001: 52.

¹⁰⁷⁶ Schiffer 1987: 33.

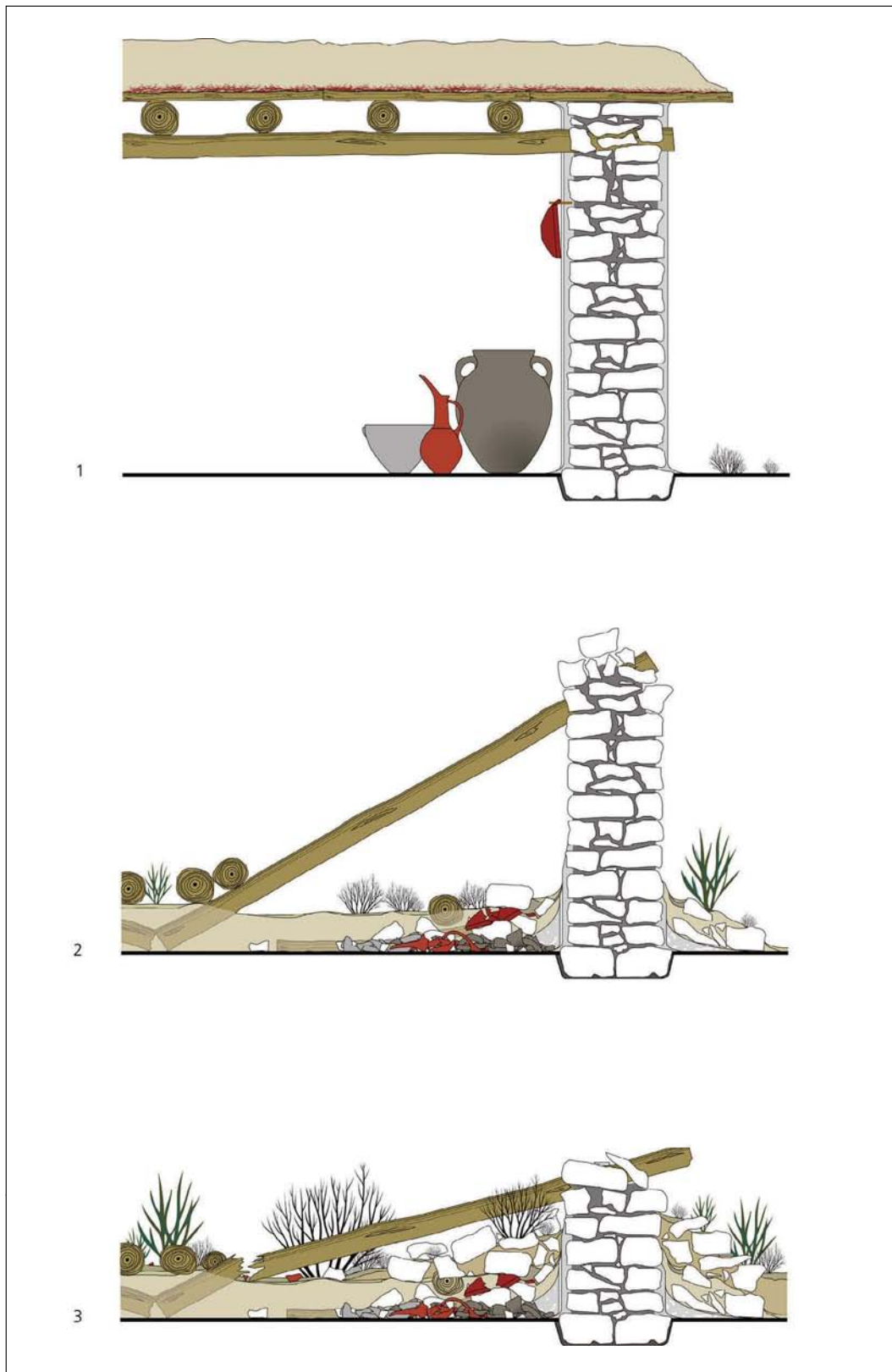


Abb. 97
Schematische Darstellung
des Zerfalls von
Flachdachbauten.

dessen Dach standen (*cf.* Abb. 97.1–3),¹⁰⁷⁶ im Falle einer abrupten Verkippung von Gebäudeteilen auf bereits zuvor in das Rauminnere eingebrochene und direkt auf den Fußboden gestürzte Dach- und Mauerteile fallen und so, obwohl sie ursprünglich Bestandteil ein und derselben kontemporären Ausstattung bildeten, stratigraphisch voneinander getrennt abgelagert aufgefunden werden.

6.2.1.2 Auflassungsinventar

Die zweite Art des Nutzungsendes eines Bauwerks ist die Auflassung; diese setzt eine bewußte Entscheidung der Bewohner voraus und kann sich gegebenenfalls auch über einen längeren Zeitraum erstrecken.¹⁰⁷⁷ Sobald sich eine Hausgemeinschaft dazu entschließt, die von ihr genutzten Gebäude und Einrichtungen in absehbarer Zeit zu verlassen, wird der Standard der Raumhygiene für gewöhnlich nachhaltig eingeschränkt und auf das unbedingt Notwendige reduziert.¹⁰⁷⁸ Bereits in unmittelbarem Anschluß an die Beschlußfassung ist daher ein signifikanter Anstieg von im Rauminnere abgelagerter primärer und sekundärer Abfallstoffe zu erwarten; der anfallende Unrat wird nicht mehr wie zuvor regelmäßig beseitigt, sondern entweder direkt am Ort seiner Entstehung beläßt oder nur mehr im Rahmen sporadisch durchgeführter Reinigungsaktionen in weniger häufig genutzte Raumzonen verlagert, so daß in einer solchen Situation eine größere Menge Abfall als sonst üblich oder Abfall an eher ungewöhnlichen Stellen innerhalb der jeweiligen Räume anzutreffen sind.¹⁰⁷⁹ Eine systematische Anreicherung dieses »Auflassungsmülls«¹⁰⁸⁰ erfolgt vorzugsweise im Bereich von Raumecken, an und unter ortsfesten Einrichtungsgegenständen sowie überall dort, wo er den Tagesablauf nicht grundlegend behindert. Die qualitative und quantitative Struktur innerräumlicher Depositionszonen ist dabei, abgesehen von den physischen Eigenschaften der beseitigten Objekte selbst, in jedem Fall von der Dauer der Auflassungsphase abhängig, die je nach Gebäude- und Raumeinheit individuell verschieden sein kann, sowie von der spezifischen Nutzung der betreffenden Raumzellen und deren Entfernung zur nächstgelegenen Müllhalde.¹⁰⁸¹

Bei der – planmäßig durchgeführten – Auflassung eines Gebäudes werden im allgemeinen all diejenigen Gegenstände mitgenommen, deren materieller, funktionaler oder ideeller Wert die entstehenden Transportaufwendungen übertrifft.¹⁰⁸² Die Wahrscheinlichkeit, daß ein in-

¹⁰⁷⁷ Schiffer 1985: 25; LaMotta/Schiffer 1999: 22–24; Nelson 2000: 52–61; Blum 2003: 216.

¹⁰⁷⁸ Siehe in diesem Zusammenhang besonders Schiffer 1976: 33–34; Schiffer 1985: 25; LaMotta/Schiffer 1999: 22–24; Joyce/Johannessen 1993: 138; Cameron 1991: 157; Cameron 1993: 4–5; Stevenson 1982: 241–261; Stevenson 1985: 64; Stevenson 1991: 279, 282–283; Deal 1985: 264–268.

¹⁰⁷⁹ *Cf.* Schiffer 1987: 97–98.

¹⁰⁸⁰ Seymour/Schiffer 1987: 553.

¹⁰⁸¹ Schiffer 1985: 25. *Cf.* Seymour/Schiffer 1987: 551; Schiffer *et al.* 1981: 78; Joyce/Johannessen 1993: 139; Hayden/Cannon 1983: 156; Blum 2003: 217; Stevenson 1982: 252.

¹⁰⁸² Grundsätzlich dazu Schiffer 1987: 90. *Cf.* Schiffer 1976: 56–57; Schiffer/Skibo 1997: 39; Binford 1983a: 241 Anm. 5; Binford 1983b: 266–267; Binford 1983c: 283–284; Binford 1989: 465–466; Cameron 1992: 179–181; Cameron 1993: 3–5; Tomka/Stevenson 1993: 193; Shott 1989: 288–289; Shott 1996: 260–269, 274; Blum 2005: 87–90; Reid 1973: 27–28; Montgomery 1993: 158, 162; Deal/Hagstrum 1995: 121.

takter und/oder recyclingfähiger Haushaltsgegenstand innerhalb eines Gebäudes zurückbleibt, d. h. nicht formell entsorgt wird, hängt in erster Linie von dessen zukünftigem Gebrauchswert, dem Neuanschaffungspreis sowie der anhand des Gewichts und dem spezifischen Raumvolumen ermittelten Transportfähigkeit bzw. dem Ladevolumen der zur Verfügung stehenden Verkehrsmittel ab;¹⁰⁸³ aufgelassene Häuser und Wohnkomplexe werden daher zum Teil auch mehrfach von ihren Eigentümern aufgesucht, um zunächst am Ort zurückgelassene Objekte abzutransportieren.

Der Wirkungsweise der verschiedenen Selektionsmechanismen entsprechend, umfassen Auflassungsinventare weder zahlreiche Halbfabrikate noch viele neuwertige Dinge,¹⁰⁸⁴ sondern in der Hauptsache Objekte, die entweder typische abfallspezifische Merkmale aufweisen, wie beispielsweise starke Abnutzung, Verschmutzung, Reparaturfähigkeit etc., oder infolge ihrer charakteristischen physischen und funktionalen Eigenschaften für eine weitere Nutzung für ungeeignet betrachtet werden.¹⁰⁸⁵ Bei einer Rekonstruktion der in einem Auflassungsinventar enthaltenen Gefäße und anderer Gebrauchsgegenstände sind demzufolge entweder keine oder nur sehr wenige vollständige oder noch benutzbare Objekte zu erwarten, allerdings ist auch nicht überwiegend mit Einzelbruchstücken zu rechnen, sondern mit einem vergleichsweise hohen Anteil von großen Fragmenten und Scherben, die sich zu unvollständigen Gefäßteilen ergänzen lassen. Da im Falle einer nicht geplanten Rückkehr ausgesonderte Gegenstände zumeist achtlos und ungeordnet auf den Begehungsflächen der aufgelassenen und dann nach und nach verfallenden Räumen zurück- bzw. liegengelassen werden, ist für einen wesentlichen Teil der Elemente eines Auflassungsinventars vorrangig mit einer Fundlage auf dem Fußboden zu rechnen. Entsprechend ihrer Entstehung, Inhalt und Struktur stellen Auflassungsinventare damit eine Zwischenform zwischen aktivem Inventar und Abfall dar; die in einem aufgelassenen Haus verbleibenden Gegenstände sind ein stark reduzierter Teil einer ehemaligen systemischen Raumausstattung und lassen zuweilen auf einen Teil der ehemals in einem Haus ausgeführten Aktivitäten schließen; archäologische Fundvergesellschaftungen, die sich mehrheitlich aus besonders sperrigen, zerbrochenen oder unsystematisch verteilten Artefakten zusammensetzen, sind demnach unter keinen Umständen repräsentativ.¹⁰⁸⁶ Auch die räumliche Verteilung der einzelnen Objekte innerhalb eines Gebäudes kann – zumindest in ungestörten Zustand – noch bis zu einem gewissen Grad den systemischen Kontext der ehemaligen Benutzung widerspiegeln,¹⁰⁸⁷ da meist

¹⁰⁸³ Auf die Neuanschaffung oder Reparatur der während des Auflassungszeitraums zerbrochenen oder gebrauchsunfähig gewordenen Gegenstände wird im allgemeinen verzichtet. Unabhängig davon, ob es sich bei den betroffenen Objekten um einfache Werkzeuge, Koch- oder Eßgeschirr usw. handelt, wird eher versucht, den entstandenen Verlust durch die Nutzung entsprechender bereits in der Basisausstattung des Haushalts enthaltener Gebrauchsgegenstände – häufig handelt es sich dabei um ältere Funktionsträger, deren weiteren Gebrauch man im Grunde nicht mehr beabsichtigt – oder durch Leihgaben von anderen Bewohnern adäquat zu kompensieren: Schiffer 1985: 27; Blum 2003: 218. S. hierzu auch Tomka 1993: 16, 21–22; Schiffer 1985: 26; Schiffer 1987: 94; Cameron 1991: 172. Cf. Kent 1993a: 58, 68.

¹⁰⁸⁴ Schiffer 1985: 31; Stevenson 1982: 241; Deal 1985: 270.

¹⁰⁸⁵ Cf. Schiffer 1972: 160; Schiffer 1973: 60; Stevenson 1982: 241; Tomka 1993: 15.

¹⁰⁸⁶ S. in diesem Zusammenhang etwa Stevenson 1982: 241–246, 255–260; Dibble *et al.* 1997: 642–647; Diehl 1998: 617–618, 620–622.

¹⁰⁸⁷ Metcalfe/Heath 1990: 781–794; Schiffer 1976: 150, 184–185; Schiffer 1985: 18, 23.

nur wenig Mühe darauf verwendet wird, die Gegenstände während des Verlassens zu ordnen oder an einem speziellen Ort zu deponieren.¹⁰⁸⁸

Der Lebenszyklus aufgelassener Gebäude endet jedoch nur in Ausnahmefall mit einem Verlassen durch die Bewohner; postdepositionale Formationsprozesse können – in Form von Anthropurbationen oder natürlicher Effekte – störend oder verändernd auf bestehende Ablagerungen einwirken. Bei frei zugänglichen Hausplätzen setzt so z. B. nicht selten eine starke »Plünderung« verwertbarer Teile ein. Dabei werden sowohl bewegliche Objekte wie gegebenenfalls auch Bauteile ihrem ursprünglichen Kontext entnommen und zur Wiederverwendung an einen anderen Ort abtransportiert.¹⁰⁸⁹ Diese Art der Materialentnahme reduziert den Artefaktbestand aufgelassener Bauwerke zumeist recht gleichmäßig, unabhängig von dem ursprünglich zurückgelassenen Inventar.¹⁰⁹⁰ Nicht selten werden einzelne Gebäudeteile oder gesamte Bauten im Anschluß an die eigentliche Nutzung als private oder kommunale Müllkippe verwendet, und dies vor allem dann, wenn sich die betreffende Struktur innerhalb eines räumlich nicht abgegrenzten Areals befindet, das von seinen ursprünglichen Besitzern nicht mehr genutzt wird.¹⁰⁹¹ Die neu hinzukommenden Gegenstände variieren dabei den innerhalb der verschiedenen Raumsegmente bereits vorhandenen Artefaktbestand sowohl in quantitativer wie auch qualitativer Hinsicht meist beträchtlich und sind unter Anwendung formaler oder struktureller Kriterien nicht notwendigerweise von bereits bestehenden, älteren Ablagerungen zu trennen. Sofern eine klare Differenzierung auf stratigraphischer Basis nicht zu erzielen ist, gelingt eine Unterscheidung oft nur dann, wenn die in den neu hinzugekommenen Akkumulationen enthaltenen Stücke charakteristische Merkmale aufweisen, anhand derer sie als nachträglich umgelagert ausgewiesen werden können; bei besonders kleinformatigen und im Bereich der äußeren Bruchzonen stark abrazierten Keramikfragmenten etwa kann davon ausgegangen werden, daß es sich bei diesen um tertiäre, d. h. postdepositional umgelagerte Abfälle handelt.¹⁰⁹²

6.2.1.3 Passives Nutzungsinventar

Passive Nutzungsinventare gehen in ihrer Entstehung vorwiegend auf plötzlich auftretende, im weitesten katastrophische Geschehnisse zurück, seltener auf Formationsprozesse mit sukzessiver Befundbildung. In jedem Fall jedoch war das Gebäude zum Zeitpunkt seiner Zerstörung

¹⁰⁸⁸ Eine generelle Ausnahme bilden in diesem Zusammenhang sogenannte *abandonment caches*, d. h. auf verhältnismäßig engem Raum – meist an einem vor Witterungseinflüssen adäquat geschützten Ort – konzentrierte »Lager«, an denen hauptsächlich solche Gegenstände aufbewahrt werden, die entweder zu einem späteren Zeitpunkt abtransportiert oder in irgendeiner Form wiederverwendet werden sollen: Schiffer 1985: 22, 24; Schiffer 1987: 92–93; Blum 2003: 226 u. Abb. 278–282; Lightfoot 1993: 166.

¹⁰⁸⁹ Schiffer 1987: 114; Newell 1987: 142, 149; Lightfoot 1993: 174.

¹⁰⁹⁰ S. hierzu etwa Newell 1987: 149. Im Falle der Wiederverwendung eines zunächst vollständig aus der Nutzung genommenen Altbaus werden die sich in den Räumen befindlichen Gegenstände entsprechend ihrem verbleibendem Gebrauchswert entweder an andere, nur selten frequentierte Orte verlagert, um für eine zukünftige Verwendung auch weiterhin zur Verfügung zu stehen, oder aber endgültig entsorgt (Hayden/Cannon 1983: 131–140; Pfälzner 2001: 41–42).

¹⁰⁹¹ Deal 1985: 271; Rosen 1986: 92–93; Seymour/Schiffer 1987: 554.

¹⁰⁹² Scarborough 1989: 415; Nielsen 1991: 493–494, 501 u. Fig. 3.

vorübergehend aus der aktiven Nutzung genommen und von seinen Bewohnern verlassen worden; periodische Nutzungsunterbrechungen treten etwa bei Haushalten auf, deren ökonomische Basis auf einer aus Landwirtschaft und Viehzucht kombinierten Subsistenzwirtschaft gründet, die eine temporäre oder saisonale Abwesenheit verlangt. Zurückgelassen werden Gegenstände, die eine temporäre oder saisonale Abwesenheit verlangt. Zurückgelassen werden Gegenstände, die entweder bei der Tätigkeit an einem anderen Ort nicht zum Einsatz kommen¹⁰⁹³ oder infolge ihres Gewichts und ihrer Größe für einen Transport ungeeignet sind, jedoch nach der beabsichtigten Rückkehr wiederverwendet werden sollen; derartige in ihrer Struktur als *de facto refuse*¹⁰⁹⁴ angelegte passive Inventare umfassen lediglich einen den jeweiligen aktivitätsspezifischen und jahreszeitlichen Rahmenbedingungen entsprechend angepaßten Teil der ursprünglichen Raumausstattung und sind – trotz eines vergleichsweise hohen Anteils an intakten, gebrauchsfähigen Gefäßen, Werkzeugen, Geräten etc.¹⁰⁹⁵ – somit in inhaltlicher Hinsicht nur bedingt für diese repräsentativ.¹⁰⁹⁶

In selteneren Fällen werden die zum Verbleib bestimmten Gegenstände unmittelbar am Ort ihres primären Einsatzbereichs zurückgelassen, wodurch die einzelnen Raumsegmente hinreichend als Küche, Schlaf- oder Wohnzimmer, Lagerraum oder Werkstatt etc. charakterisiert werden.¹⁰⁹⁷ Weit häufiger jedoch werden die beweglichen Güter während der Abwesenheit der Bewohner in einem oder wenigen Gebäudeteilen zusammengeführt, um diese gegen Witterungseinflüsse und, sofern die als Lagerstätte bestimmten Räumlichkeiten gut zu verschließen sind, gegen unerwünschten Zugriff von außen zu schützen.¹⁰⁹⁸ Anders als bei den aktiven Nutzungsinventaren sind hier daher deutliche Fundkonzentrationen in nur wenigen Raumbereichen zu erwarten, während andere Gebäudeteile nahezu leer und ungenutzt sind. Die funktionale und räumliche Anordnung der Gegenstände in einem passiven Inventar weicht dadurch meist erheblich von derjenigen derselben Objekte zum Zeitpunkt der tatsächlichen Nutzung ab;¹⁰⁹⁹ die fehlenden systemischen Zusammenhänge sind häufig nur durch eine inhaltliche Betrachtung der in den jeweiligen Fundvergesellschaftungen enthaltenen Dinge untereinander zu erschließen oder anhand deren funktionaler Beziehung zu den häuslichen Installationen.

¹⁰⁹³ Cf. Gould 1980: 71–72; Schiffer 1985: 26.

¹⁰⁹⁴ Die Bezeichnung »temporary de facto refuse« bzw. »appliances« wäre in diesem Fall daher vorzuziehen, wie Gould 1980: 71–72, oder »site furniture«, wie Binford 1978: 348. Vgl. Schiffer 1987: 4; Binford 1983a: 237, 239; Binford 1983c: 271–272, 276, 278–279, 281. Vgl. Sommer 1991: 88, 105.

¹⁰⁹⁵ Allgemein dazu s. Stevenson 1982: 241–246, 252–255; Tomka/Stevenson 1993: 192–193; Rothschild *et al.* 1993: 123; Joyce/Johannessen 1993: 139, 149, 151; Cameron 1993: 3–4; Graham 1993: 39; Binford 1983c: 256–257; Tomka 1993: 11, 21; Brooks/Yellen 1987: 81; Lightfoot 1993: 166; Blum 2003: 228. Cf. Schlanger/Wilshusen 1993: 90; Kent 1993a: 67. Cf. Schiffer 1985: 26.

¹⁰⁹⁶ S. hierzu vor allem Stevenson 1982: 252. Cf. Blum 2003: 228–229; Pfälzner 2001: 47–49. Hinsichtlich ihrer Zusammensetzung bilden als *de facto refuse* hinterlassene Objektvergesellschaftungen keine in sich geschlossene statische Einheiten, sondern unterliegen dadurch, daß sie im Rahmen der im zyklischen Rhythmus erfolgenden Nutzung des Gebäudes teilweise durch neu hinzukommende Gegenstände, die im Anschluß an den Aufenthalt auch im Gebäude verbleiben, ergänzt bzw. durch gebrauchsbefindete Mechanismen, wie beispielsweise starke Abnutzung, Fragmentation usw., reduziert werden, einer kontinuierlichen strukturellen Variation: Graham 1993: 33; Blum 2003: 228–229; Schlanger/Wilshusen 1993: 90.

¹⁰⁹⁷ S. dazu Schiffer 1985: 22.

¹⁰⁹⁸ S. hierzu auch Pfälzner 2001: 52–53; Sommer 1991: 106; Blum 2003: 230 u. Abb. 284–290.

¹⁰⁹⁹ Cf. Pfälzner 2001: 47–49.

6.2.1.4 Primärer Abfall

Primärer Abfall bezeichnet für eine weitere Nutzung ungeeignete Gegenstände und Materialreste, die am Ort derjenigen Tätigkeit, bei der sie zuletzt verwendet wurden oder anfielen, formlos zurückgelassen werden.¹¹⁰⁰ Hierzu können abgenutzte Reib- und Läufersteine, unbrauchbar gewordene Gußformen oder andere zerbrochene Geräte zählen, die in der entsprechenden Aktivitätszone liegen blieben, ebenso wie die Fragmente von an der Stelle ihres späteren Fundorts zerbrochenen Keramikgefäßen, Metallrückstände am Ort des Gießens und Schmiedens, Schlacht- und Küchenabfälle an der Stelle der Nahrungszubereitung oder Speisereste am Platz der Nahrungsaufnahme.

In seiner Entstehung geht primärer Abfall größtenteils auf Tätigkeiten zurück, die unmittelbar mit der Unterhaltung eines Haushalts in Zusammenhang stehen. Dabei ist der Fundanfall vergleichsweise gering und nur wenig variationsreich, da unter normalen Alltagsbedingungen von einer regelmäßigen Reinhaltung der Aktivitätszonen auszugehen ist; lediglich sehr kleine Objekte mit Größen bis zu 0,64 cm – »Mikroabfall«¹¹⁰¹ – können einer mechanischen Reinigung entgehen und in schwerer zugänglichen Raumzonen, den sogenannten Artefaktfallen,¹¹⁰² wie Fugen, Zwischenräume und Zimmerecken zu einer systematischen Anreicherung von Fundmaterial führen. Nur selten jedoch werden sich im primären Abfall – in aller Regel als Einzelscherben – enthaltene Keramikfragmente zu größeren Gefäßpartien ergänzen lassen, auch sind andere zu Schaden gekommene Gegenstände, wie Werkzeuge, Geräte etc. lediglich in Ausnahmefällen aus mehreren Bruchstücken wieder zusammensetzen.¹¹⁰³ Zu einem nicht unwesentlichen Teil ist dieser Umstand darauf zurückzuführen, daß in Aktivitätszonen abgelagerte Objekte infolge regelmäßiger Begehung sukzessive zertreten und in ihrer Größe reduziert werden. Primär beeinflusst wird der Intensitätsgrad des sogenannten *trampling* durch die Dichte, die Feuchtigkeit sowie die bodenphysikalischen Kennwerte des jeweiligen Substrats: Während harte Laufhorizonte die Effizienz der durch Begehung hervorgerufenen Effekte substantiell begünstigen, reduzieren lockere, weichere Grundflächen entsprechend ihrer druckdämpfenden Grundeigenschaften deren Wirksamkeit elementar.¹¹⁰⁴ Die Art und Intensität der durch Begehung herbeigeführten Degradationseffekte sind zudem materialspezifisch. In erster Linie betroffen sind Ge-

¹¹⁰⁰ Gemäß Schiffer 1972: 161 »Primary refuse is material discarded at its location of use.« S. hierzu zudem Schiffer 1973: 60; Schiffer 1976: 30, 56–59, 67–68, 188–189; Schiffer 1983: 679, 685–686; Schiffer 1985: 24–25; Schiffer 1987: 18, 57–58, 335–336; Schiffer 1995b: 56; Rathje/Schiffer 1982: 116; LaMotta/Schiffer 1999: 21; Reid 1973: 28; Metcalfe/Heath 1990: 781–794; McKee 1999: 38; Keeley 1982: 802; Ault/Nevett 1999: 48–49; Sullivan 1995: 180; Joyce/Johannessen 1993: 138–139; Kent 1980: 220–221, 236; Kent 1992: 649–650; Needham/Spence 1997: 77 u. Tab. 1; Carr 1984: 108–110; Pfälzner 2001: 41, 50–56; Blum 2002a: 130; Blum 2003: 199–201; Joyce/Johannessen 1993: 138. Vgl. Binford 1978: 347–348; Binford 1983a: 229–241; Binford 1986: 558–559; Binford 1987: 463; Binford/Sabloff 1983: 406; Shott 1989: 283–285; Kent 1980: 242; Gregg *et al.* 1991: 163; McGuire 1995: 172–173; Simms/Heath 1990: 804–805; Oetelaar 1993: 663, 676–678; Tschauer 1996: 8–10.

¹¹⁰¹ Cf. Hull 1987: 772; Simms/Heath 1990: 797. S. hierzu auch Sommer 1991: 142–144.

¹¹⁰² Sommer 1991: 94.

¹¹⁰³ Schiffer 1996: 66–67; Schiffer 1987: 59–63, 267.

¹¹⁰⁴ Allgemein dazu s. Wilk/Schiffer 1979: 533; Schiffer 1987: 129; Gifford-Gonzalez *et al.* 1985: 813–814; Nielsen 1991: 493, 500; Rosen 1986: 105; Villa/Courtin 1983: 278–279.

genstände aus fragilen Materialien, wie etwa solche aus Keramik, Knochen oder Holz, doch sind auch stark korrodierte Metallgegenstände hiervon nicht ausgenommen. Im Falle keramischer Objekte stellt die intergranulare Fragmentation, als deren Indikator insbesondere frische postdepositionale Bruchstellen anzusehen sind,¹¹⁰⁵ die insgesamt gängigste Schadenskategorie dar.¹¹⁰⁶ Je nach keramischer Mikrostruktur, der Härte des Brandes, der Scherbendicke und -krümmung ist die durch Begehung verursachte Stabilitätsreduktion, die schließlich zum Bruch der Artefakte führt, zwar insgesamt sehr verschieden,¹¹⁰⁷ doch handelt es sich bei der Zerschabung durch *trampling* in keinem Fall um eine kontinuierliche Entwicklung, die schließlich mit der vollkommenen Zerstörung des Objekts endet, als vielmehr um einen kontinuierlichen Prozeß, der unabhängig von der jeweiligen keramischen Warengattung mit der Bildung relativ stabiler Fragmente mit maximalen Kantenlängen von $\pm 2,3$ cm zum stagnieren kommt. Abgesehen von einer überaus signifikanten Zunahme der keramischen Einzelobjekte im Bereich einer »*trampling zone*«¹¹⁰⁸ führt der Fragmentationseffekt mithin zu einer starken Vereinheitlichung der Maßverhältnisse des Fundbestandes.¹¹⁰⁹ Hinzu kommt, daß die allmähliche Verrundung der Keramikobjekte, die selbst bei beschränkter Begehung im wesentlichen aus einer Kombination von systematischer Oberflächenabrasion infolge wiederholter Reibung an den Partikeln der umgebenden Matrix¹¹¹⁰ und diversen Absplitterungseffekten¹¹¹¹ herbeigeführten Bildung irregulärer Ecken- und Kantenverläufe resultiert, den Eindruck formaler Homogenität gleichermaßen unterstützt.¹¹¹² Auch die Fragmentationserscheinungen an Steinartefakten zeigen sich in erster Linie anhand eines relativ hohen Anteils frischer Brüche charakterisiert.¹¹¹³ Neben einer leichten »Retuschierung« an spitzen Ecken und scharfen Kanten weisen einer wiederholten Begehung ausgesetzte Stücke zudem deutliche Spuren abriebsbedingter Beeinträchtigungen auf;¹¹¹⁴ recht typisch sind eine Abarbeitung der vorstehenden Partien sowie eine durch Reibung an feinkörnigen Bodenbestandteilen hervorgerufene Entstehung irregulärer Kratzer, die dem Äußeren des Gegenstands je nach Einwirkungsdauer und -intensität entweder eine partiell polierte oder vollständig mattierte Oberflächenstruktur verleihen können.¹¹¹⁵ Die überwiegend sehr kleinteilige Fragmentation von Knochenobjekten innerhalb einer *trampling zone* ist in erster Linie auf deren

¹¹⁰⁵ Schiffer 1987: 128.

¹¹⁰⁶ Courtin/Villa 1982: 122; Nielsen 1991: 493.

¹¹⁰⁷ S. hierzu Schiffer/Skibo 1987: 607; Bronitsky 1989: 589–592; Bronitsky/Hamer 1986: 89–99; Feathers 1989: 579–587.

¹¹⁰⁸ Schiffer 1987: 128.

¹¹⁰⁹ Nielsen 1991: 493–494 u. Fig. 3; Schiffer 1987: 129.

¹¹¹⁰ S. in diesem Kontext Schiffer 1987: 128–129; Schiffer/Skibo 1989: 108–111; Skibo *et al.* 1989: 127–129, 139–140; Skibo *et al.* 1997: 311–312, 313–315.

¹¹¹¹ Allgemein dazu s. Nielsen 1991: 493; Schiffer/Skibo 1989: 103.

¹¹¹² Schiffer/Skibo 1989: 112–113. Cf. Clark/Kurashina 1981: 312; Nielsen 1991: 501.

¹¹¹³ Mobley 1982: 84; Nielsen 1991: 499; McBrearty *et al.* 1998: 114.

¹¹¹⁴ Shea/Klenck 1993: 176–177, 185–186; Schiffer 1979: 19–20; McBrearty *et al.* 1998: 114–119; Knudson 1979: 280; Courtin/Villa 1982: 122; Gifford-Gonzalez *et al.* 1985: 813–815. S. hierzu auch Stevenson 1985: 68; Odell 1980: 410; Flenniken/Haggarty 1979: 213; Hurcombe 1994: 8; Tringham *et al.* 1974: 185–188, 192–193; Vaughn 1985: 23–24.

¹¹¹⁵ S. in diesem Zusammenhang Nielsen 1991: 500. Cf. Vaughn 1985: 42–44; Hurcombe 1994: 8–9, 12–13; Brink 1978: 363, 365–371.

unterdurchschnittliche Belastbarkeit gegenüber äußerer Druckeinwirkungen zurückzuführen, vor allem dann, wenn ein Stück bereits seit längerer Zeit unbedeckt an der Oberfläche liegt und verwittert.¹¹¹⁶ Zudem nutzen sich unter dem Einfluß der Begehung die Ränder von Knochensplintern zunehmend ab, auch werden die zunächst meist glatten Oberflächen – vor allem bei direktem Kontakt mit anderen festen, scharfkantigen Objekten¹¹¹⁷ – oft mechanisch beschädigt und können leichte abrasionsbedingte Politurflecken aufweisen.¹¹¹⁸

Das Ausmaß der horizontalen Objektverlagerung durch Begehung – und damit der Transformationsgrad der räumlichen Anordnung von Fundvergesellschaftungen¹¹¹⁹ – ist je nach Größe, Form und werkstoffbedingtem Gewicht der beweglichen Gegenstände sowie der individuellen Begehungsintensität bzw. -frequenz des jeweiligen Aktivitätsbereichs verschieden.¹¹²⁰ Mobile, zunächst als primäre Abfälle angefallene Gegenstände mit einem Volumen von bis zu 50 cm³ werden im Laufe der verschiedenen *trampling*-Phasen vor, während und insbesondere nach der Auflassung eines Gebäudes nicht selten durch Tritte systematisch aus den Kernbereichen der Nutzflächen bzw. den momentan genutzten *traffic zones* entfernt und in deren marginale Zonen, zu denen beispielsweise die Nahbereiche von Raumwänden, Pfosten und anderen stationären Einrichtungsgegenständen zu zählen sind, verlagert,¹¹²¹ wo sie dann in einem Abstand von weniger als 55 cm zum nahegelegenen Hindernis relativ stabile Positionen einnehmen.¹¹²² Verhältnismäßig leichte Artefakte werden dabei insgesamt entscheidend schneller verlagert als schwerere Objekte entsprechender Größe,¹¹²³ auch ist die durchschnittliche Distanz, die sie bis zu ihrem endgültigen Ablagerungsort zurücklegen können um ein Vielfaches

¹¹¹⁶ Olsen/Shipman 1988: 537 »*Elements with thin cortical bone are more susceptible to breakage through trampling than more solid elements. [...] Bones, such as the humerus or tibia, which have a predominantly spiral orientation of collagen fibres may fracture spirally when trampled after weathering cracks have developed. Since breakage from trampling tends to occur in the weakest parts of the bone, as it would in most natural circumstances, there does not appear to be anything particularly diagnostic about the type or patterning of breaks created by this process.*« Cf. Binford 1981: 80; Courtin/Villa 1982: 122; Brooks/Yellen 1987: 90; Haynes 1983: 109–111; Gifford/Behrensmeyer 1977: 257; Koetje 1993: 118; Lyman 1994: 328, 379–381; Lyman/O'Brien 1987: 494–497; Lyman/Fox 1989: 294–311, 313–314; Schiffer 1987: 185–189, 272; Yellen 1991: 164–165. Ergänzend dazu s. Lyman 1984a: 260, 292–294; Lyman 1984b: 317–319, 328–329; Andrews 1995: 149–150; Grayson 1989: 643–647; Blumenschine 1988: 499; Bartram *et al.* 1991: 138; Cronyn 1990: 275, 277; Hedges/Millard 1995: 156–163; Tappen 1994: 667, 669–672; Marean 1991: 677–681.

¹¹¹⁷ S. in diesem Zusammenhang Lyman 1994: 187, 297, 380–384; Olsen/Shipman 1988: 538, 542–548. Cf. Olsen 1989: 128, 134–135.

¹¹¹⁸ Cf. Olsen/Shipman 1988: 538.

¹¹¹⁹ Dazu s. etwa Gifford 1978: 82; Gifford-Gonzalez *et al.* 1985: 812 u. Fig. 6.

¹¹²⁰ Cf. Villa/Courtin 1983: 277; Nielsen 1991: 491–492. S. darüber hinaus Gregg *et al.* 1991: 166–195; Lyman 1994: 162.

¹¹²¹ Wilk/Schiffer 1979: 533; Nielsen 1991: 497. Cf. Theunissen *et al.* 1997: 82.

¹¹²² S. hierzu LaMotta/Schiffer 1999: 21; Schiffer 1987: 66–67, 127, 268; Binford 1987: 477; Nielsen 1991: 492; Wilk/Schiffer 1979: 533 »*Just as foot traffic creates patterns, so too does its absence, especially in places directly adjacent to features and structures. Indeed, it is possible to define a »fringe effect.« Surrounding any large stationary object or structure is a narrow zone relatively free of foot traffic. Thus artifacts deposited by any process in that zone have a much reduced probability of being displaced by disturbance processes, particularly trampling. Unless removed by maintenance activities, artifacts will accumulate in these fringe areas.*« Cf. Rathje/Schiffer 1982: 117 u. Fig. 5.5; Scarborough 1989: 422.

¹¹²³ S. hierzu etwa Villa/Courtin 1983: 277–278; Nielsen 1991: 492; Schiffer 1987: 127; Stevenson 1991: 272; Theunissen *et al.* 1997: 83.

höher.¹¹²⁴ Selbst im Bereich moderat begangener Räume entstehen auf diese Weise recht markante Fundkonzentrationen, die schmale, annäherungsweise in sich geschlossene Deponierungszonen – sogenannte *fringes* – bilden können.¹¹²⁵ Kleinere Gegenstände mit einem Rauminhalt von 2 bis maximal 50 cm³ verblieben dagegen über längere Zeit im direkten Bereich einer *traffic zone*.¹¹²⁶ Sofern diese dort nicht durch Zufall zertreten und in den unverdichteten Untergrund eingepreßt werden, werden sie vor der endgültigen Deponierung im peripheren Bereich der Aktivitätszone infolge kontinuierlicher Begehungen meist mehrfach umgelagert,¹¹²⁷ wobei auch hier die Fundstücke aus leichteren Materialien, wie etwa Holz und Knochen, prinzipiell in stärkerem Maße von einer Horizontalverlagerung betroffen sind als Keramik- oder Steinobjekte vergleichbarer Dimension;¹¹²⁸ allein die Objekte kleiner als 2 cm³ unterliegen nur minimal den durch das *trampling* verursachten Horizontalverlagerungsprozessen und werden in aller Regel am Ort ihrer Ablagerung vollständig, d. h. stationär, vom umgebenden Substrat absorbiert.¹¹²⁹

In stärker frequentierten Gebäudeteilen können zu Boden gefallene Kleinobjekte auch in den Lufthorizont eingetreten werden.¹¹³⁰ Ausschlaggebend dabei ist die relative Durchdringbarkeit bzw. die Aufnahmefähigkeit der in den Aktivitätszonen vorhandenen Bodensubstrate: Ein unverdichteter Sandboden z. B. wird grundsätzlich in der Lage sein, eine deutlich größere Menge an Mikroartefakten in seiner Matrix zu absorbieren als etwa eine verdichtete Begehungsfläche aus Massivlehm.¹¹³¹ Eine vertikale Verlagerung von Knochensplintern, Pflanzenresten und Keramikscherben etc. durch Begehung ist vorwiegend im Innenraum temporär ungenutzter oder konstant aufgelassener Bauten zu erwarten,¹¹³² als Resultat fehlender Instandsetzungsmaßnahmen bilden sich hier im Laufe der Zeit lockere, leicht durchdringbare Erosionssedimente, die in

¹¹²⁴ Die von Villa/Courtin 1983: 277 in diesem Zusammenhang auf experimenteller Basis unternommenen Tests ergaben eine maximale horizontale Fundverlagerung von 0,85 cm; im Durchschnitt wurden die Objekte, sofern sie nicht mit lockerem Sand bedeckt waren, um 25 cm verlagert. Ergänzend dazu s. Sommer 1991: 112.

¹¹²⁵ Allgemein dazu s. Nielsen 1991: 501 »Thus, while original *fine-grained* horizontal configurations within the *traffic zone* will be no longer recognizable, the contrast between *traffic* and *marginal zones* will be stronger. The former will be characterized by a high frequency of small artifacts and microartifacts randomly scattered, low proportion of medium-size items, and virtually no bulky ones. The latter will have high frequencies of artifacts in large size categories and very few in the small ones. All of them will be displaced far from their original locations.« S. dazu auch Scarborough 1989: 422. Cf. Schiffer 1985: 25; Schiffer 1987: 127; Wilk/Schiffer 1979: 533; Rathje/Schiffer 1982: 124; Rathje 1979: 9–10; Theunissen *et al.* 1997: 83–86 u. Fig. 7; Stevenson 1991: 272.

¹¹²⁶ Gifford-Gonzalez *et al.* 1985: 808.

¹¹²⁷ Nielsen 1991: 492.

¹¹²⁸ Nielsen 1991: 491.

¹¹²⁹ Cf. Rosen 1993: 141; Gifford/Behrensmeyer 1977: 259; Nielsen 1991: 492, 500; Schiffer 1985: 25; Stevenson 1985: 68; Stevenson 1991: 272; Scarborough 1989: 422; Hayden/Cannon 1983: 118, 133–138; McGuire 1995: 172–173.

¹¹³⁰ Allgemein dazu s. Schiffer 1983: 679; Schiffer 1985: 25; Schiffer 1987: 126–129, 268, 276; LaMotta/Schiffer 1999: 21; Rathje/Schiffer 1982: 123–124; McBrearty *et al.* 1998: 109–111; Villa 1982: 276, 278–285; Courtin/Villa 1982: 122; Gifford 1978: 82; Gifford-Gonzalez *et al.* 1985: 804; Olsen/Shipman 1988: 536–539. S. hierzu auch Barton/Clark 1993: 47; Savelle 1984: 517–518.

¹¹³¹ Metcalfe/Heath 1990: 794; Hayden/Cannon 1983: 133–138; Rosen 1993: 141; Nielsen 1991: 492, 500; Schiffer 1985: 25; Schiffer 1996: 126–128; Schiffer 1987: 268; Wilk/Schiffer 1979: 533; McBrearty *et al.* 1998: 122–123; Gifford-Gonzalez *et al.* 1985: 810–811; Courtin/Villa 1982: 120; Stevenson 1985: 68; Stevenson 1991: 272–273; Hofman 1986: 170; Shea/Klenck 1993: 192; Gifford/Behrensmeyer 1977: 259.

¹¹³² Schiffer 1987: 127.

der Lage sind, eine entsprechende Objekteinbettung zu ermöglichen.¹¹³³ Die unmittelbar unter diesen liegenden, dichten Erdschichten bilden dabei eine undurchdringbare Schichtgrenze,¹¹³⁴ so daß sich die maximale vertikale Dislokation von Mikroabfällen, und damit die zu erwartende Transformation der Mikrostratigraphie, innerhalb geschlossener Gebäudeteile auf maximal 2 cm beläuft.¹¹³⁵ Betroffen davon sind grundsätzlich alle Gegenstände mit einem Gesamtvolumen von bis zu 2 cm³, doch können kleinere flache Objekte tendenziell weiter nach unten verlagert werden als etwas größere,¹¹³⁶ die infolge ihrer geringeren Mobilität bereits in einer Tiefe von 0,6 bis 1,4 cm fest zu liegen kommen;¹¹³⁷ mit zunehmender Lagertiefe ist die Wahrscheinlichkeit einer weiteren Beschädigung der überdeckten Objekte und eine subsequente horizontale Verlagerung gering.¹¹³⁸

An eine bestimmte Art der Ablagerung sind primäre Abfälle nicht gebunden. Da diese jedoch – insbesondere in quantitativer Hinsicht – mehrheitlich im Zeitraum nach der aktiven Nutzung eines Gebäudes anfallen, treten sie am ehesten mit den für Auflassungsinventare charakteristischen Ablagerungskategorien in Erscheinung. Da primäre Abfälle in ihrer Entstehung unmittelbar auf die an einem bestimmten Ort durchgeführten Aktivitäten zurückgehen und folglich direkte inhaltliche Rückschlüsse auf diese erlauben,¹¹³⁹ sind sie generell getrennt von son-

¹¹³³ Hayden/Cannon 1983: 134 »Where floors are composed of permeable materials [...], the best indicators of activities will probably consist of micro-debitage, bits of shell or bone, pollen, plant remains, or other small craft manufacturing by-products which could become permanently fixed in the floor matrix.« S. in diesem Zusammenhang auch Schiffer 1987: 126; Gifford 1978: 82; Nielsen 1991: 487, 501; Kobyliński/Moszczyński 1992: 118; Hull 1987: 781–782. Cf. Rowlett/Robbins 1982: 73–74.

¹¹³⁴ Villa/Courtin 1983: 269.

¹¹³⁵ Nielsen 1991: 489 »The maximum vertical migration recorded during the experiments [...] was 1.5 cm. Under dry conditions, this corresponds to the thickness of the loose top layer [...]. No artifact penetrated into the hard-packed bottom one. It follows [...] that (1) the proportion of buried items will covary with the thickness of the loose top layer, and (2) size sorting will occur, since only objects no thicker than the thickness of the top stratum can be buried.« S. in diesem Zusammenhang auch McKee 1999: 36; Villa 1982: 276, 278–285; Courtin/Villa 1982: 117, 119–120, 122; Villa/Courtin 1983: 273–277, 279; Olsen/Shipman 1988: 537; McBrearty *et al.* 1998: 114; Gifford-Gonzalez *et al.* 1985: 803–804, 808, 810–811, 814 u. Fig. 8; Koetje 1993: 118; Hofman 1986: 170.

¹¹³⁶ Programmatisch dazu Stockton 1973: 116–117 »The vertical action of the foot [...] would naturally depress any objects under foot, but the sandy floor would offer less resistance to small objects than to large ones. A large flat object may be depressed a little if lying horizontal and pressed down vertically, but if the downward force is applied one edge the object may be tilted and even lifted by the upward pressure of displaced sand. [...] Below the depth of soil actually being disturbed, constant tremors from footfall above may shake small particles and displace them relative one to another, so that the flakelets and silvers of stone may sink deeper among spherical objects (e.g. grains of sand).« S. diesbezüglich auch Schiffer 1983: 679; Schiffer 1987: 21, 267–269; Villa 1982: 279; Olsen/Shipman 1988: 537; Gifford/Behrensmeier 1977: 257–258; Gifford-Gonzalez *et al.* 1985: 816; Courtin/Villa 1982: 121; Hofman 1986: 163, 167. Cf. Baker 1978: 288–289, 292; Enloe *et al.* 1994: 116–117; Stevenson 1991: 270–273; Koetje 1993: 117–118; Rosen 1993: 141–142; Deal/Hagstrum 1995: 121.

¹¹³⁷ Cf. Gifford 1978: 82; Nielsen 1991: 488; Schiffer 1983: 679; Schiffer 1985: 25; Schiffer 1987: 127; Villa 1982: 279. S. in diesem Zusammenhang auch Villa/Courtin 1983: 277; Gifford-Gonzalez *et al.* 1985: 811; Stevenson 1991: 272.

¹¹³⁸ Gifford 1978: 82; Wilk/Schiffer 1979: 533; Brooks/Yellen 1987: 90–91; Hofman 1986: 170; Schiffer 1987: 126; Villa/Courtin 1983: 120, 274–275. Ergänzend dazu s. Gifford-Gonzalez *et al.* 1985: 809, 816; Olsen/Shipman 1988: 537.

¹¹³⁹ Binford 1962: 219; Binford 1964: 425; Binford 1967: 1–3; Binford 1968: 23. Cf. Schiffer 1972: 156; Schiffer 1985: 19–25; Schiffer 1988: 462–463; LaMotta/Schiffer 1999: 19; LaMotta/Schiffer 2001: 18–33; Raab/Goodyear 1984: 258–263; Kosso 1991: 622–624; Wood/Johnson 1978: 316; Deal/Hagstrum 1995: 119–120; Tschauer 1996: 3–6, 8–9; Shott 1998: 311–312; Inomata/Striver 2003: 1–4; Blum 2002a: 123–137; Blum 2005: 87–96; Blum/Aslan 2005: 313–321; Blum *et al.* 2004: 212–213.

stigen – gegebenenfalls deutlich später entstandenen¹¹⁴⁰ – Auflassungsabfällen zu bewerten, die lediglich in der Lage sind, Auskunft darüber zu geben, welche Aufgabe ein Raum zuletzt erfüllte, nicht jedoch für welchem Zweck er ursprünglich konzipiert wurde.¹¹⁴¹

6.2.1.5 Sekundärer Abfall

Unter sekundärem Abfall werden im folgenden all diejenigen Objekte verstanden, deren Ort der Deponierung infolge einer formalen Entsorgung durch Aufsammeln, Kehren etc. grundsätzlich nicht mit demjenigen ihrer Entstehung und/oder letztmaligen Nutzung identisch ist.¹¹⁴² Insbesondere bei Tätigkeiten, die regelmäßig an einer je spezifischen Lokalität durchgeführt werden, ist mit einer gezielten Beseitigung schadhafter oder anderweitig unbrauchbarer Gegenstände zu rechnen, da diese ansonsten – durch sukzessive Akkumulation – zu einer stark zunehmenden Verunreinigung des jeweils betreffenden Aktionsraums führen oder sich gegebenenfalls bei einer zukünftigen Ausübung der Aktivität als hinderlich erweisen könnten.¹¹⁴³ Abfallgruben und -halden innerhalb und außerhalb des Siedlungsareals, Straßen, Wege und Zwischenräume zwischen Gebäuden zählen dabei zu den gängigsten Orten der Ablagerung ebenso wie leerstehende Räume oder Ruinen.¹¹⁴⁴ Im letztgenannten Fall bilden sekundäre Abfälle in aller Regel eine eigenständige, in der stratigraphischen Sequenz unmittelbar oberhalb eines Auflassungsinventars oder einer Versturzschicht angesiedelte Schichtung, können insbesondere bei frisch aus der Nutzung genommen Raumeinheiten jedoch auch unmittelbar auf den Fußböden abgelagert werden. Die neu hinzukommenden, *per definitionem* anderenorts angefallenen Gegenstände variieren dabei den an dieser Stelle gegebenenfalls bereits vorhandenen Artefaktbestand sowohl in quantitativer wie qualitativer Hinsicht zumeist beträchtlich und

¹¹⁴⁰ Schiffer 1972: 157–163, 161; Schiffer 1973: 60; Schiffer 1976: 27–41, 58–78, 129–139; Schiffer 1983: 678–649, 682–684; Schiffer 1985: 24–31; Schiffer 1987: 10, 18, 25–140, 361; Schiffer 1989: 37–48; Schiffer 1995b: 56; Schiffer 1996: 643–646, 650, 658–659. Darüber hinaus s. Wilk/Schiffer 1979: 531–534; Rathje/Schiffer 1982: 105–126; LaMotta/Schiffer 1999: 21; Kent 1984: 169–171; Rosen 1986: 92–114; Metcalfe/Heath 1990: 794; Ault/Nevett 1999: 48–49; Joyce/Johannessen 1993: 138–139; Needham/Spence 1997: 77 u. Tab. 1; Wilson 1994: 43–45; McKee 1999: 30, 36–39.

¹¹⁴¹ Blum *et al.* 2004: 212–213; Blum/Aslan 2005: 313–321; Pfälzner 2001: 54–55.

¹¹⁴² Grundsätzlich dazu Schiffer 1972: 161 „[...] in the case of secondary refuse, the location of final discard is not the same as the location of use.« Cf. Schiffer 1973: 60; Schiffer 1976: 30–31, 67–71, 129–139, 178–179, 188; Schiffer 1983: 684–686; Schiffer 1985: 29; Schiffer 1987: 18, 59–62; Schiffer 1995b: 56; Rathje/Schiffer 1982: 116; LaMotta/Schiffer 1999: 21. S. diesbezüglich auch Kent 1984: 169–171; Rosen 1986: 92–114; Metcalfe/Heath 1990: 794; Stein 1987: 351; Ault/Nevett 1999: 48–49; Joyce/Johannessen 1993: 138–139; Tomka 1993: 21; Bartram *et al.* 1991: 98, 136, 141; McManamon 1984: 228–234; Needham/Spence 1997: 77 u. Tab. 1; Wilson 1994: 43–45.

¹¹⁴³ Cf. Hayden/Cannon 1983: 119–126; Schiffer 1987: 64–67; LaMotta/Schiffer 1999: 21; Hitchcock 1987: 416; Dittmore 1983: 257; Wilson 1994: 47–48. Dazu s. auch Rathje/Murphy 2001: 38, 204–205; Kramer 1979: 149; South 1978: 226; Joyce/Johannessen 1993: 139.

¹¹⁴⁴ S. hierzu Dittmore 1983: 256–257; Hayden/Cannon 1983: 125, 130, 139, 157; Joyce/Johannessen 1993: 139; Kramer 1979: 149; Kramer 1982: 29, 89. Cf. Wilk/Schiffer 1979: 531–532; Schiffer 1983: 680, 684; Schiffer 1985: 25; Schiffer 1987: 60, 66, 199; Rosen 1986: 92–93; Kramer 1982: 88; O’Connell *et al.* 1991: 67; Bartram *et al.* 1991: 97, 106–107, 127, 136 u. Fig. 9–10.

sind von diesem anhand formaler oder struktureller Kriterien allein nicht notwendigerweise zu trennen.¹¹⁴⁵

Wie beim primären Abfall handelt es sich auch bei *secondary refuse* in der Mehrzahl um Produktionsabfälle verschiedener Art sowie um nicht mehr funktionsfähige oder in derselben Art und Weise verwendbare Gegenstände wie zum Beispiel zerscherbte Gefäße, defekte Spinnwirtel oder stark abgenutzte Steingeräte. Im Gegensatz zu primären Abfällen sind Vertreter dieser Fundkategorie jedoch weit weniger kleinteilig fragmentiert, da sie im Anschluß an ihre Beseitigung aus einer Aktivitätszone in einen anderen entweder nur passiv genutzten oder ausschließlich der Entsorgung von Abfall vorbehaltenen Bereich gelangen und dort keiner regelmäßigen Begehung ausgesetzt sind. Größerformatige Keramikfragmente mit scharfen Bruchkanten und intakten Oberflächen, die sich zu größeren Gefäßpartien ergänzen lassen sind daher ausgesprochen typisch für diese Fundklasse. Anders verhält es sich bei auf Straßen und Verkehrswegen abgelagerten sekundären Abfällen, die zusätzlich zu einer räumlichen, zumeist horizontal gerichteten Lageveränderung eine nachhaltige – den primären Abfällen in Intensität und Wirkungsweise entsprechende – Zerkleinerung durch *trampling* erfahren können. Neben dem räumlich-funktionalen Kontext einer Fundvergesellschaftung und deren Erhaltungszustand ist die spezifische Fundmenge ein weiteres Kriterium für die Identifikation und Bewertung sekundären Abfalls: Da im Falle dicht bebauter und/oder über einen längeren Zeitraum hinweg genutzter Wohn- und Produktionsbereiche davon auszugehen ist, daß die zur Entsorgung von Unrat bestimmten Orte zum Teil auch mehrfach aufgesucht werden, ist an verschiedenen Stellen in und gegebenenfalls außerhalb einer Siedlung mit einem relativ hohen Fundanfall zu rechnen.¹¹⁴⁶ Dort in größeren Mengen anzutreffen sind unter alltagsüblichen Bedingungen häufig anfallende Objekte, wie Gefäßfragmente, großformatige und nur wenige gebrochene Tierknochen, wobei ein typisches Kennzeichen sekundär entsorgter Knochen durch Hunde herbeigeführte Bißspuren sind, da für sie entsprechende – zumeist offenstehende – Befundkontexte leicht zugänglich sind,¹¹⁴⁷ aus Öfen und Feuerstellen ausgeräumte Holzkohle und Asche¹¹⁴⁸ sowie von der Nahrungszuberei-

¹¹⁴⁵ Dazu s. Schiffer 1983: 679; Schiffer 1985: 25; Schiffer 1987: 126–129, 268, 276; LaMotta/Schiffer 1999: 21; Rathje/Schiffer 1982: 123–124; Schiffer/Skibo 1989: 112–113; Skibo *et al.* 1989: 127–129, 139–140; Skibo *et al.* 1997: 311–315; Scarborough 1989: 415; Courtin/Villa 1982: 122; Clark/Kurashina 1981: 312; Nielsen 1991: 493–494, 501 u. Abb. 3; Blum 2002a: 136; Blum 2003: 207–208; McBrearty *et al.* 1998: 109–111; Villa 1982: 276, 278–285; Gifford 1978: 82; Gifford-Gonzalez *et al.* 1985: 804; Olsen/Shipman 1988: 536–539. S. hierzu auch Barton/Clark 1993: 47; Savelle 1984: 517–518.

¹¹⁴⁶ Dazu s. Murray 1980: 494. Cf. Hayden/Cannon 1983: 139–146, 157; Schiffer 1987: 60; Wilk/Schiffer 1979: 531–532; Seymour/Schiffer 1987: 554; Rosen 1986: 92–93; Boone 1987: 337.

¹¹⁴⁷ S. in diesem Zusammenhang etwa Dittmore 1983: 256; Rothschild *et al.* 1993: 132; Hayden/Cannon 1983: 130; Schiffer 1987: 70–71; Villa 1982: 279; Gifford-Gonzalez *et al.* 1985: 804; Knudson 1979: 280; Olsen/Shipman 1988: 536, 548, 552; Gifford/Behrensmeier 1977: 259–260; Watson 1979: 39; Binford *et al.* 1988: 118–123; Marean 1991: 677–682, 685; Marean/Bertino 1994: 748–752; O’Connell *et al.* 1992: 336–338; Yellen 1991: 166; Bartram *et al.* 1991: 94, 103–105, 110–111, 132–139, 142; Lam 1992: 399–401; Lupo 1995: 288–297, 301–307; Stevenson 1991: 287, 294; Lyman 1994: 13–14, 127, 147, 205–216, 399; Kent 1980: 245–255; Kent 1993b: 339–341, 375.

¹¹⁴⁸ Allgemein hierzu s. Dittmore 1983: 256–257; Hayden/Cannon 1983: 130; Kramer 1982: 29, 88–89. Cf. Schiffer 1983: 684; Schiffer 1985: 25; O’Connell *et al.* 1991: 67; Bartram *et al.* 1991: 97, 106–107 u. Fig. 9–10, 127, 136.

tung stammende Pflanzenreste; länger nutzbare Gebrauchsgegenstände sind hier in deutlich geringerer Stückzahl zu erwarten als etwa in Auflassungs- oder Nutzungsinventaren.¹¹⁴⁹

6.2.1.6 Tertiärer Abfall

Primäre und sekundäre Abfälle, die im Anschluß an ihre Deponierung beispielsweise im Rahmen von Terrassierungs- oder Auffüllarbeiten, während der Anlage von Fundamentgräben und Gruben, beim Abgraben älterer Schichteinheiten zur Gewinnung von Baumaterial, durch Begehung oder als Folge natürlicher Formationsprozesse etc. nochmals umgelagert werden, werden zu tertiärem Abfall. Die Positionsverschiebung der Objekte erfolgt dabei sowohl in horizontaler wie vertikaler Richtung und meist in Verbindung mit dem umgebenden Erdmaterial, der Matrix, in die sie eingelagert sind; älteres Fundmaterial kann dabei in jüngere, zeitlich völlig abweichende Schicht- und Befundzusammenhänge gelangen, ebenso wie jüngeres in gegebenenfalls wesentlich ältere.¹¹⁵⁰

Kennzeichnend für in tertiärem Abfall enthaltene Keramikfragmente etwa ist das Fehlen von Anschlägen sowie eine besondere Kleinteiligkeit der Einzelscherben, da diese im Prozeß der Umlagerung, die unter Umständen auch mehrfach auftreten kann, infolge verschiedener mechanischer Belastungen während und nach der Verlagerung fortschreitend fragmentiert werden;¹¹⁵¹ stark verrundete Bruchkanten oder verschliffene Objektoberflächen sind gleichermaßen diagnostisch für Abfälle dieser Kategorie und in ihrer Ursache ebenfalls auf äußere Beanspruchungen zurückzuführen.¹¹⁵² Bedingt durch die starke Vermischung mit Erdmaterial ist bezogen auf das Volumen einer Schichtablagerung – bei gleichmäßiger Vermengung und signifikant homogener Artefaktverteilung – mit deutlich geringeren Fundmengen zu rechnen als beispielsweise bei sekundären Abfällen oder in Nutzungs- und Auflassungsinventaren, in denen Teile zerscherbter Gefäße etc. in aller Regel in konzentrierter Form auftreten.

¹¹⁴⁹ Cf. Pfälzner 2001: 50.

¹¹⁵⁰ Watson 1979: 119; McIntosh 1974: 157–158; McIntosh 1977: 187; Bier 1973: 429; Sullivan 1989: 108. Ergänzend dazu s. Peters 1976: 53; Peters 1982: 222; Jerome *et al.* 1999: 41–42; Blum 2003: 76–77 u. Abb. 70; Shaffer 1993: 62.

¹¹⁵¹ Im Falle einer Umlagerung sind Tierknochen, Holzkohle und botanische Abfälle infolge ihrer geringen Härte noch stärker mechanischen Einwirkungen ausgesetzt als Gefäßfragmente oder Steinartefakte: Nielsen 1991: 493, 499–501; Schiffer 1979: 19–20; Schiffer 1987: 128–129, 185–189, 272; Schiffer/Skibo 1989: 103, 108–111; Skibo *et al.* 1989: 127–129, 139–140; Skibo *et al.* 1997: 311–312, 313–315; Shea/Klenck 1993: 176–177, 185–186; McBrearty *et al.* 1998: 114–119; Knudson 1979: 280; Courtin/Villa 1982: 122; Gifford-Gonzalez *et al.* 1985: 813–815; Stevenson 1985: 68; Odell 1980: 410; Flenniken/Haggarty 1979: 213; Hurcombe 1994: 8; Tringham *et al.* 1974: 185–188, 192–193; Vaughn 1985: 23–24; Pfälzner 2001: 55–56. S. in diesem Zusammenhang auch Clark/Kurashina 1981: 312; Mobley 1982: 84; Vaughn 1985: 42–44; Hurcombe 1994: 8–9, 12–13; Brink 1978: 363, 365–371; Olsen/Shipman 1988: 537–538, 542–548; Olsen 1989: 128, 134–135. Cf. Binford 1981: 80; Brooks/Yellen 1987: 90; Yellen 1991: 164–165; Haynes 1983: 109–111; Gifford/Behrensmeier 1977: 257; Koetje 1993: 118; Lyman 1994: 187, 297, 328, 379–384; Lyman/O'Brien 1987: 494–497; Lyman/Fox 1989: 294–311, 313–314. Ergänzend dazu s. Lyman 1984a: 260, 292–294; Lyman 1984b: 317–319, 328–329; Andrews 1995: 149–150; Grayson 1989: 643–647; Blumenschine 1988: 499; Bartram *et al.* 1991: 138; Cronyn 1990: 275, 277; Hedges/Millard 1995: 156–163; Tappen 1994: 667, 669–672; Marean 1991: 677–681.

¹¹⁵² Allgemein dazu s. Schiffer 1987: 276 u. Fig. 10.4.

Entstehungsbedingt treten tertiäre Abfälle im archäologischen Befundbild insbesondere mit Ablagerungsarten wie Auffüll-, Planierungs- und Terrassierungsschichten in Erscheinung, können jedoch auch im Versturz und Schutt von Lehmächern und -mauern enthalten sein, falls Scherben, Tierknochen, Holzkohle, kleinere Artefakte etc. im verwendeten Baumaterial eingeschlossen waren und bei der Zerstörung eines Bauteils oder während dessen Verfalls freigesetzt wurden.¹¹⁵³

6.2.2 Häusliche Aktivitäten im Bereich der Planquadrate A 5/6: diachrone Analyse

6.2.2.1 Troia IV

6.2.2.1.1 Phase Troia IV₁

Die mit Phase Troia IV₁ im Bereich der Planquadrate A 5/6 neu entstandene Gebäudeeinheit (cf. Taf. 64–68) weist mit Ausnahme einer partiell erhaltenen Pflasterung (Matrix-Nr. 006 u. 007) keine Installationen auf, die mit einer oder gegebenenfalls auch mehreren – bestimmbar – Arten der Raumnutzung in Zusammenhang gebracht werden könnten. Dabei mag der Umstand, daß der im entsprechenden Perimeter mit Matrix-Nr. 002–005 erfaßte Wand- bzw. Mauerkörper (Mauern 29/31 u. 30) beidseitig mit einem flächendeckenden, im hier zur Diskussion stehenden Zeitraum für Außenputze nicht üblichen Anstrich aus Kalkmörtel versehen war (Abb. 98), als ein Indiz dafür verstanden werden, daß die betreffende Steinsetzung zur Innenausstattung eines somit wenigstens dreiräumigen Baus zählte (Raum A – B – C. Cf. Taf. 363). Für gebäudeinterne Steinplattenböden wurden in vergleichbaren Befundkontexten verschiedene Verwendungszwecke vorgeschlagen, so etwa als Pflasterung unterhalb einer im Dach integrierten Öffnung, mit deren Hilfe der darunterliegende Raumboden vor Feuchtigkeit, und hier wohl vor allem gegen von oben her in das Gebäude eindringendes Regenwasser, geschützt werden sollte.¹¹⁵⁴ Anhaltspunkte für eine entsprechende Durchdringung der Dachfläche sind im vorliegenden architektonischen Befund jedoch nicht gegeben, auch befanden sich an gegebener Stelle keinerlei Installationen, wie etwa ein Herd oder ein Ofen, die eine solche praktisch sinnvoll gemacht hätten. In Anbetracht der vergleichsweise weiträumigen – zudem nur partiell erfaßten – Flächenausdehnung der Steinsetzung dürfte darüberhinaus die Möglichkeit auszuschließen sein, das Pflaster habe zur Konsolidierung einer älteren, im Laufe der Zeit sukzessiv in sich eingesunkenen Vorrats- oder Abfallgrube gedient.¹¹⁵⁵

Auf eine andere funktionale Bestimmung des Steinpflasterbodens verweist hingegen das in Raum A über Matrix-Nr. 009, einer sich aus aschehaltigem Lehmschutt und vermischten – se-

¹¹⁵³ Cf. Pfälzner 2001: 55–56.

¹¹⁵⁴ Dazu s. Pfälzner 2001: 126.

¹¹⁵⁵ S. hierzu etwa Pfälzner 2001: 126.



Abb. 98
Mauern 29/31 und 30,
beidseitiger Lehm- und
Kalkmörtelputz (Dia
Troia 47214).

kundär einzustufenden – Siedlungsabfällen zusammensetzenden Schichteinheit, mit diesem assoziierte Fundmaterial (Taf. 363):¹¹⁵⁶ Unmittelbar auf der Oberfläche der Steinsetzung sowie auf dem in nordöstlicher Richtung an diese anschließenden Lehmfußboden (Matrix-Nr. 008) fanden sich Typvertreter der Formengattungen He 3, He 7 und He 9, also größervolumiger, teils geschlossener Gefäße, die sich besonders zur Lagerung bzw. Aufbewahrung von Lebensmitteln und Flüssigkeiten eignen.¹¹⁵⁷ Auf eine Verwendung des betreffenden Gebäudesegments als Vorrats- und Wirtschaftsraum deutet zudem der Fund von im ganzen vier Spinnwirteln, als Indikatoren häuslicher Textilproduktion, sowie eines Silexabschlags hin, der am gegebenen Ort möglicherweise als Schneidegerät genutzt wurde; anhand der für Raum A ausgehend vom mobilen Inventar zu erschließenden Aktivitäten ergibt sich für den gepflasterten Bereich insgesamt die Funktion einer abriebsfesten, beim Umgang mit Wasser und anderen liquiden Stoffen nässe-resistente Nutzfläche.

Als Küche hingegen dürfte der im Südosten anschließende Raum B anzusprechen sein. Hierauf verweisen im Fundmaterial enthaltene Fragmente von an den jeweiligen Außenseiten stark geschmauchten Töpfen der Kategorien To 1.1 und To 1.2,¹¹⁵⁸ die als Kochgefäße bei der Zubereitung von Nahrungsmitteln über dem offenen Feuer eine Verwendung gefunden haben werden. Der gemessen am geringen Umfang der untersuchten Fläche vergleichsweise großen Anzahl geborgener Teller (Te 2.1 und Te 3) und einem Vertreter des Schälengattung Sc 1 nach zu schließen,

¹¹⁵⁶ Ausgrabungseinheiten A5/6.918 und A5/6.941.

¹¹⁵⁷ Cf. Blegen *et al.* 1950: 23–24; Blegen *et al.* 1951: 130–132.

¹¹⁵⁸ Ausgrabungseinheiten A5/6.902 u. A5/6.934.

stellte der Verzehr von Speisen einen weiteren funktionalen Aspekt des Gebäudeteils dar; zum Verteilen und/oder Servieren ebensolcher mag dabei ein größeres Exemplar der Schalen vom Typ Sc 3.3 verwendet worden sein.

Ein Eingrenzung des potentiellen Bestimmungszwecks von Raumeinheit C auf Grundlage des innerhalb dieser vergesellschafteten Fundmaterials ist dagegen nicht vorzunehmen; aus dem betreffenden Bereich liegen keine mit einer bestimmten Art von Tätigkeit in Zusammenhang zu bringende Gefäßfragmente, Kleinfunde etc. vor.

6.2.2.1.2 Phase Troia IV₂

Ob und inwieweit der Einbau von Mauer 11 (Matrix-Nr. 011 u. 012. *Cf.* Taf. 69–77) im nördlichen Bereich des in A 5/6 erfaßten Gebäudes eine Veränderung der Nutzung des Raumsegments nach sich zog, ist auf Grundlage des architektonischen Befunds allein nicht zu beurteilen (*cf.* Taf. 69–77); ortsfeste Installationen entstanden hier – wie auch in allen anderen Teilen des Bauwerks – keine, lediglich der bereits im vorigen Abschnitt bestehende Steinpflasterboden in Raum A wurde zu Beginn von Phase Troia IV₂ in Teilen erneuert und partiell erweitert (Matrix-Nr. 013). Eine gesonderte Ablagerung von als Abfällen deponiertem Siedlungsmaterial fand sich in keiner der nun vier Raumeinheiten (Räume A – B – C – D. *Cf.* Taf. 364), so daß davon auszugehen ist, daß das Gebäude vor seiner Zerstörung, die im hier zur Diskussion stehenden Fall in nicht allzugroßem zeitlichen Abstand auf das Ende seiner aktiven Nutzung gefolgt sein dürfte, systematisch von allen für einen weiteren Gebrauch vorgesehenen Objekten ausgeräumt wurde; die auf den von Unrat weitestgehend freigehaltenen Raumböden etc. zurückgelassen, d. h. nicht formal entsorgten Gegenstände wurden in der Folge von den Massen des einstürzenden Daches (Matrix-Nr. 018) und der Mauern (Matrix-Nr. 016, 017 u. 019) überdeckt, so daß die im Zuge dieses Ereignisses entstandenen Fundvergesellschaftungen nunmehr alle maßgeblich relevanten Kriterien eines »Auflassungsinventars« erfüllen.

Ausgehend von einer verhältnismäßig großen Menge an offenen Gefäßen der Gattungen To 2.1, To 3.1, To 3.3 und To 4, die allesamt zur Einlagerung trockener Lebensmittel, wie etwa von Getreide, Dörrobst und -gemüse etc. gedient haben dürften, erschließt sich für den nun stark verkleinerten Raum A weiterhin eine Nutzung als Lager- und Vorratsraum (Taf. 364, 365).¹¹⁵⁹ Auf eine ebensolche deutet gleichsam ein im keramischen Fundmaterial enthaltenes Großgefäß vom Typ Gr 1 hin (Abb. 99), auch steht das vergleichsweise hohe Aufkommen an Gefäßformen, die üblicherweise mit Tätigkeiten wie Kochen, Essen und Trinken assoziiert werden, wie zum Beispiel Kochtöpfe, Teller, Schalen und Becher,¹¹⁶⁰ mit dieser Annahme nicht notwendigerweise im Widerspruch; sie mögen hier bis zum Gebrauch aufbewahrt worden sein, eventuell in Wandregalen gestapelt. Anhaltspunkte für andere als mit der Zubereitung von Lebensmitteln in

¹¹⁵⁹ Ausgrabungseinheiten A5/6.780, A5/6.859, A5/6.865, A5/6.896, A5/6.901 u. A5/6.953.

¹¹⁶⁰ Schalen: Sc 1, Sc 2.2, Sc 3.3, Sc 3.4, Sc 3.6, Sc 4.2, Sc 11.6 u. Sc 12; Teller: Te 2.1, Te 3; Töpfe: To 1.1, To 2.1, To 3.1, To 3.3, To 4; Becher: Be 3.

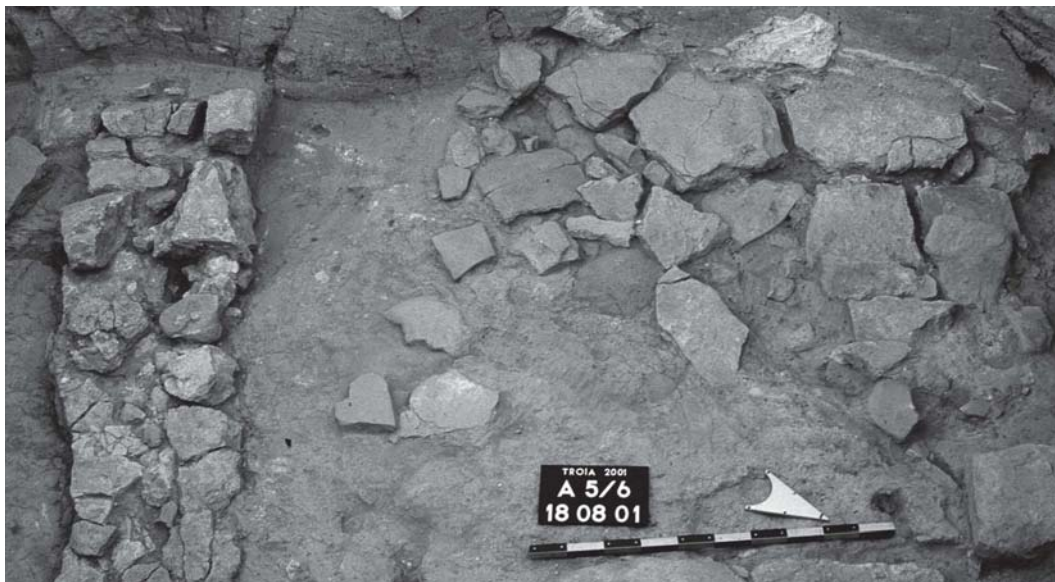


Abb. 99
Phase Troia IV₂,
Steinpflasterboden mit
darauflagernden Scher-
ben von Gefäßgefäßen
(Dia Troia 47217).

Zusammenhang stehende handwerkliche Tätigkeiten, wie dem Mahlen und Zerkleinern von Nahrungsgütern mittels Reib- und Klopsteinen, liegen indes keine vor.

Auch Raum B wird anhand des beweglichen Inventars in erster Linie als Lager- und Vorratseinrichtung charakterisiert, wobei das Auftreten verschiedener, teils größerer geschlossener Gefäßtypen (He 5, He 7 u. Kr 1) hier jedoch auf eine Unterbringung von Flüssigkeiten verweist; aus obengenannten Gründen steht die Präsenz mehrerer Teller und Schalen (Te 1, Te 2.1, Sc 3.3 u. Sc 4.1) sowie eines Kochtopfs der Variante To 1.1 im betreffenden Fundaufkommen auch in diesem Fall einer entsprechenden funktionalen Bewertung nicht grundsätzlich entgegen (Taf. 365).¹¹⁶¹ Ein ebenfalls in Raum B aufgenommener Spinnwirtel könnte ebenso wie ein Polierstein als Hinweis auf die Ausführung handwerklicher Aktivitäten vor Ort verstanden werden, allerdings mögen auch sie hier gegebenenfalls nur vorübergehend untergebracht worden sein.

In Raum C, dem südöstlichen der vier erfassten Gebäudeteile, beschränkte sich der Fundanfall wie schon zuvor in Phase Troia IV₁ auf Gefäße, die unmittelbar mit dem Konsum von Lebensmitteln in Zusammenhang zu bringen sind: Teller und Schalen (Te 2.1, Te 3 u. Sc 1. Cf. Taf. 365).¹¹⁶² Wenn nun auch der Raum infolge des Fehlens identifizierbarer Vertreter von als Kochgefäßen anzusprechender Formtypen nicht mehr hinreichend als Küche zu charakterisieren ist, so doch nach wie vor als Ort der Nahrungsaufnahme.

In eine vergleichbare Richtung verweist das in Raum D geborgene Fundmaterial, welches sich, von einem einzelnen Exemplar der Gefäßgattung To 2.2 abgesehen, vorwiegend aus Schalen (Sc 1, Sc 3.1 u. Sc 3.3) und Tellern (Te 1, Te 2.1) zusammensetzt (Taf. 365);¹¹⁶³ nach Art und

¹¹⁶¹ Ausgrabungseinheiten A5/6.870, A5/6.873, A5/6.874, A5/6.879, A5/6.882, A5/6.885, A5/6.894 u. A5/6.895.

¹¹⁶² Ausgrabungseinheiten A5/6.850 u. A5/6.902.

¹¹⁶³ Ausgrabungseinheiten A5/6.869, A5/6.783, A5/6.798, A5/6.810, A5/6.862 u. A5/6.890.

Umfang des vorherrschenden Formenspektrums zu urteilen, mag das nach Südwesten gewandte Gebäudeteil mit Raum C, mit dem es über einen Türrdurchgang direkt verbunden war, eine funktionale Einheit gebildet haben.

6.2.2.2 Troia V

6.2.2.2.1 Phase Troia V₁

Auf die Zerstörung und systematische Einebnung der Troia IV₂-zeitlichen Bauelemente folgend (Matrix-Nr. 015 u. 020), entstand innerhalb der Planquadrate A 5/6 mit Matrix-Nummern 024 bis 026 ein überdachter Kuppelofen, der den betreffenden räumlichen Abschnitt als eine im Sektor Nahrungszubereitung, und hier speziell im Bereich Kochen und Backen, angesiedelte Aktivitätszone ausweist.

Der Umgang mit Nahrungsmitteln, ausgehend von deren Lagerung bis hin zum Konsum, erschließt sich zudem über das in den Verfüllungen der beiden, dem Ofen in nordwestlicher Richtung vorgelagerten Gruben Matrix-Nummer 031 und 027 enthaltene, kontemporäre Fundmaterial. In erstgenannter fanden sich die Fragmente zweier offener, insbesondere für die Aufbewahrung nichtflüssiger Lebensmittel geeigneter Gefäße der Formvarianten To 2.1 und To 2.2, während in letzterer, neben der dem Kuppelofen im Anschluß an den jeweiligen Feuerungsprozeß entnommenen Asche größere Mengen an – durchweg zerscherbten – Vorratsbehältnissen unterschiedlicher Dimension und Formgebung (To 2.1, To 2.2, To 3.2, He 7, He 8) sowie als Speisegeschirr anzusprechender Teller- und Schalenfragmente (Te 2.1, Sc 3.1, S 3.3, Sc 3.6, Sc 7, Sc 10.2) deponiert wurden (Taf. 366).¹¹⁶⁴

6.2.2.2.2 Phase Troia V₂

Mit Errichtung der Mauern 12 (Matrix-Nr. 041 u. 042) und 27 (Matrix-Nr. 044 u. 045) ging zeitlich die Installation eines neuen Kuppelofens in Raum B einher (Matrix-Nr. 052 bis 055), anhand dessen sich für das betreffende Gebäudesegment primär eine Nutzung als Koch- und Backbereich erschließt. Hierauf deutet in gleicher Weise das in dessen Umfeld geborgene Fundmaterial hin,¹¹⁶⁵ das sich unter anderem aus teils sehr stark geschmauchten Kochtöpfen der Formen To 1.1 und To 1.2 sowie offenen, für die Aufbewahrung trockener Stoffe wie beispielsweise Mehl und anderer Getreideprodukte geeigneter Vorratsbehältnisse der Formen To 2.1, To 2.2 und To 3.2 zusammensetzt (Taf. 367); ein Typvertreter der geschlossenen Henkelkrüge He 3 dagegen mag zur Bereitstellung der in den verschiedenen Stufen des Auf- und Zubereitungsprozesses von Lebensmitteln benötigten Flüssigkeiten gedient haben, während zahlreiche Teller-

¹¹⁶⁴ Ausgrabungseinheiten A5/6.805, A5/6.815, A5/6.831, A5/6.876, A5/6.899, A5/6.916 u. A5/6.934.

¹¹⁶⁵ Ausgrabungseinheiten A5/6.709, A5/6.730, A5/6.746, A5/6.751 u. A5/6.762.

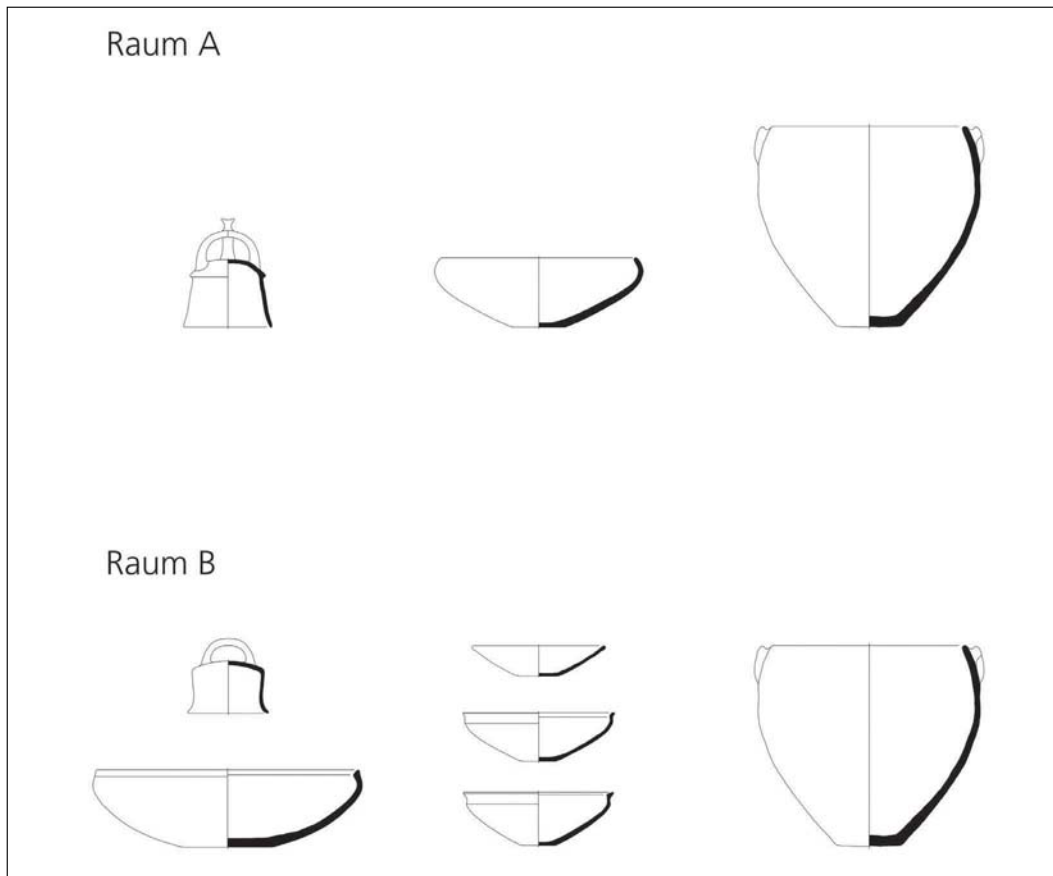


Abb. 100
Troia V_{2b}, schematische
Darstellung des
Rauminhalts.

(Te 1, Te 2.1 u. Te 2.2) und Schalenfragmente (Sc 1, Sc 3.1, Sc 3.3, Sc 4.3, Sc 5, Sc 10.1, Sc 11.2 u. Sc 18) den Verzehr der hier zubereiteten Speisen indizieren, so daß sich für Raum B überdies eine Funktion als Ort der Nahrungsverteilung und -aufnahme erschließt.

Mit Matrix-Nummer 049 entstand im nördlich von Mauer 12 gelegenen Raum A eine partielle Pflasterung aus plattigen, verhältnismäßig dicht aneinander verlegten Kalksteinplatten, die den Gebäudeteil hinreichend als Lager-, Vorrats- und/oder Wirtschaftsraum ausweisen mag. Im dazugehörigen Fundmaterial enthaltene Bruchstücke von offenen Vorratsgefäßen der Formen To 2.2 und To 2.3 (cf. Taf. 367)¹¹⁶⁶ deuten ebenfalls auf eine entsprechende Verwendung hin, wobei das Vorkommen verschiedener mit diesen in den jeweiligen Schichtablagerungen assoziierten Fragmente von Tellern (Te 2.1) und Schalen (Sc 1, Sc 2.2, Sc 3.3, Sc 5, Sc 11.5 u. Sc 18) sowie eines Deckels vom Typ De 2 zu einer dahingehenden funktionalen Bewertung nicht notwendigerweise im Widerspruch stehen muß, zumal auch diese hier zeitweise aufbewahrt worden sein können.

¹¹⁶⁶ Ausgrabungseinheiten A5/6.693, A5/6.733, A5/6.738, A5/6.770 u. A5/6.838.

In Subphase Troia V_{2b} entstanden im untersuchten Bereich keine neuen Rauminstallationen, auch scheint der zu Beginn des vorhergehenden Siedlungsabschnitts in Raum B angelegte Kuppelofen wenn überhaupt, dann nur verhältnismäßig kurzfristig weiterverwendet worden zu sein. Eine größere Menge an mit Matrix-Nummer 067 in einer über dessen Verfüllung lagernden Schichteinheit geborgenen Schalen der eßbaren Herzmuschel (*C. glaucum*) dürften als Überreste der Nahrungszubereitung anzusprechen sein (cf. Taf. 91.2), die hier in Form primärer oder sekundärer Abfälle entsorgt wurden, desgleichen erschließt sich ausgehend von Gefäßformen wie Te 2.1, Sc 10.1, Sc 11.2, Sc 12, To 2.2 und De 1 (Abb. 100) erneut eine Kombination aus Eß- und Kochraum für das südlichere der beiden erfaßten Gebäudesegmente.¹¹⁶⁷

Mit Fragmenten der Gefäßgattungen Sc 3.3, To 2.2 und De 2 setzt sich das Raum A zuzuweisende keramische Fundmaterial in seiner Struktur vergleichbar demjenigen von Troia V_{2a} zusammen,¹¹⁶⁸ so daß sich auch für diesen Teil des Bauwerks in funktionaler Hinsicht eine Kontinuität abzuzeichnen scheint (Abb. 100). Eine Hülsenfrucht (*Leguminosae*), die Makroreste dreier Süßgräser (*Gramineae*) sowie 19 von der Getreidereinigung stammende Druschreste,¹¹⁶⁹ die in demselben Befundkontext mit Ausgrabungseinheit A5/6.696 geborgen werden konnten, deuten auf eine Unterbringung und Weiterverarbeitung von Erzeugnissen der landwirtschaftlichen Produktion in Raumelement A hin und weisen dieses ihrerseits als Vorrats- und Wirtschaftsreich aus.

6.2.2.2.3 Phase Troia V₃

Bei unveränderter Aufteilung des Gebäudes wurde Raum A zu Anfang von Phase Troia V₃ mit einem konventionellen Fußboden aus stark verdichtetem Lehm ausgestattet (Matrix-Nummer 076), zur gleichen Zeit entstand im benachbarten Raum B eine in einer flachen Mulde angelegte Herdstelle (Matrix-Nummer 096), die, ebenso wie eine kleine Grube, die man direkt seitlich an diese anschließend anlegte (Matrix-Nummer 094), von einer dichten Pfostenstellung mit Öffnungen jeweils nach Südwesten und Südosten ringförmig umgeben wurde; diese dürfte Teil eines Rauchfangs gebildet haben, der – wohl in Verbindung mit einer in der hier vorauszusetzenden Flachdachkonstruktion integrierten Entlüftungsöffnung – die Eindämmung der während des Verbrennungsprozesses entstehenden Brandgase sowie deren Abzug in Freie ermöglichte (cf. Taf. 97–99). Unmittelbar nördlich der aller Wahrscheinlichkeit nach für Kochzwecke bestimmten Installation wurde ausgehend von einem ebenfalls aus Stampflehm bestehenden Begehungshorizont (Matrix-Nr. 077) mit Matrix-Nummer 092 eine im Grundriß annähernd kreisrunde Grube angelegt, in deren Verfüllung (Matrix-Nummer 093) sich größere Mengen als Abfall einzustufender Objekte befanden, darunter beispielsweise zahlreiche Gefäßfragmente, Knochen, Muscheln, Holzkohle etc. (cf. Taf. 100.1); ob die insgesamt 0,82 m tiefe Negativstruktur bereits

¹¹⁶⁷ Ausgrabungseinheiten A5/6.466, A5/6.494, A5/6.678, A5/6.703 u. A5/6.721.

¹¹⁶⁸ Ausgrabungseinheiten A5/6.689, A5/6.693 u. A5/6.708.

¹¹⁶⁹ Archäobotanische Bestimmung Şirin Uzunoğlu (01.07.2001).

zum Zeitpunkt ihrer Entstehung als Entsorgungseinrichtung konzipiert war oder zunächst der Vorratshaltung diente und erst später aus der Nutzung genommen und einer sekundären Zweckbestimmung zugeführt wurde, ist anhand des gegebenen Befundbilds, das lediglich den Zustand der Rauminstallation im Moment ihres letztmaligen aktiven Gebrauchs wiederzugeben vermag, freilich nicht zu erschließen, jedoch dürfte hier ausgehend von deren im Vergleich recht sorgfältigen Ausführung letztere Option als zutreffend in Erwägung zu ziehen sein.

Aus der aktiven Nutzungsphase des Gebäudes stammendes Fundmaterial fand sich lediglich im Zusammenhang mit den beiden genannten Einbauten in Raum B,¹¹⁷⁰ die kontemporären Fußböden beider Raumsegmente hingegen scheinen vor dem erneuten Umbau gegen Ende von Phase Troia V₃ von allen beweglichen Elementen des Rauminventars freigeräumt worden zu sein; die Wahrscheinlichkeit, daß zum entsprechenden Zeitpunkt in möglicherweise vorhandenen Wandnischen und -regalen untergebrachte Gegenstände und Lebensmittel dabei unberücksichtigt blieben und – an ihrem Standort belassen – mit Teilen des Baukörpers niedergerissen und im Schutt (Matrix-Nr. 097 u. 098) eingeschlossen wurden, ist daher den hier gegebenen Umständen entsprechend gering anzusetzen, so daß die in den betreffenden, unmittelbar auf den Laufflächen lagernden Schichteinheiten geborgenen Fundstücke sich nicht für eine funktionale Bewertung der jeweils zur Diskussion stehenden Befundkontexte eignen. Gefäßfragmente der Formen Sc 3.1, Sc 3.3, Sc 10.1, Sc 14, Te 1, Te 3, Ka 1, To 2.1 und To 3.2, eine sekundär bearbeitete Scherbe sowie das Bruchstück eines Steinbeils weisen den Inhalt von Grube Matrix-Nummer 092 als den von einem Haushalts stammenden – dem allgemeinen Erhaltungszustand der Fundstücke nach zu urteilen, größtenteils als sekundärer Abfall angefallener – Unrat aus (Taf. 368); um ebensolchen handelt es sich auch bei den im Kontext der nahegelegenen Feuerstelle vergesellschafteten Objekten (Sc 1, Sc 3.1, Sc 3.4, Sc 3.6, Sc 4.1, Sc 8, Sc 11.3, Ka 3.1, To 2.2 u. He 9), während der mit beiden Ausgrabungseinheiten A5/6.491 und A5/6.500 erfaßte Inhalt des in der danebenliegenden Mulde deponierten Gefäßes A5/6.492.01 mit 53 Makroresten von Süßgräsern (*Gramineae*), 11 Hülsenfrüchten (*Leguminosae*), 57 Druschresten sowie 24 Rückständen von Getreide und 90 von Weinrebengewächsen (*Vitis vinifera ssp.*)¹¹⁷¹ vom Umgang mit für die Zubereitung von Speisen bestimmter Lebensmitteln an diesem Ort zeugt (cf. Taf. 368).

6.2.2.2.4 Phase Troia V₄

Unter Beibehaltung von Raum A wurde der nach Süden gewandte Bereich des Gebäudes, vormals Raum B, durch den Einbau verschiedener Mauerzüge (Matrix-Nr. 103 bis 106) in mindestens drei kleinere Segmente aufgeteilt (Abb. 101. Cf. Taf. 107), wobei die mit Matrix-Nummer 102 im südlichen Abschnitt erfaßte bankähnliche Installation aus ungebrannten, kalkmörtelverputzten Lehmsteinen dazu ergänzend eine räumliche Gliederung des Bauteils schaffte (Räume B – C – D/E). Einer verhältnismäßig kleinen, später mit Knochen und Wandscherben unter an-

¹¹⁷⁰ Ausgrabungseinheiten A5/6.481, A5/6.492, A5/6.519, A5/6.619, A5/6.684, A5/6.741, A5/6.752 u. A5/6.774.

¹¹⁷¹ Archäobotanische Bestimmung Şirin Uzunoğlu (10.08.2000 u. 11.08.2000).



Abb. 101
Troia V_{4a},
Raumaufteilung
(Dia Troia 43468).

derem von *Red cross bowls* verfüllten Feuerstelle in Raum D nach zu schließen (Matrix-Nr. 101), dürfte diesem in Subphase Troia V_{4a} die Funktion einer Küche zugekommen sein, so daß die unweit südwestlich von dieser gelegene, im Durchschnitt 0,32 m über das allgemeine Bodenniveau hinausreichende »Bank« gegebenenfalls als leicht erhöhter Abstellplatz für Koch- und Speisegefäße, häufig genutzte Küchenutensilien sowie Gewürze und andere Lebensmittel gedient haben könnte.

Auch wenn sich für das südöstliche Gebäudesegment E gemäß seiner räumlichen Verbindung zum potentiellen Küchenbereich D eine Verwendung als Ort der Nahrungsaufnahme erschließen mag, fehlt aus dem betreffenden Befundkontext im Laufe des aktiven Nutzungszeitraums angefallenes, in seiner Entstehung auf primäre oder sekundäre Ablagerungsprozesse zurückgehendes Fundmaterial, das eine entsprechende Hypothese hätte stützen können; vergleichbares gilt für die Räume A und D, die ebenfalls vor dem nächsten Umbau vollständig von allen mobilen Gütern freigeräumt worden zu sein scheinen. Aussagefähige, in ihrer kontextuellen Zuweisung sichere Fundvergesellschaftungen sind in diesem Zusammenhang lediglich für die beiden mittleren, unmittelbar nebeneinandergelegenen Räume B und C belegt, da hier mit Matrix-Nummern 107 und 108 noch vor Ablauf des hier zur Diskussion stehenden Siedlungshorizonts gezielt verschiedene, nach Inhalt und Struktur der jeweiligen Komplexes zu urteilen, aus – alltagsüblichen – Haushaltsaktivitäten stammende Abfälle deponiert, d. h. formal entsorgt wurden.¹¹⁷² Neben Fragmenten der Schalengattungen Sc 3.1, Sc 3.3, Sc 4.2 und Sc 17 (Taf. 369)

¹¹⁷² Ausgrabungseinheiten A5/6.439, A5/6.441, A5/6.454 u. A5/6.570.

fanden sich in den entsprechenden Schichtablagerung des Raumes B im ganzen 38 von Süßgräsern (*Gramineae*), 3 von Hülsenfrüchten (*Leguminosae*) und 17 von Getreide stammende pflanzliche Makroreste; 121 Druschreste, die im selben Befundzusammenhang geborgen werden konnten, lassen auf eine Aufbereitung von eventuell hier gelagerten Körnerfrüchten schließen.¹¹⁷³ Das Fundspektrum von Raum C wird im wesentlichen von – primär im Kontext der Nahrungsaufnahme anzusiedelnden – Schalen bestimmt (Sc 1, Sc 3.3 u. Sc 5), ein Topf der Variante To 2.2 dagegen deutet auf eine Verwendung als Vorrats- und Lagerraum hin.

Der funktionalen Ausstattung des Gebäudes wurden in Troia V_{4b} keine neuen Komponenten hinzugefügt, auch wurde die bereits zu Beginn des vorhergehenden chronologischen Abschnitts in Raum D installierte Feuerstelle (Matrix-Nr. 101) weiterverwendet, worüber sich für diesen eine Kontinuität in der Nutzung als Ort der Nahrungszubereitung, d. h. als Küche andeutet.

Kontemporäres Fundmaterial liegt auch in diesem Stadium des Ausbaus aus nur zwei Teilbereichen des Bauwerks vor, Raum A und Raum B.¹¹⁷⁴ In erstgenanntem fand sich das Bruchstück eines Topfes der Variante To 3.3, während in letzterem verschiedene Typvertreter von Schalen (Sc 1, Sc 3.1, Sc 3.2, Sc 3.3, Sc 4.2, Sc 5, Sc 11.4, Sc 13 u. Sc 15) und Töpfen (To 1.2, To 3.2 u. To 3.3) sowie je eines Henkelkrugs (He 1.1), Tellers (Te 2.1) und eines Deckels (De 2) aufgenommen wurden (Taf. 370). Anhand der in den jeweiligen Fundvergesellschaftungen vertretenen Gefäßarten als Lager- und Vorratsräume charakterisiert, erschließt sich über größere, offene Behältnisse wie To 3.2 und To 3.3 in erster Linie eine Unterbringung trockener Lebensmittel, während dagegen in geschlossenen Formen, wie beispielsweise He 1.1, Flüssigkeiten bis zu ihrer Verwendung untergebracht worden sein dürften; in Anbetracht der größeren Fundmenge an Schalen, zeichnet sich für Raum B zudem eine Nutzung als Aufbewahrungsort für – nicht benötigtes – Geschirr ab.

6.2.2.2.5 Phase Troia V₅

Zu den maßgeblichen strukturellen Veränderungen in Subphase Troia V_{5a} ist der Einbau von Mauer 26 (Matrix-Nr. 118 bis 121) im nördlich von Mauer 12 gelegenen Gebäudebereich zu zählen. Ob und gegebenenfalls inwiefern sich infolge der dabei herbeigeführten Aufteilung eine Veränderung bezüglich der Funktion des nun wenigstens zweiteligen Raumbereichs einstellte, ist auf Grundlage des vorliegenden architektonischen Befunds nicht zu beurteilen, auch liegt aus den betreffenden räumlichen Abschnitten, Räume A und B, kein dahingehend auswertbares Inventar vor. Kontemporäres, sicher aus dem Nutzungszeitraum des Bauwerks stammendes Fundmaterial erbrachte lediglich eine einzelne Schichtablagerung in Raum C (Matrix-Nr. 122),¹¹⁷⁵ die neben größeren Mengen an Muschelschalen die Fragmente verschiedener Schalen (Sc 1, Sc 3.1,

¹¹⁷³ Archäobotanische Bestimmung Şirin Uzunoğlu (10.08.2000 u. 11.08.2000).

¹¹⁷⁴ Ausgrabungseinheiten A5/6.314, A5/6.329, A5/6.566 u. A5/6.585.

¹¹⁷⁵ Ausgrabungseinheiten A5/6.247, A5/6.266, A5/6.278, A5/6.314 u. A5/6.577.

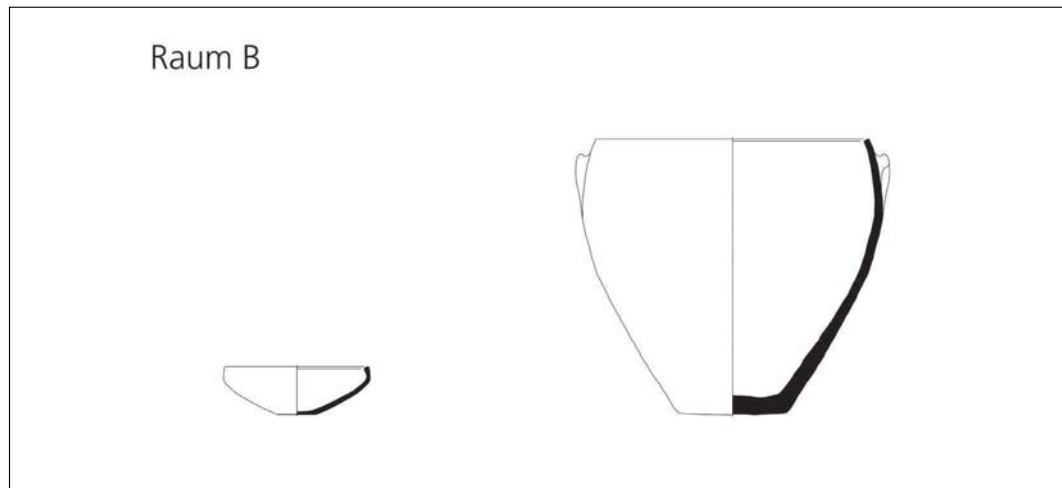


Abb. 102
Troia V_{5b}, schematische Darstellung des Rauminhalts.

Sc 3.2, Sc 3.3, Sc 4.2, Sc 5, Sc 11.4 u. Sc 13), Töpfe (To 2.1 u. To 3.2) und Becher (Be 3) sowie diejenigen eines Tellers (Te 2.1) und eines Deckels vom Typ De 2 enthielten (Taf. 371). Wie im vorherigen Siedlungshorizont dürfte der Raum als eine der Vorrats- und Lagerhaltung vorbehaltene Einrichtung eingesetzt worden sein (*cf.* Troia V_{4b} Raum B), während die beiden unmittelbar im Süden daran anschließenden Segmente, die Räume E und F, unverändert als Orte der Zubereitung und des Verzehrs von Nahrungsmitteln gedient zu haben scheinen.

In ihrer Entstehung auf die Zeit von Troia V_{5b} zurückgehende Installationen fanden sich innerhalb der Arealgrenzen von A 5/6 nicht, zudem beschränkte sich das über Matrix-Nummer 132 in seiner chronologischen Zuweisung als sicher geltende Fundmaterial auf nur einige wenige Stücke aus Raum B (Sc 4.3 u. To 2.1),¹¹⁷⁶ die in Verbindung mit den im selben Kontext geborgenen Tierknochen und Muschelschalen zwar eindeutig als Siedlungsabfälle zu identifizieren sind, jedoch in gegebener Kombination und quantitativer Verteilung nicht über das notwendige Potential für eine Erschließung der einstigen Nutzung des Gebäudesegments verfügen (Abb. 102).

6.2.2.2.6 Phase Troia V₆

In Siedlungshorizont Troia V₆ beschränkten sich die baulichen Aktivitäten abermals auf den nördlich von Mauer 12 gelegenen Gebäudeabschnitt. Mit Baukörper 24, einem insgesamt aus mittelgroßen Kalkbruchsteinen errichteten Mauerzug (Matrix-Nr. 134 bis 137), wurde hier der erst im Zuge einer im vorherigen Ausbaustadium vorgenommenen Raumaufteilungsmaßnahme angelegte Raum B aufs neue untergegliedert und Raum C von diesem strukturell abgetrennt

¹¹⁷⁶ Ausgrabungseinheit A5/6.577.

(cf. Taf. 113); ortsfeste, inhaltlich mit einer bestimmten Art der Funktion in Zusammenhang zu bringende Elemente der Innenausstattung, wie Öfen, Herdstellen oder Vorrats- und Abfallgruben, entstanden im betreffenden Zeitraum nicht.

In den Räumen A und B beschränkte sich der über Matrix-Nummern 149 und 150 der aktiven Nutzungsphase des Gebäudes zuweisbare Fundanfall¹¹⁷⁷ auf einige wenige Typvertreter der Formengattung Schalen (Sc 1, Sc 4.3 u. Sc 5), die Raumteile C, D, E und G dagegen waren vor ihrer Auffassung vollständig ausgeräumt worden (Taf. 372). Als Siedlungsabfälle in einer bis zu 10 cm starken Schichtablagerung deponierte Tierknochen und Muschelschalen weisen Raum F zunächst als Verarbeitungsort von Lebensmitteln aus, wobei die hier allem Anschein nach immer bestehende Feuerstelle (Matrix-Nr. 101) zudem deren Zubereitung, und somit eine Raumfunktion als Küche indiziert. Ergänzend dazu machen verschiedene im selben Kontext vergesellschaftete Gefäßfragmente der Gattungen Sc 1, Sc 3.3, Sc 8 und Sc 11.6¹¹⁷⁸ es wahrscheinlich, daß man hier die fertigen Speisen zudem portionsgerecht verteilte d. h. servierte, auch ist anhand des vorliegenden Befundbilds nicht auszuschließen, daß man diese noch an Ort und Stelle konsumierte.

6.2.2.2.7 Phase Troia V₇

Ausgangspunkt des siebten und insgesamt letzten Troia V-zeitlichen Ausbaustadiums im Bereich der Planquadrate A 5/6 bildete eine umfangreiche bauliche Maßnahme (Matrix-Nr. 154), im Zuge derer sämtliche nördlich und südlich von Mauer 12 gelegenen Konstruktionselemente entweder vollständig abgetragen oder – wie insbesondere im Falle der Strukturen aus Lehm – im Anschluß an ihre Zerstörung flächig eingeebnet wurden (vgl. Taf. 113 u. 116). Auf dem dabei mit Matrix-Nummer 155 in Raum B neu entstanden Begehungshorizont wurde eine Feuerstelle von knapp einem Meter Durchmesser angelegt (Matrix-Nr. 156), die den Raumabschnitt hinreichend als Kochbereich charakterisiert.

In Raum A umfaßte das in seiner zeitlichen Zuweisung sicher Phase Troia V₇ zuzuordnende Fundmaterial neben funktional im Sektor Nahrungsaufnahme anzusiedelnden Schalen der Formen Sc 3.1, Sc 3.4, Sc 4.1, Sc 4.2, Sc 6.1 und Sc 9 das Fragment eines Henkelkrugs vom Typ He 3 (Taf. 373),¹¹⁷⁹ anhand dessen für die betreffende Gebäudezone zudem ein unter Umständen mit der Lager- und Vorratshaltung in Zusammenhang stehender Umgang mit Flüssigkeiten zu erschließen ist. Die kontemporären Schichtablagerungen in Raum B,¹¹⁸⁰ zu denen unter anderem auch eine in räumlichen Ausdehnung klar umgrenzte Akkumulation von aus der Feuerstelle entnommener Asche zu zählen ist (Matrix-Nr. 157. Cf. Taf. 117.1), enthielten überwiegend Bruchstücke von Schalen (Sc 3.1, Sc 3.2, Sc 3.3, Sc 4.1, Sc 5, Sc 10.2 u. Sc 16), als Einzelstücke fanden sich daneben solche eines Tellers (Te 2.1), eines Topfes (To 3.2) sowie eines Bechers der

¹¹⁷⁷ Ausgrabungseinheiten A5/6.563, A5/6.568 u. A5/6.573.

¹¹⁷⁸ Ausgrabungseinheiten A5/6.211, A5/6.242, A5/6.325 u. A5/6.596.

¹¹⁷⁹ Ausgrabungseinheiten A5/6.215, A5/6.218, A5/6.244, A5/6.301, A5/6.327 u. A5/6.337.

¹¹⁸⁰ Ausgrabungseinheiten A5/6.204, A5/6.206, A5/6.209, A5/6.211 u. A5/6.233.

Form Be 2 (cf. Taf. 373). Zu diesen kommen über den mit Ausgrabungseinheit A5/6.235 erfaßten archäobotanischen Befund 29 von Süßgräsern (*Gramineae*) und 56 von der Reinigung von Getreide stammende Makroreste hinzu, so daß sich ausgehend vom gegebenen ortsfesten und mobilen Inventar in seiner Gesamtheit Raum B als Küche darstellt, in der neben der eigentlichen, für diese Aktivitätszonengattung typischen Auf- und Zubereitung von Lebensmitteln selbst deren Verzehr erfolgt sein mag.

6.2.3 Bewertung

Die funktionale Bewertung der verschiedenen, im stratigraphischen Kontext der Siedlungsabschnitte Troia IV₁ bis Troia V₇ erfaßten architektonischen Strukturen und Elemente der Raumausstattung wird maßgeblich durch den Umstand eingeschränkt, daß für keine der im einzelnen differenzierten Gebäudeeinheiten die ursprüngliche Ausdehnung, die vollständige Anzahl der Räume und ihre Aufteilung dokumentiert werden konnte, anhand derer auf die einstige Größe und die Zusammensetzung der jeweils ansässigen Haushalte zu schließen wäre. Hinzu kommt, daß sich neben dem archäobotanischen und -zoologischen Fundmaterial ein Großteil der gegebenenfalls einer je spezifischen Tätigkeit zuweisbaren materiellen Hinterlassenschaften, z. B. Mahl- und Reibsteine, Klopffsteine, Halbfabrikate etc., in Schichtablagerungen wie Planierungen, Grubenverfüllungen etc. enthalten fand, die infolge der Art und Umstände ihrer Befundgenese nur in Ausnahmefällen für eine räumliche Identifikation und inhaltliche Charakterisierung von Aktivitätszonen geeignet sind.

Hinweise auf eine Entstehung der beobachteten Fundvergesellschaften im Zuge katastrophischer Ereignisse gibt es nicht; viel eher handelt es sich bei den im Bereich von A 5/6 aufgenommenen Schichtablagerungen um das Resultat kontinuierlicher Instandhaltungstätigkeiten an den Bauten sowie um den materiellen Niederschlag beim Unterhalt der sie benutzenden Hausgemeinschaften im Alltag. Den dabei zu erwartenden großen Abfallmengen steht indes nur eine geringe Anzahl innerhäuslicher Einrichtungen zur Abfallbeseitigung gegenüber. Primär, sekundär oder auch tertiär mit Scherben von zerbrochenen Keramikgefäßen, Einzelteilen von unbenutzbar gewordenen Werkzeugen und anderen Gebrauchsgegenständen, Küchen- und Essensresten oder mit den täglich anfallenden Brandrückständen von Kuppelöfen, Herd- und Feuerstellen etc. verfüllte Gruben fanden sich lediglich in den Phasen Troia V₁ und Troia V₃ (Matrix-Nr. 027, 031 u. 092). Auch die Begehungsflächen zeigen im allgemeinen nur wenige Spuren von zurückgelassenem Abfall;¹¹⁸¹ sie scheinen durch regelmäßiges Kehren frei von Unrat gehalten worden zu sein, was nicht zuletzt auch darin zum Ausdruck kommt, daß sich ihre Aufhöhung in den einzelnen Nutzungsphasen auf ein Minimum beschränkte (Abb. 103). Primäre, die Art und den Ort einer durchgeführten Aktivität unmittelbar indizierende Abfälle treten im Befundbild vor allem gegenüber sekundären deutlich zurück, weshalb die aufgenom-

¹¹⁸¹ Cf. Blegen *et al.* 1951: 223: »Even in housekeeping, improvement may be postulated: for the floors in contrast to those of earlier periods were remarkably clean and free from litter.« Vgl. Blegen *et al.* 1951: 5. Ergänzend dazu s. Blum 2003: 103 u. 123–137.



Abb. 103
Planquadrat A 5/6,
Schichtablagerungen
(Dia Troia 43545).

menen, einem bestimmten Raumsegment zugewiesenen Fundensembles im Grunde nicht mehr sind als ein sowohl in quantitativer wie qualitativer Hinsicht stark reduzierter Teil der ehemaligen systemischen Ausstattung, d. h. Auflassungsinventare. Die überwiegende Mehrzahl der Abfälle dürfte außerhalb der Gebäude deponiert worden sein, eventuell an speziell dafür vorgesehenen Plätzen außerhalb der Terrassierungs- bzw. Befestigungsmauer. Eine besondere Bedeutung mag in diesem Zusammenhang auch den an den jeweiligen Raumstrukturen vorüberführenden Gassen und Straßen zugekommen sein, da solche, wie die Untersuchungen des US-amerikanischen Grabungsteams um Blegen deutlich herausstellen konnten, in der Zeit von Troia IV und Troia V nicht seltenen als Deponierungsort auch für größere Mengen von Haushaltsabfällen genutzt wurden.¹¹⁸²

Ausgehend von der Gesamtheit des ortsfesten und mobilen Inventars der Planquadrat A 5/6 stellen sich die verschiedenen stratifizierten Befundeinheiten unabhängig von ihrer jeweiligen zeitlichen Stellung als Lebensraum häuslicher Gemeinschaften dar. Die insbesondere ab Phase Troia V₄ deutlich zunehmende Kleinteiligkeit der Raumaufteilung mag dabei als Anzeichen einer durch äußere ökonomische und/oder innere familiäre Faktoren bestimmten Diversifizierung verstanden werden.

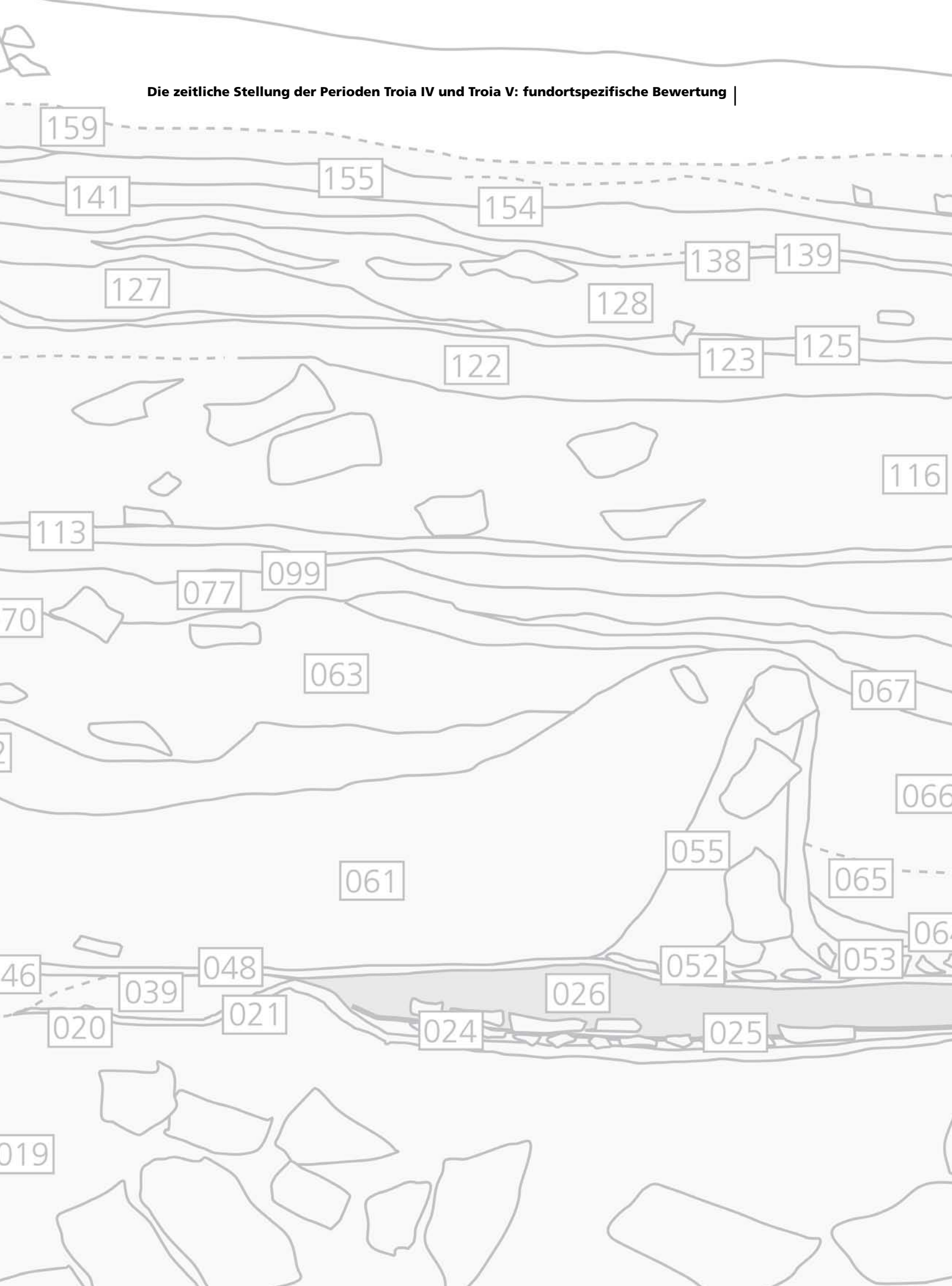
Zu den rekonstruierbaren Aktivitäten sind zunächst die Lager- und Vorratshaltung zu zählen, die in Form verschiedener sowohl für Aufbewahrung fester wie flüssiger Nahrungsmittel ge-

¹¹⁸² Cf. Blegen *et al.* 1951: s.v. *Street 458* u. *Street 556*.

eigneter Gefäßtypen ihren materiellen Niederschlag fanden. Die Aufbereitung von Lebensmitteln, und hier vor allem von Hülsenfrüchten und Getreide,¹¹⁸³ ist schwerpunktmäßig über den archäobotanischen Befund sowie Artefaktklassen wie Reib- und Läufersteine zu fassen, während sich die im Handlungsablauf daran anschließende Zubereitung von Speisen in erster Line anhand von Kuppelöfen, Feuerstellen und als Kochtöpfe anzusprechenden Gefäßen erschließt. Verzehrt scheinen die Mahlzeiten entweder in den Küchen selbst oder in an diese unmittelbar anschließenden Raumzonen worden zu sein, wie verschiedene in den entsprechenden funktionalen Kontexten vergesellschaftete Typvertreter von Tellern, Schalen und Trinkgefäßen erkennen lassen. Einen wesentlichen Aspekt des Alltagslebens dürfte zudem die häusliche Produktion dargestellt haben, worauf handwerkliche Geräte, wie Spinnwirtel, Schleif- und Poliersteine, Knochenspatulae und Metapodienspitzen sowie verschiedene Halbfabrikate hindeuten. Das Produktionsvolumen dürfte dabei den Eigenbedarf der Bewohner nicht überschritten haben, Anzeichen für eine Spezialisierung gibt es nicht. Ein im Fundbestand enthaltener Sicheleinsatz deutet darüber hinaus auf eine Ausübung landwirtschaftlicher Tätigkeiten von seiten der Bewohner hin, wobei die dazu benötigten Gerätschaften zumindest zeitweise im geschlossenen Hausbereich aufbewahrt worden zu sein scheinen.

¹¹⁸³ Nicht berücksichtigt werden konnten hier die Resultate der in den Jahren 2000 und 2001 grabungsbegleitend durchgeführten Untersuchungen am archäozoologischen Fundmaterial, das diese – aus technischen Gründen – zum Zeitpunkt der Abfassung nicht zur Verfügung standen.

Die zeitliche Stellung der Perioden Troia IV und Troia V: fundortspezifische Bewertung |



7.1 Relative Chronologie

Schichtablagerungen der Perioden Troia IV und Troia V konnten in verschiedenen Teilbereichen des Hisarlık Tepe nachgewiesen werden, wobei die Länge der einzelnen stratigraphischen Abfolgen mitunter sehr stark variiert, je nachdem wieviele Befunde am betreffenden Ort vorliegen. Jede Arealsequenz gibt daher unvermeidlich nur einen bestimmten Ausschnitt der Gesamtabfolge wieder, und erst durch eine explizit integrative Korrelation der Einzelstratifizierungen anhand relativchronologisch signifikanter Charakteristika, wie etwa phasenspezifischer Bauformen und -elemente oder das Auftreten zeitlich diagnostischer Gefäßformen im Fundaufkommen, ist eine übergreifende Fundplatzsequenz zu erzielen.¹¹⁸⁴ Grabungs- und dokumentationstechnisch bedingt sind die in der Zeit Schliemanns und Dörpfelds zutage getretenen Fundschichten des vierten und fünften Abschnitts der Besiedlung Troias nicht für einen derartigen Vergleich geeignet,¹¹⁸⁵ auch lassen lediglich die in Kapitel 2.2.3 »Grabungsergebnisse: Detailanalyse der Befunde« diskutierten Akkumulationen aus den Untersuchungen Blegens eine genauere Einbindung in die multilinearen Schichtenabfolge des Siedlungshügels zu; desgleichen scheiden mit Ausnahme der in den Jahren 2000 und 2001 aufgenommenen Befundeinheiten in Planquadrat A 5/6 alle Troia IV- und Troia V-zeitliches Fundmaterial führenden Areale der Unternehmungen Korfmanns aus einer entsprechenden Betrachtung aus (x 7, z 5, A7 Ost, A 8, AB 6/7, D 7/8, E 4/5, FG 5/6, G 5, H 6 sowie gegebenenfalls Hİ 25/26 und KL 16/17), da hier die betreffenden Zeitabschnitte entweder nur in Form isolierter Einzelschichten und -funde repräsentiert sind oder sich für diese ausgehend vom gegenwärtigen Stand der Bearbeitung keine adäquate Beurteilung treffen läßt.¹¹⁸⁶

7.1.1 Stratigraphischer Befund

In ihrer Entstehung auf die Zeit von Troia IV zurückgehende Siedlungsreste konnten im Zuge der Ausgrabungen der *University of Cincinnati Excavations in the Troad* in den Arealen zA 5, A 8, C 8, E 6, F 4/5, F 7/8, G 6, GH 7, H 3 Hİ 6/7 und K 6 aufgenommen werden.¹¹⁸⁷ Bei zum Teil stark variierender Struktur und stratigraphischer Substanz wurden innerhalb der betreffenden Einzelsequenzen im ganzen fünf eigenständige Horizonte isoliert,¹¹⁸⁸ die zur Unterteilung der

¹¹⁸⁴ Grundsätzlich dazu s. Harris 1989: 109–119, 125–137.

¹¹⁸⁵ Cf. Kapitel 2.1 »Die Ergebnisse der Ausgrabungen von Heinrich Schliemann und Wilhelm Dörpfeld«.

¹¹⁸⁶ Stellvertretend dazu s. Sazcı 2005: 63–87. Bei den hier für die Planquadrate D7/8 lediglich in Auswahl vorgelegten Befunden wurde mit Ausnahme von vermeintlich relevanten Angaben zum Niveau ü. NN vollständig auf eine Diskussion der vorgenommenen Perioden- und Phasenunterteilung in Troia IV1 bis Troia IV7 und Troia V zugrundeliegenden stratigraphischen Bezüge verzichtet; die Vorstellung des den jeweiligen relativchronologischen Abschnitten zuzuweisenden keramischen Fundmaterials beschränkt sich zudem auf Einzelfälle, wobei zwar das Spektrum der im einzelnen vertretenen Warenklassen und -typen hinreichend besprochen wird, nicht jedoch dasjenige der für eine übergreifende zeitliche Bewertung der differenzierten Siedlungshorizonte relevanten Formen.

¹¹⁸⁷ Cf. Blegen *et al.* 1951: 101–102, 222.

¹¹⁸⁸ S. hierzu vor allem Blegen *et al.* 1951: Anm. 1 u. Fig. 262, 268–274, 285–288, 290–292, 295, 297–302.

Periode in die Phasen Troia IVa, IVb, IVc, IVd und IVe führten.¹¹⁸⁹ Materielle Hinterlassenschaften der an diese anschließenden Periode Troia V fanden sich in den Bereichen z 5, A 4/5, A 8, C 8, E 6, EF 8, F 4/5, F 8, H 6/7 und J 6. In Planquadrat F 8 ließen sich dabei insgesamt vier Schichteinheiten im Sinne von Siedlungsphasen differenzieren (Troia Va, Vb, Vc und Vd),¹¹⁹⁰ während für Areal E 6 auf Grundlage des lokalen Schichtenverlaufs und/oder des architektonischen Befunds lediglich eine Unterteilung in drei separate relativchronologische Abschnitte vorgenommen werden konnte (Troia V¹, V² und V³).¹¹⁹¹ Da eine exakte Korrelation der in den verschiedenen Teilbereichen des Siedlungshügels registrierten Ablagerungen anhand stratigraphischer Kriterien allein nicht zu erzielen war, wurden auf Basis der keramischen Befunde drei übergeordnete zeitliche Horizonte eingeführt:¹¹⁹² Phasen Troia Va und Vb des Quadrats F 8 sollten dabei mit Phase V¹ des Quadrats E 6 in Subperiode *Troy V Early* zusammenkommen, *Troy V Middle* die Phasen Troia Vc und V² beinhalten und *Troy V Late* die Abschnitte Vd und V³.

Die archäologischen Untersuchungen der Jahre 2000 und 2001 in den Planquadraten A 5/6 ergaben eine dichte Abfolge stratigraphischer Einheiten, die sich gemäß ihrer je spezifischen Stellung innerhalb der Harris Matrix auf insgesamt neun Phasen mit entsprechend nachgeordneten Subphasen verteilen (Taf. 62–63). Von diesen entfallen zwei auf das Ende von Periode Troia IV (Troia IV₁ bis Troia IV₂), sieben auf den fünften Abschnitt der Besiedlung (Troia V₁ bis Troia V₇).¹¹⁹³ Von besonderer relativchronologischer Relevanz ist dabei ein zu Beginn von Periode Troia V entstandener Siedlungshorizont, Phase Troia V₁ (Abb. 104), der sich im Gegensatz zu den verschiedenen früheren und nachfolgenden Zeitabschnitten nicht durch die Entstehung neuer oder eine substantielle Umgestaltung bestehender Gebäudestrukturen auszeichnet, als vielmehr durch ein konsequentes Ausbleiben ebensolcher (cf. Taf. 78).¹¹⁹⁴ Ausgangspunkt der Troia V₁-zeitlichen Besiedlung bildete eine Planierung (Matrix-Nr. 020), mittels derer sämtliche eventuell noch vorhandene Bauelemente der Periode Troia IV eingeebnet wurden; ein in unmittelbarem Anschluß daran neu angelegter Boden- bzw. Begehungshorizont aus graubraunem sandigem Material (Matrix-Nr. 021) diente in der Folgezeit als Grundfläche für unter anderem einen Kuppelofen (Matrix-Nr. 024–026), dessen Reste sich im Osten des untersuchten Bereichs fanden (cf. Taf. 79.1); vier in dessen näherem Umfeld erfaßte Pfostenlöcher deuten darauf hin, daß der Ofen mitsamt einem größeren Teil des ihm vorgelagerten Aktionsraums überdacht gewesen war. Ergänzend dazu entstanden im Nordwesten des Grabungsareals zwei bis zu 0,8 m in die darunterliegenden Schichten eingreifende Gruben (cf. Taf. 78, 79.2, 80).

Eine dem grundsätzlich vergleichbare Befundsituation hatte sich bereits im Rahmen der Ausgrabungen der *University of Cincinnati* für Stratum IVe ergeben;¹¹⁹⁵ von einigen wenigen Gruben, einer einzelnen Herdstelle in Quadrat E6 und einem isolierten, in seiner zeitlichen Zuwei-

¹¹⁸⁹ S. diesbezüglich Blegen *et al.* 1951: 104.

¹¹⁹⁰ Blegen *et al.* 1951: 224 u. Fig. 303. Cf. Blegen 1971b: 705.

¹¹⁹¹ Dazu s. Blegen *et al.* 1951: 224.

¹¹⁹² Cf. Kapitel 2.2.2 »Perioden- und Phasenunterteilung«.

¹¹⁹³ Cf. Kapitel 3.2 »Perioden- und Phasenunterteilung der Quadrate A 5/6«.

¹¹⁹⁴ S. in diesem Zusammenhang Kapitel 3.2.3.1 »Phase Troia V₁«.

¹¹⁹⁵ Cf. Kapitel 2.2.2.1.5 »Troia IVe«.

Abb. 104
 Quadrate A 5/6, Ost-
 profil; farbig hinterlegt
 stratigraphische Einhei-
 ten der Phase Troia V₁.



sung unsicherem Mauersegment in Quadrat F8 abgesehen, konnten in keinem der zwischen 1932 und 1938 untersuchten Areale neu entstandene architektonische Strukturen dem betreffenden stratigraphischen Horizont zugewiesen werden (Abb. 105): »The fifth and last phase of the Fourth Settlement was represented almost exclusively by habitation deposits with which we were able to associate few remains of contemporary houses. These deposits lay above Stratum IVd, but clearly antedated the first constructions of Troy V. In Square F 8 the debris ascribed to Phase IVe had a depth of ca. 0.40 m. Some walls of the preceding phase were probably re-used early in IVe but were covered before the end of the phase; and a single new one was built. In Square E 6 an accumulation some 0.25 m. thick was laid down: floors with two bothroi and a hearth were uncovered, but the only substantial wall that could be recognized as probably contemporary was the surviving upper part of a party wall that had separated two rooms or houses in Phase IVd. The corresponding stratum in Squared F 4–5, which had a thickness of 0.10 m. to 0.20 m., contained many loose stones, perhaps debris from fallen buildings, which in the small area we excavated had left little indication of their original plans. In Squares G-H 7 and H-J 6–7 the same lack of structural remains was noted, though the stratum itself could be distinguished with a reasonable degree of certainty. The almost total disappearance of the walls of dwellings in which the inhabitants must have lived in Phase IVe is a phenomenon that calls for some explanation. At first glance one might conclude that there were fewer houses in the community or that shelters built of perishable materials had replaced the earlier buildings of stone and crude brick; or one might conjecture that the population was at this time reduced by pestilence or some other affliction – no signs of the ravages of war were apparent. Another possibility is that the houses of Phase IVe were for the most part demolished in the widespread reconstruction of the town that marked the beginning of the Fifth Settlement when new buildings were

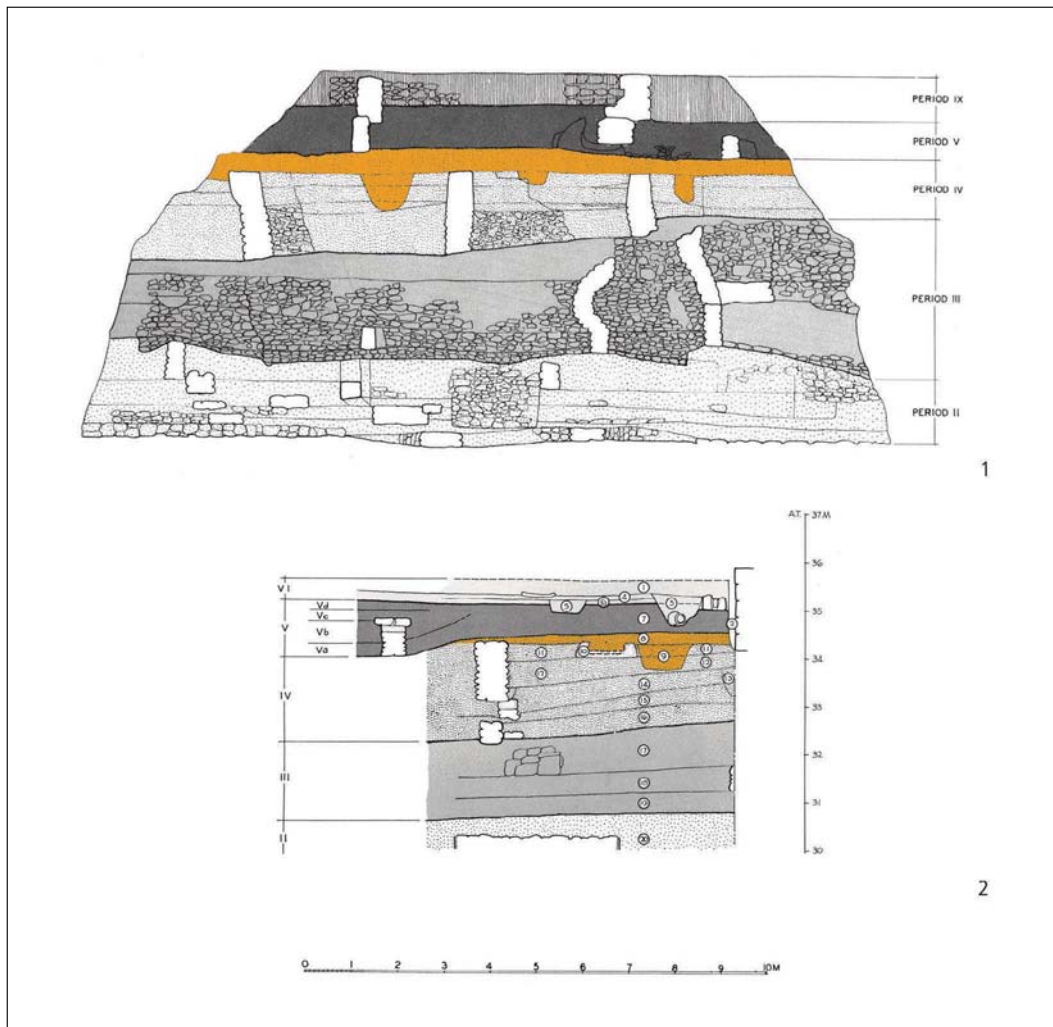


Abb. 105
 Quadrate E 6 (1) und
 F 7/8 (2), schematischer
 Profilschnitt; farbig
 hinterlegt Gruben und
 Schichtablagerungen
 der Phase Troia IVe
 (Blegen *et al.* 1951,
 Fig. 262, 290).

*erected and streets laid out with only a slight rise in the ground level. It is clear in any event that the site was not deserted: men continued to live on the hill, and the old Trojan stock undoubtedly survived to be vigorously active in the period of Troy V.*¹¹⁹⁶ Als Konsequenz der von Blegen *et al.* zeitlich gegen Ende von Periode Troia IV angesetzten Befundgenese waren bestimmte Teile des in den zur Diskussion stehenden Schichtablagerungen vergesellschafteten Fundmaterials notwendigerweise als intrusiv auszuweisen, darunter auch im ganzen fünf Fragmente der ansonsten als charakteristisch für Troia V-zeitliche Depositionen eingestuft *Red cross bowls*.¹¹⁹⁷ Ausweg aus der vermeintlichen chronologischen Diskrepanz böte hier eine Verschiebung von Phase IVe an den Anfang von Troia V, wie sie nicht zuletzt auch vor dem Hintergrund der Gra-

¹¹⁹⁶ Blegen *et al.* 1951: 106–107. Ergänzend dazu s. Blegen *et al.* 1951: 205, 210.

¹¹⁹⁷ Cf. Blegen *et al.* 1951: 126, 138, 193, 209, 212. S. hierzu auch Easton 1976: 149; Korfmann 1983b: 292–297.

bungsergebnisse in Planquadrat A 5/6 gerechtfertigt scheint.¹¹⁹⁸ Wenn auch eine Neuuzuweisung der betreffenden Schichteinheit in erster Linie Auswirkungen für die fundplatzinterne Benennung der stratigraphischen Abfolge haben mag, so verändert sich dadurch in gewisser Weise das bislang vorherrschende Bild eines fließenden Übergangs von einer Periode zur nächsten.¹¹⁹⁹ Zwar scheint nicht mit einer längerfristigen Unterbrechung der Siedlungssequenz im Sinne eines Hiatus zu rechnen sein, dennoch erfolgte die architektonische Neugestaltung des fünften Siedlungshorizonts nicht wie dies Blegen *et al.* vermuteten in unmittelbarem Anschluß an die Auffassung von Troia IV, sondern erst nach einer mit Schicht V₁ erfaßten Übergangsphase; der im Zuge von dieser zu verzeichnende Mangel an substantieller Architektur mag dann auch wie bereits von Blegen *et al.* vermutet, auf den Umstand zurückzuführen sein, daß bei der Errichtung von – eher für eine kurzzeitige Benutzung ausgelegten – baulichen Strukturen, wie etwa der in Areal A5/6 dokumentierten Überdachung des Kuppelofens, in erster Linie auf vergängliche Materialien zurückgegriffen wurde.

Auf Grundlage verschiedener mehr oder weniger stark akzentuierter Veränderungen im architektonischen Habitus, die sich in ihrer Entwicklung parallel zu denjenigen der Phasen Va und Vb in Planquadrat F 8 sowie V¹ in E 6 vollzogen zu haben scheinen, sind die in Areal A 5/6 vertretenen Horizonte Troia V₂ und Troia V₃ am ehesten mit Blegens Subperiode *Troy V Early* in Einklang zu bringen (*cf.* Taf. 14.1, 15.1, 33.1, 85, 87, 93 u. 96). Phasen Troia V₄ bis Troia V₆ sind Blegens *Troy V Middle* zur Seite zu stellen, d. h. Phase Vc in Quadrat F 8 und V² in E 6 (*cf.* Taf. 16, 37, 104, 107, 109, 111 u. 113), während Troia V₇ vergleichbar mit Abschnitt Vd in F 8 und V³ in E 6 anzusetzen sein dürfte, also in Subperiode *Troy V Late* (*cf.* Taf. 18 u. 116).

7.1.2 Keramischer Befund

Eine komparative Gegenüberstellung des keramischen Befunds der Grabungen der *University of Cincinnati* mit demjenigen der Planquadrate A 5/6 soll in erster Linie als Gegenprobe der auf vergleichend stratigraphischem Wege gewonnenen Korrelation von Siedlungsschichten dienen. Diese ist ausschließlich anhand chronologisch diagnostischer Formvertreter zu führen, was durch die bei der Typenbeschreibung allgemein zu kurz greifende Variantenbildung – und somit die Herausstellung zeitlich empfindlicher Gefäßarten – von Seiten Blegens *et al.* jedoch erschwert wird.¹²⁰⁰

Nach Ausschluß sämtlicher chronologischer »Durchläufer« sowie allen aufgrund ihrer unzureichenden typographischen Charakterisierung chronologisch indifferenten oder tatsächlich zeitunspezifischer Gefäßgattungen (Blegen Typ A 2, A 11, A 16, A 18, A 21, A 38, A 39, B 20, B 24, C 2, C 3, C 9, C 12, C 14, C 19, C 20, C 21, C 22 u. D 23; *cf.* Tab. 43) reduzieren sich die innerhalb des Troia IV- und Troia V-zeitlichen Keramikspektrums für einen synthetisieren-

¹¹⁹⁸ *Cf.* Blum im Druck.

¹¹⁹⁹ Blegen *et al.* 1951: 107. *Cf.* Blegen 1963: 104.

¹²⁰⁰ Dazu s. die entsprechenden Ausführungen in Kapitel »2.2.4 Keramischer Befund« und Kapitel »2.2.6 Bewertung«.

den Vergleich in Frage kommenden Typen und Varianten auf einige wenige signifikante Einzelformen:¹²⁰¹ Tiefe Schalen mit nach außen abgestrichenem Rand (Sc 2.3) wurden von Blegen *et al.* als Typ A 4 zwischen Troia IVa bis einschließlich *Troy V Early* angesetzt,¹²⁰² in Planquadrat A 5/6 ist ein entsprechender Niederschlag für Troia IV₁/Troia IV₂ zu verzeichnen (*cf.* Taf. 260). Vertreter der von Blegen *et al.* als Leitform für die gesamten Periode Troia IV und den frühen Abschnitt von Troia V angesetzten Form A 20 (Schalen mit ausgespartem, gerundetem bis keulenförmig verdicktem Rand)¹²⁰³ sind in A 5/6 mit Variante Sc 7 in Schichtablagerungen der Phase von Troia V₁ vertreten (*cf.* Taf. 273), mit Sc 8, Schalen mit umlaufender Kehle und verdicktem, gerundetem oder nach innen abgestrichenem Rand, sicher in Troia V₁ bis gegebenenfalls Troia V₃ (*cf.* Taf. 274). Töpfe mit leicht einziehendem, nach innen abgestrichenem Rand (To 4) sind im Formenrepertoire der Quadrate A 5/6 über einen einzelnen Typvertreter im Bereich von Troia IV₂/Troia V₁ zu verorten, was zu dem zeitlichen Ansatz von Blegen *et al.* für Form C 23 in *Troy V Early* und *Troy V Middle* nicht im Widerspruch steht (*cf.* Taf. 304).¹²⁰⁴ Eine zeitliche Einordnung in Troia IVa, *Troy V Early* und *Troy V Middle* ergab sich im Rahmen der US-amerikanischen Grabungen für Typ B 3, einhenkliche Krüge mit abgesetztem Hals und leicht ausbiegendem verdickten, nach außen abgestrichenem Rand (Kr 1), in Planquadrat A 5/6 sind sie mit einem Exemplar in Ablagerungen der Phase Troia IV₂ vertreten (*cf.* Taf. 305). Von Blegen *et al.* als Typ B 3 chronologisch zwischen *Troy V Early* und *Troy V Middle* angesetzt,¹²⁰⁵ sind einhenkliche Krüge mit abgesetztem Hals und ausladendem, horizontal abgestrichenem Rand (Kr 2) im Bereich der Planquadrate A 5/6 gemäß ihrer stratigraphischen Einbindung den Phasen Troia V₂/Troia V₃ zuzuweisen (*cf.* Taf. 306). Kannen mit abgesetztem Hals und schräger Mündung (Ka 1) sind in A 5/6 ausschließlich für Phase Troia V₃ belegt (*cf.* Taf. 307), während Blegen *et al.* für typographisch entsprechende, in Kategorie B 22 zusammengefaßte Formvertreter bereits im Fundaufkommen der Perioden Troia II und Troia III ausweisen konnten, nicht jedoch nach Troia IVc.¹²⁰⁶ Becher mit sanduhrförmigem Profil wurden von Blegen *et al.* erstmals – und dann ausschließlich – in Schichtzusammenhängen der Subperioden *Troy V Early*, *Troy V Middle* und *Troy V Late* dokumentiert und als Typ A 41 als Leitform der Gesamtperiode ausgewiesen;¹²⁰⁷ in Quadrat A 5/6 fand sich ein diesen, als Variante Be 1 zuzurechnendes Fragment in Ablagerungen der Phasen Troia V₃/Troia V₄ (*cf.* Taf. 312). Der Formengruppe He 2, den Henkelkrügen mit rundem Körper und abgesetztem, konischem Rand ist einzelnes, in Troia V₄-zeitlichen Akkumulationen des Planquadrats A 5/6 geborgenes Fundstück zuzurechnen (*cf.* Taf. 318); formverwandte Exemplare wurden von Blegen *et al.* in Typ C 5 ge-

¹²⁰¹ *Cf.* Blegen *et al.* 1951: Tab. 14 u. 21. S. in diesem Zusammenhang auch Kapitel 4.7 »Stratigraphie und Chronologie der Keramik«.

¹²⁰² Blegen *et al.* 1951: 122 u. Tab. 14; Podzuweit 1979: 121 u. Taf. 2.1 F I3.

¹²⁰³ Entsprechend Blegen *et al.* 1951: 125, 241 u. Tab. 14, 21. S. hierzu etwa auch Podzuweit 1979: 129–130 u. Taf. 3.1 Ka, b.

¹²⁰⁴ Blegen *et al.* 1951: 246 u. Tab. 21.

¹²⁰⁵ S. in diesem Zusammenhang Blegen *et al.* 1951: 128, 243 u. Tab. 14, 21; Podzuweit 1979: 176–177 u. Taf. 9.2 F IIa.

¹²⁰⁶ Blegen *et al.* 1950: 233; Blegen *et al.* 1951: 129 u. Tab. 14. S. hierzu auch Podzuweit 1979: 165 u. Taf. 8.1 A IIa–IIb.

¹²⁰⁷ Blegen *et al.* 1951: 242–243 u. Tab. 14, 21. S. in diesem Zusammenhang auch Podzuweit 1979: 154–155 u. Taf. 6.1 C I–II; Zimmermann 2006: 13 u. Taf. 10.84.

faßt, der für die Zeit von Troia II, Troia III, Troia IVa, Troia IVc und Troia IVd dokumentiert werden konnte ebenso wie für *Troy V Early* und *Troy V Middle*.¹²⁰⁸ Im Fundrepertoire der Grabungen Blegen sind Henkelkrüge mit rundem Körper, zylindrischem Hals und leicht ausbiegender Randlippe in den Kategorien C 6 (Troia IVb, Troia IVd, Troia IVe) und C 7 (Troia III, evtl. Troia IVa) zusammengefaßt,¹²⁰⁹ diesen formal nahestehende Stücke sind im Bereich A 5/6 frühestens innerhalb der Siedlungsabschnitte Troia IV₁/Troia IV₂ zeitlich zu verorten, wobei sich die Laufzeit von Form He 3 gegebenenfalls bis Phase Troia V₇/Troia VI erstreckt haben mag (cf. Taf. 319). In Schichtablagerungen der Phase Troia IV₂ fand sich ein Einzelstück der Form He 5 (Henkelkrüge mit langovalem Körper, abgesetztem Hals und leicht ausbiegendem verdickten, nach außen abgestrichenem Rand; cf. Taf. 321), dem typologisch Krüge der Gattung C 10 zur Seite zu stellen sind, deren Vorkommen Blegen *et al.* in Troia II, Troia III, Troia IVa bis Troia IVd sowie Troia V Früh und Troia V Mitte verzeichneten.¹²¹⁰ Gefäße der Gattung He 6, d. h. Henkelkrüge mit ovalem Körper und abgesetztem trichterförmigen, nach innen abgestrichenem Rand, sind formal solchen des Typs C 11 nach Blegen *et al.* beizuordnen, die zunächst in stratigraphischen Einheiten der Periode Troia II und dann erst wieder in denjenigen der Phasen Troia IVa, Troia IVc und Troia IVd in Erscheinung treten;¹²¹¹ im Fundaufkommen der Planquadrate A 5/6 sind über einen Typvertreter für die Zeit von Troia V₃/Troia V₄ belegt (cf. Taf. 322). Mit insgesamt vier Exemplaren decken Henkelkrüge mit ovalem Körper und ausladendem, nach außen abgestrichenem Rand (He 9) innerhalb der Quadrate A 5/6 ein chronologisches Spektrum von Troia IV₁/Troia IV₂ bis Phase Troia V₁ ab (cf. Taf. 325), im Rahmen der Grabungen Blegens wurden Vertreter der Form C 16 in allen Phasen der Periode Troia IV registriert, nicht jedoch in Troia V.¹²¹² Großgefäße der Varianten Gr 1 (Großgefäß mit ovalem Körper, abgesetztem zylindrischen Hals und ausgestelltem, nach außen abgestrichenem Rand), Gr 2 (Großgefäß mit ovalem Körper, abgesetztem zylindrischen Hals und leicht nach außen gestellter abgerundeter Randpartie) und Gr 3 (Großgefäß mit ovalem Körper, abgesetztem zylindrischen Hals und leicht ausbiegendem, horizontal abgestrichenem Rand) konnten im Bereich A 5/6 anhand von Einzelstücken für die Phasen Troia IV₂, Troia V₃ sowie Troia V₇ nachgewiesen werden (cf. Taf. 326–328), bei Blegen *et al.* wurden der Form C 39 zugewiesene Stücke für die gesamte Periode Troia IV sowie für den frühen Abschnitt des darauffolgenden Siedlungshorizonts, d. h. *Troy V Early*, geführt.¹²¹³ Deckel mit geschweiftem Unterteil, flach gewölbter Oberseite und einfachem Bügelhenkel wurden von Blegen *et al.* als Typ D 5 stratigraphischen Kontexten der Phasen Troia IVa bis *Troy V Middle* zugewiesen,¹²¹⁴ in Planquadrat A 5/6 beschränkte sich das Vorkommen der nach Maßgabe entsprechender typographischen

¹²⁰⁸ Blegen *et al.* 1951: 28–29, 130, 244 u. Tab. 14, 21; Podzuweit 1979: 185 u. Taf. 12.1 A IIb.

¹²⁰⁹ S. hierzu Blegen *et al.* 1951: 28, 130, 230 u. Tab. 14.

¹²¹⁰ Dazu s. Blegen *et al.* 1950: 234; Blegen *et al.* 1951: 29, 131, 245 u. Tab. 14, 21; Podzuweit 1979: 184–185 u. Taf. 11.1 A Ia.

¹²¹¹ Cf. Blegen *et al.* 1950: 234; Blegen *et al.* 1951: 131 u. Tab. 14.

¹²¹² In diesem Zusammenhang s. Blegen *et al.* 1951: 132 u. Tab. 14; Podzuweit 1979: 209 u. Taf. 18.2 B Ia.

¹²¹³ Dazu s. Blegen *et al.* 1951: 135, 247 u. Tab. 14, 21. Cf. Podzuweit 1979: 205–206 u. Taf. 17.2 A IIb.

¹²¹⁴ S. in diesem Zusammenhang speziell Blegen *et al.* 1951: 135, 247 u. Tab. 14, 21; Podzuweit 1979: 220 u. Taf. 22.2 D 1b.

Kriterien auf Form De 1 entfallenden Deckelfragmente auf Phase Troia V₂ (cf. Taf. 329). Deckeln der Kategorie D 7 wurde von Blegen *et al.* eine Laufzeit von Troia IVa bis *Troy V Middle* attestiert,¹²¹⁵ innerhalb der Quadrate A 5/6 ist das früheste Auftreten des unter De 2 (Deckel mit abgesetztem geraden Unterteil, gewölbter Oberseite und dreiarbigem Bügelhenkel) gefaßten Typs in Phase Troia V₁ anzusetzen, das späteste Stück dagegen stammt aus Akkumulationen der Phase Troia V₅; zwischen diesen reiht sich ein drittes dieser Formengruppe zuzuweisendes Exemplar ein, das als Bestandteil eines stark vermischten Fundkomplexes chronologisch im Bereich von Troia V₂/Troia V₄ liegt (cf. Taf. 330).

Trotz verschiedener teils eklatanter Defizite auf Seiten Blegens und Mitarbeiter hinsichtlich einer auf formalen Kriterien beruhenden Differenzierung von Gefäßtypen und -varianten – und hier vor allem bei den Schalen, die im relevanten Zeitraum nicht nur eine der quantitativ umfangreichsten Fundgruppen stellen, sondern auch eine erhebliche typologische Varianz aufweisen (cf. Tab. 43), welche durch die Zuweisung auf nur wenige Typen nahezu aufgelöst wurde – zeichnet sich für den überwiegenden Teil des keramischen Spektrums der Areale F8, E6 und A 5/6 eine analoge chronologische Verteilung ab. Ähnlich wie das Troia IV-zeitliche Keramikmaterial bis einschließlich Phase Troia IVb starke typologische Anklänge an dasjenige der Periode Troia III aufweist,¹²¹⁶ gliedern sich die Troia V zuzuweisenden Fundstücke – bei fließendem Übergang – in einen frühen, noch sehr stark dem Typen- und Warenrepertoire der entwickelten Periode Troia IV verhafteten Horizont sowie auf einen späten, mit teilweise eigenständigem Formenspektrum und abweichenden quantitativen Schwerpunkten (cf. Taf. 235–346).¹²¹⁷ Bei entsprechenden Laufzeiten ist dabei der in Kapitel 4.7.4 »Stratigraphische Auswertung der Keramik« für A 5/6 herausgestellte Keramikhorizont 1 mit Subperiode *Troy V Early* von Blegen *et al.* zu parallelisieren und Keramikhorizont 2 mit *Troy V Middle* und *Troy V Late*.

7.1.3 Bewertung

Ausgehend von einer sowohl befund- wie materialimmanenten Gegenüberstellung der verschiedenen Teilergebnisse zu Stratigraphie und Keramik im Bereich der Planquadrate F 8, E 6 sowie A 5/6 ergibt sich für die hier zur Diskussion stehenden Perioden Troia IV und Troia V ein in sich stimmiger, konsistenter relativchronologischer Bezugsrahmen.¹²¹⁸ Grundlage für diesen bildet eine – zumindest in den Randzonen des Siedlungshügels – sich in vergleichbaren, wenn freilich nicht notwendigerweise zeitgleich so doch zumindest zeitnah zueinander anzusetzenden

¹²¹⁵ Blegen *et al.* 1951: 135, 247 u. Tab. 14, 21. Cf. Podzuweit 1979: 221 u. Taf. 22.2 E I.

¹²¹⁶ Allgemein dazu s. Blegen *et al.* 1951: 103 u. Tab. 7, 14.

¹²¹⁷ Programmatisch dazu s. Blegen *et al.* 1951: 225 »The Early Subperiod of Troy V is set off from the later phases by the continued occurrence of pottery characteristic of Troia IV, notably Straw-tempered Ware and bowls of Shape A 20 in Red-coated Ware. Apparently neither of these was manufactured thereafter.«

¹²¹⁸ Cf. Easton 1976: Fig. I.

Blegen <i>et al.</i>			A 5/6	
Stratigraphie		Keramik	Stratigraphie	Keramik
F 8	E 6			
Vd	V ³	V Late	V ₇	Horizont 2
Vc	V ²	V Middle	V ₆	
			V ₅	
			V ₄	
Vb	V ¹	V Early	V ₃	Horizont 1
Va			V ₂	
IVe	IVe	IVe	V ₁	
IVd	IVd	IVd	IV ₂	
IVc	IVc	IVc	IV ₁	
IVb	IVb	IVb	nicht untersucht	
IVa	IVa	IVa		

Abb. 106
Planquadrate F 8,
E 6 und A 5/6:
vergleichende
Stratigraphie.

Stadien vollziehende architektonische Entwicklung, bei entsprechender Veränderung des keramischen Waren- und Formenspektrums (Abb. 106. *Cf.* Taf. 5). Daß dabei der für die zu differenzierenden Keramikhorizonte festgelegte Übergang nicht mit dem über die Stratigraphie angezeigten Wechsel von Periode Troia IV nach Troia V zusammenfällt, sondern deutlich zeitverzögert einsetzt, und zwar zu Beginn von Subperiode *Troy V Middle* im Falle der Planquadrate F 8 und E 6 bzw. Phase Troia V₄ im Bereich A 5/6, steht dabei nicht im Widerspruch zu einer anhand der jeweiligen Bauabfolgen vorgenommenen integrativen Sequenzierung, sondern indiziert über entsprechend lange, nicht denselben raschen Anpassungsprozessen wie bauliche Elemente unterliegenden Laufzeiten eine Kontinuität in der Besiedlung sowie der handwerklichen Produktion.

Die von Blegen *et al.* auf Grundlage der im Bereich der Quadrate F 8 und E 6 zu konstatierenden Schichtenabfolge für Troia V vorgenommene Einteilung in einen frühen, mittleren und späten Siedlungsabschnitt erweist sich bezüglich Inhalt und relativchronologischer Strukturie-

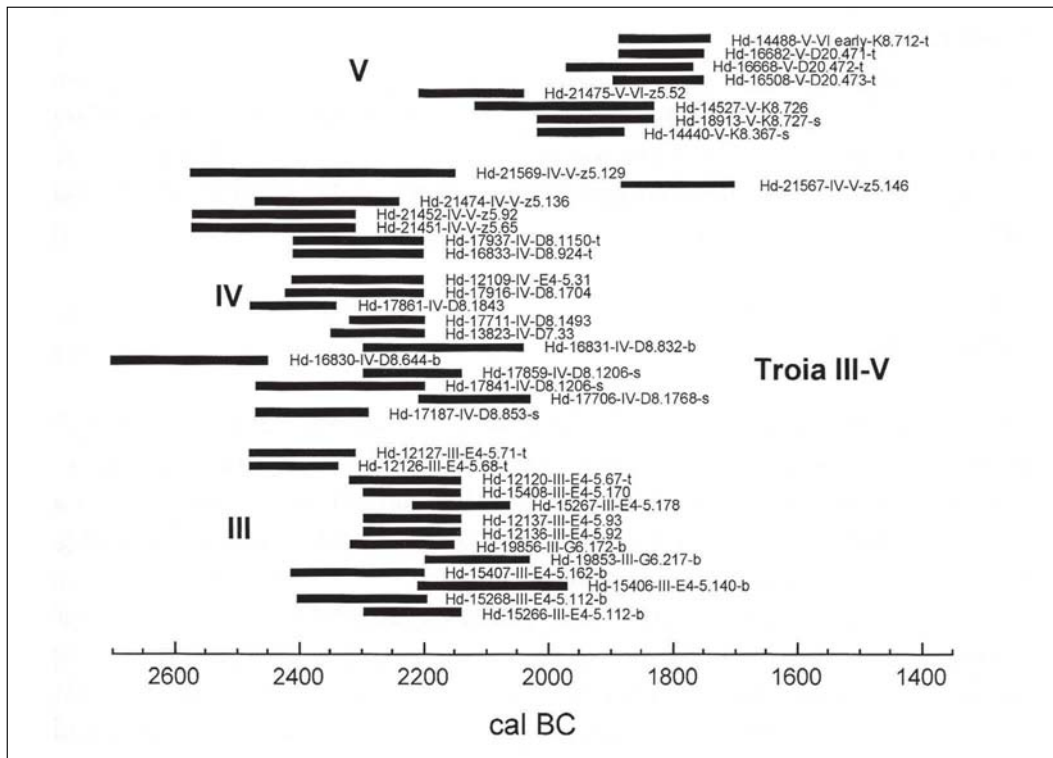


Abb. 107
Kalibrierte Radio-
kohlenstoffdaten
für Troia III bis Troia V
(Kromer *et al.* 2003:
Fig 5).

zung auf die Befundverhältnisse in Areal A 5/6 im wesentlichen übertragbar, vorausgesetzt Phase Troia IVe wird in ihrer Gesamtheit Subperiode *Troy V Early* zugewiesen und damit »Übergangsphase« Troia V₁ gleichgestellt;¹²¹⁹ für Troia IVa bis Troia IVd ergeben sich dagegen keine Veränderungen.

7.2 Absolute Chronologie

Ausgehend von einem – in erster Linie auf archäologisch-historische Daten für die Ägäis bezogenen – Gründungsdatum um 3000 v. Chr., veranschlagten Blegen *et al.* eine Dauer von etwas mehr als einem Jahrtausend für die troianische Frühbronzezeit. Bei einer geschätzten Dauer von ca. 30 Jahren pro Siedlungsabschnitt ergab sich, bei insgesamt fünf übergeordneten Perioden mit mehr als 30 stratigraphisch erschlossenen Einzelhorizonten und verschiedenen diesen hierarchisch nachgestellten Subphasen, für Troia IV eine ungefähre Zeitspanne von 2050–1900 v. Chr., Troia V dagegen sollte zwischen 1900–1800 v. Chr. liegen.¹²²⁰ Während in der Folgezeit im wesentlichen die zeitliche Verortung der Perioden Troia I, Troia II und Troia VI Gegenstand sowohl

¹²¹⁹ Cf. Blum im Druck.

¹²²⁰ Blegen 1963: 174. Cf. Blegen 1950: 204; Blegen *et al.* 1951: vii.

der ägäischen wie anatolischen Chronologiediskussion bildeten, wurden der vierte und fünfte Abschnitt – im Grunde bis zur Wiederaufnahme der Grabungsaktivitäten am Hisarlık Tepe/Troia unter Korfmann im Jahr 1988 und der damit verbundenen Einführung naturwissenschaftlich basierter Datierungsmethoden – meist nur anhand der für die jeweils älteren und jüngeren Horizonte ausgewiesenen Eckdaten in die Fundortsequenz eingepaßt.¹²²¹

Von den bislang von Seiten des Projekts Troia für Troia V vorgelegten Radiokohlenstoffdaten (Abb. 107) sind die unter Labor-Nummern Hd-14488 (K8.712),¹²²² Hd-14440 (K8.367)¹²²³ und Hd-14527 (K8.726)¹²²⁴ für Areal K 8 geführten Proben vorab auszuschließen.¹²²⁵ Bereits auf Grundlage deren Vergesellschaftung im Zerstörungshorizont der ersten, mit Schichtablagerungen 27 bis 25 erfaßten Ausbauphase eines anhand der assoziierten Keramik zwingend nach Troia VI Früh zu datierenden »Apsidenhauses«, schließt sich ein früherer Zeitanatz aus,¹²²⁶ auch konnte im Rahmen einer neuerlichen Durchsicht des stratigraphisch sicher zu verortenden Fundmaterials eine Zuweisung der im unmittelbar darunterliegenden Stratum 28 enthaltenen vor-Troia VI-zeitlichen Stücke nach Troia V¹²²⁷ falsifiziert werden; in Planquadrat K 8 werden Troia III-zeitliche Akkumulationen von solchen der Periode Troia IV überlagert, auf welche wiederum jene der Zeit von Troia VI Früh bis Troia VI Spät folgen.

Zwei im Südosten des Planquadrats D 20 erfaßte Gräber – es handelt sich zum einen um die Körperbestattung eines Kindes zum anderen um dasjenige einer teilweise kremierten, wohl älteren weiblichen Person¹²²⁸ – wurden aufgrund der ¹⁴C-Proben Hd-16682, Hd-16668 und Hd-16508 ebenfalls nach Periode Troia V datiert (Tab. 101. Cf. Abb. 107), was sich auch wegen des in den entsprechenden Kontexten registrierten Kleinfund- und Keramikmaterials, und hier speziell anhand eines in Ware 3D gefertigten Entenaskos, für den sich abgesehen von einigen wenigen chronologisch bereits in Periode Troia IV anzusetzenden Vergleichsexemplaren im wesentlichen Troia V-zeitliche Typvertreter aufzeigen lassen,¹²²⁹ hinreichend zu bestätigen scheint; jüngere, d. h. der stratigraphisch nachfolgenden Subperiode Troia VI Früh zuzuweisende Fundstücke sind in den jeweils datierungsrelevanten Ausgrabungseinheiten D20.464 (Grab 1) und D20.432 (Grab 2) nicht enthalten.

Ausgehend vom keramischen Befund konnte für die in der südlichen Verlängerung des Schliemanngrabens gelegenen Quadrate D 7/8 eine Schichterhaltung für Troia V grundsätzlich ausgeschlossen werden;¹²³⁰ die hier im Kontext eines verhältnismäßig kurzen Mauerteilstücks mit

¹²²¹ S. in diesem Zusammenhang Kapitel 8 »Kulturhistorische Verortung der Perioden Troia IV und Troia V«. Cf. Easton 1976: 145–158; Easton 2000: 74–80; Easton 2002: 335–339; Korfmann/Kromer 1993: 137–139 u. Abb. 1; Manning 1997a: 498–510; Maran 1998: 416 Anm. 1040.

¹²²² Konv. ¹⁴C-Alter 3503±33 BP (Messung an Holzkohle).

¹²²³ Konv. ¹⁴C-Alter 3594±32 BP (Messung an verkohltem Getreide).

¹²²⁴ Konv. ¹⁴C-Alter 3606±62 BP (Messung an Holzkohle).

¹²²⁵ Korfmann/Kromer 1993: Abb. 16, 21; Kromer *et al.* 2003: Fig. 5.

¹²²⁶ Easton/Weninger 1993: 55–57. S. in diesem Zusammenhang auch Korfmann 1992: 30–31 u. Taf. 3.1; Korfmann 1993b: 20–21 u. Abb. 21.

¹²²⁷ Wie Easton/Weninger 1993: Tab. 4.

¹²²⁸ Allgemein dazu s. Korfmann 1994: 31–34. Cf. Blum 2002b: 78–79 u. Fig. 9; Blum 2006: 151–152 u. Abb. 11. S. hierzu auch Kromer *et al.* 2003: Fig. 5.

¹²²⁹ Zusammenfassend dazu s. Korfmann 1994: 31–32 u. Abb. 39. Cf. Blum 2006: 151.

Tab. 101: Quadrate D 20, Radiokohlenstoffdaten Troia V (cf. Abb. 107)

Labor.Nummer	Ausgrabungseinheit	konv. ¹⁴ C-Alter	kalibr. Alter (intcal09.14c)*
Hd-16682	D20.471	3491±16 BP	1σ: [cal BC 1878: cal BC 1861] 0,207595 [cal BC 1854: cal BC 1840] 0,165878 [cal BC 1827: cal BC 1792] 0,454165 [cal BC 1785: cal BC 1771] 0,172362 2σ: [cal BC 1881: cal BC 1755] 1,
Hd-16668	D20.472	3560±36 BP	1σ: [cal BC 1959: cal BC 1878] 0,884307 [cal BC 1840: cal BC 1827] 0,072956 [cal BC 1793: cal BC 1785] 0,042737 2σ: [cal BC 2021: cal BC 1993] 0,05925 [cal BC 1982: cal BC 1864] 0,721283 [cal BC 1850: cal BC 1773] 0,219467
Hd-16508	D20.473	3520±36 BP	1σ: [cal BC 1959: cal BC 1878] 0,884307 [cal BC 1840: cal BC 1827] 0,072956 [cal BC 1793: cal BC 1785] 0,042737 2σ: [cal BC 2021: cal BC 1993] 0,05925 [cal BC 1982: cal BC 1864] 0,721283 [cal BC 1850: cal BC 1773] 0,219467

* Calib Rev 6.0.1

in nördlicher Richtung vorgelagertem Steinpflaster¹²³¹ aufgenommenen Fundvergesellschaftungen enthalten neben verschiedenen diesem Zeithorizont in Form und Ware nahestehenden Stücken in einem nicht zu vernachlässigenden Mengenverhältnis Troia VI Früh-zeitliche Keramikfragmente, und hier vor allem solche der Anatolischen Grauware,¹²³² so daß sowohl die am Übergang von Troia V nach Periode Troia VI angesetzte Probe Hd-14489 (D8.232)¹²³³ wie auch die allein nach Troia V datierte Probe Hd-14490 (D8.399)¹²³⁴ notwendigerweise dem entsprechend jüngeren Siedlungsabschnitt, d. h. Troia VI Früh, zuzuweisen sind.¹²³⁵ Einer kontextorientierten Evaluation bedürfen ebenfalls die für die Zeit von Troia III und Troia IV vorgelegten Radiokohlenstoffdaten (Tab. 102. Cf. Abb. 107),¹²³⁶ da sich auch hier über das mit diesen assoziierte Fundmaterial die Notwendigkeit zu einer chronologischen Neubewertung des bisherigen, ausschließlich anhand architektonischer Kriterien vorgenommenen Periodenübergangs ergibt; schon allein in Anbetracht des im Vergleich zur vorherigen Phase Troia III2 markant hohen Aufkommens an organisch gemagerter Keramik (Ware 5B)¹²³⁷ bei zeitgleicher Vergesellschaftung mit den in entsprechender Weise für Fundensembles des vierten Siedlungsabschnitts spezifischen Schalen des Typs Sc 8 bzw. D 20 nach Blegen *et al.*, ist Phase Troia III3 einschließlich der

¹²³⁰ Vgl. Korfmann 1993b: 14 u. Abb. 13, 17.

¹²³¹ Cf. Sazcı 2005: Planum 14.

¹²³² Keine Berücksichtigung fand dieser Umstand in Sazcı 2005: 86 u. Abb. 50.

¹²³³ Konv. ¹⁴C-Alter 3365±35 BP (Messung an Holzkohle).

¹²³⁴ Konv. ¹⁴C-Alter 3701±126 BP (Messung an Holzkohle).

¹²³⁵ Vgl. Korfmann/Kromer 1993: Abb. 14; Kromer *et al.* 2003: Fig. 6.

¹²³⁶ S. in diesem Zusammenhang Korfmann/Kromer 1993: Abb. 13; Kromer *et al.* 2003: Fig. 5. Cf. Sazcı 2005: 86 u. Abb. 51.

¹²³⁷ Vgl. Sazcı 2005: 62–63 u. Abb. 31–32.

zu dieser gehörigen ¹⁴C-Probe Hd-17711 der darauffolgenden jüngeren Periode zuzuordnen, also Troia IV.

In Planquadrat z5, westlich des sechsten Abschnitts der Troia VI-zeitlichen Befestigungsmauer, wurden 1999 im Rahmen von Reinigungsarbeiten unmittelbar auf dem in einer Höhe von ▼ 21,80 m ü. NN anstehenden Fels Schichtablagerungen der Periode Troia III erfaßt, an die sich – getrennt durch eine Brandschicht – bei ▼ 22,60 m ü. NN solche der Zeit von Troia IV angeschlossen.¹²³⁸ Ausgehend von letzteren waren im südlichen Teilbereich des Areals wenigstens vier Gruben angelegt worden, deren Tiefe sich bei einem Durchmesser von 1,6 bis 1,9 m auf bis zu 1,9 m belief.¹²³⁹ Von wenigen älteren, den Perioden Troia I bis Troia III zuzuweisenden Fundstücken abgesehen, die anhand ihrer stark erodierten Oberflächen und zum Teil extrem verrundeten Bruchkanten sicher als sekundär bis hin zu tertiär umgelagert einzustufen sind, enthielten die teils bis 1,4 m in den lokalen Kalkstein abgesenkten Eintiefungen ausschließlich nach Troia IV zu datierendes Fundmaterial, mit einem vergleichsweise hohen Anteil an organisch gemagerter Keramik (Ware 5B). Allein in Grube 1, die im Zuge der umfangreichen Bauaktivitäten an der Troia VI-zeitlichen Burgmauer,¹²⁴⁰ zunächst erneut ausgehoben wurde, um später zusammen mit der Fundamentgrube der Burgmauer wieder aufgefüllt zu werden, fand sich das Fragment einer Troia V-zeitlichen *Red cross bowl*, das nach Art und Umständen seiner Depositionierung als intrusiv anzusprechenden ist. Von den sechs in Troia IV-zeitlichen Fundvergesellschaftungen aufgenommenen ¹⁴C-Proben ist Hd-21567 Grube 2 zuzuweisen, Hd-21475 Grube 3 und Hd-21451 Grube 4, während die Proben Hd-21474 und Hd-20818 einer demselben Zeithorizont zuzurechnenden Brandschicht entnommen wurden (Tab. 103).

In ihrer Gesamtheit betrachtet, bilden die wenigen bis einschließlich 2003 seitens des Troia-Projekts vorgelegten, allesamt auf Meßergebnisse an Holzkohle zurückgehenden Daten für Troia V um 1950–1750 cal. BC einen Cluster, wohingegen sich die ebenfalls auf Analysen an Holzkohle stützenden Werte für Troia IV im 24. und vor allem 23. Jahrhundert v. Chr. verdichten und somit, bei einer starken zeitlichen, indessen stratigraphisch sicher auszuschließenden Überscheidung mit Perioden Troia III und Troia II deutlich zu alt ausfallen (*cf.* Abb. 107).¹²⁴¹ In gleicher Weise setzen sich auch die in Planquadrat K 8 zunächst für die Zeit von Troia V erhobenen, sowohl auf stratigraphischer Basis wie auch ausgehend vom keramischen Fundinventar jedoch sicher nach Troia VI Früh zu datierenden Radiokohlenstoffproben durch ein entschieden zu hohes Alter von anderen entsprechender relativchronologischer Stellung ab.¹²⁴²

In den im Rahmen der Grabungskampagnen 2000 und 2001 für die Bereiche A 5/6 aufgenommenen Troia IV- und Troia V-zeitlichen Fundschichten wurden im ganzen 18 Holzkohleproben

¹²³⁸ Entsprechend zu korrigieren ist Blegen *et al.* 1951: Fig 318; die hier unter »Strata of Troy IV« geführten Akkumulationen 8–14 sind nach Ausweis der jüngeren archäologischen Untersuchungen in Panquadrat z5 Troia III zuzuweisen, die als »Strata of Troy V« bezeichneten Schichtablagerungen 5–7 Troia IV.

¹²³⁹ Allgemein dazu s. Korfmann 2000: 27–28 u. Abb. 22; Korfmann 2001c: 19.

¹²⁴⁰ *Cf.* Korfmann 2000: Abb. 23.

¹²⁴¹ In diesem Zusammenhang s. Kromer *et al.* 2003: 43–45, 51; Korfmann/Kromer 1993: 168–169 u. Abb. 21. *Cf.* Manning 1997a: 521 Fig. 9–10.

¹²⁴² Dazu s. Kromer *et al.* 2003: 50 u. Fig. 6, 8. S. hierzu auch Pavúk 2007a: 474–476 u. Fig. 1; Pavúk 2007b: 300–301.

Tab. 102: Quadrate D 7/8, Radiokohlenstoffdaten Troia IV (cf. Abb. 107)			
Labor.Nummer	Ausgrabungseinheit	konv. ¹⁴ C-Alter	kalibr. Alter (intcal09.14c)*
Hd-13823	D7.33	3829±33 BP	1σ: [cal BC 2338: cal BC 2322] 0,114289 [cal BC 2309: cal BC 2204] 0,885711 2σ: [cal BC 2457: cal BC 2418] 0,065484 [cal BC 2408: cal BC 2374] 0,073332 [cal BC 2368: cal BC 2197] 0,834275 [cal BC 2167: cal BC 2150] 0,026909
Hd-16830	D8.644	4009±66 BP	1σ: [cal BC 2831: cal BC 2821] 0,031569 [cal BC 2631: cal BC 2462] 0,968431 2σ: [cal BC 2858: cal BC 2810] 0,060086 [cal BC 2751: cal BC 2722] 0,022789 [cal BC 2701: cal BC 2338] 0,909951
Hd-16831	D8.832	3766±53 BP	1σ: [cal BC 2831: cal BC 2821] 0,031569 [cal BC 2631: cal BC 2462] 0,968431 2σ: [cal BC 2858: cal BC 2810] 0,060086 [cal BC 2751: cal BC 2722] 0,022789 [cal BC 2701: cal BC 2338] 0,909951 [cal BC 2322: cal BC 2309] 0,007173
Hd-17187	D8.853	3881±56 BP	1σ: [cal BC 2460: cal BC 2297] 1, 2σ: [cal BC 2547: cal BC 2540] 0,004591 [cal BC 2489: cal BC 2199] 0,989655 [cal BC 2161: cal BC 2152] 0,005755
Hd-16833	D8.924	3851±25 BP	1σ: [cal BC 2431: cal BC 2424] 0,044428 [cal BC 2402: cal BC 2381] 0,142075 [cal BC 2348: cal BC 2281] 0,646828 [cal BC 2249: cal BC 2231] 0,131396 [cal BC 2218: cal BC 2212] 0,035273 2σ: [cal BC 2458: cal BC 2417] 0,128303 [cal BC 2410: cal BC 2273] 0,687098 [cal BC 2257: cal BC 2207] 0,184599
Hd-17937	D8.1150	3839±38 BP	1σ: [cal BC 2338: cal BC 2322] 0,114289 [cal BC 2309: cal BC 2204] 0,885711 2σ: [cal BC 2457: cal BC 2418] 0,065484 [cal BC 2408: cal BC 2374] 0,073332 [cal BC 2368: cal BC 2197] 0,834275 [cal BC 2167: cal BC 2150] 0,026909
Hd-17841	D8.1206.01	3859±41 BP	1σ: [cal BC 2457: cal BC 2418] 0,218811 [cal BC 2407: cal BC 2375] 0,205817 [cal BC 2367: cal BC 2362] 0,031034 [cal BC 2351: cal BC 2284] 0,468308 [cal BC 2248: cal BC 2234] 0,076029 2σ: [cal BC 2464: cal BC 2267] 0,829822 [cal BC 2260: cal BC 2206] 0,170178
Hd-17859	D8.1206.02	3783±30 BP	1σ: [cal BC 2280: cal BC 2249] 0,331717 [cal BC 2231: cal BC 2219] 0,112567 [cal BC 2212: cal BC 2194] 0,205213 [cal BC 2177: cal BC 2144] 0,350503 2σ: [cal BC 2297: cal BC 2133] 0,977947 [cal BC 2082: cal BC 2060] 0,022053

Fortsetzung
Tab. 102

Hd-17711	D8.1493	3827±28 BP	1σ: [cal BC 2333: cal BC 2325] 0,05653 [cal BC 2300: cal BC 2205] 0,94347 2σ: [cal BC 2456: cal BC 2442] 0,014364 [cal BC 2439: cal BC 2419] 0,024189 [cal BC 2405: cal BC 2377] 0,050455 [cal BC 2350: cal BC 2197] 0,888876 [cal BC 2167: cal BC 2150] 0,022115
Hd-17916	D8.1704	3849±37 BP	1σ: [cal BC 2435: cal BC 2421] 0,078777 [cal BC 2404: cal BC 2379] 0,147473 [cal BC 2349: cal BC 2276] 0,532855 [cal BC 2253: cal BC 2228] 0,162108 [cal BC 2223: cal BC 2209] 0,078787 2σ: [cal BC 2459: cal BC 2263] 0,783489 [cal BC 2261: cal BC 2205] 0,216511
Hd-17706	D8.1768	3712±44 BP	1σ: [cal BC 2435: cal BC 2421] 0,078777 [cal BC 2404: cal BC 2379] 0,147473 [cal BC 2349: cal BC 2276] 0,532855 [cal BC 2253: cal BC 2228] 0,162108 [cal BC 2223: cal BC 2209] 0,078787 2σ: [cal BC 2459: cal BC 2263] 0,783489 [cal BC 2261: cal BC 2205] 0,216511
Hd-17861	D8.1843	3903±34 BP	1σ: [cal BC 2465: cal BC 2396] 0,62953 [cal BC 2392: cal BC 2391] 0,007712 [cal BC 2385: cal BC 2345] 0,362758 2σ: [cal BC 2474: cal BC 2290] 1,

* Calib Rev 6.0.1

zu einer absolutchronologischen Bestimmung über Radiokohlenstoffmethode entnommen, von denen sieben aufgrund eines zu geringen Kohlenstoffgehalts oder einer starken Kontamination mit Sand von einer Messung ausgeschlossen wurden; die Analyse erfolgten in den Jahren 2004 und 2005 am Institut für Umweltphysik der Heidelberger Akademie der Wissenschaften.

Bezogen auf einen Deponierungszeitpunkt gegen Ende von Phase Troia IV₁ gibt Probe Hd-23779, die in einer die verschiedenen Begehungshorizonte der kontemporären Raumeinheiten flächendeckend überlagernden, stellenweise bis zu 16 cm starken Akkumulation aus lockerem, aschehaltigem Lehmschutt und vermischten Siedlungsabfällen (Matrix-Nr. 009. Cf. Taf. 54, 55, 56.1, 57–59, 65.2) aufgenommen wurde,¹²⁴³ im Datensatz der Planquadrate A 5/6 zumindest in stratigraphischer Hinsicht das älteste Datum vor; absolutchronologisch ergibt sich für diese ein Ansatz von 2211–2137 cal. BC (714,2 %) bei 1σ und 2296–2118 cal. BC (87,79 %) bei 2σ (Tab. 104, Abb. 108 u. Taf. 374.1).

Probe Hd-23780, die einem zwischen ▼ 27,78 m ü. NN und ▼ 28,38 m ü. NN gelegenen, sich größtenteils aus Lehm und verhältnismäßig kleinen Kalk- und Kieselsteinen sowie zahlreichen Gefäßfragmenten, Knochen und teils größeren Holzkohlepartikeln zusammensetzenden Schichtpaket, wohl dem Versturz eines Flachdachs, erfaßt wurde (Matrix-Nr. 018.

¹²⁴³ Pieniżek-Sikora 2001: 141.

Tab. 103: Quadrate z 5, Radiokohlenstoffdaten Troia IV (cf. Abb. 107)			
Labor.Nummer	Ausgrabungseinheit	konv. ¹⁴ C-Alter	kalibr. Alter (intcal09.14c)*
Hd-21475	z5.52	3766±53 BP	1σ: [cal BC 2286: cal BC 2247] 0,219148 [cal BC 2241: cal BC 2240] 0,004186 [cal BC 2235: cal BC 2132] 0,660179 [cal BC 2083: cal BC 2058] 0,116487 2σ: [cal BC 2431: cal BC 2424] 0,003032 [cal BC 2402: cal BC 2381] 0,01348 [cal BC 2348: cal BC 2025] 0,983488
Hd-21451	z5.65	3941±77 BP	1σ: [cal BC 2567: cal BC 2522] 0,18531 [cal BC 2497: cal BC 2336] 0,75306 [cal BC 2323: cal BC 2307] 0,061629 2σ: [cal BC 2833: cal BC 2819] 0,006968 [cal BC 2660: cal BC 2650] 0,004074 [cal BC 2634: cal BC 2199] 0,987371 [cal BC 2159: cal BC 2154] 0,001587
Hd-20818	z5.118	3764±54 BP	1σ: [cal BC 2285: cal BC 2247] 0,202654 [cal BC 2235: cal BC 2131] 0,652128 [cal BC 2085: cal BC 2054] 0,145218 2σ: [cal BC 2430: cal BC 2425] 0,002992 [cal BC 2402: cal BC 2381] 0,012287 [cal BC 2348: cal BC 2023] 0,981668 [cal BC 1991: cal BC 1985] 0,003053
Hd-21569	z5.129	3890±130 BP	1σ: [cal BC 2567: cal BC 2521] 0,095916 [cal BC 2498: cal BC 2197] 0,862081 [cal BC 2168: cal BC 2148] 0,042003 2σ: [cal BC 2857: cal BC 2811] 0,021592 [cal BC 2749: cal BC 2723] 0,009468 [cal BC 2699: cal BC 2015] 0,962517 [cal BC 1997: cal BC 1979] 0,006423
Hd-21474	z5.136	3876±43 BP	1σ: [cal BC 2456: cal BC 2418] 0,270316 [cal BC 2408: cal BC 2374] 0,240299 [cal BC 2368: cal BC 2297] 0,489385 2σ: [cal BC 2470: cal BC 2273] 0,894738 [cal BC 2256: cal BC 2207] 0,105262
Hd-21567	z5.146	3436±48 BP	1σ: [cal BC 1873: cal BC 1844] 0,186094 [cal BC 1815: cal BC 1800] 0,075613 [cal BC 1778: cal BC 1685] 0,738293 2σ: [cal BC 1883: cal BC 1631] 1,

* Calib Rev 6.0.1

Cf. Abb. 48),¹²⁴⁴ ist in Phase Troia IV₂ anzusetzen; zeitlich liegt sie bei 2579–2471 cal. BC (100 %) bei 1σ und 2678–2435 cal. BC (93,77 %) bei 2σ (Tab. 105, Abb. 108 u. Taf. 374.3).

In der vergleichsweise lockeren, sich in der Hauptsache aus Lehm, abgelöstem Kalkverputz, Gefäßbruchstücken sowie der aller Wahrscheinlichkeit einem nahegelegenen Kuppelofen ent-

¹²⁴⁴ Pieniążek-Sikora 2001: 123.

Tab. 104: Planquadrate A 5/6, Radiokohlenstoffdatierung			
Labor.Nummer	Ausgrabungseinheit	konv. ¹⁴ C-Alter	kalibr. Alter (intcal09.14c)*
Hd-23779	A5/6.921	3769±37 BP	1σ: [cal BC 2279: cal BC 2250] 0,220316 [cal BC 2230: cal BC 2220] 0,065467 [cal BC 2211: cal BC 2137] 0,714217 2σ: [cal BC 2296: cal BC 2118] 0,877872 [cal BC 2097: cal BC 2039] 0,122128

* Calib Rev 6.0.1

Tab. 105: Planquadrate A 5/6, Radiokohlenstoffdatierung			
Labor.Nummer	Ausgrabungseinheit	konv. ¹⁴ C-Alter	kalibr. Alter (intcal09.14c)*
Hd-23780	A5/6.893	4012±50 BP	1σ: [cal BC 2579: cal BC 2471] 1, 2σ: [cal BC 2847: cal BC 2844] 0,001265 [cal BC 2840: cal BC 2813] 0,031479 [cal BC 2692: cal BC 2690] 0,001254 [cal BC 2678: cal BC 2435] 0,937743 [cal BC 2421: cal BC 2403] 0,010796 [cal BC 2379: cal BC 2349] 0,017464

* Calib Rev 6.0.1

Tab. 106: Planquadrate A 5/6, Radiokohlenstoffdatierung			
Labor.Nummer	Ausgrabungseinheit	konv. ¹⁴ C-Alter	kalibr. Alter (intcal09.14c)*
Hd-23761	A5/6.905	3871±60 BP	1σ: [cal BC 2462: cal BC 2286] 0,991009 [cal BC 2246: cal BC 2245] 0,008991 2σ: [cal BC 2487: cal BC 2194] 0,971534 [cal BC 2176: cal BC 2144] 0,028466

* Calib Rev 6.0.1

nommenen Holzkohle und Asche zusammensetzenden Verfüllung einer Troia V₁-zeitlichen Grube (Matrix-Nr. 028) wurde Probe Hd-23761 geborgen (cf. Taf. 80.1, 2);¹²⁴⁵ mit einem konventionellen ¹⁴C-Alter von 3871±60 BP ist sie bei 1σ um 2462–2286 cal. BC (99,1 %) anzusetzen, um 2487–2194 cal. BC dagegen bei 2σ (Tab. 106, Abb. 108 u. Taf. 374.2).

In absolutchronologischer Hinsicht deckt Probe Hd-23774 ein Spektrum von 2621–2467 cal. BC (100 %) bei 1σ ab, von 2699–2391 cal. BC (88,83 %) bei 2σ (Tab. 107, Abb. 108 u. Taf. 374.4); mit Matrix-Nummer 030, der Verfüllung einer mit Lehm, Asche und Holzkohlepartikeln gefüllten Grube erfaßt (cf. Taf. 80.1),¹²⁴⁶ ist sie auf Grundlage ihrer Stratifizierung der Zeit von Troia V₁ zuzuweisen und somit Probe Hd-23761 unmittelbar zur Seite zu stellen.

¹²⁴⁵ Pieniążek-Sikora 2001: 131.¹²⁴⁶ Pieniążek-Sikora 2001: 96.

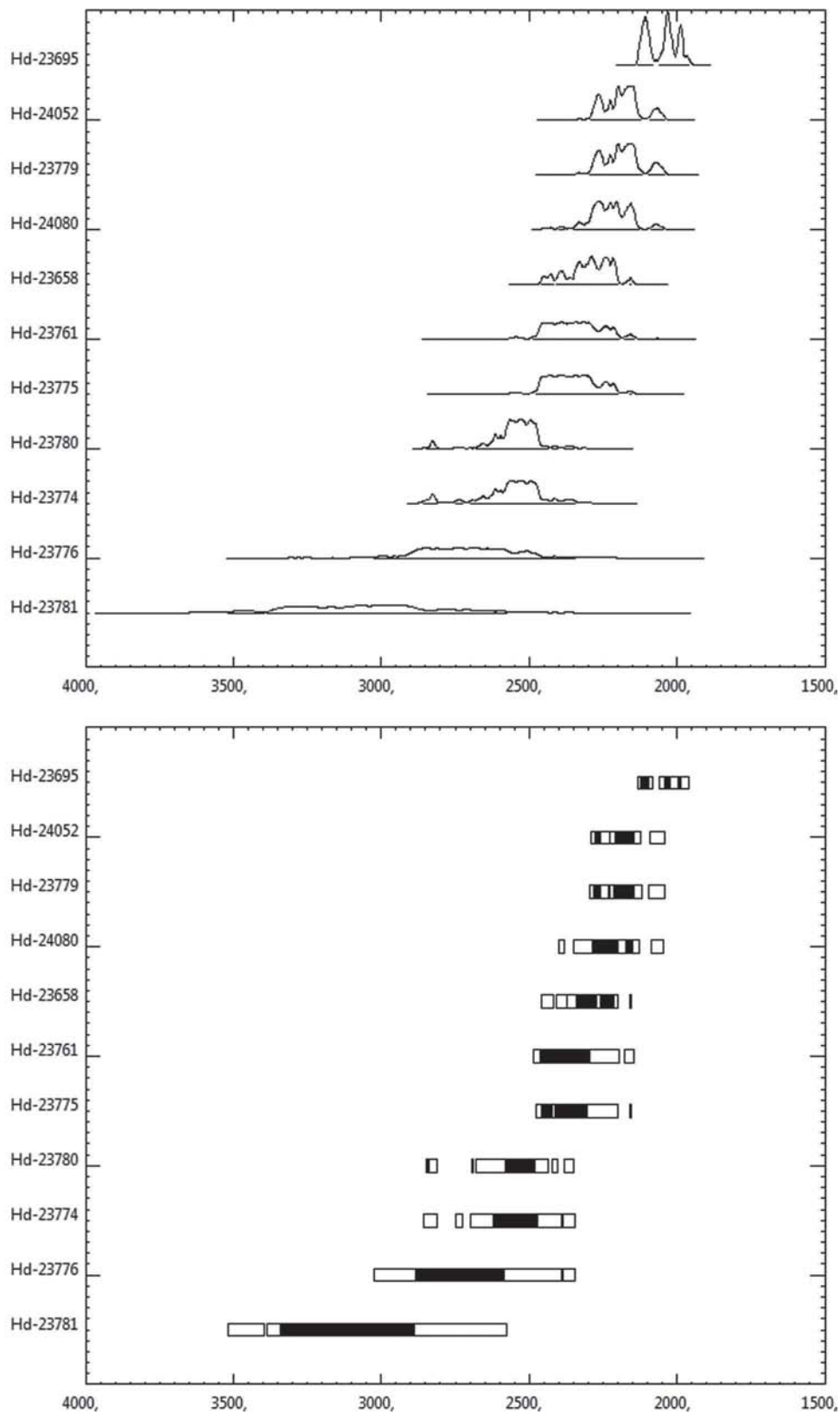


Abb. 108
 Quadrate A 5/6, Radio-
 kohlenstoffdaten:
 Sortierung nach Alter.

Tab. 107: Planquadrate A 5/6, Radiokohlenstoffdatierung			
Labor.Nummer	Ausgrabungseinheit	konv. ¹⁴ C-Alter	kalibr. Alter (intcal09.14c)*
Hd-23774	A5/6.820	4013±61 BP	1σ: [cal BC 2621: cal BC 2467] 1, 2σ: [cal BC 2857: cal BC 2811] 0,058206 [cal BC 2749: cal BC 2723] 0,018947 [cal BC 2699: cal BC 2391] 0,888375 [cal BC 2385: cal BC 2345] 0,034472

* Calib Rev 6.0.1

Tab. 108: Planquadrate A 5/6, Radiokohlenstoffdatierung			
Labor.Nummer	Ausgrabungseinheit	konv. ¹⁴ C-Alter	kalibr. Alter (intcal09.14c)*
Hd-23695	A5/6.777	3663±20 BP	1σ: [cal BC 2124: cal BC 2092] 0,436672 [cal BC 2043: cal BC 2016] 0,378231 [cal BC 1996: cal BC 1980] 0,185097 2σ: [cal BC 2133: cal BC 2080] 0,394934 [cal BC 2061: cal BC 1960] 0,605066

* Calib Rev 6.0.1

Demselben stratigraphischen Horizont wie die beiden zuvor besprochenen Proben Hd-23761 und Hd-23774 gehört Probe Hd-23695 an, die in der Verfüllung eines der wenigstens vier, den zwischen ▼ 28,74 m ü. NN und ▼ 28,70 m ü. NN gelegenen Kuppelofen (*cf.* Matrix-Nr. 024 bis 026) umgebenden Pfostenlöchern aufgenommen wurde (Matrix-Nr. 033 bis 038. *Cf.* Taf. 79).¹²⁴⁷ Entsprechend ihrer Schichteinbindung in Troia V₁, ergibt sich für sie ein absoluter Zeitansatz von 2124–2092 cal. BC (43,67 %) bei 1σ und 2061–1960 cal. BC (60,5 %) bei 2σ (Tab. 108, Abb. 108 u. Taf. 374.5).

Ausgehend von einer Vergesellschaftung in Matrix-Nummer 043, der bis zu einer Höhe von ▼ 28,84 m ü. NN anstehenden Fundamentgrubenverfüllung von Mauer 12 aus dunkelbraunem, nahezu fundfreiem Lehm (*cf.* Abb. 52),¹²⁴⁸ ergibt sich für Probe Hd-23658 eine Phasenzuweisung nach Troia V₂; in absolutchronologischer Hinsicht erschließt sich für diese bei einem konventionellen ¹⁴C-Alter von 3834±33 BP ein Datum von 2342–2268 cal. BC (55,35 %) bei 1σ, während das kalibrierte Alter bei 2σ um 2370–2199 cal. BC (81,65 %) anzusetzen sein dürfte (Tab. 109, Abb. 108 u. Taf. 374.6).

Probe Hd-23776 wurde im selben Befundkontext wie Probe Hd-23658 geborgen;¹²⁴⁹ ausgehend von einem konventionellen ¹⁴C-Alter von 4140±125 BC ergibt sich für diese bei entsprechendem Deponierungszeitraum ein Wert von 2882–2576 cal. BC (100 %) bei 1σ, dem seinerseits wiederum ein Wert von 3022–2391 cal. BC (98,62 %) gegenüberzustellen ist (Tab. 110, Abb. 108 u. Taf. 375.1).

¹²⁴⁷ Pieniżek-Sikora 2001: 84.¹²⁴⁸ Pieniżek-Sikora 2001: 59.¹²⁴⁹ Pieniżek-Sikora 2001: 59.

Tab. 109: Planquadrate A 5/6, Radiokohlenstoffdatierung			
Labor.Nummer	Ausgrabungseinheit	konv. ¹⁴ C-Alter	kalibr. Alter (intcal09.14c)*
Hd-23658	A5/6.717	3834±33 BP	1σ: [cal BC 2342: cal BC 2268] 0,553534 [cal BC 2260: cal BC 2206] 0,446466 2σ: [cal BC 2458: cal BC 2417] 0,081724 [cal BC 2409: cal BC 2372] 0,093047 [cal BC 2370: cal BC 2199] 0,816463

* Calib Rev 6.0.1

Tab. 110: Planquadrate A 5/6, Radiokohlenstoffdatierung			
Labor.Nummer	Ausgrabungseinheit	konv. ¹⁴ C-Alter	kalibr. Alter (intcal09.14c)*
Hd-23776	A5/6.716	4140±125 BP	1σ: [cal BC 2882: cal BC 2576] 1, 2σ: [cal BC 3022: cal BC 2391] 0,986245 [cal BC 2385: cal BC 2345] 0,013755

* Calib Rev 6.0.1

Tab. 111: Planquadrate A 5/6, Radiokohlenstoffdatierung			
Labor.Nummer	Ausgrabungseinheit	konv. ¹⁴ C-Alter	kalibr. Alter (intcal09.14c)*
Hd-23781	A5/6.682	4380±170 BP	1σ: [cal BC 3341: cal BC 2882] 1, 2σ: [cal BC 3516: cal BC 3397] 0,05 [cal BC 3385: cal BC 2577] 0,95

* Calib Rev 6.0.1

Bei einem konventionellen ¹⁴C-Alter von 4380±170 BP erschließt sich für Probe Hd-23781, die mit Matrix-Nummern 061 und 062, einer massiven Akkumulation von ins Innere der verschiedenen Raumzellen verstürzter Lehmsteine¹²⁵⁰ erfaßt wurde, ein Datum von 3341–2882 cal. BC (100 %) bei 1σ, von 3385–2577 cal. BC (95 %) bei 2σ (Tab. 111, Abb. 108 u. Taf. 375.2); anhand ihrer stratigraphischen Position ergibt sich für sie eine Zuweisung nach Phase Troia V₂.

Über ihre Einbindung in Matrix-Nummer 093,¹²⁵¹ einer sich vorwiegend aus verbranntem Lehm und Holzkohle, Knochen, Muscheln und Keramikfragmenten zusammensetzenden Verfüllung einer insgesamt 0,82 m tiefen, im Grundriß annähernd kreisrunden Grube (Matrix-Nr. 092), erschließt sich für Radiokohlenstoffprobe Hd-23775 ein relativer Zeitansatz von Troia V₃; in absolutchronologischer Hinsicht ist sie – ausgehend von einem konventionellen ¹⁴C-Alter von 3876±52 BP – zwischen 2411–2295 cal. BC (73,72 %) bei 1σ anzusetzen, um 2476–2200 cal. BC (99,86 %) bei 2σ (Tab. 112, Abb. 108 u. Taf. 375.3).

¹²⁵⁰ Pieniążek-Sikora 2001: 47.

¹²⁵¹ Pieniążek-Sikora 2001: 87.

Tab. 112: Planquadrate A 5/6, Radiokohlenstoffdatierung			
Labor.Nummer	Ausgrabungseinheit	konv. ¹⁴ C-Alter	kalibr. Alter (intcal09.14c)*
Hd-23775	A5/6.778	3876±52 BP	1σ: [cal BC 2458: cal BC 2416] 0,262786 [cal BC 2411: cal BC 2295] 0,737214 2σ: [cal BC 2476: cal BC 2200] 0,998575 [cal BC 2157: cal BC 2155] 0,001425

* Calib Rev 6.0.1

Tab. 113: Planquadrate A 5/6, Radiokohlenstoffdatierung			
Labor.Nummer	Ausgrabungseinheit	konv. ¹⁴ C-Alter	kalibr. Alter (intcal09.14c)*
Hd-24052	A5/6.477	3768±34 BP	1σ: [cal BC 2277: cal BC 2252] 0,198083 [cal BC 2228: cal BC 2222] 0,046158 [cal BC 2210: cal BC 2138] 0,755759 2σ: [cal BC 2292: cal BC 2124] 0,893765 [cal BC 2091: cal BC 2043] 0,106235

* Calib Rev 6.0.1

Tab. 114: Planquadrate A 5/6, Radiokohlenstoffdatierung			
Labor.Nummer	Ausgrabungseinheit	konv. ¹⁴ C-Alter	kalibr. Alter (intcal09.14c)*
Hd-24080	A5/6.269	3791±39 BP	1σ: [cal BC 2287: cal BC 2195] 0,785081 [cal BC 2172: cal BC 2145] 0,214919 2σ: [cal BC 2401: cal BC 2382] 0,013812 [cal BC 2347: cal BC 2128] 0,944599 [cal BC 2088: cal BC 2046] 0,041589

* Calib Rev 6.0.1

Probe Hd-24052, die im Kontext eines nach Phase Troia V₄ zu datierenden Fußbodenhorizonts aus bis zu 4 cm stark aufgetragenem, sorgfältig verdichtetem Lehm mit darunterliegender Planierung aufgenommen wurde (Matrix-Nr. 110 u. 113. Cf. Taf. 109),¹²⁵² liegt mit einem konventionellen ¹⁴C-Alter von 3768±34 BP zeitlich zwischen 2210–2138 cal. BC (75,58 %) bei 1σ, zwischen 2292–2124 cal. BC (89,38 %) bei 2σ (Tab. 113, Abb. 108 u. Taf. 375.4).

Entsprechend ihrer Vergesellschaftung in einer über Matrix-Nummer 125 als Troia V₅-zeitlichem Begehungshorizont aufgenommenen Schichteinheit aus im Durchschnitt bis zu 4 cm starkem dunkelgrauem Lehm handelt es sich bei Hd-24080 zumindest in stratigraphischer Hinsicht um die jüngste Radiokohlenstoffprobe der Planquadrate A 5/6.¹²⁵³ Bei einem konventionellen ¹⁴C-Alter von 3791±39 BP liegt sie um 2287–2195 cal. BC (78,5 %) bei 1σ, zwischen 2347–2128 cal. BC (94,46 %) dagegen bei 2σ (Tab. 114, Abb. 108 u. Taf. 375.5).

¹²⁵² Pieniżek-Sikora 2000: 128.¹²⁵³ Pieniżek-Sikora 2000: 65.

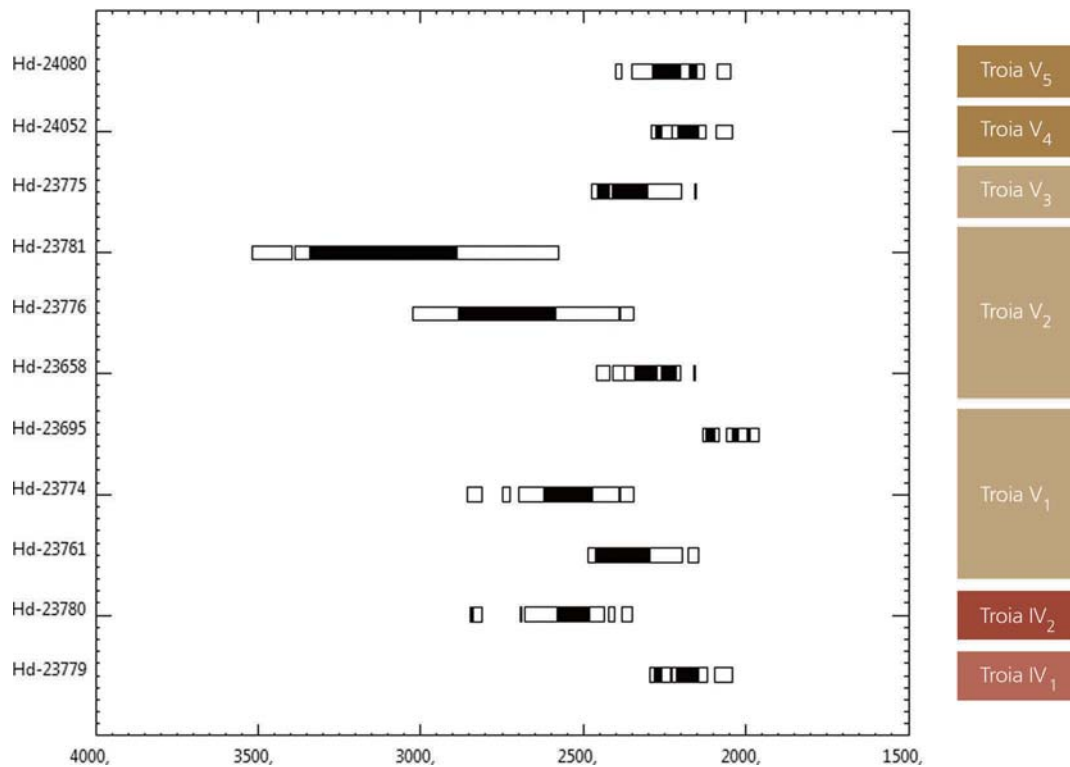


Abb. 109
Quadrate A 5/6, Radiokohlenstoffdaten:
Sortierung nach stratigraphischen Kriterien.

Bezogen auf die Meßergebnisse der Radiokohlenstoffproben Hd-23781 und Hd-23695, d. h. dem nach Kalibration an *intcal09.14c* maximal ältesten und maximal jüngsten Wertepaar, erschließt sich für die Troia IV- und Troia V-zeitliche Schichtenabfolge der Planquadrate A 5/6 ein zeitliches Spektrum von 3341–2092 cal. BC bei 1σ und von 3385–1960 cal. BC bei 2σ (Abb. 108). Selbst unter Ausschluß der Proben Hd-23781 und Hd-23776, die mit einem Fehler von ± 170 bzw. ± 125 keinen adäquaten Ausgangspunkt für die chronologische Positionierung einer Siedlungssequenz abgeben, fallen die ausschließlich an Holzkohle ermittelten Daten im Verhältnis sowohl zu denen der unmittelbar vorausgehenden wie nachfolgenden Periode deutlich zu alt aus. Ähnlich wie im Falle der ^{14}C -Datierungen aus D 7/8 für Troia IV, die zeitlich mit denjenigen in Areal E 4/5 und in D 7/8 selbst für Periode Troia III angesetzten Werten zusammenfallen,¹²⁵⁴ sind mit Ausnahme der Meßergebnisse für Proben Hd-23779 und Hd-23780, die entsprechend ihrer stratigraphischen Einbindung an das Ende von Troia IV zu stellen sind, alle für Troia V erhobenen Resultate in einem absolutchronologischen Bereich angesiedelt, in dem Troia IV anzusetzen ist.¹²⁵⁵ In der Konsequenz ergibt sich für die Zeit zwischen 1960 v. Chr. und

¹²⁵⁴ Cf. Mansfeld 2001: 201–203; Sazcı 2005: 62–63 u. Abb. 31–32.

¹²⁵⁵ Dazu s. Kapitel 8 »Kulturhistorische Verortung der Perioden Troia IV und Troia V«.

dem Beginn von Subperiode Troia VI Früh um 1760/1750 v. Chr.,¹²⁵⁶ eben jenem Abschnitt, den Troia V nicht zuletzt auch nach Vorgabe der Grabfunde in Planquadrat D 20 in der Gesamtheit abdecken sollte, eine chronologische Lücke von ca. 200 Jahren innerhalb der – jedoch nachweislich durchlaufenden – Fundplatzsequenz.

Nicht weniger gravierend ist die zeitliche Diskrepanz der Daten, setzt man diese in Relation zu ihrer je spezifischen Stratifizierung (Abb. 109); Proben, die in unmittelbar aufeinanderfolgenden Schichtzusammenhängen, in einem Fall sogar in ein und demselben Befundkontext aufgenommen wurden (cf. Hd-23776 u. Hd-23658), können eine Differenz von mehreren hundert Jahren aufweisen und einer unsystematisch ansetzenden Variation von »älter zu jünger« und »jünger zu älter« unterliegen. Mitverantwortlich hierfür kann eine Verwendung von Altholz sein, so daß sich die bestehenden Abweichungen aus dem zeitlichen Mißverhältnis zwischen Schlag- und Deponierungszeitraum ergäben,¹²⁵⁷ obschon eine solche allein – bezogen auf die Masse der vorliegenden Meßergebnisse – nicht als mehrfache Erklärung überzeugen mag.¹²⁵⁸ Hinreichend plausibel scheint dies nur im Falle der im Kontext verstürzter Bausubstanz geborgenen Kohlenstoffproben zu sein, da diese gegebenenfalls von hölzernen Konstruktionsteilen stammen können, für welche gewöhnlicherweise kräftigere und ausreichend lange abgelagerte Elemente zum Einsatz kommen,¹²⁵⁹ während die den Verfüllungen von Gruben entnommenen Proben von Brenn- und Feuerholz stammen und somit relativ jung verwendet worden sein dürften; eine Intrusion älteren Materials ist auszuschließen, da es für massive Umlagerungsprozesse keinerlei Anhaltspunkt gibt.

Als Resultat der sich auf Grundlage der Radiokohlenstoffdatierungen für die Troia IV- und Troia V-zeitlichen Schichtenabfolgen der Planquadrate D 7/8 und A 5/6 ergebenden, nicht notwendigerweise aus dem archäologischen Befund selbst erschließbaren absolutchronologischen Mißverhältnisse sind die beiden hier zur Diskussion stehenden Perioden derzeit allein anhand der für Troia III und Troia VI vorgegebenen Eckdaten in der Siedlungssequenz Troias zu positionieren: Bezogen auf die ¹⁴C-Datierungen der Areale E 4/5 und D 7/8 für Periode Troia III ergibt sich für den Beginn von Troia IV ein Datum von 2200/2150 v. Chr.,¹²⁶⁰ während das Ende von Siedlungshorizont Troia V um 1760/1750 v. Chr. anzusetzen sein dürfte; allein über externe Daten hingegen zu rekonstruieren ist der Übergang von Troia IV nach Troia V,¹²⁶¹ für den es ausgehend von den bislang vorliegenden Meßergebnissen – bis zu einer Erweiterung der Datenbasis über Thermolumineszenz und/oder die systematische Beprobung von aus datierungsrelevanten Fundkomplexen stammenden Knochen – keine konkreten Anhaltspunkte gibt: Anhand von Vergleichsdaten aus Anatolien, der Ägäis und von Zypern ergibt sich für das Ende von

¹²⁵⁶ Cf. Pavúk 2007a: 474–476.

¹²⁵⁷ Grundsätzlich dazu s. Wagner 1998: 48, 155–157; Kromer *et al.* 2003: 43, 45. S. in diesem Zusammenhang auch Schiffer 1986: 13 u. 16–23, 26–27; Schiffer 1987: 309–312; Schoop/Seeher 2006: 55.

¹²⁵⁸ S. hierzu etwa auch Blum im Druck.

¹²⁵⁹ Cf. Mansfeld 2001: 203 u. Abb. 13/1.

¹²⁶⁰ Cf. Manning 1995: 159–160, 172; Maran 1998: 415, 426.

¹²⁶¹ Dazu s. Kapitel 8 »Kulturhistorische Verortung der Perioden Troia IV und Troia V«.

Troia IV bzw. den Beginn von Troia V zumindest eine teilweise zeitliche Überlappung mit MM IA, was für den Periodenübergang insgesamt eine Datierung in das frühe 2. Jahrtausend v. Chr. (ca. 2000–1960/50 v. Chr.) nahelegt.¹²⁶²

¹²⁶² Manning 1997a: 513 »*Artefact linkages between Troy IV and elsewhere in Anatolia, but also the Aegean and Cyprus, suggest that the period lies in a range approximately from Early Helladic III (early) through Middle Minoan IA. A date range from the 22nd century BC to c. 2000 BC or during the 20th century BC would conform to a wide range of other data (historical and science-base).*« Dazu s. auch Mellaart 1958: 9, 32; Renfrew 1972: 205–206, 213–214; Efe 1988: 116–119; Görtsdorf/Kohl 1992: 334 Abb. 5; Manning 1995: 86–90, 103; Manning 1996: 17; Maran 1998: 416–426. Vgl. Easton 1976: 153, 158–161.

Kulturhistorische Verortung der Perioden Troia IV und Troia V |

	D	V	I		DYN V
	E	VI ^a	II	MB	
	I ^b c	VII	III		
	*	VIII			FIR
	II	IX	IV		INTER
	*			EB III ^b	MED
			V		ATE
MEGARA,	III	X			DYN V
MAIN			VI		
CEME-		XI			
TERY	IV			EB III ^a	DYN V
AND		XII	VI ^b		Schurē
CISTERN *					
	V(?)		VII		DYN V
		XIII ^a	VIII		Cheops

8.1 Troia IV und Troia V im regionalen Kontext

Räumlich konzentrieren sich die vorspätbronzezeitlichen Siedlungsplätze der Troas insbesondere im küstennahen Bereich, in selteneren, vom Lagertyp her jedoch keineswegs untypischen Fällen nehmen sie eine Position am Rand ausgedehnter Schwemmlandebenen ein, wie etwa der nunmehr verlandeten Mündungsbucht des Karamenderes (Skamander).¹²⁶³ Die Anzahl der im Hügel- und Bergland des heute zum Teil großflächig bewaldeten Landesinneren bekannten Fundorte tritt demgegenüber als Summe vielfältiger geographischer und fundstatistischer Faktoren in Vergangenheit und Gegenwart deutlich zurück, jedoch ist hier besonders im Bereich von Binnenebenen oder in den Randzonen von Flußauen, in leicht erhöhter topographischer Position, mit weiteren Siedlungsstellen vor allem des späten Chalkolithikums sowie der frühen bis mittleren Bronzezeit (FBZ u. MBZ) zu rechnen.¹²⁶⁴

Sind für die neolithischen und früh- bis mittelchalkolithischen Besiedlungshorizonte der Troas infolge einer derzeit noch geringen Anzahl erfaßter Fundstellen dieser Zeitstellung bzw. deren nur unzureichend bekannten inneren Anlagestruktur, kaum verbindliche Aussagen hinsichtlich des topographischen und/oder soziokulturellen Verhältnisses der einzelnen Ansiedlungen zueinander zu treffen, liegen für das ausgehende Chalkolithikum sowie die frühe Bronzezeit hinreichend archäologische Grunddaten für eine vorläufige siedlungsgeographische Bewertung vor.¹²⁶⁵ So ist bereits für die Periode Kumtepe IB ein starker Zuwachs an Siedlungsplätzen speziell im nordwestlichen Teil der Landschaft zu konstatieren, der sich zu Beginn der frühen Bronzezeit noch einmal zu intensivieren scheint (Abb. 110). Soweit über systematische Untersuchungen bekannt, handelt es sich bei den Ansiedlungen des späten 4. und beginnenden 3. Jahrtausends v. Chr. um kleinere, in lockerer Streuung gelegene Dörfer von bis zu etwa einem Hektar Größe, deren Grundplan in erster Linie Langhäuser in agglutinierender Bauweise bestimmten, die ebenso wie das jeweils assoziierte Fundmaterial vorerst nicht auf eine stratifizierte Gesellschaft schließen lassen; in Größe, Anlageschema und Inventar zwar durchaus vergleichbar, hebt sich Troia bereits in der Subperiode I Früh als die einzige befestigte Siedlung der Troas deutlich von allen kontemporären Orten ab.¹²⁶⁶ Während im weiteren Verlauf der FBZ I sowie der beginnenden FBZ II die auf dem Hisarlık Tepe/Troia gelegene Siedlung kontinuierlich ausgebaut und sukzessive befestigt wurde, deutet sich im selben Zeitraum eine deutliche Abnahme der Siedlungsdichte für die Troas an: Ähnlich wie sich die Belegungsdauer des Kumtepe IC und des Beşik-Yassitepe nach Ausweis der Keramik nur unwesentlich mit derjenigen von Troia in Subperiode I Mitte überschneidet,¹²⁶⁷ lassen sich an anderen Fundstellen der Troas nahezu keine keramischen Belege für die Zeit von Troia I Mitte und Troia I Spät finden.

¹²⁶³ Blum *et al.* 2012: im Druck.

¹²⁶⁴ S. hierzu Bieg *et al.* 2009: 201–205 u. Abb. 1.

¹²⁶⁵ Cf. Blum *et al.* 2012: im Druck. Cf. Schoop 2011a: 29–31; Schoop 2011b: 162–163.

¹²⁶⁶ Allgemein dazu s. Korfmann 1989: *passim*; Korfmann 1992: 12–14. Cf. Ivanova 2008: 322–323.

¹²⁶⁷ S. in diesem Zusammenhang Sperling 1976: 357; Kılıç 1994: 136; Korfmann 1985: 162. Cf. Korfmann *et al.* 1995: Abb. 22–26.

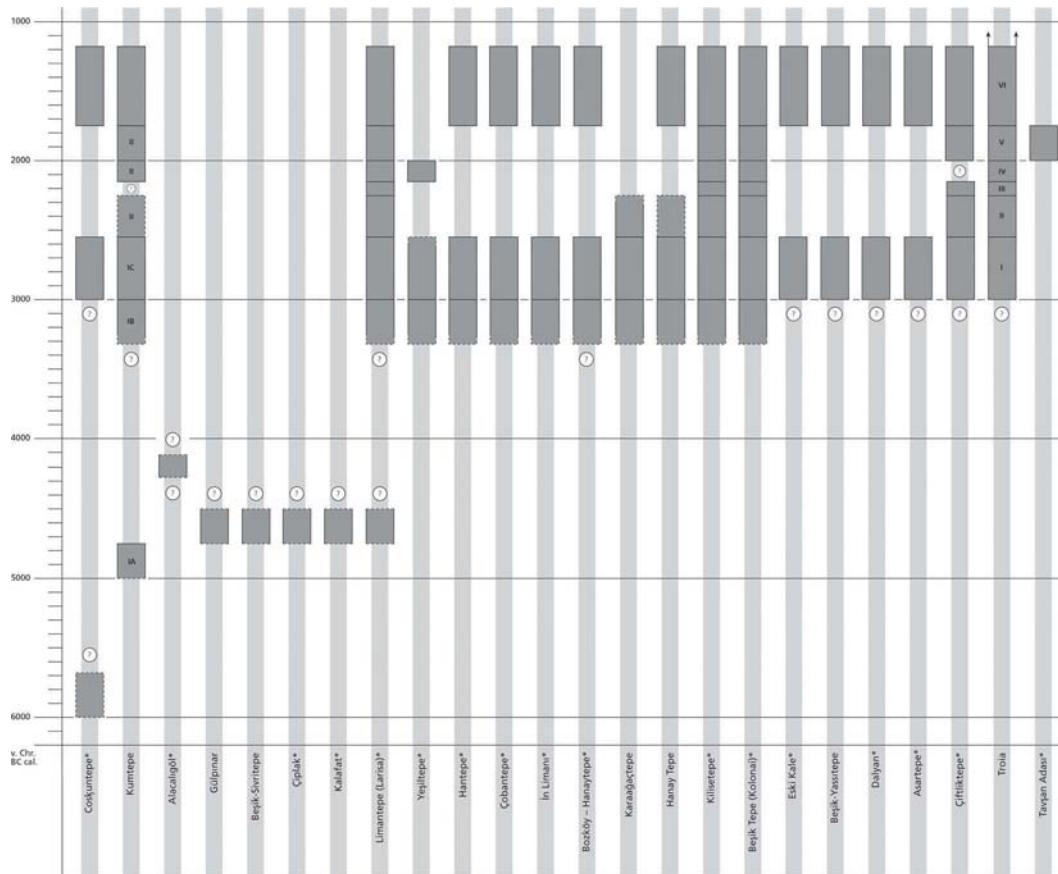


Abb. 110
Chronologietabelle,
Troas und südliche
Gallipoli-Halbinsel;
derzeit allein über
Oberflächenfunde
erschlossene Fund-
plätze sind mit *
gekennzeichnet.

Als Teil eines regionalen Zentralisierungsprozesses mag der spätestens für die Zeit des entwickelten Troia II zu verzeichnende massive Rückgang an Fundplätzen verstanden werden, der zu einer nachhaltigen Konzentration der frühbronzezeitlichen Population in einigen wenigen größeren, in einer Distanz von jeweils 40–50 km voneinander entfernt gelegenen Siedlungsplätzen wie dem Limantepe (Larisa), Kilistepe, Karaağaçtepe (Protesilaion), Beşik Tepe (Kolonaı) oder Troia führte;¹²⁶⁸ für wenige in deren Peripherie gelegene, wohl in erster Linie im agrarischen und/oder handwerklichen Produktionssektor angesiedelte Niederlassungen mit dörflichem Charakter dürften sie die Funktion redistributiver Zentralorte übernommen haben.¹²⁶⁹ In der sich im Verlauf der frühen Bronzezeit sukzessiv etablierenden hierarchischen Siedlungs-

¹²⁶⁸ Cf. Blum *et al.* 2012: im Druck. Dazu s. auch Özdoğan 1993: 154–156.

¹²⁶⁹ Hinsichtlich der für die im hier zur Diskussion stehenden Zeitraum diskutierten Übernahme verschiedener, in ihrem Ursprung auf die frühen Stadtkulturen des vorderasiatischen Raums zurückzuführende Innovationen in Troia, wie etwa der Verwendung der schnellrotierenden Töpferscheibe, bestimmter Gefäßformen und den damit im Zusammenhang stehenden Trinksitten, die Einführung spezifischer metrologischer Systeme, die Nutzung von Siegeln zur Administration sowie einer entwickelten Metallurgie mit der Verarbeitung von Edelmetallen und Legierungen in Westanatolien und der Ägäis s. insbesondere Rahmstorf 2006: 79–81; Ivanova 2008: 205–207; Pernicka 2006: 349–351; Bobokhyan 2006: *passim*. Cf. Maran 1998: 437; Efe 2007: 60–62.

struktur¹²⁷⁰ nahm der Hisarlık Tepe/Troia schon bald eine dominierende Stellung ein: Innerhalb nur weniger Besiedlungsphasen entstand hier eine ca. 10 000 m² große burgähnliche Befestigungsanlage mit monumentaler Innenbebauung¹²⁷¹ und einer rund 80 000 m² großen, mit einem hölzernen Palisadenwerk befestigten Außensiedlung.¹²⁷² Der Umstand, daß im Fundaufkommen der betreffenden chronologischen Abschnitte spezialisierte Handwerker beispielsweise anhand von Gußformen, Halbfabrikaten, Rohmetallbarren und -stücken, Gußabfällen und sogenannten Goldschmiedehorten¹²⁷³ – wenn freilich auch nur indirekt – für den Innenbereich der Zitadelle nachzuweisen sind, mag in diesem Kontext als ein Indiz für die Existenz einer etablierten Elite gelten,¹²⁷⁴ die innerhalb einer sozial differenzierten Gesellschaft die Steuerung von nicht für eine Umverteilung bestimmten Prestigegütern durch die Kontrolle bzw. Regulierung ihrer Produktion übernahm.¹²⁷⁵

In der Zeit von Troia III, IV und V scheint sich das vorgegebene Siedlungsmuster trotz zum Teil tiefgreifender siedlungsinterner Umstrukturierungen nicht wesentlich verändert zu haben;¹²⁷⁶ ungeachtet ihrer nun vorherrschend kleinteiligen, auf Monumentalarchitektur vollständig verzichtenden Bebauung sowie des mit dieser assoziierten, vor allem mit häuslichen Sektor anzusetzenden Fundinventars eher dörflichen Charakters wird die im Untersuchungszeitraum auf dem Hisarlık Tepe gelegene Siedlung für einige wenige in der näheren Umgebung gelegene, wohl am ehesten im landwirtschaftlichen und handwerklichen Produktionsbereich zu verortende Weiler und Einzelsiedlungen, wie beispielsweise den Kumtepe, Yeşiltepe, Çiftliktepe und Kilisetepe, weiterhin eine Funktion als Zentralort übernommen haben.¹²⁷⁷

Eine systematische Aufsiedlung der Landschaft bis tief ins Landesinnere hinein ist erst für die ausgehende mittlere und späte Bronzezeit, in Periode Troia VI/VIIa erkennbar,¹²⁷⁸ wobei der Hisarlık Tepe/Troia – mit nun 22 100 m² großer, teils monumental ausgebaute Zitadelle und einer auf annähernd 30 500 m² angewachsenen Außensiedlung – in der Siedlungshierarchie der Troas unverändert eine Sonderstellung einnahm.¹²⁷⁹

¹²⁷⁰ Die Entwicklung hin zu einer stratifizierten Gesellschaft läßt sich gegebenenfalls schon für die späteren Phasen von Troia I anhand einer kommunalen Bauplanung (Befestigungsanlagen, erste Monumentalbauten, Abwasserkanäle und kommunaler Speicherbau) wahrscheinlich machen; in dieselbe Richtung deutet die deutlich zunehmende Intensivierung und Komplexität sowohl der überregionalen Kontakte wie auch des (Metall-)Handwerks. Cf. Blum *et al.* 2012: im Druck; Schoop 2011a: 31–37.

¹²⁷¹ Allgemein dazu s. Ünlüsoy 2009: 182–188; Ivanova 2008: 208–209 u. 228–229.

¹²⁷² Entsprechend Jablonka 2001: 391–394; Jablonka 2006: 180 Anm. 38. Vgl. Korfmann 2001a: 347.

¹²⁷³ Blegen *et al.* 1951: 45–54 u. 68–82. Cf. Easton 1997: 196; Müller-Karpe 1994: 46–49. Vgl. Blum/Aslan 2005: 315–321.

¹²⁷⁴ Ergänzend dazu s. Rahmstorf 2006: 50–84; Bachhuber 2009: 4–14.

¹²⁷⁵ Cf. Bachhuber 2009: 11–15; Ivanova 2008: 205–206 u. 210–211. Ergänzend dazu s. Ünlüsoy 2006: 135–143; Ünlüsoy 2009: 181–189; Efe 2006: 19–26.

¹²⁷⁶ Cf. Blegen *et al.* 1951: 5–8 u. 102–103, 223–224; Ünlüsoy 2006: 143; Ünlüsoy 2009: 188–189; Blum 2006: 145–150.

¹²⁷⁷ Vgl. Nissen 2000: 73–74; Nissen 2003: 34–39, 43–44; Nissen 2005: 43–46, 57; Trigger 1990: 119–128; Trigger 2003: 564–583; Hänsel 2005: 187–194; Kolb 1984: 12–15; Müller-Karpe 1989: 4–13.

¹²⁷⁸ S. hierzu Pavúk/Schubert 2012: im Druck. Cf. Blum *et al.* 2011: 123.

¹²⁷⁹ Zusammenfassend dazu s. Easton *et al.* 2002: 75–106.



Abb. 111
Der Kumtepe vor
Grabungsbeginn im
Jahr 1934 (Bildarchiv
Univ. Cincinnati
34 S 5.5).

Stratifizierte Fundinventare der Perioden Troia IV und Troia V sind bislang nur vom namensgebenden Fundort selbst bekannt sowie aus Horizont II des nahegelegenen Siedlungshügels Kumtepe. Dieser liegt auf der dem Landesinneren zugewandten Seite eines flachen Höhenzugs am Südausgang der Dardanellen, ca. 5 km nordwestlich vom Hisarlık Tepe/Troia.¹²⁸⁰ Die schmale Zunge dieser Geländeerhebung trennte ursprünglich eine langgestreckte von den Dardanellen abzweigende, sukzessiv verlandende Meeresbucht von der Ägäis: War der Siedlungsplatz noch zu Beginn seiner Nutzung unmittelbar am Meer gelegen, lag er bei Nutzungsende auf einer Höhe mit der vorrückenden Schwemmebene.¹²⁸¹ Entdeckt wurde der knapp 100 × 80 m große und zwischen 7 und 8 m hohe Siedlungshügel bei Oberflächenbegehungen im März 1934 von John L. Caskey und Jerome W. Sperling, und noch im Mai desselben Jahres fand in einer nur zehn Tage in Anspruch nehmenden Unternehmung die archäologische Untersuchung statt (Abb. 111).¹²⁸² Die in den fünf von Hâmit Zübeyr Koşay, dem damals amtierenden Generaldirektor der türkischen Antikenverwaltung, und Sperling angelegten Sondagen festgestellte Schichtenabfolge wurde in drei Hauptabschnitte unterteilt (Kumtepe IA, IB und IC), an die sich – belegt durch Gruben und isolierte Schichtreste – mit Kumtepe II ein weiterer Horizont anschloß.¹²⁸³ Während die beiden jüngeren Perioden Kumtepe IC und II zusammengenommen eine Schichtenbildung von 1–2 m aufwiesen, belief sich diejenige des Abschnitts Kumtepe IB auf etwa 2 m; die unmittelbar auf dem anstehenden Felsen bzw. gewachsenen Boden lagernden Schichten der Periode Kumtepe IA machten dagegen rund 1 m an der Gesamtstratifizierung

¹²⁸⁰ Sperling 1976: 305 u. Fig. 1.2.

¹²⁸¹ Grundsätzlich dazu s. Kayan 1995: 228–230 u. Fig. 2.18.

¹²⁸² Sperling 1976: 308; Özdoğan 1970: 2–4, 12–19.

¹²⁸³ Dazu s. Sperling 1976: 308 u. Fig. 3.

aus,¹²⁸⁴ wobei ein massiver Bodenbildungshorizont zwischen den Kumtepe IA- und IB-zeitlichen Ablagerungen auf eine längere Unterbrechung der Siedlungssequenz hindeutet.¹²⁸⁵ Zeitlich entfallen Kumtepe IA und IB auf das Chalkolithikum,¹²⁸⁶ Kumtepe IC und II dagegen sind in der Zeit von Troia I, eventuell Troia II und Troia III sowie Troia IV und sicher Troia V anzusetzen;¹²⁸⁷ eine Nutzung des Kumtepe in der entwickelten mittleren und späten Bronzezeit, d. h. Troia VI/VIIa, ist zudem durch Streufunde belegt.¹²⁸⁸ Dominant im Troia IV- und Troia V-zeitlichen Fundmaterial des Kumtepe II sind insbesondere in »*Red-coated Ware*« gefertigte Schalen (cf. Tab. 40), wobei das Formenspektrum in der Hauptsache von Typvertretern der Form Sc 3.5, d. h. Schalen mit einbiegendem, nach innen abgestrichenem Rand, bestimmt wird (Taf. 376.1–7),¹²⁸⁹ von welchen das im Inventar unter der Bezeichnung a-157 geführte Fundstück entsprechend seiner Dekoration zudem den *Red cross bowls* zuzuweisen ist (Taf. 376.2).¹²⁹⁰ Hinzu kommen Schalen mit einbiegendem, gerundetem Rand (Sc 3.3; Taf. 376.8) sowie Schalen mit einbiegendem, spitz zulaufendem Rand (Sc 3.4; Taf. 376.9–10). Ebenfalls vertreten sind Exemplare der Schalen mit einbiegendem, spitz zulaufendem und nach innen abgestrichenem Rand (Sc 3.6; Taf. 377.4) und der Schalen mit umlaufender Kehle und verdicktem, gerundetem oder nach innen abgestrichenem Rand (Sc 8), von denen Typvertreter h-159 ebenfalls zur Gruppe der *Red cross bowls* zu zählen ist (Taf. 377.3). Auf die Form Sc 10.1 (Schalen mit leicht einziehendem, nach innen abgestrichenem Rand) entfallen im ganzen drei Fundstücke (Taf. 377.6–8), vier weitere sind dagegen in Variante Sc 10.2, den Schalen mit leicht einziehendem verdickten, nach innen abgestrichenem Rand, zu fassen (Taf. 377.10–12). Ein der Form Sc 7 (Schalen mit ausgespartem, gerundetem bis keulenförmig verdicktem Rand) zuzuweisendes Fundstück ist nach Troia IV bzw. an den Anfang von Periode Troia V zu datieren (Taf. 377.14); verhältnismäßig früh innerhalb der Troia V-zeitlichen Siedlungssequenz dürfte zudem das Fragment einer Schale mit Volutenhenkel anzusetzen sein, für welches unmittelbare Vergleiche in Subperiode *Troy V Early* am Hisarlık Tepe/Troia selbst zu finden sind (Taf. 377.15),¹²⁹¹ zwei Schalen mit Randverstärkung dagegen leiten typologisch bereits nach Troia VI Früh über (Taf. 377.1–2). Übereinstimmende typologische Merkmale mit Vertretern der Kategorien Be 2 und Be 3 des 5 km entfernt gelegenen Nachbarorts weisen zudem die am Kumtepe erfaßten Becher auf (Taf. 378.1–2 u. 4), in gleicher Weise finden die in entsprechenden Grobwaren gefertigten Koch-

¹²⁸⁴ Allgemein dazu s. Korfmann *et al.* 1995: 240.

¹²⁸⁵ Sperling 1976: 323; Özdoğan 1983: 183. Vgl. Korfmann *et al.* 1995: 243; Gabriel 2000: 234.

¹²⁸⁶ Korfmann *et al.* 1995: 240. Cf. Kromer *et al.* 2003: 45–46 u. Fig. C; Gabriel 2000: 234 u. Tab. 1. Zur Bedeutung des Kumtepe als Referenzpunkt für die ägäische und anatolische Chronologie der Vorbronzezeit s. etwa Özdoğan 1970: 4–11; Renfrew 1972: 76; Felsch 1988: 71–98 u. 128 Tab. 2; Hiller 1992: 233–240; Parzinger 1993: 199; Alram-Stern 2004: 97, 107 u. 588–589; Schoop 2005: 248–254 u. 261–263.

¹²⁸⁷ Cf. Özdoğan 1970: 164–170.

¹²⁸⁸ Sperling 1976: 360. Dazu s. auch Korfmann *et al.* 1995: 240; Özdoğan 1970: Lev. 66.l-133, 66.m-118, 66.n-255, 66.o-101, 67.b-132, 68.b-120, 68.c-461, 69.b-391 u. 71.c-307.

¹²⁸⁹ Cf. Sperling 1976: Pl. 80.901.

¹²⁹⁰ Cf. Sperling 1976: Pl. 80.914.

¹²⁹¹ Sperling 1976: Pl. 81.908. Dazu s. Blegen *et al.* 1951: 241, 249–250, 257, 290 u. Fig. 248.15, 249.1, 249.3, 251.19, 251.21, 258.10.



Abb. 112
Fundorte der Perioden
Troia IV und Troia V,
Troas und Gallipoli-
Halbinsel.

gefäße unter anderem mit To 1.1 ihre formale Entsprechung (Taf. 378.5–8).¹²⁹² Kannen mit abgesetztem Hals und kleeblattförmiger (Ka 2; Taf. 378.8–11)¹²⁹³ oder schräger Mündung (Ka 1; Taf. 378.12) ergänzen das Troia IV- und Troia V-zeitliche Typenspektrum des Kumtepe II ebenso wie Krüge der Formen Kr 2 (Einhenklige Krüge mit abgesetztem Hals und ausladendem, horizontal abgestrichenem Rand; Taf. 378.13) und Kr 1 (Einhenklige Krüge mit abgesetztem Hals

¹²⁹² Cf. Sperling 1976: Fig. 24.921.

¹²⁹³ Cf. Sperling 1976: Pl. 81.919.

und leicht ausbiegendem verdickten, nach außen abgestrichenem Rand; Taf. 378.14); mit Fundstück e-206, dessen Mündungsdurchmesser sich auf 32 cm beläuft, ist darüberhinaus die Gefäßgattung der Henkelkrüge, und hier Typ He 4, für den Kumtepe II belegt (Taf. 378.16).¹²⁹⁴

Anhand von Oberflächenfunden sind die Perioden Troia IV und Troia V zudem für fünf weitere Fundstellen im näheren Umfeld Troias belegt, wobei sich diese auf recht unterschiedliche Lage- und Siedlungstypen verteilen (Abb. 112): Eine Begehung der kleinen, der Westküste der Troas unmittelbar vorgelagerten, heute unbewohnten Tavşan Adası (Abb. 113 oben) erbrachte einzelne Fundstücke aus der Zeit von Troia V, darunter das Fragment einer scheibengedrehten karinierten Schale mit randständigem Parallelhenkel und deckendem roten Überzug (Taf. 379.1).¹²⁹⁵ Vergleichbare Exemplare stammen vom Kilisetepe bei Eceabat, einem rund 20 m hohen, am Ostufer der Gallipoli-Halbinsel gelegenen Siedlungshügel (Abb. 113 unten), dessen prähistorische Siedlungssequenz ausgehend von Periode Kumtepe IB ein zeitliches Spektrum vom späten Chalkolithikum bis in die Zeit von Troia VI abdeckt (*cf.* Abb. 110).¹²⁹⁶

Bereits im Jahr 1859 von Frank Calvert als antiker Ort Kolonai identifiziert,¹²⁹⁷ konnte für den knapp 40 km südwestlich von Troia gelegenen, in mehrere zumeist flache Geländeterrassen gegliederten Siedlungshügel (Küçük) Beşik Tepe im Rahmen verschiedener Geländebegehungen eine früh- und spätbronzezeitliche Nutzung nachgewiesen werden.¹²⁹⁸ Nachuntersuchungen des unmittelbar an der ägäischen Küste angelegten Siedlungsplatzes (Abb. 114) seitens des Troia-Projekts erbrachten mehrere der für die Zeit von Troia I charakteristischen, typologisch in ihrem Ursprung jedoch bereits auf das späte Chalkolithikum zurückgehende Knickrandschalen¹²⁹⁹ sowie verschiedene Handhaben, Standfüße und Typvertreter von Gefäßen mit einziehendem oder trichterförmig ausschwingendem Profilverlauf entsprechender chronologischer Stellung.¹³⁰⁰ Mit dem Fragment eines anthropomorphen Gefäßes konnte für den Beşik Tepe (Kolonai) darüber hinaus der zeitliche Horizont von Troia II/III belegt werden, mit demjenigen einer scheibengedrehten karinierten Schale mit deckendem roten Überzug zudem der von Troia IV und Troia V (Taf. 379.2).¹³⁰¹

Die Siedlungsabfolge des ebenfalls im unmittelbar küstennahen Bereich gelegenen Limantepe (Larisa) setzt mit einem in der ersten Hälfte des 5. Jahrtausend v. Chr. zu verortenden Fundmaterial ein und reicht ohne signifikante Unterbrechung der Platzbelegung bis in die späte Bronzezeit (Abb. 115 oben). Während der jüngere prähistorische Siedlungshorizont anhand mehrerer Fragmente Anatolischer Grauware zu erschließen ist,¹³⁰² konnten die früheren Abschnitte erst

¹²⁹⁴ *Cf.* Sperling 1976: Pl. 80.920.

¹²⁹⁵ Blum *et al.* 2012: Taf. 13.9.

¹²⁹⁶ S. hierzu etwa Aslan *et al.* 2003: 187 u. Abb. 25.

¹²⁹⁷ Calvert 1859: 287–291.

¹²⁹⁸ Dazu s. Cook 1973a: 216–218.

¹²⁹⁹ *Cf.* Blum *et al.* 2012: Taf. 14.2–5.

¹³⁰⁰ S. hierzu Blum *et al.* 2012: Taf. 14.9–16.

¹³⁰¹ Blum *et al.* 2012: Taf. 14.7.

¹³⁰² Cook 1973a: 219; Cook 1973b: 39 Nr. 19. S. hierzu auch Pavúk/Schubert 2012: im Druck.



Abb. 113
oben: Tavşan Adası
(TRDigi 40.681)
unten: Kilise Tepe
(Murat Kiray).



Abb. 114
Beşik Tepe/Kolonai
(TRDigi 10.128).

während eines Surveys in den Jahren 1987 und 1988¹³⁰³ sowie im Zuge der Fundstellenerfassung durch das Troia-Projekt dokumentiert werden. Zu den frühesten Fundstücken des Limantepe (Larisa) sind die Fragmente zweier Schalen mit verbreitertem, einstichverzertem Rand zu zählen¹³⁰⁴ sowie verschiedene, bisweilen tordierte Parallelhenkel.¹³⁰⁵ Als typischer Formvertreter der Stufe Kumtepe IB, ist an diese das Teilstück einer handgefertigten Schale mit innen verdickter, eingerollter Randzone chronologisch anzuschließen ebenso wie ein Teil der gefesterten Hohlbasen und Knickrandschalen, die nach Kumtepe IC/Troia I überleiten.¹³⁰⁶ Eine scheibengedrehte Schale mit gerundetem Profilverlauf dürfte entsprechend ihrer Machart Periode Troia II/III zuzuweisen sein,¹³⁰⁷ eine ebenfalls auf der Töpferscheibe gefertigte Schale mit Karinierung und rotem, streifig poliertem Überzug dagegen Troia IV/V (Taf. 379.3).¹³⁰⁸

Verhältnismäßig weit im Landesinneren liegen die Fundorte Çiftliktepe (Abb. 115.unten), von woher neben verschiedenen Troia I- und Troia II/III-zeitlichen Fundstücken das Fragment einer

¹³⁰³ Dazu s. Akalın 1991: 63–68.

¹³⁰⁴ Blum *et al.* 2012: Taf. 16.1–2.

¹³⁰⁵ Cf. Blum *et al.* 2012: Taf. 16.9–10.

¹³⁰⁶ Dazu s. Blum *et al.* 2012: Taf. 15.1–6, 16.3 u. 12.

¹³⁰⁷ S. hierzu Blum *et al.* 2012: Taf. 15.7.

¹³⁰⁸ Blum *et al.* 2012: Taf. 16.4.



Abb. 115
oben: Limantepe/Larisa
(TRDigi 10.542)
unten: Çiftliktepe
(TRDigi 27.678).

chronologisch in Troia V anzusetzenden *Red cross bowl* stammt (Taf. 379.4),¹³⁰⁹ und Yeşiltepe (cf. Abb. 112). Letztgenannter, ein in seiner Entstehung spätkalkolithischer Tell mit einem Besiedlungsschwerpunkt zur Zeit von Troia I, liegt gut 61 km von der ägäischen Küste entfernt auf einer zwischen 15 und 20 m über dem Flußbett des Karamenderes gelegenen Geländeterrasse.¹³¹⁰ Der entwickelten Frühbronzezeit zuzuweisendes Fundmaterial ist für den Yeşiltepe nicht belegt, so daß die Auffassung des Siedlungshügels in jedem Fall noch vor dem Beginn der entwickelten Periode Troia II anzusetzen ist; eine – unter Umständen auch nur kurzfristige – Wiederaufnahme der Siedlungsaktivität zur Zeit von Troia IV ist für den Yeşiltepe anhand des Fragments einer Kannen mit hinten ausgeschnittener Randzone vom Typ B 23 nach Blegen *et al.* belegt.

8.2 Überregionale Einbindung der Perioden Troia IV und Troia V

In überregionaler Hinsicht sind der vierte und fünfte Abschnitt der Besiedlung am Hisarlık Tepe/Troia, ausgehend von der jeweiligen materiellen Kultur in ihrer je spezifischen typologischen und – bezogen auf die von seiten der gegenwärtig verfügbaren ¹⁴C-Daten vorgegebenen Rahmenwerte von 2200/2150 v. Chr. für den Beginn von Troia IV und 1760/1750 v. Chr. für das Ende von Troia V¹³¹¹ – zeitlichen Stellung, primär im Kontext der ausgehenden frühen und beginnenden mittleren Bronzezeit in Anatolien einschließlich der vorgelagerten ostägäischen Inseln anzusetzen. Bezugspunkt bildet dabei ein in die Stufen FBZ I, FBZ II, FBZ III und MBZ gegliedertes Chronologiesystem, innerhalb dessen die einzelnen im relevanten geographischen Raum gelegenen Fundorte über verschiedene, sowohl relativ- wie absolutchronologisch signifikante Parameter inhaltlich in Relation zueinanderstehen.

Im Zuge des schrittweisen Ausbaus der in den Jahren 1954 und 1956 von Hetty Goldman im wesentlichen auf Basis der stratigraphischen Abfolge des im Südosten Anatoliens gelegenen Siedlungshügels Gözülü Kule/Tarsus entwickelten »Anatolischen Chronologie«,¹³¹² wurden die hier zur Diskussion stehenden Perioden Troia IV und Troia V verschiedentlich im Hinblick auf ihre Kompatibilität mit den Stufen FBZ III und MBZ untersucht. Noch 1951 von Blegen *et al.* anhand des Vorkommens zahlreicher vom griechischen Festland, den diesem vorgelagerten Inseln sowie den Kykladen stammende Importstücke dem Ende der frühen Bronzezeit zugewiesen,¹³¹³ setzte Goldman Periode Troia IV – in der von Blegen *et al.* definierten Form – in FBZ III bei ca. 2400 bis ca. 2100 v. Chr. und Troia V, ausgehend von der Einführung von *Red cross bowls*, unmittelbar am Beginn der zwischen ca. 2100 und ca. 1900/1850 v. Chr. verorteten MBZ, und hier in Subperiode »*Middle Bronze Transitional*« an.¹³¹⁴ Dieselben relativchronologischen

¹³⁰⁹ Dazu s. Özdoğan 1990: 450. Cf. Kılıç 1994: 150 u. Taf. 23.2.

¹³¹⁰ Bieg *et al.* 2009: 199–202.

¹³¹¹ Dazu s. Kapitel 7.2 »Absolute Chronologie«.

¹³¹² Goldman 1954: 84; Goldman 1956: 32–64. S. in diesem Zusammenhang auch Karg 1999: 287–288, 290–293.

¹³¹³ Blegen *et al.* 1951: 111, 229. Cf. Blegen 1963: 111.

¹³¹⁴ Entsprechend Goldman 1956: 61–62.

B.C. 1900	Troy VI		
2100	„ V	Cilician M.B.A.	
2200	„ IV	„ Late E.B.III	Cappadocian ware (Alishar III)
2300	„ III	„ E.B. III	C. Anatolian E.B.A. (Alishar Ib) “Copper Age”
2400	„ IIc		
2450	„ IIb	„ E.B. II	Alishar Late Chalcolithic
2500	„ IIa		
2750	„ I		
2800	Kumtepe Ib	„ E.B. I	Alishar Early Chalcolithic
2900	„ Ia		
3000	Besikatepe		
3200 ?		Mersin XII (latest Chalcolithic)	
		Mersin XIII, etc.	

Abb. 116
Chronologie des Chalcolithikums sowie der frühen und mittleren Bronzezeit in West-, Zentral- und Südostanatolien nach Mellaart (Mellaart 1957: 73).

Rahmenverhältnisse legte 1957 James Mellaart seiner Synchronisation nordwest-, zentral- und südostanatolischer Fundorte mit der kilikischen Früh- und Mittelbronzezeit zugrunde: »*The combined evidence of Kültepe, Tarsus, Mersin and Troy shows that Troy V is contemporary with the beginning of the M.B.A. in Cilicia and Troy IV with the final E.B. III phase and the Cappadocian wares in C. Anatolia*« (Abb. 116).¹³¹⁵ Trotz postulierter Kontemporanität und einer im Vergleich zu Siedlungsabschnitt Troia IV (2200–2100 v. Chr.) deutlich geringeren Anzahl früh-helladischer (FH III) und frühkykladischer (FK III) Importe,¹³¹⁶ ordnete Mellaart Troia V (2100–1900 v. Chr.) in kultureller Hinsicht im Kontext der inhaltlich in erster Linie über das Frühhelladikum vorgegebenen »*West Anatolian E.B.A.*« ein.¹³¹⁷ Ausschlag hierfür gab unter anderem das Vorkommen von *Red cross bowls* und diesen in der Art der Dekoration verwandten Gefäßen in Befundzusammenhängen der Stufe FH III an Orten wie Korakou, Zygouries, Asine, Eutresis, Malthi, Krisa und Tiryns,¹³¹⁸ ebenso wie dasjenige von Sauggefäßen vom Typ B 9 in der Definition von Blegen *et al.*¹³¹⁹ und Kannen der Kategorie B 18 in Fundvergesellschaftungen entsprechender chronologischer Stellung in Zygouries.¹³²⁰ Das Ende von Troia V, und damit

¹³¹⁵ Mellaart 1957: 71.

¹³¹⁶ Mellaart 1957: 84, 87. Cf. Blegen *et al.* 1951: 227; Sotirakopoulou 1997: 522–538.

¹³¹⁷ Dazu s. Mellaart 1957: 74, 84. Cf. Mellaart 1993b: 706 u. Tab. 3.

¹³¹⁸ In diesem Zusammenhang s. Mellaart 1957: 75, 84. Cf. Blegen *et al.* 1951: 227. Ergänzend dazu s. auch Lloyd/Mellaart 1962: 254–255; Thomas 1967: 83.

¹³¹⁹ Dazu s. Blegen *et al.* 1951: 243.

¹³²⁰ Mellaart 1957: 75. Ergänzend dazu s. Blegen *et al.* 1951: 227–230.

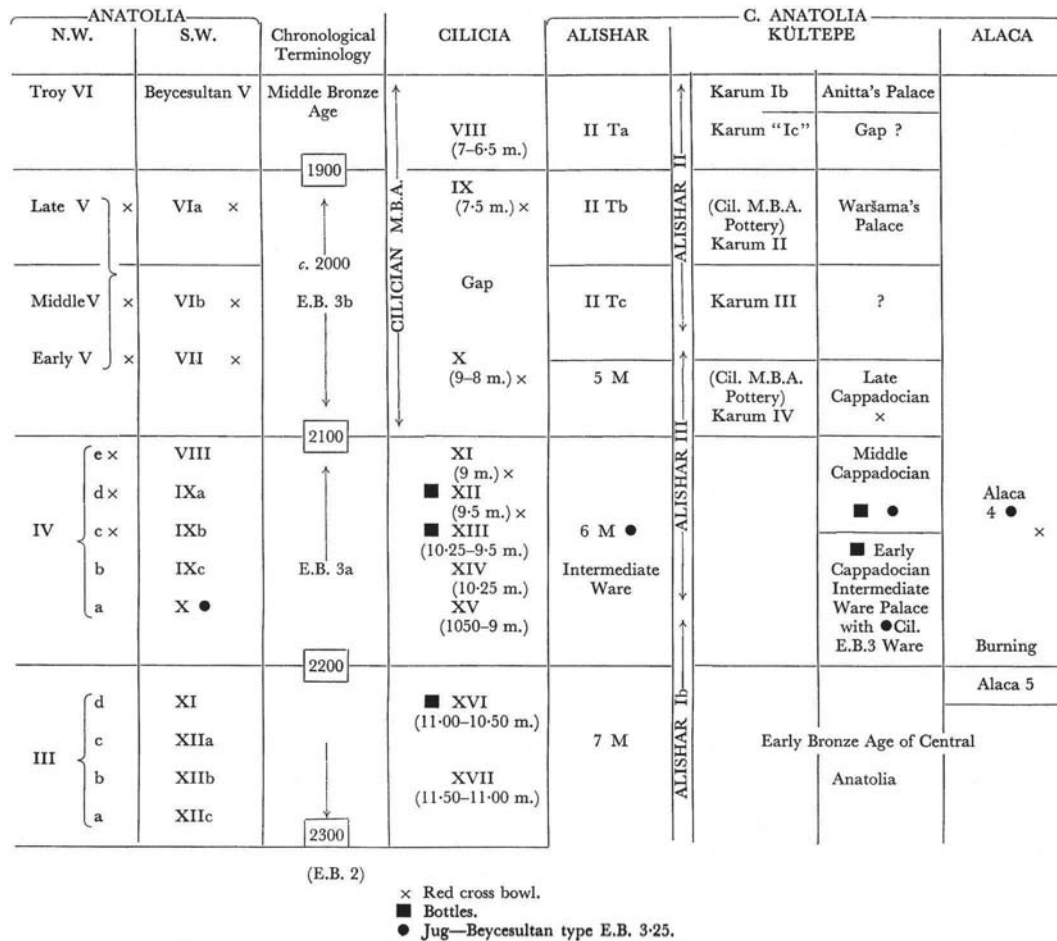


Abb. 117
Chronologie der entwickelten Frühbronzezeit in Anatolien nach Lloyd und Mellaart (Lloyd/Mellaart 1962: 264).

verbunden der westanatolischen Frühbronzezeit, setzte Mellaart zeitgleich mit demjenigen der Stufe FH III an, wobei er die Ausbreitung der Anatolischen Grauware zu Beginn von Periode Troia VI, als relativchronologischem Pendant zur Stufe »Middle Bronze floruit« in Kilikien,¹³²¹ als maßgeblichen Indikator eines substantiellen, überregional einsetzenden kulturellen Wandels herausstellte.¹³²² Auf Grundlage der Grabungsergebnisse in Beycesultan modifizierten im Jahr 1962 Seton Lloyd und Mellaart das in dieser Form vorgegebene Chronologieschema dahingehend, daß sie für den westanatolischen Raum eine Zweiteilung der abschließenden Stufe der frühen Bronzezeit in die Abschnitte FBZ IIIa und FBZ IIIb vornahmen.¹³²³ Erstgenannter sollte dabei die Phasen Beycesultan XIIc bis VIII und somit Troia III und Troia IV abdecken, während der spätere, zeitlich parallel zur ausgehenden FBZ III und beginnenden MBZ im Südosten an-

¹³²¹ Entsprechend Goldman 1956: 64. Cf. Mellaart 1957: 75.

¹³²² Mellaart 1958: 15, 18.

¹³²³ Lloyd/Mellaart 1962: 258.

gesetzte Horizont, Beycesultan VII bis VIa sowie Troia V umfaßt (Abb. 117).¹³²⁴ Eine unmittelbare Verbindung zwischen den verschiedenen, in ihrer Verbreitung nicht zuletzt auch nach geographischen Kriterien festgelegten Kulturzonen Anatoliens¹³²⁵ sah man anhand bestimmter neu auftretender keramischer Waren und Formen gegeben, die ausgehend von Siedlungsplätzen im Nordwesten Kleinasiens und den hier vorgelagerten Inseln, wie beispielsweise Troia oder Poliochni auf Lemnos, an denen diese bereits in Fundvergesellschaftungen der Stufe FBZ II vertreten seien, ihre Verbreitung nach Südwest-, Zentral- und schließlich Südostanatolien gefunden hätten.¹³²⁶ Im Falle von Troia IV, also dem späten Abschnitt von Stufe FBZ IIIa, handle sich dabei konkret um Kannen mit hinten ausgeschnittener Randzone des Typs B 23 nach Blegen *et al.*,¹³²⁷ die ihre Entsprechung in Form 27 in Beycesultan fänden, um Kannen mit kleeblattförmigem Ausguß der Kategorie B 24, denen solche der Gattung 29 in Siedlungsschicht Beycesultan X nahestünden sowie um »Kantharoi« der Typen A 37 in Troia und 37 in Beycesultan.¹³²⁸ Für die Zeit von Troia V, d. h. FBZ IIIb, dagegen ließen sich Parallelen speziell anhand von *Red cross bowls* aufzeigen, des weiteren über Volutenhenkel an Deckeln und Krügen der Gattung 43 in Beycesultan ebenso wie über verschiedene weitere Arten plastisch verzierter Henkel; hinzu kämen Schalen der Typen A 12, A 16 und A 23 von Troia,¹³²⁹ für die im chronologisch entsprechenden Fundaufkommen von Beycesultan zahlreiche Vergleichstücke zu finden seien.¹³³⁰

Im Rahmen einer 1965 vorgelegten Synchronisierung südost-, zentral- und westanatolischer Fundorte der frühen und mittleren Bronzezeit, attestierte Machtheld J. Mellink den Perioden Troia III und Troia IV, und damit auch den Siedlungshorizonten XVI bis VI in Beycesultan, eine Gleichzeitigkeit mit Tarsus EB IIIb (Abb. 118); Ausschlag hierfür gab unter anderem das Aufkommen von zweihenkligen Bechern des Typs A 44 in der Definition von Blegen *et al.* an den relevanten Fundplätzen.¹³³¹ Troia V, in seiner relativchronologischen und kulturellen Stellung nicht explizit thematisiert, setzte Mellink – in Anlehnung an die diesbezüglich von Goldman vorgeschlagene Sequenzierung – im Sinne eines in seinen Anfängen nicht vor 2000 v. Chr. zu veranschlagenden »Übergangshorizonts« zwischen den Stufen FBZ IIIb und MBZ I an.¹³³²

Terminologisch und inhaltlich auf die Stufeneinteilung Mellaarts zurückgreifend, stellte David H. French 1968 für den westanatolischen Raum in seiner gesamten geographischen Ausbreitung eine Homogenität des spezifisch FBZ IIIb-zeitlichen Keramikinventars fest, sowohl bei den Waren wie auch im Hinblick auf die Formen, selbst dann, wenn sich wie etwa bei den Schalen mit Karinierung mitunter lokalspezifische Variationen abzeichnen mochten

¹³²⁴ Lloyd/Mellaart 1962: 258. Cf. Mellaart 1993a: 405 u. Tab. 1; Mellaart 1993b: Tab. 3.

¹³²⁵ Cf. Mellaart 1958: 9–12.

¹³²⁶ Lloyd/Mellaart 1962: 259. Dazu s. auch Mellaart 1958: 9, 12–15.

¹³²⁷ S. hierzu etwa Blegen *et al.* 1951: Fig. 162.37881.

¹³²⁸ Lloyd/Mellaart 1962: 259. Cf. Blegen *et al.* 1951: 126, 129–130.

¹³²⁹ Cf. Blegen *et al.* 1951: 239–240, 242.

¹³³⁰ Lloyd/Mellaart 1962: 259–260.

¹³³¹ Mellink 1965: 116; Blegen *et al.* 1951: 127 u. Fig. 154a, 160 Nr. 36717; French 1968: 150–151; Abay 1997: 23.

¹³³² Dazu s. Mellink 1965: 126.

AMUQ	MESOPOTAMIA	EGYPT	TARSUS	KÜLTEPE	BOĞAZKÖY	ALIŞAR	ALACA	KONYA KARAHÜYÜK	BEYCE SULTAN	TROY	EAST ANATOLIA
	FALL OF BABYLON		M.B. IV (TRANSITIONAL)		CITY 3 BÜYÜK KALE IV c	TERRACE MOUND	3 b	BURNING	↑ ? III		
VII ALALAH V	SĀMSI-ADAD I		M.B. III (TRANSITIONAL)	KARUM I b TABLETS	BURNING 4 TABLETS	IV d TABLETS 10 T		I	IV		
VIII ALALAH VI	PUZUR-ASSUR II ERISUM I		M.B. II	BURNING KARUM II TABLETS			4			VI	
ALALAH K XVI "c. 2000 B.C."	ISIN-LARSA		M.B. I	III KARUM IV		11 T 5 M WHEEL-MADE WARES		III	BURN T V PALACE		
J I	UR III POST- AKKADIAN	FIRST INTERM. PERIOD	E.B. III b	E.B. III a SYRIAN BOTTLES			5 6 ?	IV	VI XII	V IV III	E.B. III b MALATYA
I	AKKADIAN		E.B. III c	E.B. III b CAPPADOKIAN W. WHEELMADE PLS. E.B. III c INTERM. WARE		12 T 6 M CAPPAD 7 M	ROYAL 7 TOMBS ↓	VI	XIII XVI	III II a	E.B. III a MALATYA

Abb. 118
Chronologie der frühen
und mittleren Bronzezeit
im Nahen Osten und
Anatolien gemäß
Mellink 1965 (nach
Mellink 1965: 126).

(Abb. 119.1a–e);¹³³³ auf der Drehscheibe gefertigte Gefäßarten seien nun allgemein üblicher Standard ebenso wie Warengattungen mit deckenden roten Überzügen.¹³³⁴ Speziell im nordwestanatolischen Raum trete neben diese eine nicht weniger charakteristische polierte graue Keramikklasse, die sogenannte İnegöl Grauware, die vorwiegend zur Herstellung von scheibengedrehten Schalen mit verdicktem Rand und Schalen mit gerundetem Profilverlauf und horizontal ansetzenden Henkeln Verwendung gefunden habe (Abb. 119.1 g–h);¹³³⁵ Politurmuster seien für beide Formtypen in größerer Stückzahl belegt, wobei diese im Falle erstgenannter mitunter auch ein kreuzförmig angelegtes Motiv auf der Außenseite des Gefäßes bilden könnten. Für den mittelanatolischen Raum veranschlagte French eine eigenständige Entwicklung des FBZ IIIb-zeitlichen Keramikspektrums, auch wenn das Vorkommen scheibengedrehter, von Blegen *et al.* unter der Bezeichnung A 45 geführter Depasbecher und karinierter Schalen auf rege Kontakte nach Westanatolien hindeuteten; Kilikien dagegen habe im betreffenden Zeithorizont Teil der westanatolischen Kulturgruppe gebildet und erst gegen Ende des 3. Jahrtausends v. Chr. sei es hier, faßbar zunächst anhand des Aufkommens von aus Amuq Phase J nicht jedoch aus Westanatolien bekannter bemalter Keramik, sukzessive zu einer stilistischen Differenzierung gekommen.¹³³⁶ Zu den überregional verbindenden Elementen wurden von French in erster Linie die von Blegen *et al.* zwischen Troia IIb und Troia V angesetzten Teller der Typen A 1

¹³³³ French 1968: 49. Cf. Maran 1998: 418.

¹³³⁴ French 1968: 49.

¹³³⁵ Dazu s. French 1968: 49 u. Fig. 48.b4. Ergänzend dazu s. Bayne 2000: 16–17.

¹³³⁶ French 1968: 49. S. hierzu auch Abay 1997: 44–45, 347–349, 369–372 u. Fig. 47.

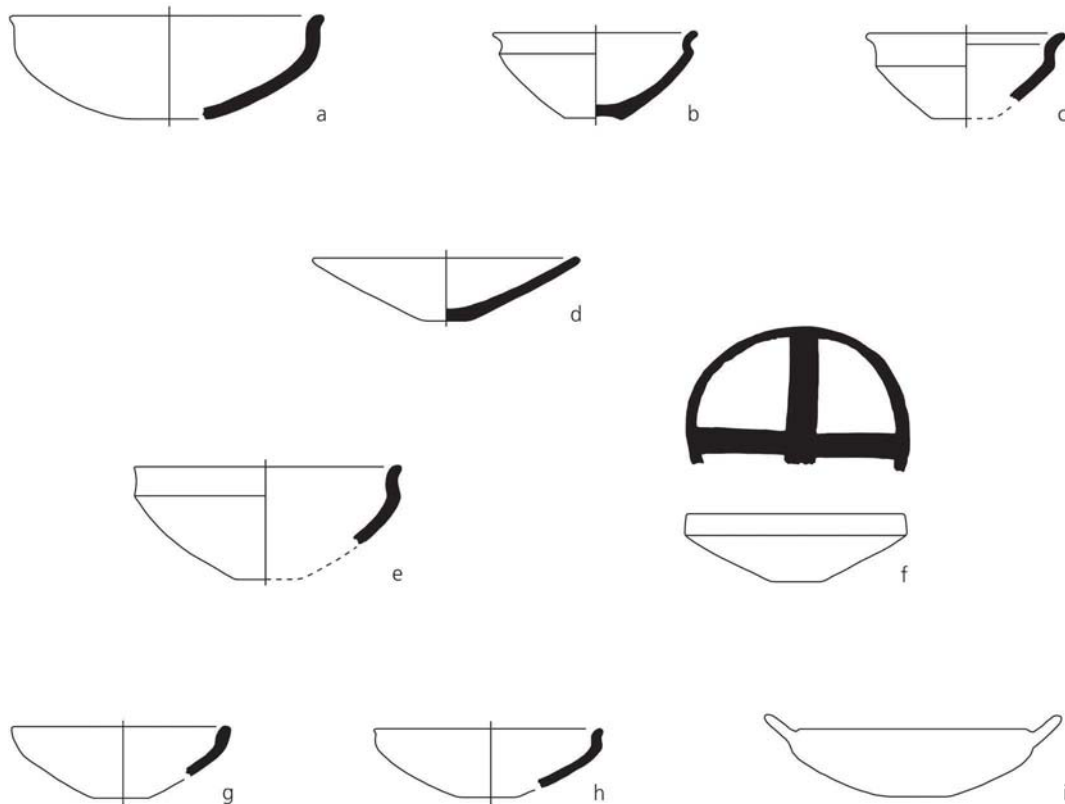


Abb. 119
 Oben: Leitformen der
 FBZ 3 in Westanatolien
 (nach French 1968:
 Fig. 27), unten: Verbrei-
 tungsgebiet der *Red
 cross bowls* gemäß
 French (nach French
 1968: Fig. 52).

und A 2 gerechnet (Abb. 119.1d),¹³³⁷ ebenso wie Depasbecher¹³³⁸ und ein- und zweihenklige Tassen der Gattungen A 39 und A 43 der Zeit von Troia II bis Troia IV,¹³³⁹ Schalen mit stumpfwinklig nach innen geknickter Wandung und gerundetem bis keulenförmig verdicktem Rand (Blegen *et al.* Typ A 12. Cf. Tab. 43) seien dagegen als *Red cross bowls* bezeichnend für den späten Abschnitt von FBZ IIIb, der um 2000 v. Chr. beginne (Abb. 119.2).¹³⁴⁰

Dem letzten Abschnitt der westanatolischen Frühbronzezeit wurden die Fundhorizonte Troia III bis Troia V auch 1972 von Colin Renfrew zugewiesen,¹³⁴¹ der mittleren Bronzezeit dagegen erst Periode Troia VI: »*With Troy VI, the middle bronze age, there is a marked change in the cultural assemblage at Troy. This is best illustrated by the pottery, where a whole new repertoire of forms is seen. Grey »Minyan« ware, like that of Middle Helladic Greece, is very common: the characteristic shapes include footed goblets, two-handled bowls and sharply carinated bowls. Handles in form of animal heads are particularly characteristic of the period.*«¹³⁴² Grundlage der kulturellen Bewertung von Phase FBZ IIIb bildete zunächst die kontinuierliche, in Teilen auf ein früheres, d. h. Troia II-zeitliches Formenrepertoire zurückgreifende Entwicklung von Gefäßtypen, wie etwa der Depasbecher, der einhenkligen Tassen und Teller der Form A 2 sowie der anthropomorphen Gefäße (C 30) und Deckel (D 13).¹³⁴³ Hinzu kämen für die Zeit von Troia IV bauchige Krüge mit Flügelhenkeln und plastischem Dekor (C 29), Askoi (D 29) sowie mit Gefäßen vom Typ A 44 eine kürzere Version des Depasbechers. Die Fertigung auf der Töpferscheibe sei nun allgemein üblich, eine Neuerung des vierten Siedlungshorizonts hingegen die – zunächst schrittweise verlaufende – Einführung organisch gemagerter Warentypen und -varianten (cf. Tab. 40); für Troia V erfüllten in der Hauptsache die *Red cross bowls* die Funktion einer Leitform, ansonsten zeichneten sich im kontemporären Waren- und Formenspektrum nur wenige signifikante Veränderungen ab,¹³⁴⁴ was insgesamt symptomatisch für die kulturelle Entwicklung der Stufe FBZ III an Fundorten wie Troia zu betrachten sei, welche sich weit weniger dynamisch darstelle als etwa diejenige der vorhergehenden chronologischen Abschnitte FBZ I und FBZ II.¹³⁴⁵ Die absolutchronologische Verortung der westanatolischen Frühbronzezeit betrachtete Renfrew maßgeblich durch das Fehlen direkter Importe aus schriftführenden Kulturzonen wie etwa Mesopotamien oder Ägypten beeinträchtigt, auch sei die von Seiten Mel-laarts und Mellinks vorgeschlagene inhaltliche Verknüpfung von Troia im Nordwesten Anatoliens mit Tarsus im Südosten deutlich weniger schlüssig als dargestellt;¹³⁴⁶ auf Grundlage vergleichsweise weniger externer, ausnahmslos an zeitgleichen minoischen und südgriechischen

¹³³⁷ Dazu s. French 1968: 53 u. Fig. 49, 54.

¹³³⁸ In diesem Zusammenhang s. French 1968: 49, 53–54 u. Fig. 50, 55.

¹³³⁹ French 1968: 54 u. Fig. 51, 56.

¹³⁴⁰ S. hierzu French 1968: Fig. 111.

¹³⁴¹ Cf. Renfrew 1972: 124.

¹³⁴² Renfrew 1972: 124.

¹³⁴³ Grundsätzlich dazu s. Renfrew 1972: 123.

¹³⁴⁴ Entsprechend Renfrew 1972: 124. Cf. Blegen *et al.* 1951: 121, 136–138. S. hierzu auch Waren 3E, 5A und 5B in Kapitel 4.2.2 »Beschreibung der Waren«.

¹³⁴⁵ Renfrew 1972: 131.

¹³⁴⁶ Renfrew 1972: 216 u. Fig. 13.3, Tab. 13.VI.

Fundstellen gewonnenen Radiokohlenstoffdaten¹³⁴⁷ setzte Renfrew den Beginn der Stufe FBZ III im westanatolischen Raum um ca. 2400/2300 an, für den Anfang der MBZ dagegen setzte er ein Datum von ca. 2100/2000 v. Chr. fest.¹³⁴⁸

Ausgangspunkt der 1976 von Donald F. Easton vorgelegten chronologischen und kulturellen Einordnung der ausgehenden frühen und beginnenden mittleren Bronzezeit in Troia bildete die Synchronisierung Mellaarts von Troia III und Troia IV mit Stufe FH III, worüber sich anhand der zum damaligen Zeitpunkt für den zur Diskussion stehenden Horizont verfügbaren ¹⁴C-Werte ein Datum von etwa 2150 v. Chr. für das Ende von Troia IV erschloß:¹³⁴⁹ »From this point it is a simple step to estimate a date for the end of Troy V. There are thirty-two building levels in Troy I–IV, and they cover the period 3600–2150 B.C. On average each must last 45.3 years. If the same rate of building continued during the last four levels of EB Troy, then Troy V must end at approximately 1970 B.C.«¹³⁵⁰ Unabhängig von möglichen Vergleichsdaten anderer ägäischer und/oder anatolischer Fundorte auf rein rechnerischem Weg, legte Easton zudem den Übergang von Troia III nach Troia IV um 2380 v. Chr. fest (Abb. 120).¹³⁵¹

Weniger die stratigraphischen als die relativchronologisch relevanten Bezüge zu anderen spätchalkolithischen sowie früh- und mittelbronzezeitlichen Fundplätzen innerhalb Anatoliens und den daran angrenzenden Kulturräumen in den Mittelpunkt seiner Betrachtung stellend, setzte 1979 Jak Yakar im Rahmen einer umfassenden kulturimmanenten Reevaluation der der absolutchronologischen Beurteilung Eastons zugrundeliegenden Radiokohlenstoffdaten Troia III am Phasenübergang von FBZ IIIa nach FBZ IIIb an, Troia V am Übergang von FBZ IIIb nach MB I.¹³⁵² Der dazwischenliegende Zeitraum, der Periode Troia IV in ihrer Gesamtheit umfaßt, wurde dabei auf 2500 bis 2050 v. Chr. festgelegt.¹³⁵³ Eine stärkere Einbindung in den überregionalen Kontext der anatolischen FBZ und darüber eine Neubewertung ihrer kulturellen, nicht jedoch zeitlichen Stellung fanden die zur Diskussion stehenden Siedlungsabschnitte dann noch einmal 1985: Troia III stand nun am Beginn von Phase FBZ IIIb, Troia IV und Troia V an deren Ende (Abb. 121). Ausgehend von Fundorten wie Poliochni, Thermi, Aphrodisias, Demircihüyük, Beycesultan, Karataş, Kusura und Troia definierte Yakar eine den westanatolischen Raum und die küstennahen Inseln umfassende Kulturgruppe,¹³⁵⁴ der er sechs weitere gegenüberstellte: 1. Türkisch-Thrakien und die Marmararegion, 2. Zentralanatolien, 3. Südanatolien, 4. Nordanatolien, 5. Ostanatolien und 6. Südostanatolien.¹³⁵⁵ Als verbindende Elemente auf kulturübergreifender Ebene seien dabei neben verschiedenen raum- und zeitspezifischen Bauformen (Abb. 122.1, 9, 11–12 u. 123.33–39)¹³⁵⁶ in erster Linie der Gebrauch der Töpferscheibe ab Troia IIb sowie das

¹³⁴⁷ Dazu s. Renfrew 1972: Fig. 13.3.

¹³⁴⁸ Renfrew 1972: 221 u. Tab. 13.VI.

¹³⁴⁹ Easton 1976: 158–160. Cf. Mellaart 1957: 74–81, 87. Vgl. Yakar 1979: 51–53; Parzinger 1993: 200.

¹³⁵⁰ Easton 1976: 160.

¹³⁵¹ Dazu s. Easton 1976: 161.

¹³⁵² Cf. Yakar 1979: 51.

¹³⁵³ Yakar 1979: 57, 63. Vgl. Yakar 2002: 448–449.

¹³⁵⁴ Yakar 1985: 94–169.

¹³⁵⁵ Yakar 1985: 170–371. Cf. Yakar 2000: 19–26, 283–480; Yakar 2002: 448–452. Dazu s. auch Abay 1997: 24–25.

¹³⁵⁶ Yakar 1985: 50–71.

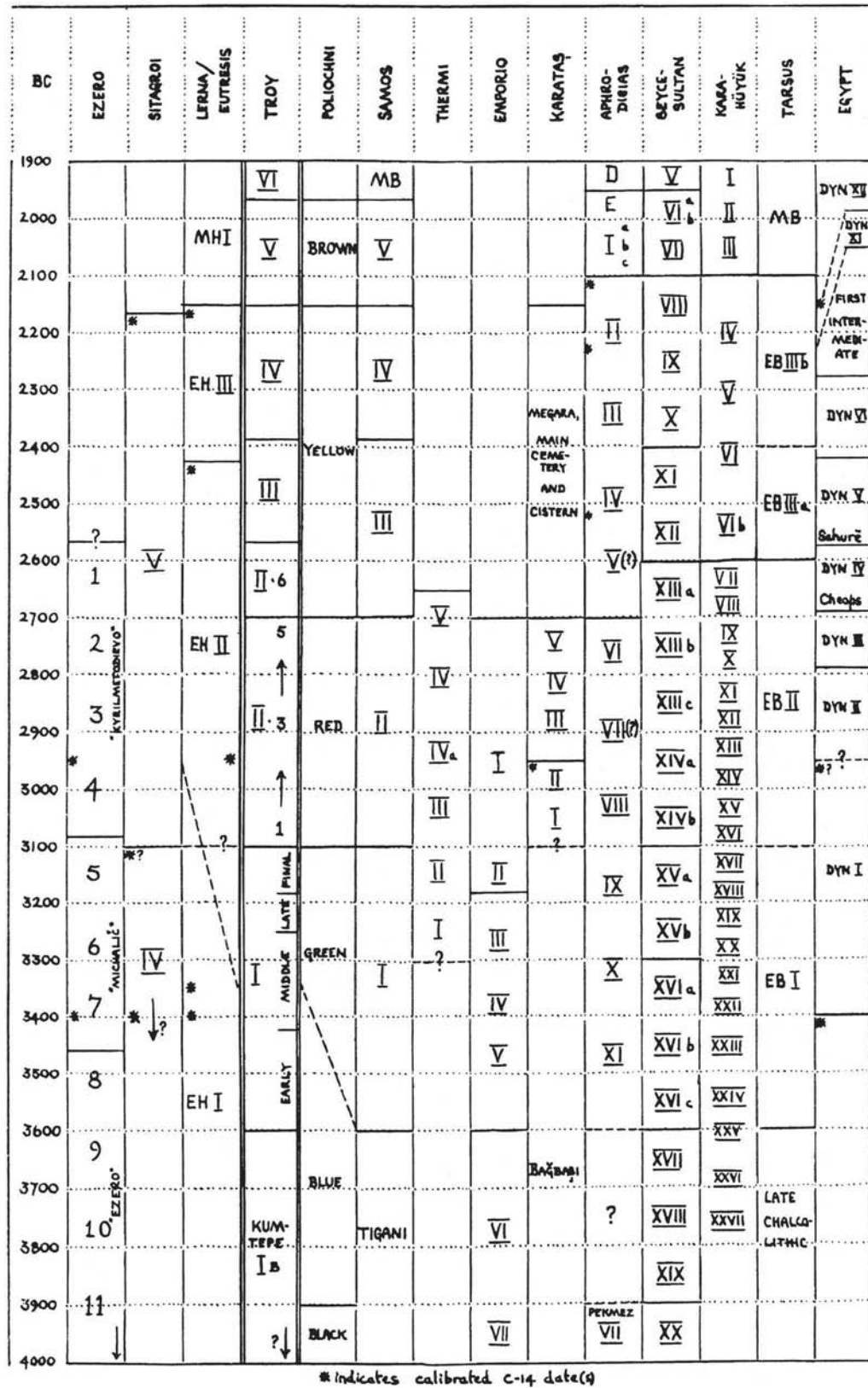


Abb. 120 Chronologie der frühen und mittleren Bronzezeit auf dem Balkan, in der Ägäis und in Anatolien nach Easton (Easton 1976: 165).

Calibrated	C-14 estimates (Damon Tables) ⁴	CILICIA	N. MESOPOTAMIA
2050/2000 BC	Troy IV-V		UR III
EB IIIb	Troy III	EB IIIb	POST-AKKAD AKKADIAN DYN.
EB IIIa	Troy IIb-g	EB IIIa ?	ED IIIB
2500/2400 BC			
EB IIB	Late Troy I/Troy IIA Lerna late EH II 2450 BC Emporio (destruction of Troy I level) 2500 BC Karataş-Semayük 2900/2800-2600 BC	Tarsus	ED III A
EB IIA	Middle Troy I Eutresis EH II 2850 BC	EB II	ED II
2900/2800 BC			
EBI	Early Troy I Beşiktepe ca.2900 BC Eutresis EH I 3300-2900 BC	Tarsus	ED I
3300/3200 BC	Kumtepe Ib Beycesultan XXVIII 3300 BC	EB I	PROTOLITERATE
Late Chalcolithic	Pekmez (Aphrodisias) 4150-3650 BC	Tarsus	PROTOLITERATE
4200/4000 BC	Beşiktepe Beycesultan XXXVI 3700/3800 BC Emporio X-VIII Tigani Kuruçay 4200-3600 BC	Late Chalcolithic	LATE UBAID
?	?		

Abb. 121 Spätchalkolithische und frühbronzezeitliche Chronologie Westanatoliens nach Yakar (Yakar 1985: 119).

Auftreten einer rot überzogenen Warenklasse, der »Red wash ware«,¹³⁵⁷ zu betrachten ebenso wie dasjenige von Schnabelkannen (Abb. 122.8, 18 u. 123.6, 9–10) Depasbechern (Abb. 123.1) und zweihenkligen Bechern des Typs A 44 in der von Blegen *et al.* vorgegebenen Formbestimmung (Abb. 122.19 u. 123.2).¹³⁵⁸ Anthropomorphe Gefäße und Deckel wies Yakar ebenfalls als charakteristisch für den späteren Abschnitt von Stufe FBZ III aus (Abb. 123.18–20, 28),¹³⁵⁹ während für die kontemporären Schalengattungen – trotz aller typologischer und warenbedingter Übereinstimmungen – deutliche lokale Unterschiede konstatiert wurden (Abb. 122.5, 7 u. 123.8).¹³⁶⁰

In seiner Grundkonzeption auf dem Chronologiemodell von 1965 basierend, erfuhr der auf das Jahr 1986 zurückgehende, 1992 in den »Chronologies in Old World Archaeology« von Robert W. Ehrich publizierte Gliederungsvorschlag Mellinks besonderes durch die Unterteilung der Frühbronzezeit I in die Phasenn FBZ Ia und FBZ Ib eine substantielle Differenzierung,¹³⁶¹ während die Abschnitte FBZ II und FBZ III unverändert übernommen wurden.¹³⁶² Troia III und Troia IV werden dabei als regionale Ausprägung der anatolischen FBZ IIIb verstanden, Troia V dagegen bereits als Übergangsphase zur Mittelbronzezeit (Abb. 124).¹³⁶³ Bezeichnend für den auf Grundlage einer stark erweiterten Anzahl an ¹⁴C-Daten zwischen 2200 und 2000 v. Chr. angesetzten

¹³⁵⁷ Yakar 1985: 124. Cf. Yakar 1979: 54.

¹³⁵⁸ Yakar 1985: 132 u. Fig. X.13, 19–20. S. hierzu auch Waren 1C, 1D, 2B, 2C und 5A in Kapitel 4.2.2 »Beschreibung der Waren«.

¹³⁵⁹ S. in diesem Zusammenhang Yakar 1985: 136 u. Fig. XI.18–20 u. 28.

¹³⁶⁰ Yakar 1985: 136. S. hierzu French 1969: 66.

¹³⁶¹ Mellink 1992: Tab. 1 u. 2. Cf. Maran 1998: 416; Kouka 2009: 134–135.

¹³⁶² Mellink 1992: 216–217 u. Tab. 2.

¹³⁶³ Grundsätzlich dazu s. Mellink 1992: 217.

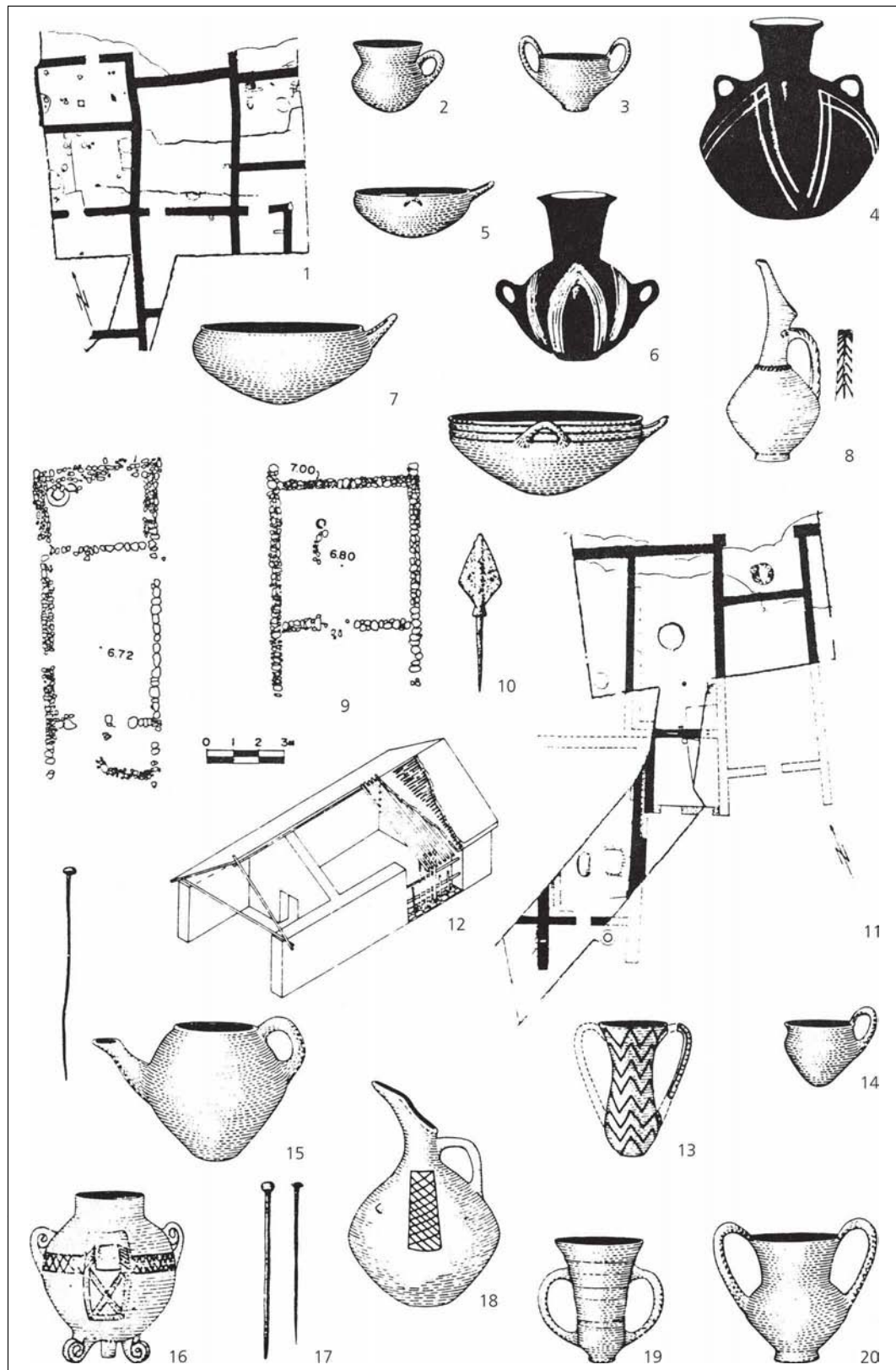


Abb. 122
Leitelemente der
Stufe FBZ III in West-
anatolien gemäß Yakar
(Yakar 1985: Fig. X).

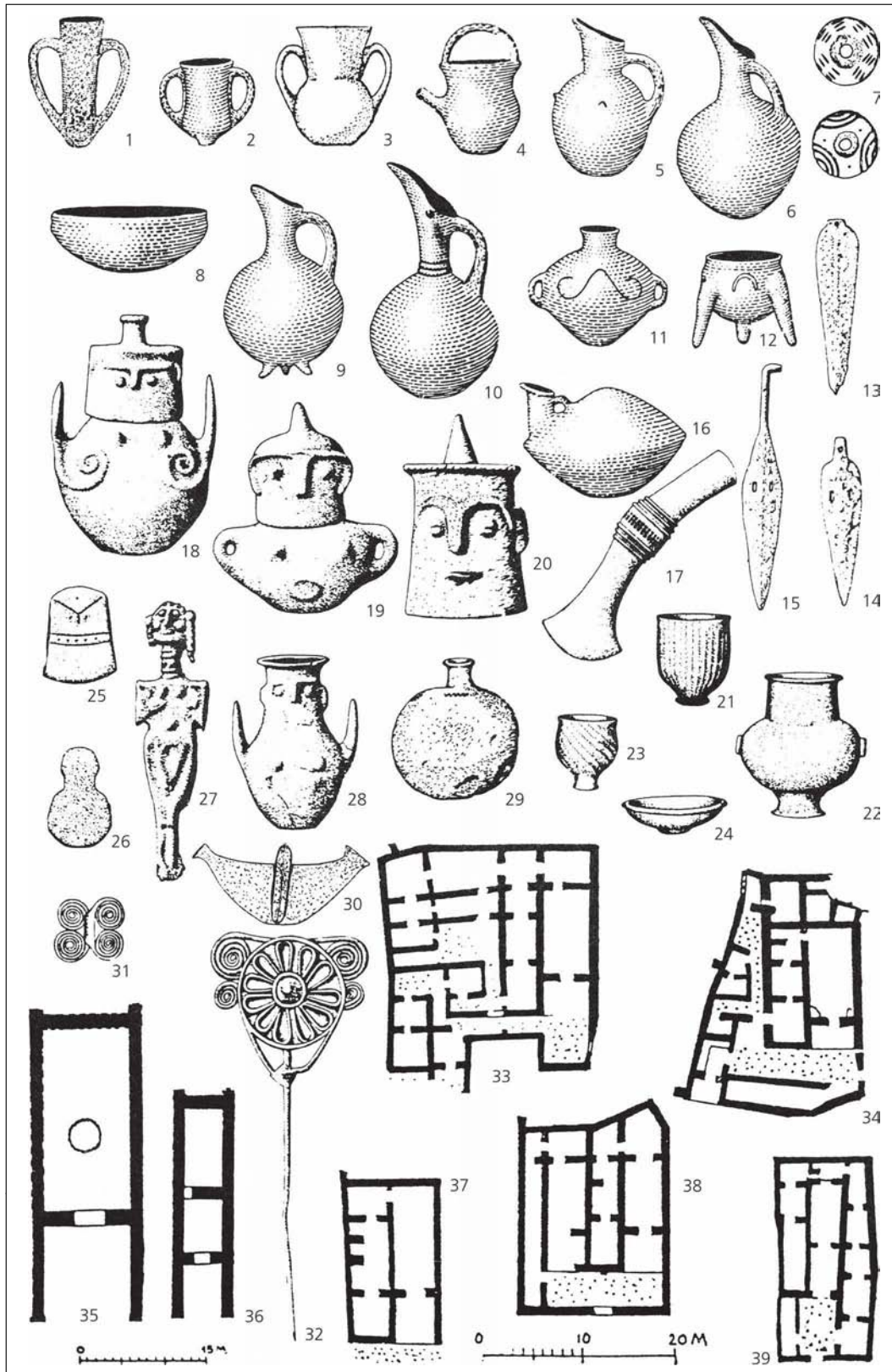


Abb. 123
Leitelemente der
Stufe FBZ III in Westa-
natolien gemäß Yakar
(Yakar 1985: Fig. XI).

2000 B.C.?	Northwest	Southwest	Central	Kültepe Alişar	Cilicia	Gaziantep	Malatya	Euphrates	Amuq
EARLY BRONZE III B 2200 B.C.?	Troy V Troy IV Troy III	Beycesultan VI XII	Ikiztepe cemetery Alaca Hüyük Eskiyapar Karahüyük- Konya 5	Kültepe Mound 11 Alişar 6 M 11 T Maşat	Tarsus E.B. III B	Tilmen Hüyük III d Gedikli cremations	Arslantepe VI D Town wall	Norşuntepe VI Lidar Kurban	J
EARLY BRONZE III A 2400 B.C.?	Troy IIg ↑ Troy IIb	Aphrodisias complex II Karataş VI trenches, 31 35–37, 66 Kusura Yazılıkaya (Phrygia)	Alaca Hüyük Eskiyapar Karaoglan Polatlı Acemhüyük Karahüyük- Konya 6	Kültepe Mound 12 13 Alişar 7 M 12 T	Tarsus E.B. III A Mersin	Gedikli cremations	Arslantepe VI D	Norşuntepe VIII–VII Korucutepe Köşkerbaba Lidar built tombs Kurban	I
EARLY BRONZE II 2700 B.C.?	Troy I Beşiktepe Demirci Hüyük H–N Yortan Bayraklı Klazomenai Iasos	Beycesultan XVI–XIII A Karataş III–V cemetery Kusura	Alaca Hüyük 8 Ikiztepe Acemhüyük 10 Karahüyük- Konya 7	Kültepe Mound 17–14 Alişar 11–8M 14–13T	Tarsus E.B. II cf. Konya Plain sites	Gedikli Zincirli	Arslantepe VI C	Norşuntepe Hassek tombs Lidar cist graves Kurban	H
EARLY BRONZE I B	Troy I early Kumtepe Demirci Hüyük C–G	Karataş I–II Beycesultan XIX–XVII	Yarıkkaya Alaca Hüyük 9 Ikiztepe	Alişar 14–12 M	Tarsus E.B. I	Gedikli	Arslantepe VI B	Hassek Norşuntepe Korucutepe Tepcük Sakyo-Pulur Lidar cist graves Kurban	G

Abb. 124
Chronologie der frühen
Bronzezeit in Anatolien
gemäß Mellink 1992
(Mellink 1992: Tab. 3).

Kulturhorizont, so Mellink, sei eine starke Vereinheitlichung des keramischen Spektrums, ausgehend von einigen wenigen zentralen Siedlungsplätzen wie Tarsus im Südosten Anatoliens und Troia im Nordwesten (Abb. 125):¹³⁶⁴ »The major change in Anatolian connections of Tarsus EB II is in its interaction with southwest and west Anatolia. Contacts now clearly extend as far as Troy to the northwest, although on hesitates to call the initiatives for the new era Trojan. Several ceramic innovations appear in Troy and in southwest Anatolia (Aphrodisias, Karataş) and Cilicia, with wide-ranging side effects. The principal innovations in Tarsus are one and two-handled tankards with globular lower bodies and flaring rims; bell-shaped two-handled cups; depa with two bold handles on a narrow body, initially handmade and coiled, later wheel-made; one- and two-handled bowls of articulated profiles; wheel-made buff plates, large red-slipped and polished platters. Technically the wheel is introduced for more and more shapes. The finish of much of the pottery is red, with a striking use of interior rim bands and careful polishing. At Tarsus these innovations appear suddenly and en masse at the beginning of a period clearly to be separated chronologically as EB III. [...] The west Anatolian depas and tankard forms became known as far east as Gedikli in the Islahiye plain, where a cremation cemetery of the EB III phase has tomb gifts in the shape of depa and two-handled tankards. Some of these are imports; other pieces have been locally manufactured in brick-red ware. They are associated with lentoid pilgrim flasks with cutaway spouts which also coexist with depa and tankards in southwest Anatolia. [...] The range of this large cemetery is EB IIIa–b. An EB IIIb–type depas occurs at Tell Tainat in Amuq

¹³⁶⁴ Dazu s. Mellink 1986: 145–150. S. in diesem Zusammenhang auch Efe 1988: 115–116; Maran 1998: 416–418.

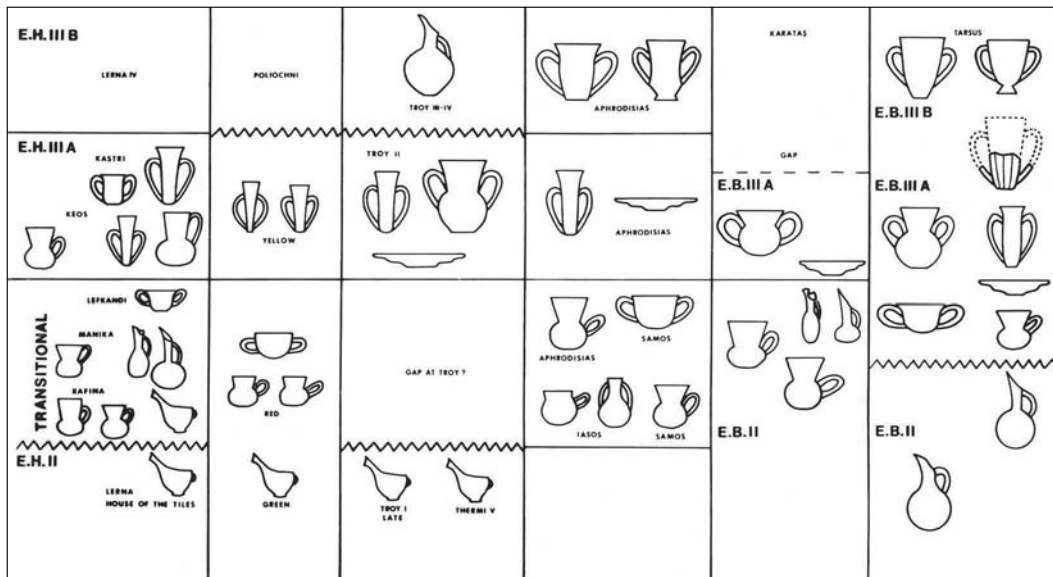


Abb. 125
Leitformen der Stufen
FBZ II und FBZ III
gemäß Mellink 1986
(Mellink 1986: Taf. 16).

phase J. Another *depas* variant of curvaceous profile came from a tomb at Selenkahiye on the Euphrates, with goblets of Hama J6 type in a context judged to be Late Akkadian.»¹³⁶⁵

Die dem anatolischen Chronologieschema maßgeblich zugrundeliegenden Parameter wurden zudem 1988 von Turan Efe ausgehend vom frühbronzezeitlichen Keramikfundmaterial des Demircihüyük diskutiert.¹³⁶⁶ Auch wenn sich die hier vorgeschlagene Sequenzierung inhaltlich stark derjenigen von Mellink annähern mag, bestehen insbesondere im Hinblick auf die archäologische Bewertung des Übergangs von Troia I nach Troia II signifikante Abweichungen und hier sowohl in relativ- wie absolutchronologischer Hinsicht: Während Mellink Troia II ab Phase 2b bei ca. 2400 v. Chr. FBZ IIIa zuweist,¹³⁶⁷ setzt Efe den Beginn von Troia II bereits mit Phase FBZ IIb an, für die er ein Anfangsdatum von etwa 2500 v. Chr. veranschlagt (Abb. 126. Vgl. Abb. 124–125);¹³⁶⁸ Periode Troia III, noch von Mellink zusammen mit Troia IV in FBZ IIIb zwischen ca. 2200 bis ca. 2000 v. Chr. angesiedelt, deckt nun den späten Abschnitt von FBZ IIIa ab, Troia IV – im Fundbild des Demircihüyük selbst jedoch nicht mehr vertreten – in seiner Gesamtheit Phase FBZ IIIb.¹³⁶⁹ Dieser als zur Mittelbronzezeit überleitende »Übergangsperiode« chronologisch nachgeordnet,¹³⁷⁰ wurde Troia V von Efe um 2000 v. Chr. angesetzt und sowohl zeitlich wie inhaltlich den Siedlungsschichten VII und VI in Beycesultan, den Phasen Kültepe Karum IV und III sowie den Entwicklungsstufen FBZ IIIc und MBZ in Kilikien gegenübergestellt.¹³⁷¹

¹³⁶⁵ Mellink 1992: 216. S. hierzu auch Mellink 1986: 150.

¹³⁶⁶ Efe 1988: 111–119.

¹³⁶⁷ Cf. Mellink 1992: Tab. 3.

¹³⁶⁸ Vgl. Efe 1988: 116–119; Mellink 1986: Taf. 16. Mellink 1992: Tab. 3. Dazu s. auch Maran 1998: 416 Anm. 1040.

¹³⁶⁹ Efe 1988: Abb. 98.

¹³⁷⁰ Cf. Efe 1988: 116.

¹³⁷¹ Entsprechend Efe 1988: Abb. 98.

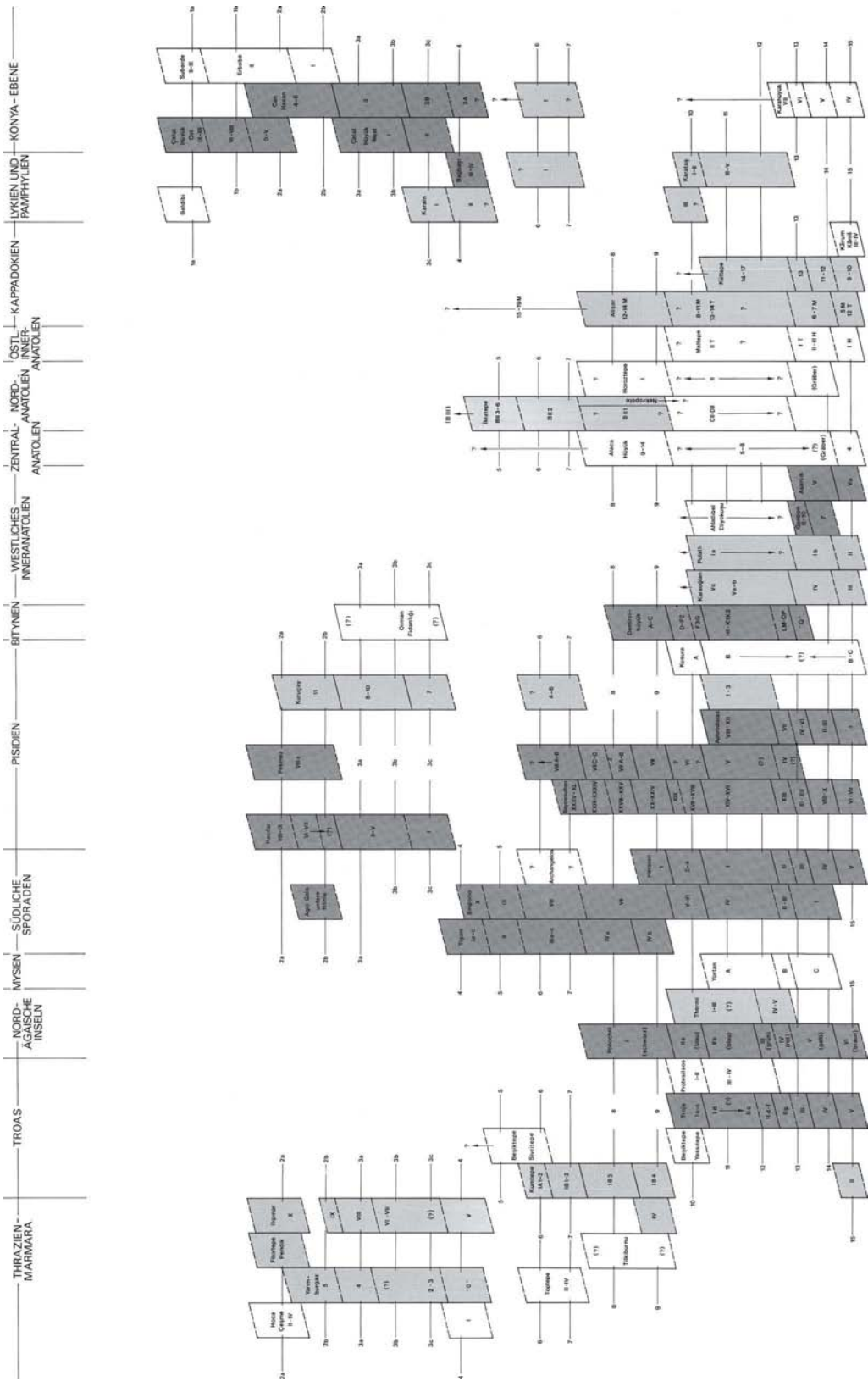


Abb. 127 Vergleichende Chronologie thrakischer und anatolischer Fundorte vom Neolithikum bis zur ausgehenden Frühbronzezeit gemäß Parzinger 1993 (Parzinger 1993: Beil 5).

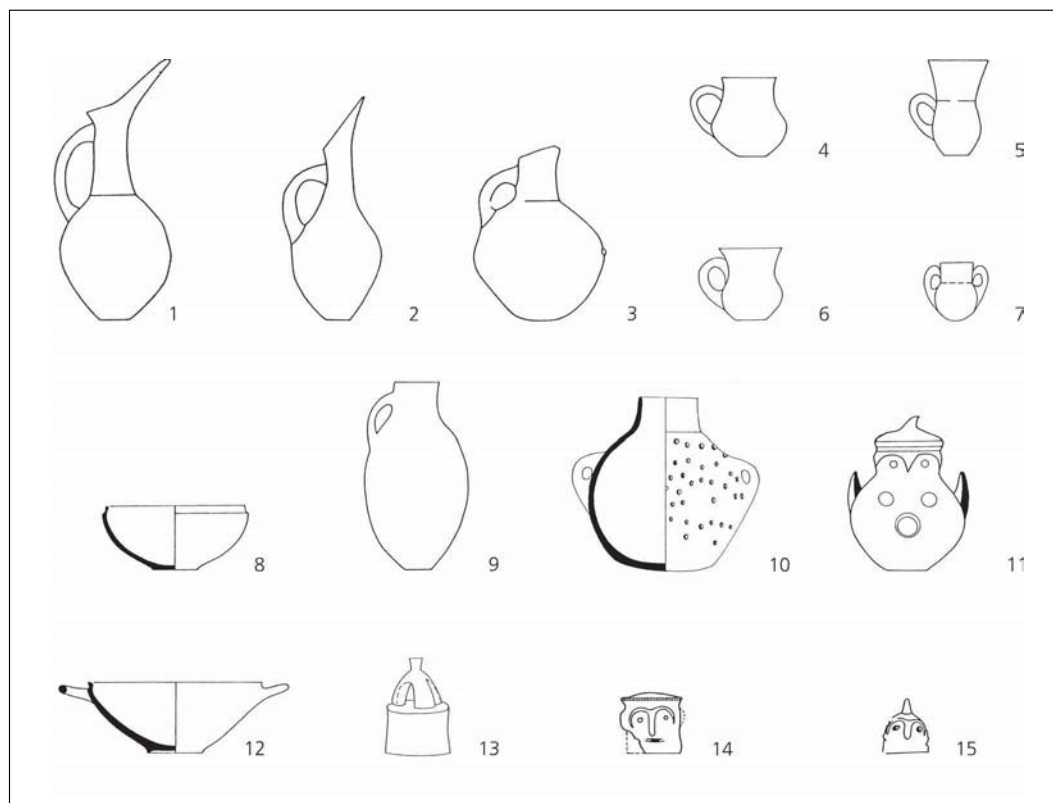


Abb. 128
Leitformen
der Periode Troia III
gemäß Parzinger
(nach Parzinger 1993:
Taf. 147).

Eine Berücksichtigung fanden die im vorliegenden Zusammenhang relevanten Perioden Troia IV und Troia V auch im Rahmen des großräumig angelegten, Südosteuropa, die Ägäis, West- und Mittelanatolien ausgehend von neolithischen Fundkomplexen bis zum Ende der frühen Bronzezeit umspannenden Chronologiesystems Hermann Parzingers von 1993. Von den im ganzen 15 hier für den geographischen Raum zwischen den Karpaten im Westen und dem Mittlerem Taurus im Osten definierten »Zeithorizonten« werden im Bereich der Troas die letzten drei, d. h. die Abschnitte 13 (ca. 2500/2400 und 2300/2200 v. Chr.), 14 (ca. 2300/2200 und 2100/2000 v. Chr.) und 15 (ca. 2100/2000 und 1900 v. Chr.), von den Siedlungsschichten IV und V am Hisarlık Tepe/Troia teilweise oder in ihrer Gesamtheit abgedeckt (Abb. 127).¹³⁷² Tiefgreifende Veränderungen in der typologischen Entwicklung der frühbronzezeitlichen Gefäßkeramik, die Parzinger anhand kombinationsstatistischer Verfahren in sieben, den Zeithorizonten 9–15 zugewiesenen »Formgruppen« faßte,¹³⁷³ wurden dabei zwischen Troia IV und Troia V festgestellt, wohingegen für das Fundmaterial der Abschnitte Troia IIg, III und IV eine kontinuierliche Formentwicklung konstatiert wurde.¹³⁷⁴ Als typisch für Troia III wurden hohe schlanke

¹³⁷² Parzinger 1993: 290 u. Beil. 5.

¹³⁷³ Dazu s. Parzinger 1993: Abb. 12. Cf. Podzuweit 1979: 19 u. Beil. 12–13.

¹³⁷⁴ Parzinger 1993: 204. S. in diesem Zusammenhang auch Mellink 1965: 116; Mellink 1992: 216.

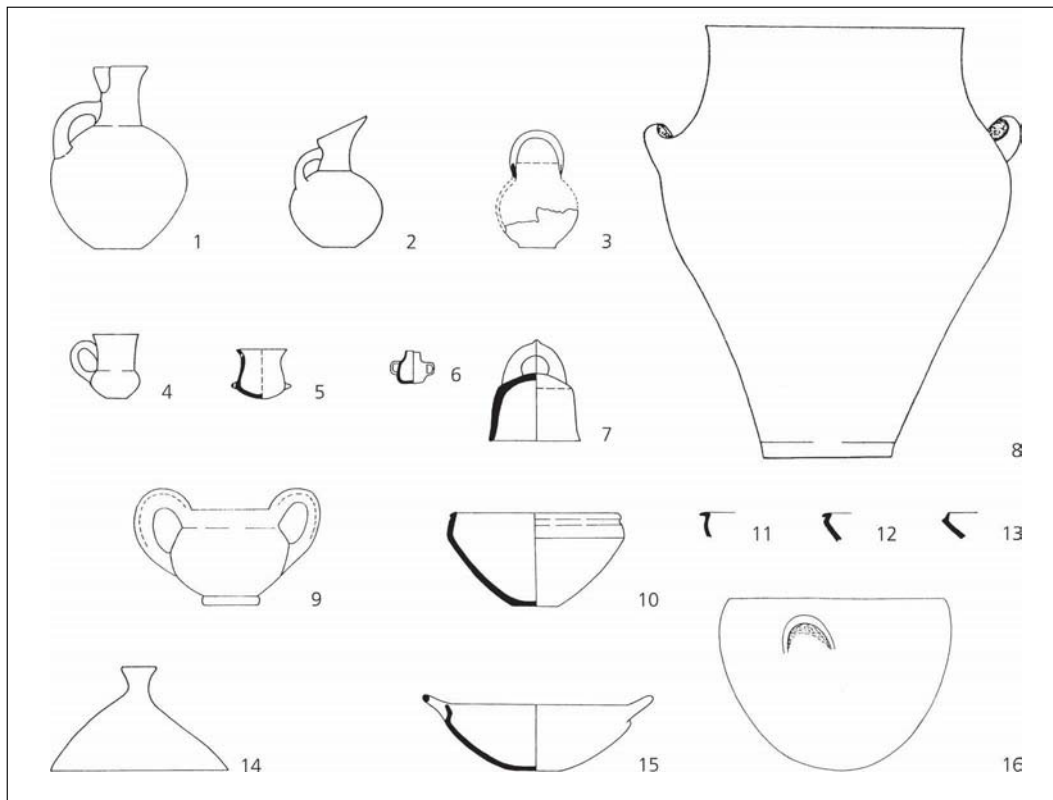


Abb. 129
Leitformen der
Perioden Troia IV und
Troia V gemäß Parzinger
(nach Parzinger
1993: Taf. 149).

Schnabelkannen mit unterhalb des Rands ansetzenden Henkeln betrachtet (Abb. 128.1–2) ebenso wie kugelige Krüge mit Zylinderhals und schräger Mündung (Abb. 128.3), kleinere Krüge mit S-Profil (Abb. 128.4), kugelige Zylinderhalsbecher mit zwei Senkrecht Henkeln (Abb. 128.7), Deckel mit abgesetztem geraden Unterteil, gewölbter Oberseite und dreiarmigem Bügelhenkel (Abb. 128.13), anthropomorphe Gefäße und Deckel (Abb. 128.11 u. 14–15), Trichterhalsbecher mit Schlaufenhenkel (Abb. 128.5–6), Siebgefäße (Abb. 128.10) und Schalen mit abgesetzten, ein- oder ausbiegenden Rändern (Abb. 128.8 u. 12).¹³⁷⁵ Die Inventare der sechsten, mit Troia IV gleichzusetzenden Gruppe seien in formaler Hinsicht noch eng mit denjenigen der beiden vorangehenden verbunden, was eine klare Differenzierung grundsätzlich erschwere;¹³⁷⁶ neben die älteren, von Troia IIg und Troia III her übernommenen Gefäßarten träten nun jedoch eine Vielzahl neuartiger, zumeist auf der Drehscheibe gefertigter Typen, die in ihrem Aufkommen auf die betreffende Formgruppe begrenzt geblieben und somit inhaltlich definierend seien:¹³⁷⁷ Krüge mit Randausschnitt (Abb. 129.1), Schnabelkannen mit unter dem Rand angesetztem Henkel (Abb. 129.2), bauchige Gefäße mit Bügelgriff (Abb. 129.3), Trichterbecher mit gedrückttem

¹³⁷⁵ Parzinger 1993: 203–204 u. Taf. 148.

¹³⁷⁶ Cf. Parzinger 1993: Abb. 12.

¹³⁷⁷ Parzinger 1993: 204.

Bauch und Henkel (Abb. 129.4), kleine Töpfe mit S-Profil (Abb. 129.5), Deckel mit geschweiftem Unterteil, flach gewölbter Oberseite und einfachem Bügelhenkel (Abb. 129.7), schlanke Großgefäße mit Trichterrand und zwei Horizontalhenkeln auf der Schulter (Abb. 129.8) sowie kugelige Doppelhenkelbecher mit abgesetztem Boden und Hals (Abb. 129.9).¹³⁷⁸ Am Ende der frühbronzezeitlichen Formentwicklung setzt Parzinger mit Gruppe 7 die Fundverbände von Troia V an, denen in typologischer Hinsicht keinerlei Verbindung zu früheren attestiert werden.¹³⁷⁹ Als Leitformen des zur MBZ überleitenden Horizonts wurden karinierte *Red cross bowls* ausgewiesen (Abb. 129.15), konische Deckel mit Griffknubbe (Abb. 129.14), tiefe Schüsseln mit Ohrengriffen (Abb. 129.16), einziehende Schalen mit nach außen verdicktem Rand (Abb. 129.10) und Schalen mit verstärkter Schulter (Abb. 129.13), horizontal ausgestellter oder hängender Lippe (Abb. 129.11–13).¹³⁸⁰ Über Schalen mit kantigem S-Profil, einziehenden Schalen mit nach außen verdickter Lippe und randständigem Horizontalhenkel, Kleeblattkannen und Volutenhenkeln wurde der Kumtepe II auf derselben kulturellen Entwicklungsstufe wie Troia V eingeordnet,¹³⁸¹ während auf überregionaler Ebene anhand von Trichtertassen mit Standing und leicht überhöhtem Henkel sowie Schalen mit verbreitertem Rand zunächst eine Verbindung zur Phase V im Heraion auf Samos hergestellt wird,¹³⁸² über »syrische« Becher, Gefäße mit volutenartig eingerollten Füßen oder Henkeln, späte Doppelhenkelbecher mit Standfuß, Trichterandschalen, *Red cross bowls*, niedere Tüllenkannen, Vierlingsbecher sowie große bauchige Gefäße mit kurzem Zylinderrand, zwei schulterständigen Horizontalhenkeln und einem um den Gefäßkörper verlaufendem Zierband nach Beycesultan VII–VI¹³⁸³ und darüber schließlich zur Schicht EB IIIc in Tarsus.¹³⁸⁴

Abweichend von allen bis dahin gängigen Korrelationsvorschlägen,¹³⁸⁵ setzte im Jahr 1994 Efe auf Grundlage der keramischen Fundinventare von Aharköy, Demircihüyük und insbesondere Bahçehisar nahe Eskişehir Troia IV mit Beycesultan VII–V gleich anstatt wie bisher mit X–VIII und Troia V nicht mit Beycesultan VII–VI sondern mit Beycesultan VI und V (Abb. 130).¹³⁸⁶ Ausgangspunkt hierfür bildete in erster Linie eine chronologische Neubewertung von tiefen karinierten Schalen, Bechern mit vom Rand zur Schulter führenden Henkeln und insbesondere von Schalen mit Randverstärkung, den *Bead-rim bowls*, deren Auftreten zu Beginn von Troia IV angesetzt und im Kontext einer Aufnahme verschiedener zunächst für den inneranatolischen Raum spezifischer Keramikelemente im äußersten Nord- und Südwesten gesehen wird.¹³⁸⁷ In typologischer Hinsicht werden dabei den frühen *Bead-rim bowls* der Region Eskişehir entsprechende

¹³⁷⁸ Cf. Parzinger 1993: Taf. 149.82–90.

¹³⁷⁹ Dazu s. Parzinger 1993: 204 u. Abb. 12.

¹³⁸⁰ Parzinger 1993: 199, 204.

¹³⁸¹ S. hierzu Parzinger 1993: 199 u. Taf. 142.42–45.

¹³⁸² S. in diesem Zusammenhang Parzinger 1993: Taf. 158.39, 40, 42.

¹³⁸³ Cf. Parzinger 1993: Taf. 169.169–170 u. 176, 180–181, 185–188, 194–196.

¹³⁸⁴ Parzinger 1993: 277.

¹³⁸⁵ Dazu s. Mellaart 1957: 73; Lloyd/Mellaart 1962: 264; Mellink 1965: 126; Mellink 1992: Tab. 3; French 1968: 52; Easton 1976: 165; Yakar 1985: 119; Efe 1988: Abb. 98; Parzinger 1993: Beil. 5.

¹³⁸⁶ Entsprechend Efe 1994: 16–21 u. Tab. 2.

¹³⁸⁷ Efe 1994: 16. S. in diesem Zusammenhang auch Kull 1988: 141–146.

Period	Troy	Eskişehir Plain	Beycesultan	Polatlı Area		Boğazköy	Kultepe	
				Polatlı	Gordion	Büyükkale NW-H	Mound	Karum
MBA	VI (early)	Demircihüyük MBA levels 1, 2	IV c	?	NB 15	8a		Ib
					NB 18	8b	8	II
Late EB III (EB IIIb)	V	Late Aharköy (MBA) Bahçehisar	V	III		8c, d	9	III
	IV		VII	— ÜBERGANGSPERIODE —				IV
			VIII	II		9	10	
			IX		PN-3 7		11	
Early EB III (EB IIIa)			X					
	III	Early Aharköy	XII–XI	Ib	PN-3 8		12	
	II		hiatus				13	
		Demircihüyük EBA P/Q	XIII					

Abb. 130
Früh- und mittelbronzezeitliche Chronologie des west- und zentral-anatolischen Kulturraums nach Efe 1994 (Efe 1994: Tab. 2).

Typvertreter etwa aus Troia und Beycesultan zur Seite gestellt, die vergleichbar ihren östlichen Vorbildern noch über einen gerundeten Profilverlauf verfügen und nicht über denjenigen späterer, mit Troia VI bereits mittelbronzezeitlich anzusetzender Abschnitte der Besiedlung mit stark akzentuierter Abwinklung.¹³⁸⁸ Auch Schalen mit gerippter Schulter,¹³⁸⁹ wie sie im Großraum Eskişehir aus Stufe FBZ III bekannt sein sollen, fänden, so Efe, in Troia V ihre größtmögliche Entsprechung, wobei speziell ein aus Aharköy stammendes Fundstück mit den in »*Tan ware*« gefertigten Exemplaren Troias sowohl im Hinblick auf die Ware wie auch der Oberflächenbehandlung im Grunde identische Grundmerkmale aufweise.¹³⁹⁰ Ursächlich bedingt sei die ab Phase FBZ IIIb zu konstatierende Ausbreitung speziell inländischer Kulturelemente durch die allmähliche Auflösung der mit der kleinasiatischen Küstenzone spätestens seit Beginn von FBZ III, d. h. FBZ IIIa, bestehenden kulturellen Einheit und den damit in Zusammenhang stehenden Veränderungen bezüglich der kulturellen Geographie Anatoliens am Übergang zur Mittelbronzezeit: »*The stage for the second half of the EB III period (i. e., for the beginning of the second millennium) had been set during the first half of the period. Now, for the first time in the ceramic prehistory of the area, the sites of inland Anatolia drifted away from the culture of the coastal regions, shattering the unit that had comprised the ›West Anatolian civilization,‹ and allied themselves with central Anatolian culture. A quite homogeneous pottery repertoire now dominated the whole of the region stretching northward from the Lake District over Afyon to the Eskişehir Plain and eastward into the bend of the Kızılırmak [...]. The material [...] from Bahçehisar embodies the principal elements of this zone: Fine Red-slipped ware, wheelmade bowls with bead rims, thin-walled bowl forms with incurving rims thickening toward the lip, plain*

¹³⁸⁸ Dazu s. Efe 1994: 16–17 u. Fig. 15.58–66.

¹³⁸⁹ Efe 1994: Fig. 3.12.

¹³⁹⁰ Efe 1994: 17. Vgl. Efe 2006: 27.

wheelmade bowls, cups or beakers with string-cut bases, jugs with curving and tapering beaked spouts, the Pithoschnabelkanne [...]. Over the whole of this region, local elements gradually faded away, disappearing by the close the EB III period and leaving behind at the dawn of the MBA slightly more developed versions of these forms, the Early Hittite repertory.»¹³⁹¹

Unter Einbeziehung der Fundmaterialien west- und ostägäischer sowie verschiedener festlandgriechischer Fundorte, führte Sturt W. Manning 1995 eine Angleichung von Periode Troia IV und FH III herbei,¹³⁹² worüber sich ein zwischen ca. 2200 und 2150 v. Chr. anzusetzendes Datum für den Phasenbeginn von FBZ IIIb in Anatolien ergab (Abb. 131).¹³⁹³ Ausgangsbasis hierfür bildete das Vorkommen von Depasbechern in den auf die Zerstörung des *House of Tiles* folgenden Fundschichten der Stufe FBZ III in Lerna sowie in kontemporär einzustufenden Kontexten in Tiryns und Stadt VI von Ägina.¹³⁹⁴ Auf Grundlage verschiedener formaler Kriterien lassen sich diese entsprechenden Typvertretern in Beycesultan IX gegenüberstellen, worüber sich eine Synchronisierung mit Phase IV im Heraion auf Samos, Troia IV und Schicht EB IIIb in Tarsus ergibt.¹³⁹⁵ Hinzu kommt ein doppelhenkliges, in stratigraphischen Einheiten der frühen FBZ III aufgenommenes Gefäß aus Korakou, das unmittelbare Vergleiche in Troia IVc bis Troia IVe, in Beycesultan IX und in den Phasen IV–V im Heraion auf Samos findet.¹³⁹⁶ In relativchronologischer Hinsicht relevant ist zudem ein aus der nordwestpeloponnesischen Landschaft Elis stammender Krug mit konischem Deckel, für den sich enge typologische Bezüge zu troianischen Fundstücken der Perioden Troia II bis Troia IV aufzeigen lassen;¹³⁹⁷ ein im Kontext des späten Lerna IV geborgener bauchiger Krug mit ausschwingenden Flügelhenkeln, der lange Zeit als Import aus Troia selbst und als typischer Formvertreter der Stufe FH III galt,¹³⁹⁸ dürfte – ausgehend etwa von entsprechenden Vergleichsstücken in Poliochni *giallo* (Abb. 133.1–6)¹³⁹⁹ – dagegen bereits in FH II anzusetzen sein.¹⁴⁰⁰ Die im Ursprung anatolischen Gefäßfragmente aus der Zeit von FBZ III in Fundzusammenhängen der Stufe FH III in Euböa¹⁴⁰¹ und im thessalischen Pevkakia sind, so Manning, aufgrund der im einzelnen belegten, insbesondere Lefkandi I nahestehenden Waren und Formen wie etwa dem Depasbecher tendenziell früh einzustufen, so daß ein Beginn von Stufe FH III bereits während Periode Troia III und somit FBZ IIIa anzunehmen ist,¹⁴⁰² während der späte Abschnitt von FH III im wesentlichen mit Troia IV Früh und Troia IV Mitte Parallelen aufweist und darüber der anatolischen FBZ IIIb in chronologischer

¹³⁹¹ Efe 1994: 23–25. Cf. Mellink 1989: 329.

¹³⁹² Manning 1995: 86–87.

¹³⁹³ Manning 1995: 159–160. Ergänzend dazu s. Maran 1998: 420–421.

¹³⁹⁴ Dazu s. Manning 1995: 86. Cf. Doulas/Aggelopoulou 1997: 546 u. Fig. 7.

¹³⁹⁵ Manning 1995: 86. Cf. Rutter 1995: 347–348; Maran 1998: 418.

¹³⁹⁶ Manning 1995: 86.

¹³⁹⁷ Entsprechend Manning 1995: 87.

¹³⁹⁸ Dazu s. etwa Caskey 1954: 23; Caskey 1960: 297; Caskey 1968: 314–315. Cf. Easton 2002: 338.

¹³⁹⁹ Bernabò-Brea 1976: Tav. CXCIv–d, CXCVb u. e, CXCVIII d–e u. h; Doulas/Aggelopoulou 1997: 549 u. Fig. 13. Cf. Schliemann 1881a: 426 Nr. 349, 427 Nr. 350–351, 428 Nr. 352–353; Blegen *et al.* 1951: Fig. 81.III147; Cultraro 2009: 229–230.

¹⁴⁰⁰ Manning 1995: 87.

¹⁴⁰¹ Cf. French 1968: 157.

¹⁴⁰² Manning 1995: 87. Cf. Maran 1998: 419.

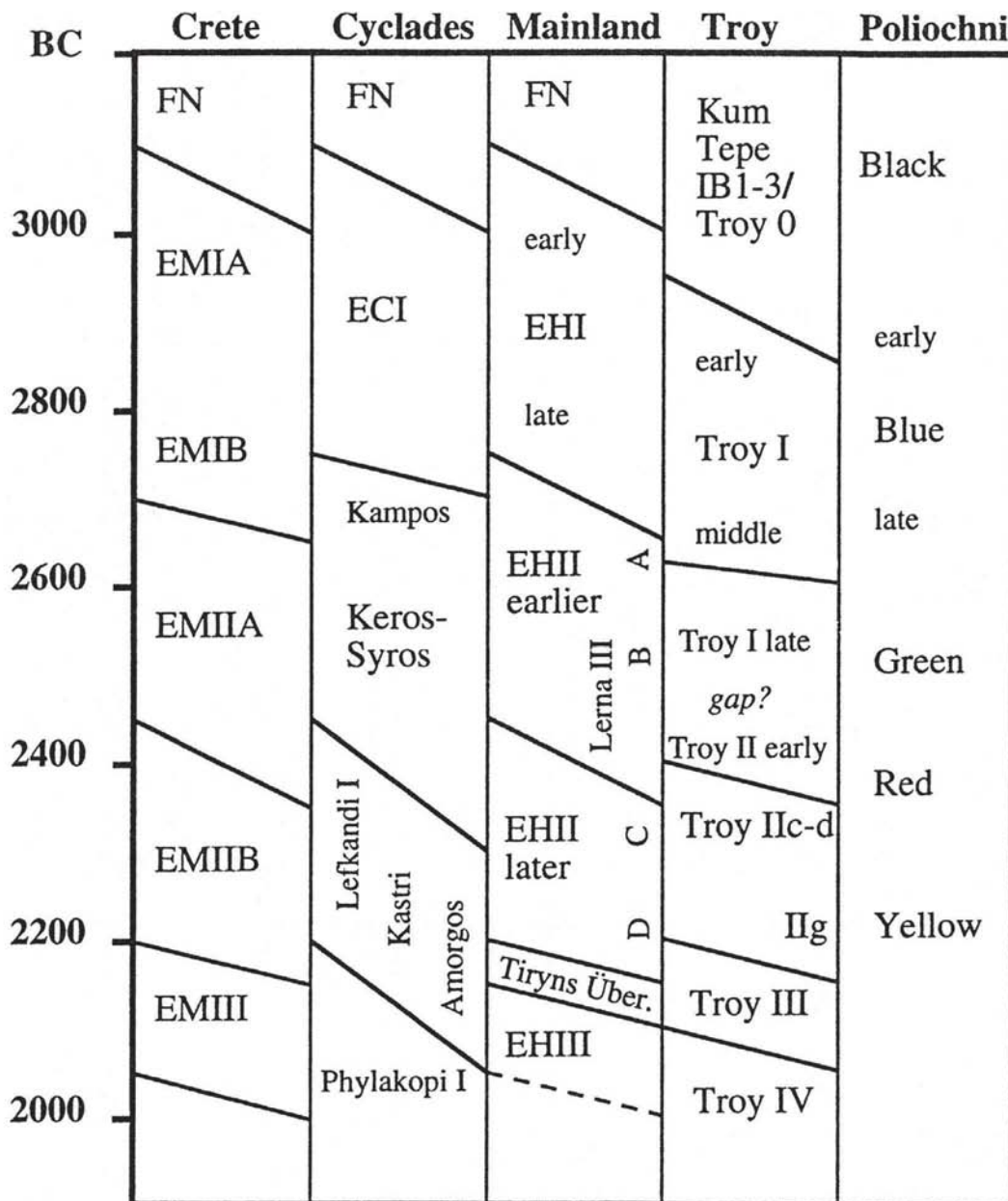


Abb. 131 Synchronisierung überregionaler Chronologieschemata für das 3. Jahrtausend v. Chr. gemäß Manning 1995 (Manning 1995: Fig. 2).

Hinsicht gleichgestellt werden kann.¹⁴⁰³ Die Beziehungen zwischen Anatolien und dem ägäischen Bereich gegen Ende der frühen und beginnenden mittleren Bronzezeit sind mangels einer bestimmten Region oder gar einem einzelnen Fundort zuweisbarer Importe nur bedingt faßbar. Zu den zentralen Referenzstücken zählt eine in Barbotinetechnik verzierter Krug aus FBZ IIIb-

¹⁴⁰³ Manning 1995: 87.

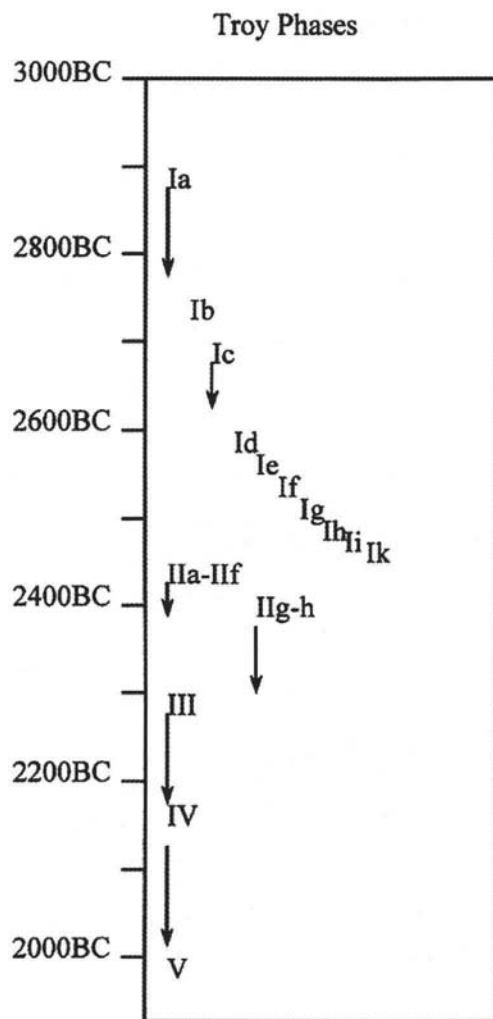


Abb. 132
Absolute Chronologie
der Perioden Troia I
bis Troia V gemäß
Manning 1997 (Man-
ning 1997a: Fig. 12).

zeitlichen Fundschichten der Phase IV im Heraion auf Samos (MM IA), für den eine Herkunft aus dem minoischen Kulturraum angenommen werden kann (Abb. 133.8);¹⁴⁰⁴ unmittelbar zur Seite zu stellen ist diesem ein gleichfalls importiertes oder zumindest auf minoische Vorbilder zurückgehendes Exemplar aus Aphrodisias BA4–MB (Abb. 133.9).¹⁴⁰⁵ Eine weitere Anbindungsmöglichkeit ergibt sich über den Gefäßtyp Entenaskos, der – typisch für Phylakopi I–ii bis Lerna V – am Ende der FBZ III in der Ägäis in Erscheinung tritt und bis einschließlich Stufe MBZ I in keramischen Inventaren vertreten ist.¹⁴⁰⁶ In der dabei hinsichtlich eines kulturellen Transfers relevanten Kontaktzone zwischen Ägäis im Westen und Kleinasien im Osten finden die in ihrer typologischen Genese wohl primär im Bereich der Kykladen anzusiedelnden Entenaskoi beispielsweise Parallelen in Seraglio auf Kos, in Aphrodisias BA4 (Abb. 133.7),¹⁴⁰⁷ in Phase IV des Heraion auf Samos, in Troia IV und Troia V¹⁴⁰⁸ sowie in Beycesultan IX, VIII und VII (Abb. 133.10–12).¹⁴⁰⁹ In der Summe ergibt sich über eine Synchronisierung von Troia IV mit Phase IV in Samos sowie einer zeitlichen Korrelation der Zerstörung von Samos IV mit dem Übergang von Troia IV nach Troia V,¹⁴¹⁰ daß der spätere

Abschnitt von Troia IV mit dem frühen MM IA chronologisch in Übereinstimmung zu bringen ist.¹⁴¹¹ Unter Beibehaltung der in entsprechender Form vorgegebenen relativchronologischen Parameter¹⁴¹² präzisierte Manning 1997 im Rahmen einer umfassenden Reevaluation der vom Hisarlık Tepe/Troia stammenden Radiokohlenstoffdaten die absolutchronologische Position der

¹⁴⁰⁴ Dazu s. Manning 1995: 88; Isler 1973: 175.

¹⁴⁰⁵ Joukowsky 1986: Fig. 334.4.

¹⁴⁰⁶ Manning 1995: 88. Ergänzend dazu s. Benzi 1997: 384–390, 393; Sotirakopoulou 1997: 522–538. Cf. Efe 2006: 26.

¹⁴⁰⁷ Cf. Joukowsky 1986: 395 u. Fig. 329.

¹⁴⁰⁸ Cf. Blegen *et al.* 1951: Fig. 170.13, 256.41.

¹⁴⁰⁹ Dazu s. etwa Lloyd/Mellaart 1962: 215, 217, 227, 251 u. Fig. P53.1, P56.1 u. 8, P60.1–4.

¹⁴¹⁰ Zur relativchronologischen Stellung ägäischer und festlandgriechischer *Red cross bowls* und diesen in der Art der Dekoration verwandten Gefäßen s. Manning 1995: Anm. 166. Cf. Korfmann 1983b: 293–297.

¹⁴¹¹ Manning 1995: 88. Cf. Maran 1998: 419–420 u. Taf. 83.

¹⁴¹² Entsprechend Manning 1997a: 513. S. hierzu auch Manning 1997b: 150–164.

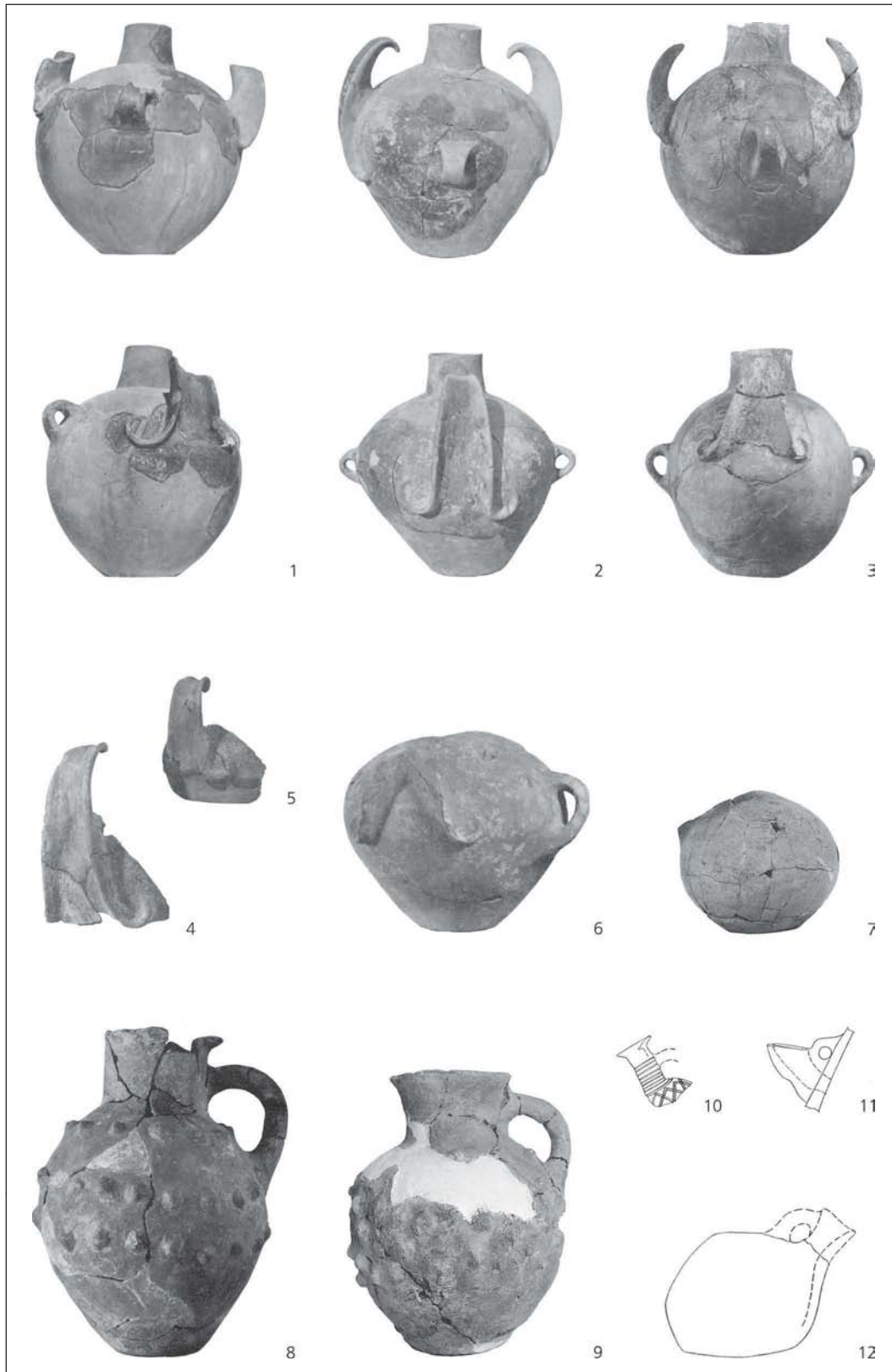


Abb. 133
 Fundmaterial der
 Stufen FH II und FH III
 gemäß Manning 1995:
 1–6. Poliochni *giallo*
 (Bernabò-Brea 1976:
 Tav. CXCIVa–d, CXCVB
 u. e, CXCVIId–e u. h),
 7. Aphrodisias BA4–MB
 (Joukowsky 1986:
 Fig. 329.1, 8), Samos IV
 (Isler 1973: 175), 9.
 Aphrodisias BA4
 (Joukowsky 1986:
 Fig. 334.4) und 10–12.
 Beycesultan (Lloyd/Mel-
 laart 1962: Fig. P53.1,
 P56.1 u. 8).
 Ohne Maßstab.

		TROY - POLIOCHNI	ESKİŞEHİR - KUMTEPE	KUTAHYA	AFYON PLAIN	BEYCESULTAN	KARATAŞ-SEMARYÜK
2000 BC			IV	BAHÇEHİSAR KÜLLÜBA		VII-VI	
						VIII	
						IX	
						X	
EB 3	Yellow		III	KÜLLÜBA AE 19 (PIT)	KAKLIK MEVKII GRAVES 24, 26	XII-XI	
			h	↓			VI
			g				
			e-f				
			d	EARLY AHARKÖY			
			II			XIII a	V:3
			c	YAZILIKAYA CEMETERY	KAKLIK MEVKII GRAVES 18, 21-23		
	Red		b				
			a	SEYİTÖMER (BURNT LEVEL)		XIII b-c	V:2
			j				
			h-i	P	KARAOĞLAN MEVKII AND KAKLIK MEVKII GRAVES 1-8	XIV	V:1
EB 2	Green		g	N		XV	
			f	M			
			e	L		XVI	IV
	Blue		I	K			
			d	H-I			
			c	G			
			b	F		XVII	I-III
			a	R			
3000 BC						XVIII	
EB 1A	Black			D		XIX	
		KUMTEPE IB		KUŞTEPE YUKARISÖĞÜTÖNÜ II	KAKLIK MEVKII	hiatus ?	hiatus
				KIRCA TASLIK			
				KÜLLÜBA		XX	

Abb. 134
Vergleichende
Chronologie der Stufen
FBZ I bis FBZ III nach
Efe und İlaslı (Efe/İlaslı
1997: Fig. 2).

früh- und mittelbronzezeitlichen Siedlungshorizonte Troia I bis Troia V (Abb. 132). In Ermangelung aussagefähiger ^{14}C -Daten für Troia IV¹⁴¹³ wurde hier der Periodenbeginn ausgehend vom Ende von Troia III um 2200 v. Chr. festgesetzt,¹⁴¹⁴ für den Anfang der darauffolgenden Periode Troia V ergab sich ein Datum von 2000±50 v. Chr.¹⁴¹⁵ Auf Grundlage ihrer inhaltlichen

¹⁴¹³ Manning 1997a: 513. S. in diesem Zusammenhang auch Kapitel 7.2 »Absolute Chronologie«.

¹⁴¹⁴ Manning 1997a: 511.

¹⁴¹⁵ Manning 1997a: 511, 513, 521 u. Fig. 9–10. S. hierzu auch Manning 2010: 20–24 u. Tab. 2.2.

Nähe zu Fundinventaren der vorangehenden Periode Troia IV, wies Manning die frühen Phasen von Troia V, d. h. *Troy V Early* in der von Blegen *et al.* vorgegebenen Definition,¹⁴¹⁶ nach FBZ IIIb, während er die späteren Abschnitte der Periode, also *Troy V Middle* und *Troy V Late*, bereits in der mittleren Bronzezeit verortet betrachtete.¹⁴¹⁷

Noch im selben Jahr wurde Troia IV von Efe und Ahmet İlaslı an den Beginn des 2. Jahrtausend v. Chr. gerückt und inhaltlich mit Beycesultan VII und VI gleichgesetzt (Abb. 134).¹⁴¹⁸ Mit ausschlaggebend hierfür dürfte die damals übliche Verortung von Kültepe Karum IV–III am Übergang vom 3. zum 2. Jahrtausend v. Chr. gewesen sein¹⁴¹⁹ sowie das Vorkommen von Schalen mit stark betonter Karinierung in den jüngeren Fundschichten der Periode Troia V, welche anhand vergleichbarer Exemplare in Beycesultan V bereits der mittleren Bronzezeit zugesprochen wurden.¹⁴²⁰

Bezugsrahmen für die 1998 von Josef Maran erarbeitete Anbindung des ostägäischen und kleinasiatischen Kulturraums an das griechische Festland und die Kykladen im späten 3. Jahrtausend v. Chr. bildete die Stufeneinteilung Efes von 1988,¹⁴²¹ wobei in erster Linie die bereits ab Phase FBZ IIIa zu konstatierende typologische Homogenität eines Großteils der Feinkeramikinventare anatolischer Fundplätze¹⁴²² sowie ein kontinuierliches Auftreten einiger bestimmter Gefäßformen in beiden geographischen Zonen die notwendige Grundvoraussetzung für eine relativchronologische Synthese auf regionenübergreifender Basis liefern.¹⁴²³ Im Falle der zweihenkligen Depasbecher etwa treten in Phase FBZ IIIb ergänzend zu den bereits im vorhergehenden Abschnitt FBZ IIIa vertretenen Stücken mit zylindrischer, röhrenförmiger Grundform Exemplare mit konischem oder geschwungenem Profilverlauf in Erscheinung, die nicht selten mit einem niederen Standfuß oder einem abgesetzten Standring versehen sind.¹⁴²⁴ Diesen auf Grundlage formaler Kriterien zur Seite gestellt wird eine vergleichsweise schlanke, besonders akzentuiert geschwungene und zum Teil mit einem Bauchknick ausgestattete Krugform mit Doppelhenkeln aus Phase IV des Heraion auf Samos, die anders als die geschwungenen, in westkleinasiatischen und kilikischen Fundkomplexen enthaltenen Typvertreter des Depasbechers, als dessen Derivat sie in typologischer Hinsicht eingestuft wird, über Bandhenkel, nicht jedoch über Stabhenkel verfügt.¹⁴²⁵ Gleichermäßen charakteristisch für die FBZ IIIb-zeitlichen Keramikverbände des vierten Belegungsabschnitts von Samos, deren spezifische Elemente sich in Auswahl auch auf dem Dodekanes wiederfinden, ist das verstärkte Aufkommen von Schalen

¹⁴¹⁶ Cf. Kapitel 7.1 »Relative Chronologie«.

¹⁴¹⁷ Manning 1997a: 521.

¹⁴¹⁸ Efe/İlaslı 1997: Fig. 2. Vgl. Efe 1994: 16–21 u. Tab. 2.

¹⁴¹⁹ Cf. Efe 1994: Tab. 2. S. hierzu jedoch auch Newton/Kuniholm 2004: 172.

¹⁴²⁰ S. hierzu den entsprechenden Kommentar von Efe in Manning 1997a: 521.

¹⁴²¹ Maran 1998: 416.

¹⁴²² Entsprechend Maran 1998: 417–418. S. in diesem Kontext auch French 1968: 49; Mellink 1989: 329. Vgl. Efe 1994: 23–25.

¹⁴²³ Maran 1998: 418.

¹⁴²⁴ Maran 1998: 418. S. diesbezüglich auch Easton 2002: Fig. 194.

¹⁴²⁵ Dazu s. Maran 1998: 418.

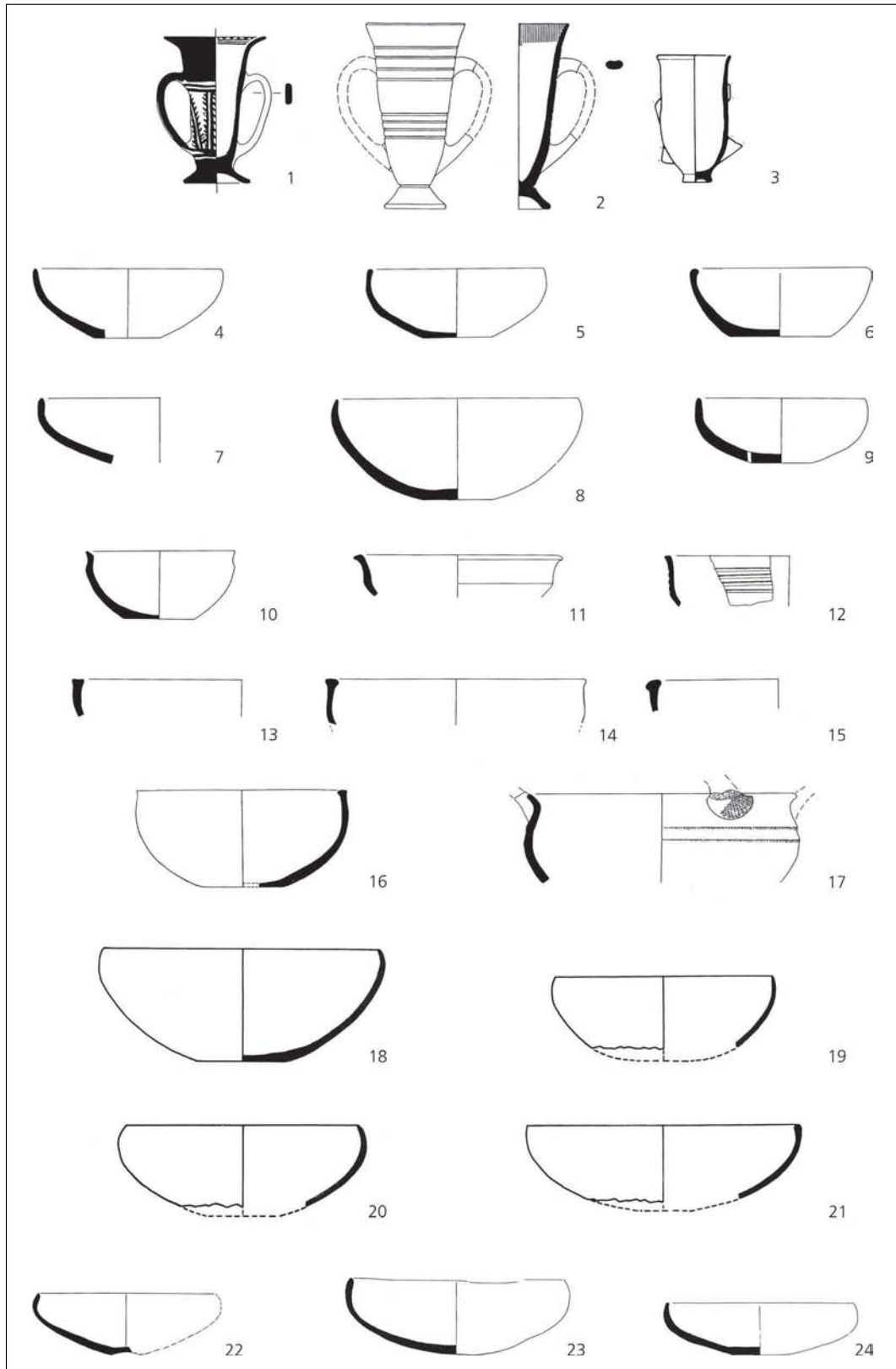


Abb. 135
 Fundmaterial der Stufe
 FH III gemäß Maran
 1998: 1. Lerna,
 2. Beycesultan,
 3. Aphrodisias, 4–15 u.
 17. Pevkakia-Magula,
 16. Levkandi, 18–21.
 Heraion (Samos),
 22–23. Asomatos (Rho-
 dos), 24. Seraglio auf
 Kos (Maran 1998:
 Taf. 24.6–8, 28.1–14,
 29.1–4 u. 6–8).
 Ohne Maßstab.

mit einziehendem Rand,¹⁴²⁶ was mit einem zunehmenden, sich unter Umständen im gesamten kleinasiatischen und ostägäischen Raum abzeichnenden Bedeutungsverlust der noch zur Zeit von Heraion III dominanten Gefäßform Teller in Zusammenhang stehen mag.¹⁴²⁷ Bei einer zugrundegelegten Dauer von Phase FBZ IIIa bis spätestens in des Zeit des beginnenden FH III setzt Maran anhand verschiedener keramischer Querverbindungen zwischen östlicher und westlicher Ägäis FBZ IIIb mit dem Hauptteil von FH III zeitgleich an.¹⁴²⁸ Zu den ausschlaggebenden Kriterien hierfür zählt das Vorkommen geschwungener Depasbecher mit niederem Standfuß oder Standring in Fundkontexten der Phase FBZ IIIb,¹⁴²⁹ wie Beycesultan IX, Komplex II der Akropolis von Aphrodisias sowie Tarsus EB IIIb (Abb. 135.2 u. 3), für die sich im Zeithorizont von FH III auf der nördlichen Peloponnes und in der Ägäis adäquate Vergleichsstücke aufzeigen lassen (Abb. 135.1).¹⁴³⁰ Ungeachtet der sich auf Grundlage einer entsprechenden Korrelation im Hinblick auf die relativchronologische Bewertung der beiden Kulturräume ergebenden Konsequenzen sind anhand der für den Bereich des südlichen Griechenlands belegten Fundstücke zusammen mit einem in Agia Marina-Ware gefertigtem Typvertreter in Böotien und einem aller Wahrscheinlichkeit nach importierten Krug mit Flügelhenkeln aus Lerna IV¹⁴³¹ Beziehungen zwischen dem Peloponnes, Ägina und Böotien zur Ostägäis aufzuzeigen; verschiedene in ihrem Ursprung in der östlichen Kontaktzone angesiedelte Gefäßgattungen wurden dabei im Zuge der ab FH III merklich intensivierten Interaktion übernommen und in einem ansonsten spezifisch frühhelladischen Formenspektrum integriert. Daß sich in der argivischen Keramik, die noch im späten Abschnitt von FH II kaum am Typensatz der Fundkomplexe von Lefkandi I partizipierte, überhaupt erst ab Stufe FH III Elemente ostägäischer Prägung wiederfinden, darf, so Maran, in diesem Zusammenhang zwar durchaus als symptomatisch betrachtet werden,¹⁴³² jedoch kann »das Vorkommen ostägäischer Keramikelemente im Kontext der mittel- und süd-griechischen Stufe FH III [...] jedoch nicht darüber hinwegtäuschen, daß sich weder in der nordostpeloponnesisch-äginetischen noch in der böotisch-mittelgriechischen Regionalgruppe der FH III-Zeit ein ähnlich starker ostägäisch/westkleinasiatischer Einfluß bemerkbar macht wie in den Siedlungen des späten FH II-Zeit in den östlichen Bereichen [des griechischen Festlands und der Kykladen]. Anders verhält es sich indes bei der [...] als Euböa-Magnesia-Gruppe bezeichneten FH III-zeitlichen Regionalgruppe, denn diese knüpfte [...] an die seit der entwickelten FH II-Zeit bestehende Tradition enger Beziehungen zur Ostägäis an. In besonderem Maße gilt dies für diejenigen Fundkomplexe innerhalb der Euböa-Magnesia-Gruppe, die der späten FH III-Zeit angehören, d. h. Pevkakia MB Phase 2, Lefkandi III und Palamari-Haus Γ, und mit Hilfe der östlichen Beziehungen der Euböa-Magnesia-Gruppe ergeben sich nun weitere Argumente zu-

¹⁴²⁶ Cf. Maran 1998: 418 u. Taf. 29.1–5.

¹⁴²⁷ Maran 1998: 418. Dazu s. auch Rutter 1993: 763–774.

¹⁴²⁸ Maran 1998: 419. S. diesbezüglich auch Manning 1995: 87.

¹⁴²⁹ Cf. Podzuweit 1979: 104–106.

¹⁴³⁰ Maran 1998: 419 u. Taf. 24.6–8.

¹⁴³¹ Maran 1998: 419. Speziell zu diesem Fundstück s. jedoch auch Manning 1995: 87; Easton 2002: 338. Cf. Caskey 1954: 23; Caskey 1960: 297; Caskey 1968: 314–315.

¹⁴³² Entsprechend Maran 1998: 271–283, 419.

gunsten einer Parallelisierung von westkleinasiatisch/ostägäischem FBZ IIIb und FH III [...].¹⁴³³ Querverbindungen eröffnen sich dabei anhand kleinformatiger Schalen der helltonigen Drehscheibenware in Pevkakia MB Phase 2 und Lefkandi III (Abb. 135.4–17), denen entsprechende Typvertreter aus Phase IV des Heraion auf Samos und dem Dodekanes zur Seite zu stellen sind (Abb. 135.18–24).¹⁴³⁴ Hinzu kommen ein auf der scheibengedrehter Becher aus Pevkakia MB Phase 2 (Abb. 136.1), der sein Pendant in Heraion IV findet (Abb. 136.2),¹⁴³⁵ sowie die aus Phylakopi I und wiederum Pevkakia MB Phase 2 Entenaskoi mit Sternmotiv,¹⁴³⁶ bei denen es sich mit großer Wahrscheinlichkeit um aus dem südwestkleinasiatischen Raum, Samos oder dem Dodekanes stammende Importstücke handeln dürfte (Abb. 136.3–5), von woher sie beispielsweise aus stratifizierten Fundkontexten in Heraion IV und Komplex II der Akropolis von Aphrodisias bekannt sind.¹⁴³⁷ Zu den potentiellen Bindegliedern sind in diesem Zusammenhang ebenfalls die in helltoniger Drehscheibenware oder Anatolischer Grauware gefertigten, mit einer Rillengruppe am Übergang vom Rand zur Schulter versehenen Schalen und Tassen mit hochgezogenen Bandhenkeln aus Pevkakia MB Phasen 2 und 3 zu zählen (Abb. 136.6–7; cf. 136.10), für die adäquate Gegenstücke aus Beycesultan XII–X aufzuzeigen sind (Abb. 136.8–9), wohingegen sie bereits in Fundvergesellschaftungen der Stufe MH nicht mehr in vergleichbarer Ausführung vertreten sind.¹⁴³⁸ Anknüpfungspunkte zwischen den spät FH III-zeitlichen Fundinventaren der Euböa-Magnesia-Gruppe Marans und dem Bereich der FBZ IIIb, und hier dessen nordwestlichen Abschnitts, erschließen sich zudem in Form einer einhenkligen Kruggattung aus Pevkakia MB Phase 2 und Palamari-Haus Γ (Abb. 136.11–13),¹⁴³⁹ denen ähnliche Typvertreter aus Siedlungshorizont IV und V am Hisarlık Tepe/Troia gegenüberstehen (Abb. 136.14–15).¹⁴⁴⁰ Unter Berücksichtigung der bestehenden Querverbindungen zwischen West- und Ostägäis in der Zeit der Stufen FH II und FH III in Mittel- und Südgriechenland erschloß sich für Maran im Hinblick auf das relativchronologische Verhältnis zwischen den beiden Kulturräumen zunächst, daß das Ende von Phase FBZ IIb in Westkleinasien zeitlich mit dem entwickelten Abschnitt der Stufe FH II, d. h. Lerna IIIC, zusammenfällt, und daß Phase FBZ IIIa parallel zu FH II Spät, also Lerna IIID, sowie der Übergangsphase von FH II zu FH III anzusetzen ist (Abb. 137).¹⁴⁴¹ Des weiteren sei angesichts dessen, daß bereits in der frühen Entwicklungsstufe von FH III Formen der Phase FBZ IIIb in der östlichen Ägäis anzutreffen sind, eine starke Überschneidung von FBZ IIIa mit FH III – repräsentiert durch Fundverbände der Periode Lerna IV – auszuschließen, so daß die Dauer von Phase FBZ IIIb derjenigen von FH III entsprochen haben dürfte.¹⁴⁴² Relevante Bezugsgröße hinsichtlich der absolutchronologischen Bestimmung der Stufen FBZ II und

¹⁴³³ Maran 1998: 420.

¹⁴³⁴ Dazu s. Maran 1998: 420 u. Taf. 28.1–14, 29.1–8.

¹⁴³⁵ Maran 1998: 420 u. Taf. 27.3–4.

¹⁴³⁶ S. hierzu beispielsweise Maran 1998: Taf. 25.1–2, 27.3.

¹⁴³⁷ Cf. Maran 1998: 420 u. Taf. 25.3–5.

¹⁴³⁸ Entsprechend Maran 1998: 420 u. Taf. 26.7–9, 27.1–2.

¹⁴³⁹ Maran 1998: 420 u. Taf. 26.1, 4, 6.

¹⁴⁴⁰ Maran 1998: 420 u. Taf. 26.2, 5.

¹⁴⁴¹ Maran 1998: 420–421 u. Taf. 83.

¹⁴⁴² Dazu s. Maran 1998: 421.

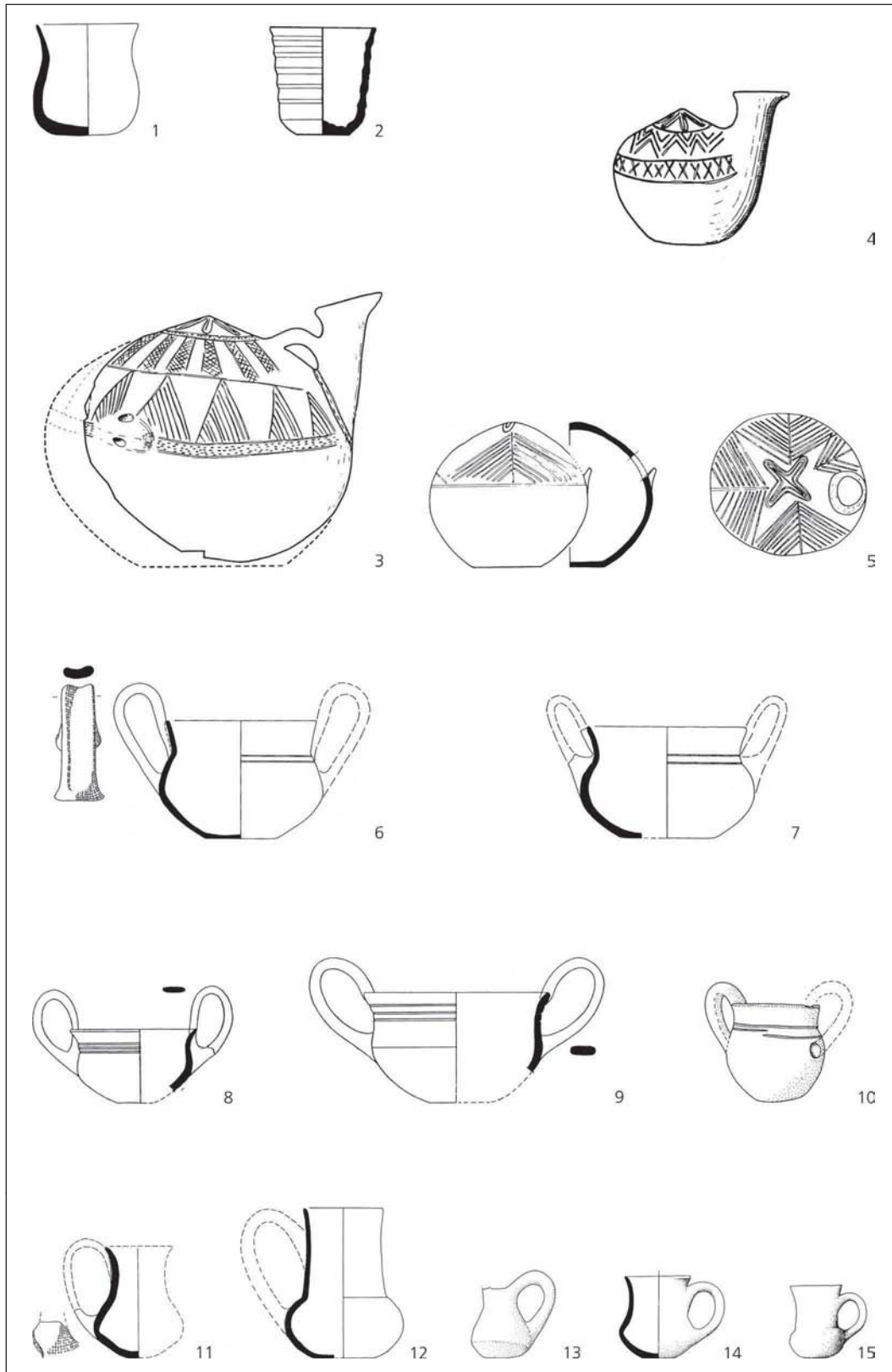


Abb. 136
 Fundmaterial der Stufe
 FH III gemäß Maran
 1998: 1 u. 11–12.
 Pevkakiia-Magula,
 2–4. Heraion (Samos),
 5. Aphrodisias, 6–7 u.
 10, 13. Palamari (Sky-
 ros), 8–9. Beycesultan,
 14–15. Troia (Maran
 1998: Taf. 25.3–5,
 26.1–2 u. 4–9, 27.1–4).
 Ohne Maßstab.

FBZ III in Westkleinasien und auf den vorgelagerten Inseln der Ostägäis, also derjenigen Abschnitte der frühbronzezeitlichen Kulturentwicklung, für die auf Grundlage des keramischen Vergleichsmaterials eine Kontemporanität mit der entwickelten Stufe FH II bis zum Ende von FH III anzunehmen ist, bildete die ¹⁴C-Datenserie Troias in der 1993 von Korfmann und Kromer vorgelegten Form.¹⁴⁴³ Ausgehend von dieser erschließt sich für den Beginn der nachhaltig durch das Aufkommen von Depasbechern sowie von flachen, scheidengedrehten Tellern in größeren Mengen gekennzeichneten Phase FBZ IIIa ein Datum im späten 26. Jahrhundert v. Chr. oder geringfügig später (Abb. 137). FBZ IIIb, im wesentlichen charakterisiert durch die Fundinventare von Troia IV, ist entsprechend um 2200 v. Chr. anzusetzen,¹⁴⁴⁴ so daß diese das zeitliche Pendant zur ebenfalls um ca. 2200/2150 v. Chr. beginnenden Stufe FH III auf dem süd- und mittelgriechischen Festland sowie auf den Kykladen bildet;¹⁴⁴⁵ zeitlich mit dem Einsetzen von Stufe MH I um 2000/1950 v. Chr. in Einklang zu bringen ist der Beginn von Troia V, welches in chronologischer Hinsicht mithin als Äquivalent zu Lerna V zu betrachten ist.¹⁴⁴⁶

Für einen Ansatz der anatolischen Mittelbronzezeit bereits in der 2. Hälfte des 3. Jahrtausends v. Chr., und dies bei einem entsprechend dem Beginn von Periode Troia IV festgelegten Datum von 2200 v. Chr., sprach sich Easton im Rahmen einer im Jahr 2002 vorgelegten chronologischen Neubewertung der frühen Schliemannfunde vom Hisarlık Tepe/Troia aus.¹⁴⁴⁷ Stellvertretend für das Ende der Stufe FBZ III in Anatolien und auf den vorgelagerten ostägäischen Inseln stehen hier – in inhaltlicher und zeitlicher Übereinstimmung mit Beycesultan VIII–VIa und Tarsus EB III – die Fundverbände von Troia III, zu deren zeitspezifischen Elementen gemäß Easton sowohl *Bead-rim bowls*, Voluntenapplikationen und Depasbecher mit abgesetzten Standring wie auch Schalen mit aufgemaltem oder in Politurtechnik ausgeführtem Kreuzmotiv zu zählen sind: »*Red cross bowls continued in use in Troia IV–V, but in its origins the fashion is distinguishable from the MB style which includes painting on the exteriors but which eschewed multiple crosses or complex bands.*«¹⁴⁴⁸ Ausgehend von dem in dieser Zusammenstellung vorgegebenen keramischen Befund erschloß sich für Easton ein zeitliches Nebeneinander von Troia III, das er auf Grundlage der 1993 von Korfmann und Kromer¹⁴⁴⁹ vorgelegten Radiokohlenstoffwerte im Zeitraum von 2120–2000 v. Chr. ansetzte,¹⁴⁵⁰ mit den Stufen FK III auf den Kykladen und MH auf dem griechischen Festland – wenn auch als Resultat einer Vermischung der mittleren Chronologie für Anatolien und Mesopotamien mit der konventionellen ägäischen Chronologie. Periode Troia IV, für deren nähere absolutchronologische Charakteri-

¹⁴⁴³ Maran 1998: 424–426. Cf. Korfmann/Kromer 1993: 164–169. S. in diesem Zusammenhang jedoch auch Manning 1997a: 501–518. Vgl. Voutsaki *et al.* 2010: 644–646.

¹⁴⁴⁴ Maran 1998: 425 u. Taf. 83.

¹⁴⁴⁵ Maran 1998: 415, 426. Hinsichtlich der relativ- und absolutchronologischen Bewertung nordgriechischer Fundplätze s. Andreou *et al.* 1996: 538 Tab. 1.

¹⁴⁴⁶ Maran 1998: Taf. 80, 83. Cf. Manning 1995: 159–160, 172.

¹⁴⁴⁷ Easton 2002: 336, 339–340.

¹⁴⁴⁸ Easton 2002: 338 Anm. 427. S. in diesem Zusammenhang jedoch auch Kapitel 4.5.1.1 »Bemalungen«.

¹⁴⁴⁹ S. hierzu entsprechend Korfmann/Kromer 1993: 137–139 u. Abb. 1. Cf. Mansfeld 2001: 201–203. Vgl. Manning 1995: 159–160, 172; Maran 1998: 415, 426.

¹⁴⁵⁰ Dazu s. Easton 2002: 341, 344.

v. Chr.		LIPARISCHE INSELN	SIZILIEN	MALTESISCHE INSELN	KRETA	WESTKLEINASIEN u. INSELN d. OSTÄGÄIS	
						nach Efe	
2000	MH I - Zeit	↑ älteres CAPO GRAZIANO	↑ NARO - CASTELLUCCIO PARTANNA	↑ TARKIEN - GRÄBERFELD KULTUR	MM I A	FB 3b	TROIA V TROIA IV HERAION IV
	FH III - Zeit	?	↑ GLOCKENBECHER MALPASSO - CHIUSAZZA	?	FM III		
	Zeit d. Übergangsphase FH II/FH III	?	↑	?			
	späte FH II - Zeit	↑ PIANO QUARTARA	↑	↑ T U R	FM II B	FB 3a	A I II spät N I gelb
2500	entwickelte FH II - Zeit	?	↑	↑ STUFE TARKIEN	FM II A	FB 2	O II früh I rot
	ältere FH II - Zeit	?	↑	↑			
	FH I - Zeit	↑ PIANO CONTE	↑ CONCA D'ORO SERRA FERLICCHIO	↑ T E M P E L L E K K U L T U R STUFE GGANTIJA	FM I	FB 1	R I I früh P O L I blau
3000			↑	↑			
	Zeit des jüngeren mittel- und südgriechischen CHALKOLITHIKUMS		↑ SAN CONO - PIANO NOTARO - CONZO	↑	CHALKOLITHIKUM	CHALKOLITHIKUM	?
3500			↑	↑			KUMTEPE IB ?

Abb. 137 Vergleichende Chronologie des mittleren und östlichen Mittelmeerraums einschließlich Westkleinasiens gemäß Maran 1998 (Maran 1998: Taf. 83).

sierung keine aussagekräftige ¹⁴C-Daten zur Verfügung stünden¹⁴⁵¹ und daher nur approximativ zwischen 2000 und 1850 v. Chr. einzuordnen sei,¹⁴⁵² markiere den Übergang zur anatolischen Mittelbronzezeit, was unter anderem etwa mit der Einführung von Kuppelöfen in der für den betreffenden Zeithorizont spezifischen Architektur¹⁴⁵³ sowie in einer signifikanten Veränderung des kontemporären Waren- und Formenspektrums auch an anderen Fundorten wie Beycesultan V, Tarsus MB sowie dem karumzeitlichen Kültepe nachhaltig Ausdruck fände: Zu den wesentlichen, auf überregionaler Ebene faßbaren Innovationen der Periode Troia IV sei dabei insbesondere die Einführung kalottenförmiger Schalen des Typs A 8 in der von Blegen *et al.* gegebenen Definition zu zählen, ebenso wie die von Schalen mit ausgespartem, gerundetem bis keulenförmig verdicktem Rand (Blegen *et al.* Typ A 20; *cf.* Tab. 43), von rundbodigen Tassen mit leicht einziehendem Rand und einem einzelnen, vergleichsweise steil aufragenden Schlaufenhenkel (Blegen *et al.* Typ A 28), von einhenkligen karinierten Tassen mit abgesetztem Standring (Blegen *et al.* Typ A 36), von zweihenkligen Bechern mit einziehendem Profilverlauf (Ble-

¹⁴⁵¹ Easton 2002: 341.

¹⁴⁵² Easton 2002: 344.

¹⁴⁵³ *Cf.* Easton 2002: 339.

gen *et al.* Typ A 44)¹⁴⁵⁴ und kleinformatigen topfartigen Gefäßen mit trichterförmig auskragender Randzone des Typs C 36 nach Blegen *et al.* (*cf.* Taf. 39–40), wobei eine adäquate Anbindungsmöglichkeit der kleinasiatischen Fundkomplexe an solche des Mittelhelladikums speziell anhand der erwähnten Formen A 28 und A 36 sowie über den ebenfalls neu auftkommenden Gefäßtyp B 23 nach Blegen *et al.*, d. h. Kannen mit abgesetztem schlanken Hals und hinten ausgeschnittener Randpartie, bestünde.¹⁴⁵⁵ Anhand des Aufkommens von *Bead-rim bowls* mit stark akzentuierter Karinierung (Blegen *et al.* Typ A 23), für das ein im fünften Siedlungsabschnitt des Hisarlık Tepe/Troia liegendes Datum zu veranschlagen sei,¹⁴⁵⁶ stellte Easton Periode Troia V den Belegungshorizonten der entwickelten MBZ von Tarsus, Beycesultan und Aphrodisias zu Seite. Zu den in überregionaler Hinsicht relevanten Bindegliedern seien ebenso Schalen mit Volutenapplikationen am Henkelansatz zu zählen, da sich über diese Querverbindungen nach Kültepe Karum II im Osten sowie Poliochni *bruno* im Westen aufzeigen ließen, darüberhinaus fänden sich in den Karum I-zeitlichen Schichtablagerungen von Boğazköy Reste von Vorratsgefäßen, deren untere Partien in gewisser Weise an diejenige der Gefäße vom Typ C 20 nach Blegen *et al.* erinnerten.¹⁴⁵⁷ Bezüge zum westlich anschließenden Kulturraum, und hier jeweils zu den späteren Abschnitten der Stufen MH und MK, betrachtete Easton anhand des Vorkommens von tiefen Schalen mit Standfuß (Blegen *et al.* Typ C 20) und Deckeln des Typs D 4 gemäß Blegen *et al.* in Korakou als gegeben; hieran anzuschließen seien die für Troia V spezifischen gewölbten Deckel vom Typ D 16 aus Agia Irini IVa (*cf.* Abb. 129.14) sowie eine entsprechend anzusetzende Kelchgattung mit Standfuß aus Agia Irini IVb (Easton Typ A 209), für die eine ungefähre Zuweisung nach Phase MM IIA wahrscheinlich gemacht werden könne.¹⁴⁵⁸ Mangels präziser ¹⁴C-Daten zog Easton für den Beginn von Periode Troia V ein Datum von 1850 v. Chr. in Betracht, das Ende dagegen, das er ausgehend vom keramischen Befund der Periode Troia VI mit dem Einsetzen der (west-)anatolischen Spätbronzezeit in Zusammenhang stellte, wird um 1700 v. Chr. angesetzt.¹⁴⁵⁹ In ihrer Gesamtheit tritt die von Easton für die anatolische Früh- und Mittelbronzezeit vorgeschlagene Sequenzierung trotz einer vergleichsweise umfangreichen Befund- und Fundbasis deutlich hinter anderen zurück, und dies sowohl im Hinblick auf die relativ- wie absolutchronologische Bewertung. Nicht nur, daß in der im Jahr 2002 erschienenen Arbeit relevante, nach 1989 zum Thema erschienene Forschungsliteratur nur in Ausnahmefällen eine Berücksichtigung fand¹⁴⁶⁰ und verschiedene, in konzeptioneller Hinsicht nur bedingt in Übereinstimmung zu bringende Chronologieschemata für Anatolien und die Ägäis anhand scheinbarer stimmiger Synchronismen miteinander verbunden wurden, so basiert die Argumentation Eastons in nicht wenigen Fällen auf zeitlich inkonsistenten, periodenübergreifenden

¹⁴⁵⁴ Easton 2002: 338. S. dazu auch Blegen *et al.* 1951: 127 u. Fig. 154a, 160 Nr. 36717; Mellink 1965: 116, French 1968: 150–151; Renfrew 1972: 124; Yakar 1985: 132 u. Fig. X.13, 19–20; Abay 1997: 23.

¹⁴⁵⁵ S. hierzu Easton 2002: 339.

¹⁴⁵⁶ Easton 2002: 340. Dazu s. jedoch Pavúk 2007a: 256–267.

¹⁴⁵⁷ Easton 2002: 340.

¹⁴⁵⁸ Easton 2002: 340 u. Fig. 126.

¹⁴⁵⁹ Easton 2002: 340, 344.

¹⁴⁶⁰ *Cf.* Easton 2002: Anm. 394–479.

Fundzusammenstellungen und einer inhaltlich pauschalen Beurteilung von chronologischen Abschnitten: Ein Vorkommen von *Red cross bowls* in stratigraphischen Einheiten der Periode Troia III etwa kann kategorisch ausgeschlossen werden, und selbst wenn sie – wie dies Blegen *et al.* vermuteten¹⁴⁶¹ – erstmals in Periode Troia IV auftreten sollten, so doch erst ganz am Ende, nämlich in Phase Troia IVe;¹⁴⁶² entsprechend hinfällig ist die typologische und zeitliche Gleichstellung von Periode Troia III mit Beycesultan VIII–VIa und Tarsus EB III sowie die unmittelbar darauf beruhende Angleichung an die Stufen MH auf dem griechischen Festland und FK III auf den Kykladen. Dasselbe trifft auf die von Easton zur Spezifizierung von Troia V herangezogenen *Bead-rim bowls* zu, zumal Typvertreter dieser überaus signifikanten Gefäßgattung frühestens – und dies allerdings noch mit stark gerundetem Profilverlauf¹⁴⁶³ – am Übergang von Periode Troia V nach Troia VI Früh in Erscheinung treten und somit in keiner Weise charakteristisch für den betreffenden Zeithorizont in seiner Gesamtheit sind.

Die ab Phase FBZ IIIa für einen nicht geringen Teil der feinkeramischen Inventare zwischen Troia im Nordwesten Kleinasiens und dem nordsyrisch-mesopotamischen Raum zu verzeichnende typologische Angleichung führte Efe in Beiträgen der Jahre 2003 und 2007 auf eine Neuerschließung bzw. systematische Verlagerung von Handels- und Verkehrsrouten sowie die damit in Zusammenhang stehende Ausweitung von Kontaktsphären zurück;¹⁴⁶⁴ stand in der früheren Forschung – zumeist infolge fehlenden Vergleichsmaterials aus Zentralanatolien – ein Güter- und Kulturtransfer auf dem Seeweg im Grunde außer Frage,¹⁴⁶⁵ zog Efe insbesondere auf Grundlage der früh- und mittelbronzezeitlichen Fundvergesellschaftungen der Siedlungsplätze Demircihüyük, Seyitömer und Küllüoba hinsichtlich des Verlaufs der Fernkontakte primär den Landweg, die »Great Caravan Route« in Betracht (Abb. 138):¹⁴⁶⁶ »We can almost certainly say that the underlying factor of the important changes toward the middle of the third millennium, which mark the beginning of a new phase in the cultural development in western Anatolia called the EB III period, is the impact of intensive trade with the Mesopotamian cultural sphere. This commerce resulted in culturally and politically active centres, the emergence of an élite class, ceremonies and feasts, new habits in eating and drinking, and a trend towards more division of labour, standardisation and mass production. In western Anatolia, its early influence on the material culture can be traced most pronouncedly along this overland trade route from Cilicia to the north Aegean. Eastward of the Sivrihisar range in central Anatolia and westward along the southern Aegean coastline, this early impact is slight – if at all in evidence. The early distribution of wheelmade plain ware diagonally crossing the Anatolian peninsula is one of the most important clues to the »Great Caravan Route« between Cilicia and the Troad and, consequently, to

¹⁴⁶¹ Entsprechend Blegen *et al.* 1951: 126, 138, 193, 209, 212.

¹⁴⁶² S. in diesem Zusammenhang jedoch Kapitel 4.7.3 »Stratigraphische Verteilung der Dekorationen« und Kapitel 7.1 »Relative Chronologie«.

¹⁴⁶³ Pavúk 2005: 260–263.

¹⁴⁶⁴ Efe 2002: 54–61; Efe 2003a: 118; Efe 2007: 60–61. Cf. Şahoğlu 2005: 345–355; Rahmstorf 2006: 50–52, 79–84 u. Abb. 18. S. in diesem Kontext auch French 1968: 49; Mellink 1989: 329; Maran 1998: 417–418. Vgl. Efe 1994: 23–25.

¹⁴⁶⁵ Zusammenfassend dazu s. Efe 2007: 47–49; Rahmstorf 2006: 50–52.

¹⁴⁶⁶ Efe 2007: 48–49, 60–62. Cf. Efe 1988: 122–123.

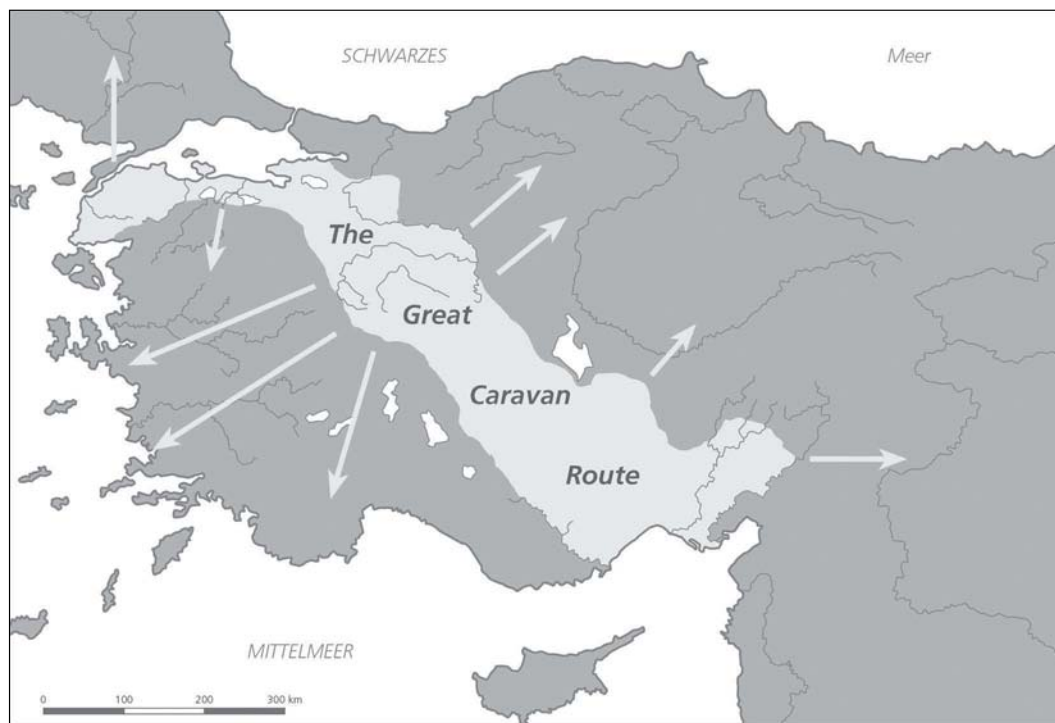


Abb. 138
Lagebereich der
»Great Caravan Route«
in Stufe FBZ III nach
Efe (nach Efe 2007:
Fig. 17a).

*the origin of the west Anatolian EB III cultural elements. [...] The Aegean world had its own network encompassing mainly the western coastline of Anatolia, the Aegean islands and mainland Greece.*¹⁴⁶⁷ Die Intensität der bereits im späten Abschnitt von Stufe FBZ II zunächst im Hinblick auf den Handel mit Metallen, und hier vor allem mit Zinn, aufgenommenen Beziehungen komme dabei weniger durch die absolute Zahl vorderasiatischer Importstücke zum Ausdruck als vielmehr durch die bewußte Adaption wichtiger, in ihrem Ursprung vor allem auf Innovationsprozesse im syrischen Raum, namentlich der Urbanisierung, zurückgehende Kulturelemente;¹⁴⁶⁸ dies zeigten die Nutzung von Siegeln zur Administration und eine entwickelte Metallurgie mit der Verarbeitung von Edelmetallen und Legierungen, weiterhin ähnliche Keramikformen, die sowohl auf die erstmalige Verwendung der schnellen Töpferscheibe in Südost-, Zentral- und Westanatolien als auch auf überregional vergleichbare Ess- und Trinksitten hindeuteten.¹⁴⁶⁹ Zu den überregional relevanten Bindegliedern, so Efe, sind dabei zunächst die in Stufe FBZ III insbesondere im Raum Eskişehir und in der Troas in großer Stückzahl auftretenden flachen Teller vom Typ A 2 nach Blegen *et al.* zu zählen, die in kontemporären Fundinventaren stets in einer für sie typischen Warengattung, der sogenannten *Plain Ware*, in Er-

¹⁴⁶⁷ Efe 2007: 60–61.

¹⁴⁶⁸ Efe 2007: 49. S. hierzu auch Peltenburg 2000: 184–193, 198–200; Pernicka 2001: 369–372.

¹⁴⁶⁹ Efe 2007: 55, 59–60. S. in diesem Kontext auch Efe 2003b: 93–96; Rahmstorf 2006: 79–81; Rutter 2008: 461–470; Ivanova 2008: 205–207; Bobokhyan 2006, *passim*; Blum *et al.* 2012: im Druck.

	Troy	Küllüoba		Demircihüyük	Beycesultan	Tarsus	
		East	West				
MBA	V			I-IV	V		
Late EB III	IV	II A		Hiatus	VI	Late EBA III	
		II B			VII		
		II C			VIII		
		II D			XI-IX	Early EBA III	
III	III A	XII					
	III B	Hiatus					
	III C	XIIIa					
Early EB III	IIb	IV A			Q	XIIIc	EBA II
	IIa-I (late)	IV B			O-P	XIV	
EB II	I (middle)	IV C			M-N		
		IV D			L	XV	
		IV E			K		
		IV F	H-I	XVI			
		IV G	1				
				G	XVIII-XVII		
EB I	I (early)	V A		F	EBA I		
		V B	2	E			
		V C	3	D			
			4				
Transitional period into the EBA	Kumtepe IB		5	Hiatus			

Abb. 139
Vergleichende Chronologie der anatolischen Früh- und beginnenden Mittelbronzezeit entsprechend Efe 2007 (nach Efe 2007: Fig. 18).

scheinung treten (cf. Tab. 40):¹⁴⁷⁰ »The plains of Konya and Akşehir, the Afyon region and the upper Sakarya plains, and finally the plains of Eskişehir and İznik/İnegöl, one after another, reflect an early concentration of this ware, suggesting the geography across which the ›caravan route‹ between Syro-Cilicia and the Troad probably emerged. Influence from this caravan route eventually found its way through inter-connecting valleys and plains both to the Aegean coastline and to central Anatolia.«¹⁴⁷¹ Unmittelbare Querverbindungen – und hier vor allem zwischen Küllüoba und Troia – eröffnen sich zudem anhand vergleichsweise kleiner, amphoroider Gefäße,¹⁴⁷² bauchiger Henkelkrüge mit am Gefäßkörper ansetzenden Horizontal- oder Vertikalhenkeln¹⁴⁷³ sowie Depasbechern; Typvertreter letztgenannter Gefäßgattung stellen rund 7 % des in Küllüoba für den frühen Abschnitt von Stufe FBZ III dokumentierten Keramikaufkommens,¹⁴⁷⁴ wobei die jüngeren Exemplare, analog den in Tarsus und Troia aufgenommenen Fund-

¹⁴⁷⁰ Efe 2007: 55 u. Fig. 11a, 17b.

¹⁴⁷¹ Efe 2007: 58–59. S. hierzu auch Blegen *et al.* 1951: 19–20, 120.

¹⁴⁷² Cf. Efe 2007: 55 u. Fig. 11b.

¹⁴⁷³ Dazu s. Efe 2007: 55 u. Fig. 8–9.

¹⁴⁷⁴ Efe 2007: 55 u. Fig. 12a–d.

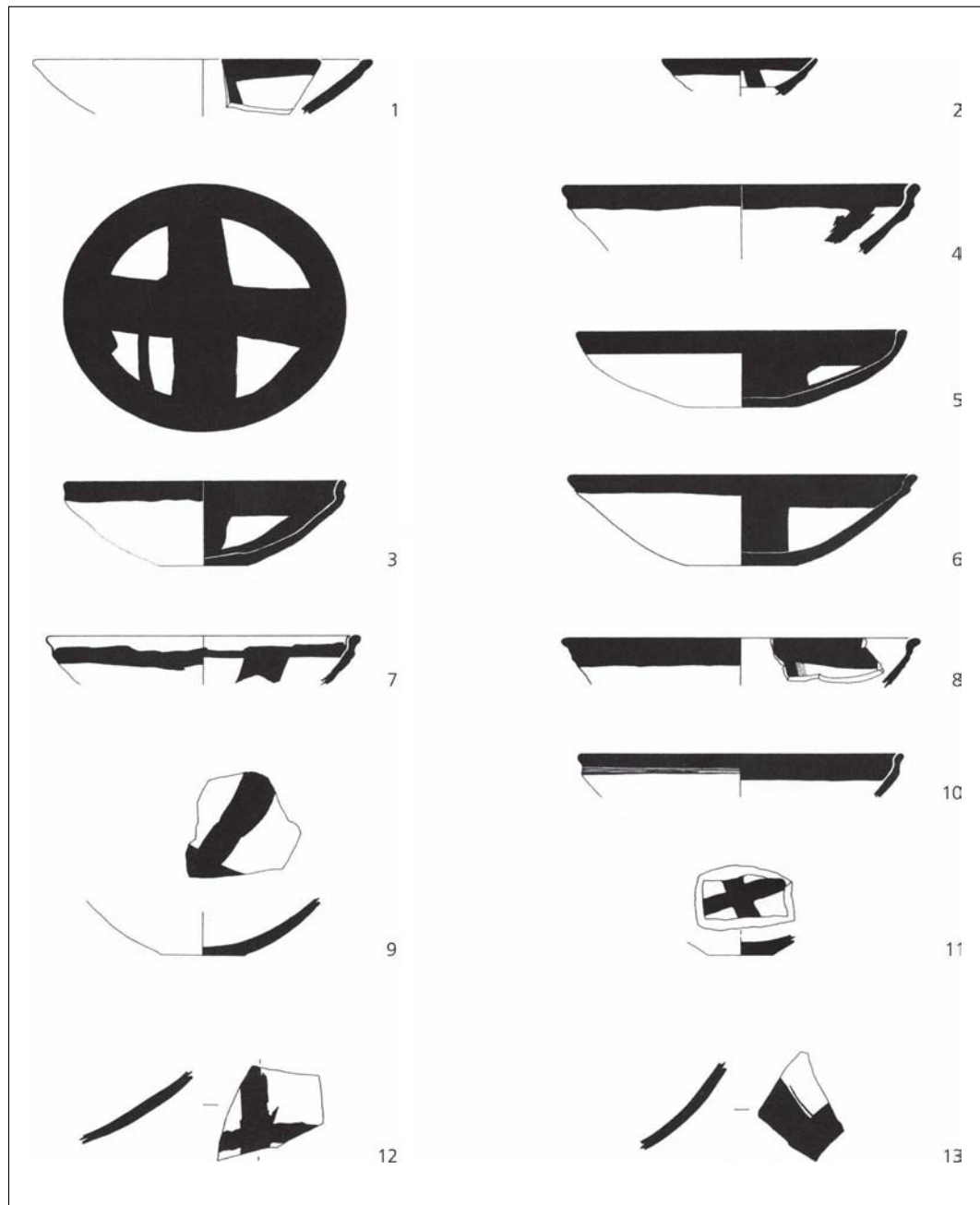


Abb. 140
Kilisetepe, *Red cross*
bowls der Phasen Vf
und IVb/IIIa (Symington
2007: Fig. 374.349–
351, 375.352–359,
386.564–565).

stücken, bei geschwungener oder geradlinig verlaufender Wandung eine Tendenz zu kleineren, gedrungeneren Formen entwickeln.¹⁴⁷⁵ Dem Verlauf der *Great Caravan Route* entsprechend gestaltet sich darüber hinaus die räumliche Verteilung der »Syrischen« Flaschen, die ausgehend

¹⁴⁷⁵ Efe 2007: 55. Cf. Maran 1998: 418.

von ihrem Ursprungs- und Hauptverbreitungsgebiet am oberen Euphrat – entweder als Import oder lokale Imitation – über Zentralanatolien bis in die Ägäis und Südostbulgarien streuen.¹⁴⁷⁶ Einen unmittelbaren Hinweis auf Handelsbeziehungen zwischen dem westlichen Zentralanatolien und dem vorderasiatischen Raum sah Efe zudem auf Grundlage des Vorkommens von Stempelsiegeln und Stempelrollern an Fundorten wie Tarsus, Konya/Karahüyük und Küllüoba gegeben,¹⁴⁷⁷ typologisch übereinstimmende Idole aus Marmor und Knochen dagegen stellten eine direkte Verbindung zwischen Troia, und somit dem nordwestanatolischen Raum, und Küllüoba her.¹⁴⁷⁸ Als Reaktion auf verschiedene gesellschaftliche Veränderungen sei gegen Ende von FBZ III, das Efe zeitlich mit Tarsus EB III, Beycesultan VII/VI und Troia IV ansetzt (Abb. 139),¹⁴⁷⁹ mit einem Bedeutungsverlust der *Great Caravan Route* und einer erneuten Verlegung der Handelswege zu rechnen: »Towards the end of the EB III [...] inland western Anatolia appears to have bonded culturally, as well as politically, with central Anatolia, while sites along the entire coastline, on the other hand, became much more part of the Aegean realm. Maritime commerce between the Aegean realm and the southern shores of Anatolia took on increased significance. It is most likely that developments in shipping and navigation, as well as new political alliances, paved the way for the new trade network of the Assyrian Colony period.«¹⁴⁸⁰ Offen bleibt, weshalb das – ansonsten durchaus schlüssige – verkehrsgeographische Konzept Efes keine inhaltliche Erweiterung bis in die von ihm der anatolischen MBZ zugerechnete Periode Troia V hinein erfuhr,¹⁴⁸¹ scheint sich doch das Verbreitungsgebiet verschiedener der für diesen Zeithorizont charakteristischen Gefäßgattungen, darunter etwa auch das der im betreffenden Abschnitt neu auftretenden *Red cross bowls*, mit demjenigen der Depasbecher, »Syrischen« Flaschen etc. und somit dem Verlauf der *Great Caravan Route* im wesentlichen zu decken; Grund hierfür dürfte vor allem in der vorgeschlagenen Parallelisierung des fünften Siedlungsabschnitts von Troia mit Beycesultan V und den mittelbronzezeitlichen Phasen des Demircihüyük zu suchen sein¹⁴⁸² sowie dem darüber herbeigeführten chronologischen Anschluß an das karumzeitliche Kültepe.¹⁴⁸³

Gerade jedoch in dieser Hinsicht könnte dem im Südosten Anatoliens, in Kilikien gelegenen Siedlungsplatz Kilise Tepe eine Bedeutung als weiteres Bindeglied zwischen Vorderasien, zentralem und nordwestlichem Anatolien zukommen,¹⁴⁸⁴ finden sich hier am Übergang von der frühen zur mittleren Bronzezeit neben verschiedenen Arten von Kleinfunden, wie etwa Spinnwirteln, sekundär bearbeiteten Scherben und Klopsteinen,¹⁴⁸⁵ zahlreiche Gefäßformen wieder,

¹⁴⁷⁶ Efe 2007: 56 u. Fig. 13. Ergänzend dazu s. Efe 2006: 24; Rahmstorf 2006: 55–57 u. Abb. 4, 5; Bachhuber 2009: 8 u. Fig. 5.

¹⁴⁷⁷ Dazu s. Efe 2007: 58. S. in diesem Zusammenhang auch Rahmstorf 2006: 62–67.

¹⁴⁷⁸ Cf. Efe 2007: 58 u. Fig. 14.

¹⁴⁷⁹ Dazu s. Efe 2007: Fig. 18.

¹⁴⁸⁰ Efe 2007: 60. Cf. Mellink 1986: 152.

¹⁴⁸¹ Cf. Efe 2007: Fig. 18.

¹⁴⁸² S. hierzu jedoch Efe 1994: 98.

¹⁴⁸³ Efe 2007: Fig. 18. S. hierzu auch Efe 1994: Tab. 2.

¹⁴⁸⁴ Postgate 2007c: 9–13.

¹⁴⁸⁵ Cf. Collon/Symington 2007a: 454–459; Collon/Symington 2007b: 564; Symington/Collon 2007: 483–488. Dazu s. auch die entsprechenden Abschnitte in Kapitel 5 »Kleinfunde«.

Period	Approx. dates	NW corner		Church	I-M14		East slope (Q-S)	N12a	Q10a
					I/J14	K14a			
Byzantine	AD 400–1200	I	e	1	1 Late		E1 (S18)	1	Phase 1
Late Roman			d						
			c						
			b						
Roman	AD 400–300 BC	I	a		1 Early		E2a–c		Phase 2
Hellenistic							E3a–b		
							E4a–c		
Iron Age	1150–650 BC	II	g, h		2k	2 upper	E5a–b		Phases 3–4
			f		2 late	2 middle			
			e						
Late Bronze	1275–1150 BC	II	d		2 early	2 lower	E5c–d		
			c						
	1500–1275 BC	III	a/b		3				
			e						
			d						
Middle Bronze	2000–1500 BC	IV	a–c						
			b						
Early Bronze III	2400–2000 BC	V	a						
			e						
			f						
Early Bronze II	2700–2400	V	g						
			h						
			i						
			j						
			k						
			l						

Abb. 141
Kilise Tepe, stratigraphische und chronologische Sequenz (Postgate 2007d: Fig. 473).

und das vor allem im Typen- und Variantenspektrum der Schalen, die in klassifikatorischer Hinsicht solchen der ausgehenden Periode Troia IV sowie des frühen Abschnitts von Troia V unmittelbar zur Seite zu stellen sind. Der troianischen Form Sc 11.2 (Schalen mit Z-förmigem Profil und nach außen ziehender, leicht verjüngter Randlippe)¹⁴⁸⁶ vergleichbare Fundstücke finden sich in der Stufe FBZ III zugerechneten Schichtablagerungen der Phase Vf/g,¹⁴⁸⁷ solche der Variante Sc 11.5 (Schalen mit Z-förmigem Profil und nach außen ziehender, gerundeter Randlippe) Vf3 und Vf3/4, ebenfalls FBZ III;¹⁴⁸⁸ Schalen mit Z-förmigem Profil und verdicktem, nach außen flach abgestrichenem Rand (Sc 11.6)¹⁴⁸⁹ treten am Kilise Tepe stratigraphischen Zusammenhängen der ebenfalls FBZ III-zeitlichen Phase Ve/f in Erscheinung, im Inventar des Abschnitts Vf/g sind Schalen mit leicht einziehendem Rand und nach oben ausgezogener, verdickter und gerundeter Randlippe (Sc 14) vertreten,¹⁴⁹⁰ in demjenigen von Siedlungsphase Vf

¹⁴⁸⁶ Cf: Kapitel 4.3.2.1 »Schalen und Schüsseln«.

¹⁴⁸⁷ Symington 2007a: 309 Nr. 319 u. Fig. 373.319.

¹⁴⁸⁸ Symington 2007a: 309 Nr. 318 u. Fig. 373.318, Nr. 314 u. Fig. 372.314, 309 Nr. 316 u. Fig. 372.316.

¹⁴⁸⁹ Symington 2007a: 310 Nr. 352 u. Fig. 375.352.

¹⁴⁹⁰ Symington 2007a: 309 Nr. 320 u. Fig. 373.320.

solche mit leicht einziehendem Rand und nach unten ausgezogener, gerundeter Randlippe (Sc 15).¹⁴⁹¹ Entsprechend der stratigraphischen Entwicklung des Fundplatzes ist das Aufkommen von *Red cross bowls* mit Phase Vf anzusetzen.¹⁴⁹² Vertreter dieser Artefaktklasse sind ausnahmslos scheibengedreht, wobei ein flacher scheibengedrehter Schalentyp mit Karinierung dominiert.¹⁴⁹³ Das in roter Farbe zumeist nur sehr flüchtig auf die Oberflächen aufgetragene Kreuzmotiv – ein Umstand den die Bearbeiterin Dorit Symington auf eine Fertigung der Gefäßgattung in Massenproduktion im Sinne einer »ordinary table ware« zurückführt¹⁴⁹⁴ – befindet sich bis in Phase Ve bei nur wenig variierenden Profilen stets auf den äußeren Seiten der Schalen (Abb. 140.1–11),¹⁴⁹⁵ lediglich bei zwei Exemplaren, den zudem einzigen *Red cross bowls* aus Fundschichten der Phasen IVb/IIIa befindet sich dies sowohl im Inneren als auch auf der Außenseite des Gefäßkörpers (Abb. 140.12–13).¹⁴⁹⁶ In kulturhistorischer Hinsicht werden obengenannte Schalentypen und deren Varianten einschließlich der kontemporären *Red cross bowls* der Phasen Vf und Ve von Symington dem Ende von Stufe FBZ III bzw. dem Übergang zur MBZ zugewiesen,¹⁴⁹⁷ worüber sich eine adäquate Angleichung an die stratigraphische Sequenz Troias, und hier im speziellen an den späten Abschnitt von Troia IV und die frühen bis mittleren Phasen von Periode Troia V, ergibt.¹⁴⁹⁸ Nicht zu überzeugen vermag hingegen die von Nicholas Postgate für die Phasen Vf und Ve des Kilise Tepe angesetzte Zeitspanne von 2400 bis 2000 v. Chr.,¹⁴⁹⁹ da deren Fundmaterial keinesfalls dazu in der Lage ist, stellvertretend für die Stufe FBZ III in ihrer Gesamtheit zu stehen (Abb. 141); denn mit stark akzentuiert karinierten Schalen und den gegebenenfalls frühesten Vertretern von *Red cross bowls* wird inhaltlich lediglich ein Teil von dieser abgedeckt, und zwar der allerspäteste, bereits zur Stufe MBZ überleitende Abschnitt von Phase FBZ IIIb, der kaum vor 2100/2050 v. Chr. anzusetzen sein dürfte.¹⁵⁰⁰

8.3 Bewertung

Werden die archäologisch nachweisbaren Außenbeziehungen Troias im Zeitraum der Perioden Troia IV und Troia V zum Maßstab der Bewertung der Intensität des Austauschs mit benachbarten Kulturräumen genommen, so fällt das Urteil besonders im Hinblick auf die Beziehungen zum griechischen Festland, den diesem vorgelagerten Inseln sowie den Kykladen eher negativ aus. Nur wenige bis keine mit einer bestimmten Region oder gar einem einzelnen Fundort in Zu-

¹⁴⁹¹ Symington 2007a: 309 Nr. 312 u. Fig. 372.312.

¹⁴⁹² Entsprechend Symington 2007a: 308–309 u. 310 Nr. 349–359.

¹⁴⁹³ Symington 2007a: 307.

¹⁴⁹⁴ Symington 2007a: 308.

¹⁴⁹⁵ Symington 2007a: 308.

¹⁴⁹⁶ Symington 2007a: 308 u. 328 Nr. 564, 565. Cf. Easton 2002: 338 u. Anm. 427. S. in diesem Zusammenhang auch Kapitel 4.5.1.1 »Bemalungen« und 4.7.3 »Stratigraphische Verteilung der Dekorationen«.

¹⁴⁹⁷ Symington 2007a: 295, 308.

¹⁴⁹⁸ Cf. Kapitel 7.1 »Relative Chronologie«.

¹⁴⁹⁹ Postgate 2007d: 33 u. Fig. 473. Dazu s. auch Kuniholm *et al.* 2007: 619–623.

¹⁵⁰⁰ Cf. Maran 1998: 415, 426 u. Taf. 80, 83; Manning 1995: 159–160, 172.

sammenhang zu bringende Importstücke sind in den Inventaren des Hisarlık Tepe/Troia enthalten,¹⁵⁰¹ auch treten im Gegenzug nur vereinzelt in (west-)anatolischen und ostägäischen Siedlungsplätzen geläufige Gefäßgattungen, wie etwa Entenaskoi¹⁵⁰² oder geschwungene Depasbecher mit niederem Standfuß oder Standring,¹⁵⁰³ in den ansonsten spezifisch frühhelladischen und frühkykladischen Formenspektren in Erscheinung.¹⁵⁰⁴ Deutlich faßbar ist hingegen eine kulturelle Anbindung an den nordwest-, zentral- und südostkleinasiatischen Raum, zumal seit FBZ IIIa für die feinkeramischen Inventare der zwischen Troia und dem nordsyrisch-mesopotamischen Raum gelegenen Fundorte eine – initial mit der Ausbreitung und Übernahme vorderasiatischer Innovationen in die anatolische Frühbronzezeit in Zusammenhang stehende – typologische Angleichung zu konstatieren ist.¹⁵⁰⁵ Überregionale Querverbindungen eröffnen sich im Falle der Periode Troia IV neben den bereits erwähnten Askoi und Depasbechern vor allem anhand von Schnabelkannen mit unter dem Rand ansetzendem Henkel, Kannen mit abgesetztem schlanken Hals und hinten ausgeschnittener Randpartie (Blegen *et al.* Typ B 23), einhenkligen karinierten Tassen mit abgesetztem Standring (Blegen *et al.* Typ A 36), bauchigen Krügen mit Flügelhenkeln und plastischem Dekor (Blegen *et al.* Typ C 29), anthropomorphen Deckeln und Gefäßen, Schalen mit ausgespartem, gerundetem bis keulenförmig verdicktem Rand (Sc 7 bzw. Blegen *et al.* Typ A 20) sowie mit zweihenkligen Bechern des Typs A 44 gemäß Blegen *et al.*, d. h. einer kürzeren Version des Depasbechers. Im Typensatz der Periode Troia V übernehmen insbesondere Schalen mit stark ausgeprägter Karinierung und Schalen mit Volutenhenkeln die Rolle von Bindegliedern, vor allem jedoch die in ihrem Verbreitungsgebiet von Troia im Nordwesten Anatoliens bis in das Ostjordanland streuenden *Red cross bowls*.¹⁵⁰⁶

In der Troas mit im ganzen acht Siedlungsplätzen vertreten, fallen die Perioden Troia IV und Troia V im Fundbild der westanatolischen Küstenzone und der nordägäischen Inseln bereits auf Höhe des im westlichen Teil der Region Bergama gelegenen Flusses Bakırçay, dem antiken Kaikos, im Grunde aus.¹⁵⁰⁷ Entsprechend gering sind die Gemeinsamkeiten zu der mit Phase IV in etwa kontemporären Belegung¹⁵⁰⁸ des an der Südküste des Golfs von İzmir gelegenen Siedlungsplatzes Liman Tepe,¹⁵⁰⁹ der – dem ausgesprochen wenigen bislang aus dem hier zur Diskussion stehenden Zeitraum vorgelegten Keramik- und Kleinfundmaterial nach zu urteilen – deutlich intensivere Kontakte zum ägäischen Kulturraum zu unterhalten haben scheint als zum (nordwest-)anatolischen.¹⁵¹⁰ Verbindungen zwischen Troia IV und insbesondere dem frühen

¹⁵⁰¹ Cf. Mellaart 1957: 79–80; French 1961: 119; French 1968: 155.

¹⁵⁰² Manning 1995: 88; Maran 1998: 420 u. Taf. 25.1–5, 27.3. Ergänzend dazu s. auch Benzi 1997: 384–390, 393; Sotirakopoulou 1997: 522–538. Cf. Efe 2006: 26.

¹⁵⁰³ S. hierzu etwa Podzuweit 1979: 104–106; Maran 1998: 419, 420 u. Taf. 24.6–8.

¹⁵⁰⁴ Maran 1998: 271–283, 419; Benzi 1997: 386–388.

¹⁵⁰⁵ S. hierzu Rahmstorf 2006: 51–52, 79–84; Efe 2003b: 93–96; Efe 2007: 55, 59–60.

¹⁵⁰⁶ S. in diesem Zusammenhang etwa Mellaart 1957: 74, 84. Cf. Mellaart 1993b: 706 u. Tab. 3; Lloyd/Mellaart 1962: 259–260; French 1968: Fig. 52; Renfrew 1972: 124; Parzinger 1993: 199, 204; Symington 2007a: 308–309; Korffmann 1983b: 292–297 u. Abb. 1; Manning 1995: Anm. 166.

¹⁵⁰⁷ Horejs 2010: 57, 63–65.

¹⁵⁰⁸ S. hierzu etwa Erkanal *et al.* 2009: 303, 305–307. Cf. Şahoğlu 2005: Fig. 2; Kouka 2009: Tab. 8–9.

¹⁵⁰⁹ Erkanal 2008: 180–181 u. Fig. 1–3.

¹⁵¹⁰ Cf. Şahoğlu 2008: 486–491. S. in diesem Zusammenhang auch Efe 2007: 60–61; Şahoğlu 2011: 141–143.

Abschnitt von Troia V zum Fundort Poliochni auf Lemnos,¹⁵¹¹ und hier speziell zur Phase *bruno*, erschließen sich über das parallele Vorkommen von Tellern des Typs A 1 nach Blegen *et al.*,¹⁵¹² verschiedenen Typvertretern von Schalen mit Karinierung¹⁵¹³ und/oder Volutenhenkeln,¹⁵¹⁴ Schnabelkannen und Kannen mit umlaufenden Rillenpaaren am Ansatz eines engen, zylindrischen Halses.¹⁵¹⁵ Eine Synchronisierung des vierten Siedlungsabschnitts von Troia mit Phase IV im Heraion auf Samos ergibt sich etwa auf Grundlage von Depasbechern mit konischem oder geschwungenem Profilverlauf, schlanken, besonders akzentuiert geschwungenen und zum Teil mit einem Bauchknick ausgestatteten Krügen mit Doppelhenkeln,¹⁵¹⁶ Entenaskoi,¹⁵¹⁷ in Barbotinetechnik verzierter Krügen¹⁵¹⁸ und Schalen mit einziehendem Rand,¹⁵¹⁹ in Emporio auf Chios sind es insbesondere Schalen mit einbiegendem verdickten, eckig abgestrichenem Rand, flache Schalen mit Karinierung sowie Deckel der Periode I, die ihre typologische Entsprechung im Fundinventar der Perioden Troia IV und Troia V finden.¹⁵²⁰ Klare Bezüge zum südwestanatolischen Raum ergeben sich über die Kehlrandschalen und *Red cross bowls* der Fundorte Bademağacı¹⁵²¹ und Kusura,¹⁵²² daneben treten verschiedene mit Troia IV und Troia V assoziierte Stilelemente in Fundverbänden der Siedlungsplätze Beycesultan und Aphrodisias in Erscheinung. Im Falle des letztgenannten sind in den Schichtablagerungen der Komplexe II bis I-E der Akropolis (Stufen BA 4 bis MB) einziehende Schalen mit nach innen abgestrichenem Rand und geradwandige Teller mit gerundetem, nach außen umbiegender Rand (*cf.* Sc 3.6 u. Te 2.2)¹⁵²³ ebenso präsent wie Entenaskoi,¹⁵²⁴ geschwungene Depasbecher mit niederem Standfuß oder Standring,¹⁵²⁵ Schnabelkannen¹⁵²⁶ und Töpfe mit leicht einbiegendem, nach innen abgestrichenem Rand (*cf.* To 2.1);¹⁵²⁷ auch in den Phasen IVd–b des unmittelbar benachbarten Siedlungshügels Pekmez Hüyük sind es wiederum die Schalen, die eine Anbindung erlauben.¹⁵²⁸ In Beycesultan, dessen keramische Inventare bereits zu Beginn der Stufe FBZ III zahlreiche typologisch faßbare Übereinstimmungen mit denjenigen Troias aufweisen,¹⁵²⁹ sind die

¹⁵¹¹ Allgemein dazu s. Doulas/Aggelopoulou 1997: 543–552.

¹⁵¹² Dazu s. etwa Bernabò-Brea 1976: Tav. CCLXXVI.1.

¹⁵¹³ *Cf.* Bernabò-Brea 1976: Tav. CCLXXVa, CCLXXVI.21–22.

¹⁵¹⁴ Bernabò-Brea 1976: Tav. CCLXXVIIIa–i, CCLXXIXe u. g.

¹⁵¹⁵ Bernabò-Brea 1976: Tav. CCLXXXVa, CCLXXXVIIId.

¹⁵¹⁶ Dazu s. Maran 1998: 418.

¹⁵¹⁷ *Cf.* Maran 1998: 420 u. Taf. 25.3–5.

¹⁵¹⁸ Dazu s. Manning 1995: 88; Isler 1973: 175.

¹⁵¹⁹ *Cf.* Maran 1998: 418 u. Taf. 29.1–5.

¹⁵²⁰ Hood 1982: 553–555, 564–565, 568–570.

¹⁵²¹ Umurtak 2003: 55–57 u. Fig. 1.6.

¹⁵²² Dazu s. Lamb 1936: 17 u. Fig. 1.1a–c, 1.8; Lamb 1937: 228–230 u. Fig. 14.13.

¹⁵²³ Joukowsky 1986: Fig. 439.7, 425.2.

¹⁵²⁴ Joukowsky 1986: Fig. 425.34. *Cf.* Maran 1998: 420 u. Taf. 25.3–5.

¹⁵²⁵ Joukowsky 1986: 395. *Cf.* Maran 1998: 419 u. Taf. 24.6–8.

¹⁵²⁶ Joukowsky 1986: Fig. 439.1.

¹⁵²⁷ Joukowsky 1986: Fig. 427.1, 5 u. 6.

¹⁵²⁸ S. hierzu beispielsweise Joukowsky 1986: Fig. 442.13.

¹⁵²⁹ Lloyd/Mellaart 1962: 243–263.

AEGEAN	TROAD	INLAND NORTHWESTERN ANATOLIA (PHRYGIAN CULTURAL REGION)			MIDDLE INLAND WESTERN ANATOLIAN CULTURAL REGION			LAKE DISTRICT (LYCIA - PISIDIAN CULTURAL REGION)			
		Troy	Demirchöyük	Küllüoba	Keççaayın	Beycesultan	Afyon	Kusura	Harmanören Cemetery		
Early Cycladic III	V		II A		VI					Late EBA III	2000-1900 BCE
			II B-C		VII-VIII					(Transitional Period into the Middle Bronze Age)	
	IV		II D-E		XI-IX						2200 BCE
Kastri - Lefkandi I	III		III A		XII				VI:2	Early EBA III	2400 BCE
Late EBA II	II d-h		III B			Kaklık ETÇ III graves		A few graves			
	II c				hiatus?				VI:1		
	II b		III C								
Early Cycladic II	II a		IV A		XIIIa		Kusura B		V:3	ETÇ II	
	I k	D-P	IV B		XIIIc-b				V:2		
	I g h i	N-M	IV C		XIV	Karaoglan EB II			V:1		
EBA II (Early)	I f	K-L	IV D								
	I e	I	IV E		XV						
	I d	H	IV F		XVI				IV		
EBA I B	I c	G			XVII		Kusura A		III	ETÇ I	2700 BCE
	I b	F	2								
Early Cycladic I		E			XVIII				II		
	I a	D			XIX						
EBA I A	Kumtepe IB		3						I	Transition Period into the EBA	3000-2900 BCE
			4				Kaklık Mevkil				3200 BCE
			5								

Abb. 142
Vergleichende Chronologie des west- und inneranatolischen Raums gemäß Efe und Türkteki (Efe/Türkteki 2011: 190).

Phasen XI–VIII Troia IV zur Seite zu stellen (cf. Abb. 143), die Phasen VII–VIa Troia V,¹⁵³⁰ wobei im jüngsten Abschnitt mit dem Aufkommen entwickelter *Bead-rim bowls* bereits Formen vertreten sind, die nach Troia VI Früh überleiten.¹⁵³¹ Zu den überregional verbindenden Elementen des früheren der beiden Siedlungshorizonte sind ein- und doppelhenklige Tassen zu zählen,¹⁵³² »Kantharoi« der Form 37,¹⁵³³ die ihre formale Entsprechung im Typ A 37 von Blegen *et al.* finden,¹⁵³⁴ Kannen mit hinten ausgeschnittener Randzone des Typs 27 nach Lloyd und Mellaart,¹⁵³⁵ Kannen mit kleblattförmiger Mündung,¹⁵³⁶ Entenaskoi¹⁵³⁷ und geschwungene Depasbecher mit niederem Standfuß oder Standing,¹⁵³⁸ Schnabelkannen,¹⁵³⁹ Henkelkrüge mit ovalem Körper und abgesetztem ausladenden, nach innen abgestrichenem Rand

¹⁵³⁰ Lloyd/Mellaart 1962: 258–260. S. diesbezüglich auch Mellink 1965: 126; Easton 1976: 165; Yakar 1985: 119; Efe 1988: Abb. 98; Efe/Türkteki 2011a: 190.

¹⁵³¹ Dazu s. beispielsweise Lloyd/Mellaart 1962: Fig. P65.10–11. Cf. Pavúk 2005: 260–263.

¹⁵³² Lloyd/Mellaart 1962: Fig. P50.38–48, P55.34–42.

¹⁵³³ Lloyd/Mellaart 1962: 259.

¹⁵³⁴ Cf. Blegen *et al.* 1951: 126.

¹⁵³⁵ Lloyd/Mellaart 1962: 251 u. Fig. P51.3–5. S. hierzu etwa auch Blegen *et al.* 1951: Fig. 162.37881.

¹⁵³⁶ Lloyd/Mellaart 1962: Fig. P51.6–7 u. P56.23.

¹⁵³⁷ Lloyd/Mellaart 1962: 251 u. Fig. P53.1–2 u. P56.1, 8.

¹⁵³⁸ Lloyd/Mellaart 1962: Fig. P51.17, 20–21 u. P55.46.

¹⁵³⁹ Lloyd/Mellaart 1962: Fig. 53.15.

MAINLAND GREECE	TROAD	INLAND NORTHWESTERN ANATOLIA (PHRYGIAN CULTURAL REGION)			MIDDLE INLAND WESTERN ANATOLIAN CULTURAL REGION			LAKE DISTRICT (LYCIA - PISIDIAN CULTURAL REGION)			
	Troy	Demircihöyük	Küllüoba	Keçiyayın	Beycesultan	Afyon	Kusura	Harmanören Cemetery	Karataş-Semayük		
MH I	V		II A		VII-VI		•			Early MBA	2000 BCE
FH III	IV		II B-C		XI-VIII					Late EBA III	2200 BCE
			II D-E								
FH II / FH III	III		III A		XII				VI.2	Early EBA III	2400 BCE
FH II	II d-h		III B			Kaklik EBA III graves		A few graves			
	II c				hiatus?				VI.1		
	II b		III C								
FH II	II a		IV A		XIIIa		Kusura B		V.3	EBA II	
	I k	D-P	IV B		XIIIc-b				V.2		
	I g h i	N-M	IV C		XIV	Karaoglan EB II			V.1		
	I f	K-L	IV D		XV				IV		
	I e	I	IV E		XVI						
	I d	H	IV F								
FHI	Ic	G			XVII		Kusura A		III	EBA I	2700 BCE
	Ib	F									
		E	2		XVIII				II		
	Ia	D			XIX						
FN	Kumtepe IB		3						I	Transition Period into the EBA	3000-2900 BCE
			4			Kaklik Mevki					
			5								3200 BCE

Abb. 143
Zeitliche Stellung west- und zentralanatolischer Fundorte; die im Hinblick auf die Perioden Troia IV und Troia V gegenüber Efe/Türkteki 2011: 190 veränderten Felder sind grau hinterlegt (nach Efe/Türkteki 2011: 190; Manning 1995: Fig. 2; Maran 1998: Taf. 83).

(cf. He 8),¹⁵⁴⁰ flache, scheibengedrehte Teller (Blegen *et al.* Typ A 2)¹⁵⁴¹ sowie einziehende Schalen vom Typ 45 (cf. Blegen *et al.* Typ A 16) und Kehlrandschalen.¹⁵⁴² Kennzeichnend für den mit Phasen VII–VIa erfaßten, zur MBZ überleitenden Horizont sind in erster Linie *Red cross bowls*,¹⁵⁴³ Schalen mit Volutenhenkeln,¹⁵⁴⁴ karinierte und einziehende Schalen,¹⁵⁴⁵ darunter etwa auch Exemplare der für Troia IV und das frühe Troia V charakteristischen Schalen mit ausgespartem, gerundetem bis keulenförmig verdicktem Rand (Sc 7 bzw. Blegen *et al.* Typ A 20),¹⁵⁴⁶ sowie einhenklige Krüge mit abgesetztem Hals und leicht ausbiegender verdickter, nach außen abgestrichener Randzone (cf. Kr 1).¹⁵⁴⁷ Im Übergangsbereich von Nordwest- nach Zentralanatolien sind es insbesondere die Inventare der Phasen IIE–IIA von Küllüoba (cf. Abb. 143), die eine Verbindung zwischen Troia einerseits und Siedlungen wie Tarsus und Ki-

¹⁵⁴⁰ Lloyd/Mellaart 1962: Fig. P56.24–25.

¹⁵⁴¹ Lloyd/Mellaart 1962: 249 u. Fig. P52.1–2.

¹⁵⁴² S. hierzu beispielsweise Lloyd/Mellaart 1962: Fig. P50.4–27, 29–32 u. P52.4–12, 16 sowie P55.1–33.

¹⁵⁴³ Lloyd/Mellaart 1962: 259 u. Fig. P57.26, 31 u. P64.23, 26 sowie P65.2–3.

¹⁵⁴⁴ Lloyd/Mellaart 1962: Fig. P61.1. Dazu s. auch Sperling 1976: Pl. 81.908; Blegen *et al.* 1951: 241, 249–250, 257, 290 u. Fig. 248.15, 249.1, 249.3, 251.19, 251.21, 258.10; Bernabò-Brea 1976: Tav. CCLXVIIIa–i, CCLXIXe u. g.

¹⁵⁴⁵ Dazu s. etwa Lloyd/Mellaart 1962: Fig. P57.1–9, 13–22, 25 u. Fig. P58.1–2, 5–6, 10–32 sowie P63.6–13, 17–38 u. P64.10–26 u. P65.16, 19–21 u. P66.1–9, 16.

¹⁵⁴⁶ Lloyd/Mellaart 1962: Fig. P57.11–12.

¹⁵⁴⁷ Lloyd/Mellaart 1962: Fig. P71.11.

lise Tepe im südostanatolischen Raum andererseits herzustellen vermögen; belegt sind Depasbecher in verschiedener typologischer Ausprägung,¹⁵⁴⁸ bauchige Henkelkrüge mit am Gefäßkörper ansetzenden Horizontal- oder Vertikalhenkeln,¹⁵⁴⁹ Schalen mit randlicher Verstärkung und vertikal ansetzenden Henkeln, sogenannte *teapots* (cf. Blegen *et al.* Typ B 9)¹⁵⁵⁰ und *Red cross bowls* im jüngsten Belegungshorizont.¹⁵⁵¹ Ein dem im wesentlichen vergleichbarer Fundanfall ist für Phase V des nahe Kütahya gelegenen Siedlungshügels Seyitömer Hüyük zu verzeichnen (cf. Abb. 143),¹⁵⁵² das Vorkommen von *Red cross bowls* und Depasbecher zudem für den nur wenige Kilometer südwestlich von diesem zu lokalisierenden Fundplatz Köprüören.¹⁵⁵³ In Zentralanatolien sind es insbesondere Referenzorte wie Alişar Hüyük (Periode 5)¹⁵⁵⁴ und Karaoğlan (Phasen IV–III),¹⁵⁵⁵ Gordion (Periode II, Phasen XI–XV),¹⁵⁵⁶ Polatlı (Periode II, Phasen 11–12)¹⁵⁵⁷ und das karumzeitliche Kültepe (Phasen IV–II),¹⁵⁵⁸ die anhand von *Red cross bowls* mit Troia V zeitlich wie inhaltlich in Relation zu setzen sind.¹⁵⁵⁹ Zu den relevanten Bezugspunkten im Südosten Kleinasiens sind die Siedlungshügel Yümük Tepe/Mersin (Phase XIB)¹⁵⁶⁰ und Kilise Tepe (Phasen Vf und Ve) zu zählen, da sich für nicht wenige der in den betreffenden Fundinventaren enthaltenen Schalen und *Red cross bowls* adäquate Vergleichsstücke im zentral- und nordwestanatolischen Raum aufzeigen lassen,¹⁵⁶¹ am Gözlü Kule/Tarsus (Perioden EBA III und »Middle Bronze Age Transitional«)¹⁵⁶² schließlich sind es insbesondere flache scheibengedrehte Teller,¹⁵⁶³ geschwungene Depasbecher mit niederem Standfuß oder Standring,¹⁵⁶⁴ verschiedene einziehende oder karinierte Schalen,¹⁵⁶⁵ Kannen mit kleeblattförmiger Mündung,¹⁵⁶⁶ *teapots*¹⁵⁶⁷ und wiederum *Red cross bowls*,¹⁵⁶⁸ die ihre direkten Parallelen im Typensatz der Perioden Troia IV und Troia V finden.

¹⁵⁴⁸ Efe 2007: 55 u. Fig. 12a–d.

¹⁵⁴⁹ Dazu s. Efe 2007: 55 u. Fig. 8–9.

¹⁵⁵⁰ Efe/Türkteki 2011a: 221. Cf. Efe 1994: 16; Kull 1988: 141–146.

¹⁵⁵¹ S. hierzu etwa Inv.Nr. AA–AB/18.2/9 (Pers. Mitt. Prof. Dr. Turan Efe, 15.08.2010).

¹⁵⁵² Bilgen 2011: 211. Cf. Efe/Türkteki 2011b: 221.

¹⁵⁵³ Dazu s. etwa Mellaart 1958: Fig. 1; Lloyd/Mellaart 1962: 254; French 1968: Fig. 27i, 50.

¹⁵⁵⁴ Cf. Mellaart 1957: 65.

¹⁵⁵⁵ Dazu s. Lloyd/Mellaart 1962: 254; Mellaart 1954: 209; Mellaart 1993b: 692; French 1968: Fig. 50, 52.

¹⁵⁵⁶ Gunter 1991: 9, 13, 102–103 u. Tab. 1.

¹⁵⁵⁷ Lloyd/Gökçe 1951: Fig. 5 u. 13.12–14. Cf. Mellaart 1954: 209; Mellaart 1957: 65; Mellaart 1958: 31 Anm. 248; French 1968: 49 u. Fig. 50–52; Korfmann 1983b: 293.

¹⁵⁵⁸ Cf. Mellaart 1957: 71; Emre 1989: 112–119.

¹⁵⁵⁹ Ergänzend dazu s. French 1968: Fig. 52; Korfmann 1993b: Abb. 1.

¹⁵⁶⁰ Garstang 1953: 211.

¹⁵⁶¹ Symington 2007a: 307–308, 317.

¹⁵⁶² Goldman 1956: 61, 64. S. hierzu auch Mellaart 1957: 71; Mellink 1989: 324–329.

¹⁵⁶³ Goldman 1956: 131 u. Pl. 265.413, 265.418.

¹⁵⁶⁴ Goldman 1956: 131 u. Pl. 265.484, 265.483. Cf. Podzuweit 1979: 104–106; Maran 1998: 418–419 u. Taf. 24.6–8; Efe 2007: 55.

¹⁵⁶⁵ Dazu s. etwa Goldman 1956: 135–139 u. Pl. 267.430, 267.440, 267.442, 288.800, 289.802, 288.810, 353i–k, 353.384, 353.431, 353.435.

¹⁵⁶⁶ Goldman 1956: Pl. 270.555, 271.535.

¹⁵⁶⁷ Goldman 1956: Pl. 297.868–297.872.

¹⁵⁶⁸ Goldman 1956: 164 u. Pl. 289.813. Cf. Mellaart 1957: Anm. 36.

Der spezifischen Konstellation der für den Zeitraum der Perioden Troia IV und Troia V auf Grundlage eines umfangreichen Vergleichsmaterials im kleinasiatischen Kulturbereich aufzuzeigenden Querverbindungen wurde inhaltlich und zeitlich bislang am ehesten das 1988 von Efe aufgestellte Schema zur vergleichenden Chronologie Anatoliens gerecht (cf. Abb. 126),¹⁵⁶⁹ nicht zuletzt infolge seiner Kompatibilität mit den von Manning 1995 und 1997 sowie von Maran 1998 für den ägäischen und festlandgriechischen Raum entwickelten Systemen (cf. Abb. 131, 137).¹⁵⁷⁰ Ein im Jahr 2011 von Efe und Murat Türkteki vorgestelltes, im wesentlichen größere Fundorte mit langen stratigraphischen Sequenzen in West- und Zentralanatolien zusammenführendes Chronologiegerüst verfolgt einen vergleichbaren zeitlichen Ansatz (Abb. 142),¹⁵⁷¹ bedarf jedoch vor dem Hintergrund der im vorigen dargelegten neuen Grabungsergebnisse zu Troia IV und Troia V geringfügiger Modifikation (Abb. 143): Mit einer Stellung in Phase FBZ IIIb ist der vierte Siedlungsabschnitt des Hisarlık Tepe/Troia dem Ende der anatolischen Frühbronzezeit zuzuweisen und über eine inhaltliche Nähe zu Fundkomplexen wie Lerna IV Phasen 2–3, Phylakopi I und Pevkakia MB Phase 2 entsprechend parallel mit dem Hauptteil von Stufe FH III;¹⁵⁷² der Periodenbeginn ist um 2200/2150 v. Chr. festzusetzen,¹⁵⁷³ das Ende um 2000–1960/1950 v. Chr.¹⁵⁷⁴ Das Auftreten von Schalen mit Volutenhenkeln und vor allem von *Red cross bowls* zu Beginn von Troia V markiert in kultureller Hinsicht den Übergang zur Stufe MBZ; die inhaltliche und typologische Nähe früher Troia V-zeitlicher Fundinventare zu denjenigen der vorhergehenden Periode Troia IV, auf Grundlage derer Manning die frühen Phasen des Siedlungshorizonts, d. h. *Troy V Early* in der von Blegen *et al.* vorgegebenen Definition,¹⁵⁷⁵ noch in Phase FBZ IIIb ansiedelte, während er die späteren, bis 1760/1750 v. Chr. reichenden Abschnitte, also *Troy V Middle* und *Troy V Late*, bereits in der mittleren Bronzezeit verortet betrachtete,¹⁵⁷⁶ ist auf eine kontinuierliche Entwicklung des Töpfereiwesens mit entsprechend langen Laufzeiten zurückzuführen.¹⁵⁷⁷

¹⁵⁶⁹ Wie auch Maran 1998: 416.

¹⁵⁷⁰ Manning 1995: 88; Manning 1997a: 513; Manning 1997b: 150–164; Maran 1998: 418–421, 424–425. Cf. Andreou *et al.* 1996: 538–539 u. Tab. 1.

¹⁵⁷¹ Efe/Türkteki 2011a: 190.

¹⁵⁷² Maran 1998: 419 u. Taf. 25.1–2, 27.3. S. diesbezüglich auch Manning 1995: 87.

¹⁵⁷³ Cf. Manning 1995: 159–160, 172; Manning 1997a: 511; Maran 1998: 415, 426.

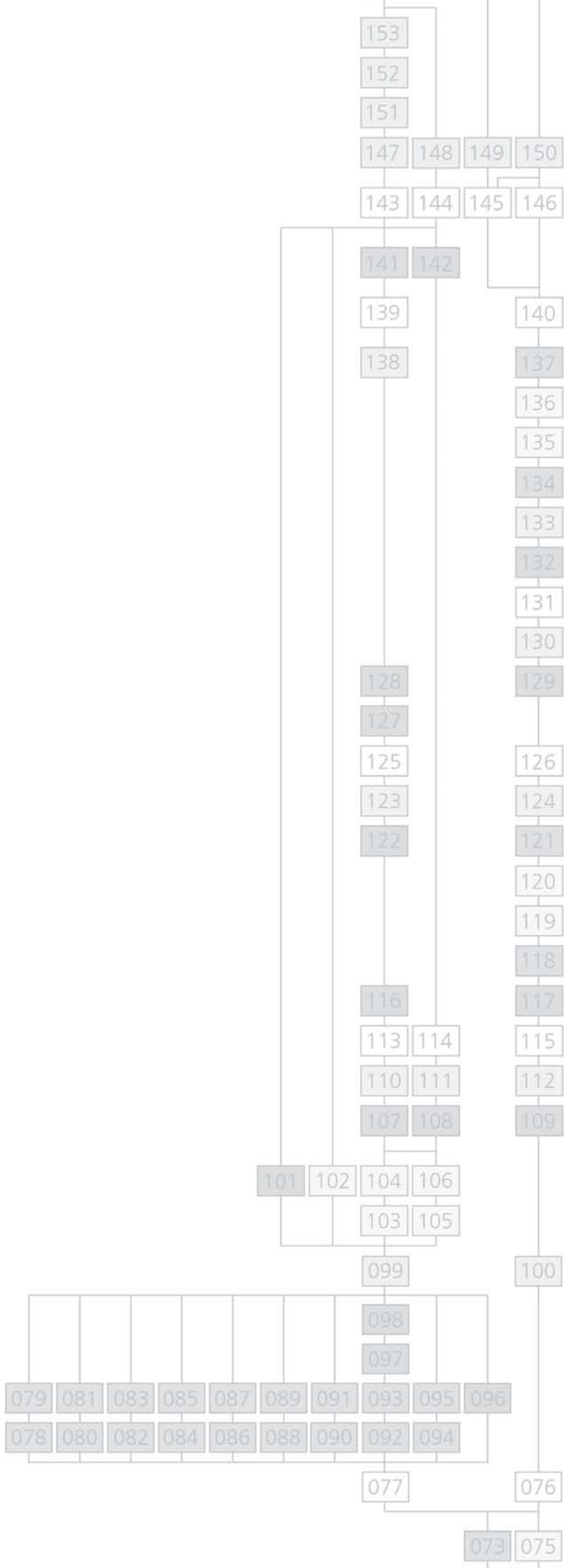
¹⁵⁷⁴ S. hierzu auch Kapitel 7.2 »Absolute Chronologie«. Cf. Manning 1997a: 511, 513, 521 u. Fig. 9–10. S. hierzu auch Manning 2010: 20–24 u. Tab. 2.2.

¹⁵⁷⁵ Cf. Kapitel 7.1 »Relative Chronologie«.

¹⁵⁷⁶ Manning 1997a: 521.

¹⁵⁷⁷ Dazu s. Kapitel 4.7.4 »Stratigraphische Auswertung der Keramik«. Cf. Caskey 1986: 21–26.

Zusammenfassung |



Trotz mannigfacher Innovationen insbesondere in den Sektoren Technologie und Produktion schloß der vierte Abschnitt der Besiedlung des Hisarlık Tepe/Troia ohne erkennbare Unterbrechung an die vorhergehende Periode Troia III an, in gleicher Weise ist Troia V – zumindest noch zu Beginn seiner kulturellen Entwicklung – als Fortführung von Troia IV zu betrachten.

Ausgehend vom architektonischen Befund stellt sich Troia IV als eine in sich geschlossene, durch verschiedene schmale Straßen und Gassen systematisch gegliederte Siedlungsanlage mit zahlreichen, bisweilen zu größeren Einheiten zusammengefaßten Gebäudekomplexen dar (cf. Kapitel 2 u. 3). Wenngleich eine deutliche Neuorientierung zu konstatieren ist, unterschied sich die grundsätzliche Konzeption der vierten Ansiedlung im ganzen nur wenig von derjenigen der Periode Troia III, wobei die Konstruktion der Gebäude einem festen Grundschema gefolgt zu sein scheint: Über einem zwischen 50–70 cm breiten, nur wenige Lagen hohen Streifenfundament aus größeren plattigen Steinen errichtete man mit Hilfe grob bearbeiteter Bruchsteine oder ungebrannter Lehmsteine entsprechend breite Mauern und Wände, die in einer weiteren Stufe des Ausbaus mit einem dicken Verputz aus Lehm Mörtel und zumindest auf der Rauminnenseite mit einem flächendeckenden Anstrich aus feinem Kalkmörtel versehen wurden. In dieser Weise entstanden vergleichsweise lange, aus bis zu vier separaten Bereichen mit je einem Haupt- und einem Vorraum bestehende Gebäude mit einer gemeinsamen trennenden Hauswand, auf der die Flachdächer aus Lehm von beiden Seiten her auflagen. Zu den markantesten Neuerungen der Periode Troia IV ist die Einführung des Kuppelofens zu zählen (Abb. 144). Diese konnten sich sowohl innerhalb wie außerhalb eines Gebäudes befinden und standen häufig links oder rechts des Eingangs. Mit der zumindest teilweisen Umstellung von einfachen offenen Herdstellen auf geschlossene Kuppelöfen war zwangsläufig eine neue Sitte der Nahrungszubereitung verbunden. Abgesehen davon, daß die bisher gebräuchlichen Kochgefäße mit Standfüßen zugunsten flachbodigen Kochgeschirrs nahezu vollständig abgeschafft wurden, fand die veränderte Art der Ernährung der Bewohner von Troia IV im archäozoologischen Befund ihren Niederschlag: wohl als unmittelbare Reaktion auf sich zunehmend verändernde Klima- und Umweltverhältnisse¹⁵⁷⁸ tauchen in den Siedlungsresten scheinbar unvermittelt vergleichsweise große Mengen an Wildtierknochen auf sowie mit einem auffällig hohen prozentualen Anteil Knochen des leicht zu haltenden Schweins; ansonsten bestimmten Schaf, Ziege, Rind und Meerestiere, darunter Muscheln, Fisch, Wasserschildkröten und gelegentlich auch Hummer, den täglichen Speiseplan.¹⁵⁷⁹ Die fünfte Periode der Besiedlung Troias begann mit umfassenden Neubaupraktiken und einer Reorganisation des Siedlungsplans, wenngleich man die in Troia IV begonnene Tradition in der Art des Hausbaus unverkennbar fortsetzte; mit ihren relativ schmalen, nun überwiegend vollständig aus sorgfältig gefügten Kalkbruchsteinen errichteten Mauerzügen, vermitteln die bis zu 10 m langen, im Grundriß teils trapezförmig angelegten Gebäude von Troia V jedoch insgesamt den Eindruck eines zunehmenden technischen Fortschritts und wachsenden Wohlstands im Vergleich zur vorherigen Periode, wobei die Ausdehnung der

¹⁵⁷⁸ Cf. Staubwasser/Weiss 2006: 9–10.

¹⁵⁷⁹ Allgemein dazu s. Uerpmann 2003: 257–259, 262; Uerpmann 2006: 292–293; Çakırlar 2007: 96; Çakırlar 2009: 70–91.



Abb. 144
Areal D 8, Baubefunde
der Periode Troia IV
(Blum 2006: Abb. 5).

Troia V-zeitlichen Ansiedlung in etwa derjenigen von Troia IV entsprochen haben dürfte; Hinweise auf eine zunehmende Monumentalisierung fanden sich indes keine. Als neue Elemente der Innenarchitektur kamen flache, entlang der Innenwände errichtete Bänke auf; Kuppelöfen fanden nach wie vor in fast allen Bauten Gebrauch, ohnehin scheint die Ernährung im wesentlichen derjenigen von Troia IV entsprochen zu haben. Wildtiere traten gegenüber Rind und Schwein jedoch deutlich in den Hintergrund, worin eine wiedergewonnene ökonomische und soziale Stabilität zum Ausdruck kommen mag.¹⁵⁸⁰

Auch bei der handwerklichen Produktion, und hier vor allem im Hinblick auf das Töpfereiwesen der beiden hier zur Diskussion stehenden Zeithorizonte, zeigen sich zu Anfang deutliche Anklänge an diejenige der vorausgehenden Periode Troia III.¹⁵⁸¹ Von wenigen Ausnahmen abgesehen, verwendeten die troianischen Keramikproduzenten zur Herstellung von Gefäßen lokale Tone, denen zur Herabsetzung des bindefähigen Anteils meist Quarz, Kalk, Alkalifeldspat, Quarzit und Glimmerschiefer, in Troia IV dann auch organische Zuschlagstoffe beigemischt wurden (cf. Kapitel 4). Von größeren Henkelkrügen, einem Teil der Kochtöpfe und flachen Backplatten abgesehen, wurde die Troia IV- und Troia V-zeitliche Gefäßkeramik auf der schnell rotierenden Töpferscheibe hergestellt. In der Regel wurden die Stücke hell oxidierend gebrannt, so daß insgesamt gesehen beige, braune und rötliche Farbtöne deutlich überwiegen. Als besonders charakteristisch für die troianische Keramik der Siedlungshorizonte IV und V ist dabei eine in mehreren Varianten auftretende, rotpolierte Warengattung zu betrachten, die sogenannte *Red-coated ware* (cf. Tab. 40). Zumeist zur Herstellung von allgemein als »Tafelgeschirr« anzusprechenden Gefäßtypen wie Schalen, Tellern, Kannen und Tassen verwendet, scheint man mit dem deckenden, bisweilen an poliertes Kupfer erinnernden metallisch glänzenden Überzug gezielt den Eindruck wertvoller Metallgefäße hervorgerufen haben zu wollen. Schnabelkannen mit unter dem Rand ansetzendem Henkel, Kannen mit abgesetztem schlanken Hals und hinten ausgeschnittener Randpartie und bauchige Krüge mit Flügelhenkeln und plastischem Dekor sind dabei ebenso bezeichnend für den Formensatz der Periode Troia IV wie flache scheidengedrehte Teller, einhenklige karinierte Tassen mit abgesetztem Standring, geschwungene Depasbecher mit niederem Standfuß oder Standring, Schalen mit ausgespartem, gerundetem bis keulenförmig verdicktem Rand, bauchige Henkelkrüge mit am Gefäßkörper ansetzenden Horizontal- oder Vertikalhenkeln, Entenaskoi und anthropomorphe Deckel und Gefäße (Abb. 145.1–2). Zu den Leitformen der Periode Troia V zählen ein- und zweihenklige Becher mit sanduhrförmigem Profilverlauf, Kannen mit kleeblattförmiger oder schräger Mündung und umlaufenden Rillenpaaren am Ansatz eines abgesetzten zylindrischen Halses, Schalen mit einziehendem Rand oder stark ausgeprägter Karinierung, Schalen mit Volutenhenkeln und/oder kreuz- oder sternförmiger Bemalungen aus rotbrauner bis hellroter Tonschlämme auf der Innen- und/oder Außenseite, die sogenannten *Red cross bowls* (cf. Abb. 145.2).¹⁵⁸² Nur wenig formale Variation zeichnet sich hinsichtlich der Kochtöpfe beider Perioden ab; dominant sind Typvertreter mit kugeligem Kör-

¹⁵⁸⁰ Blum 2006: 145–147.

¹⁵⁸¹ Cf. Blegen *et al.* 1951: 103; Easton 2002: 314, 316–317. Ergänzend dazu s. Podzuweit 1979: 24–25, 30; Weninger 2002: 1049.

¹⁵⁸² S. hierzu Kapitel 4.7.4 »Stratigraphische Auswertung der Keramik« und Kapitel 7.1 »Relative Chronologie«.



Abb. 145
Oben Gefäße der
Perioden Troia III und
Troia IV (Korfmann
2001a: Abb. 374),
unten Gefäße der
Perioden Troia IV und
Troia V (Blum 2006:
Abb. 7)



Abb. 146
Planquadrat D 20, Kindergrab mit Entenaskos der Periode Troia V (Blum 2006: Abb. 11).

per, leicht einziehender Mündung, zwei oder mehreren vertikalen Henkeln unterhalb des Rands und flachem Boden; die häufig fleckig verfärbten Gefäßwandungen und Schmauchspuren auf den Außenseiten zeigen deutlich, daß diese Gefäße auf dem Herdfeuer oder in einem der zahlreichen Kuppelöfen standen. Bezogen auf die stratigraphische Abfolge weist die Verteilung sowohl der Warengattungen wie auch der Formenklassen, Typen und Varianten insgesamt auf eine kontinuierliche, nur graduellen Innovationsprozessen unterliegende Entwicklung des Töpfereiwesens zur Zeit von Troia IV und Troia V hin; gerade die langen Laufzeiten einiger bestimmter Produktionslinien sind es dann auch, die zu einer starken inhaltlichen und typologischen Überschneidung früher Troia V-zeitlicher Fundinventare mit solchen der vorhergehenden Periode Troia IV führen.

In den Bereich der Nahrungszubereitung gehören aus den Reihen der Kleinfunde insbesondere die Reib- und Läufersteine, auch werden die in zeitlich entsprechenden Schichtablagerungen aufgenommenen Stößel und Klopffsteine bei der Verarbeitung von Ernteprodukten zum Einsatz gekommen sein (cf. Kapitel 5); bei den Kleinfunden sind es jedoch vor allem im textil- und lederverarbeitenden Produktionszweig anzusiedelnde Objekte, wie zum Beispiel Spinnwirtel aus Keramik oder Stein, *Spatulae*, Pfrieme und Metapodienspitzen aus Knochen, die das Fundaufkommen der Perioden Troia IV und Troia V maßgeblich bestimmen und stratifizierte Fundkomplexe wie etwa auch denjenigen der Planquadrate A 5/6 als Lebensraum häuslicher Gemeinschaften ausweisen.

Grabfunde der Perioden Troia IV und Troia V sind bislang nur wenige bekannt, so daß den beiden im Südosten des Areals D 20 erfaßten eine um so größere Bedeutung zukommt. Es handelt sich zum einen um das leicht in den anstehenden Kalkfelsen eingetiefte Körpergrab eines



Abb. 147
Der Hisarlık Tepe/Troia;
Luftbild mit Ansicht des
Siedlungshügels von
Südosten (Hakan Öge).

Kindes, in dessen vorwiegend aus gelblichem Ton bestehender Verfüllung sich ein in Ware 3D gefertigter Entenaskos als Beigabe fand (Abb. 146), zum anderen um das Grab einer teilweise kremierten, wohl älteren weiblichen Person.¹⁵⁸³ Der Umstand, daß im äußersten Nordwesten Kleinasiens bereits im ausgehenden 3., beginnenden 2. Jahrtausend v. Chr. Tote verbrannt wurden, ist dabei in sofern von Relevanz, als daß sich hierin gegebenenfalls der Beginn einer Tradition abzeichnen mag, an deren Ende – mit Phase Troia VI Spät – die Sitte der Brandbestattung stehen mag.

Von einer integrativen, sowohl befund- wie materialimmanenten Gegenüberstellung der verschiedenen Teilergebnisse zu Stratigraphie und Keramik im Bereich der Planquadrate F 8, E 6 sowie A 5/6 ausgehend, ergibt sich für die hier zur Diskussion stehenden Perioden Troia IV und Troia V ein tragfähiger Bezugsrahmen zur relativen Fundplatzchronologie (*cf.* Kapitel 7 u. 8). Grundlage für diesen bildet eine sich in vergleichbaren Stadien vollziehende architektonische Entwicklung, bei entsprechender Veränderung des keramischen Waren- und Formenspektrums. Die von Blegen *et al.* ausgehend von den Schichtenabfolgenden der Quadrate F 8 und E 6 für Troia V vorgenommene Differenzierung in einen frühen, mittleren und späten Siedlungsabschnitt erweist sich bezüglich Inhalt und relativchronologischer Strukturierung auf die Befundverhältnisse in Areal A 5/6 im wesentlichen übertragbar, unter der Voraussetzung, daß Phase Troia IVe der Subperiode *Troy V Early* zugewiesen und damit Troia V₁ gleichgestellt wird.¹⁵⁸⁴

¹⁵⁸³ *Cf.* Blum 2006: 151–152.

¹⁵⁸⁴ S. in diesem Zusammenhang Kapitel 7.1.1 »Stratigraphischer Befund«.

Mit einer Stellung in Phase FBZ IIIb ist der vierte Siedlungsabschnitt des Hisarlık Tepe/Troia dem Ende der anatolischen Frühbronzezeit zuzuweisen und damit parallel mit dem Hauptteil von Stufe FH III;¹⁵⁸⁵ der Periodenbeginn ist um 2200/2150 v. Chr. festzusetzen, das Ende um 2000–1960/1950 v. Chr.¹⁵⁸⁶ Das Auftreten von Schalen mit Volutenhenkeln und vor allem von *Red cross bowls* zu Beginn von Troia V markiert in kultureller Hinsicht den Übergang zur Mittelbronzezeit, für das Ende des fünften Siedlungshorizonts ergibt sich bei einer teilweisen zeitlichen Überlappung mit Phase MM IA ein um 1760/1750 v. Chr. anzusetzendes Datum.¹⁵⁸⁷

Trotz seiner küstennahen Lage erweist sich der Fundort im Zeitraum der Perioden Troia IV und Troia V weit stärker dem anatolischen Kulturraum zugewandt als dem ägäischen (Abb. 147; cf. Kapitel 8).¹⁵⁸⁸ Ausgehend von Vergleichsfunden wie etwa Schnabelkannen, Kannen mit abgesetztem schlanken Hals und hinten ausgeschnittener Randzone, den späten Varianten des Depasbechers und vor allem von *Red cross bowls* ergeben sich dabei direkte Verbindungen nach Inneranatolien und von hier aus zu Siedlungsplätzen im Südosten Kleinasiens.¹⁵⁸⁹

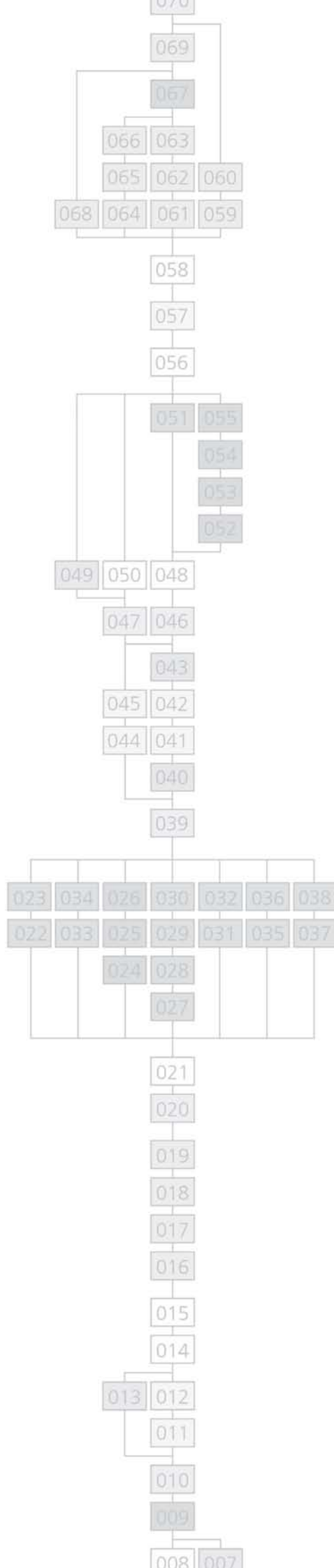
¹⁵⁸⁵ Cf. Maran 1998: 419; Manning 1995: 87.

¹⁵⁸⁶ S. hierzu auch Kapitel 7.2 »Absolute Chronologie«. Cf. Manning 1995: 159–160, 172; Manning 1997a: 511, 513, 521 u. Fig. 9–10; Maran 1998: 415, 426.

¹⁵⁸⁷ Cf. Manning 1995: 88; Maran 1998: 419–420 u. Taf. 83.

¹⁵⁸⁸ Ergänzend dazu s. Rahmstorf 2006: 51–52, 79–84; Efe 2003b: 93–96; Efe 2007: 55, 59–60; Efe/Türkteki 2011b: 221.

¹⁵⁸⁹ Cf. Efe 2006: 26–27.



Hisarlık Tepe/Troia'daki IV. yerleşme özellikle teknoloji ve üretimde gerçekleşen çeşitli yeniliklere rağmen kendisinden önce gelen Troia III dönemine belirgin bir kesinti olmadan bağlanmaktadır. Aynı şekilde Troia V dönemi de – en azından kültürel gelişiminin başlangıcında – Troia IV'ün bir devamı olarak nitelendirilebilir.

Mimari özellikleri açısından değerlendirildiğinde, Troia IV dönemi çeşitli dar cadde ve sokakların sistemli bir şekilde yerleştirildiği, kendi içine kapalı, çok sayıda ve yer yer büyük yapı komplekslerinin bir araya gelmesiyle oluşan bir yerleşme düzeni gösterir (krş. Böl. 2 ve 3). Troia IV döneminde yapıların yönlerinde belirgin bir değişim gözlemlenmesine rağmen, Troia III ile karşılaştırıldığında yerleşim anlayışı açısından temel bir farklılık göze çarpmamaktadır. Fakat, bunun yanı sıra yapıların inşasında tek ve belirgin bir anlayışın hakim olduğu izlenimi edinilmektedir: Yapıların duvarları yaklaşık 50–70 cm genişliğinde, yalnızca birkaç taş sırası kadar yükselen ve büyükçe yassı taşlardan oluşan taş temeller üzerine yerleştirilen kaba taşlardan veya fırınlanmamış kerpiç tuğlalardan yapılma ve aynı genişlikte inşa edilmekteydi. Bir sonraki aşamada ise duvarlar dış yüzeyleri kalın bir kerpiç sıva ve iç yüzeyleri ise tüm yüzeyi örtecek şekilde ince bir kireç sıvası ile kaplanmaktaydı. Böylelikle göreceli uzun olarak nitelendirilebilecek, bir ana ve ön oda dahil olmak üzere en fazla dört ayrı bölümden oluşan, üzerlerinde kerpiç düz çatıların yerleştirildiği bitişik duvarlara sahip binalar inşa edilmişti. Troia IV'ün en dikkat çekici yeniliklerinden birisi ilk defa ortaya çıkan kubbeli fırınlardır (Res. 144). Yapıların içinde veya dışında konuşlandırılan kubbeli fırınlar genellikle girişin solunda veya sağında bulunmaktaydılar. Üstü açık ocaklardan bu kubbeli fırınlara kısmi geçiş, olasılıkla yeni bir tür besin hazırlama geleneğinin ortaya çıkmasına bağlanabilir. Bu zamana kadar kullanılan ayaklı pişirme kaplarının (güveç) yerlerini neredeyse tamamen düz tabanlı yemek kaplarına bırakmalarının yanı sıra, Troia IV dönemi sakinlerinin değişen beslenme alışkanlıkları arkeozoolojik buluntularda da kendini göstermektedir. Değişen iklim ve çevre koşullarına bağlı olarak,¹⁵⁹⁰ giderek artan bir oranda birdenbire yabancı hayvan kemikleri olağanüstü bir oranda artış göstermekte ve yine evcilleştirilmesi kolay olan domuzun kemiklerinin oranı dikkat çekici yüksek bir yüzde ile yer almaya başlamaktadır. Bunların yanı sıra koyun, keçi, sığır gibi küçük ve büyükbaş hayvanlar ile midye, balık, su kaplumbağası ve ara sıra da olsa istakoz gibi su ürünleri de günlük besin kaynaklarını oluşturmaktaydı.¹⁵⁹¹ Troia V dönemi geniş çaplı yeni inşaat faaliyetleri ve yerleşim düzeninin yeniden organizasyonu ile başlamasına rağmen, Troia IV döneminde ortaya çıkan yapı geleneğinin belirgin bir şekilde devam ettiği görülmektedir; görece oldukça dar, ağırlıklı olarak özenle yerleştirilmiş kireç taşlarından yapılma duvarlar üzerinde yükselen, 10 m uzunluğa kadar ulaşabilen ve yer yer trapez biçimli planlara sahip Troia V yapıları, bu özelliklerinden dolayı bir önceki döneme göre gelişen yapıım tekniğine ve artan refah düzeyine işaret etmektedir. Buna rağmen, Troia V yerleşiminin kapladığı alanın aşağı yukarı Troia IV dönemi ile aynı olduğu düşünülmektedir. Evlerin iç duvarları boyunca yerleştirilen sekiler yeni bir iç mimari öğesi olarak karşımıza çıkarlar. Kubbeli fırınlar bu dönemde de hemen hemen her yapıda

¹⁵⁹⁰ Krş. Staubwasser/Weiss 2006: 9–10.

¹⁵⁹¹ Bu konu hakkında genel bilgiler için bkz. Uerpmann 2003: 257–259, 262; Uerpmann 2006: 292–293; Çakırlar 2007: 96; Çakırlar 2009: 70–91.

bulunmaktaydılar. Yaban hayvanlarının tüketiminde sığır ve domuzla göre bir azalma tespit edilse de, beslenme alışkanlıklarının Troia IV dönemindekinden farklı olmadığı düşünülmektedir.¹⁵⁹²

Zanaat üretimi ve bu bağlamda özellikle çanak çömlekçilik burada tartışma konumuz olan zaman diliminin başlangıcında bir önceki Troia III dönemi ile belirgin bir uyum göstermektedir.¹⁵⁹³ Birkaç istisna haricinde Troia'lı zanaatkarlar çanak çömlek üretiminde yerel kil kullanmışlardır. Kile katkı maddesi olarak genellikle kuarz, kireç, alkali feldispat, kuarzit ve mika katıldığı gözlemlenmiştir. Troia IV döneminde organik maddeler de katılmaktaydı (bkz. Böl. 4). Büyük tutamaklı testiler, bir kısım pişirme kapları ve düz fırın kapları dışında, Troia IV ve V dönemi çanak çömleği hızlı dönen çarkta üretilmekteydi. Çanak çömlekler normalde açık renkte okside edilerek fırınladıklarından, genellikle bej, kahverengi ve kırmızımsı tonlar belirgin bir şekilde ağır basmaktaydı. Troia IV ve V dönemlerinin en karakteristik özelliklerinden birisi *Red-coated ware* (bkz. Tab. 40) olarak da adlandırılan ve çok sayıda farklı biçimleriyle karşımıza çıkan kırmızı perdahlı mal grubudur. Genellikle »Sofra kap kaçağı« olarak nitelendirilen, çanak, tabak, testi ve kâse gibi türlerin üretiminde kullanılan bu mal grubunun, üzerini kaplayan ve yer yer parlatılmış bakırı anımsatan ışıldayan astarı, bilinçli bir şekilde değerli metal kapları çağrıştırmaya amacı güttüğü izlenimini uyandırmaktadır. Aynı zamanda, ağız kenarının altına kulplu yerleştirilmiş gaga ağızlı ve omurgalı ince boyunlu testiler, kanat kulplu şişkin karınlı kabartma bezemeli sürahiler Troia IV döneminin karakteristik formları arasındadırlar. Bu formlara ek olarak, yine çark yapımı düz tabaklar, tek kulplu keskin profilli halka dipli bardaklar, alçak ya da halka dipli depas kapları, dışa dönük yuvarlatılmış veya kalınlaştırılmış ağız kenarlı kâseler, şişkin karınlı yatay veya dikey kulplu testiler, ördek şekilli askoslar ve antropomorfik kapları sayabiliriz (Res. 145.1–2). Troia V döneminin önde gelen karakteristik formları arasında ise tek ya da iki kulplu çift konik profilli kadehler, silindir boyunlu yonca ağızlı ya da yamuk ağızlı testiler, içe dönük ağız kenarlı ya da keskin profilli kâseler, dışta ya da içte çarpı veya yıldız şekilli kızıl-kahveden açık kırmızıya kadar renklerde değişen astar boya ile yapılmış motifleri olan, bazen kıvrımlı kulplara sahip, *red cross bowls* olarak bilinen kâseler (bkz. Res. 145.2) sayılabilir.¹⁵⁹⁴ Daha az çeşitliliğe sahip pişirme kapları arasında ise şişkin karınlı, hafif içe dönük ağız kenarlı, ağız kenarının altında iki ya da daha fazla dikey kulba sahip, düz dipli tipler iki dönemde de öne çıkmaktadır; oldukça sık karşımıza çıkan alacalı renkli isli kap yüzeyleri bu kapların ocak ateşine maruz kaldıklarını veya yerleşmede çok sayıda bulunan kubbeli fırınlarda kullanıldıklarını göstermektedir. Mal gruplarının, formların, tip ve varyasyonların tabakalaşma sıralaması içerisindeki dağılımı değerlendirildiğinde, çanak çömlekçiliğin Troia IV'den Troia V dönemine gelinen zaman dilimi içerisinde süreklilik arzeden, fakat yavaş ve aşamalı bir gelişim süreci takip ettiği görülmektedir. Özellikle bazı belirgin üretim tarzlarının uzun süre devam etmiş olması erken Troia V buluntularının Troia IV dönemi buluntularıyla içerik ve tipolojik açıdan benzer niteliklere sahip olmalarına yol açmıştır.

¹⁵⁹² Blum 2006: 145–147.

¹⁵⁹³ Krş. Blegen *et al.* 1951: 103; Easton 2002: 314, 316–317; Podzuweit 1979: 24–25, 30; Weninger 2002: 1049.

¹⁵⁹⁴ Bkz. Böl. 4.7.4 ve 7.1.

Besin ve tarımsal ürünlerin hazırlanmasında ve işlenmesinde kullanılan küçük buluntular arasında özellikle öğütme taşları ile yine zamansal olarak aynı tabakalardan elde edilen havan ve vurgu taşlarını sayabiliriz (bkz. Böl. 5); fakat, küçük buluntular içerisinde özellikle tekstil ve deri işlemeciliğinde kullanılan, seramik ve taş ağırşaklar, spatulalar, bız ve kemik metapodiyen uçları, Troia IV ile V dönemleri için, özellikle A5/6 gibi sağlam tabakaların bulunduğu ve yaşam alanı olarak evsel mekanların öne çıktığı plankarelerde ağırlıklı buluntuları oluştururlar.

Troia IV ve V dönemi mezarları hakkındaki bilgiler şu ana kadar oldukça sınırlıdır. Bu nedenle, D 20 plankaresinin güneydoğusunda açığa çıkarılan iki adet mezar büyük bir öneme sahiptir. Bu mezarlardan ilki kireç taşı anakaya içine sığ bir şekilde kazılmış, içerisinde yoğun bir şekilde sarımsak killi bir dolgu barındıran ve mezar hediyesi olarak bir adet 3D malından üretilme bir adet ördek şekilli Askos (Res. 146) bulunan bir çocuk mezarıdır. İkincisi ise cesedi kısmen yakılmış yaşlıca bir kadına aittir.¹⁵⁹⁵ Kuzeybatı Anadolu'nun uç kısımlarında daha 3. binyılın sonlarında ve 2. binyılın başlarında ölülerin yakılıyor olması, – Geç Troia VI – döneminde doruk noktasına ulaşan ölü yakma geleneğinin başlangıcına işaret etmesi açısından oldukça önemlidir.

Mimari ve diğer nesnelerin de dahil olduğu çeşitli buluntuların F 8, E 6 ve A5/6 plankarelerindeki tabakalaşma ve seramik değerlendirmeleri ile karşılaştırmaları neticesinde, burada tartışma konusu olan Troia IV ve V dönemlerinin göreceli kronolojisi için kabul edilebilir genel bir çerçeve çizebiliriz (krş. Böl. 7 ve 8). Kendi içinde karşılaştırılabilir aşamalardan geçen mimari gelişim ile çanak çömlek mal gruplarında ve form çeşitliliğinde yaşanan değişimler bunun için temel oluştururlar. Blegen vd. tarafından, F 8 ve E 6 plankarelerindeki tabakalaşmadan yola çıkılarak, Troia V döneminin erken, orta ve geç olarak ayrılması, içerik ve göreceli kronolojik gelişim açısından, Troia IV'e'nin Erken Troia V alt evresiyle aynı döneme tarihlenmesi ve böylelikle Troia V₁ ile eşitlenmesi ön koşuluyla, A5/6 plankaresindeki buluntularla ilişkilendirilebilir.¹⁵⁹⁶ Troia IV yerleşiminin İTÇ IIIb dönemi ile çağdaş yorumlanması Anadolu İlk Tunç Çağı'nın sonlarına tarihlenmesini ve böylelikle EH III'ün ana dönemi ile paralel ilerlediğini gösterir.¹⁵⁹⁷ Böylelikle dönemin başlangıcı MÖ 2200/2150 ve sonu ise MÖ 2000–1960/1950 tarihlerine yerleştirilebilir.¹⁵⁹⁸ Troia V döneminin başlangıcıyla birlikte kıvrımlı kulplu kaselerin ve özellikle *Red cross bowls* olarak adlandırılan çanakların ortaya çıkması kültürel açıdan Orta Tunç Çağı'na geçiş dönemine işaret etmekle birlikte, Troia V yerleşmesi böylelikle kısmen de olsa zamansal açıdan MM IA ile aynı döneme denk geldiğinden, bu dönemin sonu yaklaşık MÖ 1760/1750 yıllarına tarihlenebilir.¹⁵⁹⁹

Kıyıya yakın bir konuma sahip olmasına rağmen, Troia'nın IV ve V dönemi yerleşmelerinin, Ege bölgesinden daha çok yoğun bir şekilde Anadolu kültürünün etkisi altında bulunduğu göz-

¹⁵⁹⁵ Krş. Blum 2006: 151–152.

¹⁵⁹⁶ Bkz. Böl. 7.1.1.

¹⁵⁹⁷ Krş. Maran 1998: 419; Manning 1995: 87.

¹⁵⁹⁸ Bkz. Böl.7.2 ve Manning 1995: 159–160, 172; Manning 1997a: 511, 513, 521 ve Fig. 9–10; Maran 1998: 415, 426.

¹⁵⁹⁹ Krş. Manning 1995: 88; Maran 1998: 419–420 ve Taf. 83.

lenmektedir (Res. 147; bkz. Böl. 8).¹⁶⁰⁰ Gaga ağızlı ve omurgalı ince boyunlu testiler, Depas kaplarının geç varyasyonları ve özellikle de *Red cross bowls* gibi karşılaştırmalı buluntulardan yola çıkıldığında, Troia'dan İç Anadolu'ya ve buradan da Güneydoğu Anadolu'ya direkt ilişkilerin varlığı kanıtlanmaktadır.¹⁶⁰¹

Çeviri: Dr. Sinan Ünlüsoy

¹⁶⁰⁰ Bkz. Rahmstorf 2006: 51–52, 79–84; Efe 2003b: 93–96; Efe 2007: 55, 59–60; Efe/Türkteki 2011b: 221.

¹⁶⁰¹ Krş. Efe 2006: 26–27.

Clean. and

It was orig
of ca 1.70 m

are or the st

foundation.

platform of

layer of po

- Abay 1997
Eşref Abay, Die Keramik der Frühbronzezeit in Anatolien mit »syrischen Affinitäten«. *Altertumskunde des Vorderen Orients – Archäologische Studien zur Kultur und Geschichte des Alten Orients* 8 (Münster 1997). Ugarit-Verlag, Münster.
- Adams/Adams 1991
William Y. Adams/Ernst W. Adams, *Archaeological Typology and Practical Reality: A Dialectical Approach to Artifact Classification and Sorting* (Cambridge 1991). Cambridge University Press, Cambridge.
- Akalın 1991
Ayşe G. Akalın, Larisa und der Liman-Tepe in der Troas. In: *Studien zum antiken Kleinasien. Friedrich Karl Dörner zum 80. Geburtstag gewidmet. Asia Minor Studien* 3 (Bonn 1991) 63–68. Rudolf Habelt, Bonn.
- Akurgal 1999
Ekrem Akurgal, Alman Arkeoloji Enstitülerinin Dünyadaki ve Türkiye'deki Etkinlikleri – Die Tätigkeiten des Deutschen Archäologischen Instituts in der Türkei und in anderen Ländern. In: *Yapı Kredi Kültür Sanat Yayıncılık* (Hrsg.), *Kayıp Zamanların Peşinde: Alman Arkeoloji Enstitüsü Anadolu Kazıları – Auf der Suche nach verschwundenen Zeiten: Die Ausgrabungen des Deutschen Archäologischen Instituts in der Türkei* (İstanbul 1999) 16–18. Yapı Kredi Kültür Sanat Yayıncılık, İstanbul.
- Alexander 1999
Rani T. Alexander, Mesoamerican House Lots and Archaeological Site Structure: Problems of Inference in Yaxcaba, Yucatan, Mexico, 1750–1847. In: Penelope M. Allison (Hrsg.), *The Archaeology of Household Activities* (London/New York 1999) 78–100. Routledge, London/New York.
- Allen 1999
Susan H. Allen, *Finding the Walls of Troy: Frank Calvert and Heinrich Schliemann at Hisarlık* (Berkley/Los Angeles 1999). University of California Press, Berkley/Los Angeles.
- Alram-Stern 2004
Eva Alram-Stern, *Die ägäische Frühzeit 2. Forschungsbericht 1975–2002. Die Frühbronzezeit in Griechenland mit Ausnahme von Kreta. Mit Beiträgen von Florens Felten, Stefan Hiller, Lydia Berger, Walter Gauß, Rudolfine Smetana, Claus Reinholdt, Maria Kotsoula, Jeanette Forsén, Anthi Theodorou-Mavrommatidi, Sharon, R. Stocker, Jörg Rambach, Vassilios Aravantinos, Kyriaki Psaraki, Eleni Zachou, Nikos Merousis und Panayiota Sotirakopoulou. Österreichische Akademie der Wissenschaften, Philosophisch-Historische Klasse, Veröffentlichungen der Mykenischen Kommission* 21 (Wien 2004). Verlag der Österreichischen Akademie der Wissenschaften, Wien.
- Amiran/Shenhav 1984
Ruth Amiran/Dodo Shenhav, Experiments with an Ancient Potter's Wheel. In: Prudence M. Rice (Hrsg.), *Pots and Potters: Current Approaches in Ceramic Archaeology. University of California, Institute of Archaeology Monograph* XXIV (Los Angeles 1984) 107–112. University of California, Institute of Archaeology, Los Angeles.

- Andreou *et al.* 1996 Stelios Andreou/Michael Fotiadis/Kostas Kotsakis, Review of Aegean Prehistory V: The Neolithic and Bronze Age of Northern Greece. *American Journal of Archaeology* 100, 1996, 537–597.
- Andrews 1995 Peter Andrews, Experiments in Taphonomy. *Journal of Archaeological Science* 22, 1995, 147–153.
- Angel 1951 J. Lawrence Angel, Troy: The Human Remains. Supplementary Monograph 1 (Princeton 1951). Princeton University Press, Princeton.
- Annis 1985 M. Beatrice Annis, Resistance and Change: Pottery Manufacture in Sardinia. *World Archaeology* 17, 1985, 240–255.
- Annis 1996 M. Beatrice Annis, Organization of Pottery Production in Sardinia: Variability and Change. In: Hartwig Lüdtkke/Rüdiger Vossen (Hrsg.), *Töpfereiforschung zwischen Mittelmeer und Skandinavien. Beiträge des Internationalen Kolloquiums 1990 in Hamburg. Töpferei- und Keramikforschung* 3 (Bonn 1996) 143–170. Rudolf Habelt, Bonn.
- Arnold 1985 Dean E. Arnold, *Ceramic Theory and Cultural Process. New Studies in Archaeology* (Cambridge 1985). Cambridge University Press, Cambridge.
- Arnold 1999a Dean E. Arnold, Advantages and Disadvantages of Vertical-Half Molding Technology: Implications for Production Organization. In: James M. Skibo/Gary M. Feinman (Hrsg.), *Pottery and People: A Dynamic Interaction. Foundations of Archaeological Inquiry* (Salt Lake City 1999) 59–80. University of Utah Press, Salt Lake City.
- Arnold 1995 Jeanne E. Arnold, Social Inequality, Marginalization, and Economic Process. In: T. Douglas Price/Gary M. Feinman (Hrsg.), *Foundations of Social Inequality. Fundamental Issues in Archaeology* (New York 1995) 87–103. Plenum Press, New York.
- Arnold 1991 Philip J. Arnold III, Domestic Ceramic Production and Spatial Organization: A Mexican Case Study in Ethnoarchaeology. *New Studies in Archaeology* (Cambridge 1991). Cambridge University Press, Cambridge.
- Arnold 1999b Philip J. Arnold III, On Typologies, Selection, and Ethnoarchaeology in Ceramic Production Studies. In: Elizabeth S. Chilton (Hrsg.), *Material Meaning: Critical Approaches to the Interpretation of Material Culture. Foundations of Archaeological Inquiry* (Salt Lake City 1999) 103–117. University of Utah Press, Salt Lake City.
- Ascher 1961 Robert Ascher, Analogy in Archaeological Interpretation. *Southwestern Journal of Anthropology* 17.3, 1961, 317–225.
- Ascher 1968 Robert Ascher, Time's Arrow and the Archaeology of a Contemporary Community. In: Kwnag-chih Chang (Hrsg.), *Settlement Archaeology* (Palo Alto 1968) 43–52. National Book Press, Palo Alto.

- Aslan *et al.* 2003 Rüstem Aslan/Gebhard Bieg/Peter Jablonka/Petra Krönneck, Die mittel- bis spätbronzezeitliche Besiedlung (Troia VI und Troia VIIa) der Troas und der Gelibolu-Halbinsel. Ein Überblick. *Studia Troica* 13, 2003, 165–213.
- Ault/Nevett 1999 Bradley A. Ault/Lisa C. Nevett, Digging Houses: Archaeologies of Classical and Hellenistic Greek Domestic Assemblages. In: Penelope M. Allison (Hrsg.), *The Archaeology of Household Activities* (London/New York 1999) 43–56. Routledge, London/New York.
- Aurenche *et al.* 1997 Olivier Aurenche/Marcel Bazin/Serge Sadler, Villages Engloutis: Enquête ethnoarchéologique à Cafer Höyük (vallée de l'Euphrate). *Travaux de la Maison de l'Orient Méditerranéen* 26 (Lyon/Paris 1997). Maison de l'Orient Méditerranéen, Lyon/Paris.
- Bachhuber 2009 Christoph Bachhuber, The Treasure Deposits of Troy: Rethinking Crisis and Agency on the Early Bronze Age Citadel. *Anatolian Studies* 11, 2009, 1–18.
- Baker 1978 Charles M. Baker, The Size Effect: An Explanation of Variability in Surface Artifact Assemblage Content. *American Antiquity* 43, 1978, 288–293.
- Baker/Collon 2007 Polydora Baker/Dominique Collon, Bone, Horn and Ivory. In: J. Nicholas Postgate/David Thomas (Hrsg.), *Excavations at Kilise Tepe 1994–98: From Bronze Age to Byzantine in Western Cilicia*. McDonald Institute Monographs = British Institute at Ankara Monographs 30 (Cambridge 2007) 531–540. McDonald Institute for Archaeological Research, Cambridge.
- Balfanz 1995 Kathrin Balfanz, Bronzezeitliche Spinnwirtel aus Troia. *Studia Troica* 5, 1995, 117–144.
- Barton/Clark 1993 C. Michael Barton/Geoffrey A. Clark, Cultural and Natural Formation Processes in Late Quaternary Cave and Rockshelter Sites of Western Europe and the Near East. In: Paul Goldberg/David T. Nash/Michael D. Petraglia (Hrsg.), *Formation Processes in Archaeological Context*. Monographs in World Archaeology 17 (Madison 1993) 33–52. Prehistory Press, Madison.
- Bartram *et al.* 1991 Laurence E. Bartram/Ellen M. Kroll/Henry T. Bunn, Variability in Camp Structure and Bone Food Refuse Patterning at Kua San Hunter-Gatherer Camps. In: Ellen M. Kroll/T. Douglas Price (Hrsg.), *The Interpretation of Archaeological Spatial Patterning*. Papers presented at a symposium organized at the 52nd Annual Meeting of the Society for American Archaeology held in May 1987 in Toronto, Ontario. *Interdisciplinary Contributions to Archaeology* (New York/London 1991) 77–148. Plenum Press, New York/London.
- Bar-Yosef 1993 Ofer Bar-Yosef, Site Formation from a Levantine Viewpoint. In: Paul Goldberg/David T. Nash/Michael D. Petraglia (Hrsg.), *Formation Processes in Archaeological Context*. Monographs in World Archaeology 17 (Madison 1993) 13–32. Prehistory Press, Madison.

- Bauer *et al.* 1993 Ingolf Bauer/Werner Endres/Bärbel Kerkhoff-Hader/Robert Koch/Hans-Georg Stephan, Leitfaden zur Keramikbeschreibung (Mittelalter – Neuzeit): Terminologie, Typologie, Technologie. Kataloge der Prähistorischen Staatssammlung, Beiheft 2 (Kallmünz 1993). Michael Lassleben, Kallmünz.
- Baykal-Seeher Ayşe Baykal-Seeher, Die lithischen Kleinfunde. In: Demircihüyük IV A: Die lithischen Kleinfunde (Ayşe Baykal-Seeher), B: Die Kleinfunde aus Ton, Knochen und Metall (Julia Obladen Kauder) (Mainz am Rhein 1987) 7–206. Philipp von Zabern, Mainz am Rhein.
- Bayne 2000 Nicholas Bayne, The Grey Wares of North-West Anatolia in the Middle and Late Bronze Age and the Early Iron Age and their Relation to the Early Greek Settlements. *Asia Minor Studien* 37 (Bonn 2000). Rudolf Habelt, Bonn.
- Becks 2002 Ralf Becks, Bemerkungen zu den Bestattungspätzen von Troia VI. In: Rüstem Aslan/Stephan W. E. Blum/Gabriele Kastl/Frank Schweizer/Diane Thumm (Hrsg.), *Mauerschau. Festschrift für Manfred Korfmann (Remshalden-Grundbach 2002)* 295–306. Bernhard Albert Greiner, Remshalden-Grundbach.
- Becks 2005 Ralf Becks, Die nördliche Burgmauer von Troia VI. *Studia Troica* 15, 2005, 99–120.
- Becks/Thumm 2001 Ralf Becks/Diane Thumm, Untergang der Stadt in der Frühen Eisenzeit: Das Ende aus archäologischer Sicht. In: *Archäologisches Landesmuseum Baden-Württemberg et al.* (Hrsg.), *Troia – Traum und Wirklichkeit. Begleitband zur Ausstellung »Troia – Traum und Wirklichkeit«* in Stuttgart, Braunschweig und Bonn 2001/2002 (Stuttgart 2001) 419–424. Konrad Theiss, Stuttgart.
- Becks *et al.* 2006 Ralf Becks/Pavol Hnila/Magda Pieniżek-Sikora, Troia in der Frühen Eisenzeit: Troia VIIb1–VIIb3. In: Manfred O. Korfmann (Hrsg.), *Troia – Archäologie eines Siedlungshügels und seiner Landschaft* (Mainz am Rhein 2006) 181–188. Philipp von Zabern, Mainz am Rhein.
- Bellinger 1961 Alfred R. Bellinger, *Troy: The Coins. Supplementary Monograph 2* (Princeton 1961). Princeton University Press, Princeton.
- Benzi 1997 Mario Benzi, The Late Early Bronze Age Finds from Vathy Cave (Kalymnos) and their Links with the Northeast Aegean. In: Christos G. Doumas/Vincent La Rosa (Hrsg.), *Η Πολιόχνη και η Πρώιμη Εποχή του Χαλκού στο Βόρειο Αιγαίο – Poliochni e l'antica età del bronzo nell' Egeo settentrionale. Διεθές Συνέδιο Αθήνα, 22–25 Απριλίου 1996 – Convegno Internazionale Atene, 22–25 Aprile 1996* (Αθήνα 1997) 383–394. Scuola Archeologica Italiana di Atene & Πανεπιστήμιο Αθηνών, Αθήνα.
- Bernabò-Brea 1976 Luici Bernabò-Brea, *Poliochni II: Città preistorica nell'isola di Lemnos. Monografie della Scuola Archeologica di Atene e delle Missioni Italiane in Oriente* (Roma 1976). L'Erma di Bretschneider, Roma.

- Bieg *et al.* 2009 Gebhard Bieg/Stephan W. E. Blum/Reyhan Körpe/Nurten Sevinç/Rüstem Aslan, Yeşiltepe: Eine Siedlung der frühen Bronzezeit am Oberlauf des Skamander. *Studia Troica* 18, 2009, 199–227.
- Bier 1973 Carol Manson Bier, The Excavations at Korucutepe, Turkey, 1968–70: Preliminary Report, Part II: The Fortification Wall. *Journal of Near Eastern Studies* 32/4, 1973, 424–434.
- Bilgen 2011 A. Nejat Bilgen, Seyitömer Höyük. In: Across: The Cyclades and Western Anatolia during the 3rd Millenium BC. Begleitband zur Ausstellung »Across: The Cyclades and Western Anatolia during the 3rd Millenium BC« in İstanbul, 24. Mai bis 28. August 2011 (İstanbul 2011) 208–212. Çağatay Anadol Kitap Yayınevi, İstanbul.
- Binford 1962 Lewis R. Binford, Archaeology as Anthropology. *American Antiquity* 28, 1962, 217–225.
- Binford 1964 Lewis R. Binford, A Consideration of Archaeological Research Design. *American Antiquity* 29, 1964, 425–441.
- Binford 1965 Lewis R. Binford, Archaeological Systematics and the Study of Culture Process. *American Antiquity* 31, 1965, 203–210.
- Binford 1967 Lewis R. Binford, Smudge Pits and Hide Smoking: The Use of Analogy in Archaeological Reasoning. *American Antiquity* 32, 1967, 1–12.
- Binford 1968 Lewis R. Binford, Some Comments on Historical versus Processual Archaeology. *Southwestern Journal of Anthropology* 24, 1968, 267–275.
- Binford 1978 Lewis R. Binford, Dimensional Analysis of Behavior and Site Structure: Learning from an Eskimo Hunting Stand. *American Antiquity* 43, 1978, 330–361.
- Binford 1981 Lewis R. Binford, *Ancient Men and Modern Myths*. Studies in Archaeology (New York 1981). Academic Press, New York.
- Binford 1983a Lewis R. Binford, Behavioral Archaeology and the »Pompeii Premise«. In: Lewis R. Binford, *Working at Archaeology*. Studies in Archaeology (New York 1983) 229–241. Academic Press, New York.
- Binford 1983b Lewis R. Binford, Forty-seven Trips: A Case Study in the Character of Archaeological Formation Processes. In: Lewis R. Binford, *Working at Archaeology*. Studies in Archaeology (New York 1983) 243–268. Academic Press, New York.
- Binford 1983c Lewis R. Binford, Organization and Formation Processes: Looking at Curated Technologies. In: Lewis R. Binford, *Working at Archaeology*. Studies in Archaeology (New York 1983) 269–286. Academic Press, New York.
- Binford 1984 Lewis R. Binford, Butchering, Sharing, and the Archaeological Record. *Journal of Anthropological Archaeology* 3, 1984, 253–257.

- Binford 1986 Lewis R. Binford, An Alyawara Day: Making Men's Knives and Beyond. *American Antiquity* 51, 1986, 547–562.
- Binford 1987 Lewis R. Binford, Researching Ambiguity: Frames of Reference and Site Structure. In: Susan Kent (Hrsg.), *Method and Theory for Activity Area Research: An Ethnoarchaeological Approach* (New York 1987) 449–512. Columbia University Press, New York.
- Binford 1989 Lewis R. Binford, Isolating the Transition to Cultural Adaptions: An Organizational Approach. In: Lewis R. Binford, *Debating Archaeology*. *Studies in Archaeology* (San Diego 1989) 464–481. Academic Press, San Diego.
- Binford *et al.* 1988 Lewis R. Binford/Margie G. L. Mills/Nancy M. Stone, Hyena Scavenging Behavior and Its Implications for the Interpretation of Faunal Assemblages from FLK 22 (the Zinj Floor) at Olduvai Gorge. *Journal of Anthropological Archaeology* 7, 1988, 99–135.
- Binford/Sabloff 1983 Lewis R. Binford/Jeremy A. Sabloff, Paradigms, Systematics, and Archaeology. In: Lewis R. Binford, *Working at Archaeology*. *Studies in Archaeology* (New York 1983) 395–410. Academic Press, New York.
- Bittel 1941 Kurt Bittel, Bemerkungen über einige in Kleinasien gefundene Siegel. *Archiv für Orientforschung* 13, 1939–1941, 299–307.
- Bittel 1942 Kurt Bittel 1942, *Kleinasiatische Studien*. *Istanbuler Mitteilungen* 5 (İstanbul 1942). Universum, İstanbul.
- Bittel 1945a Kurt Bittel, *Grundzüge der Vor- und Frühgeschichte Kleinasiens* (Heidenheim 1945). J. M. Voith, Heidenheim.
- Bittel 1945b Kurt Bittel, *Grundzüge der Vor- und Frühgeschichte Kleinasiens²* (Tübingen 1945). Ernst Wasmuth, Tübingen
- Bittel 1954 Kurt Bittel, Rezension zu: Carl W. Blegen/John L. Caskey/Marion Rawson/Jerome Sperling, *Troy I: General Introduction. The First and Second Settlement* (Princeton 1950) und Carl W. Blegen/John L. Caskey/Marion Rawson, *Troy II: The Third, Fourth, and Fifth Settlements* (Princeton 1951). *Gnomon* 26, 1954, 433–443.
- Bittel 1979 Kurt Bittel, Abteilung Istanbul. In: Kurt Bittel/Friedrich Wilhelm Deichmann/Wilhelm Grünhagen/Werner Kaiser/Theodor Kraus/Helmut Kyrieleis, *Beiträge zur Geschichte des Deutschen Archäologischen Instituts 1929 bis 1979, Teil 1. Das Deutsche Archäologische Institut, Geschichte und Dokumente* 3 (Mainz am Rhein) 65–91. Philipp von Zabern, Mainz am Rhein.
- Bittel 1998 Kurt Bittel, *Reisen und Ausgrabungen in Ägypten, Kleinasien, Bulgarien und Griechenland 1930–1934*. Akademie der Wissenschaften und der Literatur, Mainz. *Abhandlungen der Geistes- und Sozialwissenschaftlichen Klasse* 5 (Stuttgart 1998). Franz Steiner, Stuttgart.

- Blackman *et al.* 1993 M. James Blackman/Gil Stein/Pamela B. Vandiver, The Standardization Hypothesis and Ceramic Mass Production: Compositional, Technological and Metric Indices of Craft Specialization at Tell Leilan (Syria). *American Antiquity* 58, 1993, 60–80.
- Blegen 1932 Carl W. Blegen, Excavations at Troy 1932. *American Journal of Archaeology* 36, 1932, 431–451.
- Blegen 1933a Carl W. Blegen, Excavations at Troy 1932. *Archäologischer Anzeiger* 48, 1933, 187–191.
- Blegen 1933b Carl W. Blegen, Troy 1933. Unpubliziertes Tagebuch der Ausgrabungen im Jahre 1933. Department of Classics, University of Cincinnati.
- Blegen 1934a Carl W. Blegen, Excavations at Troy 1933. *American Journal of Archaeology* 38, 1934, 223–248.
- Blegen 1934b Carl W. Blegen, Excavations at Troy 1933. *Archäologischer Anzeiger* 49, 1934, 61–69.
- Blegen 1935a Carl W. Blegen, Excavations at Troy 1934. *American Journal of Archaeology* 39, 1935, 6–34.
- Blegen 1935b Carl W. Blegen, Excavations at Troy 1934. *Archäologischer Anzeiger* 50, 1935, 300–305.
- Blegen 1935c Carl W. Blegen, Excavations at Troy 1935. *American Journal of Archaeology* 39, 1935, 550–587.
- Blegen 1937a Carl W. Blegen, Excavations at Troy 1936. *American Journal of Archaeology* 41, 1937, 17–51.
- Blegen 1937b Carl W. Blegen, Excavations at Troy 1937. *American Journal of Archaeology* 41, 1937, 553–597.
- Blegen 1939 Carl W. Blegen, Excavations at Troy 1938. *American Journal of Archaeology* 43, 1939, 204–228.
- Blegen 1963 Carl W. Blegen, Troy and the Trojans. *Ancient Peoples and Places* 33 (New York 1963). Frederick A. Praeger, New York.
- Blegen 1971a Carl W. Blegen, Troy I–II. In: Iowarth E. S. Edwards/Cyril J. Gadd/Nicholas G. L. Hammond (Hrsg.), *The Cambridge Ancient History I.2. Early History of the Middle East*³ (Cambridge 1971) 411–416. Cambridge University Press, Cambridge.
- Blegen 1971b Carl W. Blegen, Troy III–IV–V. In: Iowarth E. S. Edwards/Cyril J. Gadd/Nicholas G. L. Hammond (Hrsg.), *The Cambridge Ancient History I.2. Early History of the Middle East*³ (Cambridge 1971) 704–706. Cambridge University Press, Cambridge.
- Blegen *et al.* 1950 Carl W. Blegen/John L. Caskey/Marion Rawson/Jerome Sperling, Troy I: General Introduction. The First and Second Settlements (Princeton 1950). Princeton University Press, Princeton.

- Blegen *et al.* 1951 Carl W. Blegen/John L. Caskey/Marion Rawson, Troy II: The Third, Fourth, and Fifth Settlements (Princeton 1951). Princeton University Press, Princeton.
- Blegen *et al.* 1953 Carl W. Blegen/John L. Caskey/Marion Rawson, Troy III: The Sixth Settlement (Princeton 1953). Princeton University Press, Princeton.
- Blegen *et al.* 1958 Carl W. Blegen/Cedric G. Boulter/John L. Caskey/Marion Rawson, Troia IV: Settlements VIIa, VIIb and VIII (Princeton 1958). Princeton University Press, Princeton.
- Bloedow 1985 Edmund F. Bloedow, Handmade Burnished Ware or »Barbarian« Pottery and Troy VIIb. *La Parola del Passato* 40, 1985, 161–199.
- Bloedow 1992 Edmund F. Bloedow, Schliemann's Attitude to Pottery. In: Joachim Herrmann, (Hrsg.), Heinrich Schliemann. Grundlagen und Ergebnisse moderner Archäologie 100 Jahre nach Schliemann Tod (Berlin 1992) 211–221. Akademie Verlag, Berlin.
- Blum 2002a Stephan W. E. Blum, Vom Hausfleiß der Troianer. In: Rüstem Aslan/Stephan W. E. Blum/Gabriele Kastl/Frank Schweizer/Diane Thumm (Hrsg.), Mauerschau. Festschrift für Manfred Korfmann (Remshalden-Grundbach 2002) 105–151. Bernhard Albert Greiner, Remshalden-Grundbach.
- Blum 2002b Stephan W. E. Blum, Troia'da Biten Erken ve Başlayan Orta Tunç Çağı: Troia IV ve Troia V – The End of the Early and the Beginning of the Middle Bronze Age at Troia: Troia IV and Troia V. In: T. C. Kültür Bakanlığı, Anıtlar ve Müzeler Müdürlüğü/Yapı Kredi, Kültür Sanat Yayıncılık (Hrsg.), Troia: Efsane ile Gerçek Arası Bir Kente Yolculuk – Troy: Journey to a City Between Legend and Reality. Katalog zur Ausstellung »Troia: Efsane ile Gerçek Arası Bir Kente Yolculuk – Troy: Journey to a City Between Legend and Reality« in İstanbul 3. Oktober 2002–5. Januar 2003 (İstanbul 2002) 74–83. Yapı Kredi Kültür Sanat Yayıncılık, İstanbul.
- Blum 2003 Stephan W. E. Blum, Işıklar: Ethnoarchäologische Untersuchungen zur Formation und Transformation archäologischer Siedlungskontexte. *Studies in Ethnoarchaeology* 1 (Remshalden 2003). Bernhard Albert Greiner, Remshalden.
- Blum 2005 Stephan W. E. Blum, Konzepte der Auffassung und Abfallentsorgung in Işıklar, Nordwesttürkei. In: Turan Takaoglu (Hrsg.), Ethnoarchaeological Investigation in Rural Anatolia 2 (İstanbul 2005) 75–112. Ege Yayınları, İstanbul.
- Blum 2006 Stephan W. E. Blum, Troia an der Wende von der frühen zur mittleren Bronzezeit – Troia IV und Troia V. In: Manfred O. Korfmann (Hrsg.), Troia – Archäologie eines Siedlungshügels und seiner Landschaft (Mainz am Rhein 2006) 145–154. Philipp von Zabern, Mainz am Rhein.

- Blum im Druck Stephan W. E. Blum, Integrative Stratigraphy: New Evidence on the Relative and Absolute Chronology of Troy IV and Troy V. In: Christos G. Doumas/Aggeliki Giannikouri/Ourania Kouka (Hrsg.), *The Aegean Early Bronze Age: New Evidence – Η Πρώιμη Εποχή του Χαλκού στο Αιγαίο: Νέα Δεδομένα*. International Conference, Athens, April 11 th–14 th 2008. Im Druck.
- Blum/Aslan 2005 Stephan W. E. Blum/Rüstem Aslan, Siedlungsdynamik, Formationsprozesse und die Entstehung archäologischer Variabilität: Ethnoarchäologische Untersuchungen zum »Trojanischen Metallhandwerk« in Darı Köy/Nordwesttürkei. In: Tobias L. Kienlin (Hrsg.), *Die Dinge als Zeichen: Kulturelles Wissen und materielle Kultur*. Internationale Fachtagung an der Johann Wolfgang Goethe-Universität Frankfurt am Main 3.–5. April 2003. *Universitätsforschungen zur Prähistorischen Archäologie 127* (Bonn 2005) 305–327. Habelt, Bonn.
- Blum *et al.* 2004 Stephan W. E. Blum/Rüstem Aslan/Susanne Bocher, Ethnoarchäologische Untersuchungen zum funktionalen und strukturellen Wandel dörflicher Architektur: Die »Eski Cami« von Zeytinli. *Studia Troica 14*, 2004, 201–218.
- Blum *et al.* 2012 Stephan W. E. Blum//Mariana Thater/Diane Thumm-Doğrayan, Die Besiedlung der Troas vom Neolithikum bis zur beginnenden Mittleren Bronzezeit: Chronologische Sequenz und Siedlungsstruktur. In: Ernst Pernicka/C. Brian Rose/Peter Jablonka (Hrsg.), *Troia 1988–2008: Grabungen und Forschungen. I. Forschungsgeschichte, Methoden und Landschaft*. *Studia Troica Monographien 5* (Darmstadt 2012) im Druck. Philipp von Zabern, Darmstadt.
- Blum *et al.* 2011 Stephan W. E. Blum/Rüstem Aslan/Faika Evrim Uysal/Sebastian Kirschner/Steffen Kraus, Archäologische Untersuchungen zur vor-eisenzeitlichen Siedlungssequenz des Bozköy – Hanaytepe, Nordwesttürkei. *Studia Troica 19*, 2011, 119–177.
- Blumenschine 1988 Robert J. Blumenschine, An Experimental Model of the Timing of Hominid and Carnivore Influence on Archaeological Bone Assemblages. *Journal of Archaeological Science 15*, 1988, 483–502.
- Bobokhyan 2006 Arsen Bobokhyan, Identifying Balance Weights and Weight Systems in Bronze Age Troia: Preliminary Reflections. In: Maria Emanuela Alberti/Enrico Ascalone/Luca Peyronel (Hrsg.), *Weights in Context: Bronze Age Weighing Systems of Eastern Mediterranean Chronology, Typology, Material and Archaeological Contexts*. Proceedings of the International Colloquium, Rome 22nd–24 th November 2004. *Studi e Materiali 13* (Roma 2006) 71–125. Istituto Italiano di Numismatica, Roma.
- Bonnichsen 1973 Robson Bonnichsen, Millie's Camp: An Experiment in Archaeology. *World Archaeology 4.3*, 1973, 277–291.
- Boone 1987 James L. Boone Jr., Defining and Measuring Midden Catchment. *American Antiquity 52*, 1987, 336–345.

- Brink 1978
John Brink, The Role of Abrasives in the Formation of Lithic Use-Wear. *Journal of Archaeological Science* 5, 1978, 363–371.
- Bronitsky 1989
Gordon Bronitsky, Ceramics and Temper: A Response to Feathers. *American Antiquity* 54, 1989, 589–593.
- Bronitsky/Hamer 1986
Gordon Bronitsky/Robert Hamer, Experiments in Ceramic Technology: The Effects of Various Tempering Materials on Impact and Thermal-Shock Resistance. *American Antiquity* 51, 1986, 89–101.
- Brooks/Yellen 1987
Alison S. Brooks/John E. Yellen, The Preservation of Activity Areas in the Archaeological Record: Ethnoarchaeological and Archaeological Work in Northwest Ngamiland, Botswana. In: Susan Kent (Hrsg.), *Method and Theory for Activity Area Research: An Ethnoarchaeological Approach* (New York 1987) 63–106. Columbia University Press, New York.
- Brooks 1993
Robert L. Brooks, Household Abandonment among Sedentary Plains Societies: Behavioral Sequences and Consequences in the Interpretation of the Archaeological Record. In: Catherine M. Cameron/Steve A. Tomka (Hrsg.), *Abandonment of Settlements and Regions: Ethnoarchaeological and Archaeological Approaches. New Directions in Archaeology* (Cambridge 1993) 178–187. Cambridge University Press, Cambridge.
- Brown/Harris 1993
Marley R. Brown III/Edward C. Harris, Interfaces in Archaeological Stratigraphy. In: Edward C. Harris/Marley R. Brown III/Gregory J. Brown (Hrsg.), *Practices of Archaeological Stratigraphy* (London/San Diego 1993) 7–20. Academic Press, London/San Diego.
- Brückner 1902
Alfred Brückner, Geschichte von Troja und Ilion. In: Wilhelm Dörpfeld, *Troja und Ilion. Ergebnisse der Ausgrabungen in den vorhistorischen und historischen Schichten von Ilion 1870–1894. Unter Mitwirkung von Alfred Brückner, Hans von Fritze, Alfred Götze, Hubert Schmidt, Wilhelm Wilberg, Hermann Winnefeld* (Athen 1902) 549–593. Beck und Barth, Athen.
- Brumfiel/Earle 1987
Elizabeth M. Brumfiel/Timothy K. Earle, Specialization, Exchange, and Complex Societies: An Introduction. In: Elizabeth M. Brumfiel/Timothy K. Earle (Hrsg.), *Specialization, Exchange, and Complex Societies. New Directions in Archaeology 1987* (Cambridge 1987) 1–9. Cambridge University Press Cambridge.
- Burr Thompson 1963
Dorothy Burr Thompson, *Troy: The Terracotta Figurines of the Hellenistic Period. Supplementary Monograph 3* (Princeton 1963). Princeton University Press, Princeton.
- Byrd/Owens 1997
John E. Byrd/Dalford D. Owens Jr., A Method of Measuring Relative Abundance of Fragmented Archaeological Ceramics. *Journal of Field Archaeology* 24, 1997, 315–320.

- Çakırlar 2007 Canan Çakırlar, Mollusk Shells in Troia, Yenibademli, and Ulucak: An Archaeomalacological Approach to Environment and Economy in the Aegean. Unveröffentlichte Dissertation an der Fakultät für Geowissenschaften der Eberhard Karls Universität Tübingen (Tübingen 2007).
- Çakırlar 2009 Canan Çakırlar, Mollusk Shells in Troia, Yenibademli, and Ulucak: An Archaeomalacological Approach to Environment and Economy in the Aegean. *British Archaeological Reports, International Series 2051* (Oxford 2009). Hadrian Books, Oxford.
- Calvert 1859 Frank Calvert, The Tumulus of Hanai Tepeh in the Troad. *The Archaeological Journal* 16, 1859, 1–6.
- Cameron 1990 Catherine M. Cameron, Pit Structure Abandonment in the Four Corners Region of the American Southwest: Late Basketmaker III and Pueblo I Periods. *Journal of Field Archaeology* 17, 1990, 27–37.
- Cameron 1991 Catherine M. Cameron, Structure Abandonment in Villages. In: Michael B. Schiffer (Hrsg.), *Archaeological Method and Theory* 3. (Tucson 1991) 155–194. Academic Press, Tucson.
- Cameron 1992 Catherine M. Cameron, An Analysis of Residential Patterns and the Oraibi Split. *Journal of Anthropological Archaeology* 11, 1992, 173–186.
- Cameron 1993 Catherine M. Cameron, Abandonment and Archaeological Interpretation. In: Catherine M. Cameron/Steve A. Tomka (Hrsg.), *Abandonment of Settlements and Regions: Ethnoarchaeological and Archaeological Approaches. New Directions in Archaeology* (Cambridge 1993) 3–7. Cambridge University Press, Cambridge.
- Carrington Smith 2000 Jill Carrington Smith, The Small Finds: The Spinning and Weaving Implements. In: Cressida Ridley/Ken A. Wardle/Catharine A. Mould, *Servia I: Anglo-hellenic Rescue Excavations 1971–1973* directed by Katerina Rhomiopoulou and Cressida Ridley. With additional contributions by Jill Carrington Smith, Rupert Housley, Richard Hubbard, Jonathan Musgrave and Bill Phelps. *Annual of the British School at Athens, Supplementary Volume 32* (London 2000) 207–263. The British School at Athens, London.
- Carr 1984 Christopher Carr, The Nature of Organization of Intrasite Archaeological Records and Spatial Analytic Approaches to their Investigation. In: Michael B. Schiffer (Hrsg.), *Advances in Archaeological Method and Theory* 7 (Orlando 1984) 103–222. Academic Press, Orlando.

- Carr 1991 Christopher Carr, *Left in the Dust: Contextual Information in Model-focused Archaeology*. In: Ellen M. Kroll/T. Douglas Price (Hrsg.), *The Interpretation of Archaeological Spatial Patterning. Papers presented at a symposium organized at the 52nd Annual Meeting of the Society for American Archaeology held in May 1987 in Toronto, Ontario. Interdisciplinary Contributions to Archaeology* (New York/London 1991) 221–256. Plenum Press, New York/London.
- Caskey 1935 John L. Caskey, *Troy 1935 Vol. IV: F 8/9. Unpubliziertes Tagebuch der Ausgrabungen im Jahre 1935*. Department of Classics, University of Cincinnati.
- Caskey 1937 John L. Caskey, *Troy 1937 Vol. VII: E 8/9, F 8/9. Unpubliziertes Tagebuch der Ausgrabungen im Jahre 1937*. Department of Classics, University of Cincinnati.
- Caskey 1948 John L. Caskey, *Notes on Trojan Chronology*. *American Journal of Archaeology* 52, 1948, 119–122.
- Caskey 1954 John L. Caskey, *Excavations at Lerna*. *Hesperia* 23, 1954, 3–30.
- Caskey 1960 John L. Caskey, *The Early Helladic Period in the Argolid*. *Hesperia* 29, 1960, 285–303.
- Caskey 1968 John L. Caskey, *Lerna in the Early Bronze Age*. *American Journal of Archaeology* 72, 1968, 313–316.
- Caskey 1982 John L. Caskey, *Foreword*. In: George Rapp, Jr./John A. Gifford (Hrsg.), *Troy: The Archaeological Geology. Supplement Monograph 4* (Princeton 1982) vii–viii. Princeton University Press, Princeton.
- Caskey 1986 John L. Caskey, *Did the Early Bronze Age End?* In: Gerald Cadogan (Hrsg.), *The End of the Early Bronze Age in the Aegean*. *Cincinnati Classical Studies, New Series VI* (Leiden 1986) 9–30. E. J. Brill, Leiden.
- Childe 1939 V. Gordon Childe, *The Orient and Europe*. *American Journal of Archaeology* 43, 1939, 10–26.
- Chilton 1999 Elizabeth S. Chilton, *One Size Fits All: Typology and Alternatives for Ceramic Research*. In: Elizabeth S. Chilton (Hrsg.), *Material Meaning: Critical Approaches to the Interpretation of Material Culture. Foundations of Archaeological Inquiry* (Salt Lake City 1999) 44–60. University of Utah Press, Salt Lake City.
- Çiğ 1993 Muazzez İ. Çiğ, *Mustafa Kemal Atatürk und die Archäologie der Türkei*. *Istanbul Mitteilungen* 43, 1993, 517–522.
- Ciolek-Torrello 1985 Richard Ciolek-Torrello, *A Typology of Room Function at Grashopper Pueblo*. *Journal of Field Archaeology* 12, 1985, 41–63.
- Clark/Kurashina 1981 J. Desmond Clark/Hiro Kurashina, *A Study of the Work of a Modern Tanner in Ethiopia and Its Relevance for Archaeological Interpretation*. In: Richard A. Gould/Michael B. Schiffer (Hrsg.), *Modern Material Culture: The Archaeology of Us. Studies in Archaeology* (New York 1981) 303–321. Academic Press, New York.

- Clarke 1968 David L. Clarke, *Analytical Archaeology* (London 1968). Methuen, London.
- Collon 2007 Dominique Collon, Larger Stone Artefacts. In: Nicholas Postgate/David Thomas (Hrsg.), *Excavations at Kilise Tepe 1994–98: From Bronze Age to Byzantine in Western Cilicia*. McDonald Institute Monographs = British Institute at Ankara Monographs 30 (Cambridge 2007) 567–576. McDonald Institute for Archaeological Research, Cambridge.
- Collon/Symington 2007a Dominique Collon/Dorit Symington, Miscellaneous Clay Artefacts. In: Nicholas Postgate/David Thomas (Hrsg.), *Excavations at Kilise Tepe 1994–98: From Bronze Age to Byzantine in Western Cilicia*. McDonald Institute Monographs = British Institute at Ankara Monographs 30 (Cambridge 2007) 449–468. McDonald Institute for Archaeological Research, Cambridge.
- Collon/Symington 2007b Dominique Collon/Dorit Symington, Smaller Stone Artefacts. In: Nicholas Postgate/David Thomas (Hrsg.), *Excavations at Kilise Tepe 1994–98: From Bronze Age to Byzantine in Western Cilicia*. McDonald Institute Monographs = British Institute at Ankara Monographs 30 (Cambridge 2007) 559–566. McDonald Institute for Archaeological Research, Cambridge.
- Cook 1973a John M. Cook, *The Troad: An Archaeological and Topographical Study* (Oxford 1973). Oxford University Press, Oxford.
- Cook 1973b John M. Cook, Bronze Age Sites in the Troad. In: Ronald A. Crossland/Ann Birchall (Hrsg.), *Bronze Age Migrations in the Aegean: Archaeological and Linguistic Problems in Greek Prehistory*. Proceedings of the First International Colloquium on Aegean Prehistory, Sheffield 1970 (London 1973) 37–40. Duckworth, London.
- Cordell/Upham 1989 Linda S. Cordell/Steadman Upham, Culture and Cultural Behavior: One More Time, Please. *American Antiquity* 54, 1989, 815–819.
- Cordell *et al.* 1987 Linda S. Cordell/Steadman Upham/Sharon L. Brock, Obscuring Cultural Patterns in the Archaeological Record: A Discussion from Southwestern Archaeology. *American Antiquity* 52, 1987, 565–577.
- Costin 1991 Cathy Lynne Costin, Craft Specialization: Issues in Defining, Documenting, and Explaining the Organization of Production. In: Michael B. Schiffer (Hrsg.), *Archaeological Method and Theory 3* (Tucson 1991) 1–56. University of Arizona Press, Tucson.
- Courtin/Villa 1982 Jean Courtin/Paola Villa, Une expérience de piétinement. *Bulletin Société Préhistorique Française* 79, 1982, 117–123.
- Creighton/Segui 1998 Oliver H. Creighton/Joan R. Segui, The Ethnoarchaeology of Abandonment and Post-Abandonment Behaviour in Pastoral Sites: Evidence from Famorca, Alacant Province, Spain. *Journal of Mediterranean Archaeology* 11, 1998, 31–52.

- Cronyn 1990 Janet M. Cronyn, *The Elements of Archaeological Conservation* (London/New York 1990). Routledge, London/New York.
- Cultraro 2009 Massimo Cultraro, *Crete and the Islands of North Aegean Before the Palaces: Reconsidering the Evidence of Poliochni, Lemnos*. In: Colin F. Macdonald/Erik Hallager/Wolf-Dietrich Niemeier (Hrsg.), *The Minoans in the Central, Eastern and Northern Aegean: New Evidence. Acts of a Minoan Seminar 22–23 January 2005 in collaboration with the Danish Institute at Athens and the German Archaeological Institute at Athens. Monographs of the Danish Institute at Athens (Athens 2009)* 219–241. Aarhus University Press, Århus.
- Daviau 1993 P. M. Michèle Daviau, *Houses and their Furnishings in Bronze Age Palestine: Domestic Activity Areas and Artefact Distribution in the Middle and Late Bronze Ages. JSOT/ASOR Monograph Series 8* (Sheffield 1993). Sheffield Academic Press, Sheffield.
- Deal 1985 Michael Deal, *Household Pottery Disposal in the Maya Highlands: An Ethnoarchaeological Interpretation. Journal of Anthropological Archaeology* 4, 1985, 243–291.
- Deal 1998 Michael Deal, *Pottery Ethnoarchaeology in the Central Maya Highlands. Foundations of Archaeological Inquiry* (Salt Lake City 1998). University of Utah Press, Salt Lake City.
- Deal/Hagstrum 1995 Michael Deal/Melissa B. Hagstrum, *Ceramic Reuse among the Maya and Wanka: Implications for Archaeology*. In: James M. Skibo/William H. Walker/Axel E. Nielsen (Hrsg.), *Expanding Archaeology. Foundations of Archaeological Inquiry* (Salt Lake City 1995) 111–125. University of Utah Press, Salt Lake City.
- DeBoer/Lathrap 1979 Warren R. DeBoer/Donald W. Lathrap, *The Making and Breaking of Shipibo-Conibo Ceramics*. In: Carol Kramer (Hrsg.), *Ethnoarchaeology: Implications of Ethnoarchaeology for Archaeology* (New York 1979) 102–138. Columbia University Press, New York.
- Dibble *et al.* 1997 Harold L. Dibble/Philip G. Chase/Shannon P. McPherron/Alain Tuffreau, *Testing the Reality of a »Living Floor« with Archaeological Data. American Antiquity* 62, 1997, 629–651.
- Diehl 1998 Michael W. Diehl, *The Interpretation of Archaeological Floor Assemblages: A Case Study from the American Southwest. American Antiquity* 63, 1998, 617–634.
- Di Nocera 1998 Gian Maria Di Nocera, *Die Siedlung der Mittelbronzezeit von Arslantepe. Eine Zentralsiedlung von Beginn des zweiten Jahrtausends v. Chr. in der Ebene von Malatya (Türkei). Arslantepe: Risultati delle ricerche e scavi della Missione Archeologica Italiana nell'Anatolia Orientale VIII* (Roma 1998). Visceglia, Roma.
- Dittemore 1983 Margaret R. Dittemore, *Zemzemiye: An Ethno-Archaeological Study of a Turkish Village. Ph.D. dissertation, University of Chicago. University Microfilms International (Ann Arbor 1983). University Microfilms International, Ann Arbor.*

- Doumas/Aggelopoulou 1997 Christos G. Doumas/Anastasia Aggelopoulou, Οι βασιχοί χεραμιχοί τύποι της Πολιόχνης και η διάδοσή τους στο Αιγαίο κατά την Πρώιμη Εποχή του Χαλκού. In: Christos G. Doumas/Vincent La Rosa (Hrsg.), Η Πολιόχνη και η Πρώιμη Εποχή του Χαλκού στο Βόρειο Αιγαίο – Poliochni e l'antica età del bronzo nell' Egeo settentrionale. Διεθές Συνέδριο Αθήνα, 22–25 Απριλίου 1996 – Convegno Internazionale Atene, 22–25 Aprile 1996 (Αθήνα 1997) 543–555. Scuola Archeologica Italiana di Atene & Πανεπιστήμιο Αθηνών, Αθήνα.
- Dörpfeld 1890 Wilhelm Dörpfeld, Die Bauwerke in Troja. In: Heinrich Schliemann, Bericht über die Ausgrabungen in Troia im Jahre 1890. Mit einem Vorwort von Sophie Schliemann und Beiträgen von Dr. Wilhelm Dörpfeld (Leipzig 1890) 38–60. F. A. Brockhaus, Leipzig.
- Dörpfeld 1894 Wilhelm Dörpfeld, Troja 1893. Bericht über die im Jahre 1893 in Troja veranstalteten Ausgrabungen. Unter Mitwirkung von Alfred Brueckner, Max Weigel und Wilhelm Wilberg (Leipzig 1894). F. A. Brockhaus, Leipzig.
- Dörpfeld 1902 Wilhelm Dörpfeld, Troja und Ilion. Ergebnisse der Ausgrabungen in den vorhistorischen und historischen Schichten von Ilion 1870–1894. Unter Mitwirkung von Alfred Brückner, Hans von Fritze, Alfred Götze, Hubert Schmidt, Wilhelm Wilberg, Hermann Winnefeld (Athen 1902). Beck und Barth, Athen.
- Dörpfeld 1936 Wilhelm Dörpfeld, Die Burg Troja des Priamos. Archäologischer Anzeiger 51, 1936, 1–14.
- Dunnell/Feathers 2003 Robert C. Dunnell/James K. Feathers, Late Woodland Manifestations of the Malden Plain, Southeast Missouri. In: Michael O'Brien/R. Lee Lyman (Hrsg.), Style, Function, Transmission: Evolutionary Archaeological Perspectives. Foundations of Archaeological Inquiry (Salt Lake City 2003) 227–242. University of Utah Press, Salt Lake City.
- Easton 1976 Donald F. Easton, Towards a Chronology for the Anatolian Early Bronze Age. Anatolian Studies XXVI, 1976, 145–173.
- Easton 1992a Donald F. Easton, »Was Schliemann a Liar?« In: Joachim Herrmann, (Hrsg.), Heinrich Schliemann. Grundlagen und Ergebnisse moderner Archäologie 100 Jahre nach Schliemann Tod (Berlin 1992) 191–198. Akademie Verlag, Berlin.
- Easton 1992b Donald F. Easton, Schliemanns Ausgrabungen in Troia. In: Justus Cobet/Barbara Patzek (Hrsg.), Archäologie und historische Erinnerung: nach 100 Jahren Heinrich Schliemann (Essen 1992) 51–72. Klartext-Verlag, Essen.
- Easton 1997 Donald F. Easton, The Excavation of the Trojan Treasures, and their History up to the Death of Schliemann 1890. In: Elizabeth Simpson (Hrsg.), The Spoils of War – World War II and its Aftermath: The Loss, Reappearance, and Recovery of Cultural Property (New York 1997) 194–199. Harry N. Abrams, New York.

- Easton 2000 Donald F. Easton, Schliemann's »Burnt City«. *Studia Troica* 10, 2000, 73–83.
- Easton 2002 Donald F. Easton, Schliemann's Excavation at Troia 1870–1873. *Studia Troica Monographien 2* (Mainz am Rhein 2002). Philipp von Zabern, Mainz am Rhein.
- Easton 2006 Donald F. Easton, Mit der Ilias im Gepäck – Die Erforschung Troias bis 1890. In: Manfred. O. Korfmann (Hrsg.), *Troia – Archäologie eines Siedlungshügels und seiner Landschaft* (Mainz am Rhein 2006) 107–116. Philipp von Zabern, Mainz am Rhein.
- Easton *et al.* 2002 Donald F. Easton/David Hawkins/Andrew G. Sherratt/E. Susan Sherratt, Troy in Recent Perspective. *Anatolian Studies* LII, 2002, 75–109.
- Easton/Weninger 1993 Donald F. Easton/Bernhard Weninger, Troia VI Lower Town – İ8 and K8: A Test Case for Dating by Pottery Seriation. *Studia Troica* 3, 1993, 45–96.
- Efe 1988 Turan Efe, Demircihüyük III, 2. Die Keramik 2: C. Die frühbronzezeitliche Keramik der jüngeren Phasen (ab Phase H) (Mainz am Rhein 1988). Philipp von Zabern, Mainz am Rhein.
- Efe 1994 Turan Efe, Early Bronze Age III Pottery from Bahçeşisar: The Significance of the Pre-Hittite Sequence in the Eskişehir Plain, Northwestern Anatolia. *American Journal of Archaeology* 98, 1994, 5–34.
- Efe 2002 Turan Efe, The Interaction Between Cultural/Political Entities and Metalworking in Western Anatolia during the Chalcolithic and Early Bronze Ages. In: Ünsal Yalçın (Hrsg.), *Anatolian Metal II. Der Anschnitt, Beiheft 15 = Veröffentlichungen aus dem Deutschen Bergbau-Museum* 109 (Bochum 2002) 49–65.
- Efe 2003a Turan Efe, Batı Anadolu Tunç Çağı Uygarlığının Doğuşu. *ArkeoAtlas 2*, 2003, 92–129.
- Efe 2003b Turan Efe, Pottery Distribution within the Early Bronze Age of Western Anatolia and its Implications upon Cultural, Political (and Ethnic?) Entities. In: Mihriban Özbaşaran/Oğuz. Tanındı/Ahmet Boratav (Hrsg.), *Homo amatus: Güven Arsebük İçin Armağan Yazılar – Archaeological Essays in Honour of Güven Arsebük* (İstanbul 2003) 87–103. Ege Yayınları, İstanbul.
- Efe 2006 Turan Efe, Anatolische Wurzeln – Troia und die frühe Bronzezeit im Westen Kleinasiens. In: Manfred. O. Korfmann (Hrsg.), *Troia – Archäologie eines Siedlungshügels und seiner Landschaft* (Mainz am Rhein 2006) 15–28. Philipp von Zabern, Mainz am Rhein.
- Efe 2007 Turan Efe, The Theories of the »Great Caravan Route« between Cilicia and Troy: The Early Bronze Age III Period in Inland Western Anatolia. *Anatolian Studies* LVII, 2007, 47–64.

- Efe/İlaslı 1997
 Turan Efe/Ahmet İlaslı, Pottery Links Between the Troad and Inland Northwestern Anatolia During the Trojan Second Settlement. In: Christos G. Doumas/Vincent La Rosa (Hrsg.), *Η Πολιόχνη και η Πρώιμη Εποχή του Χαλκού στο Βόρειο Αιγαίο – Poliochni e l'antica età del bronzo nell'Egeo settentrionale*. Διεθές Συνέδιο Αθήνα, 22–25 Απριλίου 1996 – Convegno Internazionale Atene, 22–25 Aprile 1996 (Αθήνα 1997) 596–609. Scuola Archeologica Italiana di Atene & Πανεπιστήμιο Αθηνών, Αθήνα.
- Efe/Türkteki 2011a
 Turan Efe/Murat Türkteki, Inland Western Anatolian Region: Introduction. In: *Across: The Cyclades and Western Anatolia during the 3rd Millenium BC*. Begleitband zur Ausstellung »Across: The Cyclades and Western Anatolia during the 3rd Millenium BC« in İstanbul, 24. Mai bis 28. August 2011 (İstanbul 2011) 186–191. Çağatay Anadolu Kitap Yayınevi, İstanbul.
- Efe/Türkteki 2011b
 Turan Efe/Murat Türkteki, Early Bronze Age Pottery in the Inland Western Anatolian Region. In: *Across: The Cyclades and Western Anatolia during the 3rd Millenium BC*. Begleitband zur Ausstellung »Across: The Cyclades and Western Anatolia during the 3rd Millenium BC« in İstanbul, 24. Mai bis 28. August 2011 (İstanbul 2011) 214–207. Çağatay Anadolu Kitap Yayınevi, İstanbul.
- Eggert 1978
 Manfred K. H. Eggert, *Prähistorische Archäologie und Ethnologie: Studien zur amerikanischen New Archaeology*. *Prähistorische Zeitschrift* 53, 1978, 6–164.
- Eggert 2008
 Manfred K. H. Eggert, *Prähistorische Archäologie: Konzepte und Methoden*. UTB für Wissenschaft 2092³ (Tübingen/Basel 2001). A. Francke, Tübingen/Basel.
- Egloff 1973
 Brian J. Egloff, A Method for Counting Ceramic Rim Sherds. *American Antiquity* 38, 1973, 351–353.
- Elster 2003
 Ernestine S. Elster, Tools of the Spinner, Weaver, and Mat Maker. In: Ernestine S. Elster/Colin Renfrew (Hrsg.), *Prehistoric Sitagroi: Excavations in Northeast Greece, 1968–1970. Volume 2: The Final Report*. *Monumenta Archaeologica* 20 (Los Angeles 2003) 229–282. University of California/Cotsen Institute of Archaeology, Los Angeles.
- Emre 1989
 Kutlu Emre, Pottery of Levels III and IV at the Karum Kanesh. In: Kutlu Emre/Machteld Mellink/Barthel Hroudou/Nimet Özgüç (Hrsg.), *Anatolia and the Ancient Near East*. Tahsin Özgüç'e Armağan – Studies in Honor of Tahsin Özgüç (Ankara 1989) 111–128. Anadolu Medeniyetleri Araştırma ve Tanıt, Ankara.
- Enloe *et al.* 1994
 James G. Enloe/Francine David/Timothy S. Hare, Patterns of Faunal Processing at Section 27 of Pincevent: The Use of Spatial Analysis and Ethnoarchaeological Data in the Interpretation of Archaeological Site Structure. *Journal of Anthropological Archaeology* 13, 1994, 105–124.

- Erkanal 2008 Hayat Erkanal, Liman Tepe: New Light on Prehistoric Aegean Cultures. In: Hayat Erkanal/Harald Hauptmann/Vasif Şahoğlu/Rıza Tuncel (Hrsg.), *The Aegean in the Neolithic, Chalcolithic and the Early Bronze Age. Proceedings of the International Symposium, Urla – İzmir (Turkey), October 13 th–19 th, 1997*. Ankara University Research Center for Maritime Archaeology (ANKÜSAM) Publication 1 (Ankara 2008) 180–190. Ankara University Press, Ankara.
- Erkanal *et al.* 2009 Hayat Erkanal/Vasif Şahoğlu/Rıza Tuncel/Ourania Kouka/Levent Keskin/İrfan Tuğcu, *Liman Tepe 2007 Yılı Kazı. Kazı Sonuçları Toplantısı XXX*, Ankara 26.–30. Mayıs 2008 (Ankara 2009) 299–322. T.C. Kültür Bakanlığı Yayınları, Ankara.
- Evans/Renfrew 1968 John Davies Evans/Colin Renfrew, *Excavations at Saliagos Near Antiparos. The British School of Archaeology at Athens, Supplementary Volume 5 (Oxford 1968)*. Thames and Hudson, Oxford.
- Farrand 1993 William R. Farrand, *Discontinuity in the Stratigraphic Record: Snapshots from Franchthi Cave*. In: Paul Goldberg/David T. Nash/Michael D. Petraglia (Hrsg.), *Formation Processes in Archaeological Context. Monographs in World Archaeology 17 (Madison 1993)* 85–96. Prehistory Press, Madison.
- Feathers 1989 James Feathers, *Effects of Temper on Strength of Ceramics: Response to Bronitsky and Hamer. American Antiquity 54, 1989, 579–588*.
- Felsch 1988 Rainer C. S. Felsch, *Samos II: Das Kastro Tigani. Die spätneolithische und chalkolitische Siedlung (Bonn 1988)*. Rudolf Habelt, Bonn.
- Fetten/Noll 1992 Frank G. Fetten/Elisabeth Noll, *Perspektiven der Ethnoarchäologie: Das Beispiel der Bestattung in Molluskenhaufen. Ethnographisch-Archäologische Zeitschrift 33, 1992, 161–207*.
- Flenniken/Haggarty 1979 J. Jeffrey Flenniken/James C. Haggarty, *Trampling as an Agency in the Formation of Edge Damage: An Experiment in Lithic Technology. Northwest Anthropological Research Notes 19, 1979, 208–214*.
- French 1961 David H. French, *Late Chalcolithic Pottery in North-West Turkey and the Aegean. Anatolian Studies XI, 1961, 99–141*.
- French 1968 David H. French, *Anatolia and the Aegean in the Third Millenium B.C. Unpublizierte Dissertation, Universität Cambridge. Cambridge*.
- French 1969 David H. French, *Prehistoric Sites in Nortwest Anatolia II: The Balikesir and Akhisar/Manisa Regions. Anatolian Studies XIX, 1969, 41–98*.
- Friedman 2003 Kinky Friedman, *Scuse Me While I Whip this Out: Refelctions on Country Singers, Presidents, and other Troublemakers (New York 2003)*. William Morrow, New York.
- Frirdich 1997 Christiane Frirdich, *Pinnacle E4/5 – Die Keramik der Periode Troia II im Vergleich. Studia Troica 7, 1997, 111–258*.

- Gabriel 2000 Utta Gabriel, Mitteilungen zum Stand der Neolithikumsforschung in der Umgebung von Troia (Kumtepe 1993–1995; Beşik-Sivritepe 1983–1984, 1987, 1998–1999). *Studia Troica* 10, 1995, 233–238.
- Garstang 1953 John Garstang, Prehistoric Mersin: Yümük Tepe in Southern Turkey. The Neilson Expedition in Cilicia (Oxford 1953). Clarendon Press, Oxford.
- Gatsov 1998 Ivan Gatsov, Technical and Typological Analyss of the Chipped Stone Assemblages from Troia. *Studia Troica* 8, 1998, 115–140.
- Gatsov 2002 Ivan Gatsov, Additional Remarks about the Chipped Stone Industry from Troy. In: Rüstem Aslan/Stephan W. E. Blum/Gabriele Kastl/Frank Schweizer/Diane Thumm (Hrsg.), *Mauerschau. Festschrift für Manfred Korfmann (Remshalden-Grundbach 2002)* 275–280. Bernhard Albert Greiner, Remshalden-Grundbach.
- Gejvall 1938 Nils-Gustaf Gejvall, The Fauna of Troy. *Kungliga Hujmanistika Vetenskapssamfundet Årsberättelse 1937/1938*, 51–57.
- Gejvall 1939 Nils-Gustaf Gejvall, The Fauna of Troy. *Kungliga Hujmanistika Vetenskapssamfundet Årsberättelse 1938/1939*, 1–7.
- Genz 2002 Hermann Genz, Die frühbronzezeitliche Keramik von *Hirbet ez-Zer-aqōn*. Mit Studien zur Chronologie und funktionalen Deutung frühbronzezeitlicher Keramik in der südlichen Levante. *Abhandlungen der Deutschen Palästina-Vereins 27.2 (Wiesbaden 2002)*. Harrassowitz, Wiesbaden.
- Gibson/Woods 1997 Alex Gibson/Ann Woods, *Prehistoric Pottery for the Archaeologist²* (London 1997). Leicester University Press, London.
- Gifford 1978 Diane P. Gifford, Ethnoarchaeological Observations of Natural Processes Affecting Cultural Materials. In: Richard A. Gould (Hrsg.), *Explorations in Ethnoarchaeology. Papers prepared for a School of American Research advanced seminar held in Santa Fe, Nov. 17–21, 1975 (Albuquerque 1978)* 77–101. University of New Mexico Press, Albuquerque.
- Gifford/Behrensmeyer 1977 Diane P. Gifford/A. Kay Behrensmeyer, Observed Formation and Burial of a Recent Human Occupation Site in Kenya. *Quaternary Research* 8, 1977, 245–266.
- Gifford-Gonzalez *et al.* 1985 Diane P. Gifford-Gonzalez/David B. Damrosch/Debra R. Damrosch/John Pryor/Robert L. Thunen, The Third Dimension in Site Structure: An Experiment in Trampling and Vertical Dispersal. *American Antiquity* 50, 1985, 803–818.
- Gifford *et al.* 1982 John A. Gifford/George Rapp, Jr./Carol M. Moss, The Sedimentary Matrix. In: George Rapp, Jr./John A. Gifford (Hrsg.), *Troy: The Archaeological Geology. Supplement Monograph 4 (Princeton 1982)* 61–103. Princeton University Press, Princeton.
- Goessler 1951 Peter Goessler, Wilhelm Dörpfeld. Ein Leben im Dienst der Antike (Stuttgart 1951). W. Kohlhammer, Stuttgart.

- Goethert/Schleif 1962 Friedrich W. Goethert/Hans Schleif, *Der Athenatempel von Ilion. Denkmäler und Architektur* 10 (Berlin 1962). Walter de Gruyter, Berlin.
- Goldberg/Whitbread 1993 Paul Goldberg/Ian Whitbread, *Micromorphological Study of a Be-douin Tent Floor*. In: Paul Goldberg/David T. Nash/Michael D. Petraglia (Hrsg.), *Formation Processes in Archaeological Context*. Monogr. World Arch. 17 (Madison 1993) 165–188. Prehistory Press, Madison.
- Goldman 1954 Hetty Goldman, *The Relative Chronology of Southeastern Anatolia*. In: Robert W. Ehrich (Hrsg.), *Relative Chronologies in Old World Archaeology* (Chicago 1954) 69–85. University of Chicago Press, Chicago.
- Goldman 1956 Hetty Goldman, *Excavations at Gözlü Kule, Tarsus II: From the Neolithic through the Bronze Age*. With Chapters by Machteld J. Melink and I. J. Gelb and an Appendix by Frederick R. Mason (Princeton 1956). Princeton University Press, Princeton.
- Görsdorf/Kohl 1992 Jochen Görsdorf/Günther Kohl, *The Berlin Radiocarbon Data Base as a Research Tool*. In: Joachim Herrmann (Hrsg.), *Heinrich Schliemann. Grundlagen und Ergebnisse moderner Archäologie 100 Jahre nach Schliemann Tod* (Berlin 1992) 329–335. Akademie Verlag, Berlin.
- Gosden 1999 Chris Gosden, *Anthropology and Archaeology: A Changing Relationship* (London 1999). Routledge, London.
- Gould 1971 Richard A. Gould, *The Archaeologist as Ethnographer: A Case from the Western Desert of Australia*. *World Archaeology* 3.2, 1971, 143–177.
- Gould 1980 Richard A. Gould, *Living Archaeology*. *New Studies in Archaeology* (Cambridge 1980). Cambridge University Press, Cambridge.
- Gould 1984 Richard A. Gould, *Review of »Village Ethnoarchaeology: Rural Iran in Archaeological Perspective« by Carol Kramer*. *American Antiquity* 49, 1984, 201–202.
- Graham 1993 Martha Graham, *Settlement Organization and Residential Variability among the Rarámuri*. In: Catherine M. Cameron/Steve A. Tomka (Hrsg.), *Abandonment of Settlements and Regions: Ethnoarchaeological and Archaeological Approaches*. *New Directions in Archaeology* (Cambridge 1993) 25–42. Cambridge University Press, Cambridge.
- Grayson 1989 Donald K. Grayson, *Bone Transport, Bone Destruction, and Reverse Utility Curves*. *Journal of Archaeological Science* 16, 1989, 643–652.

- Gregg *et al.* 1991 Susan A. Gregg/Keith W. Kintigh/Robert Whallon, Jr., Linking Ethnoarchaeological Interpretation and Archaeological Data: The Sensitivity of Spatial Analytical Methods to Postdepositional Disturbance. In: Ellen M. Kroll/T. Douglas Price (Hrsg.), *The Interpretation of Archaeological Spatial Patterning. Papers presented at a symposium organized at the 52nd Annual Meeting of the Society for American Archaeology held in May 1987 in Toronto, Ontario. Interdisciplinary Contributions to Archaeology* (New York 1991) 149–196. Plenum Press, New York.
- Güldoğan 2003 Emre Güldoğan, Aşıklı Höyük Sürümetaş Endüstrisi Buluntularından Bir Grup (Öğütücü Ve Ezici Aletler). In: Mehmet Özdoğan/Harald Hauptmann/Nezik Başgelen (Hrsg.), *Köyden Kente: Yakınoğuda İlk Yerleşimler – From Village to Cities: Early Villages in the Near East* (İstanbul 2003) 415–427. Arkeoloji ve Sanat Yayınları, İstanbul.
- Gunter 1991 Ann C. Gunter, *The Bronze Age. Gordion Excavations Final Reports III. University Museum Monographs 73* (Philadelphia 1991). The University Museum of Archaeology and Anthropology University of Pennsylvania, Philadelphia.
- Haag 1986 William G. Haag, *Field Methods in Archaeology*. In: David J. Meltzer/Don D. Fowler/Jeremy A. Sabloff (Hrsg.), *American Archaeology: Past and Future. A Celebration of the Society for American Archaeology 1935–1985* (Washington 1986) 63–76. Smithsonian Institution Press, Washington.
- Hachmann 1969 Rolf Hachmann, *Vademecum der Grabung Kamid-el-Loz. Saarbrücker Beiträge zur Altertumskunde 5* (Bonn 1969). Rudolf Habelt, Bonn.
- Hänsel 2005 Bernhard Hänsel, *Wege zur Stadt im vorgeschichtlichen Mitteleuropa*. In: Harry Falk (Hrsg.), *Wege zur Stadt: Entwicklung und Formen urbanen Lebens in der Alten Welt. Vergleichende Studien zu Antike und Orient 2* (Bremen 2005) 186–195. Hempfen Verlag, Bremen.
- Harris 1975 Edward C. Harris, *The Stratigraphic Sequence: A Question of Time*. *World Archaeology* 7, 1975, 109–121.
- Harris 1977 Edward C. Harris, *Units of Archaeological Stratification*. *Norwegian Archaeological Review* 10, 1977, 84–106.
- Harris 1979 Edward C. Harris, *The Laws of Archaeological Stratigraphy*. *World Archaeology* 11, 1979, 111–117.
- Harris 1989 Edward C. Harris, *Principles of Archaeological Stratigraphy*² (London/San Diego 1989). Academic Press, London/San Diego.
- Hasaki 2002 Eleni Hasaki, *Ceramic Kilns in Ancient Greece: Technology and Organization of Ceramic Workshops. Doctorate of Philosophy (Ph.D.) in the Department of Classics of the College of Arts and Sciences, University of Cincinnati* (Cincinnati 2002).

- Hauptmann 1982 Harald Hauptmann, Lidar Höyük 1981. *Anatolian Studies* XXXII, 1982, 17–18.
- Hauptmann 1999 Harald Hauptmann, Alman Arkeoloji Enstitüsü İstanbul Şubesi – Die Abteilung İstanbul des Deutschen Archäologischen Instituts. In: Yapı Kredi Kültür Sanat Yayıncılık (Hrsg.), *Kayıp Zamanların Peşinde: Alman Arkeoloji Enstitüsü Anadolu Kazıları – Auf der Suche nach verschwundenen Zeiten: Die Ausgrabungen des Deutschen Archäologischen Instituts in der Türkei (İstanbul 1999)* 29–39. Yapı Kredi Kültür Sanat Yayıncılık, İstanbul.
- Hayden/Cannon 1983 Brian Hayden/Aubrey Cannon, Where the Garbage Goes: Refuse Disposal in the Maya Highlands. *Journal of Anthropological Archaeology* 2, 1983, 117–163.
- Haynes 1983 Gary Haynes, Frequencies of Spiral and Green-Bone Fractures in Ungulate Limb Bones in Modern Surface Assemblages. *American Antiquity* 48, 1983, 102–114.
- Hedges/Millard 1995 Robert E. M. Hedges/Andrew R. Millard, Bones and Groundwater: Towards the Modelling of Diagenetic Processes. *Journal of Archaeological Science* 22, 1995, 155–164.
- Hegmon *et al.* 1995 Michelle Hegmon/Winston Hurst/James R. Allison, Production for Local Consumption and Exchange: Comparisons of Early Red and White Ware Ceramics in the San Juan Region. In: Barbara J. Mills/Patricia L. Crown, *Ceramic Production in the American Southwest (Tucson 1995)* 30–62. University of Arizona Press, Tucson.
- Herbich/Dietler 1991 Ingrid Herbich/Michael Dietler, Aspects of the Ceramic System of the Luo of Kenya. In: Hartwig Lüdtke/Rüdiger Vossen (Hrsg.), *Töpfereiforschung – archäologisch, ethnologisch, volkskundlich. Beiträge des Internationalen Kolloquiums 1987 in Schleswig. Töpferei- und Keramikforschung 2 (Bonn 1991)* 105–135. Rudolf Habelt, Bonn.
- Herrmann 1992 Joachim Herrmann, Heinrich Schliemann – forschungsgeschichtliche Leistung, wissenschaftsmethodischer Neuanfang und zentenaire Wirkung. In: Joachim Herrmann, (Hrsg.), *Heinrich Schliemann. Grundlagen und Ergebnisse moderner Archäologie 100 Jahre nach Schliemann Tod (Berlin 1992)* 93–102. Akademie Verlag, Berlin.
- Hertel 2003 Dieter Hertel, *Die Mauern von Troia. Mythos und Geschichte im antiken Ilium* (München 2003). C. H. Beck, München.
- Herzog 1993 Irmela Herzog, Computer-aided Harris Matrix Generation. In: Edward C. Harris/Marley R. Brown III/Gregory J. Brown (Hrsg.), *Practices of Archaeological Stratigraphy (London/San Diego 1993)* 201–217. Academic Press, London/San Diego.
- Hiller 1992 Stefan Hiller, Troja und die thrakische Frühbronzezeit. In: Joachim Herrmann (Hrsg.), *Heinrich Schliemann. Grundlagen und Ergebnisse moderner Archäologie 100 Jahre nach Schliemanns Tod (Berlin 1992)* 233–242. Akademie Verlag, Berlin.

- Hitchcock 1987 Robert K. Hitchcock, Sedentism and Site Structure: Organizational Changes in Kalahari Basarwa Residential Locations. In: Susan Kent (Hrsg.), *Method and Theory for Activity Area Research: An Ethnoarchaeological Approach* (New York 1987) 374–423. Columbia University Press, New York.
- Hoffman 1974 Michael A. Hoffman, The Social Context of Trash Disposal in an Early Dynastic Egyptian Town. *American Antiquity* 39, 1974, 35–50.
- Hofman 1986 Jack L. Hofman, Vertical Movement of Artifacts in Alluvial and Stratified Deposits. *Current Anthropology* 27, 1986, 163–171.
- Hood 1982 Sinclair Hood, Excavations in Chios 1938–1955: Prehistoric Emporio and Ayio Gala. *The British School of Archaeology at Athens, Supplementary Volume 16* (Oxford 1982). Thames and Hudson, Oxford.
- Horejs 2007 Barbara Horejs, Das prähistorische Olynth. Ausgrabungen in der Toumba Agios Mamas 1994–1996. Die spätbronzezeitliche handgemachte Keramik der Schichten 13 bis 1. *Prähistorische Archäologie in Südosteuropa* 21 (Rahden 2007). Verlag Marie Leidorf, Rahden.
- Horejs 2010 Barbara Horejs, Bronzezeitliche Besiedlungsmuster im Kaikostal. Interpretationen erster Surveyergebnisse im Umland von Pergamon (Türkei). In: Barbara Horejs/Tobias L. Kienlin (Hrsg.), *Siedlungen und Handwerk – Studien zu sozialen Kontexten in der Bronzezeit. Beiträge zu den Sitzungen der Arbeitsgemeinschaft Bronzezeit auf der Jahrestagung des Nordwestdeutschen Verbandes für Altertumsforschung in Schleswig 2007 und auf dem Deutschen Archäologenkongress in Mannheim 2008. Universitätsforschungen zur prähistorischen Archäologie* 194 (Bonn 2010) 47–67. Rudolf Habelt, Bonn.
- Horne 1993 Lee Horne, Occupational and Locational Instability in Arid Land Settlement. In: Catherine M. Cameron/Steve A. Tomka (Hrsg.), *Abandonment of Settlements and Regions: Ethnoarchaeological and Archaeological Approaches. New Directions in Archaeology* (Cambridge 1993) 43–53. Cambridge University Press, Cambridge.
- Horne 1994 Lee Horne, *Village Spaces: Settlement and Society in Northeastern Iran. Smithonian Series in Archaeological Inquiry* (Washington 1994). Smithsonian Institution Press, Washington.
- Hull 1987 Kathleen L. Hull, Identification of Cultural Site Formation Processes through Microdebitage Analysis. *American Antiquity* 52, 1987, 772–783.
- Hurcombe 1994 Linda M. Hurcombe, *Use Wear Analysis and Obsidian: Theory, Experiments and Results. Sheffield Archaeological Monographs* 4 (Sheffield 1994). J. R. Collis Publications, Sheffield.
- Hurtley 1932 Walter A. Hurtley, *Troy 1932. Unpubliziertes Tagebuch der Ausgrabungen im Jahre 1932. Department of Classics, University of Cincinnati.*

- Inomata/Striver 2003 Takhesi Inomata/Laura R. Stiver, Floor Assemblages from Burned Structures at Aguateca, Guatemala: A Study of Classic Maya Households. *Journal of Field Archaeology* 25, 1998, 431–452.
- Isler 1973 Hans Peter Isler, An Early Bronze Age Settlement on Samos. *Archaeology* 26, 1973, 170–175.
- Ivanova 2008 Mariya Ivanova, Befestigte Siedlungen auf dem Balkan, in der Ägäis und in Westanatolien, ca. 5000–2000 v. Chr. *Tübinger Schriften zur Ur- und Frühgeschichtlichen Archäologie* 8 (Münster/New York/München/Berlin). Waxmann, Münster/New York/München und Berlin.
- Jablonka 2000 Peter Jablonka, Computergestützte Rekonstruktion und Darstellung der Stratigraphie von Troia. *Studia Troica* 10, 2000, 99–122.
- Jablonka 2001 Peter Jablonka, Eine Stadtmauer aus Holz – Das Bollwerk der Unterstadt von Troia II. In: *Archäologisches Landesmuseum Baden-Württemberg et al.* (Hrsg.), *Troia – Traum und Wirklichkeit. Begleitband zur Ausstellung »Troia – Traum und Wirklichkeit«* in Stuttgart, Braunschweig und Bonn 2001/2002 (Stuttgart 2001) 391–394. Konrad Theiss, Stuttgart.
- Jablonka 2006 Peter Jablonka, Leben außerhalb der Burg – Die Unterstadt von Troia. In: Manfred O. Korfmann (Hrsg.), *Troia – Archäologie eines Siedlungshügels und seiner Landschaft (Mainz am Rhein 2006)* 167–180. Philipp von Zabern, Mainz am Rhein.
- Jackson 1981 Thomas L. Jackson, Review of Principles of Archaeological Stratigraphy by Edward C. Harris. *American Antiquity* 47, 1981, 904–905.
- Jennings 1986 Jesse D. Jennings, American Archaeology, 1930–1985. In: David J. Meltzer/Don D. Fowler/Jeremy A. Sabloff (Hrsg.), *American Archaeology: Past and Future. A Celebration of the Society for American Archaeology 1935–1985* (Washington 1986) 53–62. Smithsonian Institution Press, Washington.
- Jerome *et al.* 1999 Pamela Jerome/Giacomo Chiari/Caterina Borelli, The Architecture of Mud: Construction and Repair Technology in the Hadhramaut Region of Yemen. *APT Bulletin* 30.2/3, 1999, 39–48.
- Johnson *et al.* 1988 Jessica S. Johnson/Jeff Clark/Sari Miller-Antonio/Don Robins/Michael B. Schiffer/James M. Skibo, Effects of Firing Temperature on the Fate of Naturally Occurring Organic Matter in Clays. *Journal of Archaeological Science* 15, 1988, 403–414.
- Joukowsky 1986 Martha Sharp Joukowsky, Prehistoric Aphrodisias: An Account of the Excavations and Artifact Studies. *Publications d'histoire de l'art et d'archéologie de l'Université Catholique de Louvain XXXIX = Archaeologica Transatlantica III* (Court-St-Étienne 1986). É. Olfé, Court-St-Étienne.

- Joyce/Johannessen 1993 Arthur A. Joyce/Sissel Johannessen, Abandonment and the Production of Archaeological Variability at Domestic Sites. In: Catherine M. Cameron/Steve A. Tomka (Hrsg.), *Abandonment of Settlements and Regions: Ethnoarchaeological and Archaeological Approaches. New Directions in Archaeology* (Cambridge 1993) 138–153. Cambridge University Press, Cambridge.
- Karg 1999 Norbert Karg, Tarsus and Anatolian Chronology in Retrospect. *Olba* 2, 1999, 283–301.
- Kaschau 1999 Gundela Kaschau, Lidar Höyük: Die Keramik der Mittleren Bronzezeit. *Archaeologica Euphratica* 3 (Mainz am Rhein 1999). Philipp von Zabern, Mainz am Rhein.
- Kayan 1995 İlhan Kayan, The Troia Bay and Supposed Harbour Sites in the Bronze Age. *Studia Troica* 5, 1995, 211–235.
- Keeley 1982 Lawrence H. Keeley, Hafting and Retooling: Effects on the Archaeological Record. *American Antiquity* 47, 1982, 798–809.
- Kent 1980 Susan Kent, *Activity Areas: An Ethnoarchaeological Study of Spatial Patterning*. Ph.D. dissertation, University of Washington. University Microfilms International (Ann Arbor 1980). University Microfilms International, Ann Arbor.
- Kent 1984 Susan Kent, *Analyzing Activity Areas: An Ethnoarchaeological Study of the Use of Space* (Albuquerque 1984). University of New Mexico Press, Albuquerque.
- Kent 1987 Susan Kent, *Understanding the Use of Space: An Ethnoarchaeological Approach*. In: Susan Kent (Hrsg.), *Method and Theory for Activity Area Research: An Ethnoarchaeological Approach* (New York 1987) 2–60. Columbia University Press, New York.
- Kent 1990a Susan Kent, *Activity Areas and Architecture: An Interdisciplinary View of the Relationship between Use of Space and Domestic Built Environments*. In: Susan Kent (Hrsg.), *Domestic Architecture and the Use of Space: An Interdisciplinary Cross-cultural Study. New Directions in Archaeology* (Cambridge 1990) 1–8. Cambridge University Press, Cambridge.
- Kent 1990b Susan Kent, *A Cross-cultural Study of Segmentation, Architecture, and the Use of Space*. In: Susan Kent (Hrsg.), *Domestic Architecture and the Use of Space: An Interdisciplinary Cross-cultural Study. New Directions in Archaeology* (Cambridge 1990) 127–152. Cambridge University Press, Cambridge.
- Kent 1992 Susan Kent, Studying Variability in the Archaeological Record: An Ethnoarchaeological Model for Distinguishing Mobility Patterns. *American Antiquity* 57, 1992, 635–660.

- Kent 1993a Susan Kent, Models of Abandonment and Material Culture Frequencies. In: Catherine M. Cameron/Steve A. Tomka (Hrsg.), *Abandonment of Settlements and Regions: Ethnoarchaeological and Archaeological Approaches. New Directions in Archaeology* (Cambridge 1993) 54–73. Cambridge University Press, Cambridge.
- Kent 1993b Susan Kent, Variability in Faunal Assemblages: The Influence of Hunting Skill, Sharing, Dogs, and Mode of Cooking on Faunal Remains at a Sedentary Kalahari Community. *Journal of Anthropological Archaeology* 12, 1993, 323–385.
- Kılıç 2008 Sinan Kılıç, *Keramikfunde der Frühbronzezeit I–II aus Fundplätzen im Umkreis des Marmara-Meeres (Nordwest-Türkei)*. Unpublizierte Magisterarbeit, Universität Tübingen. Tübingen.
- Klinkott 2004 Manfred Klinkott, *Die Wehrmauern von Troia VI – Bauaufnahme und Auswertung*. *Studia Troica* 14, 2004, 33–85.
- Kluwe 1992 Ernst Kluwe, Schliemann und Dörpfeld. In: Joachim Herrmann, (Hrsg.), *Heinrich Schliemann. Grundlagen und Ergebnisse moderner Archäologie 100 Jahre nach Schliemann Tod* (Berlin 1992) 153–160. Akademie Verlag, Berlin.
- Knacke-Loy 1994 Onno Knacke-Loy, *Isotopenchemische, chemische und petrographische Untersuchungen zur Herkunftsbestimmung der bronzezeitlichen Keramik von Troia*. *Heidelberger Geowissenschaftliche Abhandlungen 77* (Heidelberg 1994). Ruprecht-Karls-Universität Heidelberg, Heidelberg.
- Knacke-Loy *et al.* 1995 Onno Knacke-Loy/Muharrem Satır/Ernst Pernicka, *Zur Herkunftsbestimmung der bronzezeitlichen Keramik von Troia: Chemische und isotopenchemische (Nd, Sr, Pb) Untersuchungen*. *Studia Troica* 5, 1995, 145–175.
- Knappett 2007 Carl Knappett, *Detailed Fabric Descriptions*. In: Nicholas Postgate/David Thomas (Hrsg.), *Excavations at Kilise Tepe 1994–98: From Bronze Age to Byzantine in Western Cilicia*. McDonald Institute Monographs = British Institute at Ankara Monographs 30 (Cambridge 2007) 273–293. McDonald Institute for Archaeological Research, Cambridge.
- Knappett/Kilikoglu 2007 Carl Knappett/Vassilis Kilikoglu, *Pottery Fabrics and Technology*. In: Nicholas Postgate/David Thomas (Hrsg.), *Excavations at Kilise Tepe 1994–98: From Bronze Age to Byzantine in Western Cilicia*. McDonald Institute Monographs = British Institute at Ankara Monographs 30 (Cambridge 2007) 241–272. McDonald Institute for Archaeological Research, Cambridge.

- Knudson 1979 Ruthann Knudson, Inference and Imposition in Lithic Assemblage. In: Brian Hayden (Hrsg.), *Lithic Use-Wear Analysis. Proceedings of the Conference on Lithic Use-Wear held at Department of Archaeology, Simon Fraser University, Burnbay, British Columbia, Canada, March 16 through March 20, 1977. Studies in Archaeology* (New York 1979) 269–281. Academic Press, New York.
- Kobyliński/Moszczyński 1992 Zbigniew Kobyliński/Waldemar A. Moszczyński, Conjoinable Sherds and Stratificational Processes: An Example from Wyszogród, Płock Province, Poland. *Archaeologia Polona* 30, 1992, 109–126.
- Koetje 1993 Todd A. Koetje, Site Formation Processes and Behavioral Deposition Episodes: The View from Le Flageolet II. In: Paul Goldberg/David T. Nash/Michael D. Petraglia (Hrsg.), *Formation Processes in Archaeological Context. Monographs in World Archaeology* 17 (Madison 1993) 113–123. Prehistory Press, Madison.
- Kolb 1984 Frank Kolb, *Die Stadt im Altertum* (München 1984). C.H. Beck, München.
- Köpke/Graf 1988 Zur Typologie der keramischen Brennanlagen im westlichen Mittelmeergebiet. In: Rüdiger Vossen (Hrsg.), *Töpfereiforschung zwischen Archäologie und Entwicklungspolitik. Töpferei- und Keramikforschung* 1 (Bonn 1988) 111–127. Rudolf Habelt, Bonn.
- Koppenhöfer 2003 Dietrich Koppenhöfer, Buckelkeramik und Barbarische Ware in Troia: Anmerkungen zur Herkunft. In: Rüstem Aslan/Stephan W. E. Blum/Gabriele Kastl/Frank Schweizer/Diane Thumm (Hrsg.), *Mauerschau. Festschrift für Manfred Korfmann (Remshalden-Grundbach 2002)* 679–704. Bernhard Albert Greiner, Remshalden-Grundbach.
- Korfmann 1981 Rezension zu: Christian Podzuweit, *Trojanische Gefäßformen der Frühbronzezeit in Anatolien, der Ägäis und angrenzenden Gebieten. Ein Beitrag zur vergleichenden Stratigraphie*. Heidelberger Akademie der Wissenschaften, Internationale interakademische Kommission für die Erforschung der Vorgeschichte des Balkans *Monographien* 1 (Mainz am Rhein 1979). *Germania* 59, 1981, 405–413.
- Korfmann 1982 Manfred Korfmann, *Tilkitepe. Die ersten Ansätze prähistorischer Forschung in der östlichen Türkei. Mit Anhängen von Kirsopp und Silva Lake, Patty Jo Watson und Metin Özbek. Istanbuler Mitteilungen, Beiheft* 26 (Tübingen 1982). Ernst Wasmuth, Tübingen.
- Korfmann 1983a Manfred Korfmann, *Demircihüyük I. Die Ergebnisse der Ausgrabungen von 1975–1978. Architektur, Stratigraphie und Befunde* (Mainz am Rhein 1983). Philipp von Zabern, Mainz am Rhein.
- Korfmann 1983b Manfred Korfmann, *Red Cross Bowl – Angeblicher Leittyp für Troia V*. In: Rainer M. Boehmer/Harald Hauptmann (Hrsg.), *Beiträge zur Altertumskunde Kleinasiens. Festschrift für Kurt Bittel* (Mainz am Rhein 1983) 291–297. Philipp von Zabern, Mainz am Rhein.

- Korfmann 1985 Manfred Korfmann, Beşik-Tepe: Vorbericht über die Ergebnisse der Grabung von 1983. Grabungen am Beşik-Yassitepe und Beşik-Sivritepe. *Archäologischer Anzeiger* 1985, 157–172.
- Korfmann 1989 Manfred Korfmann, Zu Troias ältester »Verteidigungsmauer«. *Istanbuler Mitteilungen* 39, 198, 307–313.
- Korfmann 1990 Manfred Korfmann, Vorwort. In: Heinrich Schliemann, Bericht über die Ausgrabungen in Troja in den Jahren 1871 bis 1873. Mit einem Vorwort von Manfred Korfmann sowie 70 Abbildungen und 48 text-bezogene Tafeln aus dem »Atlas trojanischer Alterthümer« (München/Zürich 1990) vii–xxix. Artemis, München und Zürich.
- Korfmann 1991 Manfred Korfmann, Troia – Reinigungs- und Dokumentationsarbeiten 1987, Ausgrabungen 1988 und 1989. *Studia Troica* 1, 1991, 1–34.
- Korfmann 1992 Troia – Ausgrabungen 1990 und 1991. *Studia Troica* 2, 1992, 1–41
- Korfmann 1993a Manfred Korfmann, Die Forschungsplanung von Heinrich Schliemann in Hisarlık-Troia und die Rolle Wilhelm Dörpfelds. *Studia Troica* 3, 1993, 247–264.
- Korfmann 1993b Manfred Korfmann, Troia – Ausgrabungen 1992. *Studia Troica* 3, 1993, 1–37.
- Korfmann 1994 Manfred Korfmann, Troia – Ausgrabungen 1993. *Studia Troica* 4, 1994, 1–50.
- Korfmann 1995 Manfred Korfmann, Troia – Ausgrabungen 1994. *Studia Troica* 5, 1995, 1–38.
- Korfmann 1996 Manfred Korfmann, Troia – Ausgrabungen 1995. *Studia Troica* 6, 1996, 1–63.
- Korfmann 2000 Manfred Korfmann, Troia – Ausgrabungen 1999. *Studia Troica* 10, 2000, 1–52.
- Korfmann 2001a Manfred Korfmann, Der prähistorische Siedlungshügel Hisarlık. Die »zehn Städte Troias« – von unten nach oben. In: Archäologisches Landesmuseum Baden-Württemberg *et al.* (Hrsg.), Troia – Traum und Wirklichkeit. Begleitband zur Ausstellung »Troia – Traum und Wirklichkeit« in Stuttgart, Braunschweig und Bonn 2001/2002 (Stuttgart 2001) 347–354. Konrad Theiss, Stuttgart.
- Korfmann 2001b Manfred Korfmann, Troia als Drehscheibe des Handels im 2. und 3. vorchristlichen Jahrtausend. Erkenntnisse zur Troianischen Hochkultur und zur Maritimen Troia-Kultur. In: Archäologisches Landesmuseum Baden-Württemberg *et al.* (Hrsg.), Troia – Traum und Wirklichkeit. Begleitband zur Ausstellung »Troia – Traum und Wirklichkeit« in Stuttgart, Braunschweig und Bonn 2001/2002 (Stuttgart 2001) 355–368. Konrad Theiss, Stuttgart.
- Korfmann 2001c Manfred O. Korfmann, Troia/Wilusa: Ausgrabungen 2000 – Troia/Wilusa: 2000 Excavations. *Studia Troica* 11, 2001, 1–50.

- Korfmann 2002 Manfred O. Korfmann, Die Arbeiten in Troia/Wilusa 2001 – Work in Troia/Wilusa 2001. *Studia Troica* 12, 2002, 3–33.
- Korfmann 2005 Manfred O. Korfmann, Troia/Wilusa. Überblick und offizieller Rundgang mit Informationstafeln, verfaßt von der Grabungsleitung. Veröffentlichungen der Çanakkale–Tübingen Troia Vakfı 1² (Çanakkale/Tübingen 2005). Çanakkale–Tübingen Troia Stiftung/Troiastiftung, Çanakkale/Tübingen.
- Korfmann/Kromer 1993 Manfred Korfmann/Bernd Kromer, Demircihüyük, Beşik-Tepe, Troia – Eine Zwischenbilanz zur Chronologie dreier Orte in Westanatolien. *Studia Troica* 3, 1993, 133–171.
- Korfmann *et al.* 1995 Manfred Korfmann/Çiğdem Girgin/Çiğdem Morçöl/Sinan Kılıç, Kumtepe 1993. Bericht über die Rettungsgrabung – Report on the Rescue Excavation. *Studia Troica* 5, 1995, 237–289.
- Kosso 1991 Peter Kosso, Method in Archaeology: Middle-Range Theory as Hermeneutics. *American Antiquity* 56, 1991, 621–627.
- Kouka 2009 Ourania Kouka, Third Millenium BC Aegean Chronology: Old and New Data from the Perspective of the Third Millenium AD. In: Sturt W. Manning/Mary Jaye Bruce (Hrsg.), *Tree-Rings, Kings, and Old World Archaeology and Environment: Papers Presented in Honor of Peter Ian Kuniholm* (Oxford/Oakville 2009) 133–149. Oxbow Books, Oxford und Oakville.
- Koyunlu 1982 Alpaslan Koyunlu, Munzuroğlu Köyünde Ağa Konağı – The »Agha Konak« in the Village of Munzuroğlu. In: *Keban Projesi 1974–1975 Çalışmaları – Keban Project 1974–1975 Activities*. Orta Doğu Teknik Üniversitesi, Keban Projesi Yayınları I 7 – Middle East Technical University, Keban Project Publications I 7 (Ankara 1982) 273–278. Türk Tarih Kurumu Başimevi, Ankara.
- Kramer 1979 Carol Kramer, An Archaeological View of a Contemporary Kurdish Village: Domestic Architecture, Household Size, and Wealth. In: Carol Kramer (Hrsg.), *Ethnoarchaeology: Implications of Ethnoarchaeology for Archaeology* (New York 1979) 139–163. Columbia University Press, New York.
- Kramer 1982 Carol Kramer, Village Ethnoarchaeology: Rural Iran in Archaeological Perspective. *Studies in Archaeology* (New York 1982). Academic Press, New York.
- Kramer 1985 Carol Kramer, Ceramic Ethnoarchaeology. *Annual Review of Anthropology* 14, 1985, 77–102.
- Kramer 1997 Carol Kramer, Pottery in Rajasthan: Ethnoarchaeology in Two Indian Cities (Washington 1997). Smithsonian Institution Press, Washington.

- Kromer *et al.* 2003 Bernd Kromer/Manfred Korfmann/Peter Jablonka, Heidelberg Radiocarbon Dates for Troia I to VIII and Kumtepe. In: Günther A. Wagner/Ernst Pernicka/Hans-Peter Uerpmann (Hrsg.), *Troia and the Troad: Scientific Approaches* (Heidelberg/New York 2003) 43–54. Springer, Heidelberg/New York.
- Kull 1988 Brigitte Kull, Demircihüyük V. Die Ergebnisse der Ausgrabungen 1975–1978. Die mittelbronzezeitliche Siedlung. Mit einem Anhang von H. Kammer-Grothaus und A.-U. Kossatz zu antiken Funden aus Demircihüyük (Mainz am Rhein 1983). Philipp von Zabern, Mainz am Rhein.
- Kuniholm *et al.* 2007 Peter Ian Kuniholm/Maryanne W. Newton/Roy Switsur/Nicholas Postgate, Dating. In: Nicholas Postgate/David Thomas (Hrsg.), *Excavations at Kilise Tepe 1994–98: From Bronze Age to Byzantine in Western Cilicia*. McDonald Institute Monographs = British Institute at Ankara Monographs 30 (Cambridge 2007) 619–623. McDonald Institute for Archaeological Research, Cambridge.
- Lam 1992 Yin M. Lam, Variability in the Behaviour of Spotted Hyaenas as Taphonomic Agents. *Journal of Archaeological Science* 19, 1992, 389–406.
- Lamb 1936 Winifred Lamb, Excavations at Kusura near Afyon Karahisar. *Archaeologia* LXXXVI, 1936, 1–64.
- Lamb 1937 Winifred Lamb, Excavations at Kusura near Afyon Karahisar II. *Archaeologia* LXXXVII, 1937, 217–273.
- Lambert 1998 Ruth E. Lambert, Ceramic Wares and Type Assessing: H. S. Cholton's Ceramic Concepts. In: Ann F. Ramenofsky/Anastasia Steffen (Hrsg.), *Unit Issues in Archaeology: Measuring Time, Space, and Material*. Foundations of Archaeological Inquiry (Salt Lake City 1998) 147–162. University of Utah Press, Salt Lake City.
- LaMotta/Schiffer 1999 Vincent M. LaMotta/Michael B. Schiffer, Formation Processes of House Floor Assemblages. In: Penelope M. Allison (Hrsg.), *The Archaeology of Household Activities* (London/New York 1999) 19–29. Routledge, London/New York.
- LaMotta/Schiffer 2001 Vincent M. LaMotta/Michael B. Schiffer, Behavioral Archaeology: Toward a New Synthesis. In: Ian Hodder (Hrsg.), *Archaeological Theory Today* (Cambridge 2001) 14–64. Polity Press, Cambridge.
- Lange/Rydberg 1972 Frederick W. Lange/Charles R. Rydberg, Abandonment and Post-abandonment Behavior at a Central American House Site. *American Antiquity* 37, 1972, 419–432.
- Latacz 2004 Joachim Latacz, *Troy and Homer: Towards a Solution of an Old Mystery* (Oxford 2004). Oxford University Press, Oxford.

- Layne 1987
Linda L. Layne, Village-Bedouin: Patterns of Change from Mobility to Sedentism in Jordan. In: Susan Kent (Hrsg.), *Method and Theory for Activity Area Research: An Ethnoarchaeological Approach* (New York 1987) 345–373. Columbia University Press, New York.
- Leone 1981
Mark P. Leone, Archaeology's Relationship to the Present and the Past. In: Richard A. Gould/Michael B. Schiffer (Hrsg.), *Modern Material Culture: The Archaeology of Us. Studies in Archaeology* (New York 1981) 5–14. Academic Press, New York.
- Lightfoot *et al.* 1998
Kent G. Lightfoot/Antoinette Martinez/Ann M. Schiff, Daily Practice and Material Culture in Pluralistic Social Settings: An Archaeological Study of Culture Change and Persistence from Fort Ross, California. *American Antiquity* 63, 1998, 199–222.
- Lightfoot 1993
Ricky R. Lightfoot, Abandonment Processes in Prehistoric Pueblos. In: Catherine M. Cameron/Steve A. Tomka (Hrsg.), *Abandonment of Settlements and Regions: Ethnoarchaeological and Archaeological Approaches. New Directions in Archaeology* (Cambridge 1993) 165–177. Cambridge University Press, Cambridge.
- Lloyd/Gökçe 1951
Seton Lloyd/Nuri Gökçe, Excavations at Polatlı: A New Investigation of Second and Third Millenium Stratigraphy in Anatolia. *Anatolian Studies* I, 1951, 21–75.
- Lloyd/Mellaart 1962
Seton Lloyd/James Mellaart, Beycesultan I: The Chalcolithic and Early Bronze Age Levels. *Occasional Publications of the British Institute of Archaeology at Ankara* 6 (Ankara 1962). The British Institute of Archaeology at Ankara, Ankara.
- Longacre/Ayres 1968
William A. Longacre/James E. Ayres, Archeological Lessons from an Apache Wickiup. In: Sally R. Binford/Lewis R. Binford (Hrsg.), *New Perspectives in Archeology* (Chicago/New York 1968) 151–159. Aldine, Chicago/New York.
- Lupo 1995
Karen D. Lupo, Hadza Bone Assemblages and Hyena Attrition: An Ethnographic Example of the Influence of Cooking and Mode of Discard on the Intensity of Scavenger Ravaging. *Journal of Anthropological Archaeology* 14, 1995, 288–314.
- Lyman 1984a
R. Lee Lyman, Bone Density and Differential Survivorship of Fossil Classes. *Journal of Anthropological Archaeology* 3, 1984, 259–299.
- Lyman 1984b
R. Lee Lyman, Broken Bones, Bone Expediency Tools, and Bone Pseudotools: Lessons from the Blast Zone around Mount St. Helens, Washington. *American Antiquity* 49, 1984, 315–333.
- Lyman 1994
R. Lee Lyman, *Vertebrate Taphonomy. Cambridge Manuals in Archaeology* (Cambridge 1994). Cambridge University Press, Cambridge.
- Lyman/Fox 1989
R. Lee Lyman/Gregory L. Fox, A Critical Evaluation of Bone Weathering as an Indication of Bone Assemblage Formation. *Journal of Archaeological Science* 16, 1989, 293–317.

- Lyman/O'Brien 1987 R. Lee Lyman/Michael J. O'Brien, Plow-Zone Zooarchaeology: Fragmentation and Identifiability. *Journal of Field Archaeology* 14, 1987, 493–498.
- Lyman *et al.* 1997 R. Lee Lyman/Michael J. O'Brien/Robert C. Dunnell, *The Rise and Fall of Culture History* (New York 1997). Plenum Press, New York.
- Manning 1995 Sturt W. Manning, *The Absolute Chronology of the Aegean Early Bronze Age: Archaeology, Radiocarbon and History*. Monographs in Mediterranean Archaeology 1 (Sheffield 1995). Sheffield Academic Press, Sheffield.
- Manning 1996 Sturt W. Manning, Dating the Aegean Bronze Age: without, with, and beyond, radiocarbon. In: *Absolute Chronology: Archaeological Europe 2500–500 BC*. Conference on »Absolute Chronology: Archaeological Europe 2500–500 BC«, Verona April 20–23, 1995. *Acta Archaeologica København* 67, 1996 = *Acta Archaeologica Supplementa* 1, 1996, 15–37.
- Manning 1997a Sturt W. Manning, Troy, Radiocarbon, and the Chronology of the Northeast Aegean in the Early Bronze Age. In: Christos G. Doumas/Vincent La Rosa (Hrsg.), *Η Πολιόχνη και η Πρώιμης Εποχής του Χαλκού στο Βόρειο Αιγαίο – Poliochni e l'antica età del bronzo nell'Egeo settentrionale*. Διεθές Συνέδριο Αθήνα, 22–25 Απριλίου 1996 – Convegno Internazionale Atene, 22–25 Aprile 1996 (Αθήνα 1997) 498–521. Scuola Archeologica Italiana di Atene & Πανεπιστήμιο Αθηνών, Αθήνα.
- Manning 1997b Sturt W. Manning, Cultural Change in the Aegean c. 2200 BC. In: H. Nüzhet Dalfes/George Kukla/Harvy Weiss (Hrsg.), *Third Millenium BC Climate Change and Old World Collapse*. Proceedings of the NATO Advanced Research Workshop on Third Millenium BC Abrupt Climate Change and Old World Social Collapse, held at Kemer, Turkey, September 149–171, 1994. NATO ASI Ser. I 49 (Berlin/Heidelberg 1997) 39–66. Springer, Berlin und Heidelberg.
- Manning 2010 Sturt W. Manning, Chronology and Terminology. In: Eric H. Cline (Hrsg.), *The Oxford Handbook of the Bronze Age Aegean – ca. 3000–1000 BC* (Oxford 2010). Oxford University Press, Oxford.
- Mansfeld 1991 Günter Mansfeld, Pinnacle E4/5 – Bericht über die Ausgrabungen 1988. *Studia Troica* 1, 1991, 35–38.
- Mansfeld 2001 Günter Mansfeld, Die Kontroll-Ausgrabung des »Pinnacle E4/5« im Zentrum der Burg von Troia. *Studia Troica* 11, 2001, 51–308.
- Maran 1998 Joseph Maran, Kulturwandel auf dem griechischen Festland und den Kykladen im späten 3. Jahrtausend v. Chr. Studien zu den kulturellen Verhältnissen in Südosteuropa und dem zentralen sowie östlichen Mittelmeerraum in der späten Kupfer- und frühen Bronzezeit. *Universitätsforschungen zur prähistorischen Archäologie* 53 (Bonn 1998). Rudolf Habelt, Bonn.

- Marean 1991
Curtis W. Marean, Measuring the Post-Depositional Destruction of Bone in Archaeological Assemblages. *Journal of Archaeological Science* 18, 1991, 677–694.
- Marean/Bertino 1994
Curtis W. Marean/Leanne Bertino, Intrasite Spatial Analysis of Bone: Subtracting the Effect of Secondary Carnivore Consumers. *American Antiquity* 59, 1994, 748–768.
- McBrearty *et al.* 1998
Sally McBrearty/Laura Bishop/Thomas Plummer/Robert Dewar/Nicholas Conard, Tools Underfoot: Human Trampling as an Agent of Lithic Artifact Edge Modification. *American Antiquity* 63, 1998, 108–129.
- McGuire 1995
Randall H. McGuire, Behavioral Archaeology: Reflections of a Prodigal Son. In: James M. Skibo/William H. Walker/Axel E. Nielsen (Hrsg.), *Expanding Archaeology. Foundations of Archaeological Inquiry* (Salt Lake City 1995) 162–177. University of Utah Press, Salt Lake City.
- McIntosh 1974
Roderick J. McIntosh, Archaeology and Mud Wall Decay in a West African Village. *World Archaeology* 6.2, 1974, 154–171.
- McIntosh 1977
Roderick J. McIntosh, The Excavation of Mud Structures: An Experiment from West Africa. *World Archaeology* 9.2, 1977, 185–199.
- McKee 1999
Brian R. McKee, Household Archaeology and Cultural Formation Processes: Examples from the Cerén Site, El Salvador. In: Penelope M. Allison (Hrsg.), *The Archaeology of Household Activities* (London/New York 1999) 30–42. Routledge, London/New York.
- McManamon 1984
Francis P. McManamon, Discovering Sites Unseen. In: Michael B. Schiffer (Hrsg.), *Advances in Archaeological Method and Theory* 7 (Orlando 1984) 223–292. Academic Press, Orlando.
- Mellaart 1954
James Mellaart, Preliminary Report on a Survey of Pre-Classical Remains in Southern Turkey. *Anatolian Studies* IV, 1954, 175–240.
- Mellaart 1957
James Mellaart, Anatolian Chronology in the Early and Middle Bronze Age. *Anatolian Studies* VII, 1957, 55–88.
- Mellaart 1958
James Mellaart, The End of the Early Bronze Age in Anatolia and the Aegean. *American Journal of Archaeology* 62, 1958, 9–33.
- Mellaart 1959
James Mellaart, Notes on the Architectural Remains of Troy I and Troy II. *Anatolian Studies* IX, 1959, 131–162.
- Mellaart 1993a
James Mellaart, Anatolia c. 4000–2300 B.C. In: Iowert E. S. Edwards/Cyrill J. Gadd/Nicholas G. L. Hammond (Hrsg.), *The Cambridge Ancient History I.2: Early History of the Middle East*³ (Cambridge 1993) 361–416. Cambridge University Press, Cambridge.
- Mellaart 1993b
James Mellaart, Anatolia c. 2300–1750 B.C. In: Iowert E. S. Edwards/Cyrill J. Gadd/Nicholas G. L. Hammond (Hrsg.), *The Cambridge Ancient History I.2: Early History of the Middle East*³ (Cambridge 1993) 681–706. Cambridge University Press, Cambridge.

- Mellink 1965 Machteld J. Mellink, Anatolian Chronology. In: Robert W. Ehrich (Hrsg.), *Chronologies in Old World Archaeology* (Chicago/London 1965) 101–131. University of Chicago Press, Chicago/London.
- Mellink 1986 Machteld J. Mellink, The Early Bronze Age in West Anatolia. In: Gerald Cadogan (Hrsg.), *The End of the Early Bronze Age in the Aegean*. Cincinnati Classical Studies, New Series VI (Leiden 1986) 140–152. E. J. Brill, Leiden.
- Mellink 1989 Machteld J. Mellink, Anatolian and Foreign Relations at Tarsus in the Early Bronze Age. In: Kutlu Emre/Machteld Mellink/Barthel Hrouda/Nimet Özgüç (Hrsg.), *Anatolia and the Ancient Near East. Tahsin Özgüç'ü Armağan – Studies in Honor of Tahsin Özgüç* (Ankara 1989) 319–331. Anadolu Medeniyetleri Araştırma ve Tanıt, Ankara.
- Mellink 1992 Machteld J. Mellink, Anatolian Chronology. In: Robert W. Ehrich (Hrsg.), *Chronologies in Old World Archaeology*³ (Chicago 1992) 171–184. University of Chicago Press, Chicago.
- Messmer 1992 Eberhard Messmer, Grundlagenvermessung als Basis für ein archäologisches Informationssystem in Troia. *Studia Troica* 2, 1992, 71–82.
- Metcalf/Heath 1990 Duncan Metcalf/Kathleen M. Heath, Microrefuse and Site Structure: The Hearths and Floors of the Heartbreak Hotel. *American Antiquity* 55, 1990, 781–796.
- Mobley 1982 Charles M. Mobley, The Landmark Gap Trail Sites, Tangle Lakes, Alaska: Another Perspective on the Amphitheater Mountain Complex. *Arctic Anthropology* 19, 1982, 81–102.
- Montelius 1892/1893 Oscar Montelius, Die Bronzezeit im Orient und in Griechenland. *Archiv für Anthropologie* 21, 1892/1893, 1–40.
- Montelius 1900 Oscar Montelius, Die Chronologie der ältesten Bronzezeit in Nord-Deutschland und Skandinavien. Sonder-Abdruck aus dem »Archiv für Anthropologie« XXV und XXVI (Braunschweig 1900). Friedrich Vieweg und Sohn, Braunschweig.
- Montelius 1912 Oscar Montelius, Die vorclassische Chronologie Italiens (Stockholm 1912). Ivar Hæggströms Boktryckeri, Stockholm.
- Montelius 1924 Oscar Montelius, La Grèce Préclassique. Kungl. Vitterhets Historie och Antikvitets Akademien (Stockholm 1924). Ivar Hæggströms Boktryckeri, Stockholm.
- Montgomery 1993 Barbara K. Montgomery, Ceramic Analysis as a Tool for Discovering Processes of Pueblo Abandonment. In: Catherine M. Cameron/Steve A. Tomka (Hrsg.), *Abandonment of Settlements and Regions: Ethnoarchaeological and Archaeological Approaches*. New Directions in Archaeology (Cambridge 1993) 157–164. Cambridge University Press, Cambridge.
- Müller-Karpe 1994 Andreas Müller-Karpe, Altanatolisches Metallhandwerk. *Offa-Bücher* 75 (Neumünster 1994). Wachholtz, Neumünster.

- Müller-Karpe 1989 Hermann Müller-Karpe, Frühe Städte in der Alten und der Neuen Welt. *Jahrbuch des Römisch-Germanischen Zentralmuseums Mainz* 36, 1989 [1992], 3–64.
- Murray 1980 Priscilla Murray, Discard Location: The Ethnographic Data. *American Antiquity* 45, 1980, 490–502.
- Murray 1997 Tim Murray, Dynamic Modelling and New Social Theory of the Mid-to Long Term. In: Sander E. van der Leeuw/James McGlade (Hrsg.), *Time, Process and Structured Transformation in Archaeology. One World Archaeology* 26 (London/New York 1997) 449–463. Routledge, London/New York.
- Nash 1993 David T. Nash, Distinguishing Stone Artifacts from Naturefacts Created by Rockfall Processes. In: Paul Goldberg/David T. Nash/Michael D. Petraglia (Hrsg.), *Formation Processes in Archaeological Context. Monographs in World Archaeology* 17 (Madison 1993) 125–138. Prehistory Press, Madison.
- Naumann 1971 Rudolf Naumann, *Architektur Kleinasiens von ihren Anfängen bis zum Ende der hethitischen Zeit²* (Tübingen 1971). Ernst Wasmuth, Tübingen.
- Needham/Spence 1997 Stuart Needham/Tony Spence, Refuse and the Formation of Middens. *Antiquity* 71, 1997, 77–90.
- Nelson 2000 Margaret C. Nelson, Abandonment: Conceptualization, Representation, and Social Change. In: Michael B. Schiffer (Hrsg.), *Social Theory in Archaeology. Foundations of Archaeological Inquiry* (Salt Lake City 2000) 52–62. University of Utah Press, Salt Lake City.
- Nelson/Hegmon 2001 Margaret C. Nelson/M. Hegmon, Abandonment is Not as it Seems: An Approach to the Relationship between Site and Regional Abandonment. *American Antiquity* 66, 2001, 213–235.
- Newell 1987 Raymond Newell, Reconstruction of Partitioning and Utilization of Outside Space in a Late Prehistoric/Early Historic Inupiat Village. In: Susan Kent (Hrsg.), *Method and Theory for Activity Area Research: An Ethnoarchaeological Approach* (New York 1987). Columbia University Press, New York.
- Newton/Kuniholm 2004 Maryanne W. Newton/Peter I. Kuniholm, A Dendrochronological Framework for the Assyrian Colony Period in Asia Minor – Asur Koloni Çağı'nda Küçük Asya'nın Dendrokronolojik (Ağaç Halka Tarihlemesi) Bakımdan Genel Hatları. *Türkiye Bilimler Akademisi Arkeoloji Dergisi (TÜB-AR)* 7, 2004, 165–176.
- Nielsen 1991 Axel E. Nielsen, Trampling the Archaeological Record: An Experimental Study. *American Antiquity* 56, 1991, 483–503.

- Nissen 2000
Hans J. Nissen, Die Entstehung der Stadt. In: Manoun Fansa/Heinz Gaube/Jens Windelberg (Hrsg.), *Damaskus – Aleppo: 5000 Jahre Stadtentwicklung in Syrien*. Begleitschrift zur Sonderausstellung »Damaskus – Aleppo. 5000 Jahre Stadtentwicklung in Syrien« vom 04. Juni bis 22. Oktober im Staatlichen Museum für Naturkunde und Vorgeschichte Oldenburg. Beiheft der Archäologischen Mitteilung aus Nordwestdeutschland 28 (Mainz am Rhein 2000) 72–75. Philipp von Zabern, Mainz am Rhein.
- Nissen 2003
Hans J. Nissen, Frühe Stadtbildung im Alten Vorderen Orient. In: Mehmet Özdoğan/Harald Hauptmann/Nezik Başgelen (Hrsg.), *Köyden Kente: Yakındoğuda İlk Yerleşimler – From Village to Cities: Early Villages in the Near East* (İstanbul 2003) 33–45. Arkeoloji ve Sanat Yayınları, İstanbul.
- Nissen 2005
Hans J. Nissen, Vom Weiler zur Großstadt im frühen Vorderen Orient. In: Harry Falk (Hrsg.), *Wege zur Stadt: Entwicklung und Formen urbanen Lebens in der Alten Welt. Vergleichende Studien zu Antike und Orient 2* (Bremen 2005) 39–59. Hempen Verlag, Bremen.
- Obladen-Kauder 1996
Julia Obladen-Kauder, Die Kleinfunde aus Ton, Knochen und Metall. In: Demircihüyük IV A: Die lithischen Kleinfunde (Ayşe Baykal-Seeher), B: Die Kleinfunde aus Ton, Knochen und Metall (Julia Obladen Kauder) (Mainz am Rhein 1987) 209–383. Philipp von Zabern, Mainz am Rhein.
- O’Brien *et al.* 2003
Michael J. O’Brien/Thomas D. Holland/Robert J. Hoard/Gregory L. Fox, Evolutionary Implications of Design and Performance Characteristics of Prehistoric Pottery. In: Michael O’Brien/R. Lee Lyman (Hrsg.), *Style, Function, Transmission: Evolutionary Archaeological Perspectives*. Foundations of Archaeological Inquiry (Salt Lake City 2003) 199–226. University of Utah Press, Salt Lake City.
- O’Connell *et al.* 1991
James F. O’Connell/Kristen Hawkes/Nicholas G. Blurton Jones, Distribution of Refuse-Producing Activities at Hadza Residential Base Camps: Implications for Analyses of Archaeological Site Structure. In: Ellen M. Kroll/T. Douglas Price (Hrsg.), *The Interpretation of Archaeological Spatial Patterning*. Papers presented at a symposium organized at the 52nd Annual Meeting of the Society for American Archaeology held in May 1987 in Toronto, Ontario. Interdisciplinary Contributions to Archaeology (New York 1991) 61–76. Plenum Press, New York.
- O’Connell *et al.* 1992
James F. O’Connell/Kristen Hawkes/Nicholas G. Blurton Jones, Patterns in the Distribution: Site Structure and Assemblage Composition of Hadza Kill-Butchering Sites. *Journal of Archaeological Science* 19, 1992, 319–345.
- Odell 1980
George H. Odell, Toward a More Behavioral Approach to Archaeological Lithic Concentrations. *American Antiquity* 45, 1980, 404–431.

- Oetelaar 1993 Gerald A. Oetelaar, Identifying Site Structure in the Archaeological Record: An Illinois Mississippian Example. *American Antiquity* 58, 1993, 662–687.
- Olsen 1989 Sandra L. Olsen, On Distinguishing Natural from Cultural Damage on Archaeological Antler. *Journal of Archaeological Science* 16, 1989, 125–135.
- Olsen/Shipman 1988 Sandra L. Olsen/Pat Shipman, Surface Modification on Bone: Trampling Versus Butchery. *Journal of Archaeological Science* 15, 1988, 535–553.
- Orton *et al.* 1993 Clive Orton/Paul Tyres/Alan Vince, Pottery in Archaeology. *Cambridge Manuals in Archaeology* (Cambridge 1993). Cambridge University Press, Cambridge.
- Oswald 1987 Dana Beth Oswald, The Organization of Space in Residential Buildings. A Cross-cultural Perspective. In: Susan Kent (Hrsg.), *Method and Theory for Activity Area Research: An Ethnoarchaeological Approach* (New York 1987) 295–344. Columbia University Press, New York.
- Özdoğan 1970 Mehmet Özdoğan, 1934 Yılı Kumtepe Kazısı Çanakçömlek Topluluğu ve Küçük Buluntuları. Unpublizierte Magisterarbeit, Universität İstanbul. İstanbul.
- Özdoğan 1983 Mehmet Özdoğan, Vinça and Anatolia: A New Look at a Very Old Problem. *Anatolica* 19, 1983, 173–193.
- Özdoğan 1990 Mehmet Özdoğan, 1988 Yılı Trakya ve Marmara Araştırmaları. Araştırma Sonuçları Toplantısı VII, Antalya 18.–23. Mayıs 1989. (Ankara 1990) 443–457. T.C. Kültür Bakanlığı Yayınları, Ankara.
- Özdoğan 1993 Mehmet Özdoğan, The Second Millenium of the Marmara Region: The Perspective of a Prehistorian on a Controversial Historical Issue. *Istanbuler Mitteilungen* 43, 1993, 151–163.
- Özdoğan 1998 Mehmet Özdoğan, Ideology and Archaeology in Turkey. In: Lynn Meskell (Hrsg.), *Archaeology Under Fire: Nationalism, Politics and Hertiage in the Eastern Mediterranean and Middle East* (London/New York 1998) 111–123. Routledge, London/New York.
- Parzinger 1993 Hermann Parzinger, Studien zur Chronologie und Kulturgeschichte der Jungstein-, Kupfer- und Frühbronzezeit zwischen Karpaten und Mittlerem Taurus. *Römisch-Germanische Forschungen* 52 (Mainz am Rhein 1993). Philipp von Zabern, Mainz am Rhein.
- Patrik 1985 Linda E. Patrik, Is there an Archaeological Record? In: Michael B. Schiffer (Hrsg.), *Advances in Archaeological Method and Theory* 8 (Orlando 1985) 27–62. Academic Press, Orlando.
- Pavúk 2002 Peter Pavúk, Troia VI and VIIa. The Blegen Pottery Shapes: Towards a Typology. *Studia Troica* 12, 2002, 35–71.

- Pavúk 2005 Peter Pavúk, Troia VI-Früh und Mitte: Keramik aus den Grabungen 1988–2002. Unveröffentlichte Dissertation an der Fakultät für Kulturwissenschaften der Eberhard Karls Universität Tübingen (Tübingen 2005).
- Pavúk 2007a Peter Pavúk, New Perspectives on Troia VI Chronology. In: Manfred Bietak/Ernst Czerny (Hrsg.), *The Synchronisation of Civilisations in the Eastern Mediterranean in the Second Millennium B.C. III. Proceedings of the SCIEEM 2000 – 2nd EuroConference, Vienna 28th of May – 1st of June 2003*. Österreichische Akademie der Wissenschaften, Denkschriften der Gesamtakademie XXXVII (Wien 2007) 473–478. Verlag der Österreichischen Akademie der Wissenschaften, Wien.
- Pavúk 2007b Peter Pavúk, What Can Troia Tell Us about the Middle Helladic Period in the Southern Aegean? In: Florens Felten/Walter Gauss/Rudolfine Smetana (Hrsg.), *Middle Helladic Pottery and Synchronisms. Proceedings of the International Workshop held at Salzburg October 31st – November 2nd, 2004*. Österreichische Akademie der Wissenschaften, Denkschriften der Gesamtakademie XLVIII (Wien 2007) 298–308. Verlag der Österreichischen Akademie der Wissenschaften, Wien.
- Pavúk/Schubert 2012 Peter Pavúk/Cornelia Schubert, Die Troas in der Mittel- und Spätbronzezeit. In: Ernst Pernicka/C. Brian Rose/Peter Jablonka (Hrsg.), *Troia 1988–2008: Grabungen und Forschungen. I. Forschungsgeschichte, Methoden und Landschaft. Studia Troica Monographien 5* (Darmstadt 2012) im Druck. Philipp von Zabern, Darmstadt.
- Peltenburg 2000 Edgar Peltenburg, From Nucleation to Dispersal. Late Third Millennium BC Settlement Pattern Transformations in the Near East and Aegean. In: Olivier Rouault/Markus Wäfler (Hrsg.), *La Djéziré et l'Euphrate Syriens de la Protohistoire à la fin du Second Millénaire av. J.-C. Tendances dans l'interprétation historique des données nouvelles. Subartu VII* (New York 2000) 183–206. Brepols Publishers, New York.
- Pernicka 2001 Ernst Pernicka, Metalle machen Epoche: Bronze, Eisen und Silber. In: Archäologisches Landesmuseum Baden-Württemberg *et al.* (Hrsg.), *Troia – Traum und Wirklichkeit. Begleitband zur Ausstellung »Troia – Traum und Wirklichkeit«* in Stuttgart, Braunschweig und Bonn 2001/2002 (Stuttgart 2001) 369–372. Konrad Theiss, Stuttgart.
- Pernicka 2006 Ernst Pernicka, Metalle machen Epoche: Bronze und Eisen als Werkstoff und Handelsware. In: Manfred O. Korfmann (Hrsg.), *Troia – Archäologie eines Siedlungshügels und seiner Landschaft* (Mainz am Rhein 2006) 349–352. Philipp von Zabern, Mainz am Rhein.
- Peters 1976 Eckhart W. Peters, Alişam. Ein Beitrag zur anonymen Kerpiç-Architektur in Ostanatolien. *Mitteilungen des Instituts für Bauen und Planen in Entwicklungsländern 1* (Hannover 1976).

- Peters 1982
Eckhart W. Peters, Ländliche Bauweisen im Keban-Gebiet. In: Keban Projesi 1974–1975 Çalışmaları. Orta Doğu Teknik Üniversitesi, Keban Projesi Yayınları I 7 (Ankara 1982) 217–232.
- Pfälzner 2001
Peter Pfälzner, Haus und Haushalt: Wohnformen des dritten Jahrtausends vor Christus in Nordmesopotamien. Damaszener Forschungen 9 (Mainz am Rhein 2001). Philipp von Zabern, Mainz am Rhein.
- Pieniążek-Sikora 2000
Magda Pieniążek-Sikora, Troia 2000: Ausgrabungen im Areal A 5/6. Unpubliziertes Tagebuch der Ausgrabungen im Jahre 2000. Projekt Troia, Eberhard Karls Universität Tübingen.
- Pieniążek-Sikora 2001
Magda Pieniążek-Sikora, Troia 2001: Ausgrabungen im Areal A 5/6. Unpubliziertes Tagebuch der Ausgrabungen im Jahre 2001. Projekt Troia, Eberhard Karls Universität Tübingen.
- Pieniążek-Sikora 2002
Magda Pieniążek-Sikora, Neue Anregungen zur Diskussion über die Beziehungen zwischen Troia und dem nordwestpontischen Gebiet. In: Rüstem Aslan/Stephan W. E. Blum/Gabriele Kastl/Frank Schweizer/Diane Thumm (Hrsg.), Mauerschau. Festschrift für Manfred Korfmann (Remshalden-Grundbach 2002) 705–715. Bernhard Albert Greiner, Remshalden-Grundbach.
- Podzuweit 1979
Christian Podzuweit, Trojanische Gefäßformen der Frühbronzezeit in Anatolien, der Ägäis und angrenzenden Gebieten. Ein Beitrag zur vergleichenden Stratigraphie. Heidelberger Akademie der Wissenschaften, Internationale interakademische Kommission für die Erforschung der Vorgeschichte des Balkans Monographien 1 (Mainz am Rhein 1979). Philipp von Zabern, Mainz am Rhein.
- Postgate 2007a
J. Nicholas Postgate, Introduction to the Pottery. In: J. Nicholas Postgate/David Thomas (Hrsg.), Excavations at Kilise Tepe 1994–98: From Bronze Age to Byzantine in Western Cilicia. McDonald Institute Monographs = British Institute at Ankara Monographs 30 (Cambridge 2007) 237–239. McDonald Institute for Archaeological Research, Cambridge.
- Postgate 2007b
J. Nicholas Postgate, The Small Finds: Introduction. In: J. Nicholas Postgate/David Thomas (Hrsg.), Excavations at Kilise Tepe 1994–98: From Bronze Age to Byzantine in Western Cilicia. McDonald Institute Monographs = British Institute at Ankara Monographs 30 (Cambridge 2007) 437–440. McDonald Institute for Archaeological Research, Cambridge.
- Postgate 2007c
J. Nicholas Postgate, The Site of Kilise Tepe. In: J. Nicholas Postgate/David Thomas (Hrsg.), Excavations at Kilise Tepe 1994–98: From Bronze Age to Byzantine in Western Cilicia. McDonald Institute Monographs = British Institute at Ankara Monographs 30 (Cambridge 2007) 9–13. McDonald Institute for Archaeological Research, Cambridge.

- Postgate 2007d J. Nicholas Postgate, The Excavations and their Results. In: Nicholas Postgate/David Thomas (Hrsg.), *Excavations at Kilise Tepe 1994–98: From Bronze Age to Byzantine in Western Cilicia*. McDonald Institute Monographs = British Institute at Ankara Monographs 30 (Cambridge 2007) 31–42. McDonald Institute for Archaeological Research, Cambridge.
- Praetzellis 1993 Adrian Praetzellis, The Limits of Arbitrary Excavation. In: Edward C. Harris/Marley R. Brown III/Gregory J. Brown (Hrsg.), *Practices of Archaeological Stratigraphy* (London/San Diego 1993) 68–86. Academic Press, London/San Diego.
- Quine 1995 Timothy A. Quine, Soil Analysis and Archaeological Site Formation Studies. In: Anthony J. Barham/Richard I. Macphail (Hrsg.), *Archaeological Sediments and Soils: Analysis, Interpretation and Management*. Papers from the Tenth Anniversary Conference of the Association for Environmental Archaeology held at the Institute of Archaeology, UCL, July 1989 (London 1995) 77–98. Institute of Archaeology/University College, London.
- Raab/Goodyear 1984 L. Mark Raab/Albert C. Goodyear, Middle-Range Theory in Archaeology: A Critical Review of Origins and Applications. *American Antiquity* 49, 1984, 255–268.
- Rahmstorf 2006 Lorenz Rahmstorf, Zur Ausbreitung vorderasiatischer Innovationen in die frühbronzezeitliche Ägäis. *Prähistorische Zeitschrift* 81, 2006, 49–96.
- Rapoport 1990 Amos Rapoport, Systems of Activities and Systems of Settings. In: Susan Kent (Hrsg.), *Domestic Architecture and the Use of Space: An Interdisciplinary Cross-cultural Study*. *New Directions in Archaeology* (Cambridge 1990) 9–20. Cambridge University Press, Cambridge.
- Rapp/Gifford 1982 George Rapp, Jr./John A. Gifford (Hrsg.), *Troy: The Archaeological Geology*. Supplement Monograph 4 (Princeton 1982). Princeton University Press, Princeton.
- Rathje 1978 William L. Rathje, Archaeological Ethnography ... Because Sometimes it is Better to Give than to Receive. In: Richard A. Gould (Hrsg.), *Explorations in Ethnoarchaeology*. Papers prepared for a School of American Research advanced seminar held in Santa Fe, November 17–21, 1975 (Albuquerque 1978) 17–21. University of New Mexico Press, Albuquerque.
- Rathje 1979 William L. Rathje, Modern Material Culture Studies. In: Michael B. Schiffer (Hrsg.), *Advances in Archaeological Method and Theory* 2 (New York 1979) 1–37. Academic Press, New York.
- Rathje 1995 William L. Rathje, Forever Separate Realities. In: James M. Skibo/William H. Walker/Axel E. Nielsen (Hrsg.), *Expanding Archaeology* (Salt Lake City 1995) 36–43. University of Utah Press, Salt Lake City.

- Rathje/Murphy 2001 William L. Rathje/Cullen Murphy, *Rubbish! The Archaeology of Garbage*² (Tucson 2001).
- Rathje/Schiffer 1982 William L. Rathje/Michael B. Schiffer, *Archaeology* (New York 1982). Harcourt Brace Jovanovich, New York.
- Reid 1973 J. Jefferson Reid, *Growth and Response to Stress at Grashopper Pueblo, Arizona*. Ph.D. dissertation, University of Arizona. University Microfilms International (Ann Arbor 1973). University Microfilms International, Ann Arbor.
- Reid 1995 J. Jefferson Reid, *Four Strategies after Twenty Years: A Return to Basics*. In: James M. Skibo/William H. Walker/Axel E. Nielsen (Hrsg.), *Expanding Archaeology. Foundations of Archaeological Inquiry* (Salt Lake City 1995) 15–21. University of Utah Press, Salt Lake City.
- Reid/Whittlesey 1982 J. Jefferson Reid/Stephanie M. Whittlesey, *Households at Grashopper Pueblo*. *American Behavioral Scientist* 25, 1982, 687–703.
- Reid *et al.* 1974 J. Jefferson Reid/William L. Rathje/Michael B. Schiffer, *Expanding Archaeology*. *American Antiquity* 39, 1974, 125–126.
- Reid *et al.* 1975 J. Jefferson Reid/Michael B. Schiffer/William L. Rathje, *Behavioral Archaeology: Four Strategies*. *American Anthropologist* 77, 1975, 864–869.
- Renfrew 1972 Colin Renfrew, *The Emergence of Civilisation: The Cyclades and the Aegean in the Third Millennium B.C.* *Studies in Prehistory* (London 1972). Methuen, London.
- Rice 1984 Prudence M. Rice, *The Archaeological Study of Specialized Pottery Production: Some Aspects of Method and Theory*. In: Prudence M. Rice (Hrsg.), *Pots and Potters: Current Approaches in Ceramic Archaeology*. University of California, Institute of Archaeology Monograph XXIV (Los Angeles 1984) 45–54. University of California, Institute of Archaeology, Los Angeles.
- Rice 1987 Prudence M. Rice, *Pottery Analysis: A Sourcebook* (Chicago/London 1987). University of Chicago Press, Chicago/London.
- Riehl 1999 Simone Riehl, *Bronze Age Environment and Economy in the Troad: The Archaeobotany of Kumtepe and Troy*. *BioArchaeologica* 2 (Tübingen 1999). Mo Vince, Tübingen.
- Riehl 2006 Simone Riehl, *Unser täglich Brot ... Pflanzenproduktion und Ernährung in Troia*. In: Manfred O. Korfmann (Hrsg.), *Troia – Archäologie eines Siedlungshügels und seiner Landschaft* (Mainz am Rhein 2006) 297–308. Philipp von Zabern, Mainz am Rhein.
- Rodenwaldt 1935 Gerhart Rodenwaldt, *Archäologische Gesellschaft zu Berlin, Sitzung am 8. Januar 1935*. *Archäologischer Anzeiger* 50, 1935, 311–313.

- Rose 2001 C. Brian Rose, Ilion in griechischer und römischer Zeit: Geschichte und Ausgrabungsbefunde. In: Archäologisches Landesmuseum Baden-Württemberg *et al.* (Hrsg.), Troia – Traum und Wirklichkeit. Begleitband zur Ausstellung »Troia – Traum und Wirklichkeit« in Stuttgart, Braunschweig und Bonn 2001/2002 (Stuttgart 2001) 180–187. Konrad Theiss, Stuttgart.
- Rose 2006 C. Brian Rose, Auf mythengetränktem Boden: Ilios in griechischer, römischer und byzantinischer Zeit. In: Manfred O. Korfmann (Hrsg.), Troia – Archäologie eines Siedlungshügels und seiner Landschaft (Mainz am Rhein 2006) 189–198. Philipp von Zabern, Mainz am Rhein.
- Rosen 1986 Arlene Miller Rosen, Cities of Clay: The Geoarchaeology of Tells. Prehistoric Archaeology and Ecology (Chicago 1986). University of Chicago Press, Chicago.
- Rosen 1993 Arlene Miller Rosen, Microartifacts as a Reflection of Cultural Factors in Site Formation. In: Paul Goldberg/David T. Nash/Michael D. Petraglia (Hrsg.), Formation Processes in Archaeological Context. Monographs in World Archaeology 17 (Madison 1993) 141–148. Prehistory Press, Madison.
- Rothschild 1981 Nan A. Rothschild, Pennies from Denver. In: Richard A. Gould/Michael B. Schiffer (Hrsg.), Modern Material Culture: The Archaeology of Us. Studies in Archaeology (New York 1981) 161–181. Academic Press, New York.
- Rothschild *et al.* 1993 Nan A. Rothschild/Barbara J. Mills/T. J. Ferguson/Susan Dublin, Abandonment at Zuni Farming Villages. In: Catherine M. Cameron/Steve A. Tomka (Hrsg.), Abandonment of Settlements and Regions: Ethnoarchaeological and Archaeological Approaches. New Directions in Archaeology (Cambridge 1993) 123–137. Cambridge University Press, Cambridge.
- Rouse 1960 Irving Rouse, The Classification of Artifacts in Archaeology. *American Antiquity* 25, 1960, 313–323.
- Rouse 1972 Irving Rouse, Introduction to Prehistory: A Systematic Approach (New York/San Francisco 1972). MacGraw-Hill, New York/San Francisco.
- Rowlett/Robbins 1982 Ralph M. Rowlett/Michael C. Robbins, Estimating Original Assemblage Content to Adjust for Post-Depositional Vertical Artifact Movement. *World Archaeology* 14.1, 1982, 73–83.
- Rutter 1993 Jeremy B. Rutter, Review of Aegean Prehistory II: The Prepalatial Bronze Age of the Southern and Central Greek Mainland. *American Journal of Archaeology* 97, 1993, 745–797.

- Rutter 1995
Jeremy B. Rutter, *The Pottery of Lerna IV. Lerna: A Preclassical Site in the Argolid. Results of Excavations Conducted by the American School of Classical Studies at Athens III. Foreword by Martha H. Wiencke, Introduction by Elizabeth C. Banks, and Contributions by Michael Attas, Philip P. Betancourt, Ronald G. V. Hancock, Richard E. Jones, George H. Myer, and Sarah J. Vaughn* (Princeton 1995). The American School of Classical Studies at Athens, Princeton.
- Rutter 2008
Jeremy B. Rutter, *The Anatolian Roots of Early Helladic III Drinking Behavior*. In: Hayat Erkanal/Harald Hauptmann/Vasif Şahoğlu/Rıza Tuncel (Hrsg.), *The Aegean in the Neolithic, Chalcolithic and the Early Bronze Age. Proceedings of the International Symposium, Urla – İzmir (Turkey), October 13 th–19 th, 1997*. Ankara University Research Center for Maritime Archaeology (ANKÜSAM) Publication 1 (Ankara 2008) 461–481. Ankara University Press, Ankara.
- Sagona 1994
Antonio G. Sagona, *The Aşvan Sites 3: Keban Rescue Excavations, Eastern Anatolia – Doğu Anadolu, Keban Kurtarma Kazıları*. British Institute of Archaeology at Ankara, Monograph 18 (Ankara 1994). British Institute of Archaeology at Ankara, Ankara.
- Şahoğlu 2005
Vasif Şahoğlu, *The Anatolian Trade Network and the İzmir Region during the Early Bronze Age*. *Oxford Journal of Archaeology* 24, 2005, 339–361.
- Şahoğlu 2008
Vasif Şahoğlu, *New Evidence for the Relations Between the İzmir Region, the Cyclades and the Greek Mainland during the Third Millennium BC*. In: Hayat Erkanal/Harald Hauptmann/Vasif Şahoğlu/Rıza Tuncel (Hrsg.), *The Aegean in the Neolithic, Chalcolithic and the Early Bronze Age. Proceedings of the International Symposium, Urla – İzmir (Turkey), October 13 th–19 th, 1997*. Ankara University Research Center for Maritime Archaeology (ANKÜSAM) Publication 1 (Ankara 2008) 483–501. Ankara University Press, Ankara.
- Şahoğlu 2011
Vasif Şahoğlu, *Early Bronze Age Pottery in Coastal Western Anatolia*. In: *Across: The Cyclades and Western Anatolia during the 3rd Millennium BC. Begleitband zur Ausstellung »Across: The Cyclades and Western Anatolia during the 3rd Millennium BC« in İstanbul, 24. Mai bis 28. August 2011* (İstanbul 2011) 136–143. Çağatay Anadolu Kitap Yayınevi, İstanbul.
- Sanders
Donald Sanders, *Behavioral Conventions and Archaeology: Methods for the Analysis of Ancient Architecture*. In: Susan Kent (Hrsg.), *Domestic Architecture and the Use of Space: An Interdisciplinary Cross-cultural Study. New Directions in Archaeology* (Cambridge 1990) 43–72. Cambridge University Press, Cambridge.
- Savelle 1984
James M. Savelle, *Cultural and Natural Formation Processes of a Historic Inuit Snow Dwelling Site, Somerset Island, Arctic Canada*. *American Antiquity* 49, 1984, 508–524.

- Sazcı 2005
Göksel Sazcı, Troia I–III, die Maritime Troia-Kultur und Troia IV–V, die Anatolische Troia-Kultur: Eine Untersuchung der Funde und Befunde im mittleren Schliemanngraben (D07, D08). *Studia Troica* 15, 2005, 33–98.
- Scarborough 1989
Vernon L. Scarborough, Site Structure of a Village of the Late Pit-house-Early Pueblo Period in New Mexico. *Journal of Field Archaeology* 16, 1989, 405–425.
- Schachner 1999
Andreas Schachner, Von der Rundhütte zum Kaufmannshaus. Kulturhistorische Untersuchungen zur Entwicklung prähistorischer Wohnhäuser in Zentral-, Ost- und Südostanatolien. *British Archaeological Reports, International Series 807* (Oxford 1999). Archaeopress, Oxford.
- Schalk 2008
Emily Schalk, Die Bronzenadeln in der Berliner Sammlung. In: Matthias Wemhoff/Dieter Hertel/Alix Hänsel (Hrsg.), Heinrich Schliemanns Sammlung Trojanischer Altertümer – Neuvorlage. 1. Forschungsgeschichte, keramische Funde der Schichten VII bis IX, Nadeln, Gewichte und durchlochte Tongeräte. *Berliner Beiträge zur Vor- und Frühgeschichte, Neue Folge 14* (Berlin 2008) 183–226. Staatliche Museen zu Berlin – Preussischer Kulturbesitz, Berlin.
- Schiffer 1972
Michael B. Schiffer, Archaeological Context and Systemic Context. *American Antiquity* 37, 1972, 156–165.
- Schiffer 1973
Michael B. Schiffer, Cultural Formation Processes of the Archaeological Record: Applications at the Joint Site, East-Central Arizona. Ph.D. dissertation, University of Arizona. University Microfilms International (Ann Arbor 1973). University Microfilms International, Ann Arbor.
- Schiffer 1975
Michael B. Schiffer, Archaeology as Behavioral Science. *American Anthropologist* 77, 1975, 836–848.
- Schiffer 1976
Michael B. Schiffer, Behavioral Archeology. *Studies in Archaeology* (New York 1976). Academic Press, New York.
- Schiffer 1978a
Michael B. Schiffer, Methodological Issues in Ethnoarchaeology. In: Richard A. Gould (Hrsg.), *Explorations in Ethnoarchaeology. Papers prepared for a School of American Research advanced seminar held in Santa Fe, November 17–21, 1975* (Albuquerque 1978) 229–247. University of New Mexico Press, Albuquerque.
- Schiffer 1978b
Michael B. Schiffer, Taking the Pulse of Method and Theory in American Archaeology. *American Antiquity* 43, 1978, 153–158.
- Schiffer 1979
Michael B. Schiffer, The Place of Lithic Use-Wear Studies in Behavioral Archaeology. In: Brian Hayden (Hrsg.), *Lithic Use-Wear Analysis. Proceedings of the Conference on Lithic Use-Wear held at Department of Archaeology, Simon Fraser University, Burnaby, British Columbia, Canada, March 16 through March 20, 1977*. *Studies in Archaeology* (New York 1979) 15–25. Academic Press, New York.

- Schiffer 1981 Michael B. Schiffer, Some Issues in the Philosophy of Archaeology. *American Antiquity* 46, 1981, 899–908.
- Schiffer 1983 Michael B. Schiffer, Toward the Identification of Formation Processes. *American Antiquity* 48, 1983, 675–706.
- Schiffer 1985 Michael B. Schiffer, Is there a »Pompeii Premise« in Archaeology? *Journal of Anthropological Research* 41, 1985, 18–41.
- Schiffer 1986 Michael B. Schiffer, Radiocarbon Dating and the »Old Wood« Problem: The Cases of the Hohokam Chronology. *Journal of Archaeological Science* 13, 1986, 13–30.
- Schiffer 1987 Michael B. Schiffer, Formation Processes of the Archaeological Record (Albuquerque 1987). University of New Mexico Press, Albuquerque.
- Schiffer 1988 Michael B. Schiffer, The Structure of Archaeological Theory. *American Antiquity* 53, 1988, 461–485.
- Schiffer 1989 Michael B. Schiffer, Formation Processes of Broken K Pueblo: Some Hypotheses. In: Robert D. Leonard/George T. Jones (Hrsg.), *Quantifying Diversity in Archaeology. New Direction in Archaeology* (Cambridge 1989) 37–58. Cambridge University Press, Cambridge.
- Schiffer 1991 Michael B. Schiffer, *The Portable Radio in American Life. Culture and Technology* (Tucson 1991). University of Arizona Press, Tucson.
- Schiffer 1995a Michael B. Schiffer, A Personal History of Behavioral Archaeology. In: Michael B. Schiffer, *Behavioral Archaeology: First Principles. Foundations of Archaeological Inquiry* (Salt Lake City 1995) 1–24. University of Utah Press, Salt Lake City.
- Schiffer 1995b Michael B. Schiffer, Behavioral Chain Analysis: Activities, Organization, and the Use of Space. In: Michael B. Schiffer, *Behavioral Archaeology: First Principles. Foundations of Archaeological Inquiry* (Salt Lake City 1995) 55–66. University of Utah Press, Salt Lake City.
- Schiffer 1995c Michael B. Schiffer, The Conceptual Structure of Behavioral Archaeology. In: Michael B. Schiffer, *Behavioral Archaeology: First Principles. Foundations of Archaeological Inquiry* (Salt Lake City 1995) 251–253. University of Utah Press, Salt Lake City.
- Schiffer 1995d Michael B. Schiffer, Social Theory and History in Behavioral Archaeology. In: James M. Skibo/William H. Walker/Axel E. Nielsen (Hrsg.), *Expanding Archaeology. Foundation of Archaeological Inquiry* (Salt Lake City 1995) 22–35. University of Utah Press, Salt Lake City.
- Schiffer 1995e Michael B. Schiffer, The Conceptual Structure of Behavioral Archaeology. In: Michael B. Schiffer, *Behavioral Archaeology: First Principles. Foundations of Archaeological Inquiry* (Salt Lake City 1995) 251–253. University of Utah Press, Salt Lake City.
- Schiffer 1996 Michael B. Schiffer, Some Relationship between Behavioral and Evolutionary Archaeologies. *American Antiquity* 61, 1996, 643–662.

- Schiffer 1999 Michael B. Schiffer, Behavioral Archaeology: Some Clarifications. *American Antiquity* 64, 1999, 166–168.
- Schiffer 2000a Michael B. Schiffer, Social Theory in Archaeology: Building Bridges. In: Michael B. Schiffer (Hrsg.), *Social Theory in Archaeology. Foundations of Archaeological Inquiry* (Salt Lake City 2000) 1–13. University of Utah Press, Salt Lake City.
- Schiffer 2000b Michael B. Schiffer, Indigenous Theories, Scientific Theories and Product Theories. In: Paul M. Graves-Brown (Hrsg.), *Matter, Materiality and Modern Culture* (London/New York 2000) 72–96. Routledge, London/New York.
- Schiffer/Miller 1999 Michael B. Schiffer/Andrea R. Miller, *The Material Life of Human Beings: Artifacts, Behavior and Communication* (London/New York 1999). Routledge, London/New York.
- Schiffer/Skibo 1987 Michael B. Schiffer/James M. Skibo, Theory and Experiment in the Study of Technological Change. *Current Anthropology* 28, 1987, 595–622.
- Schiffer/Skibo 1989 Michael B. Schiffer/James M. Skibo, A Provisional Theory of Ceramic Abrasion. *American Antiquity* 91, 1989, 101–115.
- Schiffer/Skibo 1997 Michael B. Schiffer/James M. Skibo, The Explanation of Artifact Variability. *American Antiquity* 62, 1997, 27–50.
- Schiffer *et al.* 1981 Michael B. Schiffer/Theodore E. Downing/Michael McCarthy, Waste Not, Want Not: An Ethnoarchaeological Study of Reuse in Tucson, Arizona. In: Richard A. Gould/Michael B. Schiffer (Hrsg.), *Modern Material Culture: The Archaeology of Us. Studies in Archaeology* (New York 1981) 67–86. Academic Press, New York.
- Schiffer *et al.* 1994 Michael B. Schiffer/Tamara C. Butts/Kimberly K. Grimm, *Taking Charge: The Electric Automobile in America* (Washington 1994). Smithsonian Institution Press, Washington.
- Schiffer *et al.* 2001 Michael B. Schiffer/James M. Skibo/Janet L. Griffitts/Kacey L. Hollenback/William A. Longacre, Behavioral Archaeology and the Study of Technology. *American Antiquity* 66, 2001, 729–738.
- Schlanger/Wilshusen 1993 Sarah H. Schlanger/Richard H. Wilshusen, Local Abandonments and Regional Conditions in the North American Southwest. In: Catherine M. Cameron/Steve A. Tomka (Hrsg.), *Abandonment of Settlements and Regions: Ethnoarchaeological and Archaeological Approaches. New Directions in Archaeology* (1993) 85–98. Cambridge University Press, Cambridge.
- Schleif 1933 Hans Schleif, *Troja. Architektur des Athena-Tempels: Inventar. Unpubliziertes Grabungstagebuch 1933*. Department of Classics, University of Cincinnati.
- Schliemann 1874 Heinrich Schliemann, *Atlas Trojanischer Alterthümer. Photographische Abbildungen zu dem Berichte über die Ausgrabungen in Troja* (Leipzig 1874). F. A. Brockhaus, Leipzig.

- Schliemann 1880 Heinrich Schliemann, *Ilios. The City and Country of the Trojans: The Results of Researches and Discoveries on the Site of Troy and throughout the Troad in the Years 1871–72–73–78–79. Including an Autobiography of the Author. With a Preface, Appendices, and Notes by Professor Rudolf Virchow, Max Müller, A. H. Sayce, J. P. Mahaffy, H. Brugsch-Bey, P. Ascherson, A. Postolaccas, E. Burnouf, Mr. F. Calvert, and Mr. A. J. Duffield* (London 1880). John Murray, London.
- Schliemann 1881a Heinrich Schliemann, *Ilios. Stadt und Land der Trojaner. Forschungen und Entdeckungen in der Troas und besonders auf der Baustelle von Troja. Mit einer Selbstbiographie des Verfassers, einer Vorrede von Rudolf Virchow und Beiträgen von P. Ascherson, H. Brugsch-Bey, E. Burnouf, Frank Calvert, A. J. Duffield, J. P. Mahaffy, Max Müller, A. Postolaccas, A. H. Sayce und R. Virchow* (Leipzig 1881). F. A. Brockhaus, Leipzig.
- Schliemann 1881b Heinrich Schliemann, *Orchomenos. Bericht über meine Ausgrabungen im böotischen Orchomenos* (Leipzig 1881). F. A. Brockhaus, Leipzig.
- Schliemann 1884 Heinrich Schliemann, *Troja. Ergebnisse meiner Ausgrabungen auf der Baustelle von Troja, in den Heldengräbern, Bunarbaschi und anderen Orten der Troas im Jahre 1882. Mit einer Vorrede von A. H. Sayce* (Leipzig 1884). F. A. Brockhaus, Leipzig.
- Schliemann 1886 Heinrich Schliemann, *Tiryns. Der prähistorische Palast der Könige von Tiryns. Ergebnisse der neusten Ausgrabungen. Mit Vorrede von Geh. Oberbaurath Prof. F. Adler und Beiträgen von Dr. Dörpfeld* (Leipzig 1886). F. A. Brockhaus, Leipzig.
- Schmidt 1902a Hubert Schmidt, *Heinrich Schliemann's Sammlung Trojanischer Altertümer. Herausgegeben von der Generalverwaltung der Königlichen Museen zu Berlin* (Berlin 1902). Georg Reimer, Berlin.
- Schmidt 1902b Hubert Schmidt, *Die Keramik der verschiedenen Schichten. In: Wilhelm Dörpfeld, Troja und Ilion. Ergebnisse der Ausgrabungen in den vorhistorischen und historischen Schichten von Ilion 1870–1894. Unter Mitwirkung von Alfred Brückner, Hans von Fritze, Alfred Götze, Hubert Schmidt, Wilhelm Wilberg, Hermann Winnefeld* (Athen 1902) 243–319. Beck und Barth, Athen.
- Schmidt 1996 Klaus Schmidt, *Norşuntepe: Kleinfunde I. Die lithische Industrie. Archaeologica Euphratica 1* (Mainz am Rhein 1996). Philipp von Zabern, Mainz am Rhein.
- Schmidt 2002 Klaus Schmidt, *Norşuntepe: Kleinfunde II. Artefakte aus Felsgestein, Knochen und Geweih, Ton, Metall und Glas. Mit Beiträgen von István Baranyi, Ernst Pernicka und Sigrid Schmitt-Strecker. Archaeologica Euphratica 2* (Mainz am Rhein 2002). Philipp von Zabern, Mainz am Rhein.

- Schneider 1991 Klaus Schneider, Töpferei der Lobi. In: Hartwig Lüdtke/Rüdiger Vossen (Hrsg.), Töpfereiforschung – archäologisch, ethnologisch, volkswissenschaftlich. Beiträge des Internationalen Kolloquiums 1987 in Schleswig. Töpferei- und Keramikforschung 2 (Bonn 1991) 65–103. Rudolf Habelt, Bonn.
- Schneider *et al.* 1989 Gerwulf Schneider (Red.), Naturwissenschaftliche Kriterien und Verfahren zur Beschreibung von Keramik. Diskussionsergebnisse der Projektgruppe »Keramik« im Arbeitskreis Archäometrie in der Fachgruppe Analytische Chemie der Gesellschaft Deutscher Chemiker. Mit Beiträgen von A. Burmester, C. Goedicke, H. W. Hennische, B. Kleinmann, H. Knoll, M. Maggetti, R. Rottländer, G. Schneider. *Acta Praehistorica et Archaeologica* 21, 1989, 7–39.
- Schoop 2005 Ulf-Dietrich Schoop, Das anatolische Chalkolithikum. Eine chronologische Untersuchung zur vorbronzezeitlichen Kultursequenz im nördlichen Zentralanatolien und den angrenzenden Gebieten. *Urgeschichtliche Studien* 1 (Remshalden 2005). Bernhard Albert Greiner, Remshalden.
- Schoop 2011a Ulf-Dietrich Schoop, Some Thoughts on Social and Economic Development in Western Anatolia during the Fourth and Third Millennium BC. In: A. Nejat Bilgen/Ralf von den Hoff/Serpil Sandalıcı/Sevcan Silek (Hrsg.), *Archaeological Research in Western Central Anatolia. Proceedings of the IIIrd International Symposium of Archaeology, Kütahya, 8th–9th March 2010* (Kütahya 2011) 29–45. Üçmart Press, Kütahya.
- Schoop 2011b Ulf-Dietrich Schoop, The Chalcolithic on the Plateau. In: Sharon R. Steadman/Gregory Mc Mahon (Hrsg.), *The Oxford Handbook of Ancient Anatolia, 10000–323 B.C.E.* (Oxford 2011) 150–173. Oxford University Press, Oxford.
- Schoop/Seeher 2006 Ulf-Dietrich Schoop/Jürgen Seeher, Absolute Chronologie in Boğazköy-Hattuša: Das Potential der Radiokarbonaten. In: Dirk P. Mielke/Ulf-Dietrich Schoop/Jürgen Seeher (Hrsg.), *Strukturierung und Datierung in der hethitischen Archäologie: Voraussetzungen – Probleme – Neue Ansätze. Structuring in Dating in Hittite Archaeology: Requirements – Problems – New Approaches. Internationaler Workshop in İstanbul, 26–27 November 2004. BYZAS 4, Veröffentlichungen des Deutschen Archäologischen Instituts İstanbul* (İstanbul 2006) 53–75. Ege Yayınları, İstanbul.
- Seeher 1987 Jürgen Seeher, Demircihüyük III, 1. Die Keramik 1: A. Die neolithische und chalkolithische Keramik, B. Die frühbronzezeitliche Keramik der älteren Phasen (bis Phase G) (Mainz am Rhein 1987). Philipp von Zabern, Mainz am Rhein.

- Seymour/Schiffer 1987 J. Deni Seymour/Michael B. Schiffer, A Preliminary Analysis of Pit-house Assemblages from Snaketown, Arizona. In: Susan Kent (Hrsg.), *Method and Theory for Activity Area Research: An Ethnoarchaeological Approach* (New York 1987) 549–603. Columbia University Press, New York.
- Shaffer 1993 Garry D. Shaffer, An Archaeomagnetic Study of a Wattle and Daub Building Collapse. *Journal of Field Archaeology* 20, 1993, 59–75.
- Shea/Klenck 1993 John J. Shea/Joel D. Klenck, An Experimental Investigation of the Effects of Trampling on the Results of Lithic Microwear Analysis. *Journal of Archaeological Science* 20, 1993, 175–194.
- Shepard 1956 Anna O. Shepard, *Ceramics for the Archaeologist* (Washington 1956). Carnegie Institution of Washington Publication 609. Carnegie Institution of Washington, Washington.
- Shott 1989 Michael J. Shott, Diversity, Organization, and Behavior in the Material Record: Ethnographic and Archaeological Examples. *Current Anthropology* 30, 1989, 283–315.
- Shott 1996 Michael J. Shott, An Exegesis of the Curation Concept. *Journal of Anthropological Research* 52, 1996, 259–280.
- Shott 1998 Michael J. Shott, Status and Role of Formation Theory in Contemporary Archaeological Research. *Journal of Archaeological Research* 6, 1998, 299–329.
- Simms/Heath 1990 Steven R. Simms/Kathleen M. Heath, Site Structure of the Orbit Inn: An Application of Ethnoarchaeology. *American Antiquity* 55, 1990, 797–813.
- Sinopoli 1991 Carla M. Sinopoli, *Approaches to Archaeological Ceramics* (New York 1991). Plenum Press, New York.
- Sinos 1971 Stefan Sinos, *Die vorklassischen Hausformen in der Ägäis* (Mainz am Rhein 1971). Philipp von Zabern, Mainz am Rhein.
- Skibo 1992 James M. Skibo, *Pottery and People: A Use-alteration Perspective. Interdisciplinary Contributions to Archaeology* (New York 1992). Plenum Press, New York.
- Skibo 1999 James M. Skibo, *Ants for Breakfast: Archaeological Adventures among the Kalinga* (Salt Lake City 1999). University of Utah Press, Salt Lake City.
- Skibo/Blinman 1999 James M. Skibo/Eric Blinman, Exploring the Origins of Pottery on the Colorado Plateau. In: James M. Skibo/Gary M. Feinman (Hrsg.), *Pottery and People: A Dynamic Interaction. Foundations of Archaeological Inquiry* (Salt Lake City 1999) 171–183. University of Utah Press, Salt Lake City.
- Skibo *et al.* 1989 James M. Skibo/Michael B. Schiffer/Kenneth C. Reid, Organic-tempered Pottery: An Experimental Study. *American Antiquity* 54, 1989, 122–146.

- Skibo *et al.* 1997 James M. Skibo/Tamara C. Butts/Michael B. Schiffer, Ceramic Surface Treatment and Abrasion Resistance: An Experimental Study. *Journal of Archaeological Science* 24, 1997, 311–317.
- Snyder 2000 Alison B. Snyder, Re-constructing the Anatolian Village: Revisiting Alişar. *Anatolica* 26, 2000, 173–191.
- Soeffing 1988 Helmut Soeffing, Die Töpferei bei den For im Jebel Mara – Ein bedrohtes Handwerk? In: Rüdiger Vossen (Hrsg.), *Töpfereiforschung zwischen Archäologie und Entwicklungspolitik. Töpferei- und Keramikforschung 1* (Bonn 1988) 57–72. Rudolf Habelt, Bonn.
- Sommer 1991 Ulrike Sommer, Zur Entstehung archäologischer Fundvergesellschaftungen. Versuch einer archäologischen Taphonomie. In: Elke Mattheußer/Ulrike Sommer, *Studien zur Siedlungsarchäologie 1. Universitätsforschungen zur Prähistorischen Archäologie 6* (Bonn 1991) 53–174. Rudolf Habelt, Bonn.
- Sotirakopoulou 1997 Panayiota I. Sotirakopoulou, Κυχλάδες και βόρειο Αιγαίο: οι σχέσεις το δεύτερο ήμισυ της 3ης χιλιετίας π.Χ. In: Christos G. Doumas/Vincent La Rosa (Hrsg.), *Η Πολιόχνη και η Πρώιμη Εποχή του Χαλκού στο Βόρειο Αιγαίο – Poliochni e l'antica età del bronzo nell'Egeo settentrionale. Διεθνές Συνέδριο Αθήνα, 22–25 Απριλίου 1996 – Convegno Internazionale Atene, 22–25 Aprile 1996* (Αθήνα 1997) 522–542. Scuola Archeologica Italiana di Atene & Πανεπιστήμιο Αθηνών, Αθήνα.
- South 1978 Stanley South, Pattern Recognition in Historical Archaeology. *American Antiquity* 43, 1978, 223–230.
- Sperling 1976 Jerome W. Sperling, Kum Tepe in the Troad: Trial Excavation, 1934. *Hesperia* 45, 1976, 305–364.
- Stanislawski 1973 Michael B. Stanislawski, Ethnoarchaeology and Settlement Archaeology. *Ethnohistory* 20, 1973, 375–392.
- Stark 1999 Barbara L. Stark, Finely Crafted Ceramics and Distant Lands: Classic Mixtequilla. In: James M. Skibo/Gary M. Feinman (Hrsg.), *Pottery and People: A Dynamic Interaction. Foundations Arch. Inquiry* (Salt Lake City 1999) 137–156. University of Utah Press, Salt Lake City.
- Staubwasser/Weiss 2006 Michael Staubwasser/Harvey Weiss, Holocene Climate and Cultural Evolution in Late Prehistoric–Early Historic West Asia. *Quaternary Research* 66, 372–387.
- Stein 1987 Julie K. Stein, Deposits for Archaeologists. In: Michael B. Schiffer (Hrsg.), *Advances in Archaeological Method and Theory 11* (San Diego 1987) 337–395. Academic Press, San Diego.
- Stevenson 1982 Marc G. Stevenson, Toward an Understanding of Site Abandonment Behavior: Evidence from Historic Mining Camps in the Southwest Yukon. *Journal of Anthropological Archaeology* 1, 1982, 237–265.

- Stevenson 1985 Marc G. Stevenson, The Formation of Artifact Assemblages at Workshop/Habitation Sites: Models from Peace Point in Northern Alberta. *American Antiquity* 50, 1985, 63–81.
- Stevenson 1991 Marc G. Stevenson, Beyond the Formation of Hearth-Associated Artifact Assemblages. In: Ellen M. Kroll/T. Douglas Price (Hrsg.), *The Interpretation of Archaeological Spatial Patterning*. Papers presented at a symposium organized at the 52nd Annual Meeting of the Society for American Archaeology held in May 1987 in Toronto, Ontario. *Interdisciplinary Contributions to Archaeology* (New York 1991) 269–299. Plenum Press, New York.
- Stiles 1977 Daniel Stiles, Ethnoarchaeology: A Discussion of Methods and Applications. *Man N.S.* 12, 1977, 87–103.
- Stockton 1973 Eugene D. Stockton, Shaw's Creek Shelter: Human Displacement of Artifacts and its Significance. *Mankind* 9, 1973, 112–117.
- Stucki 1993 Barbara R. Stucki, Three-dimensional Assessment of Activity Areas in a Shell Midden: An Example from the Hoko River Rockshelter, State of Washington. In: Edward C. Harris/Marley R. Brown III/Gregory J. Brown (Hrsg.), *Practices of Archaeological Stratigraphy* (London/San Diego 1993) 122–138. Academic Press, London/San Diego.
- Sudo 2003 Hiroshi Sudo, The Chalcolithic Small Finds from Tell Kosak Shamali: Various Aspects of the Village Activity. In: Yoshihiro Nishiaki/Toshio Matsutani (Hrsg.), *The Kosak Shamali: The Archaeological Investigations on the Upper Euphrates, Syria. Vol. II: Chalcolithic Technology and Subsistence*. UMUT Monograph 2 (Tokyo 2003) 213–259. The University Museum & The University of Tokyo, Tokyo.
- Sullivan 1989 Alan P. Sullivan III, The Technology of Ceramic Reuse: Formation Processes and Archaeological Evidence. *World Archaeology* 21.1, 1989, 101–114.
- Sullivan 1995 Alan P. Sullivan III, Behavioral Archaeology and the Interpretation of Archaeological Variability. In: James M. Skibo/William H. Walker/Axel E. Nielsen (Hrsg.), *Expanding Archaeology*. *Foundation of Archaeological Inquiry* (Salt Lake City 1995) 178–186. University of Utah Press, Salt Lake City.
- Symington 2007a Dorit Symington, The Early Bronze Age Pottery. In: Nicholas Postgate/David Thomas (Hrsg.), *Excavations at Kilise Tepe 1994–98: From Bronze Age to Byzantine in Western Cilicia*. McDonald Institute Monographs = British Institute at Ankara Monographs 30 (Cambridge 2007) 295–318. McDonald Institute for Archaeological Research, Cambridge.
- Symington 2007b Dorit Symington, The Middle Bronze Age Pottery. In: Nicholas Postgate/David Thomas (Hrsg.), *Excavations at Kilise Tepe 1994–98: From Bronze Age to Byzantine in Western Cilicia*. McDonald Institute Monographs = British Institute at Ankara Monographs 30 (Cambridge 2007) 319–328. McDonald Institute for Archaeological Research, Cambridge.

- Symington/Collon 2007 Dorit Symington/Dominique Collon, Spindle Whorls. In: Nicholas Postgate/David Thomas (Hrsg.), Excavations at Kilise Tepe 1994–98: From Bronze Age to Byzantine in Western Cilicia. McDonald Institute Monographs = British Institute at Ankara Monographs 30 (Cambridge 2007) 481–497. McDonald Institute for Archaeological Research, Cambridge.
- Tappen 1994 Martha Tappen, Bone Weathering in the Tropical Rain Forest. *Journal of Archaeological Science* 21, 1994, 667–673.
- Theunissen *et al.* 1997 Robert Theunissen/Jane Blame/Wendy Beck, Headroom and Human Trampling: Cave Ceiling-Height Determines the Spatial Patterning of Stone Artefacts at Petzkes Cave, Northern South Wales. *Antiquity* 72, 1997, 80–89.
- Thomas 1967 Homer L. Thomas, Near Eastern, Mediterranean and European Chronology: The Historical, Archaeological, Radiocarbon, Pollen-analytical and Geochronological Evidence. *Studies in Mediterranean Archaeology XVII* (Lund 1967). Klassiska Institutionen, Lund.
- Thumm 2002 Diane Thumm, »Digging at Troy« – Die Ausgrabungen der 1930er Jahre in Troia. In: Rüstem Aslan/Stephan W. E. Blum/Gabriele Kastl/Frank Schweizer/Diane Thumm (Hrsg.), Mauerschau. Festschrift für Manfred Korfmann (Remshalden-Grundbach 2002) 85–104. Bernhard Albert Greiner, Remshalden-Grundbach.
- Thumm-Doğrayan 2006 Diane Thumm-Doğrayan, Und doch war alles anders ... Wilhelm Dörpfeld und Carl William Blegen. In: Manfred O. Korfmann (Hrsg.), Troia – Archäologie eines Siedlungshügels und seiner Landschaft (Mainz am Rhein 2006) 117–122. Philipp von Zabern, Mainz am Rhein.
- Tomka 1993 Steve A. Tomka, Site Abandonment Behavior among Transhumant Agro-Pastoralists: The Effects of Delayed Curation on Assemblage Composition. In: Catherine M. Cameron/Steve A. Tomka (Hrsg.), Abandonment of Settlements and Regions: Ethnoarchaeological and Archaeological Approaches. *New Directions in Archaeology* (Cambridge 1993) 11–24. Cambridge University Press, Cambridge.
- Tomka/Stevenson 1993 Steve A. Tomka/Marc G. Stevenson, Understanding Abandonment Processes: Summary and Remaining Concerns. In: Catherine M. Cameron/Steve A. Tomka (Hrsg.), Abandonment of Settlements and Regions: Ethnoarchaeological and Archaeological Approaches. *New Directions in Archaeology* (1993) 191–195. Cambridge University Press, Cambridge.
- Trigger 1986 Bruce G. Trigger, Prehistoric Archaeology and American Society. In: David J. Meltzer/Don D. Fowler/Jeremy A. Sabloff (Hrsg.), *American Archaeology: Past and Future. A Celebration of the Society for American Archaeology 1935–1985* (Washington 1986) 163–215. Smithsonian Institution Press, Washington.

- Trigger 1989 Bruce G. Trigger, *A History of Archaeological Thought* (Cambridge 1989). Cambridge University Press, Cambridge.
- Trigger 1990 Bruce G. Trigger, Monumental Architecture: A Thermodynamic Explanation of Symbolic Behavior. *World Archaeology* 22, 1991, 119–132.
- Trigger 2003 Bruce G. Trigger, *Understanding Early Civilizations: A Comparative Study* (Cambridge 2003). Cambridge University Press, Cambridge.
- Triggs 1993 John R. Triggs, The Seriation of Multilinear Stratigraphic Sequences. In: Edward C. Harris/Marley R. Brown III/Gregory J. Brown (Hrsg.), *Practices of Archaeological Stratigraphy* (London/San Diego 1993) 250–273. Academic Press, London/San Diego.
- Tringham et al. 1974 Ruth Tringham/Glenn Cooper/George Odell/Barbara Voytek/Anne Whitman, Experimentation in the Formation of Edge Damage: A New Approach to Lithic Analysis. *Journal of Field Archaeology* 1, 1974, 171–196.
- Tschauner 1996 Hartmut Tschauner, Middle-Range Theory, Behavioral Archaeology, and Postempiricist Philosophy of Science in Archaeology. *Journal of Archaeological Method and Theory* 3, 1996, 1–30.
- Uerpmann 2003 Hans-Peter Uerpmann, Environmental Aspects of Economic Changes in Troia. In: Günther A. Wagner/Ernst Pernicka/Hans-Peter Uerpmann (Hrsg.), *Troia and the Troad: Scientific Approaches* (Heidelberg/New York 2003) 251–262. Springer, Heidelberg/New York.
- Uerpmann/Uerpmann 2001 Hans-Peter Uerpmann/Margarethe Uerpmann, Leben in Troia. Die Pflanzen- und Tierwelt. In: Archäologisches Landesmuseum Baden-Württemberg *et al.* (Hrsg.), *Troia – Traum und Wirklichkeit*. Begleitband zur Ausstellung »Troia – Traum und Wirklichkeit« in Stuttgart, Braunschweig und Bonn 2001/2002 (Stuttgart 2001) 315–318. Konrad Theiss, Stuttgart.
- Uerpmann 2006 Margarethe Uerpmann, Von Adler bis Zahnbrassen: Der Beitrag der Archäozoologie zur Erforschung Troias. In: Manfred O. Korfmann (Hrsg.), *Troia – Archäologie eines Siedlungshügels und seiner Landschaft* (Mainz am Rhein 2006) 283–296. Philipp von Zabern, Mainz am Rhein.
- Umurtak 2003 Gülsün Umurtak, A Study of a Group of Pottery Finds from the MBA Deposits at Bademağacı Höyük. *Anatolia Antiqua* XI, 2003, 53–74.
- Ünlüsoy 2006 Sinan Ünlüsoy, Vom Reihenhäuser zum Megaron – Troia I bis Troia III. In: Manfred O. Korfmann (Hrsg.), *Troia – Archäologie eines Siedlungshügels und seiner Landschaft* (Mainz am Rhein 2006) 133–144. Philipp von Zabern, Mainz am Rhein.
- Ünlüsoy 2009 Sinan Ünlüsoy, *Die Stratigraphie der Burg von Troia II*. Unveröffentlichte Dissertation an der Fakultät für Kulturwissenschaften der Eberhard Karls Universität Tübingen (Tübingen 2009).

- van Ess 1992
Margarete van Ess, Die Kleinfunde aus Asphalt, Farbe, Fritte/Fayence und Ägyptisch Blau, Glas, Holz, Knochen und Elfenbein, Leder, Muschel und Schnecke, Schilf, Textilien. In: Margarete van Ess/Friedhelm Pedde, Uruk. Kleinfunde II: Metall und Asphalt, Farbreste, Fritte/Fayence, Glas, Holz, Knochen/Elfenbein, Leder, Muschel/Perlmutter/Schnecke, Schilf, Textilien. Mit Beiträgen von Joachim Boessneck, Thomas Engel und Harald Kürschner. Ausgrabungen in Uruk-Warka, Endberichte 7 (Mainz am Rhein 1992) 121–266. Philipp von Zabern, Mainz am Rhein.
- van der Leeuw 1993
Sander E. van der Leeuw, Giving the Potter a Choice: Conceptual Aspects of Pottery Techniques. In: Pierre Lemonnier (Hrsg.), Technological Choices: Transformation in Material Cultures Since the Neolithic. *Material Cultures: Interdisciplinary Studies in the Material Construction of Social Worlds* (London/New York 1993) 238–288. Routledge, London/New York.
- Vaughn 1985
Patrick C. Vaughn, Use-Wear Analysis of Flaked Stone Tools (Tucson 1985). University of Arizona Press, Tucson.
- Villa 1982
Paola Villa, Conjoinable Pieces and Site Formation Processes. *American Antiquity* 47, 1982, 276–290.
- Villa/Courtin 1983
Paola Villa/Jean Courtin, The Interpretation of Stratified Sites: A View from Underground. *Journal of Archaeological Science* 10, 1983, 267–281.
- Völling 2008
Elisabeth Völling, Die durchlochten Tonobjekte in der Berliner Sammlung. In: Matthias Wemhoff/Dieter Hertel/Alix Hänsel (Hrsg.), Heinrich Schliemanns Sammlung Trojanischer Altertümer – Neuvorlage. 1. Forschungsgeschichte, keramische Funde der Schichten VII bis IX, Nadeln, Gewichte und durchlochete Tongeräte. *Berliner Beiträge zur Vor- und Frühgeschichte, Neue Folge* 14 (Berlin 2008) 227–270. Staatliche Museen zu Berlin – Preussischer Kulturbesitz, Berlin.
- Vossen 1992
Rüdiger Vossen, Ethnoarchäologie: Über die Entstehung und die Zielsetzung einer neuen Wissenschaft. *Ethnographisch-Archäologische Zeitschrift* 33, 1992, 3–12.
- Voutsaki *et al.* 2010
Sofia Voutsaki/Albert Nijboer/Carol Zerner, Radiocarbon Analysis and Middle Helladic Lerna. In: Anna Philippa-Touchais/Gilles Touchais/Sofia Voutsaki/James Wright (Hrsg.), *MESOHELLADIKΑ – ΜΕΣΟΕΛΛΑΔΙΚΑ: La Grèce continentale au Bronze Moyen – Η ηπειρωτική Ελλάδα Μέση ποχή του Χαλκού – The Greek Mainland in the Middle Bronze Age*. Actes du colloque international organisé par l'École française d'Athènes, en collaboration avec l'American School of Classical Studies at Athens et le Netherlands Institute in Athens, Athènes, 8–12 mars 2006. *Bulletine de Correspondence Hellénique, Suppl.* 52 (Athènes 2006) 641–647. École française d'Athènes, Athènes.

- Wagner 1998
Günther A. Wagner, Age Determination of Young Rocks and Artifacts: Physical and Chemical Clocks in Quaternary Geology and Archaeology. *Natural Science in Archaeology* (Heidelberg/New York 1998) 43–54. Springer, Heidelberg/New York.
- Walker 1998
William H. Walker, Where Are the Witches in Prehistory? *Journal of Archaeological Method and Theory* 5, 1998, 245–308.
- Walker *et al.* 1995
William H. Walker/James M. Skibo/Axel E. Nielsen, Introduction: Expanding Archaeology. In: James M. Skibo/William H. Walker/Axel E. Nielsen (Hrsg.), *Expanding Archaeology. Foundation of Archaeological Inquiry* (Salt Lake City 1995) 1–12. University of Utah Press, Salt Lake City.
- Waters 1992
Michael R. Waters, *Principles of Geoarchaeology: A North American Perspective* (Tucson 1992). University of Arizona Press, Tucson.
- Watson 1979
Patty Jo Watson, *Archaeological Ethnography in Western Iran*. Viking Fund Publications in Anthropology 57 (Tucson 1979). University of Arizona Press, Tucson.
- Wattenmaker 1998
Patricia Wattenmaker, *Household and State in Upper Mesopotamia: Specialized Economy and the Social Uses of Goods in an Early Complex Society*. *Smithonian Series in Archaeological Inquiry* (Washington 1998). Smithsonian Institution Press, Washington.
- Weninger 2002
Bernhard Weninger, Pottery Seriation Dating at Troy in the Early Bronze Age, Based on the Cincinnati Classification System. In: Rüstem Aslan/Stephan W. E. Blum/Gabriele Kastl/Frank Schweizer/Diane Thumm (Hrsg.), *Mauerschau. Festschrift für Manfred Korfmann* (Remshalden-Grundbach 2002) 1035–1062. Bernhard Albert Greiner, Remshalden-Grundbach.
- Whittaker *et al.* 1998
John C. Whittaker/Douglas Caulkins/Kathryn A. Kamp, Evaluating Consistency in Typology and Classification. *Journal of Archaeological Method and Theory* 5, 1998, 19–164.
- Willey/Sabloff 1974
Gordon R. Willey/Jeremy A. Sabloff, *A History of American Archaeology* (San Francisco 1974). W. H. Freeman and Company, San Francisco.
- Wilk/Schiffer 1979
Richard Wilk/Michael B. Schiffer, The Archaeology of Vacant Lots in Tucson, Arizona. *American Antiquity* 44, 1979, 530–536.
- Wilson 1994
Douglas C. Wilson, Identification and Assessment of Secondary Refuse Aggregates. *Journal of Archaeological Method and Theory* 1, 1994, 41–68.
- Wilson 1995
Douglas C. Wilson, The Analysis of Domestic Reuse in Historical Archaeology. In: James M. Skibo/William H. Walker/Axel E. Nielsen (Hrsg.), *Expanding Archaeology. Foundation of Archaeological Inquiry* (Salt Lake City 1995) 126–140. University of Utah Press, Salt Lake City.

- Wood/Johnson 1978 W. Raymond Wood/Donald L. Johnson, A Survey of Disturbance Processes in Archaeological Site Formation. In: Michael B. Schiffer (Hrsg.), *Advances in Archaeological Method and Theory* 1 (New York 1978) 315–381. Academic Press, New York.
- Wylie 2002 Alison Wylie, *Thinking from Things: Essays in the Philosophy of Archaeology* (Berkeley 2002). University of California Press, Berkeley.
- Yakar 1979 Jak Yakar, Troy and Anatolian Early Bronze Age Chronology. *Anatolian Studies* XXIX, 1979, 51–67.
- Yakar 1985 Jak Yakar, *The Later Prehistory of Anatolia: The Late Chalcolithic and Early Bronze Age*. British Archaeological Reports, International Series 268 (Oxford 1985). B.A.R., Oxford.
- Yakar 2000 Jak Yakar, *Ethnoarchaeology of Turkey: Rural Sicio-Economy in the Bronze and Irog Ages*. Tel Aviv University, Donia and Marco Nadler Institute of Archaeology Monograph Series 17 (Tel Aviv 2000). Emery and Claire Yass Publications in Archaeology, Tel Aviv.
- Yakar 2002 Jak Yakar, Revising the Early Bronze Age Chronology of Anatolia. In: Rüstem Aslan/Stephan W. E. Blum/Gabriele Kastl/Frank Schweizer/Diane Thumm (Hrsg.), *Mauerschau. Festschrift für Manfred Korfmann (Remshalden-Grundbach 2002)* 445–456. Bernhard Albert Greiner, Remshalden-Grundbach.
- Yellen 1991 John E. Yellen, Small Mammals: Post-Discard Patterning of Kung San Faunal Remains. *Journal of Anthropological Archaeology* 10, 1991, 152–192.
- Zidarov 2006 Petar Zidarov, *Alltagsleben in Zeiten von Krieg und Frieden – Bronzezeitliche Artefakte aus Knochen, Geweih und Elfenbein*. In: Manfred O. Korfmann (Hrsg.), *Troia – Archäologie eines Siedlungshügels und seiner Landschaft (Mainz am Rhein 2006)* 227–230. Philipp von Zabern, Mainz am Rhein.
- Zimmermann 2006 Thomas Zimmermann, *Die bronze- und früheisenzeitlichen Troiafunde der Sammlung Heinrich Schliemann im Römisch-Germanischen Zentralmuseum. Kataloge vor- und frühgeschichtlicher Altertümer* 40 (Mainz 2006). Römisch-Germanisches Zentralmuseum, Mainz.

»Every culture gets what it deserves.«
(Kinky Friedmann)